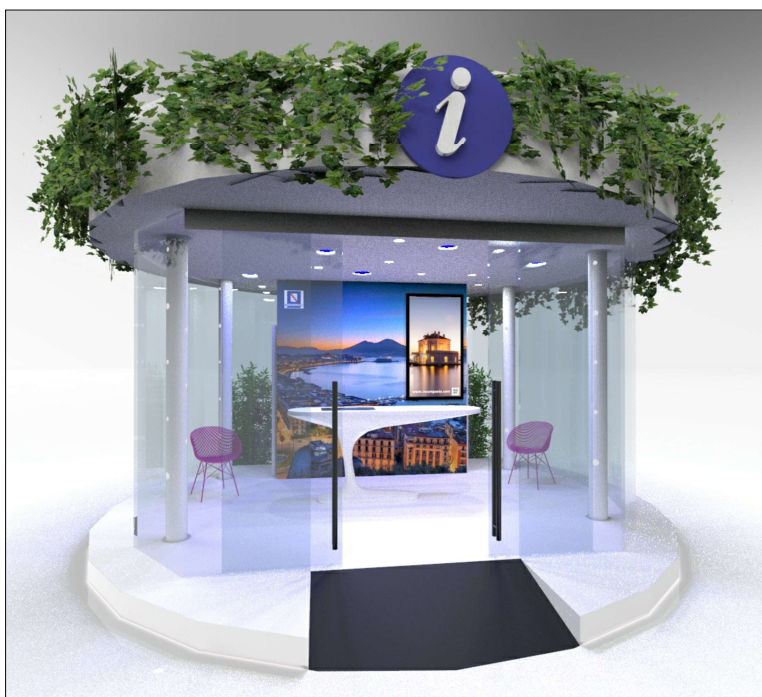


AGENZIA REGIONALE CAMPANIA TURISMO

RIORGANIZZAZIONE DEI SERVIZI DI INFORMAZIONE E ACCOGLIENZA TURISTICA (SIAT)

INFOPOINT AEROPORTO SALERNO COSTA D'AMALFI



PROGETTO ESECUTIVO

| | | |
|---|---|--|
| Committente: | AGENZIA REGIONALE CAMPANIA TURISMO Commissario avv. Alessandro Fimiani | |
| CUP: I29C20000270001 CIG: B5992ABE02 | | |
| Responsabile del procedimento: | dr. Ciro Adinolfi | |
| Progettazione, Direzione lavori, Coordinamento sicurezza: | ARCHIMED s.r.l. arch. Rosamaria Vignale | |

| rev. | data | oggetto |
|------|------------|-----------|
| 0 | marzo 2025 | emissione |

| | | |
|-------------------------|--------------------------------------|------------------|
| Elaborato: ES | ELABORATO STRUTTURE UNICO | File: |
| | | Scala: |
| | | Data: marzo 2025 |

ALLEGATI

1) RELAZIONE DI CALCOLO E FASCICOLO DEI CALCOLI

2) RELAZIONE SUI MATERIALI

3) PIANO DI MANUTENZIONE DELLE STRUTTURE

4) GRAFICI

Pianta carpenteria basamento

Pianta carpenteria copertura

Sezione AA' e particolari

RELAZIONE DI CALCOLO E FASCICOLO DEI CALCOLI

Sommario

| | |
|--|----|
| 1. INTRODUZIONE..... | 6 |
| 2. DESCRIZIONE DELLA STRUTTURA..... | 6 |
| 3. QUADRO NORMATIVO DI RIFERIMENTO..... | 6 |
| 4. CARATTERIZZAZIONE MECCANICA DEI MATERIALI STRUTTURALI..... | 7 |
| 4.1. Premessa..... | 7 |
| 4.2. Acciaio..... | 7 |
| 5. AZIONI AGENTI SULLA COSTRUZIONE..... | 8 |
| 5.1. PREMESSA..... | 8 |
| 5.2. VITA NOMINALE, CLASSI D'USO E PERIODO DI RIFERIMENTO..... | 8 |
| 5.3. ANALISI DEI CARICHI UNITARI..... | 9 |
| 5.3.1. Impalcato di copertura..... | 9 |
| 5.3.2. Impalcato di primo calpestio..... | 9 |
| 5.3.3. Chiusure in vetro..... | 9 |
| 5.4. SOVRACCARICO DA NEVE..... | 10 |
| 5.5. AZIONE DEL VENTO..... | 10 |
| 5.6. AZIONE SISMICA..... | 12 |
| 5.6.1. Stati limite di riferimento..... | 12 |
| 5.6.2. Categorie di sottosuolo e topografia dell'area..... | 12 |
| 5.6.3. Spettro di risposta elastico in accelerazione..... | 12 |
| 5.7. REGOLARITÀ DELLA STRUTTURA..... | 13 |
| 5.8. ANALISI IMPIEGATA PER LA MODELLAZIONE DELL'AZIONE SISMICA ED IL COMPORTAMENTO STRUTTURALE DELLA COSTRUZIONE E CLASSE DI DUTTILITÀ..... | 14 |
| 5.9. FATTORE DI COMPORTAMENTO E SPETTRO DI PROGETTO..... | 14 |
| 5.10. COMBINAZIONE DELLE AZIONI..... | 15 |
| 5.10.1. Combinazioni SLU..... | 15 |
| 5.10.2. Combinazioni sismiche SLV - SLD..... | 15 |
| 5.10.3. Combinazioni SLE..... | 16 |
| 6. MODELLAZIONE DELLE STRUTTURE..... | 16 |
| 6.1. Software impiegato..... | 16 |
| 6.2. Affidabilità del software..... | 17 |
| 6.3. Modellazione delle strutture..... | 17 |
| 6.3.1. Modellazione della struttura..... | 17 |
| 6.4. Analisi sismica di progetto per la struttura..... | 18 |
| 7. VERIFICHE STRUTTURALI..... | 20 |
| 7.1. Non linearità geometriche..... | 20 |
| 7.2. Verifica di rigidezza (Stato limite di danno – SLD)..... | 20 |
| 7.1. Verifica del piano di posa della struttura..... | 21 |
| 7.1.1. Verifica a ribaltamento della struttura..... | 21 |
| 7.2. Verifica elementi strutturali..... | 22 |

| | |
|--|----|
| 7.2.1. Verifiche elementi in acciaio..... | 22 |
| 7.2.2. Collegamento giunto trave-trave 120x60x3..... | 22 |
| 7.2.3. Collegamento colonne – grigliato di base..... | 24 |
| 8. TABULATI DI CALCOLO..... | 26 |
| Dati generali Struttura..... | 26 |
| Vento..... | 26 |
| Neve..... | 26 |
| Sisma..... | 26 |
| Fattore di struttura..... | 26 |
| Sisma: Parametri ag, Fo, Tc*..... | 26 |
| Sisma orizzontale sito..... | 27 |
| Spettri elastici [g]..... | 27 |
| Spettri di progetto [g]..... | 27 |
| Carico Termico..... | 27 |
| Opzioni di calcolo..... | 27 |
| Archivi..... | 27 |
| Acciaio..... | 27 |
| Materiale generico..... | 27 |
| Sezioni rettangolari..... | 27 |
| Sezioni tubolari..... | 27 |
| Sezioni scatolari..... | 28 |
| Sezioni Geometriche generiche..... | 28 |
| Archivio vincoli. Rigidezze diagonale..... | 28 |
| Archivio vincoli. Rigidezze aggiuntive..... | 28 |
| Sisma..... | 28 |
| Criteri Acciaio..... | 28 |
| Parametri Gen. Verifiche..... | 28 |
| Gerarchia e γ_{Rd} | 28 |
| Opzioni Verifiche Struttura..... | 28 |
| Parametri FEM Beam..... | 29 |
| Lunghezze Libere..... | 29 |
| Opzioni FEM Struttura..... | 29 |
| Sezioni Beam Acciaio..... | 29 |
| Archivio Azioni..... | 29 |
| Archivio Pannelli..... | 29 |
| Struttura..... | 29 |
| Fili..... | 30 |
| Piani..... | 31 |
| Nodi..... | 31 |
| Pilastri..... | 31 |

| | |
|--|----|
| Travi..... | 31 |
| <i>Carichi.....</i> | 33 |
| Solai..... | 33 |
| Tamponature..... | 35 |
| Dati riassuntivi per piano..... | 35 |
| <i>Parametri di Calcolo.....</i> | 35 |
| Opzioni di Calcolo..... | 35 |
| Accelerazioni analisi sismica statica equivalente..... | 35 |
| Famiglie combinazioni di carico e verifiche..... | 35 |
| Combinazioni di carico..... | 36 |
| <i>Dettagli calcolo analisi lineare.....</i> | 36 |
| Dati sismici SLV per piano..... | 36 |
| Effetto P-Δ Sisma..... | 36 |
| Spostamenti di piano..... | 36 |
| Modi Trovati..... | 36 |
| Riassunto modi..... | 36 |
| Masse analisi dinamica..... | 37 |
| Coefficienti di amplificazione modali p come definiti al §4.1 nella (4.4)..... | 37 |
| Accelerazione spettri di progetto [m/s²]..... | 37 |
| Dati vento..... | 37 |
| Dati vento per piano..... | 37 |
| Dati forze imperfezioni globali per piano..... | 37 |
| Imperfezione Globale. Combinazione di base..... | 37 |
| Errore di verticalità..... | 37 |
| Equilibrio per Piano. Azioni statiche..... | 37 |
| Errori Numerici Massimi..... | 37 |
| Piano 0. Inviluppo Sollecitazioni Travi..... | 38 |
| Piano 1. Inviluppo Sollecitazioni Pilastri..... | 49 |
| Piano 1. Inviluppo Sollecitazioni Travi..... | 49 |
| <i>Inviluppo sollecitazioni.....</i> | 60 |
| Piano 0. Inviluppo Reazioni Vincolari..... | 60 |
| <i>Spostamenti Nodi analisi lineare.....</i> | 61 |
| Spostamenti Nodi. Famiglia Cmb. 1) Fondamentale..... | 61 |
| Spostamenti Nodi. Famiglia Cmb. 2) Rara..... | 62 |
| Spostamenti Nodi. Famiglia Cmb. 3) Frequente..... | 63 |
| Spostamenti Nodi. Famiglia Cmb. 4) Quasi Perm..... | 64 |
| Spostamenti Nodi. Famiglia Cmb. 5) Permanente..... | 66 |
| Spostamenti Nodi. Famiglia Cmb. 7) Sismica SLD..... | 67 |
| Spostamenti Nodi. Famiglia Cmb. 8) Sismica SLV..... | 68 |
| <i>Verifiche.....</i> | 69 |

| | |
|--|----|
| Sezioni Acciaio..... | 69 |
| Area Efficace Acciaio..... | 69 |
| Classe Sezioni Acciaio..... | 69 |
| Resistenza Sezioni Acciaio..... | 69 |
| Travi Piano:0 Verifiche SLU Acciaio..... | 70 |
| Travi Piano:1 Verifiche SLU Acciaio..... | 74 |
| Pilastri Piano:1 Verifiche SLU Acciaio..... | 77 |
| Travi Piano:1 Verifiche Instabilità Acciaio..... | 78 |
| Pilastri Piano:1 Verifiche Instabilità Acciaio..... | 79 |
| Travi Piano:1 Verifiche Instabilità Acciaio Cmb..... | 79 |
| Pilastri Piano:1 Verifiche Instabilità Acciaio Cmb..... | 81 |
| Travi Piano:1 Verifica Deformazione Travi Acciaio per combinazioni Rare..... | 81 |
| Pilastri Piano:1 Verifica Deformazione Pilastri per combinazioni Rare..... | 82 |
| <i>Riassunto Verifiche.....</i> | 82 |
| Tabella riassuntiva verifiche Interpiano..... | 82 |
| Tabella riassuntiva verifiche Acciaio, Legno e Unioni..... | 82 |
| Verifica spostamenti SLD-SLO..... | 83 |
| Tabella Riassunto Verifiche Analisi Lineare..... | 83 |
| 9. CONDIZIONI MINIME DA RISPETTARE PER L'INSTALLAZIONE DELL'INFO POINT..... | 84 |
| 10. VALIDAZIONE DEL CALCOLO STRUTTURALE..... | 84 |
| 11. CONCLUSIONI..... | 84 |

1. INTRODUZIONE

Il sottoscritto ing. Marcello Pellecchia, con studio in Napoli ai Gradini S. Nicola da Tolentino, 15 - 80135 Napoli, C.F. PLLMCL87D07F839O, iscritto al n. 20139 dell'Albo dell'Ordine degli Ingegneri della Provincia di Napoli, ha ricevuto incarico professionale dalla società Archimed S.r.l – P.IVA 05333821212, con sede in Napoli (NA) alla Via Carducci n. 42, per la progettazione strutturale di una costruzione temporanea in acciaio ad uso “Info Point”.

2. DESCRIZIONE DELLA STRUTTURA

L'Info Point sarà costituito da un unico livello fuori terra. Esso avrà pianta a forma circolare con raggio di circa 6,00 m ed altezza totale di 3,20 m circa.

La struttura, in quanto temporanea, sarà semplicemente appoggiata al suolo su un grigliato di scatolari in acciaio di sezione 100x200 mm, Sp. 3 mm, e dotata di n. 4 montanti circolari con diametro 180 mm e Sp. 5 mm. Il solaio di copertura sarà realizzato con un grigliato di scatolari in acciaio di sezione 60 x 120 mm Sp. 3 mm. La copertura sarà realizzata in doppia lamiera grecata coibentata con un modesto tetto giardino, realizzato con terreno e drenaggio leggeri, arredato con piante grasse di piccole dimensioni.

La struttura sarà interamente in acciaio S275JR e tutte le sezioni zincate a caldo. Tutte le saldature saranno eseguite in officina ed a completo ripristino di resistenza.

Per maggiori dettagli descrittivi si rimanda ai relativi elaborati grafici.

3. QUADRO NORMATIVO DI RIFERIMENTO

Le norme vigenti a cui si è fatto riferimento per i calcoli strutturali sono:

- Legge 2.2.1974 n. 64 “Provvedimenti per le costruzioni con particolari prescrizioni per le zone sismiche”;
- D.M. 17/01/2018: Norme Tecniche per le Costruzioni (NTC 2018);
- Circolare n. 7 del 21/01/2019 “Istruzioni per l'applicazione delle Nuove Norme tecniche per le costruzioni di cui al D.M. 17/01/2018”;
- D.P.R. 380/2001 – Testo unico edilizia;

4. CARATTERIZZAZIONE MECCANICA DEI MATERIALI STRUTTURALI

4.1. Premessa

La modesta struttura in progetto sarà realizzata interamente in acciaio con copertura in lamiera grecata coibentata e chiusure verticali in vetro temperato.

4.2. Acciaio

Per l'esecuzione delle strutture in argomento e per le relative connessioni si impiegherà acciaio tipo S 275 ai sensi della norma UNI EN 10025-2 e rondelle e dadi non a serraggio controllato ai sensi della UNI EN 15048-1.

I valori di calcolo delle resistenze si ottengono dividendo le resistenze caratteristiche per il coefficiente di sicurezza γ_M variabile in funzione del tipo di verifica e i cui valori di riferimento sono riportati nella Tab. 4.2.VII delle NTC 2018.

Acciaio S275

| | |
|--|---|
| Resistenza caratteristica allo snervamento | $f_{yk} = 275 \text{ N/mm}^2$ per spessori $< 40 \text{ mm}$ |
| Resistenza caratteristica di rottura | $f_{tk} = 430 \text{ N/mm}^2$ per spessori $< 40 \text{ mm}$ |
| Coefficiente parziale di sicurezza dell'acciaio per resistenza e stabilità | $\gamma_{M0} = 1.05$ |
| Resistenza di calcolo SLU | $f_{yd} = f_{yk} / \gamma_{M0} = 275 / 1.05 = 261.9 \text{ N/mm}^2$ |
| Coefficiente di omogeneizzazione | $n = 15$ |
| Modulo elastico medio | $E_s = 210.000 \text{ N/mm}^2$ |
| Diagramma di calcolo sforzi – deformazioni ottenuto con diagramma elastico-perfettamente plastico: | ε_s (epsilon limite) $\varepsilon_{su} = 6.75\%$. |

Acciaio per viti e dadi classe 8.8

| | |
|--|--|
| Resistenza caratteristica allo snervamento | $f_{yb} = 640 \text{ N/mm}^2$ |
| Resistenza caratteristica di rottura | $f_{tb} = 800 \text{ N/mm}^2$ |
| Coefficiente parziale di sicurezza per bulloni | $\gamma_{M2} = 1.25$ |
| Resistenza di calcolo unioni bullonati | $f_d = f_{tb} / \gamma_{M2} = 800 / 1.25 = 640.0 \text{ N/mm}^2$ |

Per maggiori informazioni si rimanda all'elaborato "relazione sui materiali strutturali".

5. AZIONI AGENTI SULLA COSTRUZIONE

5.1. PREMESSA

Nel presente capitolo si valutano i parametri fondamentali per la “valutazione della sicurezza” ovvero per poter ricavare l’entità delle azioni in funzione del **periodo di riferimento**. Tali parametri vengono impiegati per tutte le strutture.

Successivamente si valutano le azioni “statiche” agenti sulle strutture in oggetto ovvero i carichi unitari “permanenti” e, successivamente, le azioni “variabili” derivanti dai sovraccarichi accidentali, neve e eventi sismici. Il tutto secondo le disposizioni del vigente D.M. 17.01.2018 NTC 2018.

5.2. VITA NOMINALE, CLASSI D'USO E PERIODO DI RIFERIMENTO

Le NTC 2018 al capitolo 2 definiscono i parametri necessari alla “valutazione della sicurezza” al variare dell’importanza della costruzione. In particolare vengono definiti i seguenti parametri attraverso i quali poter valutare il periodo di riferimento dell’azione sismica:

- **Vita nominale V_N** , inteso come il numero di anni in cui l’opera deve mantenere la sua funzione purché soggetta a manutenzione ordinaria. Tale parametro è indicato nella seguente tabella delle NTC 2018:

Tab. 2.4.I – Valori minimi della Vita nominale V_N di progetto per i diversi tipi di costruzioni

| TIPI DI COSTRUZIONI | | Valori minimi di V_N (anni) |
|---------------------|---|-------------------------------|
| 1 | Costruzioni temporanee e provvisorie | 10 |
| 2 | Costruzioni con livelli di prestazioni ordinari | 50 |
| 3 | Costruzioni con livelli di prestazioni elevati | 100 |

Nel caso di specie si ricade nel **tipo 1 “costruzioni temporanee e provvisorie”** per cui si assume **$V_N = 10$ anni**

- **Classe d’uso C_U** , definito come il parametro del rischio conseguente all’interruzione dell’attività svolta in caso di eventuale collasso. Tale parametro è indicato nella seguente tabella delle NTC 2018:

Tab. 2.4.II – Valori del coefficiente d’uso C_U

| CLASSE D’USO | I | II | III | IV |
|--------------------|-----|-----|-----|-----|
| COEFFICIENTE C_U | 0,7 | 1,0 | 1,5 | 2,0 |

Nel caso in esame si ricade nella *classe II: Costruzioni il cui uso preveda normali affollamenti, senza contenuti pericolosi per l’ambiente e senza funzioni pubbliche e sociali essenziali. Industrie*

con attività non pericolose per l'ambiente. Ponti, opere infrastrutturali, reti viarie non ricadenti in Classe d'uso III o in Classe d'uso IV, reti ferroviarie la cui interruzione non provochi situazioni di emergenza. Dighe il cui collasso non provochi conseguenze rilevanti, definita al §2.4.2. delle NTC 2018.

Sia assume pertanto $C_U = 1$.

Con tali parametri è possibile valutare il **periodo di riferimento dell'azione sismica** V_R definito al §2.4.3 delle NTC 2018 secondo la seguente relazione:

$$V_R = V_N \cdot C_U = 10 \cdot 1 = 10$$

5.3. ANALISI DEI CARICHI UNITARI

5.3.1. Impalcato di copertura

Permanenti strutturali G1

–Lamiera grecata coibentata 0.25 kN/m²

Permanenti portati G2

–Tetto verde sp. 10 cm (terreno + sedum) 0.80 kN/m²

–Argilla espansa sp. 5 cm 0.25 kN/m²

–Controsoffitto in doghe di alluminio + faretti 0.20 kN/m²

Accidentali Qk

– Categoria H: cop. non pratic. §Tab. 3.1II NTC 2018 0.50 kN/m²

5.3.2. Impalcato di primo calpestio

Permanenti strutturali G1

–Lamierino e pavimentazione 0.30 kN/m²

Permanenti portati G2

–Incidenza divisorio in materiale leggero 0.50 kN/m²

–

Accidentali Qk

– Categoria C1: ambienti suscettibili di affollamento. §Tab. 3.1II NTC 2018 3.00 kN/m²

5.3.3. Chiusure in vetro

Permanenti portati G2

–Chiusure verticali in vetro temperato sp. 1.20 cm 0.30 kN/m²

5.4. SOVRACCARICO DA NEVE

Il carico da neve che può depositarsi sulla copertura è stato valutato avvalendosi delle prescrizioni fornite dalle NTC 2018, al §3.4 ed utilizzando l'espressione [§3.4.1] di seguito riportata:

$$q_s = \mu_i \cdot q_{sk} \cdot C_E \cdot C_t$$

dove:

- q_s è il carico provocato dalla neve sulla copertura;
- q_{sk} è il carico da neve al suolo definita al §3.4.2 e pari a: $q_{sk} = 0.60 \text{ kN/m}^2$ per altitudini inferiori a 200 m dal livello del mare;
- μ_i è il coefficiente di forma della copertura definito al §3.4.3.1 e pari a: $\mu_i = 0.8$ per falde con inclinazione $\alpha < 30^\circ$ (§Tab. 3.4.II);
- C_E è il coefficiente di esposizione, definito al §3.4.4 e per una topografia normale relativa ad "aree in cui non è presente una significativa rimozione di neve sulla costruzione prodotta dal vento, a causa del terreno, altre costruzioni o alberi" è posto pari a $C_E = 1$;
- C_t è il coefficiente termico, definito al §3.4.5 posto pari a: $C_t = 1$.

Il valore caratteristico del carico da neve risulta essere:

$$q_s = \mu_i \cdot q_{sk} \cdot C_E \cdot C_t = 0.8 \cdot 0.6 \cdot 1 \cdot 1 = 0.48 \text{ kN/m}^2$$

5.5. AZIONE DEL VENTO

L'azione del vento è calcolata in accordo a quanto previsto al §3.3 delle NTC 2018.

La **velocità base di riferimento** v_b per il calcolo dell'azione del vento è ottenuta dalla Tab. 3.3.I delle NTC 2018 che per a.s.l.m. < 1000 m, come nel caso in esame atteso che l'altitudine è 47 m, è pari a:

$$v_b = v_{b0} \cdot c_a = 47 \cdot 1 = 27 \text{ m/s}$$

Tale parametro permette di valutare la **velocità di riferimento** v_r che per periodi di ritorno T_R pari a 10 anni, come nel caso in esame (cfr. §5.2), corrisponde a

$$v_r = 0.90 \cdot v_b$$

L'azione statica equivalente del vento è costituita da pressioni e depressioni calcolate con la seguente espressione definita al §3.3.4 delle NTC 2018:

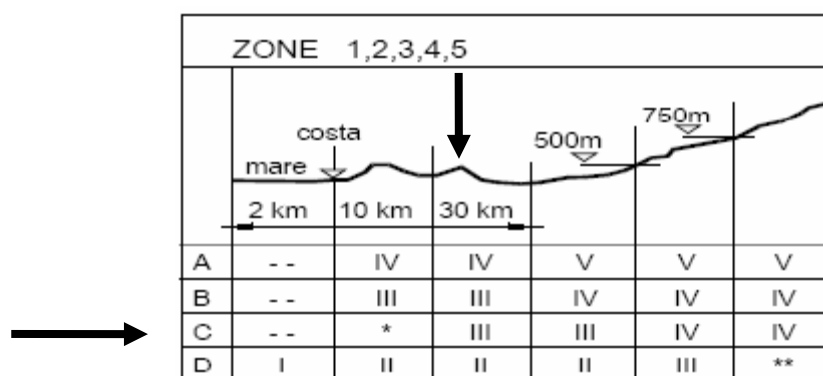
$$p = q_b \cdot c_e \cdot c_p \cdot c_d$$

- q_b è la pressione critica di riferimento, definita al §3.3.6 delle NTC 2018 e pari a:
$$q_b = 0.5 \cdot 1.25 \cdot v_r^2 = 0.5 \cdot 1.25 \cdot 0.90 \cdot 27^2 = 394 \text{ N/m}^2 = 0.39 \text{ kN/m}^2$$
- c_e è il coefficiente di esposizione, funzione della categoria di esposizione del sito su cui sorge la costruzione, della categoria di esposizione e della quota z di valutazione dell'azione

del vento. Nel caso specifico, si assume una classe di rugosità del terreno C (cfr. Tab 3.3.III NTC 2018 riportata di seguito), a cui corrisponde una categoria di esposizione III (cfr. Fig. 3.3.2 NTC 2018 riportata di seguito).

Tab. 3.3.III - Classi di rugosità del terreno

| Classe di rugosità del terreno | Descrizione |
|--------------------------------|---|
| A | Aree urbane in cui almeno il 15% della superficie sia coperto da edifici la cui altezza media superi i 15 m |
| B | Aree urbane (non di classe A), suburbane, industriali e boschive |
| → C | Aree con ostacoli diffusi (alberi, case, muri, recinzioni,...); aree con rugosità non riconducibile alle classi A, B, D |
| D | a) Mare e relativa fascia costiera (entro 2 km dalla costa); b) Lago (con larghezza massima pari ad almeno 1 km) e relativa fascia costiera (entro 1 km dalla costa) c) Aree prive di ostacoli o con al più rari ostacoli isolati (aperta campagna, aeroporti, aree agricole, pascoli, zone paludose o sabbiose, superfici innevate o ghiacciate,) |



Per tali categorie, per quote z inferiori a 5 m, risulta:

$$c_e = c_e(z_{\min}) = k_r^2 \cdot \ln(z_{\min}/z_0) \cdot [7 + \ln(z_{\min}/z_0)] = 0.20^2 \cdot \ln(5/0.1) \cdot [7 + \ln(5/0.1)] = 1.80$$

in cui k_r , z_{\min} , e z_0 sono valori tabellati (cfr. Tab. 3.3.II NTC 2008) in funzione della categoria di esposizione.

Per quote $z > z_{\min}$, l'espressione varia al variare della quota. L'espressione da impiegare è la medesima sostituendo a z_{\min} il valore z di riferimento.

Tab. 3.3.II - Parametri per la definizione del coefficiente di esposizione

| Categoria di esposizione del sito | K_r | z_0 [m] | z_{\min} [m] |
|-----------------------------------|-------|-----------|----------------|
| I | 0,17 | 0,01 | 2 |
| II | 0,19 | 0,05 | 4 |
| → III | 0,20 | 0,10 | 5 |
| IV | 0,22 | 0,30 | 8 |
| V | 0,23 | 0,70 | 12 |

- c_p è il coefficiente di forma, pari a 0.8 facce sopravento, -0.5 per facce sottovento, il tutto assumendo un rapporto h/d unitario (cfr. §C3.3.8.1.1 circolare NTC 2018).

Con questi parametri, il software di calcolo impiegato calcola la pressione caratteristica del vento al variare della quota z per superfici sopravento e sottovento.

5.6. AZIONE SISMICA

Le azioni sismiche di riferimento vengono valutate a partire dalla pericolosità sismica di base in funzione della sismicità del sito di costruzione e delle caratteristiche stratigrafiche e topografiche del sito stesso. Questi parametri permettono di costruire spettri elastici di risposta in accelerazione con riferimento a determinate probabilità di superamento P_{VR} di stati limite.

Di seguito vengono definiti gli stati limite di riferimento e, successivamente, gli spettri elastici e di progetto per valutare l'entità delle azioni sismiche.

5.6.1. Stati limite di riferimento

Il periodo di riferimento dell'azione sismica V_R (calcolata al §5.2) permette di determinare i parametri necessari alla definizione dello spettro elastico di riferimento al sito per gli stati limite di riferimento. Per le verifiche della struttura in oggetto, si prendono a riferimento i seguenti stati limite in accordo alle NTC 2018:

- SLV: Stato limite di salvaguardia della vita (stato limite ultimo);
- SLD: Stato limite di danno (stato limite di esercizio).

Di seguito si riportano i valori delle probabilità di superamento dell'azione sismica P_{VR} per il periodo di riferimento V_R ed il periodo di ritorno T_R dell'azione sismica per gli stati limite appena definiti, desunti rispettivamente dalla Tab. 3.2.I e dall'espressione [3.2.0] delle NTC 2018.

| Stati limite | P_{VR} [%] | T_R [anni] |
|--------------|--------------|--------------|
| SLV | 10% | 332 |
| SLD | 63% | 35 |

5.6.2. Categorie di sottosuolo e topografia dell'area

Ai fini della valutazione dell'azione sismica locale, è necessario definire le caratteristiche del sottosuolo e della topografia dell'area di sedime della struttura. Si assume una **categoria C del sottosuolo** (§Tab. 3.2.II NTC 2018) ed una **categoria topografica T1** (Tab.3.2.III NTC 2018).

5.6.3. Spettro di risposta elastico in accelerazione

Con i parametri definiti al §5.6.1 e §5.6.2 è possibile determinare i parametri necessari alla costruzione degli spettri elastici in funzione degli stati limite di riferimento.

La struttura in oggetto sarà realizzata nel Comune di Napoli, con coordinate:

- Latitudine 40.839996 deg
- Longitudine 14.252871 deg
- Altitudine sul livello del mare 17.0 m

Con le coordinate del sito è possibile individuare i parametri spettrali a_g , F_0 e T^*_C per ciascuno stato limite ed attraverso le relazioni fornite al §3.2 i parametri necessari a tener conto delle categorie di sottosuolo e topografia. Di seguito si riporta una tabella sintetica dei valori ottenuti:

| Stati limite | S_S | S_T | S | C_C | a_g [g] | F_0 | T^*_C |
|--------------|-------|-------|------|-------|-----------|-------|---------|
| SLV | 1.49 | 1.00 | 1.49 | 1.668 | 0.146 | 2.35 | 0.336 |
| SLD | 1.50 | 1.00 | 1.50 | 1.617 | 0.049 | 2.34 | 0.289 |

Con i parametri mostrati e le espressioni indicate al §3.2.3.2.1 delle NTC 2018 è possibile definire le forme spettrali elastiche sul suolo di riferimento, mostrate in Figura Errore: sorgente del riferimento non trovata.1.

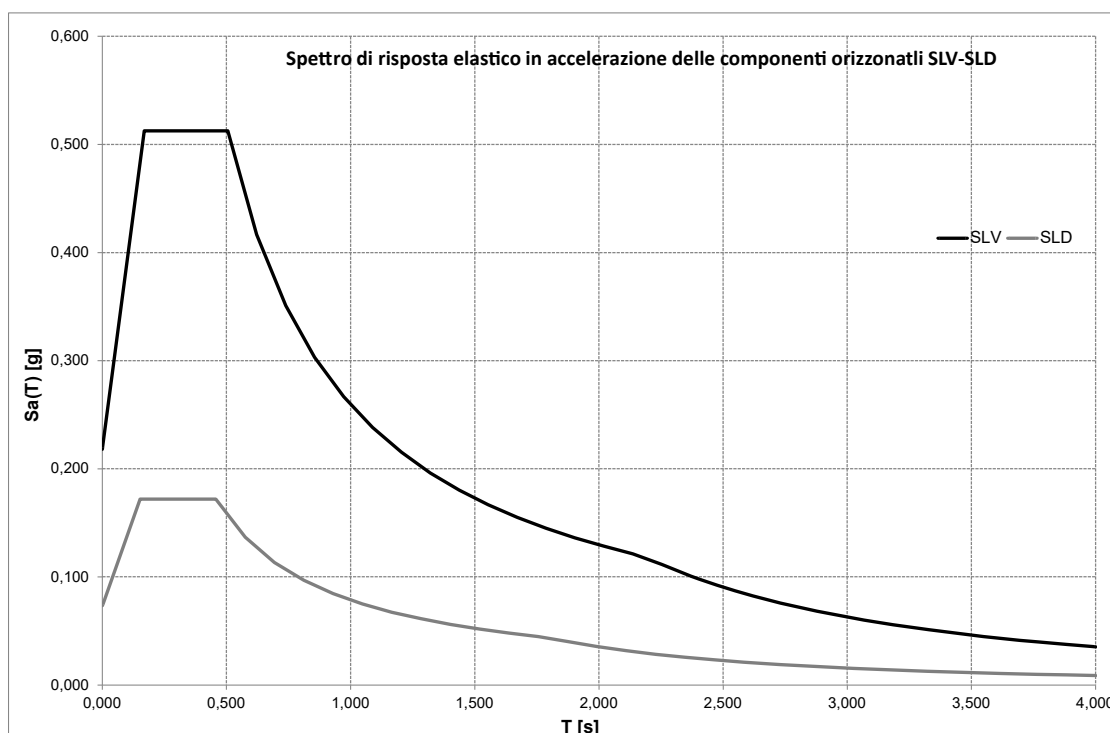


Figura Errore: sorgente del riferimento non trovata.1: Spettri di risposta elastici delle componenti orizzontali per gli stati limite di riferimento.

5.7. REGOLARITÀ DELLA STRUTTURA

La regolarità strutturale è definita al §7.2.1 delle NTC 2018 come un parametro teso a garantire un comportamento iperstatico della struttura. Essa viene suddivisa in regolarità in pianta ed in

elevazione se sono rispettati alcuni parametri indicati nello stesso paragrafo. La struttura in esame è composta di un solo livello ed è simmetrica sui due assi, pertanto risulta **regolare in pianta ed in elevazione**.

5.8. ANALISI IMPIEGATA PER LA MODELLAZIONE DELL'AZIONE SISMICA ED IL COMPORTAMENTO STRUTTURALE DELLA COSTRUZIONE E CLASSE DI DUTTILITÀ

Lo SLV è uno stato limite in cui la struttura è chiamata a rispondere in campo non lineare per far fronte ad azioni sismiche molto severe.

Nel progetto il modello di calcolo adoperato è di tipo lineare, mediante **analisi modale con spettro di risposta** ed il comportamento dissipativo della struttura è tenuto in conto attraverso un fattore riduttivo, definito “fattore di comportamento” (cfr. paragrafo seguente), della domanda sismica rappresentata dallo spettro di risposta con riferimento al sito di costruzione.

La costruzione viene progettata come non dissipativa §7.2.2 delle NTC 2018.

5.9. FATTORE DI COMPORTAMENTO E SPETTRO DI PROGETTO

Di seguito si definisce il fattore di comportamento q secondo quanto indicato al §3.2.3.5 delle NTC 2018 necessario per tener conto del comportamento non lineare della costruzione durante eventi sismici attraverso una riduzione delle ordinate spettrali calcolate al §5.6.3.

In particolare si impiega un fattore di comportamento:

$$q = 1.50$$

Di seguito si mostra lo **spettro allo SLV di progetto**:

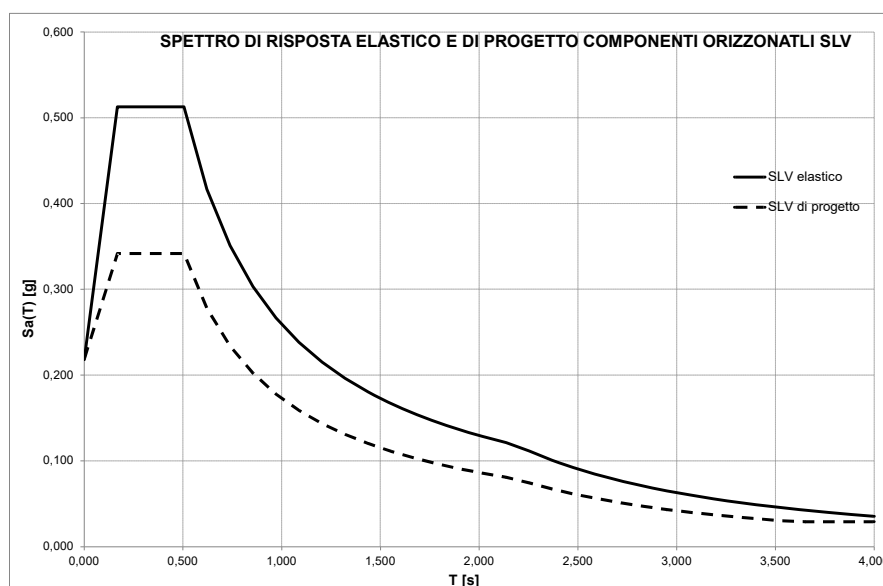


Figura Errore: sorgente del riferimento non trovata.2: Spettri di risposta elastici e di progetto delle componenti orizzontali SLV.

5.10. COMBINAZIONE DELLE AZIONI

Di seguito si mostrano le verifiche strutturali relative alla condizione più sfavorevoli, per le combinazioni di carico agli SLU e SLE per le azioni definite ai paragrafi precedenti (§5.3 al §5.9).

5.10.1. Combinazioni SLU

Con riferimento al §2.5.3 del D.M. 17.01.2018, si utilizza la combinazione fondamentale allo Stato Limite Ultimo (SLU) definita genericamente:

$$\gamma_{G1} \cdot G_1 + \gamma_{G2} \cdot G_2 + \gamma_{Qi} \cdot Q_i + \psi_{0i}$$

In cui:

G_1 è il valore caratteristico del carico permanente strutturale;

γ_{G1} è il valore del coefficiente parziale delle azioni, necessario per passare dai valori caratteristici dei carichi permanenti strutturali ai valori di progetto, pari ad 1.3 (§Tab. 2.6.I NTC 2018);

G_2 è il valore caratteristico del carico permanente non strutturale;

γ_{G2} è il valore del coefficiente parziale delle azioni, necessario per passare dai valori caratteristici dei carichi permanenti strutturali ai valori di progetto, pari ad 1.3 atteso che i carichi permanenti non strutturali sono compiutamente definiti (§Tab. 2.6.I NTC 2018);

Q_{ki} è il valore caratteristico dei sovraccarichi prodotti dalle azioni: carichi accidentali, neve, ecc.

γ_{Qi} è il valore del coefficiente parziale delle azioni, necessario per passare dai valori caratteristici dei sovraccarichi ai valori di progetto, pari ad 1.5 (§Tab. 2.6.I NTC 2018).

ψ_{0i} è il valore del coefficiente di combinazione, definito in funzione del tipo di azione e di costruzione (§Tab. 2.5.I NTC 2018):

| Categoria/Azione | ψ_{0i} |
|--|-------------|
| Categoria C: ambienti suscettibili di affollamento | 0.7 |
| Categoria H: Coperture non praticabili | 0.0 |
| Vento | 0.6 |
| Neve (a.s.l.m. < 1000m) | 0.5 |

Combinando i coefficienti parziali definiti in modo da massimizzare le sollecitazioni si ottengono le diverse combinazioni di carico da impiegare per le verifiche agli SLU.

5.10.2. Combinazioni sismiche SLV - SLD

Con riferimento al §2.5.3 del D.M. 17.01.2018, si utilizza la combinazione sismica delle azioni per le verifiche allo Stato Limite di Salvaguardia della Vita (SLV) e Stato Limite di Danno (SLD):

$$G_1 + G_2 + E + \gamma_{Qi} \cdot Q_i \cdot \psi_{2i}$$

In cui, oltre al significato dei parametri G_1 , G_2 e Q_i già chiarito al paragrafo precedente, si ha:

E indica l'azione indotta dal sisma nelle due direzioni principali denominate 'x' e 'y' e relative eccentricità di applicazione ;

ψ_{2i} è il valore del coefficiente di combinazione, definito in funzione del tipo di azione e di costruzione (§Tab. 2.5.I NTC 2018):

| Categoria/Azione | ψ_{2i} |
|--|-------------|
| Categoria C: ambienti suscettibili di affollamento | 0.6 |
| categoria H: Coperture non praticabili | 0.0 |
| Vento | 0.0 |
| Neve (a.s.l.m. < 1000m) | 0.0 |

5.10.3. Combinazioni SLE

Con riferimento al §2.5.3 del D.M. 17.01.2018, si utilizza la combinazione caratteristica delle azioni (rara) per le verifiche allo Stato Limite di Esercizio (SLE):

$$G_1 + G_2 + Q_i \cdot \psi_{0i}$$

In cui i coefficienti hanno lo stesso significato di cui ai paragrafi precedenti.

N.B. tutte le combinazioni di carico definite, sono state eseguite in automatico dal software di calcolo impiegato per le calcolazioni numeriche e riportate nei tabulati di calcolo.

6. MODELLAZIONE DELLE STRUTTURE

6.1. Software impiegato

Per l'analisi delle sollecitazioni e per le verifiche delle sezioni si è utilizzato il software Jasp[®] versione 7.1.49 (64 bit) , realizzato dall'ing. Silvestro Giordano, registrato presso la SIAE il 25/09/2012 col n° 008544, e distribuito da Ingegnerianet srl (CF: 06536761213) mediante il sito internet www.ingegnerianet.it

Il software è orientato all'analisi degli edifici multipiano in calcestruzzo armato, acciaio e legno. L'individuazione dei nodi nello spazio avviene con il sistema *fili-piani*. I fili o montanti sono individuati dalle coordinate (x,y) e indicano le rette verticali lungo le quali vengono disposti i pilastri. I piani sono individuati dalla loro quota z e specificano gli orizzontamenti in cui sono disposte le travi.

| | |
|---------------------------|-----------------------------|
| Software impiegato | Jasp (www.ingegnerianet.it) |
| Versione | 7.149 64 bit |
| Licenza n. | 49-2015 |
| Asseganta a: | ing. Marcello Pellecchia |
| Casa produttrice software | IngegneriaNet S.r.l. |

6.2. Affidabilità del software

Il sito internet di distribuzione del software www.ingegnerianet.it contiene una esauriente descrizione delle basi teoriche e degli algoritmi impiegati, l'individuazione dei campi d'impiego, nonché casi prova interamente risolti e commentati, per i quali sono forniti i file di input necessari a riprodurre l'elaborazione.

6.3. Modellazione delle strutture

È stato realizzato un **modello tridimensionale lineare agli elementi finiti**. Le colonne e le travi sono state modellate come elementi monodimensionali (beam) con opportune cerniere (rilasci) secondo le ipotesi di vincolo adottate.

I carichi indotti dal peso proprio dei materiali sono in automatico calcolate dal programma. A ciascun materiale sono stati assegnati i parametri meccanici in accordo alle NTC 2018.

Sono stati quindi assegnati i carichi agenti, sintetizzati nel paragrafo §5 della presente relazione, assegnati come carichi superficiali e lineari e create automaticamente dal software le relative combinazioni di carico ai sensi delle NTC 2018.

Gli impalcati sono stati modellati impiegando membrane con opportuna rigidità nel proprio piano. La struttura sarà dotata in testa a ciascun montante di golfari per il sollevamento e spostamento della stessa. Pertanto si sono realizzati due diversi modelli di calcolo per la verifica della struttura in condizioni ordinarie e durante il sollevamento. La differenza tra le due casistiche, oltre che nelle combinazioni delle azioni, consiste nella definizione dei vincoli: nel primo caso al piede dei pilastri, nel secondo caso in testa agli stessi. In coda alla presente relazione, onde non appesantire il documento, si riportano i soli tabulati di calcolo relativi alla struttura in condizioni ordinarie di funzionamento, che rappresentano il caso che determina le sollecitazioni più gravose.

6.3.1. Modellazione della struttura

Di seguito si mostrano due viste del modello dell'info point, modellato secondo quanto definito al §6.3.

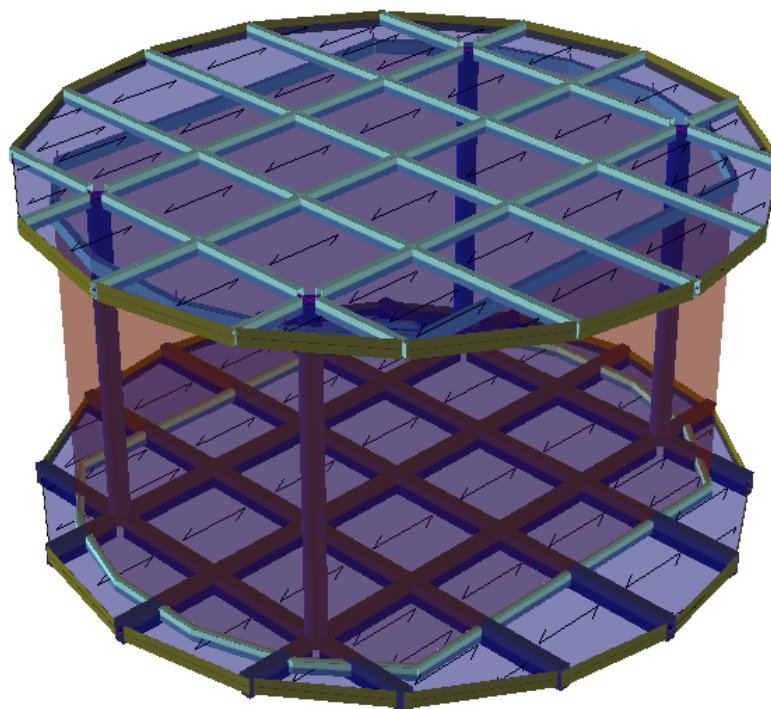


Figura Errore: sorgente del riferimento non trovata.3: *Vista tridimensionale della struttura*

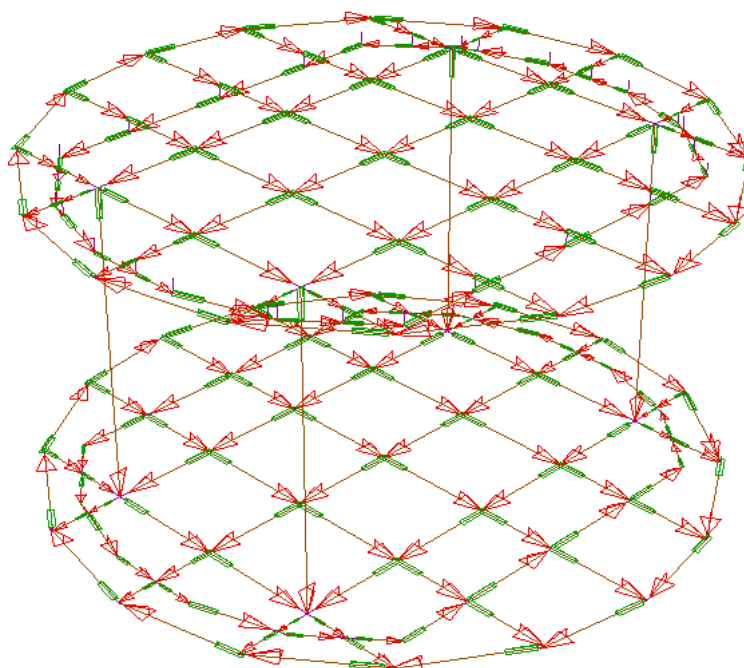


Figura Errore: sorgente del riferimento non trovata.4: *Vista tridimensionale del modello agli elementi finiti della struttura.*

6.4. Analisi sismica di progetto per la struttura

L'azione sismica agente è stata valutata mediante **analisi lineare dinamica** secondo quanto definito al §7.3.3.1 delle NTC 2018. L'analisi dinamica lineare consiste in:

- determinazione dei modi di vibrare della costruzione (analisi modale);

- calcolo degli effetti dell'azione sismica, rappresentata dallo spettro di risposta di progetto, per ciascuno dei modi di vibrare individuati;
- combinazione di questi effetti;

La normativa prescrive che devono essere considerati tutti i modi con massa partecipante significativa. È opportuno a tal riguardo considerare tutti i modi con massa partecipante superiore al 5% e comunque un numero di modi la cui massa partecipante totale sia superiore all'85%.

Per la combinazione degli effetti relativi ai singoli modi deve essere utilizzata una combinazione quadratica completa degli effetti relativi a ciascun modo, quale quella indicata nell'espressione seguente:

$$E = \sqrt{\sum_j \sum_i \rho_{ij} \cdot E_i \cdot E_j}$$

con:

E_j valore dell'effetto relativo al modo j ;

ρ_{ij} coefficiente di correlazione tra il modo i e il modo j , calcolato con formule di comprovata validità quale:

$$\rho_{ij} = \frac{8\xi^2\beta_{ij}^{3/2}}{(1+\beta_{ij}) \cdot [(1-\beta_{ij})^2 + 4\xi^2\beta_{ij}]}$$

dove:

ξ_j smorzamento viscoso dei modi di vibrare;

β_{ij} è il rapporto tra l'inverso dei periodi di ciascuna coppia i - j di modi ($\beta_{ij} = T_j/T_i$).

Per tenere conto della variabilità spaziale del moto sismico, nonché di eventuali incertezze, deve essere attribuita al centro di massa un'eccentricità accidentale rispetto alla sua posizione quale deriva dal calcolo. Pertanto è stata considerata un'eccentricità accidentale in ogni direzione non pari a 0,05 volte la dimensione media dell'edificio misurata perpendicolarmente alla direzione di applicazione dell'azione sismica. Essa viene tenuta in conto inserendo a ciascun nodo del modello coppie torcenti aggiuntive alle normali sollecitazioni,

La risposta alle diverse componenti dell'azione sismica ed alla variabilità spaziale del moto, ai sensi del punto 7.3.5 del D.M. 17.01.2018, può essere calcolata separatamente per ciascuna delle due componenti (la componente verticale viene esclusa in quanto non ricorrono le condizioni definite al §7.2.2 delle NTC 2018); e combinati successivamente, applicando la seguente espressione:

$$1,00 \cdot E_x + 0,30 \cdot E_y$$

con rotazione dei coefficienti moltiplicativi e conseguente individuazione degli effetti più gravosi.

La componente verticale non viene tenuta in conto in quanto non necessario.

7. VERIFICHE STRUTTURALI

In accordo alle NTC 2018 con i risultati forniti dal modello agli elementi finiti descritto al paragrafo precedente sono state eseguite le seguenti verifiche delle strutture di fondazione ed in elevazione mediante il post processore di calcolo del software. Di seguito si descrivono le verifiche “globali” svolte per l’intera struttura e per singoli elementi strutturali.

7.1. Non linearità geometriche

La non linearità geometrica può essere trascurata, valutando il fattore θ definito al §7.3.1 delle NTC 2018 come:

$$\theta = \frac{P \cdot d_{Er}}{V \cdot h}$$

In cui:

- P è il carico verticale totale dovuto all’orizzontamento in esame e alla struttura ad esso sovrastante;
- d_{Er} è lo spostamento orizzontale medio d’interpiano allo SLV, ottenuto come differenza tra lo spostamento orizzontale dell’orizzontamento considerato e lo spostamento orizzontale dell’orizzontamento immediatamente sottostante, entrambi valutati come indicato al §7.3.3.3;
- V è la forza orizzontale totale in corrispondenza dell’orizzontamento in esame, derivante dall’analisi lineare con fattore di comportamento q ;
- h è la distanza tra l’orizzontamento in esame e quello immediatamente sottostante.

La verifica è soddisfatta qualora il fattore θ risulti inferiore a 0,1. In tal caso le non linearità geometriche possono essere escluse dal calcolo.

Questa verifica è stata svolta con l’ausilio del software ed i risultati sono riportati nell’elaborato tabulati di calcolo.

7.2. Verifica di rigidezza (Stato limite di danno – SLD)

La verifica di rigidezza sulla struttura ai sensi del §7.3.6.1 delle NTC 2018 è eseguita verificando che gli spostamenti di interpiano per stato limite di danno (SLD) siano inferiori ai al seguente limite:

$$d_r < 0.0050 h$$

In cui:

- d_r è lo spostamento di interpiano, cioè la differenza tra gli spostamenti del solaio superiore e del solaio inferiore;
- h è l'altezza del piano considerato.

La verifica di rigidezza alla SLD viene svolta dal software, che per tutti i nodi del modello verifica che la suddetta disuguaglianza sia verificata, ed i risultati sono riportati nell'elaborato tabulati di calcolo.

7.1. Verifica del piano di posa della struttura

La struttura oggetto della presente istanza è di modestissima entità.

Essa avrà un'area di circa 28.30 m² e sarà semplicemente appoggiata al suolo.

Di seguito si valutano gli scarichi in condizione di esercizio quasi permanente della struttura (combinazione 5):

| NODO | Sollecitazione [kN] |
|------|------------------------|
| 7 | 41.3 |
| 11 | 41.3 |
| 21 | 43.2 |
| 25 | 43.2 |
| TOT. | 169.0 |

L'info point ha una superficie di 28.30 m² pertanto la tensione media sul piano di appoggio della struttura risulta essere pari a 0.006 N/mm², ovvero 0.06 kg/cm².

Tale tensione risulta esigua e pertanto facilmente estendibile a qualsiasi piano di appoggio purché piano, stabile, compattato e non soggetto a fenomeni di dilavamento.

7.1.1. Verifica a ribaltamento della struttura

Come anticipato, l'info-point sarà semplicemente poggiato al suolo in quanto struttura provvisoria. Tale verifica pertanto consiste nel controllare che le sollecitazioni orizzontali non ribaltino la struttura: vento e sisma. Tra queste due, la più gravosa risulta l'azione sismica che determina il seguente tagliante di piano:

Ripartizione forze sismiche

| Azione | Piano | Sisma | Tagliante Di Piano [kN] |
|--------|-------|-------|----------------------------|
| 16 | 1 | X | 47.3 |
| 18 | 1 | Y | 47.3 |

Il momento ribaltante risulta pertanto essere pari al 100% dell'azione sismica in una direzione + il 30% nella direzione ortogonale per l'altezza della struttura:

$$M_{rib} = (47.3 + 0.3 \cdot 47.3) \cdot 2.92 = 179.55 \text{ kNm}$$

L'azione stabilizzante, volendo trascurare l'attrito con il piano di posa della struttura, è dato dalle sollecitazioni statiche in condizioni quasi permanenti, pari a 169 kN (si veda §7.1) che, ipotizzando siano concentrate nel baricentro della struttura (ipotesi valida attesa la presenza di un grigliato di scatolari al piede della struttura), con braccio pari al raggio di 3.00 m, genera un'azione stabilizzante pari a:

$$M_{stab} = 169.00 \cdot 3.00 = 507 \text{ kNm} > M_{rib} - \text{verifica soddisfatta.}$$

7.2. Verifica elementi strutturali

Con le sollecitazioni ottenute dalla combinazione delle azioni descritte al §5.10, si procede alla verifica degli elementi strutturali. Di seguito si descrivono le verifiche eseguite con l'ausilio del software di calcolo ai sensi del D.M. 17/01/2018 NTC 2018.

7.2.1. Verifiche elementi in acciaio

La verifica degli elementi in acciaio è fatta come indicato nel §4.2 NTC18 e §C4.2 della relativa Circolare NTC18. La simbologia utilizzata nelle tabelle della presente relazione fa riferimento ai suddetti paragrafi.

La classificazione delle sezioni in acciaio è fatta come indicato nelle Tabelle 4.2.III÷V delle NTC18.

Per le sezioni di classe 1 e 2 la verifica è effettuata in campo plastico o in alternativa in campo elastico nei punti significativi della sezione utilizzando la [4.2.4] delle NTC18. Per le sezioni in classe 3 o 4 la verifica è effettuata in campo elastico.

7.2.2. Collegamento giunto trave-trave 120x60x3

Il presente collegamento è realizzato con una piastra, con sezione 160x120 sp. 6 mm, saldata all'estremità di ciascuna trave di copertura (si veda elaborato grafico). Tutte le travi hanno sezione scatolare rettangolare sezione 120x60x3 mm in acciaio S275JR. Il collegamento avviene mediante n. 4 bulloni M16 classe 8.8.

Le massime sollecitazioni agenti risultano pari a:

$$M_{Ed-max} = 3.00 \text{ kNm}$$

$$V_{Ed-max} = 8.14 \text{ kN}$$

Verifica a taglio bulloni

$$V_{\text{Ed-max bullone}} = V_{\text{max-Ed}} / n = 2.04 \text{ kN}$$

con n pari al numero di bulloni = 4

$$M_{\text{max-Ed bullone}} = M_{\text{max-Ed}} / \sum y_i^2 \cdot y_{\text{max}} = 3.00 / (2 \cdot 0.03^2) \cdot 0.03 = 50 \text{ kN}$$

In cui y_i sono le distanze tra il baricentro della squadretta e gli assi dei singoli fori. y_{max} è la distanza massima. In tal caso $y_{\text{max}} = 30 \text{ mm}$.

$$F_{\text{Ed-max bullone}} = (V_{\text{Ed-max bullone}}^2 + M_{\text{max-Ed bullone}}^2)^{0.5} / 2 = 50.04 \text{ kN}$$

con 2 pari al n. di sezioni di taglio del gambo del bullone.

$$F_{\text{VRd bulloni M16 8.8}} = 0.6 \cdot f_{\text{tbk}} \cdot A_{\text{res}} / \gamma_{\text{M2}} = 0.6 \cdot 800 \cdot 157 / 1.25 = 60.29 \text{ kN}$$

Verifica soddisfatta: $F_{\text{VRd bulloni M16 8.8}} > F_{\text{Ed-max bullone}}$

Verifica a taglio piastra

Per la verifica a taglio utilizziamo l'espressione 4.2.17 delle NTC2018 tenendo conto della presenza dei fori e quindi utilizzando l'area netta dei piatti di collegamento.

$$V_{\text{Rd}} = A_{\text{v,netta}} \cdot f_{\text{yk}} / (\gamma_{\text{M0}} \cdot 3^{0.5}) = (120 \cdot 6 - 4 \cdot 18 \cdot 6) \cdot 275 / (1.25 \cdot 3^{0.5}) = 36.58 \text{ kN}$$

Verifica soddisfatta: $V_{\text{Rd}} > V_{\text{max-Ed}} = 3.00 \text{ kN}$

Verifica a rifollamento piastra

| DATI BULLONE | | | | | | | | |
|---------------------------------|----------------------------|---------------------------|----------------------|-------------------------|---------------------------|---------|----------------------|---------|
| ϕ Bullone | ϕ foro - d_0 | Acciaio | f_{yb} | f_{tb} | Area di calcolo | | γ_{M2} | |
| [mm] | [mm] | [-] | [MPa] | [MPa] | Area gambo netta | | [-] | |
| M16 | 18 | 8.8 | 640 | 800 | 157,00 | | 1,25 | |
| DATI PIASTRA COLLEGATA | | | | | | | | |
| SEZIONE | Sp. Piastra collegata [mm] | Acciaio Piastra collegata | f_{yk} | f_{tk} | e1 [mm] | p1 [mm] | e2 [mm] | p2 [mm] |
| Tab. 4.2.I NTC 2018 | | | [MPa] | [MPa] | Tab. 4.2.XVIII NTC 2018 | | | |
| aperta | 8 | S275 | 275 | 430 | 30 | 60 | 40 | 60 |
| VERIFICA A RIFOLLAMENTO PIASTRA | | | | | | | | |
| α_{bordo} | α_{interno} | k_{bordo} | k_{interno} | $F_{\text{b,Rd-bordo}}$ | $F_{\text{b,Rd-interno}}$ | | | |
| [-] | [-] | [-] | [-] | [kN] | [kN] | | | |
| 0,556 | 0,861 | 2,50 | 2,50 | 142,22 | 220,44 | | | |

Verifica soddisfatta: $F_{\text{b,Rd}} = 142 \text{ kN} > F_{\text{Ed-max bullone}} = 50.04 \text{ kN}$

7.2.3. Collegamento colonne – grigliato di base

Il collegamento è realizzato con una piastra con sezione circolare $\phi 320$ sp. 10 mm, saldata in officina all'estremità di montante. E collegata mediante n. 4 bulloni M20 classe 8.8 alla grigliato inferiore.

Il collegamento risulta sollecitato da momento flettente e taglio nelle due direzioni, mentre si trascura, a vantaggio di sicurezza, l'effetto determinato dallo sforzo normale.

Le massime sollecitazioni agenti, date dalla combinazione quadratica delle sollecitazioni agenti nelle due direzioni, risultano pari a:

$$M_{Ed-max} = 8.34 \text{ kNm}$$

$$V_{Ed-max} = 6.08 \text{ kN}$$

Verifica a taglio bulloni

$$V_{Ed-max \text{ bullone}} = V_{max-Ed} / n = 1.52 \text{ kN}$$

con n pari al numero di bulloni = 4

$$M_{max-Ed \text{ bullone}} = M_{max-Ed} / \sum y_i^2 \cdot y_{max} = 8.34 / (2 \cdot 0.12^2 \cdot 0.12) = 34.75 \text{ kN}$$

In cui y_i sono le distanze tra il baricentro della piastra e gli assi dei singoli fori. y_{max} è la distanza massima. In tal caso $y_{max} = 120 \text{ mm}$.

$$F_{Ed-max \text{ bullone}} = (V_{Ed-max \text{ bullone}}^2 + M_{max-Ed \text{ bullone}}^2)^{0.5} = 34.78 \text{ kN}$$

$$F_{VRd \text{ bulloni M20 8.8}} = 0.6 \cdot f_{tbk} \cdot A_{res} / \gamma_{M2} = 0.6 \cdot 800 \cdot 245 / 1.25 = 94.08 \text{ kN}$$

Verifica soddisfatta: $F_{VRd \text{ bulloni M16 8.8}} > F_{Ed-max \text{ bullone}}$

Verifica a taglio piastra

Per la verifica a taglio utilizziamo l'espressione 4.2.17 delle NTC2018 tenendo conto della presenza dei fori e quindi utilizzando l'area netta dei piatti di collegamento.

$$V_{Rd} = A_{v,netta} \cdot f_{yk} / (\gamma_{M0} \cdot 3^{0.5}) = (320 \cdot 10 - 4 \cdot 22 \cdot 10) \cdot 275 / (1.25 \cdot 3^{0.5}) = 294.69 \text{ kN}$$

Verifica soddisfatta: $V_{Rd} > V_{max-Ed} = 1.52 \text{ kN}$

Verifica a rifollamento piastra

| DATI BULLONE | | | | | | | | |
|---------------------------------|----------------------------|---------------------------|---------------|------------------|-------------------------|---------|---------------|---------|
| ϕ Bullone | ϕ foro - d_0 | Acciaio | f_{yb} | f_{tb} | Area di calcolo | | γ_{M2} | |
| [mm] | [mm] | [-] | [MPa] | [MPa] | Area gambo netta | | [-] | |
| M20 | 22 | 8.8 | 640 | 800 | 245,00 | | 1,25 | |
| | | | | | | | | |
| DATI PIASTRA COLLEGATA | | | | | | | | |
| SEZIONE | Sp. Piastra collegata [mm] | Acciaio Piastra collegata | f_{yk} | f_{tk} | e1 [mm] | p1 [mm] | e2 [mm] | p2 [mm] |
| Tab. 4.2.I NTC 2018 | | | [MPa] | [MPa] | Tab. 4.2.XVIII NTC 2018 | | | |
| aperta | 10 | S275 | 275 | 430 | 40 | 120 | 40 | 120 |
| | | | | | | | | |
| VERIFICA A RIFOLLAMENTO PIASTRA | | | | | | | | |
| α_{bordo} | $\alpha_{interno}$ | k_{bordo} | $k_{interno}$ | $F_{b,Rd-bordo}$ | $F_{b,Rd-interno}$ | | | |
| [-] | [-] | [-] | [-] | [kN] | [kN] | | | |
| 0,606 | 1,000 | 2,50 | 2,50 | 242,42 | 400,00 | | | |

Verifica soddisfatta: $F_{b,Rd} = 242.42 \text{ kN} > F_{Ed-max \text{ bullone}} = 94.08 \text{ kN}$

8. TABULATI DI CALCOLO

– Dati generali Struttura

| | |
|-----------------------|----------------|
| • Comune: | Salerno |
| • Provincia: | Salerno (SA) |
| • Latitudine [°]: | 40.37 |
| • Longitudine [°]: | 14.54 |
| • Altitudine [m]: | 27 |
| • Tipo di opera: | 1: Provvisoria |
| • Vita nominale anni: | 10 |

– Vento

| | |
|---------------------------------------|------------------------------|
| • Zona vento: | 3 |
| • Distanza dalla costa [Km]: | 0.23 |
| • Coefficiente dinamico: | 1 |
| • Quota relativa allo zero vento [m]: | 0 |
| • Periodo di ritorno [anni]: | 50 |
| • Pressione di riferimento [N/m²]: | 455.96 |
| • Coefficiente di esposizione:: | |
| – Classe rugosità: | B: Area urbana e industriale |
| – Categoria esposizione: | III |
| – Coefficiente topografico: | 1 |
| – ce max: | 1.7075 |
| – ce min: | 1.7075 |
| • Coefficienti di forma:: | |
| – cp sopravventoX: | 0.74539 |
| – cp sottoventoX: | -0.39078 |
| – cp sopravventoY: | 0.75787 |
| – cp sottoventoY: | -0.41574 |
| – h* sottovento: [m]: | 2.92 |

– Neve

| | |
|------------------------------|---------|
| • Zona neve: | III |
| • Periodo di ritorno [anni]: | 10 |
| • Neve al suolo qsk [N/m²]: | 600 |
| • Topografia: | Normale |
| • Coefficiente topografia: | 1 |
| • Coefficiente termico: | 1 |

– Sisma

| | |
|---|----------------------------|
| • Zona sisma: | 2: medio-alta |
| • Codice zona regionale: | 2 |
| • Classe Uso: | II: Affollamento normale |
| • Coefficiente d'uso Cu: | 1 |
| • Periodo di riferimento [anni]: | 35 |
| • Quota relativa allo zero sismico [m]: | 0 |
| • Smorzamento viscoso ξ[%]: | 5 |
| • Risposta locale Sisma: | |
| – Categoria Sottosuolo: | C: 180m/s < Vs,30 < 360m/s |
| – Categoria Topografica: | T1: Pianeggiante (i<15°) |

– Fattore di struttura

| | |
|---|-------------------|
| • Duttilità: | Non Dissipativa |
| • Regolarità altezza: | Regolare |
| • Regolarità in pianta: | Regolare |
| • Fattore di Struttura SLV Direzione X: | |
| – Materiale dir X: | Acciaio |
| – Tipologia dir X: | Telai di un piano |
| – Fattore di struttura qx: | 1.5 |
| – q Non Dissipativo x: | 1.5 |
| • Fattore di Struttura SLV Direzione Y: | |
| – Materiale dir Y: | Acciaio |
| – Tipologia dir Y: | Telai di un piano |
| – Fattore di struttura qy: | 1.5 |
| – q Non Dissipativo y: | 1.5 |
| • Fattore di struttura qz: | 1.5 |
| • Fattore di struttura SLD: | 1 |
| • Verifica fattore di struttura: | Si |

– Sisma: Parametri ag, Fo, Tc*

| Stato Limite | Pvr[%] | Tr | ag/g | Fo | Tc*[s] |
|--------------|--------|--------|----------|--------|---------|
| SLO | 81 | 30 | 0.044571 | 2.3447 | 0.28 |
| SLD | 63 | 35.202 | 0.048707 | 2.3412 | 0.28907 |
| SLV | 10 | 332.19 | 0.14579 | 2.3453 | 0.3355 |
| SLC | 5 | 682.35 | 0.18926 | 2.4046 | 0.33849 |

– **Sisma orizzontale sito**

| S.L. | Prv [%] | Tr [anni] | S | ST | Ss | Cc | Tb [s] | Tc [s] | Td [s] | ag [m/s²] | PGA [m/s²] | Se(Tc) [m/s²] | Se(Tc) [g] |
|------|---------|--------------|--------|----|--------|--------|-----------|-----------|-----------|--------------|---------------|------------------|---------------|
| SLO | 81 | 30 | 1.5 | 1 | 1.5 | 1.5982 | 0.14916 | 0.44749 | 1.7783 | 0.4371 | 0.65564 | 0.15676 | 1.5373 |
| SLD | 63 | 35.202 | 1.5 | 1 | 1.5 | 1.5815 | 0.15238 | 0.45715 | 1.7948 | 0.47765 | 0.71648 | 0.17105 | 1.6774 |
| SLV | 10 | 332.19 | 1.4948 | 1 | 1.4948 | 1.5056 | 0.16838 | 0.50513 | 2.1832 | 1.4297 | 2.1372 | 0.51112 | 5.0124 |
| SLC | 5 | 682.35 | 1.4269 | 1 | 1.4269 | 1.5012 | 0.16938 | 0.50814 | 2.3571 | 1.8561 | 2.6485 | 0.6494 | 6.3685 |

– **Spettri elastici [g]**

| T [s] | direzione X [g] | | | | direzione Y [g] | | | | direzione Z [g] | | | |
|-------|-----------------|--------|--------|--------|-----------------|--------|--------|--------|-----------------|--------|--------|--------|
| | SLO | SLD | SLV | SLC | SLO | SLD | SLV | SLC | SLO | SLD | SLV | SLC |
| 0.00 | 0.0669 | 0.0731 | 0.2179 | 0.2701 | 0.0669 | 0.0731 | 0.2179 | 0.2701 | 0.0127 | 0.0145 | 0.0751 | 0.1112 |
| 0.05 | 0.0970 | 0.1052 | 0.3050 | 0.3820 | 0.0970 | 0.1052 | 0.3050 | 0.3820 | 0.0298 | 0.0340 | 0.1762 | 0.2673 |
| 0.10 | 0.1271 | 0.1374 | 0.3921 | 0.4940 | 0.1271 | 0.1374 | 0.3921 | 0.4940 | 0.0298 | 0.0340 | 0.1762 | 0.2673 |
| 0.15 | 0.1568 | 0.1695 | 0.4791 | 0.6060 | 0.1568 | 0.1695 | 0.4791 | 0.6060 | 0.0298 | 0.0340 | 0.1762 | 0.2673 |
| 0.20 | 0.1568 | 0.1710 | 0.5111 | 0.6494 | 0.1568 | 0.1710 | 0.5111 | 0.6494 | 0.0223 | 0.0255 | 0.1322 | 0.2005 |
| 0.25 | 0.1568 | 0.1710 | 0.5111 | 0.6494 | 0.1568 | 0.1710 | 0.5111 | 0.6494 | 0.0179 | 0.0204 | 0.1057 | 0.1604 |
| 0.30 | 0.1568 | 0.1710 | 0.5111 | 0.6494 | 0.1568 | 0.1710 | 0.5111 | 0.6494 | 0.0149 | 0.0170 | 0.0881 | 0.1336 |
| 0.35 | 0.1568 | 0.1710 | 0.5111 | 0.6494 | 0.1568 | 0.1710 | 0.5111 | 0.6494 | 0.0128 | 0.0146 | 0.0755 | 0.1146 |
| 0.40 | 0.1568 | 0.1710 | 0.5111 | 0.6494 | 0.1568 | 0.1710 | 0.5111 | 0.6494 | 0.0112 | 0.0127 | 0.0661 | 0.1002 |
| 0.45 | 0.1559 | 0.1710 | 0.5111 | 0.6494 | 0.1559 | 0.1710 | 0.5111 | 0.6494 | 0.0099 | 0.0113 | 0.0587 | 0.0891 |
| 0.50 | 0.1403 | 0.1564 | 0.5111 | 0.6494 | 0.1403 | 0.1564 | 0.5111 | 0.6494 | 0.0089 | 0.0102 | 0.0529 | 0.0802 |
| 0.60 | 0.1169 | 0.1303 | 0.4303 | 0.5500 | 0.1169 | 0.1303 | 0.4303 | 0.5500 | 0.0074 | 0.0085 | 0.0441 | 0.0668 |
| 0.70 | 0.1002 | 0.1117 | 0.3688 | 0.4714 | 0.1002 | 0.1117 | 0.3688 | 0.4714 | 0.0064 | 0.0073 | 0.0378 | 0.0573 |
| 0.80 | 0.0877 | 0.0977 | 0.3227 | 0.4125 | 0.0877 | 0.0977 | 0.3227 | 0.4125 | 0.0056 | 0.0064 | 0.0330 | 0.0501 |
| 0.90 | 0.0779 | 0.0869 | 0.2869 | 0.3667 | 0.0779 | 0.0869 | 0.2869 | 0.3667 | 0.0050 | 0.0057 | 0.0294 | 0.0445 |
| 1.00 | 0.0701 | 0.0782 | 0.2582 | 0.3300 | 0.0701 | 0.0782 | 0.2582 | 0.3300 | 0.0045 | 0.0051 | 0.0264 | 0.0401 |
| 1.50 | 0.0468 | 0.0521 | 0.1721 | 0.2200 | 0.0468 | 0.0521 | 0.1721 | 0.2200 | 0.0020 | 0.0023 | 0.0117 | 0.0178 |
| 2.00 | 0.0312 | 0.0351 | 0.1291 | 0.1650 | 0.0312 | 0.0351 | 0.1291 | 0.1650 | 0.0011 | 0.0013 | 0.0066 | 0.0100 |
| 2.50 | 0.0200 | 0.0225 | 0.0902 | 0.1244 | 0.0200 | 0.0225 | 0.0902 | 0.1244 | 0.0007 | 0.0008 | 0.0042 | 0.0064 |
| 3.00 | 0.0139 | 0.0156 | 0.0626 | 0.0864 | 0.0139 | 0.0156 | 0.0626 | 0.0864 | 0.0005 | 0.0006 | 0.0029 | 0.0045 |
| 3.50 | 0.0102 | 0.0115 | 0.0460 | 0.0635 | 0.0102 | 0.0115 | 0.0460 | 0.0635 | 0.0004 | 0.0004 | 0.0022 | 0.0033 |
| 4.00 | 0.0078 | 0.0088 | 0.0352 | 0.0486 | 0.0078 | 0.0088 | 0.0352 | 0.0486 | 0.0003 | 0.0003 | 0.0017 | 0.0025 |

– **Spettri di progetto [g]**

| T [s] | direzione X [g] | | | | direzione Y [g] | | | | direzione Z [g] | | | |
|-------|-----------------|--------|--------|--------|-----------------|--------|--------|--------|-----------------|--------|--------|--------|
| | SLO | SLD | SLV | SLC | SLO | SLD | SLV | SLC | SLO | SLD | SLV | SLC |
| 0.00 | 0.0669 | 0.0731 | 0.2179 | 0.2701 | 0.0669 | 0.0731 | 0.2179 | 0.2701 | 0.0127 | 0.0145 | 0.0751 | 0.1112 |
| 0.05 | 0.0970 | 0.1052 | 0.2544 | 0.3181 | 0.0970 | 0.1052 | 0.2544 | 0.3181 | 0.0298 | 0.0340 | 0.1175 | 0.1782 |
| 0.10 | 0.1271 | 0.1374 | 0.2909 | 0.3662 | 0.1271 | 0.1374 | 0.2909 | 0.3662 | 0.0298 | 0.0340 | 0.1175 | 0.1782 |
| 0.15 | 0.1568 | 0.1695 | 0.3273 | 0.4143 | 0.1568 | 0.1695 | 0.3273 | 0.4143 | 0.0298 | 0.0340 | 0.1175 | 0.1782 |
| 0.20 | 0.1568 | 0.1710 | 0.3407 | 0.4329 | 0.1568 | 0.1710 | 0.3407 | 0.4329 | 0.0223 | 0.0255 | 0.0881 | 0.1336 |
| 0.25 | 0.1568 | 0.1710 | 0.3407 | 0.4329 | 0.1568 | 0.1710 | 0.3407 | 0.4329 | 0.0179 | 0.0204 | 0.0705 | 0.1069 |
| 0.30 | 0.1568 | 0.1710 | 0.3407 | 0.4329 | 0.1568 | 0.1710 | 0.3407 | 0.4329 | 0.0149 | 0.0170 | 0.0587 | 0.0891 |
| 0.35 | 0.1568 | 0.1710 | 0.3407 | 0.4329 | 0.1568 | 0.1710 | 0.3407 | 0.4329 | 0.0128 | 0.0146 | 0.0504 | 0.0764 |
| 0.40 | 0.1568 | 0.1710 | 0.3407 | 0.4329 | 0.1568 | 0.1710 | 0.3407 | 0.4329 | 0.0112 | 0.0127 | 0.0441 | 0.0668 |
| 0.45 | 0.1559 | 0.1710 | 0.3407 | 0.4329 | 0.1559 | 0.1710 | 0.3407 | 0.4329 | 0.0099 | 0.0113 | 0.0392 | 0.0594 |
| 0.50 | 0.1403 | 0.1564 | 0.3407 | 0.4329 | 0.1403 | 0.1564 | 0.3407 | 0.4329 | 0.0089 | 0.0102 | 0.0352 | 0.0535 |
| 0.60 | 0.1169 | 0.1303 | 0.2869 | 0.3667 | 0.1169 | 0.1303 | 0.2869 | 0.3667 | 0.0074 | 0.0085 | 0.0294 | 0.0445 |
| 0.70 | 0.1002 | 0.1117 | 0.2459 | 0.3143 | 0.1002 | 0.1117 | 0.2459 | 0.3143 | 0.0064 | 0.0073 | 0.0292 | 0.0382 |
| 0.80 | 0.0877 | 0.0977 | 0.2152 | 0.2750 | 0.0877 | 0.0977 | 0.2152 | 0.2750 | 0.0056 | 0.0064 | 0.0292 | 0.0379 |
| 0.90 | 0.0779 | 0.0869 | 0.1912 | 0.2444 | 0.0779 | 0.0869 | 0.1912 | 0.2444 | 0.0050 | 0.0057 | 0.0292 | 0.0379 |
| 1.00 | 0.0701 | 0.0782 | 0.1721 | 0.2200 | 0.0701 | 0.0782 | 0.1721 | 0.2200 | 0.0045 | 0.0051 | 0.0292 | 0.0379 |
| 1.50 | 0.0468 | 0.0521 | 0.1147 | 0.1467 | 0.0468 | 0.0521 | 0.1147 | 0.1467 | 0.0020 | 0.0023 | 0.0292 | 0.0379 |
| 2.00 | 0.0312 | 0.0351 | 0.0861 | 0.1100 | 0.0312 | 0.0351 | 0.0861 | 0.1100 | 0.0011 | 0.0013 | 0.0292 | 0.0379 |
| 2.50 | 0.0200 | 0.0225 | 0.0601 | 0.0830 | 0.0200 | 0.0225 | 0.0601 | 0.0830 | 0.0007 | 0.0008 | 0.0292 | 0.0379 |
| 3.00 | 0.0139 | 0.0156 | 0.0418 | 0.0576 | 0.0139 | 0.0156 | 0.0418 | 0.0576 | 0.0005 | 0.0006 | 0.0292 | 0.0379 |
| 3.50 | 0.0102 | 0.0115 | 0.0307 | 0.0423 | 0.0102 | 0.0115 | 0.0307 | 0.0423 | 0.0004 | 0.0004 | 0.0292 | 0.0379 |
| 4.00 | 0.0078 | 0.0088 | 0.0292 | 0.0379 | 0.0078 | 0.0088 | 0.0292 | 0.0379 | 0.0003 | 0.0003 | 0.0292 | 0.0379 |

– **Carico Termico**

- Δ temp. travi elevaz. e pilastri: 15 °C
- Δ temp. travi fondazione: 0 °C

– **Opzioni di calcolo**

- g per il calcolo della forza peso: 9.8066 m/s²
- Deformabilità a taglio per travi e pilastri: Si

– **Archivi**

– **Acciaio**

| N | Descrizione | f _{yk} ≤40mm [MPa] | FC | f _{ym} [MPa] | f _{tk} ≤40mm [MPa] | f _{yk} >40mm [MPa] | f _{tk} >40mm [MPa] | A [%] | γ _S | γ _{M0} | γ _{M1} | γ _{M2} | E [GPa] | Laminazione |
|---|-------------|--------------------------------|----|--------------------------|--------------------------------|--------------------------------|--------------------------------|----------|----------------|-----------------|-----------------|-----------------|------------|-------------|
| 8 | S275 | 275 | | 275 | 430 | 255 | 410 | 22 | 1.15 | 1.05 | 1.05 | 1.25 | 210 | a Caldo |

– **Materiale generico**

| N | Descrizione | Tipo | E [N/mm²] | C.Pois | G [N/mm²] | Densità [kg/m³] | C. Dil. Term. [10 ⁻⁶ /°C] | Rigid. Tors [%] | FC | Prezzo [€/m³] | Colore |
|---|-------------|------|--------------|--------|--------------|--------------------|---|--------------------|----|------------------|--------|
| 8 | S275 | Fe | 210000 | 0.3 | 80769 | 7850 | 12 | 100 | | 9420.00 | |

– **Sezioni rettangolari**

| N | Descrizione | Base [m] | Altezza [m] |
|---|-------------|----------|-------------|
| 8 | R 0.003x15 | 0.003 | 0.15 |

– **Sezioni tubolari**

| N | Descrizione | d [mm] | s [mm] |
|---|-------------|--------|--------|
| 7 | f180 | 180 | 5 |

Sezioni scatolari

| N | Descrizione | b [mm] | h [mm] | s [mm] | Norma | ri [mm] | re [mm] |
|----|-------------|--------|--------|--------|------------|---------|---------|
| 10 | R60x120x3 | 60 | 120 | | 3 EN 10210 | 3 | 4.5 |
| 11 | R100x200x3 | 100 | 200 | | 3 EN 10210 | 3 | 4.5 |

Sezioni Geometriche generiche

| N | Descrizione | Tipo | lx [cm ⁴] | ly [cm ⁴] | lt [cm ⁴] | area [cm ²] | xx | xy |
|----|-------------|------|-----------------------|-----------------------|-----------------------|-------------------------|--------|--------|
| 7 | f180 | | 1053.2 | 1053.2 | 2106.3 | 27.489 | 1.4991 | 1.4991 |
| 8 | R 0.003x15 | ■ | 84.375 | 0.03375 | 0.13448 | 4.5 | 1.2 | 1.2 |
| 10 | R60x120x3 | | 193.7 | 65.481 | 153.36 | 10.343 | 2.8795 | 2.8795 |
| 11 | R100x200x3 | | 937.38 | 321.37 | 745.21 | 17.543 | 2.9356 | 2.9356 |

Archivio vincoli. Rigidezze diagonale

| N | Descrizione | kx [N/m] | ky [N/m] | kz [N/m] | k _{rx} [Nm] | k _{ry} [Nm] | k _{rz} [Nm] | Unione |
|---|-------------|----------|----------|----------|----------------------|----------------------|----------------------|------------|
| 1 | incastro | ∞ | ∞ | ∞ | ∞ | ∞ | ∞ | 1) Assente |
| 2 | libero | 0 | 0 | 0 | 0 | 0 | 0 | 1) Assente |
| 5 | cer.fles | ∞ | ∞ | ∞ | ∞ | 0 | 0 | 1) Assente |

Archivio vincoli. Rigidezze aggiuntive

| N | Descrizione | kxy [N/m] | kxz [N/m] | kx _{rx} [N] | kx _{ry} [N] | kx _{rz} [N] | kyz [N/m] | ky _{rx} [N] | ky _{ry} [N] | ky _{rz} [N] | kz _{rx} [N] | kz _{ry} [N] | kz _{rz} [N] | k _{rx} _{ry} [Nm] | k _{rx} _{rz} [Nm] | k _{ry} _{rz} [Nm] |
|---|-------------|-----------|-----------|----------------------|----------------------|----------------------|-----------|----------------------|----------------------|----------------------|----------------------|----------------------|----------------------|------------------------------------|------------------------------------|------------------------------------|
| 1 | incastro | 0 | 0 | 0 | 0 | 0 | 0 | 0 | 0 | 0 | 0 | 0 | 0 | 0 | 0 | 0 |
| 2 | libero | 0 | 0 | 0 | 0 | 0 | 0 | 0 | 0 | 0 | 0 | 0 | 0 | 0 | 0 | 0 |
| 5 | cer.fles | 0 | 0 | 0 | 0 | 0 | 0 | 0 | 0 | 0 | 0 | 0 | 0 | 0 | 0 | 0 |

Sisma

- Categoria Sottosuolo: C: 180m/s < Vs,30 < 360m/s

Criteri Acciaio

| N | Descrizione | Parametri Gen. Verifiche | ayy | azz | αLT | λlim | Tipo SL Verifica | Classe Max | L/δmax | L/δ2 | Vis. 3D | Colore |
|---|-------------|--------------------------|-----|-----|-----|------|------------------|------------|--------|------|---------|--------|
| 1 | A1 Fe | 2) Default qND | | | | 200 | Auto | 4 | 250 | 300 | Si | |

Parametri Gen. Verifiche

| N | Descrizione | SLU | Instab. | SLE Def | δSLD/H | k N | k M | k V | k Mt | q SLV |
|---|-------------|------|---------|---------|--------|------|------|------|------|-------|
| 2 | Default qND | auto | auto | auto | auto | auto | auto | auto | auto | qND |

Gerarchia e γRd

- γRd V-M Travi CDA: 1.2
- γRd V-M Travi CDB: 1.1
- γRd V-M Pilastrici CDA: 1.3
- γRd V-M Pilastrici CDB: 1.1
- γRd Fondazioni CDA: 1.3
- γRd Fondazioni CDB: 1.1
- γRd Ger.Trav.Pil CDA: 1.3
- γRd Ger.Trav.Pil CDB: 1.3
- γRd Res. Nodi CDA: 1.2
- γRd Res. Nodi CDB: 1.1
- γRd V-M Parete CDA: 1.2
- γRd V-M Parete CDB: 1
- Applicazione EC8 §4.4.2.3(4): No
- Gerarchia V-M elementi Sec.: Si
- Dettagli duttili Sec.: Si
- Luce netta travi gerarchia V-M: Si
- SLU Lineare per fondazioni: Si
- SLU Lineare solo Cmb SLV: No
- SLU Lineare Cls per qND: No
- Tipo Verif. Fondazione Sismica: γRd NTC18
- q non dissipativo verifica nodi: qND
- q Taglio max gerarchia V-M: qND
- q Momento max gerarchia Trav-Pil: qND
- q verifica fondazioni: qND
- q verifica pareti non dissipative: qND
- qNd di default per shell in CA: Si
- qNd di default per elementi in Legno: Si
- qNd di default per elementi in Acciaio: Si
- qNd di default per Unioni: Si

Opzioni Verifiche Struttura

- N sez. di verifica pilastrici di Wink.: 13
- N sez. di verifica travi: 11
- α Ghersi: 1.5
- α Pressoflessione Deviata: EC2 o Monti
- Snellenza, calcolo L0. k1=k2: 0.1
- Struttura a nodi fissi: No
- Parametro EC2 6.4.5 (3) Vrdmax: 0.4
- EC2 (6.52): Vrd,cs = 0.75·Vrd,c + ...: Si
- Per taglio: αc = f[Ned]/(Ac + n As),fcd]: No
- Verifica Nodi CNTC18: Si
- Taglio pareti CDB come da EC8: No

- Volume totale staffe per [7.4.30]: No
- Caratteristiche medie stati: No
- Kh per portanza sismica: §C7.11.5.3.1: Sì
- Verifica liquefazione con LPI: Sì
- Verifica nodi fondazioni esistenti: Sì
- Formule verifica nodi esistenti: CNTC o EC8
- [A/L] Limite deformabilità orizzontale H/Δ: 500
- [A/L] Limite deformabilità orizzontale h/δ:300
- Verifica λ limite Fe se Ned ≥0.04Ncr: Sì
- Asta carica/scarica. ΔM: 10 %
- Asta carica/scarica. Interpolata: Sì
- Limite Def. Tamponatura SLD / H: 0.005
- Limite Def. Muratura Ord. SLD / H: 0.002
- Limite Def. Muratura Armata SLD / H: 0.003
- Limite Def. Muratura Confinata SLD / H: 0.0025
- Limite Def. Muratura Taglio SLV / H: 0.004
- Limite Def. Muratura Nuova Fless SLV / H: 0.008
- Limite Def. Muratura Esist. Fless SLV / H: 0.006
- Limite Def. Muratura Taglio SLC / H: 0.005
- Limite Def. Muratura Flessione SLC / H: 0.01

Parametri FEM Beam

| N | Descrizione | %E fles | %E ass | %G | Dim. Nodo | Link Δx-Δy | Link Δz | Lung Max Mesh [m] | Vincolo Ini. Interno | Vincolo Fin. Interno | Allineamento Travi |
|---|-------------|------------|-----------|-----|--------------|---------------|------------|----------------------|-------------------------|-------------------------|-----------------------|
| 1 | Fem Beam | 100 | 100 | 100 | 1 | Sì | Sì | 1.2 | 1) incastro | 1) incastro | Auto |

Lunghezze Libere

| n | Descrizione | L0y [m] | L0y/L | L0z [m] | L0z/L | LcrT [m] | LcrT/L | ψ=1/β | Carico | c2 | kw |
|---|-------------|---------|-------|---------|-------|----------|--------|-------|--------|------|------|
| 1 | Auto | auto | auto | auto | auto | auto | auto | auto | Auto | auto | auto |

Opzioni FEM Struttura

- g per conversione massa/peso: 9.80665 [m/s²]
- E elementi secondari: 0.1 [%]
- Carico impronta solaio su travi laterali: Sì
- Carichi sui braccetti rigidi: Sì
- Fascia aggiuntiva solaio su travi laterali: 0 [m]
- H.concio/Diam.Palo: 1
- Deformabilità taglio: Sì
- Nodo master-rigel su Winkler: Sì
- Carico P-Δ Quasi Permanente: Sì
- Carico termico elementi in piano rigido: No
- Cerniera su rigel WCM: Sì
- Bielle solai solo su nodi logici: No
- Lunghezza Max Mesh: 1.2 [m]
- Lunghezza Mesh su nodo: 0.3 [m]
- Coef Incremento Mesh: 1.41
- Lmax/Lmin Rettangolo (Q4+DKQ): 10
- Angolo minimo (Q4+DKQ): 20 [°]
- Lati mesh sempre pari: No

Sezioni Beam Acciaio

| N | Descrizione | Sezione | Materiale | Parametri FEM Beam | Prio- rità | Criteri Acciaio | Colore |
|----|-------------|----------------|-----------|-----------------------|---------------|-----------------|---------------|
| 7 | f180 | 7) f180 | 8) S275 | 1) Fem Beam | 5 | 1) A1 Fe | |
| 8 | R 0.003x15 | 8) R 0.003x15 | 8) S275 | 1) Fem Beam | 5 | 1) A1 Fe | [102;102;0] |
| 10 | R60x120x3 | 10) R60x120x3 | 8) S275 | 1) Fem Beam | 5 | 1) A1 Fe | [153;255;255] |
| 11 | R100x200x3 | 11) R100x200x3 | 8) S275 | 1) Fem Beam | 5 | 1) A1 Fe | [0;0;102] |

Archivio Azioni

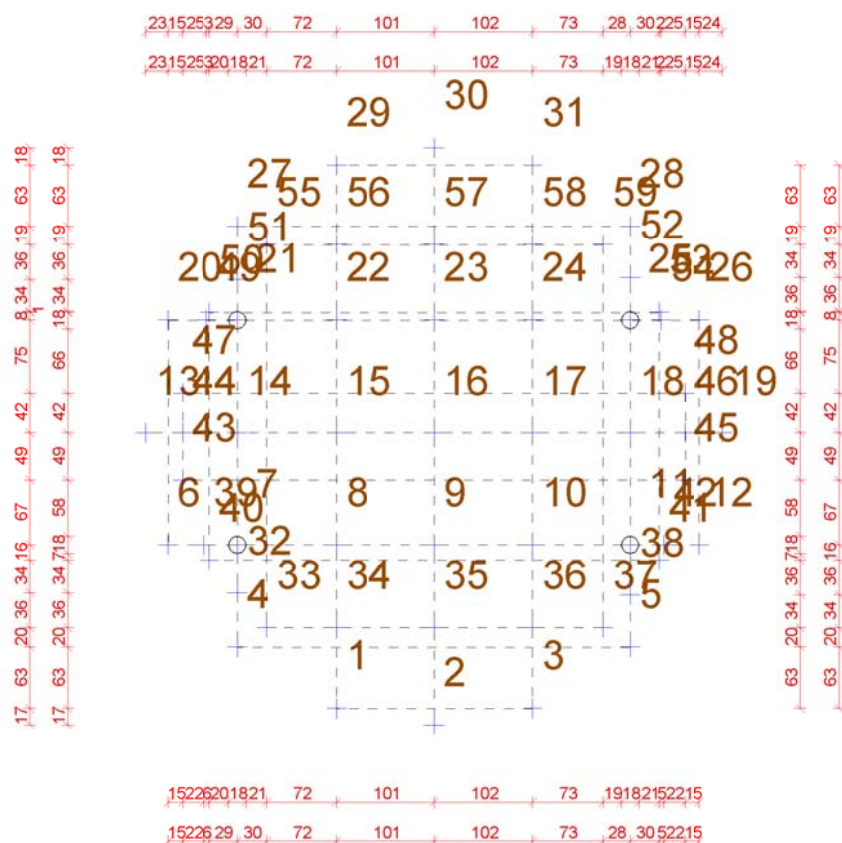
| N | Descrizione | Descrizione estesa | Tipo | Cat. | γ | ψ0 | ψ1 | ψ2 | Classe Durata |
|----|-------------|--------------------------------|------|------|-----|-----|-----|-----|------------------|
| 5 | Affol. | Ambienti suscettibili di aff.. | Q | C | 1.5 | 0.7 | 0.7 | 0.6 | Media |
| 10 | Copert | Coperture e sottotetti | Q | H | 1.5 | 0 | 0 | 0 | Breve |

Archivio Pannelli

| N | Descrizione | Peso G1 [kN/m²] | Sezione Solaio | Sovr. G2 [kN/m²] | Sovr. acc. [kN/m²] | Socr. acc. Uso | Neve [0/1] | spessore [cm] | Masse | Direzione Carichi | ecc/B | Prezzo [€/m²] | Cassa- forma |
|---|------------------------|--------------------|-------------------|---------------------|-----------------------|-------------------|---------------|------------------|-------|----------------------|-------|------------------|-----------------|
| 1 | solaio primo calpestio | 3.0146 | | 0.3 | 0.5 | 5) Affol. | 0 | 1 | Sì | verticale | auto | 0 | Sì |
| 2 | chiusura in vetro | 0 | | 0.3 | 0 | 5) Affol. | 0 | 0 | Sì | verticale | auto | 0 | No |
| 5 | solaio copertura | 0.25 | | 1.2 | 0.5 | 10) Copert | 1 | 1 | Sì | verticale | auto | 0 | No |

Struttura

Fili fissi piano 0 a quota Q=0m



Fili

| N | x [m] | y [m] | Tipo | Angolo [°] |
|----|-------|-------|------|------------|
| 1 | 1.02 | -1.69 | 5) | 0 |
| 2 | 2.03 | -1.86 | 5) | 0 |
| 3 | 3.05 | -1.69 | 5) | 0 |
| 4 | 0 | -1.06 | 5) | 0 |
| 5 | 4.06 | -1.06 | 5) | 0 |
| 6 | -0.72 | 0 | 5) | 0 |
| 7 | 0 | 0 | 5) | 0 |
| 8 | 1.02 | 0 | 5) | 0 |
| 9 | 2.03 | 0 | 5) | 0 |
| 10 | 3.05 | 0 | 5) | 0 |
| 11 | 4.06 | 0 | 5) | 0 |
| 12 | 4.78 | 0 | 5) | 0 |
| 13 | -0.95 | 1.16 | 5) | 0 |
| 14 | 0 | 1.16 | 5) | 0 |
| 15 | 1.02 | 1.16 | 5) | 0 |
| 16 | 2.03 | 1.16 | 5) | 0 |
| 17 | 3.05 | 1.16 | 5) | 0 |
| 18 | 4.06 | 1.16 | 5) | 0 |
| 19 | 5.02 | 1.16 | 5) | 0 |
| 20 | -0.72 | 2.33 | 5) | 0 |
| 21 | 0 | 2.33 | 5) | 0 |
| 22 | 1.02 | 2.33 | 5) | 0 |
| 23 | 2.03 | 2.33 | 5) | 0 |
| 24 | 3.05 | 2.33 | 5) | 0 |
| 25 | 4.06 | 2.33 | 5) | 0 |
| 26 | 4.78 | 2.33 | 5) | 0 |
| 27 | 0 | 3.3 | 5) | 0 |
| 28 | 4.06 | 3.3 | 5) | 0 |
| 29 | 1.02 | 3.93 | 5) | 0 |
| 30 | 2.03 | 4.11 | 5) | 0 |
| 31 | 3.05 | 3.93 | 5) | 0 |
| 32 | 0 | -0.5 | 5) | 0 |
| 33 | 0.3 | -0.86 | 5) | 0 |
| 34 | 1.02 | -0.86 | 5) | 0 |
| 35 | 2.03 | -0.86 | 5) | 0 |
| 36 | 3.05 | -0.86 | 5) | 0 |
| 37 | 3.78 | -0.86 | 5) | 0 |

| | | | | | |
|----|-------|-------|----|---|---|
| 38 | 4.06 | -0.52 | 5) | + | 0 |
| 39 | -0.35 | 0 | 5) | + | 0 |
| 40 | -0.29 | -0.16 | 5) | + | 0 |
| 41 | 4.36 | -0.16 | 5) | + | 0 |
| 42 | 4.41 | 0 | 5) | + | 0 |
| 43 | -0.57 | 0.67 | 5) | + | 0 |
| 44 | -0.57 | 1.16 | 5) | + | 0 |
| 45 | 4.63 | 0.67 | 5) | + | 0 |
| 46 | 4.63 | 1.16 | 5) | + | 0 |
| 47 | -0.57 | 1.58 | 5) | + | 0 |
| 48 | 4.63 | 1.58 | 5) | + | 0 |
| 49 | -0.32 | 2.33 | 5) | + | 0 |
| 50 | -0.29 | 2.41 | 5) | + | 0 |
| 51 | 0 | 2.75 | 5) | + | 0 |
| 52 | 4.06 | 2.77 | 5) | + | 0 |
| 53 | 4.36 | 2.41 | 5) | + | 0 |
| 54 | 4.38 | 2.33 | 5) | + | 0 |
| 55 | 0.3 | 3.11 | 5) | + | 0 |
| 56 | 1.02 | 3.11 | 5) | + | 0 |
| 57 | 2.03 | 3.11 | 5) | + | 0 |
| 58 | 3.05 | 3.11 | 5) | + | 0 |
| 59 | 3.78 | 3.11 | 5) | + | 0 |

— Piani

| N | z [m] | Esteso | Rigido |
|---|-------|--------|--------|
| 0 | 0 | No | No |
| 1 | 2.92 | No | No |

— Nodi

| Piano | N | Δz [m] | Vincolo Esterno | Lung max Mesh [m] | Gruppo Rigido | Massa Sismica | Verif Res. |
|-------|----|--------|-----------------|-------------------|---------------|---------------|------------|
| 0 | 7 | 0 | 1) incastro | 0.3 | 0 | auto | Default |
| 0 | 11 | 0 | 1) incastro | 0.3 | 0 | auto | Default |
| 0 | 21 | 0 | 1) incastro | 0.3 | 0 | auto | Default |
| 0 | 25 | 0 | 1) incastro | 0.3 | 0 | auto | Default |

— Pilastri

| Piano | N | Filo Ini | Piano Fin | rotaz [°] | Sezione beam | Δxi [cm] | Δyi [cm] | L0x/L | L0y/L | Lung. Libera |
|-------|----|----------|-----------|-----------|--------------|----------|----------|-------|-------|--------------|
| 1 | 7 | 7 | 0 | 0 | 7) f180 | 0 | 0 | 1 | 1 | 1) Auto |
| 1 | 11 | 11 | 0 | 0 | 7) f180 | 0 | 0 | 1 | 1 | 1) Auto |
| 1 | 21 | 21 | 0 | 0 | 7) f180 | 0 | 0 | 1 | 1 | 1) Auto |
| 1 | 25 | 25 | 0 | 0 | 7) f180 | 0 | 0 | 1 | 1 | 1) Auto |

— Travi

| Piano | N | Filo Ini | Filo Fin | Piano Fin | rotaz [°] | Sezione beam | Δxi [cm] | Δyi [cm] | Δzi [cm] | Δxf [cm] | Δyf [cm] | Δzf [cm] | Lung. Libera |
|-------|----|----------|----------|-----------|-----------|----------------|----------|----------|----------|----------|----------|----------|--------------|
| 0 | 1 | 6 | 39 | 0 | 0 | 11) R100×200×3 | 0 | 0 | 0 | 0 | 0 | 0 | 0 1) Auto |
| 0 | 2 | 7 | 8 | 0 | 0 | 11) R100×200×3 | 0 | 0 | 0 | 0 | 0 | 0 | 0 1) Auto |
| 0 | 3 | 8 | 9 | 0 | 0 | 11) R100×200×3 | 0 | 0 | 0 | 0 | 0 | 0 | 0 1) Auto |
| 0 | 4 | 9 | 10 | 0 | 0 | 11) R100×200×3 | 0 | 0 | 0 | 0 | 0 | 0 | 0 1) Auto |
| 0 | 5 | 10 | 11 | 0 | 0 | 11) R100×200×3 | 0 | 0 | 0 | 0 | 0 | 0 | 0 1) Auto |
| 0 | 6 | 11 | 42 | 0 | 0 | 11) R100×200×3 | 0 | 0 | 0 | 0 | 0 | 0 | 0 1) Auto |
| 0 | 7 | 13 | 44 | 0 | 0 | 11) R100×200×3 | 0 | 0 | 0 | 0 | 0 | 0 | 0 1) Auto |
| 0 | 8 | 14 | 15 | 0 | 0 | 11) R100×200×3 | 0 | 0 | 0 | 0 | 0 | 0 | 0 1) Auto |
| 0 | 9 | 52 | 28 | 0 | 0 | 11) R100×200×3 | 0 | 0 | 0 | 0 | 0 | 0 | 0 1) Auto |
| 0 | 10 | 16 | 17 | 0 | 0 | 11) R100×200×3 | 0 | 0 | 0 | 0 | 0 | 0 | 0 1) Auto |
| 0 | 11 | 17 | 18 | 0 | 0 | 11) R100×200×3 | 0 | 0 | 0 | 0 | 0 | 0 | 0 1) Auto |
| 0 | 12 | 18 | 46 | 0 | 0 | 11) R100×200×3 | 0 | 0 | 0 | 0 | 0 | 0 | 0 1) Auto |
| 0 | 13 | 20 | 49 | 0 | 0 | 11) R100×200×3 | 0 | 0 | 0 | 0 | 0 | 0 | 0 1) Auto |
| 0 | 14 | 21 | 22 | 0 | 0 | 11) R100×200×3 | 0 | 0 | 0 | 0 | 0 | 0 | 0 1) Auto |
| 0 | 15 | 22 | 23 | 0 | 0 | 11) R100×200×3 | 0 | 0 | 0 | 0 | 0 | 0 | 0 1) Auto |
| 0 | 16 | 23 | 24 | 0 | 0 | 11) R100×200×3 | 0 | 0 | 0 | 0 | 0 | 0 | 0 1) Auto |
| 0 | 17 | 24 | 25 | 0 | 0 | 11) R100×200×3 | 0 | 0 | 0 | 0 | 0 | 0 | 0 1) Auto |
| 0 | 18 | 25 | 54 | 0 | 0 | 11) R100×200×3 | 0 | 0 | 0 | 0 | 0 | 0 | 0 1) Auto |
| 0 | 19 | 4 | 32 | 0 | 0 | 11) R100×200×3 | 0 | 0 | 0 | 0 | 0 | 0 | 0 1) Auto |
| 0 | 20 | 7 | 14 | 0 | 0 | 11) R100×200×3 | 0 | 0 | 0 | 0 | 0 | 0 | 0 1) Auto |
| 0 | 21 | 14 | 21 | 0 | 0 | 11) R100×200×3 | 0 | 0 | 0 | 0 | 0 | 0 | 0 1) Auto |
| 0 | 22 | 21 | 51 | 0 | 0 | 11) R100×200×3 | 0 | 0 | 0 | 0 | 0 | 0 | 0 1) Auto |
| 0 | 23 | 1 | 34 | 0 | 0 | 11) R100×200×3 | 0 | 0 | 0 | 0 | 0 | 0 | 0 1) Auto |
| 0 | 24 | 8 | 15 | 0 | 0 | 11) R100×200×3 | 0 | 0 | 0 | 0 | 0 | 0 | 0 1) Auto |
| 0 | 25 | 15 | 22 | 0 | 0 | 11) R100×200×3 | 0 | 0 | 0 | 0 | 0 | 0 | 0 1) Auto |
| 0 | 26 | 22 | 56 | 0 | 0 | 11) R100×200×3 | 0 | 0 | 0 | 0 | 0 | 0 | 0 1) Auto |
| 0 | 27 | 2 | 35 | 0 | 0 | 11) R100×200×3 | 0 | 0 | 0 | 0 | 0 | 0 | 0 1) Auto |
| 0 | 28 | 9 | 16 | 0 | 0 | 11) R100×200×3 | 0 | 0 | 0 | 0 | 0 | 0 | 0 1) Auto |
| 0 | 29 | 16 | 23 | 0 | 0 | 11) R100×200×3 | 0 | 0 | 0 | 0 | 0 | 0 | 0 1) Auto |
| 0 | 30 | 23 | 57 | 0 | 0 | 11) R100×200×3 | 0 | 0 | 0 | 0 | 0 | 0 | 0 1) Auto |
| 0 | 31 | 3 | 36 | 0 | 0 | 11) R100×200×3 | 0 | 0 | 0 | 0 | 0 | 0 | 0 1) Auto |
| 0 | 32 | 10 | 17 | 0 | 0 | 11) R100×200×3 | 0 | 0 | 0 | 0 | 0 | 0 | 0 1) Auto |
| 0 | 33 | 17 | 24 | 0 | 0 | 11) R100×200×3 | 0 | 0 | 0 | 0 | 0 | 0 | 0 1) Auto |
| 0 | 34 | 24 | 58 | 0 | 0 | 11) R100×200×3 | 0 | 0 | 0 | 0 | 0 | 0 | 0 1) Auto |
| 0 | 35 | 5 | 38 | 0 | 0 | 11) R100×200×3 | 0 | 0 | 0 | 0 | 0 | 0 | 0 1) Auto |
| 0 | 36 | 11 | 18 | 0 | 0 | 11) R100×200×3 | 0 | 0 | 0 | 0 | 0 | 0 | 0 1) Auto |
| 0 | 37 | 18 | 25 | 0 | 0 | 11) R100×200×3 | 0 | 0 | 0 | 0 | 0 | 0 | 0 1) Auto |
| 0 | 38 | 25 | 52 | 0 | 0 | 11) R100×200×3 | 0 | 0 | 0 | 0 | 0 | 0 | 0 1) Auto |

| | | | | | | | | | | | |
|---|----|----|----|---|------------------|---|---|---|---|---|-----------|
| 0 | 39 | 13 | 20 | 0 | 0 8) R 0.003x15 | 0 | 0 | 0 | 0 | 0 | 0 1) Auto |
| 0 | 40 | 20 | 27 | 0 | 0 8) R 0.003x15 | 0 | 0 | 0 | 0 | 0 | 0 1) Auto |
| 0 | 41 | 27 | 29 | 0 | 0 8) R 0.003x15 | 0 | 0 | 0 | 0 | 0 | 0 1) Auto |
| 0 | 42 | 29 | 30 | 0 | 0 8) R 0.003x15 | 0 | 0 | 0 | 0 | 0 | 0 1) Auto |
| 0 | 43 | 30 | 31 | 0 | 0 8) R 0.003x15 | 0 | 0 | 0 | 0 | 0 | 0 1) Auto |
| 0 | 44 | 31 | 28 | 0 | 0 8) R 0.003x15 | 0 | 0 | 0 | 0 | 0 | 0 1) Auto |
| 0 | 45 | 28 | 26 | 0 | 0 8) R 0.003x15 | 0 | 0 | 0 | 0 | 0 | 0 1) Auto |
| 0 | 46 | 26 | 19 | 0 | 0 8) R 0.003x15 | 0 | 0 | 0 | 0 | 0 | 0 1) Auto |
| 0 | 47 | 19 | 12 | 0 | 0 8) R 0.003x15 | 0 | 0 | 0 | 0 | 0 | 0 1) Auto |
| 0 | 48 | 12 | 5 | 0 | 0 8) R 0.003x15 | 0 | 0 | 0 | 0 | 0 | 0 1) Auto |
| 0 | 49 | 5 | 3 | 0 | 0 8) R 0.003x15 | 0 | 0 | 0 | 0 | 0 | 0 1) Auto |
| 0 | 50 | 3 | 2 | 0 | 0 8) R 0.003x15 | 0 | 0 | 0 | 0 | 0 | 0 1) Auto |
| 0 | 51 | 2 | 1 | 0 | 0 8) R 0.003x15 | 0 | 0 | 0 | 0 | 0 | 0 1) Auto |
| 0 | 52 | 1 | 4 | 0 | 0 8) R 0.003x15 | 0 | 0 | 0 | 0 | 0 | 0 1) Auto |
| 0 | 53 | 4 | 6 | 0 | 0 8) R 0.003x15 | 0 | 0 | 0 | 0 | 0 | 0 1) Auto |
| 0 | 54 | 6 | 13 | 0 | 0 8) R 0.003x15 | 0 | 0 | 0 | 0 | 0 | 0 1) Auto |
| 0 | 55 | 39 | 7 | 0 | 0 11) R100x200x3 | 0 | 0 | 0 | 0 | 0 | 0 1) Auto |
| 0 | 56 | 42 | 12 | 0 | 0 11) R100x200x3 | 0 | 0 | 0 | 0 | 0 | 0 1) Auto |
| 0 | 57 | 44 | 14 | 0 | 0 11) R100x200x3 | 0 | 0 | 0 | 0 | 0 | 0 1) Auto |
| 0 | 58 | 46 | 19 | 0 | 0 11) R100x200x3 | 0 | 0 | 0 | 0 | 0 | 0 1) Auto |
| 0 | 59 | 49 | 21 | 0 | 0 11) R100x200x3 | 0 | 0 | 0 | 0 | 0 | 0 1) Auto |
| 0 | 60 | 54 | 26 | 0 | 0 11) R100x200x3 | 0 | 0 | 0 | 0 | 0 | 0 1) Auto |
| 0 | 61 | 32 | 7 | 0 | 0 11) R100x200x3 | 0 | 0 | 0 | 0 | 0 | 0 1) Auto |
| 0 | 62 | 51 | 27 | 0 | 0 11) R100x200x3 | 0 | 0 | 0 | 0 | 0 | 0 1) Auto |
| 0 | 63 | 34 | 8 | 0 | 0 11) R100x200x3 | 0 | 0 | 0 | 0 | 0 | 0 1) Auto |
| 0 | 64 | 56 | 29 | 0 | 0 11) R100x200x3 | 0 | 0 | 0 | 0 | 0 | 0 1) Auto |
| 0 | 65 | 38 | 11 | 0 | 0 11) R100x200x3 | 0 | 0 | 0 | 0 | 0 | 0 1) Auto |
| 0 | 66 | 15 | 16 | 0 | 0 11) R100x200x3 | 0 | 0 | 0 | 0 | 0 | 0 1) Auto |
| 0 | 67 | 32 | 33 | 0 | 0 10) R60x120x3 | 0 | 0 | 0 | 0 | 0 | 0 1) Auto |
| 0 | 68 | 33 | 34 | 0 | 0 10) R60x120x3 | 0 | 0 | 0 | 0 | 0 | 0 1) Auto |
| 0 | 69 | 34 | 35 | 0 | 0 10) R60x120x3 | 0 | 0 | 0 | 0 | 0 | 0 1) Auto |
| 0 | 70 | 35 | 36 | 0 | 0 10) R60x120x3 | 0 | 0 | 0 | 0 | 0 | 0 1) Auto |
| 0 | 71 | 36 | 37 | 0 | 0 10) R60x120x3 | 0 | 0 | 0 | 0 | 0 | 0 1) Auto |
| 0 | 72 | 37 | 38 | 0 | 0 10) R60x120x3 | 0 | 0 | 0 | 0 | 0 | 0 1) Auto |
| 0 | 73 | 38 | 41 | 0 | 0 10) R60x120x3 | 0 | 0 | 0 | 0 | 0 | 0 1) Auto |
| 0 | 74 | 41 | 42 | 0 | 0 10) R60x120x3 | 0 | 0 | 0 | 0 | 0 | 0 1) Auto |
| 0 | 75 | 42 | 45 | 0 | 0 10) R60x120x3 | 0 | 0 | 0 | 0 | 0 | 0 1) Auto |
| 0 | 76 | 45 | 46 | 0 | 0 10) R60x120x3 | 0 | 0 | 0 | 0 | 0 | 0 1) Auto |
| 0 | 77 | 46 | 48 | 0 | 0 10) R60x120x3 | 0 | 0 | 0 | 0 | 0 | 0 1) Auto |
| 0 | 78 | 48 | 54 | 0 | 0 10) R60x120x3 | 0 | 0 | 0 | 0 | 0 | 0 1) Auto |
| 0 | 79 | 54 | 53 | 0 | 0 10) R60x120x3 | 0 | 0 | 0 | 0 | 0 | 0 1) Auto |
| 0 | 80 | 53 | 52 | 0 | 0 10) R60x120x3 | 0 | 0 | 0 | 0 | 0 | 0 1) Auto |
| 0 | 81 | 52 | 59 | 0 | 0 10) R60x120x3 | 0 | 0 | 0 | 0 | 0 | 0 1) Auto |
| 0 | 82 | 59 | 58 | 0 | 0 10) R60x120x3 | 0 | 0 | 0 | 0 | 0 | 0 1) Auto |
| 0 | 83 | 58 | 57 | 0 | 0 10) R60x120x3 | 0 | 0 | 0 | 0 | 0 | 0 1) Auto |
| 0 | 84 | 57 | 56 | 0 | 0 10) R60x120x3 | 0 | 0 | 0 | 0 | 0 | 0 1) Auto |
| 0 | 85 | 56 | 55 | 0 | 0 10) R60x120x3 | 0 | 0 | 0 | 0 | 0 | 0 1) Auto |
| 0 | 86 | 51 | 50 | 0 | 0 10) R60x120x3 | 0 | 0 | 0 | 0 | 0 | 0 1) Auto |
| 0 | 87 | 50 | 49 | 0 | 0 10) R60x120x3 | 0 | 0 | 0 | 0 | 0 | 0 1) Auto |
| 0 | 88 | 49 | 47 | 0 | 0 10) R60x120x3 | 0 | 0 | 0 | 0 | 0 | 0 1) Auto |
| 0 | 89 | 47 | 44 | 0 | 0 10) R60x120x3 | 0 | 0 | 0 | 0 | 0 | 0 1) Auto |
| 0 | 90 | 44 | 43 | 0 | 0 10) R60x120x3 | 0 | 0 | 0 | 0 | 0 | 0 1) Auto |
| 0 | 91 | 43 | 39 | 0 | 0 10) R60x120x3 | 0 | 0 | 0 | 0 | 0 | 0 1) Auto |
| 0 | 92 | 39 | 40 | 0 | 0 10) R60x120x3 | 0 | 0 | 0 | 0 | 0 | 0 1) Auto |
| 0 | 93 | 40 | 32 | 0 | 0 10) R60x120x3 | 0 | 0 | 0 | 0 | 0 | 0 1) Auto |
| 0 | 94 | 57 | 30 | 0 | 0 11) R100x200x3 | 0 | 0 | 0 | 0 | 0 | 0 1) Auto |
| 0 | 95 | 58 | 31 | 0 | 0 11) R100x200x3 | 0 | 0 | 0 | 0 | 0 | 0 1) Auto |
| 0 | 96 | 35 | 9 | 0 | 0 11) R100x200x3 | 0 | 0 | 0 | 0 | 0 | 0 1) Auto |
| 0 | 97 | 36 | 10 | 0 | 0 11) R100x200x3 | 0 | 0 | 0 | 0 | 0 | 0 1) Auto |
| 0 | 98 | 55 | 51 | 0 | 0 10) R60x120x3 | 0 | 0 | 0 | 0 | 0 | 0 1) Auto |
| 1 | 1 | 6 | 39 | 1 | 0 10) R60x120x3 | 0 | 0 | 0 | 0 | 0 | 0 1) Auto |
| 1 | 2 | 7 | 8 | 1 | 0 10) R60x120x3 | 0 | 0 | 0 | 0 | 0 | 0 1) Auto |
| 1 | 3 | 8 | 9 | 1 | 0 10) R60x120x3 | 0 | 0 | 0 | 0 | 0 | 0 1) Auto |
| 1 | 4 | 9 | 10 | 1 | 0 10) R60x120x3 | 0 | 0 | 0 | 0 | 0 | 0 1) Auto |
| 1 | 5 | 10 | 11 | 1 | 0 10) R60x120x3 | 0 | 0 | 0 | 0 | 0 | 0 1) Auto |
| 1 | 6 | 11 | 42 | 1 | 0 10) R60x120x3 | 0 | 0 | 0 | 0 | 0 | 0 1) Auto |
| 1 | 7 | 13 | 44 | 1 | 0 10) R60x120x3 | 0 | 0 | 0 | 0 | 0 | 0 1) Auto |
| 1 | 8 | 14 | 15 | 1 | 0 10) R60x120x3 | 0 | 0 | 0 | 0 | 0 | 0 1) Auto |
| 1 | 9 | 52 | 28 | 1 | 0 10) R60x120x3 | 0 | 0 | 0 | 0 | 0 | 0 1) Auto |
| 1 | 10 | 16 | 17 | 1 | 0 10) R60x120x3 | 0 | 0 | 0 | 0 | 0 | 0 1) Auto |
| 1 | 11 | 17 | 18 | 1 | 0 10) R60x120x3 | 0 | 0 | 0 | 0 | 0 | 0 1) Auto |
| 1 | 12 | 18 | 46 | 1 | 0 10) R60x120x3 | 0 | 0 | 0 | 0 | 0 | 0 1) Auto |
| 1 | 13 | 20 | 49 | 1 | 0 10) R60x120x3 | 0 | 0 | 0 | 0 | 0 | 0 1) Auto |
| 1 | 14 | 21 | 22 | 1 | 0 10) R60x120x3 | 0 | 0 | 0 | 0 | 0 | 0 1) Auto |
| 1 | 15 | 22 | 23 | 1 | 0 10) R60x120x3 | 0 | 0 | 0 | 0 | 0 | 0 1) Auto |
| 1 | 16 | 23 | 24 | 1 | 0 10) R60x120x3 | 0 | 0 | 0 | 0 | 0 | 0 1) Auto |
| 1 | 17 | 24 | 25 | 1 | 0 10) R60x120x3 | 0 | 0 | 0 | 0 | 0 | 0 1) Auto |
| 1 | 18 | 25 | 54 | 1 | 0 10) R60x120x3 | 0 | 0 | 0 | 0 | 0 | 0 1) Auto |
| 1 | 19 | 4 | 32 | 1 | 0 10) R60x120x3 | 0 | 0 | 0 | 0 | 0 | 0 1) Auto |
| 1 | 20 | 7 | 14 | 1 | 0 10) R60x120x3 | 0 | 0 | 0 | 0 | 0 | 0 1) Auto |
| 1 | 21 | 14 | 21 | 1 | 0 10) R60x120x3 | 0 | 0 | 0 | 0 | 0 | 0 1) Auto |
| 1 | 22 | 21 | 51 | 1 | 0 10) R60x120x3 | 0 | 0 | 0 | 0 | 0 | 0 1) Auto |
| 1 | 23 | 1 | 34 | 1 | 0 10) R60x120x3 | 0 | 0 | 0 | 0 | 0 | 0 1) Auto |
| 1 | 24 | 8 | 15 | 1 | 0 10) R60x120x3 | 0 | 0 | 0 | 0 | 0 | 0 1) Auto |
| 1 | 25 | 15 | 22 | 1 | 0 10) R60x120x3 | 0 | 0 | 0 | 0 | 0 | 0 1) Auto |
| 1 | 26 | 22 | 56 | 1 | 0 10) R60x120x3 | 0 | 0 | 0 | 0 | 0 | 0 1) Auto |
| 1 | 27 | 2 | 35 | 1 | 0 10) R60x120x3 | 0 | 0 | 0 | 0 | 0 | 0 1) Auto |
| 1 | 28 | 9 | 16 | 1 | 0 10) R60x120x3 | 0 | 0 | 0 | 0 | 0 | 0 1) Auto |
| 1 | 29 | 16 | 23 | 1 | 0 10) R60x120x3 | 0 | 0 | 0 | 0 | 0 | 0 1) Auto |
| 1 | 30 | 23 | 57 | 1 | 0 10) R60x120x3 | 0 | 0 | 0 | 0 | 0 | 0 1) Auto |
| 1 | 31 | 3 | 36 | 1 | 0 10) R60x120x3 | 0 | 0 | 0 | 0 | 0 | 0 1) Auto |

| | | | | | | | | | | | |
|---|----|----|----|---|-----------------|---|---|-----|---|---|-------------|
| 1 | 32 | 10 | 17 | 1 | 0 10) R60x120x3 | 0 | 0 | 0 | 0 | 0 | 0 1) Auto |
| 1 | 33 | 17 | 24 | 1 | 0 10) R60x120x3 | 0 | 0 | 0 | 0 | 0 | 0 1) Auto |
| 1 | 34 | 24 | 58 | 1 | 0 10) R60x120x3 | 0 | 0 | 0 | 0 | 0 | 0 1) Auto |
| 1 | 35 | 5 | 38 | 1 | 0 10) R60x120x3 | 0 | 0 | 0 | 0 | 0 | 0 1) Auto |
| 1 | 36 | 11 | 18 | 1 | 0 10) R60x120x3 | 0 | 0 | 0 | 0 | 0 | 0 1) Auto |
| 1 | 37 | 18 | 25 | 1 | 0 10) R60x120x3 | 0 | 0 | 0 | 0 | 0 | 0 1) Auto |
| 1 | 38 | 25 | 52 | 1 | 0 10) R60x120x3 | 0 | 0 | 0 | 0 | 0 | 0 1) Auto |
| 1 | 39 | 13 | 20 | 1 | 0 8) R 0.003x15 | 0 | 0 | 0 | 0 | 0 | 0 1) Auto |
| 1 | 40 | 20 | 27 | 1 | 0 8) R 0.003x15 | 0 | 0 | 0 | 0 | 0 | 0 1) Auto |
| 1 | 41 | 27 | 29 | 1 | 0 8) R 0.003x15 | 0 | 0 | 0 | 0 | 0 | 0 1) Auto |
| 1 | 42 | 29 | 30 | 1 | 0 8) R 0.003x15 | 0 | 0 | 0 | 0 | 0 | 0 1) Auto |
| 1 | 43 | 30 | 31 | 1 | 0 8) R 0.003x15 | 0 | 0 | 0 | 0 | 0 | 0 1) Auto |
| 1 | 44 | 31 | 28 | 1 | 0 8) R 0.003x15 | 0 | 0 | 0 | 0 | 0 | 0 1) Auto |
| 1 | 45 | 28 | 26 | 1 | 0 8) R 0.003x15 | 0 | 0 | 0 | 0 | 0 | 0 1) Auto |
| 1 | 46 | 26 | 19 | 1 | 0 8) R 0.003x15 | 0 | 0 | 0 | 0 | 0 | 0 1) Auto |
| 1 | 47 | 19 | 12 | 1 | 0 8) R 0.003x15 | 0 | 0 | 0 | 0 | 0 | 0 1) Auto |
| 1 | 48 | 12 | 5 | 1 | 0 8) R 0.003x15 | 0 | 0 | 0 | 0 | 0 | 0 1) Auto |
| 1 | 49 | 5 | 3 | 1 | 0 8) R 0.003x15 | 0 | 0 | 0 | 0 | 0 | 0 1) Auto |
| 1 | 50 | 3 | 2 | 1 | 0 8) R 0.003x15 | 0 | 0 | 0 | 0 | 0 | 0 1) Auto |
| 1 | 51 | 2 | 1 | 1 | 0 8) R 0.003x15 | 0 | 0 | 0 | 0 | 0 | 0 1) Auto |
| 1 | 52 | 1 | 4 | 1 | 0 8) R 0.003x15 | 0 | 0 | 0 | 0 | 0 | 0 1) Auto |
| 1 | 53 | 4 | 6 | 1 | 0 8) R 0.003x15 | 0 | 0 | 0 | 0 | 0 | 0 1) Auto |
| 1 | 54 | 6 | 13 | 1 | 0 8) R 0.003x15 | 0 | 0 | 0 | 0 | 0 | 0 1) Auto |
| 1 | 55 | 39 | 7 | 1 | 0 10) R60x120x3 | 0 | 0 | 0 | 0 | 0 | 0 1) Auto |
| 1 | 56 | 42 | 12 | 1 | 0 10) R60x120x3 | 0 | 0 | 0 | 0 | 0 | 0 1) Auto |
| 1 | 57 | 44 | 14 | 1 | 0 10) R60x120x3 | 0 | 0 | 0 | 0 | 0 | 0 1) Auto |
| 1 | 58 | 46 | 19 | 1 | 0 10) R60x120x3 | 0 | 0 | 0 | 0 | 0 | 0 1) Auto |
| 1 | 59 | 49 | 21 | 1 | 0 10) R60x120x3 | 0 | 0 | 0 | 0 | 0 | 0 1) Auto |
| 1 | 60 | 54 | 26 | 1 | 0 10) R60x120x3 | 0 | 0 | 0 | 0 | 0 | 0 1) Auto |
| 1 | 61 | 32 | 7 | 1 | 0 10) R60x120x3 | 0 | 0 | 0 | 0 | 0 | 0 1) Auto |
| 1 | 62 | 51 | 27 | 1 | 0 10) R60x120x3 | 0 | 0 | 0 | 0 | 0 | 0 1) Auto |
| 1 | 63 | 34 | 8 | 1 | 0 10) R60x120x3 | 0 | 0 | 0 | 0 | 0 | 0 1) Auto |
| 1 | 64 | 56 | 29 | 1 | 0 10) R60x120x3 | 0 | 0 | 0 | 0 | 0 | 0 1) Auto |
| 1 | 65 | 38 | 11 | 1 | 0 10) R60x120x3 | 0 | 0 | 0 | 0 | 0 | 0 1) Auto |
| 1 | 66 | 15 | 16 | 1 | 0 10) R60x120x3 | 0 | 0 | 0 | 0 | 0 | 0 1) Auto |
| 1 | 67 | 32 | 33 | 1 | 0 10) R60x120x3 | 0 | 0 | -12 | 0 | 0 | -12 1) Auto |
| 1 | 68 | 33 | 34 | 1 | 0 10) R60x120x3 | 0 | 0 | -12 | 0 | 0 | -12 1) Auto |
| 1 | 69 | 34 | 35 | 1 | 0 10) R60x120x3 | 0 | 0 | -12 | 0 | 0 | -12 1) Auto |
| 1 | 70 | 35 | 36 | 1 | 0 10) R60x120x3 | 0 | 0 | -12 | 0 | 0 | -12 1) Auto |
| 1 | 71 | 36 | 37 | 1 | 0 10) R60x120x3 | 0 | 0 | -12 | 0 | 0 | -12 1) Auto |
| 1 | 72 | 37 | 38 | 1 | 0 10) R60x120x3 | 0 | 0 | -12 | 0 | 0 | -12 1) Auto |
| 1 | 73 | 38 | 41 | 1 | 0 10) R60x120x3 | 0 | 0 | -12 | 0 | 0 | -12 1) Auto |
| 1 | 74 | 41 | 42 | 1 | 0 10) R60x120x3 | 0 | 0 | -12 | 0 | 0 | -12 1) Auto |
| 1 | 75 | 42 | 45 | 1 | 0 10) R60x120x3 | 0 | 0 | -12 | 0 | 0 | -12 1) Auto |
| 1 | 76 | 45 | 46 | 1 | 0 10) R60x120x3 | 0 | 0 | -12 | 0 | 0 | -12 1) Auto |
| 1 | 77 | 46 | 48 | 1 | 0 10) R60x120x3 | 0 | 0 | -12 | 0 | 0 | -12 1) Auto |
| 1 | 78 | 48 | 54 | 1 | 0 10) R60x120x3 | 0 | 0 | -12 | 0 | 0 | -12 1) Auto |
| 1 | 79 | 54 | 53 | 1 | 0 10) R60x120x3 | 0 | 0 | -12 | 0 | 0 | -12 1) Auto |
| 1 | 80 | 53 | 52 | 1 | 0 10) R60x120x3 | 0 | 0 | -12 | 0 | 0 | -12 1) Auto |
| 1 | 81 | 52 | 59 | 1 | 0 10) R60x120x3 | 0 | 0 | -12 | 0 | 0 | -12 1) Auto |
| 1 | 82 | 59 | 58 | 1 | 0 10) R60x120x3 | 0 | 0 | -12 | 0 | 0 | -12 1) Auto |
| 1 | 83 | 58 | 57 | 1 | 0 10) R60x120x3 | 0 | 0 | -12 | 0 | 0 | -12 1) Auto |
| 1 | 84 | 57 | 56 | 1 | 0 10) R60x120x3 | 0 | 0 | -12 | 0 | 0 | -12 1) Auto |
| 1 | 85 | 56 | 55 | 1 | 0 10) R60x120x3 | 0 | 0 | -12 | 0 | 0 | -12 1) Auto |
| 1 | 86 | 51 | 50 | 1 | 0 10) R60x120x3 | 0 | 0 | -12 | 0 | 0 | -12 1) Auto |
| 1 | 87 | 50 | 49 | 1 | 0 10) R60x120x3 | 0 | 0 | -12 | 0 | 0 | -12 1) Auto |
| 1 | 88 | 49 | 47 | 1 | 0 10) R60x120x3 | 0 | 0 | -12 | 0 | 0 | -12 1) Auto |
| 1 | 89 | 47 | 44 | 1 | 0 10) R60x120x3 | 0 | 0 | -12 | 0 | 0 | -12 1) Auto |
| 1 | 90 | 44 | 43 | 1 | 0 10) R60x120x3 | 0 | 0 | -12 | 0 | 0 | -12 1) Auto |
| 1 | 91 | 43 | 39 | 1 | 0 10) R60x120x3 | 0 | 0 | -12 | 0 | 0 | -12 1) Auto |
| 1 | 92 | 39 | 40 | 1 | 0 10) R60x120x3 | 0 | 0 | -12 | 0 | 0 | -12 1) Auto |
| 1 | 93 | 40 | 32 | 1 | 0 10) R60x120x3 | 0 | 0 | -12 | 0 | 0 | -12 1) Auto |
| 1 | 94 | 57 | 30 | 1 | 0 10) R60x120x3 | 0 | 0 | 0 | 0 | 0 | 0 1) Auto |
| 1 | 95 | 58 | 31 | 1 | 0 10) R60x120x3 | 0 | 0 | 0 | 0 | 0 | 0 1) Auto |
| 1 | 96 | 35 | 9 | 1 | 0 10) R60x120x3 | 0 | 0 | 0 | 0 | 0 | 0 1) Auto |
| 1 | 97 | 36 | 10 | 1 | 0 10) R60x120x3 | 0 | 0 | 0 | 0 | 0 | 0 1) Auto |
| 1 | 98 | 55 | 51 | 1 | 0 10) R60x120x3 | 0 | 0 | -12 | 0 | 0 | -12 1) Auto |

– Carichi

– Solai

| Piano | N | Tipo Pannello | Trave Ini (Elem.Ini) | Trave Fin (Elem.Fin) | angolo [°] | Area [m²] |
|-------|----|---------------------------|-------------------------|-------------------------|---------------|--------------|
| 0 | 1 | 1) solaio primo calpestio | 53 | 19 | 0 | 0.10651 |
| 0 | 2 | 1) solaio primo calpestio | 53 | 61 | 0 | 0.27509 |
| 0 | 3 | 1) solaio primo calpestio | 61 | 63 | 0 | 0.51 |
| 0 | 4 | 1) solaio primo calpestio | 19 | 63 | 0 | 0.3672 |
| 0 | 5 | 1) solaio primo calpestio | 23 | 18 | 0 | 0 |
| 0 | 6 | 1) solaio primo calpestio | 23 | 52 | 0 | 0.3213 |
| 0 | 7 | 1) solaio primo calpestio | 23 | 27 | 0 | 0.8383 |
| 0 | 9 | 1) solaio primo calpestio | 27 | 31 | 0 | 0.8466 |
| 0 | 10 | 1) solaio primo calpestio | 27 | 51 | 0 | 0.08585 |
| 0 | 11 | 1) solaio primo calpestio | 27 | 50 | 0 | 0.0867 |
| 0 | 12 | 1) solaio primo calpestio | 31 | 49 | 0 | 0.31815 |
| 0 | 13 | 1) solaio primo calpestio | 31 | 35 | 0 | 0.202 |
| 0 | 14 | 1) solaio primo calpestio | 97 | 35 | 0 | 0.3434 |
| 0 | 15 | 1) solaio primo calpestio | 97 | 65 | 0 | 0.5252 |
| 0 | 16 | 1) solaio primo calpestio | 65 | 48 | 0 | 0.28257 |

| | | | | | |
|---|------------------------------|----|----|---|----------|
| 0 | 17 1) solaio primo calpestio | 35 | 48 | 0 | 0.099034 |
| 0 | 18 1) solaio primo calpestio | 96 | 97 | 0 | 0.8772 |
| 0 | 19 1) solaio primo calpestio | 96 | 63 | 0 | 0.8686 |
| 0 | 20 1) solaio primo calpestio | 20 | 54 | 0 | 0.9686 |
| 0 | 21 1) solaio primo calpestio | 20 | 24 | 0 | 1.1832 |
| 0 | 22 1) solaio primo calpestio | 28 | 24 | 0 | 1.1716 |
| 0 | 23 1) solaio primo calpestio | 28 | 32 | 0 | 1.1832 |
| 0 | 24 1) solaio primo calpestio | 36 | 32 | 0 | 1.1716 |
| 0 | 25 1) solaio primo calpestio | 36 | 47 | 0 | 0.9744 |
| 0 | 26 1) solaio primo calpestio | 21 | 39 | 0 | 0.97695 |
| 0 | 27 1) solaio primo calpestio | 21 | 25 | 0 | 1.1934 |
| 0 | 28 1) solaio primo calpestio | 29 | 25 | 0 | 1.1817 |
| 0 | 29 1) solaio primo calpestio | 29 | 33 | 0 | 1.1934 |
| 0 | 30 1) solaio primo calpestio | 37 | 33 | 0 | 1.1817 |
| 0 | 31 1) solaio primo calpestio | 37 | 46 | 0 | 0.9828 |
| 0 | 32 1) solaio primo calpestio | 26 | 22 | 0 | 0.4284 |
| 0 | 33 1) solaio primo calpestio | 26 | 62 | 0 | 0.3672 |
| 0 | 34 1) solaio primo calpestio | 64 | 62 | 0 | 0.1938 |
| 0 | 35 1) solaio primo calpestio | 64 | 41 | 0 | 0.3213 |
| 0 | 36 1) solaio primo calpestio | 22 | 40 | 0 | 0.23693 |
| 0 | 37 1) solaio primo calpestio | 62 | 40 | 0 | 0.11227 |
| 0 | 38 1) solaio primo calpestio | 30 | 26 | 0 | 0.7878 |
| 0 | 39 1) solaio primo calpestio | 30 | 34 | 0 | 0.7956 |
| 0 | 40 1) solaio primo calpestio | 94 | 64 | 0 | 0.8282 |
| 0 | 41 1) solaio primo calpestio | 94 | 42 | 0 | 0.0909 |
| 0 | 42 1) solaio primo calpestio | 94 | 95 | 0 | 0.8364 |
| 0 | 43 1) solaio primo calpestio | 94 | 43 | 0 | 0.0918 |
| 0 | 44 1) solaio primo calpestio | 95 | 44 | 0 | 0.31815 |
| 0 | 45 1) solaio primo calpestio | 95 | 9 | 0 | 0.1919 |
| 0 | 46 1) solaio primo calpestio | 34 | 9 | 0 | 0.3434 |
| 0 | 47 1) solaio primo calpestio | 34 | 38 | 0 | 0.4444 |
| 0 | 48 1) solaio primo calpestio | 9 | 45 | 0 | 0.10425 |
| 0 | 49 1) solaio primo calpestio | 38 | 45 | 0 | 0.24495 |
| 0 | 50 1) solaio primo calpestio | 19 | 23 | 0 | 0.204 |
| 1 | 1 5) solaio copertura | 53 | 19 | 0 | 0.10651 |
| 1 | 2 5) solaio copertura | 53 | 61 | 0 | 0.27509 |
| 1 | 3 5) solaio copertura | 61 | 63 | 0 | 0.51 |
| 1 | 4 5) solaio copertura | 19 | 63 | 0 | 0.3672 |
| 1 | 5 5) solaio copertura | 23 | 18 | 0 | 0 |
| 1 | 6 5) solaio copertura | 23 | 52 | 0 | 0.3213 |
| 1 | 7 5) solaio copertura | 23 | 27 | 0 | 0.8383 |
| 1 | 9 5) solaio copertura | 27 | 31 | 0 | 0.8466 |
| 1 | 10 5) solaio copertura | 27 | 51 | 0 | 0.08585 |
| 1 | 11 5) solaio copertura | 27 | 50 | 0 | 0.0867 |
| 1 | 12 5) solaio copertura | 31 | 49 | 0 | 0.31815 |
| 1 | 13 5) solaio copertura | 31 | 35 | 0 | 0.202 |
| 1 | 14 5) solaio copertura | 97 | 35 | 0 | 0.3434 |
| 1 | 15 5) solaio copertura | 97 | 65 | 0 | 0.5252 |
| 1 | 16 5) solaio copertura | 65 | 48 | 0 | 0.28257 |
| 1 | 17 5) solaio copertura | 35 | 48 | 0 | 0.099034 |
| 1 | 18 5) solaio copertura | 96 | 97 | 0 | 0.8772 |
| 1 | 19 5) solaio copertura | 96 | 63 | 0 | 0.8686 |
| 1 | 20 5) solaio copertura | 20 | 54 | 0 | 0.9686 |
| 1 | 21 5) solaio copertura | 20 | 24 | 0 | 1.1832 |
| 1 | 22 5) solaio copertura | 28 | 24 | 0 | 1.1716 |
| 1 | 23 5) solaio copertura | 28 | 32 | 0 | 1.1832 |
| 1 | 24 5) solaio copertura | 36 | 32 | 0 | 1.1716 |
| 1 | 25 5) solaio copertura | 36 | 47 | 0 | 0.9744 |
| 1 | 26 5) solaio copertura | 21 | 39 | 0 | 0.97695 |
| 1 | 27 5) solaio copertura | 21 | 25 | 0 | 1.1934 |
| 1 | 28 5) solaio copertura | 29 | 25 | 0 | 1.1817 |
| 1 | 29 5) solaio copertura | 29 | 33 | 0 | 1.1934 |
| 1 | 30 5) solaio copertura | 37 | 33 | 0 | 1.1817 |
| 1 | 31 5) solaio copertura | 37 | 46 | 0 | 0.9828 |
| 1 | 32 5) solaio copertura | 26 | 22 | 0 | 0.4284 |
| 1 | 33 5) solaio copertura | 26 | 62 | 0 | 0.3672 |
| 1 | 34 5) solaio copertura | 64 | 62 | 0 | 0.1938 |
| 1 | 35 5) solaio copertura | 64 | 41 | 0 | 0.3213 |
| 1 | 36 5) solaio copertura | 22 | 40 | 0 | 0.23693 |
| 1 | 37 5) solaio copertura | 62 | 40 | 0 | 0.11227 |
| 1 | 38 5) solaio copertura | 30 | 26 | 0 | 0.7878 |
| 1 | 39 5) solaio copertura | 30 | 34 | 0 | 0.7956 |
| 1 | 40 5) solaio copertura | 94 | 64 | 0 | 0.8282 |
| 1 | 41 5) solaio copertura | 94 | 42 | 0 | 0.0909 |
| 1 | 42 5) solaio copertura | 94 | 95 | 0 | 0.8364 |
| 1 | 43 5) solaio copertura | 94 | 43 | 0 | 0.0918 |
| 1 | 44 5) solaio copertura | 95 | 44 | 0 | 0.31815 |
| 1 | 45 5) solaio copertura | 95 | 9 | 0 | 0.1919 |
| 1 | 46 5) solaio copertura | 34 | 9 | 0 | 0.3434 |
| 1 | 47 5) solaio copertura | 34 | 38 | 0 | 0.4444 |

| | | | | | |
|---|------------------------|----|----|---|---------|
| 1 | 48 5) solaio copertura | 9 | 45 | 0 | 0.10425 |
| 1 | 49 5) solaio copertura | 38 | 45 | 0 | 0.24495 |
| 1 | 50 5) solaio copertura | 19 | 23 | 0 | 0.204 |

— Tamponature

| Piano | N | Tipo Pannello | Trave (Elem.) | dim.ini [m] | dim.fin [m] | Δ ini [m] | Δ fin [m] |
|-------|----|----------------------|------------------|----------------|----------------|--------------|--------------|
| 0 | 1 | 2) chiusura in vetro | 67 | 2.8 | 2.8 | 0 | 0 |
| 0 | 2 | 2) chiusura in vetro | 68 | 2.8 | 2.8 | 0 | 0 |
| 0 | 3 | 2) chiusura in vetro | 69 | 2.8 | 2.8 | 0 | 0 |
| 0 | 4 | 2) chiusura in vetro | 70 | 2.8 | 2.8 | 0 | 0 |
| 0 | 5 | 2) chiusura in vetro | 71 | 2.8 | 2.8 | 0 | 0 |
| 0 | 6 | 2) chiusura in vetro | 72 | 2.8 | 2.8 | 0 | 0 |
| 0 | 7 | 2) chiusura in vetro | 73 | 2.8 | 2.8 | 0 | 0 |
| 0 | 8 | 2) chiusura in vetro | 74 | 2.8 | 2.8 | 0 | 0 |
| 0 | 9 | 2) chiusura in vetro | 75 | 2.8 | 2.8 | 0 | 0 |
| 0 | 10 | 2) chiusura in vetro | 76 | 2.8 | 2.8 | 0 | 0 |
| 0 | 11 | 2) chiusura in vetro | 77 | 2.8 | 2.8 | 0 | 0 |
| 0 | 12 | 2) chiusura in vetro | 78 | 2.8 | 2.8 | 0 | 0 |
| 0 | 13 | 2) chiusura in vetro | 79 | 2.8 | 2.8 | 0 | 0 |
| 0 | 14 | 2) chiusura in vetro | 80 | 2.8 | 2.8 | 0 | 0 |
| 0 | 15 | 2) chiusura in vetro | 81 | 2.8 | 2.8 | 0 | 0 |
| 0 | 16 | 2) chiusura in vetro | 82 | 2.8 | 2.8 | 0 | 0 |
| 0 | 17 | 2) chiusura in vetro | 83 | 2.8 | 2.8 | 0 | 0 |
| 0 | 18 | 2) chiusura in vetro | 84 | 2.8 | 2.8 | 0 | 0 |
| 0 | 19 | 2) chiusura in vetro | 85 | 2.8 | 2.8 | 0 | 0 |
| 0 | 20 | 2) chiusura in vetro | 86 | 2.8 | 2.8 | 0 | 0 |
| 0 | 21 | 2) chiusura in vetro | 87 | 2.8 | 2.8 | 0 | 0 |
| 0 | 22 | 2) chiusura in vetro | 88 | 2.8 | 2.8 | 0 | 0 |
| 0 | 23 | 2) chiusura in vetro | 89 | 2.8 | 2.8 | 0 | 0 |
| 0 | 24 | 2) chiusura in vetro | 90 | 2.8 | 2.8 | 0 | 0 |
| 0 | 25 | 2) chiusura in vetro | 91 | 2.8 | 2.8 | 0 | 0 |
| 0 | 26 | 2) chiusura in vetro | 92 | 2.8 | 2.8 | 0 | 0 |
| 0 | 27 | 2) chiusura in vetro | 93 | 2.8 | 2.8 | 0 | 0 |
| 0 | 28 | 2) chiusura in vetro | 98 | 2.8 | 2.8 | 0 | 0 |

— Dati riassuntivi per piano

| Piano | z min [m] | z max [m] | Travi elevaz. | Travi Winkler | Pilastr. | Eccentr. Sismica | Solai [m²] | Solai bidir. [m²] | Balconi [m²] | Tompagni [m²] | Piastre [m²] | Pareti [m²] |
|-------|--------------|--------------|------------------|------------------|----------|---------------------|---------------|----------------------|-----------------|------------------|-----------------|----------------|
| 0 | 0.00 | 0.00 | 98 | 0 | 0 | No | 27.26 | 0.00 | 0.00 | 44.60 | 0.00 | 0.00 |
| 1 | 2.92 | 2.92 | 98 | 0 | 4 | No | 27.26 | 0.00 | 0.00 | 0.00 | 0.00 | 0.00 |

— Parametri di Calcolo

— Opzioni di Calcolo

- Calcolo sismico:: Dinamica
- Sisma verticale:: No
- Somma combinazioni sismiche:: Inviluppo
- Combinazione modi:: Quadratica completa (CQC)
- Effetto P-Δ sisma: : No
- Amplificazione sisma: : 1
- Calcolo % rigidezza elementi secondari: : Sì
- Azione Vento:: Sì
- Effetto P-Δ vento: : No
- Azione Termica: : No
- Imperfezioni Globali: : No

— Accelerazioni analisi sismica statica equivalente

- Calcolo periodi principali:: Autovalori
- Periodo principale X:: 0.30622 s
- Periodo principale Y:: 0.28561 s
- Orizzontamenti:: 0
- Acc X SLO [g]: 0.15676
- Acc Y SLO [g]: 0.15676
- Acc Z SLO [g]: 0.029786
- Acc X SLD [g]: 0.17105
- Acc Y SLD [g]: 0.17105
- Acc Z SLD [g]: 0.033975
- Acc X SLV [g]: 0.34075
- Acc Y SLV [g]: 0.34075
- Acc Z SLV [g]: 0.1175

— Famiglie combinazioni di carico e verifiche

| N | Descrizione | SLU | Deform. | Fessur. | Tens Eserc. | Spost. Sismici | Gerarch. Resist. | Rotaz. Ultima |
|---|--------------|------|---------|---------|----------------|-------------------|---------------------|------------------|
| 1 | Fondamentale | Sì - | - | - | - | - | - | - |
| 2 | Rara. | - Sì | - | - | Sì | - | - | - |
| 3 | Frequente | - - | - | Sì | - | - | - | - |
| 4 | Quasi Perm. | - Sì | - | Sì | Sì | - | Sì | - |
| 5 | Permanente | - - | - | - | - | - | Sì | - |

| | | | | | | | |
|---|-------------|------|---|---|----|----|----|
| 6 | Sismica SLO | - - | - | - | No | - | - |
| 7 | Sismica SLD | No - | - | - | Si | - | - |
| 8 | Sismica SLV | Si - | - | - | - | Si | No |
| 9 | Sismica SLC | - - | - | - | - | - | No |

Combinazioni di carico

| Fam. comb. | Comb. N° | Peso. Prop. | Caric. Perm. | Affol. | Copert | Coefficienti Azioni | | | | Sisma X | Ecc.Y Sism.X | Sisma Y | Ecc.X Sism.Y | Classe Durata | Segno Ned Sism | Cmb. Gemella |
|------------|----------|-------------|--------------|--------|--------|---------------------|---------|-----------|--|---------|--------------|---------|--------------|---------------|----------------|--------------|
| | | | | | | Vento X | Vento Y | Neve <1km | | | | | | | | |
| 1 | 1 | 1.3 | 1.3 | 1.5 | 1.5 | 0.9 | 0 | 0.75 | | 0 | 0 | 0 | 0 | 0 | Breve | |
| 1 | 2 | 1.3 | 1.3 | 1.5 | 1.5 | 0 | 0.9 | 0.75 | | 0 | 0 | 0 | 0 | 0 | Breve | |
| 1 | 3 | 1.3 | 1.3 | 1.5 | 1.5 | 0 | -0.9 | 0.75 | | 0 | 0 | 0 | 0 | 0 | Breve | |
| 1 | 4 | 1.3 | 1.3 | 1.5 | 1.5 | -0.9 | 0 | 0.75 | | 0 | 0 | 0 | 0 | 0 | Breve | |
| 1 | 5 | 1.3 | 1.3 | 1.05 | 0 | 0.9 | 0 | 1.5 | | 0 | 0 | 0 | 0 | 0 | Breve | |
| 1 | 6 | 1.3 | 1.3 | 1.05 | 0 | 0 | 0.9 | 1.5 | | 0 | 0 | 0 | 0 | 0 | Breve | |
| 1 | 7 | 1.3 | 1.3 | 1.05 | 0 | 0 | -0.9 | 1.5 | | 0 | 0 | 0 | 0 | 0 | Breve | |
| 1 | 8 | 1.3 | 1.3 | 1.05 | 0 | -0.9 | 0 | 1.5 | | 0 | 0 | 0 | 0 | 0 | Breve | |
| 1 | 9 | 1.3 | 1.3 | 1.05 | 0 | 1.5 | 0 | 0.75 | | 0 | 0 | 0 | 0 | 0 | Istant. | |
| 1 | 10 | 1.3 | 1.3 | 1.05 | 0 | 0 | 1.5 | 0.75 | | 0 | 0 | 0 | 0 | 0 | Istant. | |
| 1 | 11 | 1.3 | 1.3 | 1.05 | 0 | 0 | -1.5 | 0.75 | | 0 | 0 | 0 | 0 | 0 | Istant. | |
| 1 | 12 | 1.3 | 1.3 | 1.05 | 0 | -1.5 | 0 | 0.75 | | 0 | 0 | 0 | 0 | 0 | Istant. | |
| 2 | 1 | 1 | 1 | 1 | 1 | 0.6 | 0 | 0.5 | | 0 | 0 | 0 | 0 | 0 | Media | |
| 2 | 2 | 1 | 1 | 1 | 1 | 0 | 0.6 | 0.5 | | 0 | 0 | 0 | 0 | 0 | Media | |
| 2 | 3 | 1 | 1 | 1 | 1 | 0 | -0.6 | 0.5 | | 0 | 0 | 0 | 0 | 0 | Media | |
| 2 | 4 | 1 | 1 | 1 | 1 | -0.6 | 0 | 0.5 | | 0 | 0 | 0 | 0 | 0 | Media | |
| 2 | 5 | 1 | 1 | 0.7 | 0 | 0.6 | 0 | 1 | | 0 | 0 | 0 | 0 | 0 | Media | |
| 2 | 6 | 1 | 1 | 0.7 | 0 | 0 | 0.6 | 1 | | 0 | 0 | 0 | 0 | 0 | Media | |
| 2 | 7 | 1 | 1 | 0.7 | 0 | 0 | -0.6 | 1 | | 0 | 0 | 0 | 0 | 0 | Media | |
| 2 | 8 | 1 | 1 | 0.7 | 0 | -0.6 | 0 | 1 | | 0 | 0 | 0 | 0 | 0 | Media | |
| 2 | 9 | 1 | 1 | 0.7 | 0 | 1 | 0 | 0.5 | | 0 | 0 | 0 | 0 | 0 | Media | |
| 2 | 10 | 1 | 1 | 0.7 | 0 | 0 | 1 | 0.5 | | 0 | 0 | 0 | 0 | 0 | Media | |
| 2 | 11 | 1 | 1 | 0.7 | 0 | 0 | -1 | 0.5 | | 0 | 0 | 0 | 0 | 0 | Media | |
| 2 | 12 | 1 | 1 | 0.7 | 0 | -1 | 0 | 0.5 | | 0 | 0 | 0 | 0 | 0 | Media | |
| 3 | 1 | 1 | 1 | 0.7 | 0 | 0 | 0 | 0 | | 0 | 0 | 0 | 0 | 0 | Perm. | |
| 3 | 2 | 1 | 1 | 0.6 | 0 | 0 | 0 | 0.2 | | 0 | 0 | 0 | 0 | 0 | Lunga | |
| 3 | 3 | 1 | 1 | 0.6 | 0 | 0.2 | 0 | 0 | | 0 | 0 | 0 | 0 | 0 | Lunga | |
| 3 | 4 | 1 | 1 | 0.6 | 0 | 0 | 0.2 | 0 | | 0 | 0 | 0 | 0 | 0 | Lunga | |
| 3 | 5 | 1 | 1 | 0.6 | 0 | 0 | -0.2 | 0 | | 0 | 0 | 0 | 0 | 0 | Lunga | |
| 3 | 6 | 1 | 1 | 0.6 | 0 | -0.2 | 0 | 0 | | 0 | 0 | 0 | 0 | 0 | Lunga | |
| 4 | 1 | 1 | 1 | 0.6 | 0 | 0 | 0 | 0 | | 0 | 0 | 0 | 0 | 0 | Perm. | |
| 5 | 1 | 1 | 1 | 0 | 0 | 0 | 0 | 0 | | 0 | 0 | 0 | 0 | 0 | Perm. | |
| 7 | 1 | 1 | 1 | 0.6 | 0 | 0 | 0 | 0 | | 1 | 1 | 0.3 | 0.3 | Istant. | + | 2 |
| 7 | 2 | 1 | 1 | 0.6 | 0 | 0 | 0 | 0 | | 1 | 1 | 0.3 | 0.3 | Istant. | - | 1 |
| 7 | 3 | 1 | 1 | 0.6 | 0 | 0 | 0 | 0 | | -1 | -1 | -0.3 | -0.3 | Istant. | + | 4 |
| 7 | 4 | 1 | 1 | 0.6 | 0 | 0 | 0 | 0 | | -1 | -1 | -0.3 | -0.3 | Istant. | - | 3 |
| 7 | 5 | 1 | 1 | 0.6 | 0 | 0 | 0 | 0 | | 0.3 | 0.3 | 1 | 1 | Istant. | + | 6 |
| 7 | 6 | 1 | 1 | 0.6 | 0 | 0 | 0 | 0 | | 0.3 | 0.3 | 1 | 1 | Istant. | - | 5 |
| 7 | 7 | 1 | 1 | 0.6 | 0 | 0 | 0 | 0 | | -0.3 | -0.3 | -1 | -1 | Istant. | + | 8 |
| 7 | 8 | 1 | 1 | 0.6 | 0 | 0 | 0 | 0 | | -0.3 | -0.3 | -1 | -1 | Istant. | - | 7 |
| 8 | 1 | 1 | 1 | 0.6 | 0 | 0 | 0 | 0 | | 1 | 1 | 0.3 | 0.3 | Istant. | + | 2 |
| 8 | 2 | 1 | 1 | 0.6 | 0 | 0 | 0 | 0 | | 1 | 1 | 0.3 | 0.3 | Istant. | - | 1 |
| 8 | 3 | 1 | 1 | 0.6 | 0 | 0 | 0 | 0 | | -1 | -1 | -0.3 | -0.3 | Istant. | + | 4 |
| 8 | 4 | 1 | 1 | 0.6 | 0 | 0 | 0 | 0 | | -1 | -1 | -0.3 | -0.3 | Istant. | - | 3 |
| 8 | 5 | 1 | 1 | 0.6 | 0 | 0 | 0 | 0 | | 0.3 | 0.3 | 1 | 1 | Istant. | + | 6 |
| 8 | 6 | 1 | 1 | 0.6 | 0 | 0 | 0 | 0 | | 0.3 | 0.3 | 1 | 1 | Istant. | - | 5 |
| 8 | 7 | 1 | 1 | 0.6 | 0 | 0 | 0 | 0 | | -0.3 | -0.3 | -1 | -1 | Istant. | + | 8 |
| 8 | 8 | 1 | 1 | 0.6 | 0 | 0 | 0 | 0 | | -0.3 | -0.3 | -1 | -1 | Istant. | - | 7 |

Dettagli calcolo analisi lineare

Dati sismici SLV per piano

| Piano | Massa Cmb. Q. Perm [kg] | Massa sism. [kg] | Sup. balc., solai e piaste[m²] | xG [m] | yG [m] | zG [m] | fx [N] | fy [N] | fx·ey [Nm] | fy·ex [Nm] |
|-------|-------------------------|------------------|--------------------------------|--------|--------|--------|--------|--------|------------|------------|
| 1 | 4819 | 4819 | 27.26 | 2.03 | 1.13 | 2.92 | 16.1k | 16.1k | 0 | 0 |

Effetto P-Δ Sisma

| Sisma SLV | μd | θ | θ ≤ 0.2 | k = 1/(1-θ) | k min | k calc |
|-----------|--------|----------|---------|-------------|-------|--------|
| X | 1.8248 | 0.014421 | Si | 1.0146 | 1 | 1 |
| Y | 1.8843 | 0.012837 | Si | 1.013 | 1 | 1 |

Spostamenti di piano

| Piano | Spost.x SLO [m] | Spost.y SLO [m] | Spost.x SLD [m] | Spost.y SLD [m] | Spost.x SLV [m] | Spost.y SLV [m] | Spost.x SLC [m] | Spost.y SLC [m] |
|-------|-----------------|-----------------|-----------------|-----------------|-----------------|-----------------|-----------------|-----------------|
| 0 | | | 0 | 0 | 0 | 0 | | |
| 1 | | | 0.0039497 | 0.0033743 | 0.014358 | 0.012666 | | |

Gli spostamenti di piano allo SLV sono stati calcolati come al §7.3.3.3 delle NTC18

Modi Trovati

| n | Descrizione | T [s] | sx [%] | sy [%] | sz [%] | rx [%] | ry [%] | rz [%] | Esatto | Scelto | Err.λ | Err.ψ |
|---|---------------------|---------|-----------|------------|-----------|-----------|------------|------------|--------|--------|-------|------------|
| 1 | 0.306s x99% y0% z0% | 0.30622 | 98.995 | 6.083E-8 | 3.4144E-5 | 1.0035E-7 | 0.026894 | 0.075318 | Si | Si | 0 | 7.0743E-12 |
| 2 | 0.286s x0% y98% z0% | 0.28561 | 8.8164E-7 | 97.643 | 0.0044787 | 1.9788 | 7.1175E-10 | 0.00094005 | Si | Si | 0 | 7.0631E-12 |
| 3 | 0.24s x0.1% y0% z0% | 0.24036 | 0.074292 | 0.00086997 | 7.5009E-8 | 8.9162E-5 | 0.0009016 | 99.046 | Si | No | 0 | 9.2348E-12 |
| 4 | 0.147s x0% y1% z14% | 0.14703 | 5.8233E-5 | 1.2291 | 14.358 | 37.966 | 3.3405E-5 | 3.7281E-5 | Si | No | 0 | 1.6991E-8 |
| 5 | 0.141s x0% y1% z16% | 0.1407 | 6.3563E-5 | 0.81506 | 15.714 | 31.833 | 4.2332E-5 | 2.8611E-5 | Si | No | 0 | 6.2434E-8 |

Legenda

- **sx, sy, sz** : Masse partecipanti in percentuale come indicato nella (4.6)
- **Err ψ** = |Kψ-λMψ| / |Kψ| = errore numerico della soluzione della (4.2)

Riassunto modi

| Descrizione | sx [%] | sy [%] | sz [%] | rx [%] | ry [%] | rz [%] | Err.λ | Err.ψ |
|--------------|--------|--------|-----------|--------|----------|----------|-------|------------|
| Modi scelti | 98.995 | 97.643 | 0.0045129 | 1.9788 | 0.026894 | 0.076258 | 0 | 7.0743E-12 |
| Modi trovati | 99.07 | 99.688 | 30.077 | 71.778 | 0.027872 | 99.122 | 0 | 6.2434E-8 |

- Masse analisi dinamica

| Piano | Dir X [Kg] | Dir Y [Kg] | Dir Z [Kg] |
|--------|------------|------------|------------|
| 0 | 0 | 0 | 0 |
| 1 | 4819 | 4819 | 4819 |
| Totale | 4819 | 4819 | 4819 |

- Coefficienti di amplificazione modali p come definiti al §4.1 nella (4.4)

| Modo n° | direzione X | | | | direzione Y | | | | direzione Z | | | |
|---------|-------------|-----------|-----------|----------|-------------|-----------|-----------|-----------|-------------|------------|------------|------------|
| | SLO | SLD | SLV | SLC | SLO | SLD | SLV | SLC | SLO | SLD | SLV | SLC |
| 1 | 0.2522 | 0.27519 | 0.5482 | 0.69652 | 6.2518E-6 | 6.8216E-6 | 1.3589E-5 | 1.7266E-5 | 1.3786E-5 | 1.5725E-5 | 5.4382E-5 | 8.2472E-5 |
| 2 | 2.0704E-5 | 2.2591E-5 | 4.5004E-5 | 5.718E-5 | 0.21789 | 0.23775 | 0.47361 | 0.60175 | 0.00014726 | 0.00016797 | 0.00058091 | 0.00088098 |

- Accelerazione spettri di progetto [m/s²]

| T [s] | direzione X | | | | direzione Y | | | | direzione Z | | | |
|---------|-------------|--------|--------|--------|-------------|--------|--------|--------|-------------|---------|---------|---------|
| | SLO | SLD | SLV | SLC | SLO | SLD | SLV | SLC | SLO | SLD | SLV | SLC |
| 0.30622 | 1.5373 | 1.6774 | 3.3416 | 4.2456 | 1.5373 | 1.6774 | 3.3416 | 4.2456 | 0.14308 | 0.16321 | 0.56443 | 0.85599 |
| 0.28561 | 1.5373 | 1.6774 | 3.3416 | 4.2456 | 1.5373 | 1.6774 | 3.3416 | 4.2456 | 0.15341 | 0.17499 | 0.60517 | 0.91776 |

- Dati vento

| Faccia edificio | area [m²] | Forza [N] | xF [m] | yF [m] | zF [m] |
|-----------------|-----------|-----------|--------|--------|--------|
| xz | 15.9 | 14492 | 2.03 | 0.00 | 1.48 |
| yz | 12.5 | 11017 | 0.00 | 1.13 | 1.49 |

- Dati vento per piano

| Piano | Vento X | | | | Vento Y | | | |
|-------|--------------|-----------|--------|--------|--------------|-----------|--------|--------|
| | Area YZ [m²] | Forza [N] | zF [m] | yF [m] | Area XZ [m²] | Forza [N] | zF [m] | xF [m] |
| 0 | 5.95 | 5408.7 | 0.00 | 1.13 | 7.59 | 7133.9 | 0.00 | 2.03 |
| 1 | 6.50 | 5608.1 | 2.92 | 1.13 | 8.27 | 7358.1 | 2.92 | 2.03 |

- Dati forze imperfezioni globali per piano

| Piano | Forze Piano | | | Forze Totali | | |
|-------|-------------|--------|--------|--------------|--------|--------|
| | fz Cmb [N] | fx [N] | fy [N] | fz Cmb [N] | fx [N] | fy [N] |
| 1 | 0 | 0 | 0 | 0 | 0 | 0 |
| 0 | 0 | 0 | 0 | 0 | 0 | 0 |

- Imperfezione Globale. Combinazione di base.

| Peso. Prop. | Caric. Perm. | Affol. | Copert. | Vento X | Vento Y | Neve <1km | Sisma X | Ecc.Y Sism.X | Sisma Y | Ecc.X Sism.Y |
|-------------|--------------|--------|---------|---------|---------|-----------|---------|--------------|---------|--------------|
| 0.000 | 0.000 | 0.000 | 0.000 | 0.000 | 0.000 | 0.000 | 0.000 | 0.000 | 0.000 | 0.000 |

- Errore di verticalità

| h [m] | Direzione x | | | Direzione y | | |
|-------|-------------|----|---|-------------|-----------|-----------|
| | Φ0 | ah | m | Φ | m | am |
| 2.92 | 0.005 | 1 | 2 | 0.86603 | 0.0043301 | 2 |
| | | | | | | 0.86603 |
| | | | | | | 0.0043301 |

- Equilibrio per Piano. Azioni statiche

| Azione | Piano | forze interna piano | | | forze da elementi superiori | | | forze da elementi inferiori | | | reazioni vincolari | | | reazioni elementi winkler | | | equilibrio | | |
|--------|-------|---------------------|--------|--------|-----------------------------|--------|--------|-----------------------------|--------|--------|--------------------|--------|--------|---------------------------|--------|--------|------------|--------|--------|
| | | Fx [N] | Fy [N] | Fz [N] | Fx [N] | Fy [N] | Fz [N] | Fx [N] | Fy [N] | Fz [N] | Fx [N] | Fy [N] | Fz [N] | Fx [N] | Fy [N] | Fz [N] | Fx [N] | Fy [N] | Fz [N] |
| 1 | 1 | 0 | 0 | -13.4k | 0 | 0 | 0 | -0.28n | -85.3p | 13.4k | 0 | 0 | 0 | 0 | 0 | 0 | -0.28n | -85.3p | 0.64n |
| 1 | 0 | 0 | 0 | -91.1k | 0.28n | 85.3p | -13.4k | 0 | 0 | 0 | -0.28n | -85.3p | 104k | 0 | 0 | 0 | 0 | 0 | 1.06n |
| 2 | 1 | 0 | 0 | -33.9k | 0 | 0 | 0 | -0.79n | -0.28n | 33.9k | 0 | 0 | 0 | 0 | 0 | 0 | -0.79n | -0.28n | 1.79n |
| 2 | 0 | 0 | 0 | -22.0k | 0.79n | 0.28n | -33.9k | 0 | 0 | 0 | -0.79n | -0.28n | 55.9k | 0 | 0 | 0 | 0 | 0 | 0.22n |
| 5 | 1 | 0 | 0 | 0 | 0 | 0 | 0 | 0 | 0 | 0 | 0 | 0 | 0 | 0 | 0 | 0 | 0 | 0 | 0 |
| 5 | 0 | 0 | 0 | -14.4k | 0 | 0 | 0 | 0 | 0 | 0 | 0 | 0 | 14.4k | 0 | 0 | 0 | 0 | 0 | 0.14n |
| 10 | 1 | 0 | 0 | -14.1k | 0 | 0 | 0 | -0.33n | -0.12n | 14.1k | 0 | 0 | 0 | 0 | 0 | 0 | -0.33n | -0.12n | 0.77n |
| 10 | 0 | 0 | 0 | 0 | 0.33n | 0.12n | -14.1k | 0 | 0 | 0 | -0.33n | -0.12n | 14.1k | 0 | 0 | 0 | 0 | 0 | 0 |
| 11 | 1 | 5.61k | 0 | 0 | 0 | 0 | 0 | -5.61k | 22.8n | -0.16n | 0 | 0 | 0 | 0 | 0 | 0 | -49.8n | 22.8n | -0.16n |
| 11 | 0 | 5.41k | 0 | 0 | 5.61k | -22.8n | 0.16n | 0 | 0 | 0 | -11.0k | 22.8n | -0.16n | 0 | 0 | 0 | -16.4p | -3.09p | 0 |
| 12 | 1 | 0 | 7.36k | 0 | 0 | 0 | 0 | 26.4n | -7.36k | -0.18n | 0 | 0 | 0 | 0 | 0 | 0 | 26.4n | -11.0n | -0.18n |
| 12 | 0 | 0 | 7.13k | 0 | -26.4n | 7.36k | 0.18n | 0 | 0 | 0 | 26.4n | -14.5k | -0.18n | 0 | 0 | 0 | -23.6p | 3.64p | 0 |
| 13 | 1 | 0 | 0 | -13.6k | 0 | 0 | 0 | -0.32n | -0.11n | 13.6k | 0 | 0 | 0 | 0 | 0 | 0 | -0.32n | -0.11n | 0.73n |
| 13 | 0 | 0 | 0 | 0 | 0.32n | 0.11n | -13.6k | 0 | 0 | 0 | -0.32n | -0.11n | 13.6k | 0 | 0 | 0 | 0 | 0 | 0 |
| 16 | 1 | 47.3k | 0 | 0 | 0 | 0 | 0 | -47.3k | 0.19μ | -1.46n | 0 | 0 | 0 | 0 | 0 | 0 | -0.42μ | 0.19μ | -1.46n |
| 16 | 0 | 0 | 0 | 0 | 47.3k | -0.19μ | 1.46n | 0 | 0 | 0 | -47.3k | 0.19μ | -1.46n | 0 | 0 | 0 | 0 | 0 | 0 |
| 17 | 1 | 0 | 0 | 0 | 0 | 0 | 0 | 0 | 0 | 0 | 0 | 0 | 0 | 0 | 0 | 0 | 0 | 0 | 0 |
| 17 | 0 | 0 | 0 | 0 | 0 | 0 | 0 | 0 | 0 | 0 | 0 | 0 | 0 | 0 | 0 | 0 | 0 | 0 | 0 |
| 18 | 1 | 0 | 47.3k | 0 | 0 | 0 | 0 | 0.17μ | -47.3k | -1.12n | 0 | 0 | 0 | 0 | 0 | 0 | 0.17μ | -70.8n | -1.12n |
| 18 | 0 | 0 | 0 | 0 | -0.17μ | 47.3k | 1.12n | 0 | 0 | 0 | 0.17μ | -47.3k | -1.12n | 0 | 0 | 0 | 0 | 0 | 0 |
| 19 | 1 | 0 | 0 | 0 | 0 | 0 | 0 | 0 | 0 | 0 | 0 | 0 | 0 | 0 | 0 | 0 | 0 | 0 | 0 |
| 19 | 0 | 0 | 0 | 0 | 0 | 0 | 0 | 0 | 0 | 0 | 0 | 0 | 0 | 0 | 0 | 0 | 0 | 0 | 0 |

Legenda

- **Forze interne piano:** Forze applicate sulle travi completamente interne al piano e sui nodi del piano.
- **Forze da beams superiori:** Forze agenti sul piano esercitate da beams che hanno almeno un nodo appartenente ad un piano superiore.
- **Forze da beams inferiori:** Forze agenti sul piano esercitate da beams che hanno almeno un nodo appartenente ad un piano inferiore.
- **Reazioni vincolari:** Forze agenti sul piano esercitate dalle reazioni vincolari dei nodi appartenenti al piano.
- **Reazioni winkler:** Forze agenti sul piano esercitate dalle reazioni del terreno delle travi di winkler.
- **Equilibrio:** Somma di tutte le forze precedenti.

Suffissi: f=10⁻¹⁵; p=10⁻¹²; n=10⁻⁹; μ=10⁻⁶; m=10⁻³; k=10³; M=10⁶; G=10⁹; T=10¹²; P=10¹⁵ (Sistema Internazionale di misura)

Le forze per le azioni sismiche (n° 16,17,18 e 19) sono calcolate per l'accelerazione orizzontale di 1g

- Errori Numerici Massimi

• :

Modi presenti in memoria

- Ortogonalizzazione autovettori:: 5.421E-19
- Normalizzazione autovettori:: 2.2204E-16
- $|K\psi - \lambda M\psi| / |K\psi|$:: 7.0743E-12
- soluzione sistema:: 2.6634E-8 [N o Nm]
- equilibrio nodi:: 2.6131E-7 [N o Nm]
- diagrammi forze:: 4.1496E-12 [N]
- diagrammi momenti:: 9.7941E-11 [Nm]
- deformate:: 8.8622E-7 [m] e 3.1006E-9 [rad]
- equilibrio piani:: 4.614E-7 [N]
- : memorizzo struttura calcolata

Legenda tabella Inviluppo Sollecitazioni Beam

- **N°**: Numero trave o pilastro
 - **Fam Cmb**: Numero famiglia di combinazione. GR = Sollecitazioni derivanti dalla gerarchia delle resistenza Taglio-Flessione.
 - **Min-Max**: *Min* = sollecitazione minima; *Max* = sollecitazione massima.
 - **Sezione iniziale**: Sollecitazioni nella sezione iniziale della trave o pilastro. Per i pilastri la sezione iniziale è quella superiore.
 - **Sezione centrale**: Sollecitazioni nella sezione centrale della trave o pilastro.
 - **Sezione finale**: Sollecitazioni nella sezione finale della trave o pilastro. Per i pilastri la sezione finale è quella inferiore.
- Suffissi**: f=10⁻¹⁵; p=10⁻¹²; n=10⁻⁹; μ =10⁻⁶; m=10⁻³; k=10³; M=10⁶; G=10⁹; T=10¹²; P=10¹⁵ (Sistema Internazionale di misura)

– Piano 0. Inviluppo Sollecitazioni Travi

| N° | Fam Cmb. | Sezione iniziale | | | | | | Sezione centrale | | | | | | Sezione finale | | | | | |
|----|----------|------------------|--------|--------|---------|---------|---------|------------------|--------|--------|---------|---------|---------|----------------|--------|--------|---------|---------|---------|
| | | N [N] | Vy [N] | Vz [N] | Mt [Nm] | My [Nm] | Mz [Nm] | N [N] | Vy [N] | Vz [N] | Mt [Nm] | My [Nm] | Mz [Nm] | N [N] | Vy [N] | Vz [N] | Mt [Nm] | My [Nm] | Mz [Nm] |
| 1 | 1 Min | -50.0 | -55.6 | -1.77k | 81.6 | 31.8 | 0 | -50.0 | -55.6 | -1.80k | 81.6 | -297 | -10.3 | -50.0 | -55.6 | -1.84k | 81.6 | -634 | -20.6 |
| 1 | 1 Max | 50.0 | 55.6 | -1.70k | 85.3 | 33.3 | 0 | 50.0 | 55.6 | -1.73k | 85.3 | -285 | 10.3 | 50.0 | 55.6 | -1.76k | 85.3 | -607 | 20.6 |
| 1 | 2 Min | -33.3 | -37.1 | -1.34k | 61.9 | 24.1 | 0 | -33.3 | -37.1 | -1.36k | 61.9 | -224 | -6.86 | -33.3 | -37.1 | -1.39k | 61.9 | -479 | -13.7 |
| 1 | 2 Max | 33.3 | 37.1 | -1.29k | 64.3 | 25.1 | 0 | 33.3 | 37.1 | -1.31k | 64.3 | -216 | 6.86 | 33.3 | 37.1 | -1.34k | 64.3 | -461 | 13.7 |
| 1 | 3 Min | -6.67 | -7.41 | -1.29k | 61.1 | 23.8 | 0 | -6.67 | -7.41 | -1.31k | 61.1 | -216 | -1.37 | -6.67 | -7.41 | -1.34k | 61.1 | -461 | -2.74 |
| 1 | 3 Max | 6.67 | 7.41 | -1.27k | 61.9 | 24.1 | 0 | 6.67 | 7.41 | -1.29k | 61.9 | -213 | 1.37 | 6.67 | 7.41 | -1.32k | 61.9 | -455 | 2.74 |
| 1 | 4 Max | 0 | 0 | -1.27k | 61.1 | 23.8 | 0 | 0 | 0 | -1.29k | 61.1 | -213 | 0 | 0 | 0 | -1.32k | 61.1 | -455 | 0 |
| 1 | 5 Max | 0 | 0 | -1.17k | 56.2 | 21.9 | 0 | 0 | 0 | -1.19k | 56.2 | -196 | 0 | 0 | 0 | -1.22k | 56.2 | -419 | 0 |
| 1 | 7 Min | 0 | 0 | -1.27k | 61.1 | 23.8 | 0 | 0 | 0 | -1.29k | 61.1 | -213 | 0 | 0 | 0 | -1.32k | 61.1 | -455 | 0 |
| 1 | 7 Max | 0 | 0 | -1.27k | 61.1 | 23.8 | 0 | 0 | 0 | -1.29k | 61.1 | -213 | 0 | 0 | 0 | -1.32k | 61.1 | -455 | 0 |
| 1 | 8 Min | 0 | 0 | -1.27k | 61.1 | 23.8 | 0 | 0 | 0 | -1.29k | 61.1 | -213 | 0 | 0 | 0 | -1.32k | 61.1 | -455 | 0 |
| 1 | 8 Max | 0 | 0 | -1.27k | 61.1 | 23.8 | 0 | 0 | 0 | -1.29k | 61.1 | -213 | 0 | 0 | 0 | -1.32k | 61.1 | -455 | 0 |
| 2 | 1 Min | -537 | -47.9 | 18.9k | -1.13k | -15.3k | -25.5 | -537 | -47.9 | 18.8k | -1.13k | -7.00k | -5.33 | -537 | -47.9 | 18.7k | -1.13k | 2.86k | -19.1 |
| 2 | 1 Max | 537 | 47.9 | 19.8k | -1.09k | -14.7k | 25.5 | 537 | 47.9 | 19.7k | -1.09k | -6.72k | 5.33 | 537 | 47.9 | 19.5k | -1.09k | 2.98k | 19.1 |
| 2 | 2 Min | -358 | -31.9 | 14.4k | -853 | -11.6k | -17.0 | -358 | -31.9 | 14.3k | -853 | -5.29k | -3.55 | -358 | -31.9 | 14.2k | -853 | 2.17k | -12.7 |
| 2 | 2 Max | 358 | 31.9 | 14.9k | -827 | -11.1k | 17.0 | 358 | 31.9 | 14.8k | -827 | -5.10k | 3.55 | 358 | 31.9 | 14.7k | -827 | 2.25k | 12.7 |
| 2 | 3 Min | -71.6 | -6.39 | 14.2k | -827 | -11.1k | -3.40 | -71.6 | -6.39 | 14.1k | -827 | -5.10k | -0.710 | -71.6 | -6.39 | 14.0k | -827 | 2.14k | -2.55 |
| 2 | 3 Max | 71.6 | 6.39 | 14.4k | -818 | -11.0k | 3.40 | 71.6 | 6.39 | 14.3k | -818 | -5.03k | 0.710 | 71.6 | 6.39 | 14.2k | -818 | 2.17k | 2.55 |
| 2 | 4 Max | 0 | 0 | 14.2k | -818 | -11.0k | 0 | 0 | 0 | 14.1k | -818 | -5.03k | 0 | 0 | 0 | 14.0k | -818 | 2.14k | 0 |
| 2 | 5 Max | 0 | 0 | 13.1k | -766 | -10.1k | 0 | 0 | 0 | 13.0k | -766 | -4.65k | 0 | 0 | 0 | 12.9k | -766 | 1.98k | 0 |
| 2 | 7 Min | 0 | 0 | 14.2k | -818 | -11.0k | 0 | 0 | 0 | 14.1k | -818 | -5.03k | 0 | 0 | 0 | 14.0k | -818 | 2.14k | 0 |
| 2 | 7 Max | 0 | 0 | 14.2k | -818 | -11.0k | 0 | 0 | 0 | 14.1k | -818 | -5.03k | 0 | 0 | 0 | 14.0k | -818 | 2.14k | 0 |
| 2 | 8 Min | 0 | 0 | 14.2k | -818 | -11.0k | 0 | 0 | 0 | 14.1k | -818 | -5.03k | 0 | 0 | 0 | 14.0k | -818 | 2.14k | 0 |
| 2 | 8 Max | 0 | 0 | 14.2k | -818 | -11.0k | 0 | 0 | 0 | 14.1k | -818 | -5.03k | 0 | 0 | 0 | 14.0k | -818 | 2.14k | 0 |
| 3 | 1 Min | -112 | -3.66 | 4.90k | -504 | 3.00k | -1.08 | -112 | -3.66 | 4.76k | -504 | 5.44k | -2.93 | -112 | -3.66 | 4.63k | -504 | 7.81k | -4.78 |
| 3 | 1 Max | 112 | 3.66 | 5.11k | -485 | 3.13k | 1.08 | 112 | 3.66 | 4.97k | -485 | 5.67k | 2.93 | 112 | 3.66 | 4.82k | -485 | 8.15k | 4.78 |
| 3 | 2 Min | -74.4 | -2.44 | 3.71k | -381 | 2.28k | -0.719 | -74.4 | -2.44 | 3.61k | -381 | 4.13k | -1.95 | -74.4 | -2.44 | 3.51k | -381 | 5.93k | -3.19 |
| 3 | 2 Max | 74.4 | 2.44 | 3.86k | -369 | 2.36k | 0.719 | 74.4 | 2.44 | 3.75k | -369 | 4.28k | 1.95 | 74.4 | 2.44 | 3.64k | -369 | 6.15k | 3.19 |
| 3 | 3 Min | -14.9 | -0.488 | 3.67k | -369 | 2.25k | -0.144 | -14.9 | -0.488 | 3.57k | -369 | 4.08k | -0.391 | -14.9 | -0.488 | 3.47k | -369 | 5.85k | -0.637 |
| 3 | 3 Max | 14.9 | 0.488 | 3.71k | -365 | 2.28k | 0.144 | 14.9 | 0.488 | 3.61k | -365 | 4.13k | 0.391 | 14.9 | 0.488 | 3.51k | -365 | 5.93k | 0.637 |
| 3 | 4 Max | 0 | 0 | 3.67k | -365 | 2.25k | 0 | 0 | 0 | 3.57k | -365 | 4.08k | 0 | 0 | 0 | 3.47k | -365 | 5.85k | 0 |
| 3 | 5 Max | 0 | 0 | 3.38k | -339 | 2.08k | 0 | 0 | 0 | 3.29k | -339 | 3.76k | 0 | 0 | 0 | 3.21k | -339 | 5.40k | 0 |
| 3 | 7 Min | 0 | 0 | 3.67k | -365 | 2.25k | 0 | 0 | 0 | 3.57k | -365 | 4.08k | 0 | 0 | 0 | 3.47k | -365 | 5.85k | 0 |
| 3 | 7 Max | 0 | 0 | 3.67k | -365 | 2.25k | 0 | 0 | 0 | 3.57k | -365 | 4.08k | 0 | 0 | 0 | 3.47k | -365 | 5.85k | 0 |
| 3 | 8 Min | 0 | 0 | 3.67k | -365 | 2.25k | 0 | 0 | 0 | 3.57k | -365 | 4.08k | 0 | 0 | 0 | 3.47k | -365 | 5.85k | 0 |
| 3 | 8 Max | 0 | 0 | 3.67k | -365 | 2.25k | 0 | 0 | 0 | 3.57k | -365 | 4.08k | 0 | 0 | 0 | 3.47k | -365 | 5.85k | 0 |
| 4 | 1 Min | -114 | -3.74 | -4.89k | 486 | 7.81k | -4.83 | -114 | -3.74 | -5.03k | 486 | 5.39k | -2.92 | -114 | -3.74 | -5.18k | 486 | 2.89k | -1.02 |
| 4 | 1 Max | 114 | 3.74 | -4.69k | 505 | 8.15k | 4.83 | 114 | 3.74 | -4.82k | 505 | 5.62k | 2.92 | 114 | 3.74 | -4.96k | 505 | 3.01k | 1.02 |
| 4 | 2 Min | -76.1 | -2.49 | -3.69k | 369 | 5.93k | -3.22 | -76.1 | -2.49 | -3.80k | 369 | 4.09k | -1.95 | -76.1 | -2.49 | -3.91k | 369 | 2.19k | -0.680 |
| 4 | 2 Max | 76.1 | 2.49 | -3.56k | 382 | 6.15k | 3.22 | 76.1 | 2.49 | -3.66k | 382 | 4.24k | 1.95 | 76.1 | 2.49 | -3.76k | 382 | 2.28k | 0.680 |
| 4 | 3 Min | -15.2 | -0.498 | -3.56k | 365 | 5.85k | -0.644 | -15.2 | -0.498 | -3.66k | 365 | 4.04k | -0.390 | -15.2 | -0.498 | -3.76k | 365 | 2.17k | -0.136 |
| 4 | 3 Max | 15.2 | 0.498 | -3.52k | 369 | 5.93k | 0.644 | 15.2 | 0.498 | -3.61k | 369 | 4.09k | 0.390 | 15.2 | 0.498 | -3.71k | 369 | 2.19k | 0.136 |
| 4 | 4 Max | 0 | 0 | -3.52k | 365 | 5.85k | 0 | 0 | 0 | -3.61k | 365 | 4.04k | 0 | 0 | 0 | -3.71k | 365 | 2.17k | 0 |
| 4 | 5 Max | 0 | 0 | -3.25k | 340 | 5.41k | 0 | 0 | 0 | -3.34k | 340 | 3.73k | 0 | 0 | 0 | -3.42k | 340 | 2.00k | 0 |
| 4 | 7 Min | 0 | 0 | -3.52k | 365 | 5.85k | 0 | 0 | 0 | -3.61k | 365 | 4.04k | 0 | 0 | 0 | -3.71k | 365 | 2.17k | 0 |
| 4 | 7 Max | 0 | 0 | -3.52k | 365 | 5.85k | 0 | 0 | 0 | -3.61k | 365 | 4.04k | 0 | 0 | 0 | -3.71k | 365 | 2.17k | 0 |
| 4 | 8 Min | 0 | 0 | -3.52k | 365 | 5.85k | 0 | 0 | 0 | -3.61k | 365 | 4.04k | 0 | 0 | 0 | -3.71k | 365 | 2.17k | 0 |
| 4 | 8 Max | 0 | 0 | -3.52k | 365 | 5.85k | 0 | 0 | 0 | -3.61k | 365 | 4.04k | 0 | 0 | 0 | -3.71k | 365 | 2.17k | 0 |
| 5 | 1 Min | -539 | -49.2 | -19.6k | 1.09k | 2.74k | -19.4 | -539 | -49.2 | -19.8k | 1.09k | -7.09k | -5.42 | -539 | -49.2 | -19.9k | 1.09k | -15.3k | -25.9 |
| 5 | 1 Max | 539 | 49.2 | -18.8k | 1.13k | 2.86k | 19.4 | 539 | 49.2 | -19.0k | 1.13k | -6.79k | 5.42 | 539 | 49.2 | -19.1k | 1.13k | -14.7k | 25.9 |
| 5 | 2 Min | -359 | -32.8 | -14.8k | 832 | 2.08k | -12.9 | -359 | -32.8 | -14.9k | 832 | -5.35k | -3.61 | -359 | -32.8 | -15.0k | 832 | -11.6k | -17.2 |
| 5 | 2 Max | 359 | 32.8 | -14.3k | 858 | 2.16k | 12.9 | 359 | 32.8 | -14.4k | 858 | -5.16k | 3.61 | 359 | 32.8 | -14.5k | 858 | -11.2k | 17.2 |
| 5 | 3 Min | -71.8 | -6.55 | -14.3k | 823 | 2.06k | -2.59 | -71.8 | -6.55 | -14.4k | 823 | -5.16k | -0.723 | -71.8 | -6.55 | -14.5k | 823 | -11.2k | -3.45 |
| 5 | 3 Max | 71.8 | 6.55 | -14.1k | 832 | 2.08k | 2.59 | 71.8 | 6.55 | -14.2k | 832 | -5.09k | 0.723 | 71.8 | 6.55 | -14.3k | 832 | -11.0k | 3.45 |
| 5 | 4 Max | 0 | 0 | -14.1k | 823 | 2.06k | 0 | 0 | 0 | -14.2k | 823 | -5.09k | 0 | 0 | 0 | -14.3k | 823 | -11.0k | 0 |
| 5 | 5 Max | 0 | 0 | -13.0k | 770 | 1.90k | 0 | 0 | 0 | -13.1k | 770 | -4.70k | 0 | 0 | 0 | -13.2k | 770 | -10.2k | 0 |
| 5 | 7 Min | 0 | 0 | -14.1k | 823 | 2.06k | 0 | 0 | 0 | -14.2k | 823 | -5.09k | 0 | 0 | 0 | -14.3k | 823 | -11.0k | 0 |
| 5 | 7 Max | 0 | 0 | -14.1k | 823 | 2.06k | 0 | 0 | 0 | -14.2k | 823 | -5.09k | 0 | 0 | 0 | -14.3k | 823 | -11.0k | 0 |
| 5 | 8 Min | 0 | 0 | -14.1k | 823 | 2.06k | 0 | 0 | 0 | -14.2k | 823 | -5.09k | 0 | 0 | 0 | -14.3k | 823 | -11.0k | 0 |
| 5 | 8 Max | 0 | 0 | -14.1k | 823 | 2.06k | 0 | 0 | 0 | -14.2k | 823 | -5.09k | 0 | 0 | 0 | -14.3k | 823 | -11.0k | 0 |
| 6 | 1 Min | -753 | -341 | 1.31k | 242 | -763 | -45.9 | -753 | -341 | 1.29k | 242 | -652 | -18.0 | -753 | -341 | 1.26k | 242 | -428 | -43.1 |
| 6 | 1 Max | 753 | 341 | 1.31k | 246 | -748 | 45.9 | 753 | 341 | 1.30k | 246 | -636 | 18.0 | 753 | 341 | 1.27k | 246 | -412 | 43.1 |
| 6 | 2 Min | -502 | -227 | 1.01k | 186 | -582 | -30.6 | -502 | -227 | 996 | 186 | -496 | -12.0 | -502 | -227 | 972 | 186 | -324 | -28.7 |
| 6 | 2 Max | 502 | 227 | 1.01k | 188 | -571 | 30.6 | 502 | 227 | 999 | 188 | -485 | 12.0 | 502 | 227 | 975 | 188 | -313 | 28.7 |
| 6 | 3 Min | -100 | -45.5 | 1.01k | 185 | -571 | -6.12 | -100 | -45.5 | 999 | | | | | | | | | |

| | | | | | | | | | | | | | | | | | | | | |
|----|---|-----|-------|-------|--------|--------|--------|--------|-------|-------|--------|--------|--------|--------|-------|-------|--------|--------|--------|--------|
| 7 | 3 | Min | -44.8 | -4.04 | -2.05k | -0.409 | 20.0 | 0 | -44.8 | -4.04 | -2.08k | -0.409 | -372 | -0.768 | -44.8 | -4.04 | -2.11k | -0.409 | -770 | -1.54 |
| 7 | 3 | Max | 44.8 | 4.04 | -2.03k | -0.404 | 20.3 | 0 | 44.8 | 4.04 | -2.05k | -0.404 | -367 | 0.768 | 44.8 | 4.04 | -2.08k | -0.404 | -760 | 1.54 |
| 7 | 4 | Max | 0 | 0 | -2.03k | -0.404 | 20.0 | 0 | 0 | 0 | -2.05k | -0.404 | -367 | 0 | 0 | 0 | -2.08k | -0.404 | -760 | 0 |
| 7 | 5 | Max | 0 | 0 | -1.86k | -0.371 | 18.4 | 0 | 0 | 0 | -1.89k | -0.371 | -338 | 0 | 0 | 0 | -1.91k | -0.371 | -699 | 0 |
| 7 | 7 | Min | 0 | 0 | -2.03k | -0.404 | 20.0 | 0 | 0 | 0 | -2.05k | -0.404 | -367 | 0 | 0 | 0 | -2.08k | -0.404 | -760 | 0 |
| 7 | 7 | Max | 0 | 0 | -2.03k | -0.404 | 20.0 | 0 | 0 | 0 | -2.05k | -0.404 | -367 | 0 | 0 | 0 | -2.08k | -0.404 | -760 | 0 |
| 7 | 8 | Min | 0 | 0 | -2.03k | -0.404 | 20.0 | 0 | 0 | 0 | -2.05k | -0.404 | -367 | 0 | 0 | 0 | -2.08k | -0.404 | -760 | 0 |
| 7 | 8 | Max | 0 | 0 | -2.03k | -0.404 | 20.0 | 0 | 0 | 0 | -2.05k | -0.404 | -367 | 0 | 0 | 0 | -2.08k | -0.404 | -760 | 0 |
| 8 | 1 | Min | -294 | -32.6 | 3.15k | -20.3 | -3.41k | -17.9 | -294 | -32.6 | 3.02k | -20.3 | -1.76k | -1.32 | -294 | -32.6 | 2.88k | -20.3 | -195 | -15.3 |
| 8 | 1 | Max | 294 | 32.6 | 3.30k | -19.4 | -3.27k | 17.9 | 294 | 32.6 | 3.15k | -19.4 | -1.70k | 1.32 | 294 | 32.6 | 3.01k | -19.4 | -191 | 15.3 |
| 8 | 2 | Min | -196 | -21.7 | 2.39k | -15.3 | -2.57k | -12.0 | -196 | -21.7 | 2.29k | -15.3 | -1.33k | -0.879 | -196 | -21.7 | 2.19k | -15.3 | -151 | -10.2 |
| 8 | 2 | Max | 196 | 21.7 | 2.49k | -14.8 | -2.48k | 12.0 | 196 | 21.7 | 2.38k | -14.8 | -1.29k | 0.879 | 196 | 21.7 | 2.27k | -14.8 | -148 | 10.2 |
| 8 | 3 | Min | -39.3 | -4.34 | 2.36k | -14.8 | -2.48k | -2.39 | -39.3 | -4.34 | 2.26k | -14.8 | -1.29k | -0.176 | -39.3 | -4.34 | 2.16k | -14.8 | -152 | -2.04 |
| 8 | 3 | Max | 39.3 | 4.34 | 2.39k | -14.6 | -2.45k | 2.39 | 39.3 | 4.34 | 2.29k | -14.6 | -1.28k | 0.176 | 39.3 | 4.34 | 2.19k | -14.6 | -151 | 2.04 |
| 8 | 4 | Max | 0 | 0 | 2.36k | -14.6 | -2.45k | 0 | 0 | 0 | 2.26k | -14.6 | -1.28k | 0 | 0 | 0 | 2.16k | -14.6 | -152 | 0 |
| 8 | 5 | Max | 0 | 0 | 2.16k | -13.5 | -2.27k | 0 | 0 | 0 | 2.07k | -13.5 | -1.19k | 0 | 0 | 0 | 1.99k | -13.5 | -158 | 0 |
| 8 | 7 | Min | 0 | 0 | 2.36k | -14.6 | -2.45k | 0 | 0 | 0 | 2.26k | -14.6 | -1.28k | 0 | 0 | 0 | 2.16k | -14.6 | -152 | 0 |
| 8 | 7 | Max | 0 | 0 | 2.36k | -14.6 | -2.45k | 0 | 0 | 0 | 2.26k | -14.6 | -1.28k | 0 | 0 | 0 | 2.16k | -14.6 | -152 | 0 |
| 8 | 8 | Min | 0 | 0 | 2.36k | -14.6 | -2.45k | 0 | 0 | 0 | 2.26k | -14.6 | -1.28k | 0 | 0 | 0 | 2.16k | -14.6 | -152 | 0 |
| 8 | 8 | Max | 0 | 0 | 2.36k | -14.6 | -2.45k | 0 | 0 | 0 | 2.26k | -14.6 | -1.28k | 0 | 0 | 0 | 2.16k | -14.6 | -152 | 0 |
| 9 | 1 | Min | -245 | -30.6 | 2.44k | -40.3 | -837 | -16.2 | -245 | -30.6 | 1.56k | -40.3 | -287 | -8.12 | -245 | -30.6 | 801 | -40.3 | 34.9 | 0 |
| 9 | 1 | Max | 245 | 30.6 | 2.55k | -38.6 | -802 | 16.2 | 245 | 30.6 | 1.63k | -38.6 | -275 | 8.12 | 245 | 30.6 | 836 | -38.6 | 36.4 | 0 |
| 9 | 2 | Min | -163 | -20.4 | 1.85k | -30.4 | -632 | -10.8 | -163 | -20.4 | 1.18k | -30.4 | -217 | -5.41 | -163 | -20.4 | 608 | -30.4 | 26.5 | 0 |
| 9 | 2 | Max | 163 | 20.4 | 1.92k | -29.3 | -608 | 10.8 | 163 | 20.4 | 1.23k | -29.3 | -209 | 5.41 | 163 | 20.4 | 631 | -29.3 | 27.5 | 0 |
| 9 | 3 | Min | -32.6 | -4.09 | 1.83k | -29.3 | -608 | -2.17 | -32.6 | -4.09 | 1.17k | -29.3 | -209 | -1.08 | -32.6 | -4.09 | 600 | -29.3 | 26.1 | 0 |
| 9 | 3 | Max | 32.6 | 4.09 | 1.85k | -28.9 | -601 | 2.17 | 32.6 | 4.09 | 1.18k | -28.9 | -206 | 1.08 | 32.6 | 4.09 | 608 | -28.9 | 26.5 | 0 |
| 9 | 4 | Max | 0 | 0 | 1.83k | -28.9 | -601 | 0 | 0 | 0 | 1.17k | -28.9 | -206 | 0 | 0 | 0 | 600 | -28.9 | 26.1 | 0 |
| 9 | 5 | Max | 0 | 0 | 1.69k | -26.7 | -554 | 0 | 0 | 0 | 1.08k | -26.7 | -190 | 0 | 0 | 0 | 554 | -26.7 | 24.1 | 0 |
| 9 | 7 | Min | 0 | 0 | 1.83k | -28.9 | -601 | 0 | 0 | 0 | 1.17k | -28.9 | -206 | 0 | 0 | 0 | 600 | -28.9 | 26.1 | 0 |
| 9 | 7 | Max | 0 | 0 | 1.83k | -28.9 | -601 | 0 | 0 | 0 | 1.17k | -28.9 | -206 | 0 | 0 | 0 | 600 | -28.9 | 26.1 | 0 |
| 9 | 8 | Min | 0 | 0 | 1.83k | -28.9 | -601 | 0 | 0 | 0 | 1.17k | -28.9 | -206 | 0 | 0 | 0 | 600 | -28.9 | 26.1 | 0 |
| 9 | 8 | Max | 0 | 0 | 1.83k | -28.9 | -601 | 0 | 0 | 0 | 1.17k | -28.9 | -206 | 0 | 0 | 0 | 600 | -28.9 | 26.1 | 0 |
| 10 | 1 | Min | -64.1 | -10.5 | -3.20k | 21.4 | 4.35k | -6.76 | -64.1 | -10.5 | -3.35k | 21.4 | 2.75k | -1.43 | -64.1 | -10.5 | -3.49k | 21.4 | 1.08k | -3.90 |
| 10 | 1 | Max | 64.1 | 10.5 | -3.07k | 22.3 | 4.55k | 6.76 | 64.1 | 10.5 | -3.21k | 22.3 | 2.88k | 1.43 | 64.1 | 10.5 | -3.64k | 22.3 | 1.13k | 3.90 |
| 10 | 2 | Min | -42.7 | -6.97 | -2.42k | 16.3 | 3.30k | -4.51 | -42.7 | -6.97 | -2.53k | 16.3 | 2.08k | -0.952 | -42.7 | -6.97 | -2.64k | 16.3 | 816 | -2.60 |
| 10 | 2 | Max | 42.7 | 6.97 | -2.33k | 16.9 | 3.43k | 4.51 | 42.7 | 6.97 | -2.43k | 16.9 | 2.17k | 0.952 | 42.7 | 6.97 | -2.54k | 16.9 | 852 | 2.60 |
| 10 | 3 | Min | -8.55 | -1.39 | -2.33k | 16.1 | 3.26k | -0.901 | -8.55 | -1.39 | -2.43k | 16.1 | 2.06k | -0.190 | -8.55 | -1.39 | -2.54k | 16.1 | 804 | -0.521 |
| 10 | 3 | Max | 8.55 | 1.39 | -2.30k | 16.3 | 3.30k | 0.901 | 8.55 | 1.39 | -2.40k | 16.3 | 2.08k | 0.190 | 8.55 | 1.39 | -2.50k | 16.3 | 816 | 0.521 |
| 10 | 4 | Max | 0 | 0 | -2.30k | 16.1 | 3.26k | 0 | 0 | 0 | -2.40k | 16.1 | 2.06k | 0 | 0 | 0 | -2.50k | 16.1 | 804 | 0 |
| 10 | 5 | Max | 0 | 0 | -2.14k | 14.8 | 3.00k | 0 | 0 | 0 | -2.22k | 14.8 | 1.88k | 0 | 0 | 0 | -2.30k | 14.8 | 731 | 0 |
| 10 | 7 | Min | 0 | 0 | -2.30k | 16.1 | 3.26k | 0 | 0 | 0 | -2.40k | 16.1 | 2.06k | 0 | 0 | 0 | -2.50k | 16.1 | 804 | 0 |
| 10 | 7 | Max | 0 | 0 | -2.30k | 16.1 | 3.26k | 0 | 0 | 0 | -2.40k | 16.1 | 2.06k | 0 | 0 | 0 | -2.50k | 16.1 | 804 | 0 |
| 10 | 8 | Min | 0 | 0 | -2.30k | 16.1 | 3.26k | 0 | 0 | 0 | -2.40k | 16.1 | 2.06k | 0 | 0 | 0 | -2.50k | 16.1 | 804 | 0 |
| 10 | 8 | Max | 0 | 0 | -2.30k | 16.1 | 3.26k | 0 | 0 | 0 | -2.40k | 16.1 | 2.06k | 0 | 0 | 0 | -2.50k | 16.1 | 804 | 0 |
| 11 | 1 | Min | -293 | -33.1 | -2.98k | 19.3 | -271 | -15.4 | -293 | -33.1 | -3.13k | 19.3 | -1.81k | -1.32 | -293 | -33.1 | -3.27k | 19.3 | -3.43k | -18.0 |
| 11 | 1 | Max | 293 | 33.1 | -2.86k | 20.1 | -270 | 15.4 | 293 | 33.1 | -2.99k | 20.1 | -1.75k | 1.32 | 293 | 33.1 | -3.12k | 20.1 | -3.29k | 18.0 |
| 11 | 2 | Min | -196 | -22.0 | -2.25k | 14.6 | -209 | -10.3 | -196 | -22.0 | -2.36k | 14.6 | -1.37k | -0.878 | -196 | -22.0 | -2.47k | 14.6 | -2.59k | -12.0 |
| 11 | 2 | Max | 196 | 22.0 | -2.17k | 15.2 | -208 | 10.3 | 196 | 22.0 | -2.27k | 15.2 | -1.33k | 0.878 | 196 | 22.0 | -2.37k | 15.2 | -2.50k | 12.0 |
| 11 | 3 | Min | -39.1 | -4.41 | -2.17k | 14.4 | -209 | -2.05 | -39.1 | -4.41 | -2.27k | 14.4 | -1.33k | -0.176 | -39.1 | -4.41 | -2.37k | 14.4 | -2.50k | -2.40 |
| 11 | 3 | Max | 39.1 | 4.41 | -2.14k | 14.6 | -209 | 2.05 | 39.1 | 4.41 | -2.24k | 14.6 | -1.31k | 0.176 | 39.1 | 4.41 | -2.34k | 14.6 | -2.47k | 2.40 |
| 11 | 4 | Max | 0 | 0 | -2.14k | 14.4 | -209 | 0 | 0 | 0 | -2.24k | 14.4 | -1.31k | 0 | 0 | 0 | -2.34k | 14.4 | -2.47k | 0 |
| 11 | 5 | Max | 0 | 0 | -1.97k | 13.4 | -211 | 0 | 0 | 0 | -2.05k | 13.4 | -1.23k | 0 | 0 | 0 | -2.14k | 13.4 | -2.29k | 0 |
| 11 | 7 | Min | 0 | 0 | -2.14k | 14.4 | -209 | 0 | 0 | 0 | -2.24k | 14.4 | -1.31k | 0 | 0 | 0 | -2.34k | 14.4 | -2.47k | 0 |
| 11 | 7 | Max | 0 | 0 | -2.14k | 14.4 | -209 | 0 | 0 | 0 | -2.24k | 14.4 | -1.31k | 0 | 0 | 0 | -2.34k | 14.4 | -2.47k | 0 |
| 11 | 8 | Min | 0 | 0 | -2.14k | 14.4 | -209 | 0 | 0 | 0 | -2.24k | 14.4 | -1.31k | 0 | 0 | 0 | -2.34k | 14.4 | -2.47k | 0 |
| 11 | 8 | Max | 0 | 0 | -2.14k | 14.4 | -209 | 0 | 0 | 0 | -2.24k | 14.4 | -1.31k | 0 | 0 | 0 | -2.34k | 14.4 | -2.47k | 0 |
| 12 | 1 | Min | -506 | -66.6 | 2.79k | 0.700 | -2.81k | -17.2 | -506 | -66.6 | 2.74k | 0.700 | -2.00k | -1.83 | -506 | -66.6 | 2.69k | 0.700 | -1.20k | -20.8 |
| 12 | 1 | Max | 506 | 66.6 | 2.88k | 0.841 | -2.71k | 17.2 | 506 | 66.6 | 2.83k | 0.841 | -1.92k | 1.83 | 506 | 66.6 | 2.78k | 0.841 | -1.15k | 20.8 |
| 12 | 2 | Min | -337 | -44.4 | 2.13k | 0.587 | -2.13k | -11.4 | -337 | -44.4 | 2.09k | 0.587 | -1.51k | -1.22 | -337 | -44.4 | 2.05k | 0.587 | -904 | -13.9 |
| 12 | 2 | Max | 337 | 44.4 | 2.18k | 0.681 | -2.06k | 11.4 | 337 | 44.4 | 2.15k | 0.681 | -1.46k | 1.22 | 337 | 44.4 | 2.11k | 0.681 | -869 | 13.9 |
| 12 | 3 | Min | -67.5 | -8.88 | 2.11k | 0.681 | -2.06k | -2.29 | -67.5 | -8.88 | 2.07k | 0.681 | -1.46k | -0.244 | -67.5 | -8.88 | 2.03k | 0.681 | -869 | -2.78 |
| 12 | 3 | Max | 67.5 | 8.88 | 2.13k | 0.712 | -2.04k | 2.29 | 67.5 | 8.88 | 2.09k | 0.712 | -1.44k | 0.244 | 67.5 | 8.88 | 2.05k | 0.712 | -858 | 2.78 |
| 12 | 4 | Max | 0 | 0 | 2.11k | 0.712 | -2.04k | 0 | 0 | 0 | 2.07k | 0.712 | -1.44k | 0 | 0 | 0 | 2.03k | 0.712 | -858 | 0 |
| 12 | 5 | Max | 0 | 0 | 1.99k | 0.900 | -1.90k | 0 | 0 | 0 | 1.95k | 0.900 | -1.34k | 0 | 0 | 0 | 1.92k | 0.900 | -789 | 0 |
| 12 | 7 | Min | 0 | 0 | 2.11k | 0.712 | -2.04k | 0 | 0 | 0 | 2.07k | 0.712 | -1.44k | 0 | 0 | 0 | 2.03k | 0.712 | -858 | 0 |
| 12 | 7 | Max | 0 | 0 | 2.11k | 0.712 | -2.04k | 0 | 0 | 0 | 2.07k | 0.712 | -1.44k | 0 | 0 | 0 | 2.03k | 0.712 | -858 | 0 |
| 12 | 8 | Min | 0 | 0 | 2.11k | 0.712 | -2.04k | 0 | 0 | 0 | 2.07k | 0.712 | -1.44k | 0 | 0 | 0 | 2.03k | 0.712 | -858 | 0 |
| 12 | 8 | Max | 0 | 0 | 2.11k | 0.712 | -2.04k | 0 | 0 | 0 | 2.07k | 0.712 | -1.44k | 0 | 0 | 0 | 2.03k | 0.712 | -858 | 0 |
| 13 | 1 | Min | -66.6 | -47.8 | -1.73k | -83.1 | 32.0 | 0 | -66.6 | -47.8 | -1.76k | -83.1 | -316 | -9.57 | -66.6 | -47.8 | -1.80k | -83.1 | -672 | -19.1 |
| 13 | 1 | Max | 66.6 | 47.8 | -1.65k | -79.5 | 33.4 | 0 | 66.6 | 47.8 | -1.69k | -79.5 | -302 | 9.57 | 66.6 | 47.8 | -1.72k | -79.5 | -643 | 19.1 |
| 13 | 2 | Min | -44.4 | -31.9 | -1.30k | -62.7 | 24.2 | 0 | -44.4 | -31.9 | -1.33k | -62.7 | -238 | -6.38 | -44.4 | -31 | | | | |

| | | | | | | | | | | | | | | | | | | | | |
|----|---|-----|--------|--------|--------|--------|--------|--------|--------|--------|--------|--------|--------|--------|--------|--------|--------|--------|--------|--------|
| 16 | 2 | Max | 71.5 | 2.47 | -3.39k | -346 | 5.88k | 3.22 | 71.5 | 2.47 | -3.49k | -346 | 4.06k | 1.96 | 71.5 | 2.47 | -3.59k | -346 | 2.19k | 0.694 |
| 16 | 3 | Min | -14.3 | -0.495 | -3.39k | -346 | 5.60k | -0.643 | -14.3 | -0.495 | -3.49k | -346 | 3.86k | -0.391 | -14.3 | -0.495 | -3.59k | -346 | 2.08k | -0.139 |
| 16 | 3 | Max | 14.3 | 0.495 | -3.34k | -342 | 5.67k | 0.643 | 14.3 | 0.495 | -3.44k | -342 | 3.91k | 0.391 | 14.3 | 0.495 | -3.54k | -342 | 2.11k | 0.139 |
| 16 | 4 | Max | 0 | 0 | -3.34k | -342 | 5.60k | 0 | 0 | 0 | -3.44k | -342 | 3.86k | 0 | 0 | 0 | -3.54k | -342 | 2.08k | 0 |
| 16 | 5 | Max | 0 | 0 | -3.09k | -318 | 5.17k | 0 | 0 | 0 | -3.18k | -318 | 3.57k | 0 | 0 | 0 | -3.26k | -318 | 1.92k | 0 |
| 16 | 7 | Min | 0 | 0 | -3.34k | -342 | 5.60k | 0 | 0 | 0 | -3.44k | -342 | 3.86k | 0 | 0 | 0 | -3.54k | -342 | 2.08k | 0 |
| 16 | 7 | Max | 0 | 0 | -3.34k | -342 | 5.60k | 0 | 0 | 0 | -3.44k | -342 | 3.86k | 0 | 0 | 0 | -3.54k | -342 | 2.08k | 0 |
| 16 | 8 | Min | 0 | 0 | -3.34k | -342 | 5.60k | 0 | 0 | 0 | -3.44k | -342 | 3.86k | 0 | 0 | 0 | -3.54k | -342 | 2.08k | 0 |
| 16 | 8 | Max | 0 | 0 | -3.34k | -342 | 5.60k | 0 | 0 | 0 | -3.44k | -342 | 3.86k | 0 | 0 | 0 | -3.54k | -342 | 2.08k | 0 |
| 17 | 1 | Min | -493 | -49.7 | -18.8k | -1.02k | 2.62k | -19.6 | -493 | -49.7 | -18.9k | -1.02k | -6.78k | -5.46 | -493 | -49.7 | -19.0k | -1.02k | -14.7k | -26.1 |
| 17 | 1 | Max | 493 | 49.7 | -18.0k | -983 | 2.73k | 19.6 | 493 | 49.7 | -18.1k | -983 | -6.50k | 5.46 | 493 | 49.7 | -18.2k | -983 | -14.1k | 26.1 |
| 17 | 2 | Min | -328 | -33.1 | -14.2k | -771 | 1.99k | -13.1 | -328 | -33.1 | -14.3k | -771 | -5.12k | -3.64 | -328 | -33.1 | -14.4k | -771 | -11.1k | -17.4 |
| 17 | 2 | Max | 328 | 33.1 | -13.7k | -748 | 2.06k | 13.1 | 328 | 33.1 | -13.8k | -748 | -4.94k | 3.64 | 328 | 33.1 | -13.8k | -748 | -10.7k | 17.4 |
| 17 | 3 | Min | -65.7 | -6.62 | -13.7k | -748 | 1.96k | -2.62 | -65.7 | -6.62 | -13.8k | -748 | -4.94k | -0.728 | -65.7 | -6.62 | -13.8k | -748 | -10.7k | -3.48 |
| 17 | 3 | Max | 65.7 | 6.62 | -13.5k | -740 | 1.99k | 2.62 | 65.7 | 6.62 | -13.6k | -740 | -4.87k | 0.728 | 65.7 | 6.62 | -13.7k | -740 | -10.5k | 3.48 |
| 17 | 4 | Max | 0 | 0 | -13.5k | -740 | 1.96k | 0 | 0 | 0 | -13.6k | -740 | -4.87k | 0 | 0 | 0 | -13.7k | -740 | -10.5k | 0 |
| 17 | 5 | Max | 0 | 0 | -12.5k | -693 | 1.81k | 0 | 0 | 0 | -12.5k | -693 | -4.50k | 0 | 0 | 0 | -12.6k | -693 | -9.73k | 0 |
| 17 | 7 | Min | 0 | 0 | -13.5k | -740 | 1.96k | 0 | 0 | 0 | -13.6k | -740 | -4.87k | 0 | 0 | 0 | -13.7k | -740 | -10.5k | 0 |
| 17 | 7 | Max | 0 | 0 | -13.5k | -740 | 1.96k | 0 | 0 | 0 | -13.6k | -740 | -4.87k | 0 | 0 | 0 | -13.7k | -740 | -10.5k | 0 |
| 17 | 8 | Min | 0 | 0 | -13.5k | -740 | 1.96k | 0 | 0 | 0 | -13.6k | -740 | -4.87k | 0 | 0 | 0 | -13.7k | -740 | -10.5k | 0 |
| 17 | 8 | Max | 0 | 0 | -13.5k | -740 | 1.96k | 0 | 0 | 0 | -13.6k | -740 | -4.87k | 0 | 0 | 0 | -13.7k | -740 | -10.5k | 0 |
| 18 | 1 | Min | -745 | -362 | 1.25k | -238 | -762 | -44.1 | -745 | -362 | 1.23k | -238 | -674 | -20.4 | -745 | -362 | 1.21k | -238 | -479 | -39.4 |
| 18 | 1 | Max | 745 | 362 | 1.25k | -236 | -745 | 44.1 | 745 | 362 | 1.24k | -236 | -656 | 20.4 | 745 | 362 | 1.21k | -236 | -460 | 39.4 |
| 18 | 2 | Min | -497 | -241 | 961 | -183 | -580 | -29.4 | -497 | -241 | 951 | -183 | -513 | -13.6 | -497 | -241 | 929 | -183 | -362 | -26.2 |
| 18 | 2 | Max | 497 | 241 | 965 | -181 | -569 | 29.4 | 497 | 241 | 955 | -181 | -501 | 13.6 | 497 | 241 | 933 | -181 | -350 | 26.2 |
| 18 | 3 | Min | -99.4 | -48.2 | 965 | -181 | -569 | -5.89 | -99.4 | -48.2 | 955 | -181 | -501 | -2.72 | -99.4 | -48.2 | 933 | -181 | -350 | -5.25 |
| 18 | 3 | Max | 99.4 | 48.2 | 966 | -180 | -565 | 5.89 | 99.4 | 48.2 | 956 | -180 | -497 | 2.72 | 99.4 | 48.2 | 935 | -180 | -345 | 5.25 |
| 18 | 4 | Max | 0 | 0 | 966 | -180 | -565 | 0 | 0 | 0 | 956 | -180 | -497 | 0 | 0 | 0 | 935 | -180 | -345 | 0 |
| 18 | 5 | Max | 0 | 0 | 974 | -177 | -541 | 0 | 0 | 0 | 964 | -177 | -473 | 0 | 0 | 0 | 943 | -177 | -320 | 0 |
| 18 | 7 | Min | 0 | 0 | 966 | -180 | -565 | 0 | 0 | 0 | 956 | -180 | -497 | 0 | 0 | 0 | 935 | -180 | -345 | 0 |
| 18 | 7 | Max | 0 | 0 | 966 | -180 | -565 | 0 | 0 | 0 | 956 | -180 | -497 | 0 | 0 | 0 | 935 | -180 | -345 | 0 |
| 18 | 8 | Min | 0 | 0 | 966 | -180 | -565 | 0 | 0 | 0 | 956 | -180 | -497 | 0 | 0 | 0 | 935 | -180 | -345 | 0 |
| 18 | 8 | Max | 0 | 0 | 966 | -180 | -565 | 0 | 0 | 0 | 956 | -180 | -497 | 0 | 0 | 0 | 935 | -180 | -345 | 0 |
| 19 | 1 | Min | -311 | -27.8 | -872 | -42.1 | 38.9 | 0 | -311 | -27.8 | -1.71k | -42.1 | -318 | -7.79 | -311 | -27.8 | -2.68k | -42.1 | -930 | -15.6 |
| 19 | 1 | Max | 311 | 27.8 | -836 | -40.3 | 40.6 | 0 | 311 | 27.8 | -1.64k | -40.3 | -305 | 7.79 | 311 | 27.8 | -2.57k | -40.3 | -891 | 15.6 |
| 19 | 2 | Min | -207 | -18.5 | -659 | -31.8 | 29.6 | 0 | -207 | -18.5 | -1.29k | -31.8 | -240 | -5.19 | -207 | -18.5 | -2.03k | -31.8 | -702 | -10.4 |
| 19 | 2 | Max | 207 | 18.5 | -634 | -30.6 | 30.7 | 0 | 207 | 18.5 | -1.24k | -30.6 | -231 | 5.19 | 207 | 18.5 | -1.95k | -30.6 | -676 | 10.4 |
| 19 | 3 | Min | -41.5 | -3.71 | -634 | -30.6 | 29.2 | 0 | -41.5 | -3.71 | -1.24k | -30.6 | -231 | -1.04 | -41.5 | -3.71 | -1.95k | -30.6 | -676 | -2.08 |
| 19 | 3 | Max | 41.5 | 3.71 | -626 | -30.2 | 29.6 | 0 | 41.5 | 3.71 | -1.23k | -30.2 | -228 | 1.04 | 41.5 | 3.71 | -1.93k | -30.2 | -668 | 2.08 |
| 19 | 4 | Max | 0 | 0 | -626 | -30.2 | 29.2 | 0 | 0 | 0 | -1.23k | -30.2 | -228 | 0 | 0 | 0 | -1.93k | -30.2 | -668 | 0 |
| 19 | 5 | Max | 0 | 0 | -578 | -27.9 | 26.9 | 0 | 0 | 0 | -1.13k | -27.9 | -211 | 0 | 0 | 0 | -1.78k | -27.9 | -616 | 0 |
| 19 | 7 | Min | 0 | 0 | -626 | -30.2 | 29.2 | 0 | 0 | 0 | -1.23k | -30.2 | -228 | 0 | 0 | 0 | -1.93k | -30.2 | -668 | 0 |
| 19 | 7 | Max | 0 | 0 | -626 | -30.2 | 29.2 | 0 | 0 | 0 | -1.23k | -30.2 | -228 | 0 | 0 | 0 | -1.93k | -30.2 | -668 | 0 |
| 19 | 8 | Min | 0 | 0 | -626 | -30.2 | 29.2 | 0 | 0 | 0 | -1.23k | -30.2 | -228 | 0 | 0 | 0 | -1.93k | -30.2 | -668 | 0 |
| 19 | 8 | Max | 0 | 0 | -626 | -30.2 | 29.2 | 0 | 0 | 0 | -1.23k | -30.2 | -228 | 0 | 0 | 0 | -1.93k | -30.2 | -668 | 0 |
| 20 | 1 | Min | -387 | -19.5 | 8.04k | -318 | -3.58k | -10.4 | -387 | -19.5 | 5.81k | -318 | -36.4 | -0.896 | -387 | -19.5 | 3.03k | -318 | 2.53k | -10.4 |
| 20 | 1 | Max | 387 | 19.5 | 8.38k | -299 | -3.44k | 10.4 | 387 | 19.5 | 6.05k | -299 | -35.5 | 0.896 | 387 | 19.5 | 3.15k | -299 | 2.64k | 10.4 |
| 20 | 2 | Min | -258 | -13.0 | 6.10k | -238 | -2.71k | -6.96 | -258 | -13.0 | 4.41k | -238 | -27.7 | -0.598 | -258 | -13.0 | 2.30k | -238 | 1.92k | -6.92 |
| 20 | 2 | Max | 258 | 13.0 | 6.33k | -226 | -2.61k | 6.96 | 258 | 13.0 | 4.57k | -226 | -27.1 | 0.598 | 258 | 13.0 | 2.38k | -226 | 1.99k | 6.92 |
| 20 | 3 | Min | -51.6 | -2.59 | 6.02k | -226 | -2.61k | -1.39 | -51.6 | -2.59 | 4.36k | -226 | -27.1 | -0.120 | -51.6 | -2.59 | 2.27k | -226 | 1.90k | -1.38 |
| 20 | 3 | Max | 51.6 | 2.59 | 6.10k | -222 | -2.58k | 1.39 | 51.6 | 2.59 | 4.41k | -222 | -26.9 | 0.120 | 51.6 | 2.59 | 2.30k | -222 | 1.92k | 1.38 |
| 20 | 4 | Max | 0 | 0 | 6.02k | -222 | -2.58k | 0 | 0 | 0 | 4.36k | -222 | -26.9 | 0 | 0 | 0 | 2.27k | -222 | 1.90k | 0 |
| 20 | 5 | Max | 0 | 0 | 5.56k | -197 | -2.38k | 0 | 0 | 0 | 4.03k | -197 | -25.8 | 0 | 0 | 0 | 2.11k | -197 | 1.76k | 0 |
| 20 | 7 | Min | 0 | 0 | 6.02k | -222 | -2.58k | 0 | 0 | 0 | 4.36k | -222 | -26.9 | 0 | 0 | 0 | 2.27k | -222 | 1.90k | 0 |
| 20 | 7 | Max | 0 | 0 | 6.02k | -222 | -2.58k | 0 | 0 | 0 | 4.36k | -222 | -26.9 | 0 | 0 | 0 | 2.27k | -222 | 1.90k | 0 |
| 20 | 8 | Min | 0 | 0 | 6.02k | -222 | -2.58k | 0 | 0 | 0 | 4.36k | -222 | -26.9 | 0 | 0 | 0 | 2.27k | -222 | 1.90k | 0 |
| 20 | 8 | Max | 0 | 0 | 6.02k | -222 | -2.58k | 0 | 0 | 0 | 4.36k | -222 | -26.9 | 0 | 0 | 0 | 2.27k | -222 | 1.90k | 0 |
| 21 | 1 | Min | -384 | -19.2 | -3.03k | 296 | 2.52k | -10.4 | -384 | -19.2 | -5.96k | 296 | -18.4 | -0.830 | -384 | -19.2 | -8.31k | 296 | -3.56k | -10.4 |
| 21 | 1 | Max | 384 | 19.2 | -2.91k | 315 | 2.62k | 10.4 | 384 | 19.2 | -5.72k | 315 | -18.2 | 0.830 | 384 | 19.2 | -7.97k | 315 | -3.42k | 10.4 |
| 21 | 2 | Min | -256 | -12.8 | -2.29k | 224 | 1.91k | -6.95 | -256 | -12.8 | -4.50k | 224 | -14.1 | -0.553 | -256 | -12.8 | -6.28k | 224 | -2.69k | -6.91 |
| 21 | 2 | Max | 256 | 12.8 | -2.21k | 236 | 1.98k | 6.95 | 256 | 12.8 | -4.34k | 236 | -14.0 | 0.553 | 256 | 12.8 | -6.05k | 236 | -2.59k | 6.91 |
| 21 | 3 | Min | -51.2 | -2.56 | -2.21k | 220 | 1.89k | -1.39 | -51.2 | -2.56 | -4.34k | 220 | -14.0 | -0.111 | -51.2 | -2.56 | -6.05k | 220 | -2.59k | -1.38 |
| 21 | 3 | Max | 51.2 | 2.56 | -2.19k | 224 | 1.91k | 1.39 | 51.2 | 2.56 | -4.29k | 224 | -13.9 | 0.111 | 51.2 | 2.56 | -5.97k | 224 | -2.56k | 1.38 |
| 21 | 4 | Max | 0 | 0 | -2.19k | 220 | 1.89k | 0 | 0 | 0 | -4.29k | 220 | -13.9 | 0 | 0 | 0 | -5.97k | 220 | -2.56k | 0 |
| 21 | 5 | Max | 0 | 0 | -2.04k | 195 | 1.75k | 0 | 0 | 0 | -3.97k | 195 | -13.7 | 0 | 0 | 0 | -5.52k | 195 | -2.37k | 0 |
| 21 | 7 | Min | 0 | 0 | -2.19k | 220 | 1.89k | 0 | 0 | 0 | -4.29k | 220 | -13.9 | 0 | 0 | 0 | -5.97k | 220 | -2.56k | 0 |
| 21 | 7 | Max | 0 | 0 | -2.19k | 220 | 1.89k | 0 | 0 | 0 | -4.29k | 220 | -13.9 | 0 | 0 | 0 | -5.97k | 220 | -2.56k | 0 |
| 21 | 8 | Min | 0 | 0 | -2.19k | 220 | 1.89k | 0 | 0 | 0 | -4.29k | 220 | -13.9 | 0 | 0 | 0 | -5.97k | 220 | -2.56k | 0 |
| 21 | 8 | Max | 0 | 0 | -2.19k | 220 | 1.89k | 0 | 0 | 0 | -4.29k | 220 | -13.9 | 0 | 0 | 0 | -5.97k | 220 | -2.56k | 0 |
| 22 | 1 | Min | -1.34k | -154 | 11.2k | -1.44k | -5.23k | -35.8 | -1.34k | -154 | 10.7k | -1.44k | -3.86k | -17.1 | -1.34k | -154 | 9.87k | -1.44k | -1.63k | -19.9 |
| 22 | 1 | Max | 1.34k | 154 | 11.6k | -1.39k | -5.04k | 35.8 | 1.34k | 154 | 11.1k | -1.39k | -3.72k | 17.1 | 1.34k | 154 | 10.2k | -1.39k | -1.57k | 19.9 |
| 22 | 2 | Min | -890 | -103 | 8.49k | -1.09k | -3.96k | -23.8 | -890 | -103 | 8.11k | -1.09k | -2.92k | -11.4 | -890 | -103 | 7.50k | | | |

| | | | | | | | | | | | | | | | | | | | | |
|----|---|-----|-------|--------|-------|--------|--------|--------|-------|--------|--------|--------|--------|--------|-------|--------|---------|--------|--------|--------|
| 25 | 2 | Min | -122 | -12.4 | -9.87 | -504 | -1.12k | -6.37 | -122 | -12.4 | -2.35k | -504 | -1.81k | -0.879 | -122 | -12.4 | -4.70k | -504 | -3.87k | -8.13 |
| 25 | 2 | Max | 122 | 12.4 | -8.07 | -487 | -1.09k | 6.37 | 122 | 12.4 | -2.26k | -487 | -1.75k | 0.879 | 122 | 12.4 | -4.52k | -487 | -3.74k | 8.13 |
| 25 | 3 | Min | -24.4 | -2.48 | -8.07 | -487 | -1.09k | -1.27 | -24.4 | -2.48 | -2.26k | -487 | -1.75k | -0.176 | -24.4 | -2.48 | -4.52k | -487 | -3.74k | -1.63 |
| 25 | 3 | Max | 24.4 | 2.48 | -7.47 | -481 | -1.08k | 1.27 | 24.4 | 2.48 | -2.23k | -481 | -1.74k | 0.176 | 24.4 | 2.48 | -4.46k | -481 | -3.69k | 1.63 |
| 25 | 4 | Max | 0 | 0 | -7.47 | -481 | -1.08k | 0 | 0 | 0 | -2.23k | -481 | -1.74k | 0 | 0 | 0 | -4.46k | -481 | -3.69k | 0 |
| 25 | 5 | Max | 0 | 0 | -3.87 | -448 | -1.03k | 0 | 0 | 0 | -2.05k | -448 | -1.63k | 0 | 0 | 0 | -4.10k | -448 | -3.43k | 0 |
| 25 | 7 | Min | 0 | 0 | -7.47 | -481 | -1.08k | 0 | 0 | 0 | -2.23k | -481 | -1.74k | 0 | 0 | 0 | -4.46k | -481 | -3.69k | 0 |
| 25 | 7 | Max | 0 | 0 | -7.47 | -481 | -1.08k | 0 | 0 | 0 | -2.23k | -481 | -1.74k | 0 | 0 | 0 | -4.46k | -481 | -3.69k | 0 |
| 25 | 8 | Min | 0 | 0 | -7.47 | -481 | -1.08k | 0 | 0 | 0 | -2.23k | -481 | -1.74k | 0 | 0 | 0 | -4.46k | -481 | -3.69k | 0 |
| 25 | 8 | Max | 0 | 0 | -7.47 | -481 | -1.08k | 0 | 0 | 0 | -2.23k | -481 | -1.74k | 0 | 0 | 0 | -4.46k | -481 | -3.69k | 0 |
| 26 | 1 | Min | -550 | -12.0 | 7.25k | -828 | -5.66k | -6.01 | -550 | -12.0 | 5.27k | -828 | -3.12k | -2.35 | -550 | -12.0 | 3.29k | -828 | -1.39k | -4.02 |
| 26 | 1 | Max | 550 | 12.0 | 7.54k | -797 | -5.44k | 6.01 | 550 | 12.0 | 5.47k | -797 | -3.00k | 2.35 | 550 | 12.0 | 3.40k | -797 | -1.33k | 4.02 |
| 26 | 2 | Min | -367 | -8.03 | 5.51k | -626 | -4.28k | -4.01 | -367 | -8.03 | 4.01k | -626 | -2.36k | -1.56 | -367 | -8.03 | 2.50k | -626 | -1.05k | -2.68 |
| 26 | 2 | Max | 367 | 8.03 | 5.70k | -606 | -4.14k | 4.01 | 367 | 8.03 | 4.14k | -606 | -2.28k | 1.56 | 367 | 8.03 | 2.58k | -606 | -1.01k | 2.68 |
| 26 | 3 | Min | -73.3 | -1.61 | 5.45k | -606 | -4.14k | -0.801 | -73.3 | -1.61 | 3.96k | -606 | -2.28k | -0.313 | -73.3 | -1.61 | 2.48k | -606 | -1.01k | -0.537 |
| 26 | 3 | Max | 73.3 | 1.61 | 5.51k | -599 | -4.09k | 0.801 | 73.3 | 1.61 | 4.01k | -599 | -2.25k | 0.313 | 73.3 | 1.61 | 2.50k | -599 | -997 | 0.537 |
| 26 | 4 | Max | 0 | 0 | 5.45k | -599 | -4.09k | 0 | 0 | 0 | 3.96k | -599 | -2.25k | 0 | 0 | 0 | 2.48k | -599 | -997 | 0 |
| 26 | 5 | Max | 0 | 0 | 5.06k | -559 | -3.80k | 0 | 0 | 0 | 3.69k | -559 | -2.09k | 0 | 0 | 0 | 2.33k | -559 | -918 | 0 |
| 26 | 7 | Min | 0 | 0 | 5.45k | -599 | -4.09k | 0 | 0 | 0 | 3.96k | -599 | -2.25k | 0 | 0 | 0 | 2.48k | -599 | -997 | 0 |
| 26 | 7 | Max | 0 | 0 | 5.45k | -599 | -4.09k | 0 | 0 | 0 | 3.96k | -599 | -2.25k | 0 | 0 | 0 | 2.48k | -599 | -997 | 0 |
| 26 | 8 | Min | 0 | 0 | 5.45k | -599 | -4.09k | 0 | 0 | 0 | 3.96k | -599 | -2.25k | 0 | 0 | 0 | 2.48k | -599 | -997 | 0 |
| 26 | 8 | Max | 0 | 0 | 5.45k | -599 | -4.09k | 0 | 0 | 0 | 3.96k | -599 | -2.25k | 0 | 0 | 0 | 2.48k | -599 | -997 | 0 |
| 26 | 8 | Min | 0 | 0 | 5.45k | -599 | -4.09k | 0 | 0 | 0 | 3.96k | -599 | -2.25k | 0 | 0 | 0 | 2.48k | -599 | -997 | 0 |
| 27 | 1 | Min | -308 | -0.858 | -2.17 | 45.9m | 2.11 | 0 | -308 | -0.858 | -2.44k | 45.9m | -577 | -0.429 | -308 | -0.858 | -5.09k | 45.9m | -2.46k | -0.858 |
| 27 | 1 | Max | 308 | 0.858 | -2.09 | 47.5m | 2.19 | 0 | 308 | 0.858 | -2.33k | 47.5m | -553 | 0.429 | 308 | 0.858 | -4.87k | 47.5m | -2.35k | 0.858 |
| 27 | 2 | Min | -205 | -0.572 | -1.64 | 34.9m | 1.61 | 0 | -205 | -0.572 | -1.84k | 34.9m | -435 | -0.286 | -205 | -0.572 | -3.84k | 34.9m | -1.86k | -0.572 |
| 27 | 2 | Max | 205 | 0.572 | -1.59 | 36.0m | 1.66 | 0 | 205 | 0.572 | -1.77k | 36.0m | -420 | 0.286 | 205 | 0.572 | -3.70k | 36.0m | -1.79k | 0.572 |
| 27 | 3 | Min | -41.1 | -0.114 | -1.59 | 34.5m | 1.59 | 0 | -41.1 | -0.114 | -1.77k | 34.5m | -420 | -57.2m | -41.1 | -0.114 | -3.70k | 34.5m | -1.79k | -0.114 |
| 27 | 3 | Max | 41.1 | 0.114 | -1.58 | 34.9m | 1.61 | 0 | 41.1 | 0.114 | -1.75k | 34.9m | -414 | 57.2m | 41.1 | 0.114 | -3.65k | 34.9m | -1.76k | 0.114 |
| 27 | 4 | Max | 0 | 0 | -1.58 | 34.5m | 1.59 | 0 | 0 | 0 | -1.75k | 34.5m | -414 | 0 | 0 | 0 | -3.65k | 34.5m | -1.76k | 0 |
| 27 | 5 | Max | 0 | 0 | -1.48 | 32.4m | 1.49 | 0 | 0 | 0 | -1.61k | 32.4m | -383 | 0 | 0 | 0 | -3.36k | 32.4m | -1.63k | 0 |
| 27 | 7 | Min | 0 | 0 | -1.58 | 34.5m | 1.59 | 0 | 0 | 0 | -1.75k | 34.5m | -414 | 0 | 0 | 0 | -3.65k | 34.5m | -1.76k | 0 |
| 27 | 7 | Max | 0 | 0 | -1.58 | 34.5m | 1.59 | 0 | 0 | 0 | -1.75k | 34.5m | -414 | 0 | 0 | 0 | -3.65k | 34.5m | -1.76k | 0 |
| 27 | 8 | Min | 0 | 0 | -1.58 | 34.5m | 1.59 | 0 | 0 | 0 | -1.75k | 34.5m | -414 | 0 | 0 | 0 | -3.65k | 34.5m | -1.76k | 0 |
| 27 | 8 | Max | 0 | 0 | -1.58 | 34.5m | 1.59 | 0 | 0 | 0 | -1.75k | 34.5m | -414 | 0 | 0 | 0 | -3.65k | 34.5m | -1.76k | 0 |
| 28 | 1 | Min | -195 | -3.97 | 2.97k | 0.993 | -4.89k | -2.39 | -195 | -3.97 | 24.3 | 0.993 | -3.98k | -83.4m | -195 | -3.97 | -3.04k | 0.993 | -4.85k | -2.22 |
| 28 | 1 | Max | 195 | 3.97 | 3.12k | 1.04 | -4.71k | 2.39 | 195 | 3.97 | 35.8 | 1.04 | -3.84k | 83.4m | 195 | 3.97 | -2.92k | 1.04 | -4.68k | 2.22 |
| 28 | 2 | Min | -130 | -2.65 | 2.25k | 0.753 | -3.70k | -1.59 | -130 | -2.65 | 16.0 | 0.753 | -3.01k | -55.6m | -130 | -2.65 | -2.30k | 0.753 | -3.67k | -1.48 |
| 28 | 2 | Max | 130 | 2.65 | 2.35k | 0.782 | -3.58k | 1.59 | 130 | 2.65 | 23.6 | 0.782 | -2.92k | 55.6m | 130 | 2.65 | -2.22k | 0.782 | -3.56k | 1.48 |
| 28 | 3 | Min | -26.0 | -0.530 | 2.22k | 0.744 | -3.58k | -0.318 | -26.0 | -0.530 | 13.4 | 0.744 | -2.92k | -11.1m | -26.0 | -0.530 | -2.22k | 0.744 | -3.56k | -0.296 |
| 28 | 3 | Max | 26.0 | 0.530 | 2.25k | 0.753 | -3.54k | 0.318 | 26.0 | 0.530 | 16.0 | 0.753 | -2.89k | 11.1m | 26.0 | 0.530 | -2.19k | 0.753 | -3.52k | 0.296 |
| 28 | 4 | Max | 0 | 0 | 2.22k | 0.744 | -3.54k | 0 | 0 | 0 | 13.4 | 0.744 | -2.89k | 0 | 0 | 0 | -2.19k | 0.744 | -3.52k | 0 |
| 28 | 5 | Max | 0 | 0 | 2.03k | 0.686 | -3.29k | 0 | 0 | 0 | -1.86 | 0.686 | -2.70k | 0 | 0 | 0 | -2.03k | 0.686 | -3.29k | 0 |
| 28 | 7 | Min | 0 | 0 | 2.22k | 0.744 | -3.54k | 0 | 0 | 0 | 13.4 | 0.744 | -2.89k | 0 | 0 | 0 | -2.19k | 0.744 | -3.52k | 0 |
| 28 | 7 | Max | 0 | 0 | 2.22k | 0.744 | -3.54k | 0 | 0 | 0 | 13.4 | 0.744 | -2.89k | 0 | 0 | 0 | -2.19k | 0.744 | -3.52k | 0 |
| 28 | 8 | Min | 0 | 0 | 2.22k | 0.744 | -3.54k | 0 | 0 | 0 | 13.4 | 0.744 | -2.89k | 0 | 0 | 0 | -2.19k | 0.744 | -3.52k | 0 |
| 28 | 8 | Max | 0 | 0 | 2.22k | 0.744 | -3.54k | 0 | 0 | 0 | 13.4 | 0.744 | -2.89k | 0 | 0 | 0 | -2.19k | 0.744 | -3.52k | 0 |
| 29 | 1 | Min | -218 | -4.23 | 3.18k | -1.11 | -4.81k | -2.40 | -218 | -4.23 | 201 | -1.11 | -3.78k | -81.5m | -218 | -4.23 | -2.91k | -1.11 | -4.57k | -2.56 |
| 29 | 1 | Max | 218 | 4.23 | 3.31k | -1.06 | -4.64k | 2.40 | 218 | 4.23 | 203 | -1.06 | -3.65k | 81.5m | 218 | 4.23 | -2.77k | -1.06 | -4.40k | 2.56 |
| 29 | 2 | Min | -146 | -2.82 | 2.41k | -0.838 | -3.64k | -1.60 | -146 | -2.82 | 155 | -0.838 | -2.86k | -54.3m | -146 | -2.82 | -2.19k | -0.838 | -3.46k | -1.71 |
| 29 | 2 | Max | 146 | 2.82 | 2.50k | -0.808 | -3.53k | 1.60 | 146 | 2.82 | 157 | -0.808 | -2.77k | 54.3m | 146 | 2.82 | -2.10k | -0.808 | -3.34k | 1.71 |
| 29 | 3 | Min | -29.1 | -0.565 | 2.38k | -0.808 | -3.53k | -0.319 | -29.1 | -0.565 | 157 | -0.808 | -2.77k | -10.9m | -29.1 | -0.565 | -2.10k | -0.808 | -3.34k | -0.341 |
| 29 | 3 | Max | 29.1 | 0.565 | 2.41k | -0.797 | -3.49k | 0.319 | 29.1 | 0.565 | 158 | -0.797 | -2.75k | 10.9m | 29.1 | 0.565 | -2.07k | -0.797 | -3.30k | 0.341 |
| 29 | 4 | Max | 0 | 0 | 2.38k | -0.797 | -3.49k | 0 | 0 | 0 | 158 | -0.797 | -2.75k | 0 | 0 | 0 | -2.07k | -0.797 | -3.30k | 0 |
| 29 | 5 | Max | 0 | 0 | 2.21k | -0.736 | -3.26k | 0 | 0 | 0 | 162 | -0.736 | -2.57k | 0 | 0 | 0 | -1.89k | -0.736 | -3.07k | 0 |
| 29 | 7 | Min | 0 | 0 | 2.38k | -0.797 | -3.49k | 0 | 0 | 0 | 158 | -0.797 | -2.75k | 0 | 0 | 0 | -2.07k | -0.797 | -3.30k | 0 |
| 29 | 7 | Max | 0 | 0 | 2.38k | -0.797 | -3.49k | 0 | 0 | 0 | 158 | -0.797 | -2.75k | 0 | 0 | 0 | -2.07k | -0.797 | -3.30k | 0 |
| 29 | 8 | Min | 0 | 0 | 2.38k | -0.797 | -3.49k | 0 | 0 | 0 | 158 | -0.797 | -2.75k | 0 | 0 | 0 | -2.07k | -0.797 | -3.30k | 0 |
| 29 | 8 | Max | 0 | 0 | 2.38k | -0.797 | -3.49k | 0 | 0 | 0 | 158 | -0.797 | -2.75k | 0 | 0 | 0 | -2.07k | -0.797 | -3.30k | 0 |
| 30 | 1 | Min | -484 | -8.39 | 6.09k | -2.77 | -5.52k | -3.85 | -484 | -8.39 | 4.11k | -2.77 | -3.45k | -0.577 | -484 | -8.39 | 2.13k | -2.77 | -2.19k | -2.69 |
| 30 | 1 | Max | 484 | 8.39 | 6.33k | -2.67 | -5.31k | 3.85 | 484 | 8.39 | 4.26k | -2.67 | -3.32k | 0.577 | 484 | 8.39 | 2.19k | -2.67 | -2.10k | 2.69 |
| 30 | 2 | Min | -323 | -5.59 | 4.63k | -2.10 | -4.17k | -2.57 | -323 | -5.59 | 3.13k | -2.10 | -2.61k | -0.385 | -323 | -5.59 | 1.62k | -2.10 | -1.66k | -1.80 |
| 30 | 2 | Max | 323 | 5.59 | 4.79k | -2.03 | -4.03k | 2.57 | 323 | 5.59 | 3.22k | -2.03 | -2.52k | 0.385 | 323 | 5.59 | 1.66k | -2.03 | -1.59k | 1.80 |
| 30 | 3 | Min | -64.5 | -1.12 | 4.58k | -2.03 | -4.03k | -0.513 | -64.5 | -1.12 | 3.09k | -2.03 | -2.52k | -76.9m | -64.5 | -1.12 | 1.61k | -2.03 | -1.59k | -0.359 |
| 30 | 3 | Max | 64.5 | 1.12 | 4.63k | -2.01 | -3.99k | 0.513 | 64.5 | 1.12 | 3.13k | -2.01 | -2.49k | 76.9m | 64.5 | 1.12 | 1.62k | -2.01 | -1.57k | 0.359 |
| 30 | 4 | Max | 0 | 0 | 4.58k | -2.01 | -3.99k | 0 | 0 | 0 | 3.09k | -2.01 | -2.49k | 0 | 0 | 0 | 1.61k | -2.01 | -1.57k | 0 |
| 30 | 5 | Max | 0 | 0 | 4.26k | -1.87 | -3.71k | 0 | 0 | 0 | 2.90k | -1.87 | -2.31k | 0 | 0 | 0 | 1.53k | -1.87 | -1.45k | 0 |
| 30 | 7 | Min | 0 | 0 | 4.58k | -2.01 | -3.99k | 0 | 0 | 0 | 3.09k | -2.01 | -2.49k | 0 | 0 | 0 | 1.61k | -2.01 | -1.57k | 0 |
| 30 | 7 | Max | 0 | 0 | 4.58k | -2.01 | -3.99k | 0 | 0 | 0 | 3.09k | -2.01 | -2.49k | 0 | 0 | 0 | 1.61k | -2.01 | -1.57k | 0 |
| 30 | 8 | Min | 0 | 0 | 4.58k | -2.01 | -3.99k | 0 | 0 | 0 | 3.09k | -2.01 | -2.49k | 0 | 0 | 0 | 1.61k</ | | | |

| | | | | | | | | | | | | | | | | | | | | |
|----|---|-----|--------|-------|--------|--------|--------|--------|--------|-------|--------|--------|--------|--------|--------|-------|--------|--------|--------|--------|
| 34 | 1 | Max | 554 | 12.0 | 7.56k | 831 | -5.45k | 6.36 | 554 | 12.0 | 5.49k | 831 | -3.01k | 2.33 | 554 | 12.0 | 3.42k | 831 | -1.33k | 4.00 |
| 34 | 2 | Min | -369 | -8.02 | 5.52k | 608 | -4.29k | -4.24 | -369 | -8.02 | 4.02k | 608 | -2.36k | -1.56 | -369 | -8.02 | 2.52k | 608 | -1.05k | -2.66 |
| 34 | 2 | Max | 369 | 8.02 | 5.72k | 629 | -4.14k | 4.24 | 369 | 8.02 | 4.16k | 629 | -2.28k | 1.56 | 369 | 8.02 | 2.59k | 629 | -1.01k | 2.66 |
| 34 | 3 | Min | -73.8 | -1.60 | 5.46k | 602 | -4.14k | -0.848 | -73.8 | -1.60 | 3.98k | 602 | -2.28k | -0.311 | -73.8 | -1.60 | 2.49k | 602 | -1.01k | -0.533 |
| 34 | 3 | Max | 73.8 | 1.60 | 5.52k | 608 | -4.10k | 0.848 | 73.8 | 1.60 | 4.02k | 608 | -2.26k | 0.311 | 73.8 | 1.60 | 2.52k | 608 | -994 | 0.533 |
| 34 | 4 | Max | 0 | 0 | 5.46k | 602 | -4.10k | 0 | 0 | 0 | 3.98k | 602 | -2.26k | 0 | 0 | 0 | 2.49k | 602 | -994 | 0 |
| 34 | 5 | Max | 0 | 0 | 5.07k | 561 | -3.81k | 0 | 0 | 0 | 3.71k | 561 | -2.10k | 0 | 0 | 0 | 2.34k | 561 | -916 | 0 |
| 34 | 7 | Min | 0 | 0 | 5.46k | 602 | -4.10k | 0 | 0 | 0 | 3.98k | 602 | -2.26k | 0 | 0 | 0 | 2.49k | 602 | -994 | 0 |
| 34 | 7 | Max | 0 | 0 | 5.46k | 602 | -4.10k | 0 | 0 | 0 | 3.98k | 602 | -2.26k | 0 | 0 | 0 | 2.49k | 602 | -994 | 0 |
| 34 | 8 | Min | 0 | 0 | 5.46k | 602 | -4.10k | 0 | 0 | 0 | 3.98k | 602 | -2.26k | 0 | 0 | 0 | 2.49k | 602 | -994 | 0 |
| 34 | 8 | Max | 0 | 0 | 5.46k | 602 | -4.10k | 0 | 0 | 0 | 3.98k | 602 | -2.26k | 0 | 0 | 0 | 2.49k | 602 | -994 | 0 |
| 35 | 1 | Min | -308 | -28.7 | -867 | 40.1 | 38.9 | 0 | -308 | -28.7 | -1.67k | 40.1 | -299 | -7.76 | -308 | -28.7 | -2.59k | 40.1 | -871 | -15.5 |
| 35 | 1 | Max | 308 | 28.7 | -831 | 41.8 | 40.6 | 0 | 308 | 28.7 | -1.60k | 41.8 | -286 | 7.76 | 308 | 28.7 | -2.48k | 41.8 | -834 | 15.5 |
| 35 | 2 | Min | -205 | -19.2 | -654 | 30.4 | 29.5 | 0 | -205 | -19.2 | -1.26k | 30.4 | -225 | -5.17 | -205 | -19.2 | -1.96k | 30.4 | -657 | -10.3 |
| 35 | 2 | Max | 205 | 19.2 | -630 | 31.6 | 30.7 | 0 | 205 | 19.2 | -1.21k | 31.6 | -217 | 5.17 | 205 | 19.2 | -1.88k | 31.6 | -633 | 10.3 |
| 35 | 3 | Min | -41.1 | -3.83 | -630 | 30.0 | 29.2 | 0 | -41.1 | -3.83 | -1.21k | 30.0 | -217 | -1.03 | -41.1 | -3.83 | -1.88k | 30.0 | -633 | -2.07 |
| 35 | 3 | Max | 41.1 | 3.83 | -622 | 30.4 | 29.5 | 0 | 41.1 | 3.83 | -1.20k | 30.4 | -214 | 1.03 | 41.1 | 3.83 | -1.86k | 30.4 | -625 | 2.07 |
| 35 | 4 | Max | 0 | 0 | -622 | 30.0 | 29.2 | 0 | 0 | 0 | -1.20k | 30.0 | -214 | 0 | 0 | 0 | -1.86k | 30.0 | -625 | 0 |
| 35 | 5 | Max | 0 | 0 | -574 | 27.7 | 26.9 | 0 | 0 | 0 | -1.10k | 27.7 | -198 | 0 | 0 | 0 | -1.72k | 27.7 | -576 | 0 |
| 35 | 7 | Min | 0 | 0 | -622 | 30.0 | 29.2 | 0 | 0 | 0 | -1.20k | 30.0 | -214 | 0 | 0 | 0 | -1.86k | 30.0 | -625 | 0 |
| 35 | 7 | Max | 0 | 0 | -622 | 30.0 | 29.2 | 0 | 0 | 0 | -1.20k | 30.0 | -214 | 0 | 0 | 0 | -1.86k | 30.0 | -625 | 0 |
| 35 | 8 | Min | 0 | 0 | -622 | 30.0 | 29.2 | 0 | 0 | 0 | -1.20k | 30.0 | -214 | 0 | 0 | 0 | -1.86k | 30.0 | -625 | 0 |
| 35 | 8 | Max | 0 | 0 | -622 | 30.0 | 29.2 | 0 | 0 | 0 | -1.20k | 30.0 | -214 | 0 | 0 | 0 | -1.86k | 30.0 | -625 | 0 |
| 36 | 1 | Min | -387 | -19.4 | 8.01k | 292 | -3.57k | -10.4 | -387 | -19.4 | 5.79k | 292 | -36.3 | -0.897 | -387 | -19.4 | 3.01k | 292 | 2.53k | -10.3 |
| 36 | 1 | Max | 387 | 19.4 | 8.36k | 311 | -3.43k | 10.4 | 387 | 19.4 | 6.04k | 311 | -35.4 | 0.897 | 387 | 19.4 | 3.13k | 311 | 2.63k | 10.3 |
| 36 | 2 | Min | -258 | -12.9 | 6.08k | 221 | -2.70k | -6.94 | -258 | -12.9 | 4.40k | 221 | -27.6 | -0.598 | -258 | -12.9 | 2.29k | 221 | 1.92k | -6.90 |
| 36 | 2 | Max | 258 | 12.9 | 6.31k | 233 | -2.60k | 6.94 | 258 | 12.9 | 4.56k | 233 | -27.0 | 0.598 | 258 | 12.9 | 2.37k | 233 | 1.99k | 6.90 |
| 36 | 3 | Min | -51.6 | -2.58 | 6.01k | 217 | -2.60k | -1.39 | -51.6 | -2.58 | 4.34k | 217 | -27.0 | -0.120 | -51.6 | -2.58 | 2.26k | 217 | 1.90k | -1.38 |
| 36 | 3 | Max | 51.6 | 2.58 | 6.08k | 221 | -2.57k | 1.39 | 51.6 | 2.58 | 4.40k | 221 | -26.9 | 0.120 | 51.6 | 2.58 | 2.29k | 221 | 1.92k | 1.38 |
| 36 | 4 | Max | 0 | 0 | 6.01k | 217 | -2.57k | 0 | 0 | 0 | 4.34k | 217 | -26.9 | 0 | 0 | 0 | 2.26k | 217 | 1.90k | 0 |
| 36 | 5 | Max | 0 | 0 | 5.55k | 192 | -2.38k | 0 | 0 | 0 | 4.02k | 192 | -25.7 | 0 | 0 | 0 | 2.10k | 192 | 1.76k | 0 |
| 36 | 7 | Min | 0 | 0 | 6.01k | 217 | -2.57k | 0 | 0 | 0 | 4.34k | 217 | -26.9 | 0 | 0 | 0 | 2.26k | 217 | 1.90k | 0 |
| 36 | 7 | Max | 0 | 0 | 6.01k | 217 | -2.57k | 0 | 0 | 0 | 4.34k | 217 | -26.9 | 0 | 0 | 0 | 2.26k | 217 | 1.90k | 0 |
| 36 | 8 | Min | 0 | 0 | 6.01k | 217 | -2.57k | 0 | 0 | 0 | 4.34k | 217 | -26.9 | 0 | 0 | 0 | 2.26k | 217 | 1.90k | 0 |
| 36 | 8 | Max | 0 | 0 | 6.01k | 217 | -2.57k | 0 | 0 | 0 | 4.34k | 217 | -26.9 | 0 | 0 | 0 | 2.26k | 217 | 1.90k | 0 |
| 37 | 1 | Min | -383 | -19.2 | -3.02k | -308 | 2.51k | -10.4 | -383 | -19.2 | -5.95k | -308 | -18.2 | -0.825 | -383 | -19.2 | -8.29k | -308 | -3.55k | -10.3 |
| 37 | 1 | Max | 383 | 19.2 | -2.90k | -290 | 2.61k | 10.4 | 383 | 19.2 | -5.71k | -290 | -18.1 | 0.825 | 383 | 19.2 | -7.95k | -290 | -3.41k | 10.3 |
| 37 | 2 | Min | -256 | -12.8 | -2.28k | -231 | 1.90k | -6.94 | -256 | -12.8 | -4.49k | -231 | -14.0 | -0.550 | -256 | -12.8 | -6.26k | -231 | -2.68k | -6.89 |
| 37 | 2 | Max | 256 | 12.8 | -2.21k | -219 | 1.97k | 6.94 | 256 | 12.8 | -4.33k | -219 | -13.9 | 0.550 | 256 | 12.8 | -6.03k | -219 | -2.59k | 6.89 |
| 37 | 3 | Min | -51.1 | -2.56 | -2.21k | -219 | 1.88k | -1.39 | -51.1 | -2.56 | -4.33k | -219 | -13.9 | -0.110 | -51.1 | -2.56 | -6.03k | -219 | -2.59k | -1.38 |
| 37 | 3 | Max | 51.1 | 2.56 | -2.18k | -215 | 1.90k | 1.39 | 51.1 | 2.56 | -4.28k | -215 | -13.8 | 0.110 | 51.1 | 2.56 | -5.96k | -215 | -2.55k | 1.38 |
| 37 | 4 | Max | 0 | 0 | -2.18k | -215 | 1.88k | 0 | 0 | 0 | -4.28k | -215 | -13.8 | 0 | 0 | 0 | -5.96k | -215 | -2.55k | 0 |
| 37 | 5 | Max | 0 | 0 | -2.03k | -191 | 1.74k | 0 | 0 | 0 | -3.96k | -191 | -13.6 | 0 | 0 | 0 | -5.50k | -191 | -2.36k | 0 |
| 37 | 7 | Min | 0 | 0 | -2.18k | -215 | 1.88k | 0 | 0 | 0 | -4.28k | -215 | -13.8 | 0 | 0 | 0 | -5.96k | -215 | -2.55k | 0 |
| 37 | 7 | Max | 0 | 0 | -2.18k | -215 | 1.88k | 0 | 0 | 0 | -4.28k | -215 | -13.8 | 0 | 0 | 0 | -5.96k | -215 | -2.55k | 0 |
| 37 | 8 | Min | 0 | 0 | -2.18k | -215 | 1.88k | 0 | 0 | 0 | -4.28k | -215 | -13.8 | 0 | 0 | 0 | -5.96k | -215 | -2.55k | 0 |
| 37 | 8 | Max | 0 | 0 | -2.18k | -215 | 1.88k | 0 | 0 | 0 | -4.28k | -215 | -13.8 | 0 | 0 | 0 | -5.96k | -215 | -2.55k | 0 |
| 38 | 1 | Min | -1.25k | -142 | 11.1k | 1.37k | -5.25k | -34.2 | -1.25k | -142 | 10.6k | 1.37k | -3.78k | -15.6 | -1.25k | -142 | 9.72k | 1.37k | -1.47k | -20.1 |
| 38 | 1 | Max | 1.25k | 142 | 11.5k | 1.43k | -5.06k | 34.2 | 1.25k | 142 | 10.9k | 1.43k | -3.64k | 15.6 | 1.25k | 142 | 10.1k | 1.43k | -1.41k | 20.1 |
| 38 | 2 | Min | -836 | -94.8 | 8.43k | 1.04k | -3.97k | -22.8 | -836 | -94.8 | 8.02k | 1.04k | -2.86k | -10.4 | -836 | -94.8 | 7.39k | 1.04k | -1.11k | -13.4 |
| 38 | 2 | Max | 836 | 94.8 | 8.71k | 1.08k | -3.84k | 22.8 | 836 | 94.8 | 8.29k | 1.08k | -2.77k | 10.4 | 836 | 94.8 | 7.63k | 1.08k | -1.07k | 13.4 |
| 38 | 3 | Min | -167 | -19.0 | 8.33k | 1.03k | -3.84k | -4.56 | -167 | -19.0 | 7.94k | 1.03k | -2.77k | -2.08 | -167 | -19.0 | 7.31k | 1.03k | -1.07k | -2.69 |
| 38 | 3 | Max | 167 | 19.0 | 8.43k | 1.04k | -3.80k | 4.56 | 167 | 19.0 | 8.02k | 1.04k | -2.74k | 2.08 | 167 | 19.0 | 7.39k | 1.04k | -1.06k | 2.69 |
| 38 | 4 | Max | 0 | 0 | 8.33k | 1.03k | -3.80k | 0 | 0 | 0 | 7.94k | 1.03k | -2.74k | 0 | 0 | 0 | 7.31k | 1.03k | -1.06k | 0 |
| 38 | 5 | Max | 0 | 0 | 7.78k | 961 | -3.55k | 0 | 0 | 0 | 7.41k | 961 | -2.56k | 0 | 0 | 0 | 6.84k | 961 | -989 | 0 |
| 38 | 7 | Min | 0 | 0 | 8.33k | 1.03k | -3.80k | 0 | 0 | 0 | 7.94k | 1.03k | -2.74k | 0 | 0 | 0 | 7.31k | 1.03k | -1.06k | 0 |
| 38 | 7 | Max | 0 | 0 | 8.33k | 1.03k | -3.80k | 0 | 0 | 0 | 7.94k | 1.03k | -2.74k | 0 | 0 | 0 | 7.31k | 1.03k | -1.06k | 0 |
| 38 | 8 | Min | 0 | 0 | 8.33k | 1.03k | -3.80k | 0 | 0 | 0 | 7.94k | 1.03k | -2.74k | 0 | 0 | 0 | 7.31k | 1.03k | -1.06k | 0 |
| 38 | 8 | Max | 0 | 0 | 8.33k | 1.03k | -3.80k | 0 | 0 | 0 | 7.94k | 1.03k | -2.74k | 0 | 0 | 0 | 7.31k | 1.03k | -1.06k | 0 |
| 39 | 1 | Min | -16.7 | 0 | 1.24k | 1.25m | 0 | 0 | -16.7 | 0 | 70.9 | 1.25m | 352 | 0 | -16.7 | 0 | -1.10k | 1.25m | 50.5 | 0 |
| 39 | 1 | Max | 16.7 | 0 | 1.30k | 2.32m | 0 | 0 | 16.7 | 0 | 74.1 | 2.32m | 368 | 0 | 16.7 | 0 | -1.06k | 2.32m | 52.8 | 0 |
| 39 | 2 | Min | -11.1 | 0 | 943 | 0.70m | 0 | 0 | -11.1 | 0 | 53.8 | 0.70m | 267 | 0 | -11.1 | 0 | -832 | 0.70m | 38.3 | 0 |
| 39 | 2 | Max | 11.1 | 0 | 980 | 1.42m | 0 | 0 | 11.1 | 0 | 55.9 | 1.42m | 278 | 0 | 11.1 | 0 | -800 | 1.42m | 39.9 | 0 |
| 39 | 3 | Min | -2.22 | 0 | 930 | 0.47m | 0 | 0 | -2.22 | 0 | 53.1 | 0.47m | 263 | 0 | -2.22 | 0 | -800 | 0.47m | 37.8 | 0 |
| 39 | 3 | Max | 2.22 | 0 | 943 | 0.70m | 0 | 0 | 2.22 | 0 | 53.8 | 0.70m | 267 | 0 | 2.22 | 0 | -790 | 0.70m | 38.3 | 0 |
| 39 | 4 | Max | 0 | 0 | 930 | 0.47m | 0 | 0 | 0 | 0 | 53.1 | 0.47m | 263 | 0 | 0 | 0 | -790 | 0.47m | 37.8 | 0 |
| 39 | 5 | Max | 0 | 0 | 855 | -0.96m | 0 | 0 | 0 | 0 | 48.8 | -0.96m | 242 | 0 | 0 | 0 | -726 | -0.96m | 34.8 | 0 |
| 39 | 7 | Min | 0 | 0 | 930 | 0.47m | 0 | 0 | 0 | 0 | 53.1 | 0.47m | 263 | 0 | 0 | 0 | -790 | 0.47m | 37.8 | 0 |
| 39 | 7 | Max | 0 | 0 | 930 | 0.47m | 0 | 0 | 0 | 0 | 53.1 | 0.47m | 263 | 0 | 0 | 0 | -790 | 0.47m | 37.8 | 0 |
| 39 | 8 | Min | 0 | 0 | 930 | 0.47m | 0 | 0 | 0 | 0 | 53.1 | 0.47m | 263 | 0 | 0 | 0 | -790 | 0.47m | 37.8 | 0 |
| 39 | 8 | Max | 0 | 0 | 930 | 0.47m | 0 | 0 | 0 | 0 | 53.1 | 0.47m | 263 | 0 | 0 | 0 | -790 | 0.47m | 37.8 | 0 |
| 40 | 1 | Min | -81.2 | 0 | 510 | -30.5m | 0 | 0 | -81.2 | 0 | -65.3 | -30.5m | 106 | 0 | -81.2 | 0 | -305 | -30.5m | 0 | 0 |

| | | | | | | | | | | | | | | | | | | | | |
|----|---|-----|-------|---|-------|--------|------|---|-------|---|-------|--------|------|---|-------|---|--------|--------|------|---|
| 43 | 1 | Min | -283 | 0 | 107 | -0.182 | 0 | 0 | -283 | 0 | 31.1 | -0.182 | 35.8 | 0 | -283 | 0 | -165 | -0.182 | 7.57 | 0 |
| 43 | 1 | Max | 283 | 0 | 111 | -0.175 | 0 | 0 | 283 | 0 | 32.5 | -0.175 | 37.2 | 0 | 283 | 0 | -159 | -0.175 | 7.88 | 0 |
| 43 | 2 | Min | -189 | 0 | 81.4 | -0.137 | 0 | 0 | -189 | 0 | 23.6 | -0.137 | 27.2 | 0 | -189 | 0 | -125 | -0.137 | 5.75 | 0 |
| 43 | 2 | Max | 189 | 0 | 84.0 | -0.133 | 0 | 0 | 189 | 0 | 24.5 | -0.133 | 28.1 | 0 | 189 | 0 | -120 | -0.133 | 5.95 | 0 |
| 43 | 3 | Min | -37.8 | 0 | 80.6 | -0.133 | 0 | 0 | -37.8 | 0 | 23.3 | -0.133 | 26.9 | 0 | -37.8 | 0 | -120 | -0.133 | 5.68 | 0 |
| 43 | 3 | Max | 37.8 | 0 | 81.4 | -0.131 | 0 | 0 | 37.8 | 0 | 23.6 | -0.131 | 27.2 | 0 | 37.8 | 0 | -119 | -0.131 | 5.75 | 0 |
| 43 | 4 | Max | 0 | 0 | 80.6 | -0.131 | 0 | 0 | 0 | 0 | 23.3 | -0.131 | 26.9 | 0 | 0 | 0 | -119 | -0.131 | 5.68 | 0 |
| 43 | 5 | Max | 0 | 0 | 75.4 | -0.122 | 0 | 0 | 0 | 0 | 21.5 | -0.122 | 25.0 | 0 | 0 | 0 | -111 | -0.122 | 5.27 | 0 |
| 43 | 7 | Min | 0 | 0 | 80.6 | -0.131 | 0 | 0 | 0 | 0 | 23.3 | -0.131 | 26.9 | 0 | 0 | 0 | -119 | -0.131 | 5.68 | 0 |
| 43 | 7 | Max | 0 | 0 | 80.6 | -0.131 | 0 | 0 | 0 | 0 | 23.3 | -0.131 | 26.9 | 0 | 0 | 0 | -119 | -0.131 | 5.68 | 0 |
| 43 | 8 | Min | 0 | 0 | 80.6 | -0.131 | 0 | 0 | 0 | 0 | 23.3 | -0.131 | 26.9 | 0 | 0 | 0 | -119 | -0.131 | 5.68 | 0 |
| 43 | 8 | Max | 0 | 0 | 80.6 | -0.131 | 0 | 0 | 0 | 0 | 23.3 | -0.131 | 26.9 | 0 | 0 | 0 | -119 | -0.131 | 5.68 | 0 |
| 44 | 1 | Min | -236 | 0 | 318 | -40.9m | 0 | 0 | -236 | 0 | 103 | -40.9m | 127 | 0 | -236 | 0 | -522 | -40.9m | 27.7 | 0 |
| 44 | 1 | Max | 236 | 0 | 331 | -40.0m | 0 | 0 | 236 | 0 | 108 | -40.0m | 132 | 0 | 236 | 0 | -500 | -40.0m | 28.9 | 0 |
| 44 | 2 | Min | -157 | 0 | 241 | -31.2m | 0 | 0 | -157 | 0 | 78.3 | -31.2m | 96.2 | 0 | -157 | 0 | -394 | -31.2m | 21.0 | 0 |
| 44 | 2 | Max | 157 | 0 | 250 | -30.6m | 0 | 0 | 157 | 0 | 81.4 | -30.6m | 99.9 | 0 | 157 | 0 | -380 | -30.6m | 21.8 | 0 |
| 44 | 3 | Min | -31.5 | 0 | 238 | -30.6m | 0 | 0 | -31.5 | 0 | 77.2 | -30.6m | 95.0 | 0 | -31.5 | 0 | -380 | -30.6m | 20.8 | 0 |
| 44 | 3 | Max | 31.5 | 0 | 241 | -30.4m | 0 | 0 | 31.5 | 0 | 78.3 | -30.4m | 96.2 | 0 | 31.5 | 0 | -375 | -30.4m | 21.0 | 0 |
| 44 | 4 | Max | 0 | 0 | 238 | -30.4m | 0 | 0 | 0 | 0 | 77.2 | -30.4m | 95.0 | 0 | 0 | 0 | -375 | -30.4m | 20.8 | 0 |
| 44 | 5 | Max | 0 | 0 | 220 | -29.2m | 0 | 0 | 0 | 0 | 71.0 | -29.2m | 87.6 | 0 | 0 | 0 | -345 | -29.2m | 19.1 | 0 |
| 44 | 7 | Min | 0 | 0 | 238 | -30.4m | 0 | 0 | 0 | 0 | 77.2 | -30.4m | 95.0 | 0 | 0 | 0 | -375 | -30.4m | 20.8 | 0 |
| 44 | 7 | Max | 0 | 0 | 238 | -30.4m | 0 | 0 | 0 | 0 | 77.2 | -30.4m | 95.0 | 0 | 0 | 0 | -375 | -30.4m | 20.8 | 0 |
| 44 | 8 | Min | 0 | 0 | 238 | -30.4m | 0 | 0 | 0 | 0 | 77.2 | -30.4m | 95.0 | 0 | 0 | 0 | -375 | -30.4m | 20.8 | 0 |
| 44 | 8 | Max | 0 | 0 | 238 | -30.4m | 0 | 0 | 0 | 0 | 77.2 | -30.4m | 95.0 | 0 | 0 | 0 | -375 | -30.4m | 20.8 | 0 |
| 45 | 1 | Min | -84.8 | 0 | 293 | 31.6m | 0 | 0 | -84.8 | 0 | 62.5 | 31.6m | 106 | 0 | -84.8 | 0 | -533 | 31.6m | 0 | 0 |
| 45 | 1 | Max | 84.8 | 0 | 305 | 32.9m | 0 | 0 | 84.8 | 0 | 65.3 | 32.9m | 111 | 0 | 84.8 | 0 | -510 | 32.9m | 0 | 0 |
| 45 | 2 | Min | -56.5 | 0 | 222 | 24.0m | 0 | 0 | -56.5 | 0 | 47.3 | 24.0m | 80.4 | 0 | -56.5 | 0 | -402 | 24.0m | 0 | 0 |
| 45 | 2 | Max | 56.5 | 0 | 231 | 24.9m | 0 | 0 | 56.5 | 0 | 49.3 | 24.9m | 83.5 | 0 | 56.5 | 0 | -387 | 24.9m | 0 | 0 |
| 45 | 3 | Min | -11.3 | 0 | 219 | 23.7m | 0 | 0 | -11.3 | 0 | 46.7 | 23.7m | 79.4 | 0 | -11.3 | 0 | -387 | 23.7m | 0 | 0 |
| 45 | 3 | Max | 11.3 | 0 | 222 | 24.0m | 0 | 0 | 11.3 | 0 | 47.3 | 24.0m | 80.4 | 0 | 11.3 | 0 | -382 | 24.0m | 0 | 0 |
| 45 | 4 | Max | 0 | 0 | 219 | 23.7m | 0 | 0 | 0 | 0 | 46.7 | 23.7m | 79.4 | 0 | 0 | 0 | -382 | 23.7m | 0 | 0 |
| 45 | 5 | Max | 0 | 0 | 203 | 21.9m | 0 | 0 | 0 | 0 | 42.9 | 21.9m | 73.2 | 0 | 0 | 0 | -352 | 21.9m | 0 | 0 |
| 45 | 7 | Min | 0 | 0 | 219 | 23.7m | 0 | 0 | 0 | 0 | 46.7 | 23.7m | 79.4 | 0 | 0 | 0 | -382 | 23.7m | 0 | 0 |
| 45 | 7 | Max | 0 | 0 | 219 | 23.7m | 0 | 0 | 0 | 0 | 46.7 | 23.7m | 79.4 | 0 | 0 | 0 | -382 | 23.7m | 0 | 0 |
| 45 | 8 | Min | 0 | 0 | 219 | 23.7m | 0 | 0 | 0 | 0 | 46.7 | 23.7m | 79.4 | 0 | 0 | 0 | -382 | 23.7m | 0 | 0 |
| 45 | 8 | Max | 0 | 0 | 219 | 23.7m | 0 | 0 | 0 | 0 | 46.7 | 23.7m | 79.4 | 0 | 0 | 0 | -382 | 23.7m | 0 | 0 |
| 46 | 1 | Min | -14.8 | 0 | 1.06k | 0.24m | 50.8 | 0 | -14.8 | 0 | -73.5 | 0.24m | 355 | 0 | -14.8 | 0 | -1.31k | 0.24m | 0 | 0 |
| 46 | 1 | Max | 14.8 | 0 | 1.11k | 0.19m | 53.1 | 0 | 14.8 | 0 | -70.3 | 0.19m | 371 | 0 | 14.8 | 0 | -1.25k | 0.19m | 0 | 0 |
| 46 | 2 | Min | -9.87 | 0 | 803 | 0.51m | 38.5 | 0 | -9.87 | 0 | -55.4 | 0.51m | 269 | 0 | -9.87 | 0 | -987 | 0.51m | 0 | 0 |
| 46 | 2 | Max | 9.87 | 0 | 836 | 1.15m | 40.1 | 0 | 9.87 | 0 | -53.3 | 1.15m | 280 | 0 | 9.87 | 0 | -949 | 1.15m | 0 | 0 |
| 46 | 3 | Min | -1.97 | 0 | 793 | 1.15m | 38.0 | 0 | -1.97 | 0 | -53.3 | 1.15m | 265 | 0 | -1.97 | 0 | -949 | 1.15m | 0 | 0 |
| 46 | 3 | Max | 1.97 | 0 | 803 | 1.36m | 38.5 | 0 | 1.97 | 0 | -52.6 | 1.36m | 269 | 0 | 1.97 | 0 | -937 | 1.36m | 0 | 0 |
| 46 | 4 | Max | 0 | 0 | 793 | 1.36m | 38.0 | 0 | 0 | 0 | -52.6 | 1.36m | 265 | 0 | 0 | 0 | -937 | 1.36m | 0 | 0 |
| 46 | 5 | Max | 0 | 0 | 729 | 2.63m | 35.0 | 0 | 0 | 0 | -48.4 | 2.63m | 244 | 0 | 0 | 0 | -861 | 2.63m | 0 | 0 |
| 46 | 7 | Min | 0 | 0 | 793 | 1.36m | 38.0 | 0 | 0 | 0 | -52.6 | 1.36m | 265 | 0 | 0 | 0 | -937 | 1.36m | 0 | 0 |
| 46 | 7 | Max | 0 | 0 | 793 | 1.36m | 38.0 | 0 | 0 | 0 | -52.6 | 1.36m | 265 | 0 | 0 | 0 | -937 | 1.36m | 0 | 0 |
| 46 | 8 | Min | 0 | 0 | 793 | 1.36m | 38.0 | 0 | 0 | 0 | -52.6 | 1.36m | 265 | 0 | 0 | 0 | -937 | 1.36m | 0 | 0 |
| 46 | 8 | Max | 0 | 0 | 793 | 1.36m | 38.0 | 0 | 0 | 0 | -52.6 | 1.36m | 265 | 0 | 0 | 0 | -937 | 1.36m | 0 | 0 |
| 47 | 1 | Min | -29.0 | 0 | 1.24k | -1.56m | 0 | 0 | -29.0 | 0 | 70.5 | -1.56m | 349 | 0 | -29.0 | 0 | -1.10k | -1.56m | 50.4 | 0 |
| 47 | 1 | Max | 29.0 | 0 | 1.30k | -0.64m | 0 | 0 | 29.0 | 0 | 73.7 | -0.64m | 364 | 0 | 29.0 | 0 | -1.05k | -0.64m | 52.7 | 0 |
| 47 | 2 | Min | -19.3 | 0 | 941 | -1.42m | 0 | 0 | -19.3 | 0 | 53.5 | -1.42m | 264 | 0 | -19.3 | 0 | -828 | -1.42m | 38.2 | 0 |
| 47 | 2 | Max | 19.3 | 0 | 979 | -0.80m | 0 | 0 | 19.3 | 0 | 55.6 | -0.80m | 275 | 0 | 19.3 | 0 | -796 | -0.80m | 39.7 | 0 |
| 47 | 3 | Min | -3.86 | 0 | 929 | -1.62m | 0 | 0 | -3.86 | 0 | 52.8 | -1.62m | 261 | 0 | -3.86 | 0 | -796 | -1.62m | 37.7 | 0 |
| 47 | 3 | Max | 3.86 | 0 | 941 | -1.42m | 0 | 0 | 3.86 | 0 | 53.5 | -1.42m | 264 | 0 | 3.86 | 0 | -785 | -1.42m | 38.2 | 0 |
| 47 | 4 | Max | 0 | 0 | 929 | -1.62m | 0 | 0 | 0 | 0 | 52.8 | -1.62m | 261 | 0 | 0 | 0 | -785 | -1.62m | 37.7 | 0 |
| 47 | 5 | Max | 0 | 0 | 853 | -2.85m | 0 | 0 | 0 | 0 | 48.5 | -2.85m | 240 | 0 | 0 | 0 | -722 | -2.85m | 34.6 | 0 |
| 47 | 7 | Min | 0 | 0 | 929 | -1.62m | 0 | 0 | 0 | 0 | 52.8 | -1.62m | 261 | 0 | 0 | 0 | -785 | -1.62m | 37.7 | 0 |
| 47 | 7 | Max | 0 | 0 | 929 | -1.62m | 0 | 0 | 0 | 0 | 52.8 | -1.62m | 261 | 0 | 0 | 0 | -785 | -1.62m | 37.7 | 0 |
| 47 | 8 | Min | 0 | 0 | 929 | -1.62m | 0 | 0 | 0 | 0 | 52.8 | -1.62m | 261 | 0 | 0 | 0 | -785 | -1.62m | 37.7 | 0 |
| 47 | 8 | Max | 0 | 0 | 929 | -1.62m | 0 | 0 | 0 | 0 | 52.8 | -1.62m | 261 | 0 | 0 | 0 | -785 | -1.62m | 37.7 | 0 |
| 48 | 1 | Min | -60.4 | 0 | 562 | -38.9m | 0 | 0 | -60.4 | 0 | -74.3 | -38.9m | 124 | 0 | -60.4 | 0 | -336 | -38.9m | 0 | 0 |
| 48 | 1 | Max | 60.4 | 0 | 587 | -37.3m | 0 | 0 | 60.4 | 0 | -71.0 | -37.3m | 130 | 0 | 60.4 | 0 | -322 | -37.3m | 0 | 0 |
| 48 | 2 | Min | -40.3 | 0 | 426 | -29.4m | 0 | 0 | -40.3 | 0 | -56.0 | -29.4m | 94.2 | 0 | -40.3 | 0 | -254 | -29.4m | 0 | 0 |
| 48 | 2 | Max | 40.3 | 0 | 443 | -28.4m | 0 | 0 | 40.3 | 0 | -53.8 | -28.4m | 97.8 | 0 | 40.3 | 0 | -244 | -28.4m | 0 | 0 |
| 48 | 3 | Min | -8.05 | 0 | 421 | -28.4m | 0 | 0 | -8.05 | 0 | -53.8 | -28.4m | 93.0 | 0 | -8.05 | 0 | -244 | -28.4m | 0 | 0 |
| 48 | 3 | Max | 8.05 | 0 | 426 | -28.0m | 0 | 0 | 8.05 | 0 | -53.1 | -28.0m | 94.2 | 0 | 8.05 | 0 | -241 | -28.0m | 0 | 0 |
| 48 | 4 | Max | 0 | 0 | 421 | -28.0m | 0 | 0 | 0 | 0 | -53.1 | -28.0m | 93.0 | 0 | 0 | 0 | -241 | -28.0m | 0 | 0 |
| 48 | 5 | Max | 0 | 0 | 387 | -25.9m | 0 | 0 | 0 | 0 | -48.7 | -25.9m | 85.7 | 0 | 0 | 0 | -223 | -25.9m | 0 | 0 |
| 48 | 7 | Min | 0 | 0 | 421 | -28.0m | 0 | 0 | 0 | 0 | -53.1 | -28.0m | 93.0 | 0 | 0 | 0 | -241 | -28.0m | 0 | 0 |
| 48 | 7 | Max | 0 | 0 | 421 | -28.0m | 0 | 0 | 0 | 0 | -53.1 | -28.0m | 93.0 | 0 | 0 | 0 | -241 | -28.0m | 0 | 0 |
| 48 | 8 | Min | 0 | 0 | 421 | -28.0m | 0 | 0 | 0 | 0 | -53.1 | -28.0m | 93.0 | 0 | 0 | 0 | -241 | -28.0m | 0 | 0 |
| 48 | 8 | Max | 0 | 0 | 421 | -28.0m | 0 | 0 | 0 | 0 | -53.1 | -28.0m | 93.0 | 0 | 0 | 0 | -241 | -28.0m | 0 | 0 |
| 49 | 1 | Min | -229 | 0 | 500 | 47.0m | 27.7 | 0 | -229 | 0 | -108 | 47.0m | 127 | 0 | -229 | 0 | -331 | 47.0m | 0 | 0 |
| 49 | 1 | Max | 229 | 0 | 522 | 48.2m | 28.9 | 0 | 229 | 0 | -103 | 48.2m | 132 | 0 | 229 | 0 | -318 | 48.2m | 0 | 0 |
| 49 | 2 | Min | -153 | 0 | 380 | 35.9m | 21.0 | 0 | -153 | 0 | -81.4 | 35.9m | 96.2 | 0 | -153 | 0 | -250 | 35.9m | 0 | 0 |
| 49 | 2 | Max | 153 | 0 | 394 | 36.7m | 21.8 | 0 | 153 | 0 | -78.3 | 36.7m | 99.9 | 0 | 153 | 0 | -241 | 36.7m | 0 | 0 |
| 49 | 3 | Min | -30.6 | 0 | 375 | 35.6m | 20.8 | 0 | -30.6 | 0 | -78.3 | 35.6m | 95.0 | 0 | -30.6 | 0 | -241 | 35.6m | 0 | 0 |
| 49 | 3 | | | | | | | | | | | | | | | | | | | |

| | | | | | | | | | | | | | | | | | | | | |
|----|---|-----|-------|-------|--------|--------|--------|-------|-------|-------|--------|--------|--------|--------|-------|-------|--------|--------|--------|-------|
| 51 | 8 | Max | 0 | 0 | 76.4 | -0.137 | 0 | 0 | 0 | 0 | 22.0 | -0.137 | 25.1 | 0 | 0 | 0 | -112 | -0.137 | 5.34 | 0 |
| 52 | 1 | Min | -229 | 0 | 320 | -49.3m | 0 | 0 | -229 | 0 | 104 | -49.3m | 129 | 0 | -229 | 0 | -528 | -49.3m | 27.9 | 0 |
| 52 | 1 | Max | 229 | 0 | 334 | -48.1m | 0 | 0 | 229 | 0 | 109 | -48.1m | 135 | 0 | 229 | 0 | -506 | -48.1m | 29.2 | 0 |
| 52 | 2 | Min | -153 | 0 | 243 | -37.5m | 0 | 0 | -153 | 0 | 78.8 | -37.5m | 97.8 | 0 | -153 | 0 | -398 | -37.5m | 21.2 | 0 |
| 52 | 2 | Max | 153 | 0 | 252 | -36.7m | 0 | 0 | 153 | 0 | 81.9 | -36.7m | 102 | 0 | 153 | 0 | -384 | -36.7m | 22.0 | 0 |
| 52 | 3 | Min | -30.5 | 0 | 240 | -36.7m | 0 | 0 | -30.5 | 0 | 77.7 | -36.7m | 96.6 | 0 | -30.5 | 0 | -384 | -36.7m | 20.9 | 0 |
| 52 | 3 | Max | 30.5 | 0 | 243 | -36.5m | 0 | 0 | 30.5 | 0 | 78.8 | -36.5m | 97.8 | 0 | 30.5 | 0 | -379 | -36.5m | 21.2 | 0 |
| 52 | 4 | Max | 0 | 0 | 240 | -36.5m | 0 | 0 | 0 | 0 | 77.7 | -36.5m | 96.6 | 0 | 0 | 0 | -379 | -36.5m | 20.9 | 0 |
| 52 | 5 | Max | 0 | 0 | 222 | -34.8m | 0 | 0 | 0 | 0 | 71.4 | -34.8m | 89.1 | 0 | 0 | 0 | -349 | -34.8m | 19.3 | 0 |
| 52 | 7 | Min | 0 | 0 | 240 | -36.5m | 0 | 0 | 0 | 0 | 77.7 | -36.5m | 96.6 | 0 | 0 | 0 | -379 | -36.5m | 20.9 | 0 |
| 52 | 7 | Max | 0 | 0 | 240 | -36.5m | 0 | 0 | 0 | 0 | 77.7 | -36.5m | 96.6 | 0 | 0 | 0 | -379 | -36.5m | 20.9 | 0 |
| 52 | 8 | Min | 0 | 0 | 240 | -36.5m | 0 | 0 | 0 | 0 | 77.7 | -36.5m | 96.6 | 0 | 0 | 0 | -379 | -36.5m | 20.9 | 0 |
| 52 | 8 | Max | 0 | 0 | 240 | -36.5m | 0 | 0 | 0 | 0 | 77.7 | -36.5m | 96.6 | 0 | 0 | 0 | -379 | -36.5m | 20.9 | 0 |
| 53 | 1 | Min | -64.9 | 0 | 322 | 34.8m | 0 | 0 | -64.9 | 0 | 71.0 | 34.8m | 124 | 0 | -64.9 | 0 | -587 | 34.8m | 0 | 0 |
| 53 | 1 | Max | 64.9 | 0 | 336 | 36.3m | 0 | 0 | 64.9 | 0 | 74.3 | 36.3m | 130 | 0 | 64.9 | 0 | -562 | 36.3m | 0 | 0 |
| 53 | 2 | Min | -43.3 | 0 | 244 | 26.5m | 0 | 0 | -43.3 | 0 | 53.8 | 26.5m | 94.2 | 0 | -43.3 | 0 | -443 | 26.5m | 0 | 0 |
| 53 | 2 | Max | 43.3 | 0 | 254 | 27.4m | 0 | 0 | 43.3 | 0 | 56.0 | 27.4m | 97.8 | 0 | 43.3 | 0 | -426 | 27.4m | 0 | 0 |
| 53 | 3 | Min | -8.66 | 0 | 241 | 26.1m | 0 | 0 | -8.66 | 0 | 53.1 | 26.1m | 93.0 | 0 | -8.66 | 0 | -426 | 26.1m | 0 | 0 |
| 53 | 3 | Max | 8.66 | 0 | 244 | 26.5m | 0 | 0 | 8.66 | 0 | 53.8 | 26.5m | 94.2 | 0 | 8.66 | 0 | -421 | 26.5m | 0 | 0 |
| 53 | 4 | Max | 0 | 0 | 241 | 26.1m | 0 | 0 | 0 | 0 | 53.1 | 26.1m | 93.0 | 0 | 0 | 0 | -421 | 26.1m | 0 | 0 |
| 53 | 5 | Max | 0 | 0 | 223 | 24.2m | 0 | 0 | 0 | 0 | 48.7 | 24.2m | 85.7 | 0 | 0 | 0 | -387 | 24.2m | 0 | 0 |
| 53 | 7 | Min | 0 | 0 | 241 | 26.1m | 0 | 0 | 0 | 0 | 53.1 | 26.1m | 93.0 | 0 | 0 | 0 | -421 | 26.1m | 0 | 0 |
| 53 | 7 | Max | 0 | 0 | 241 | 26.1m | 0 | 0 | 0 | 0 | 53.1 | 26.1m | 93.0 | 0 | 0 | 0 | -421 | 26.1m | 0 | 0 |
| 53 | 8 | Min | 0 | 0 | 241 | 26.1m | 0 | 0 | 0 | 0 | 53.1 | 26.1m | 93.0 | 0 | 0 | 0 | -421 | 26.1m | 0 | 0 |
| 53 | 8 | Max | 0 | 0 | 241 | 26.1m | 0 | 0 | 0 | 0 | 53.1 | 26.1m | 93.0 | 0 | 0 | 0 | -421 | 26.1m | 0 | 0 |
| 54 | 1 | Min | -29.0 | 0 | 1.05k | -1.89m | 50.1 | 0 | -29.0 | 0 | -74.3 | -1.89m | 346 | 0 | -29.0 | 0 | -1.29k | -1.89m | 0 | 0 |
| 54 | 1 | Max | 29.0 | 0 | 1.09k | -0.86m | 52.4 | 0 | 29.0 | 0 | -71.1 | -0.86m | 362 | 0 | 29.0 | 0 | -1.23k | -0.86m | 0 | 0 |
| 54 | 2 | Min | -19.3 | 0 | 793 | -1.10m | 38.0 | 0 | -19.3 | 0 | -56.1 | -1.10m | 262 | 0 | -19.3 | 0 | -972 | -1.10m | 0 | 0 |
| 54 | 2 | Max | 19.3 | 0 | 825 | -0.41m | 39.5 | 0 | 19.3 | 0 | -53.9 | -0.41m | 273 | 0 | 19.3 | 0 | -935 | -0.41m | 0 | 0 |
| 54 | 3 | Min | -3.87 | 0 | 782 | -0.41m | 37.5 | 0 | -3.87 | 0 | -53.9 | -0.41m | 259 | 0 | -3.87 | 0 | -935 | -0.41m | 0 | 0 |
| 54 | 3 | Max | 3.87 | 0 | 793 | -0.18m | 38.0 | 0 | 3.87 | 0 | -53.2 | -0.18m | 262 | 0 | 3.87 | 0 | -922 | -0.18m | 0 | 0 |
| 54 | 4 | Max | 0 | 0 | 782 | -0.18m | 37.5 | 0 | 0 | 0 | -53.2 | -0.18m | 259 | 0 | 0 | 0 | -922 | -0.18m | 0 | 0 |
| 54 | 5 | Max | 0 | 0 | 719 | 1.19m | 34.4 | 0 | 0 | 0 | -48.9 | 1.19m | 238 | 0 | 0 | 0 | -847 | 1.19m | 0 | 0 |
| 54 | 7 | Min | 0 | 0 | 782 | -0.18m | 37.5 | 0 | 0 | 0 | -53.2 | -0.18m | 259 | 0 | 0 | 0 | -922 | -0.18m | 0 | 0 |
| 54 | 7 | Max | 0 | 0 | 782 | -0.18m | 37.5 | 0 | 0 | 0 | -53.2 | -0.18m | 259 | 0 | 0 | 0 | -922 | -0.18m | 0 | 0 |
| 54 | 8 | Min | 0 | 0 | 782 | -0.18m | 37.5 | 0 | 0 | 0 | -53.2 | -0.18m | 259 | 0 | 0 | 0 | -922 | -0.18m | 0 | 0 |
| 54 | 8 | Max | 0 | 0 | 782 | -0.18m | 37.5 | 0 | 0 | 0 | -53.2 | -0.18m | 259 | 0 | 0 | 0 | -922 | -0.18m | 0 | 0 |
| 55 | 1 | Min | -748 | -342 | -1.19k | -230 | -425 | -43.2 | -748 | -342 | -1.22k | -230 | -635 | -18.0 | -748 | -342 | -1.23k | -230 | -739 | -46.0 |
| 55 | 1 | Max | 748 | 342 | -1.18k | -227 | -409 | 43.2 | 748 | 342 | -1.21k | -227 | -619 | 18.0 | 748 | 342 | -1.23k | -227 | -725 | 46.0 |
| 55 | 2 | Min | -499 | -228 | -917 | -176 | -321 | -28.8 | -499 | -228 | -940 | -176 | -483 | -12.0 | -499 | -228 | -952 | -176 | -564 | -30.7 |
| 55 | 2 | Max | 499 | 228 | -911 | -174 | -310 | 28.8 | 499 | 228 | -935 | -174 | -473 | 12.0 | 499 | 228 | -947 | -174 | -554 | 30.7 |
| 55 | 3 | Min | -99.7 | -45.6 | -918 | -174 | -310 | -5.76 | -99.7 | -45.6 | -942 | -174 | -473 | -2.40 | -99.7 | -45.6 | -953 | -174 | -554 | -6.14 |
| 55 | 3 | Max | 99.7 | 45.6 | -917 | -174 | -306 | 5.76 | 99.7 | 45.6 | -940 | -174 | -469 | 2.40 | 99.7 | 45.6 | -952 | -174 | -551 | 6.14 |
| 55 | 4 | Max | 0 | 0 | -918 | -174 | -306 | 0 | 0 | 0 | -942 | -174 | -469 | 0 | 0 | 0 | -953 | -174 | -551 | 0 |
| 55 | 5 | Max | 0 | 0 | -929 | -170 | -284 | 0 | 0 | 0 | -952 | -170 | -449 | 0 | 0 | 0 | -964 | -170 | -531 | 0 |
| 55 | 7 | Min | 0 | 0 | -918 | -174 | -306 | 0 | 0 | 0 | -942 | -174 | -469 | 0 | 0 | 0 | -953 | -174 | -551 | 0 |
| 55 | 7 | Max | 0 | 0 | -918 | -174 | -306 | 0 | 0 | 0 | -942 | -174 | -469 | 0 | 0 | 0 | -953 | -174 | -551 | 0 |
| 55 | 8 | Min | 0 | 0 | -918 | -174 | -306 | 0 | 0 | 0 | -942 | -174 | -469 | 0 | 0 | 0 | -953 | -174 | -551 | 0 |
| 55 | 8 | Max | 0 | 0 | -918 | -174 | -306 | 0 | 0 | 0 | -942 | -174 | -469 | 0 | 0 | 0 | -953 | -174 | -551 | 0 |
| 56 | 1 | Min | -43.7 | -55.1 | 1.76k | -85.5 | -635 | -20.4 | -43.7 | -55.1 | 1.73k | -85.5 | -298 | -10.2 | -43.7 | -55.1 | 1.70k | -85.5 | 32.3 | 0 |
| 56 | 1 | Max | 43.7 | 55.1 | 1.84k | -81.8 | -608 | 20.4 | 43.7 | 55.1 | 1.81k | -81.8 | -285 | 10.2 | 43.7 | 55.1 | 1.78k | -81.8 | 33.7 | 0 |
| 56 | 2 | Min | -29.2 | -36.7 | 1.34k | -64.5 | -480 | -13.6 | -29.2 | -36.7 | 1.31k | -64.5 | -225 | -6.79 | -29.2 | -36.7 | 1.29k | -64.5 | 24.5 | 0 |
| 56 | 2 | Max | 29.2 | 36.7 | 1.39k | -62.0 | -462 | 13.6 | 29.2 | 36.7 | 1.36k | -62.0 | -216 | 6.79 | 29.2 | 36.7 | 1.34k | -62.0 | 25.5 | 0 |
| 56 | 3 | Min | -5.83 | -7.34 | 1.32k | -62.0 | -462 | -2.72 | -5.83 | -7.34 | 1.30k | -62.0 | -216 | -1.36 | -5.83 | -7.34 | 1.27k | -62.0 | 24.2 | 0 |
| 56 | 3 | Max | 5.83 | 7.34 | 1.34k | -61.2 | -456 | 2.72 | 5.83 | 7.34 | 1.31k | -61.2 | -213 | 1.36 | 5.83 | 7.34 | 1.29k | -61.2 | 24.5 | 0 |
| 56 | 4 | Max | 0 | 0 | 1.32k | -61.2 | -456 | 0 | 0 | 0 | 1.30k | -61.2 | -213 | 0 | 0 | 0 | 1.27k | -61.2 | 24.2 | 0 |
| 56 | 5 | Max | 0 | 0 | 1.22k | -56.3 | -420 | 0 | 0 | 0 | 1.19k | -56.3 | -196 | 0 | 0 | 0 | 1.17k | -56.3 | 22.2 | 0 |
| 56 | 7 | Min | 0 | 0 | 1.32k | -61.2 | -456 | 0 | 0 | 0 | 1.30k | -61.2 | -213 | 0 | 0 | 0 | 1.27k | -61.2 | 24.2 | 0 |
| 56 | 7 | Max | 0 | 0 | 1.32k | -61.2 | -456 | 0 | 0 | 0 | 1.30k | -61.2 | -213 | 0 | 0 | 0 | 1.27k | -61.2 | 24.2 | 0 |
| 56 | 8 | Min | 0 | 0 | 1.32k | -61.2 | -456 | 0 | 0 | 0 | 1.30k | -61.2 | -213 | 0 | 0 | 0 | 1.27k | -61.2 | 24.2 | 0 |
| 56 | 8 | Max | 0 | 0 | 1.32k | -61.2 | -456 | 0 | 0 | 0 | 1.30k | -61.2 | -213 | 0 | 0 | 0 | 1.27k | -61.2 | 24.2 | 0 |
| 57 | 1 | Min | -504 | -67.3 | -2.77k | -0.594 | -1.17k | -21.1 | -504 | -67.3 | -2.82k | -0.594 | -1.96k | -1.94 | -504 | -67.3 | -2.87k | -0.594 | -2.78k | -17.2 |
| 57 | 1 | Max | 504 | 67.3 | -2.69k | -0.445 | -1.12k | 21.1 | 504 | 67.3 | -2.74k | -0.445 | -1.89k | 1.94 | 504 | 67.3 | -2.79k | -0.445 | -2.68k | 17.2 |
| 57 | 2 | Min | -336 | -44.9 | -2.10k | -0.493 | -880 | -14.1 | -336 | -44.9 | -2.14k | -0.493 | -1.48k | -1.30 | -336 | -44.9 | -2.18k | -0.493 | -2.10k | -11.5 |
| 57 | 2 | Max | 336 | 44.9 | -2.05k | -0.393 | -846 | 14.1 | 336 | 44.9 | -2.09k | -0.393 | -1.43k | 1.30 | 336 | 44.9 | -2.12k | -0.393 | -2.03k | 11.5 |
| 57 | 3 | Min | -67.2 | -8.97 | -2.05k | -0.526 | -846 | -2.82 | -67.2 | -8.97 | -2.09k | -0.526 | -1.43k | -0.259 | -67.2 | -8.97 | -2.12k | -0.526 | -2.03k | -2.30 |
| 57 | 3 | Max | 67.2 | 8.97 | -2.03k | -0.493 | -835 | 2.82 | 67.2 | 8.97 | -2.07k | -0.493 | -1.42k | 0.259 | 67.2 | 8.97 | -2.10k | -0.493 | -2.01k | 2.30 |
| 57 | 4 | Max | 0 | 0 | -2.03k | -0.526 | -835 | 0 | 0 | 0 | -2.07k | -0.526 | -1.42k | 0 | 0 | 0 | -2.10k | -0.526 | -2.01k | 0 |
| 57 | 5 | Max | 0 | 0 | -1.91k | -0.725 | -767 | 0 | 0 | 0 | -1.95k | -0.725 | -1.32k | 0 | 0 | 0 | -1.99k | -0.725 | -1.88k | 0 |
| 57 | 7 | Min | 0 | 0 | -2.03k | -0.526 | -835 | 0 | 0 | 0 | -2.07k | -0.526 | -1.42k | 0 | 0 | 0 | -2.10k | -0.526 | -2.01k | 0 |
| 57 | 7 | Max | 0 | 0 | -2.03k | -0.526 | -835 | 0 | 0 | 0 | -2.07k | -0.526 | -1.42k | 0 | 0 | 0 | -2.10k | -0.526 | -2.01k | 0 |
| 57 | 8 | Min | 0 | 0 | -2.03k | -0.526 | -835 | 0 | 0 | 0 | -2.07k | -0.526 | -1.42k | 0 | 0 | 0 | -2.10k | -0.526 | -2.01k | 0 |
| 57 | 8 | Max | 0 | 0 | -2.03k | -0.526 | -835 | 0 | 0 | 0 | -2.07k | -0.526 | -1.42k | 0 | 0 | 0 | -2.10k | -0.526 | -2.01k | 0 |
| 58 | 1 | Min | -334 | -28.2 | 2.80k | 0.544 | -1.10k | -11.0 | -334 | -28.2 | 2.76k | 0.544 | -530 | -5.50 | -334 | -28.2 | 2.73k | 0.544 | 28.1 | 0 |
| 58 | 1 | Max | 334 | 28.2 | 2.92k | 0.569 | -1.05k | 11.0 | 334 | 28.2 | | | | | | | | | | |

| | | | | | | | | | | | | | | | | | | | | |
|----|---|-----|--------|--------|--------|--------|--------|--------|--------|--------|--------|--------|--------|--------|--------|--------|--------|--------|--------|--------|
| 60 | 8 | Min | 0 | 0 | 1.29k | 59.6 | -483 | 0 | 0 | 0 | 1.27k | 59.6 | -226 | 0 | 0 | 0 | 1.24k | 59.6 | 24.3 | 0 |
| 60 | 8 | Max | 0 | 0 | 1.29k | 59.6 | -483 | 0 | 0 | 0 | 1.27k | 59.6 | -226 | 0 | 0 | 0 | 1.24k | 59.6 | 24.3 | 0 |
| 61 | 1 | Min | -1.34k | -127 | -10.7k | 1.44k | -1.62k | -18.4 | -1.34k | -127 | -11.6k | 1.44k | -4.40k | -13.4 | -1.34k | -127 | -12.3k | 1.44k | -6.33k | -33.8 |
| 61 | 1 | Max | 1.34k | 127 | -10.3k | 1.50k | -1.56k | 18.4 | 1.34k | 127 | -11.2k | 1.50k | -4.24k | 13.4 | 1.34k | 127 | -11.9k | 1.50k | -6.10k | 33.8 |
| 61 | 2 | Min | -896 | -84.7 | -8.07k | 1.09k | -1.22k | -12.2 | -896 | -84.7 | -8.81k | 1.09k | -3.33k | -8.93 | -896 | -84.7 | -9.33k | 1.09k | -4.79k | -22.5 |
| 61 | 2 | Max | 896 | 84.7 | -7.81k | 1.13k | -1.18k | 12.2 | 896 | 84.7 | -8.53k | 1.13k | -3.22k | 8.93 | 896 | 84.7 | -9.03k | 1.13k | -4.63k | 22.5 |
| 61 | 3 | Min | -179 | -16.9 | -7.81k | 1.08k | -1.18k | -2.45 | -179 | -16.9 | -8.53k | 1.08k | -3.22k | -1.79 | -179 | -16.9 | -9.03k | 1.08k | -4.63k | -4.51 |
| 61 | 3 | Max | 179 | 16.9 | -7.73k | 1.09k | -1.17k | 2.45 | 179 | 16.9 | -8.43k | 1.09k | -3.19k | 1.79 | 179 | 16.9 | -8.93k | 1.09k | -4.58k | 4.51 |
| 61 | 4 | Max | 0 | 0 | -7.73k | 1.08k | -1.17k | 0 | 0 | 0 | -8.43k | 1.08k | -3.19k | 0 | 0 | 0 | -8.93k | 1.08k | -4.58k | 0 |
| 61 | 5 | Max | 0 | 0 | -7.22k | 1.01k | -1.09k | 0 | 0 | 0 | -7.87k | 1.01k | -2.97k | 0 | 0 | 0 | -8.33k | 1.01k | -4.27k | 0 |
| 61 | 7 | Min | 0 | 0 | -7.73k | 1.08k | -1.17k | 0 | 0 | 0 | -8.43k | 1.08k | -3.19k | 0 | 0 | 0 | -8.93k | 1.08k | -4.58k | 0 |
| 61 | 7 | Max | 0 | 0 | -7.73k | 1.08k | -1.17k | 0 | 0 | 0 | -8.43k | 1.08k | -3.19k | 0 | 0 | 0 | -8.93k | 1.08k | -4.58k | 0 |
| 61 | 8 | Min | 0 | 0 | -7.73k | 1.08k | -1.17k | 0 | 0 | 0 | -8.43k | 1.08k | -3.19k | 0 | 0 | 0 | -8.93k | 1.08k | -4.58k | 0 |
| 61 | 8 | Max | 0 | 0 | -7.73k | 1.08k | -1.17k | 0 | 0 | 0 | -8.43k | 1.08k | -3.19k | 0 | 0 | 0 | -8.93k | 1.08k | -4.58k | 0 |
| 62 | 1 | Min | -325 | -29.4 | 2.53k | 38.8 | -895 | -16.2 | -325 | -29.4 | 1.60k | 38.8 | -306 | -8.09 | -325 | -29.4 | 806 | 38.8 | 34.9 | 0 |
| 62 | 1 | Max | 325 | 29.4 | 2.64k | 40.5 | -858 | 16.2 | 325 | 29.4 | 1.67k | 40.5 | -293 | 8.09 | 325 | 29.4 | 841 | 40.5 | 36.4 | 0 |
| 62 | 2 | Min | -217 | -19.6 | 1.92k | 29.5 | -676 | -10.8 | -217 | -19.6 | 1.21k | 29.5 | -231 | -5.39 | -217 | -19.6 | 612 | 29.5 | 26.5 | 0 |
| 62 | 2 | Max | 217 | 19.6 | 1.99k | 30.6 | -651 | 10.8 | 217 | 19.6 | 1.26k | 30.6 | -222 | 5.39 | 217 | 19.6 | 635 | 30.6 | 27.5 | 0 |
| 62 | 3 | Min | -43.4 | -3.92 | 1.90k | 29.1 | -651 | -2.16 | -43.4 | -3.92 | 1.20k | 29.1 | -222 | -1.08 | -43.4 | -3.92 | 604 | 29.1 | 26.1 | 0 |
| 62 | 3 | Max | 43.4 | 3.92 | 1.92k | 29.5 | -643 | 2.16 | 43.4 | 3.92 | 1.21k | 29.5 | -219 | 1.08 | 43.4 | 3.92 | 612 | 29.5 | 26.5 | 0 |
| 62 | 4 | Max | 0 | 0 | 1.90k | 29.1 | -643 | 0 | 0 | 0 | 1.20k | 29.1 | -219 | 0 | 0 | 0 | 604 | 29.1 | 26.1 | 0 |
| 62 | 5 | Max | 0 | 0 | 1.75k | 26.8 | -593 | 0 | 0 | 0 | 1.11k | 26.8 | -202 | 0 | 0 | 0 | 557 | 26.8 | 24.1 | 0 |
| 62 | 7 | Min | 0 | 0 | 1.90k | 29.1 | -643 | 0 | 0 | 0 | 1.20k | 29.1 | -219 | 0 | 0 | 0 | 604 | 29.1 | 26.1 | 0 |
| 62 | 7 | Max | 0 | 0 | 1.90k | 29.1 | -643 | 0 | 0 | 0 | 1.20k | 29.1 | -219 | 0 | 0 | 0 | 604 | 29.1 | 26.1 | 0 |
| 62 | 8 | Min | 0 | 0 | 1.90k | 29.1 | -643 | 0 | 0 | 0 | 1.20k | 29.1 | -219 | 0 | 0 | 0 | 604 | 29.1 | 26.1 | 0 |
| 62 | 8 | Max | 0 | 0 | 1.90k | 29.1 | -643 | 0 | 0 | 0 | 1.20k | 29.1 | -219 | 0 | 0 | 0 | 604 | 29.1 | 26.1 | 0 |
| 63 | 1 | Min | -529 | -11.2 | -3.24k | 853 | -1.41k | -4.14 | -529 | -11.2 | -5.52k | 853 | -3.29k | -2.25 | -529 | -11.2 | -7.80k | 853 | -6.15k | -5.78 |
| 63 | 1 | Max | 529 | 11.2 | -3.13k | 885 | -1.35k | 4.14 | 529 | 11.2 | -5.32k | 885 | -3.16k | 2.25 | 529 | 11.2 | -7.50k | 885 | -5.92k | 5.78 |
| 63 | 2 | Min | -353 | -7.48 | -2.45k | 648 | -1.06k | -2.76 | -353 | -7.48 | -4.18k | 648 | -2.49k | -1.50 | -353 | -7.48 | -5.90k | 648 | -4.65k | -3.85 |
| 63 | 2 | Max | 353 | 7.48 | -2.38k | 670 | -1.02k | 2.76 | 353 | 7.48 | -4.04k | 670 | -2.40k | 1.50 | 353 | 7.48 | -5.70k | 670 | -4.50k | 3.85 |
| 63 | 3 | Min | -70.6 | -1.50 | -2.38k | 641 | -1.02k | -0.552 | -70.6 | -1.50 | -4.04k | 641 | -2.40k | -0.300 | -70.6 | -1.50 | -5.70k | 641 | -4.50k | -0.770 |
| 63 | 3 | Max | 70.6 | 1.50 | -2.36k | 648 | -1.01k | 0.552 | 70.6 | 1.50 | -4.00k | 648 | -2.38k | 0.300 | 70.6 | 1.50 | -5.63k | 648 | -4.45k | 0.770 |
| 63 | 4 | Max | 0 | 0 | -2.36k | 641 | -1.01k | 0 | 0 | 0 | -4.00k | 641 | -2.38k | 0 | 0 | 0 | -5.63k | 641 | -4.45k | 0 |
| 63 | 5 | Max | 0 | 0 | -2.22k | 597 | -929 | 0 | 0 | 0 | -3.73k | 597 | -2.21k | 0 | 0 | 0 | -5.23k | 597 | -4.13k | 0 |
| 63 | 7 | Min | 0 | 0 | -2.36k | 641 | -1.01k | 0 | 0 | 0 | -4.00k | 641 | -2.38k | 0 | 0 | 0 | -5.63k | 641 | -4.45k | 0 |
| 63 | 7 | Max | 0 | 0 | -2.36k | 641 | -1.01k | 0 | 0 | 0 | -4.00k | 641 | -2.38k | 0 | 0 | 0 | -5.63k | 641 | -4.45k | 0 |
| 63 | 8 | Min | 0 | 0 | -2.36k | 641 | -1.01k | 0 | 0 | 0 | -4.00k | 641 | -2.38k | 0 | 0 | 0 | -5.63k | 641 | -4.45k | 0 |
| 63 | 8 | Max | 0 | 0 | -2.36k | 641 | -1.01k | 0 | 0 | 0 | -4.00k | 641 | -2.38k | 0 | 0 | 0 | -5.63k | 641 | -4.45k | 0 |
| 64 | 1 | Min | -184 | -2.19 | 3.87k | 23.6 | -1.69k | -1.80 | -184 | -2.19 | 1.88k | 23.6 | -471 | -0.898 | -184 | -2.19 | 482 | 23.6 | 11.2 | 0 |
| 64 | 1 | Max | 184 | 2.19 | 4.04k | 24.6 | -1.62k | 1.80 | 184 | 2.19 | 1.97k | 24.6 | -451 | 0.898 | 184 | 2.19 | 502 | 24.6 | 11.7 | 0 |
| 64 | 2 | Min | -122 | -1.46 | 2.94k | 17.9 | -1.28k | -1.20 | -122 | -1.46 | 1.43k | 17.9 | -355 | -0.599 | -122 | -1.46 | 366 | 17.9 | 8.51 | 0 |
| 64 | 2 | Max | 122 | 1.46 | 3.05k | 18.6 | -1.23k | 1.20 | 122 | 1.46 | 1.48k | 18.6 | -342 | 0.599 | 122 | 1.46 | 379 | 18.6 | 8.83 | 0 |
| 64 | 3 | Min | -24.5 | -0.292 | 2.90k | 17.7 | -1.23k | -0.239 | -24.5 | -0.292 | 1.41k | 17.7 | -342 | -0.120 | -24.5 | -0.292 | 361 | 17.7 | 8.41 | 0 |
| 64 | 3 | Max | 24.5 | 0.292 | 2.94k | 17.9 | -1.21k | 0.239 | 24.5 | 0.292 | 1.43k | 17.9 | -338 | 0.120 | 24.5 | 0.292 | 366 | 17.9 | 8.51 | 0 |
| 64 | 4 | Max | 0 | 0 | 2.90k | 17.7 | -1.21k | 0 | 0 | 0 | 1.41k | 17.7 | -338 | 0 | 0 | 0 | 361 | 17.7 | 8.41 | 0 |
| 64 | 5 | Max | 0 | 0 | 2.67k | 16.4 | -1.12k | 0 | 0 | 0 | 1.30k | 16.4 | -312 | 0 | 0 | 0 | 335 | 16.4 | 7.78 | 0 |
| 64 | 7 | Min | 0 | 0 | 2.90k | 17.7 | -1.21k | 0 | 0 | 0 | 1.41k | 17.7 | -338 | 0 | 0 | 0 | 361 | 17.7 | 8.41 | 0 |
| 64 | 7 | Max | 0 | 0 | 2.90k | 17.7 | -1.21k | 0 | 0 | 0 | 1.41k | 17.7 | -338 | 0 | 0 | 0 | 361 | 17.7 | 8.41 | 0 |
| 64 | 8 | Min | 0 | 0 | 2.90k | 17.7 | -1.21k | 0 | 0 | 0 | 1.41k | 17.7 | -338 | 0 | 0 | 0 | 361 | 17.7 | 8.41 | 0 |
| 64 | 8 | Max | 0 | 0 | 2.90k | 17.7 | -1.21k | 0 | 0 | 0 | 1.41k | 17.7 | -338 | 0 | 0 | 0 | 361 | 17.7 | 8.41 | 0 |
| 65 | 1 | Min | -1.33k | -119 | -10.5k | -1.49k | -1.46k | -18.6 | -1.33k | -119 | -11.5k | -1.49k | -4.31k | -12.3 | -1.33k | -119 | -12.2k | -1.49k | -6.34k | -32.5 |
| 65 | 1 | Max | 1.33k | 119 | -10.1k | -1.43k | -1.40k | 18.6 | 1.33k | 119 | -11.1k | -1.43k | -4.16k | 12.3 | 1.33k | 119 | -11.8k | -1.43k | -6.11k | 32.5 |
| 65 | 2 | Min | -888 | -79.1 | -7.95k | -1.12k | -1.10k | -12.4 | -888 | -79.1 | -8.71k | -1.12k | -3.26k | -8.19 | -888 | -79.1 | -9.25k | -1.12k | -4.80k | -21.7 |
| 65 | 2 | Max | 888 | 79.1 | -7.70k | -1.09k | -1.07k | 12.4 | 888 | 79.1 | -8.43k | -1.09k | -3.16k | 8.19 | 888 | 79.1 | -8.96k | -1.09k | -4.64k | 21.7 |
| 65 | 3 | Min | -178 | -15.8 | -7.70k | -1.09k | -1.07k | -2.48 | -178 | -15.8 | -8.43k | -1.09k | -3.16k | -1.64 | -178 | -15.8 | -8.96k | -1.09k | -4.64k | -4.34 |
| 65 | 3 | Max | 178 | 15.8 | -7.61k | -1.08k | -1.05k | 2.48 | 178 | 15.8 | -8.34k | -1.08k | -3.13k | 1.64 | 178 | 15.8 | -8.86k | -1.08k | -4.59k | 4.34 |
| 65 | 4 | Max | 0 | 0 | -7.61k | -1.08k | -1.05k | 0 | 0 | 0 | -8.34k | -1.08k | -3.13k | 0 | 0 | 0 | -8.86k | -1.08k | -4.59k | 0 |
| 65 | 5 | Max | 0 | 0 | -7.12k | -1.00k | -981 | 0 | 0 | 0 | -7.78k | -1.00k | -2.92k | 0 | 0 | 0 | -8.26k | -1.00k | -4.29k | 0 |
| 65 | 7 | Min | 0 | 0 | -7.61k | -1.08k | -1.05k | 0 | 0 | 0 | -8.34k | -1.08k | -3.13k | 0 | 0 | 0 | -8.86k | -1.08k | -4.59k | 0 |
| 65 | 7 | Max | 0 | 0 | -7.61k | -1.08k | -1.05k | 0 | 0 | 0 | -8.34k | -1.08k | -3.13k | 0 | 0 | 0 | -8.86k | -1.08k | -4.59k | 0 |
| 65 | 8 | Min | 0 | 0 | -7.61k | -1.08k | -1.05k | 0 | 0 | 0 | -8.34k | -1.08k | -3.13k | 0 | 0 | 0 | -8.86k | -1.08k | -4.59k | 0 |
| 65 | 8 | Max | 0 | 0 | -7.61k | -1.08k | -1.05k | 0 | 0 | 0 | -8.34k | -1.08k | -3.13k | 0 | 0 | 0 | -8.86k | -1.08k | -4.59k | 0 |
| 66 | 1 | Min | -64.2 | -10.6 | 3.30k | -22.2 | 1.15k | -3.90 | -64.2 | -10.6 | 3.16k | -22.2 | 2.78k | -1.43 | -64.2 | -10.6 | 3.03k | -22.2 | 4.35k | -6.77 |
| 66 | 1 | Max | 64.2 | 10.6 | 3.45k | -21.3 | 1.21k | 3.90 | 64.2 | 10.6 | 3.30k | -21.3 | 2.91k | 1.43 | 64.2 | 10.6 | 3.15k | -21.3 | 4.54k | 6.77 |
| 66 | 2 | Min | -42.8 | -7.04 | 2.50k | -16.7 | 873 | -2.60 | -42.8 | -7.04 | 2.40k | -16.7 | 2.11k | -0.955 | -42.8 | -7.04 | 2.30k | -16.7 | 3.30k | -4.51 |
| 66 | 2 | Max | 42.8 | 7.04 | 2.60k | -16.1 | 912 | 2.60 | 42.8 | 7.04 | 2.49k | -16.1 | 2.20k | 0.955 | 42.8 | 7.04 | 2.38k | -16.1 | 3.43k | 4.51 |
| 66 | 3 | Min | -8.56 | -1.41 | 2.47k | -16.1 | 860 | -0.520 | -8.56 | -1.41 | 2.37k | -16.1 | 2.08k | -0.191 | -8.56 | -1.41 | 2.27k | -16.1 | 3.25k | -0.902 |
| 66 | 3 | Max | 8.56 | 1.41 | 2.50k | -15.9 | 873 | 0.520 | 8.56 | 1.41 | 2.40k | -15.9 | 2.11k | 0.191 | 8.56 | 1.41 | 2.30k | -15.9 | 3.30k | 0.902 |
| 66 | 4 | Max | 0 | 0 | 2.47k | -15.9 | 860 | 0 | 0 | 0 | 2.37k | -15.9 | 2.08k | 0 | 0 | 0 | 2.27k | -15.9 | 3.25k | 0 |
| 66 | 5 | Max | 0 | 0 | 2.27k | -14.7 | 783 | 0 | 0 | 0 | 2.19k | -14.7 | 1.91k | 0 | 0 | 0 | 2.11k | -14.7 | 2.99k | 0 |
| 66 | 7 | Min | 0 | 0 | 2 | | | | | | | | | | | | | | | |

| | | | | | | | | | | | | | | | | | | | | |
|----|---|-----|-------|--------|--------|-------|--------|--------|-------|--------|--------|-------|--------|--------|-------|--------|--------|-------|--------|--------|
| 69 | 7 | Max | 0 | 0 | 2.00k | -94.8 | 565 | 0 | 0 | 0 | 1.56k | -94.8 | 1.37k | 0 | 0 | 0 | 1.13k | -94.8 | 1.99k | 0 |
| 69 | 8 | Min | 0 | 0 | 2.00k | -94.8 | 565 | 0 | 0 | 0 | 1.56k | -94.8 | 1.37k | 0 | 0 | 0 | 1.13k | -94.8 | 1.99k | 0 |
| 69 | 8 | Max | 0 | 0 | 2.00k | -94.8 | 565 | 0 | 0 | 0 | 1.56k | -94.8 | 1.37k | 0 | 0 | 0 | 1.13k | -94.8 | 1.99k | 0 |
| 70 | 1 | Min | -337 | -3.68 | -1.60k | 126 | 2.65k | -1.92 | -337 | -3.68 | -2.18k | 126 | 1.82k | -0.230 | -337 | -3.68 | -2.76k | 126 | 725 | -1.46 |
| 70 | 1 | Max | 337 | 3.68 | -1.51k | 131 | 2.76k | 1.92 | 337 | 3.68 | -2.09k | 131 | 1.89k | 0.230 | 337 | 3.68 | -2.66k | 131 | 757 | 1.46 |
| 70 | 2 | Min | -225 | -2.45 | -1.20k | 95.5 | 2.01k | -1.28 | -225 | -2.45 | -1.65k | 95.5 | 1.38k | -0.154 | -225 | -2.45 | -2.09k | 95.5 | 550 | -0.974 |
| 70 | 2 | Max | 225 | 2.45 | -1.14k | 98.8 | 2.08k | 1.28 | 225 | 2.45 | -1.59k | 98.8 | 1.43k | 0.154 | 225 | 2.45 | -2.03k | 98.8 | 571 | 0.974 |
| 70 | 3 | Min | -44.9 | -0.490 | -1.14k | 94.4 | 1.98k | -0.256 | -44.9 | -0.490 | -1.59k | 94.4 | 1.36k | -30.7m | -44.9 | -0.490 | -2.03k | 94.4 | 543 | -0.195 |
| 70 | 3 | Max | 44.9 | 0.490 | -1.13k | 95.5 | 2.01k | 0.256 | 44.9 | 0.490 | -1.57k | 95.5 | 1.38k | 30.7m | 44.9 | 0.490 | -2.01k | 95.5 | 550 | 0.195 |
| 70 | 4 | Max | 0 | 0 | -1.13k | 94.4 | 1.98k | 0 | 0 | 0 | -1.57k | 94.4 | 1.36k | 0 | 0 | 0 | -2.01k | 94.4 | 543 | 0 |
| 70 | 5 | Max | 0 | 0 | -1.02k | 87.9 | 1.83k | 0 | 0 | 0 | -1.45k | 87.9 | 1.27k | 0 | 0 | 0 | -1.88k | 87.9 | 500 | 0 |
| 70 | 7 | Min | 0 | 0 | -1.13k | 94.4 | 1.98k | 0 | 0 | 0 | -1.57k | 94.4 | 1.36k | 0 | 0 | 0 | -2.01k | 94.4 | 543 | 0 |
| 70 | 7 | Max | 0 | 0 | -1.13k | 94.4 | 1.98k | 0 | 0 | 0 | -1.57k | 94.4 | 1.36k | 0 | 0 | 0 | -2.01k | 94.4 | 543 | 0 |
| 70 | 8 | Min | 0 | 0 | -1.13k | 94.4 | 1.98k | 0 | 0 | 0 | -1.57k | 94.4 | 1.36k | 0 | 0 | 0 | -2.01k | 94.4 | 543 | 0 |
| 70 | 8 | Max | 0 | 0 | -1.13k | 94.4 | 1.98k | 0 | 0 | 0 | -1.57k | 94.4 | 1.36k | 0 | 0 | 0 | -2.01k | 94.4 | 543 | 0 |
| 71 | 1 | Min | -314 | -6.09 | -3.72k | 438 | 1.29k | -0.842 | -314 | -6.09 | -4.10k | 438 | 113 | -2.13 | -314 | -6.09 | -4.53k | 438 | -1.46k | -4.35 |
| 71 | 1 | Max | 314 | 6.09 | -3.56k | 456 | 1.35k | 0.842 | 314 | 6.09 | -3.93k | 456 | 114 | 2.13 | 314 | 6.09 | -4.37k | 456 | -1.40k | 4.35 |
| 71 | 2 | Min | -210 | -4.06 | -2.81k | 333 | 982 | -0.562 | -210 | -4.06 | -3.10k | 333 | 86.5 | -1.42 | -210 | -4.06 | -3.43k | 333 | -1.10k | -2.90 |
| 71 | 2 | Max | 210 | 4.06 | -2.70k | 344 | 1.02k | 0.562 | 210 | 4.06 | -2.99k | 344 | 87.2 | 1.42 | 210 | 4.06 | -3.32k | 344 | -1.07k | 2.90 |
| 71 | 3 | Min | -41.9 | -0.812 | -2.70k | 329 | 970 | -0.112 | -41.9 | -0.812 | -2.99k | 329 | 86.2 | -0.283 | -41.9 | -0.812 | -3.32k | 329 | -1.07k | -0.580 |
| 71 | 3 | Max | 41.9 | 0.812 | -2.66k | 333 | 982 | 0.112 | 41.9 | 0.812 | -2.95k | 333 | 86.5 | 0.283 | 41.9 | 0.812 | -3.29k | 333 | -1.05k | 0.580 |
| 71 | 4 | Max | 0 | 0 | -2.66k | 329 | 970 | 0 | 0 | 0 | -2.95k | 329 | 86.2 | 0 | 0 | 0 | -3.29k | 329 | -1.05k | 0 |
| 71 | 5 | Max | 0 | 0 | -2.44k | 305 | 900 | 0 | 0 | 0 | -2.73k | 305 | 84.8 | 0 | 0 | 0 | -3.07k | 305 | -974 | 0 |
| 71 | 7 | Min | 0 | 0 | -2.66k | 329 | 970 | 0 | 0 | 0 | -2.95k | 329 | 86.2 | 0 | 0 | 0 | -3.29k | 329 | -1.05k | 0 |
| 71 | 7 | Max | 0 | 0 | -2.66k | 329 | 970 | 0 | 0 | 0 | -2.95k | 329 | 86.2 | 0 | 0 | 0 | -3.29k | 329 | -1.05k | 0 |
| 71 | 8 | Min | 0 | 0 | -2.66k | 329 | 970 | 0 | 0 | 0 | -2.95k | 329 | 86.2 | 0 | 0 | 0 | -3.29k | 329 | -1.05k | 0 |
| 71 | 8 | Max | 0 | 0 | -2.66k | 329 | 970 | 0 | 0 | 0 | -2.95k | 329 | 86.2 | 0 | 0 | 0 | -3.29k | 329 | -1.05k | 0 |
| 72 | 1 | Min | -551 | -46.0 | -4.53k | -839 | -1.28k | -4.35 | -551 | -46.0 | -4.80k | -839 | -2.31k | -5.79 | -551 | -46.0 | -4.97k | -839 | -3.00k | -12.3 |
| 72 | 1 | Max | 551 | 46.0 | -4.37k | -805 | -1.23k | 4.35 | 551 | 46.0 | -4.63k | -805 | -2.22k | 5.79 | 551 | 46.0 | -4.80k | -805 | -2.89k | 12.3 |
| 72 | 2 | Min | -367 | -30.7 | -3.43k | -634 | -968 | -2.90 | -367 | -30.7 | -3.63k | -634 | -1.75k | -3.86 | -367 | -30.7 | -3.77k | -634 | -2.27k | -8.20 |
| 72 | 2 | Max | 367 | 30.7 | -3.32k | -611 | -934 | 2.90 | 367 | 30.7 | -3.53k | -611 | -1.69k | 3.86 | 367 | 30.7 | -3.66k | -611 | -2.20k | 8.20 |
| 72 | 3 | Min | -73.4 | -6.14 | -3.32k | -611 | -934 | -0.580 | -73.4 | -6.14 | -3.53k | -611 | -1.69k | -0.772 | -73.4 | -6.14 | -3.66k | -611 | -2.20k | -1.64 |
| 72 | 3 | Max | 73.4 | 6.14 | -3.29k | -603 | -923 | 0.580 | 73.4 | 6.14 | -3.49k | -603 | -1.67k | 0.772 | 73.4 | 6.14 | -3.62k | -603 | -2.17k | 1.64 |
| 72 | 4 | Max | 0 | 0 | -3.29k | -603 | -923 | 0 | 0 | 0 | -3.49k | -603 | -1.67k | 0 | 0 | 0 | -3.62k | -603 | -2.17k | 0 |
| 72 | 5 | Max | 0 | 0 | -3.07k | -558 | -855 | 0 | 0 | 0 | -3.27k | -558 | -1.55k | 0 | 0 | 0 | -3.40k | -558 | -2.03k | 0 |
| 72 | 7 | Min | 0 | 0 | -3.29k | -603 | -923 | 0 | 0 | 0 | -3.49k | -603 | -1.67k | 0 | 0 | 0 | -3.62k | -603 | -2.17k | 0 |
| 72 | 7 | Max | 0 | 0 | -3.29k | -603 | -923 | 0 | 0 | 0 | -3.49k | -603 | -1.67k | 0 | 0 | 0 | -3.62k | -603 | -2.17k | 0 |
| 72 | 8 | Min | 0 | 0 | -3.29k | -603 | -923 | 0 | 0 | 0 | -3.49k | -603 | -1.67k | 0 | 0 | 0 | -3.62k | -603 | -2.17k | 0 |
| 72 | 8 | Max | 0 | 0 | -3.29k | -603 | -923 | 0 | 0 | 0 | -3.49k | -603 | -1.67k | 0 | 0 | 0 | -3.62k | -603 | -2.17k | 0 |
| 73 | 1 | Min | -260 | -19.6 | 2.65k | -20.6 | -1.75k | -5.46 | -260 | -19.6 | 2.46k | -20.6 | -1.34k | -2.40 | -260 | -19.6 | 2.18k | -20.6 | -770 | -2.20 |
| 73 | 1 | Max | 260 | 19.6 | 2.75k | -19.3 | -1.69k | 5.46 | 260 | 19.6 | 2.56k | -19.3 | -1.29k | 2.40 | 260 | 19.6 | 2.28k | -19.3 | -745 | 2.20 |
| 73 | 2 | Min | -173 | -13.1 | 2.01k | -15.4 | -1.33k | -3.64 | -173 | -13.1 | 1.87k | -15.4 | -1.01k | -1.60 | -173 | -13.1 | 1.65k | -15.4 | -584 | -1.47 |
| 73 | 2 | Max | 173 | 13.1 | 2.08k | -14.6 | -1.28k | 3.64 | 173 | 13.1 | 1.94k | -14.6 | -980 | 1.60 | 173 | 13.1 | 1.72k | -14.6 | -567 | 1.47 |
| 73 | 3 | Min | -34.6 | -2.62 | 1.99k | -14.6 | -1.28k | -0.728 | -34.6 | -2.62 | 1.85k | -14.6 | -980 | -0.320 | -34.6 | -2.62 | 1.63k | -14.6 | -567 | -0.293 |
| 73 | 3 | Max | 34.6 | 2.62 | 2.01k | -14.3 | -1.27k | 0.728 | 34.6 | 2.62 | 1.87k | -14.3 | -969 | 0.320 | 34.6 | 2.62 | 1.65k | -14.3 | -561 | 0.293 |
| 73 | 4 | Max | 0 | 0 | 1.99k | -14.3 | -1.27k | 0 | 0 | 0 | 1.85k | -14.3 | -969 | 0 | 0 | 0 | 1.63k | -14.3 | -561 | 0 |
| 73 | 5 | Max | 0 | 0 | 1.86k | -12.6 | -1.18k | 0 | 0 | 0 | 1.71k | -12.6 | -904 | 0 | 0 | 0 | 1.50k | -12.6 | -528 | 0 |
| 73 | 7 | Min | 0 | 0 | 1.99k | -14.3 | -1.27k | 0 | 0 | 0 | 1.85k | -14.3 | -969 | 0 | 0 | 0 | 1.63k | -14.3 | -561 | 0 |
| 73 | 7 | Max | 0 | 0 | 1.99k | -14.3 | -1.27k | 0 | 0 | 0 | 1.85k | -14.3 | -969 | 0 | 0 | 0 | 1.63k | -14.3 | -561 | 0 |
| 73 | 8 | Min | 0 | 0 | 1.99k | -14.3 | -1.27k | 0 | 0 | 0 | 1.85k | -14.3 | -969 | 0 | 0 | 0 | 1.63k | -14.3 | -561 | 0 |
| 73 | 8 | Max | 0 | 0 | 1.99k | -14.3 | -1.27k | 0 | 0 | 0 | 1.85k | -14.3 | -969 | 0 | 0 | 0 | 1.63k | -14.3 | -561 | 0 |
| 74 | 1 | Min | -177 | -113 | 2.18k | -313 | -704 | -2.20 | -177 | -113 | 2.08k | -313 | -517 | -9.78 | -177 | -113 | 2.04k | -313 | -449 | -13.3 |
| 74 | 1 | Max | 177 | 113 | 2.28k | -302 | -681 | 2.20 | 177 | 113 | 2.18k | -302 | -503 | 9.78 | 177 | 113 | 2.14k | -302 | -438 | 13.3 |
| 74 | 2 | Min | -118 | -75.5 | 1.65k | -237 | -534 | -1.47 | -118 | -75.5 | 1.58k | -237 | -393 | -6.52 | -118 | -75.5 | 1.55k | -237 | -342 | -8.89 |
| 74 | 2 | Max | 118 | 75.5 | 1.72k | -230 | -518 | 1.47 | 118 | 75.5 | 1.64k | -230 | -383 | 6.52 | 118 | 75.5 | 1.61k | -230 | -334 | 8.89 |
| 74 | 3 | Min | -23.6 | -15.1 | 1.63k | -230 | -518 | -0.293 | -23.6 | -15.1 | 1.55k | -230 | -383 | -1.30 | -23.6 | -15.1 | 1.52k | -230 | -334 | -1.78 |
| 74 | 3 | Max | 23.6 | 15.1 | 1.65k | -228 | -513 | 0.293 | 23.6 | 15.1 | 1.58k | -228 | -380 | 1.30 | 23.6 | 15.1 | 1.55k | -228 | -332 | 1.78 |
| 74 | 4 | Max | 0 | 0 | 1.63k | -228 | -513 | 0 | 0 | 0 | 1.55k | -228 | -380 | 0 | 0 | 0 | 1.52k | -228 | -332 | 0 |
| 74 | 5 | Max | 0 | 0 | 1.50k | -213 | -483 | 0 | 0 | 0 | 1.42k | -213 | -361 | 0 | 0 | 0 | 1.39k | -213 | -317 | 0 |
| 74 | 7 | Min | 0 | 0 | 1.63k | -228 | -513 | 0 | 0 | 0 | 1.55k | -228 | -380 | 0 | 0 | 0 | 1.52k | -228 | -332 | 0 |
| 74 | 7 | Max | 0 | 0 | 1.63k | -228 | -513 | 0 | 0 | 0 | 1.55k | -228 | -380 | 0 | 0 | 0 | 1.52k | -228 | -332 | 0 |
| 74 | 8 | Min | 0 | 0 | 1.63k | -228 | -513 | 0 | 0 | 0 | 1.55k | -228 | -380 | 0 | 0 | 0 | 1.52k | -228 | -332 | 0 |
| 74 | 8 | Max | 0 | 0 | 1.63k | -228 | -513 | 0 | 0 | 0 | 1.55k | -228 | -380 | 0 | 0 | 0 | 1.52k | -228 | -332 | 0 |
| 75 | 1 | Min | -668 | -116 | 1.42k | -9.28 | -516 | -35.9 | -668 | -116 | 1.06k | -9.28 | -138 | -1.19 | -668 | -116 | 639 | -9.28 | 165 | -39.6 |
| 75 | 1 | Max | 668 | 116 | 1.44k | -8.12 | -507 | 35.9 | 668 | 116 | 1.08k | -8.12 | -135 | 1.19 | 668 | 116 | 658 | -8.12 | 168 | 39.6 |
| 75 | 2 | Min | -445 | -77.1 | 1.09k | -7.42 | -394 | -23.9 | -445 | -77.1 | 811 | -7.42 | -105 | -0.795 | -445 | -77.1 | 487 | -7.42 | 126 | -26.4 |
| 75 | 2 | Max | 445 | 77.1 | 1.10k | -6.64 | -388 | 23.9 | 445 | 77.1 | 824 | -6.64 | -103 | 0.795 | 445 | 77.1 | 500 | -6.64 | 128 | 26.4 |
| 75 | 3 | Min | -89.1 | -15.4 | 1.08k | -7.68 | -388 | -4.78 | -89.1 | -15.4 | 807 | -7.68 | -103 | -0.159 | -89.1 | -15.4 | 483 | -7.68 | 125 | -5.28 |
| 75 | 3 | Max | 89.1 | 15.4 | 1.09k | -7.42 | -386 | 4.78 | 89.1 | 15.4 | 811 | -7.42 | -102 | 0.159 | 89.1 | 15.4 | 487 | -7.42 | 126 | 5.28 |
| 75 | 4 | Max | 0 | 0 | 1.08k | -7.68 | -386 | 0 | 0 | 0 | 807 | -7.68 | -102 | 0 | 0 | 0 | 483 | -7.68 | 125 | 0 |
| 75 | 5 | Max | 0 | 0 | 1.06k | -9.23 | -374 | 0 | 0 | 0 | 782 | -9.23 | -98.1 | 0 | 0 | 0 | 458 | -9.23 | 120 | 0 |
| 75 | 7 | Min | 0 | 0 | 1.08k | -7.68 | -386 | 0 | 0 | 0 | 807 | -7. | | | | | | | | |

| | | | | | | | | | | | | | | | | | | | | |
|----|---|-----|-------|--------|--------|-------|--------|--------|-------|--------|--------|-------|--------|--------|-------|--------|--------|-------|--------|--------|
| 78 | 7 | Min | 0 | 0 | -418 | 9.77 | 158 | 0 | 0 | 0 | -781 | 9.77 | -79.0 | 0 | 0 | 0 | -1.10k | 9.77 | -401 | 0 |
| 78 | 7 | Max | 0 | 0 | -418 | 9.77 | 158 | 0 | 0 | 0 | -781 | 9.77 | -79.0 | 0 | 0 | 0 | -1.10k | 9.77 | -401 | 0 |
| 78 | 8 | Min | 0 | 0 | -418 | 9.77 | 158 | 0 | 0 | 0 | -781 | 9.77 | -79.0 | 0 | 0 | 0 | -1.10k | 9.77 | -401 | 0 |
| 78 | 8 | Max | 0 | 0 | -418 | 9.77 | 158 | 0 | 0 | 0 | -781 | 9.77 | -79.0 | 0 | 0 | 0 | -1.10k | 9.77 | -401 | 0 |
| 79 | 1 | Min | -163 | -101 | -2.18k | 314 | -457 | -8.43 | -163 | -101 | -2.18k | 314 | -457 | -8.43 | -163 | -101 | -2.21k | 314 | -525 | -5.31 |
| 79 | 1 | Max | 163 | 101 | -2.08k | 324 | -445 | 8.43 | 163 | 101 | -2.08k | 324 | -445 | 8.43 | 163 | 101 | -2.11k | 324 | -510 | 5.31 |
| 79 | 2 | Min | -108 | -67.4 | -1.64k | 239 | -348 | -5.62 | -108 | -67.4 | -1.64k | 239 | -348 | -5.62 | -108 | -67.4 | -1.67k | 239 | -399 | -3.54 |
| 79 | 2 | Max | 108 | 67.4 | -1.57k | 246 | -340 | 5.62 | 108 | 67.4 | -1.57k | 246 | -340 | 5.62 | 108 | 67.4 | -1.60k | 246 | -389 | 3.54 |
| 79 | 3 | Min | -21.7 | -13.5 | -1.57k | 236 | -340 | -1.12 | -21.7 | -13.5 | -1.57k | 236 | -340 | -1.12 | -21.7 | -13.5 | -1.60k | 236 | -389 | -0.708 |
| 79 | 3 | Max | 21.7 | 13.5 | -1.55k | 239 | -337 | 1.12 | 21.7 | 13.5 | -1.55k | 239 | -337 | 1.12 | 21.7 | 13.5 | -1.58k | 239 | -385 | 0.708 |
| 79 | 4 | Max | 0 | 0 | -1.55k | 236 | -337 | 0 | 0 | 0 | -1.55k | 236 | -337 | 0 | 0 | 0 | -1.58k | 236 | -385 | 0 |
| 79 | 5 | Max | 0 | 0 | -1.42k | 222 | -321 | 0 | 0 | 0 | -1.42k | 222 | -321 | 0 | 0 | 0 | -1.45k | 222 | -365 | 0 |
| 79 | 7 | Min | 0 | 0 | -1.55k | 236 | -337 | 0 | 0 | 0 | -1.55k | 236 | -337 | 0 | 0 | 0 | -1.58k | 236 | -385 | 0 |
| 79 | 7 | Max | 0 | 0 | -1.55k | 236 | -337 | 0 | 0 | 0 | -1.55k | 236 | -337 | 0 | 0 | 0 | -1.58k | 236 | -385 | 0 |
| 79 | 8 | Min | 0 | 0 | -1.55k | 236 | -337 | 0 | 0 | 0 | -1.55k | 236 | -337 | 0 | 0 | 0 | -1.58k | 236 | -385 | 0 |
| 79 | 8 | Max | 0 | 0 | -1.55k | 236 | -337 | 0 | 0 | 0 | -1.55k | 236 | -337 | 0 | 0 | 0 | -1.58k | 236 | -385 | 0 |
| 80 | 1 | Min | -218 | -22.8 | -2.21k | 60.7 | -614 | -5.31 | -218 | -22.8 | -2.49k | 60.7 | -1.17k | -2.52 | -218 | -22.8 | -2.68k | 60.7 | -1.57k | -5.10 |
| 80 | 1 | Max | 218 | 22.8 | -2.11k | 63.5 | -596 | 5.31 | 218 | 22.8 | -2.39k | 63.5 | -1.12k | 2.52 | 218 | 22.8 | -2.58k | 63.5 | -1.51k | 5.10 |
| 80 | 2 | Min | -145 | -15.2 | -1.67k | 46.0 | -466 | -3.54 | -145 | -15.2 | -1.88k | 46.0 | -882 | -1.68 | -145 | -15.2 | -2.03k | 46.0 | -1.19k | -3.40 |
| 80 | 2 | Max | 145 | 15.2 | -1.60k | 47.9 | -454 | 3.54 | 145 | 15.2 | -1.82k | 47.9 | -855 | 1.68 | 145 | 15.2 | -1.96k | 47.9 | -1.15k | 3.40 |
| 80 | 3 | Min | -29.1 | -3.03 | -1.60k | 45.4 | -454 | -0.708 | -29.1 | -3.03 | -1.82k | 45.4 | -855 | -0.335 | -29.1 | -3.03 | -1.96k | 45.4 | -1.15k | -0.680 |
| 80 | 3 | Max | 29.1 | 3.03 | -1.58k | 46.0 | -450 | 0.708 | 29.1 | 3.03 | -1.80k | 46.0 | -845 | 0.335 | 29.1 | 3.03 | -1.94k | 46.0 | -1.14k | 0.680 |
| 80 | 4 | Max | 0 | 0 | -1.58k | 45.4 | -450 | 0 | 0 | 0 | -1.80k | 45.4 | -845 | 0 | 0 | 0 | -1.94k | 45.4 | -1.14k | 0 |
| 80 | 5 | Max | 0 | 0 | -1.45k | 41.6 | -426 | 0 | 0 | 0 | -1.66k | 41.6 | -790 | 0 | 0 | 0 | -1.81k | 41.6 | -1.06k | 0 |
| 80 | 7 | Min | 0 | 0 | -1.58k | 45.4 | -450 | 0 | 0 | 0 | -1.80k | 45.4 | -845 | 0 | 0 | 0 | -1.94k | 45.4 | -1.14k | 0 |
| 80 | 7 | Max | 0 | 0 | -1.58k | 45.4 | -450 | 0 | 0 | 0 | -1.80k | 45.4 | -845 | 0 | 0 | 0 | -1.94k | 45.4 | -1.14k | 0 |
| 80 | 8 | Min | 0 | 0 | -1.58k | 45.4 | -450 | 0 | 0 | 0 | -1.80k | 45.4 | -845 | 0 | 0 | 0 | -1.94k | 45.4 | -1.14k | 0 |
| 80 | 8 | Max | 0 | 0 | -1.58k | 45.4 | -450 | 0 | 0 | 0 | -1.80k | 45.4 | -845 | 0 | 0 | 0 | -1.94k | 45.4 | -1.14k | 0 |
| 81 | 1 | Min | -551 | -46.5 | 4.52k | 771 | -2.83k | -12.7 | -551 | -46.5 | 4.35k | 771 | -2.18k | -6.07 | -551 | -46.5 | 4.08k | 771 | -1.22k | -4.17 |
| 81 | 1 | Max | 551 | 46.5 | 4.67k | 803 | -2.73k | 12.7 | 551 | 46.5 | 4.50k | 803 | -2.10k | 6.07 | 551 | 46.5 | 4.24k | 803 | -1.17k | 4.17 |
| 81 | 2 | Min | -367 | -31.0 | 3.44k | 585 | -2.14k | -8.44 | -367 | -31.0 | 3.31k | 585 | -1.65k | -4.05 | -367 | -31.0 | 3.11k | 585 | -922 | -2.78 |
| 81 | 2 | Max | 367 | 31.0 | 3.54k | 607 | -2.07k | 8.44 | 367 | 31.0 | 3.41k | 607 | -1.60k | 4.05 | 367 | 31.0 | 3.21k | 607 | -890 | 2.78 |
| 81 | 3 | Min | -73.5 | -6.20 | 3.40k | 578 | -2.07k | -1.69 | -73.5 | -6.20 | 3.27k | 578 | -1.60k | -0.810 | -73.5 | -6.20 | 3.07k | 578 | -890 | -0.557 |
| 81 | 3 | Max | 73.5 | 6.20 | 3.44k | 585 | -2.05k | 1.69 | 73.5 | 6.20 | 3.31k | 585 | -1.58k | 0.810 | 73.5 | 6.20 | 3.11k | 585 | -879 | 0.557 |
| 81 | 4 | Max | 0 | 0 | 3.40k | 578 | -2.05k | 0 | 0 | 0 | 3.27k | 578 | -1.58k | 0 | 0 | 0 | 3.07k | 578 | -879 | 0 |
| 81 | 5 | Max | 0 | 0 | 3.20k | 534 | -1.91k | 0 | 0 | 0 | 3.07k | 534 | -1.47k | 0 | 0 | 0 | 2.87k | 534 | -815 | 0 |
| 81 | 7 | Min | 0 | 0 | 3.40k | 578 | -2.05k | 0 | 0 | 0 | 3.27k | 578 | -1.58k | 0 | 0 | 0 | 3.07k | 578 | -879 | 0 |
| 81 | 7 | Max | 0 | 0 | 3.40k | 578 | -2.05k | 0 | 0 | 0 | 3.27k | 578 | -1.58k | 0 | 0 | 0 | 3.07k | 578 | -879 | 0 |
| 81 | 8 | Min | 0 | 0 | 3.40k | 578 | -2.05k | 0 | 0 | 0 | 3.27k | 578 | -1.58k | 0 | 0 | 0 | 3.07k | 578 | -879 | 0 |
| 81 | 8 | Max | 0 | 0 | 3.40k | 578 | -2.05k | 0 | 0 | 0 | 3.27k | 578 | -1.58k | 0 | 0 | 0 | 3.07k | 578 | -879 | 0 |
| 82 | 1 | Min | -314 | -5.47 | 4.08k | -431 | -1.40k | -4.17 | -314 | -5.47 | 3.65k | -431 | 70.4 | -2.18 | -314 | -5.47 | 3.27k | -431 | 1.16k | -1.01 |
| 82 | 1 | Max | 314 | 5.47 | 4.24k | -415 | -1.34k | 4.17 | 314 | 5.47 | 3.80k | -415 | 71.0 | 2.18 | 314 | 5.47 | 3.42k | -415 | 1.21k | 1.01 |
| 82 | 2 | Min | -210 | -3.65 | 3.11k | -326 | -1.05k | -2.78 | -210 | -3.65 | 2.77k | -326 | 54.3 | -1.45 | -210 | -3.65 | 2.48k | -326 | 882 | -0.671 |
| 82 | 2 | Max | 210 | 3.65 | 3.21k | -315 | -1.02k | 2.78 | 210 | 3.65 | 2.87k | -315 | 54.7 | 1.45 | 210 | 3.65 | 2.58k | -315 | 913 | 0.671 |
| 82 | 3 | Min | -41.9 | -0.730 | 3.07k | -315 | -1.02k | -0.557 | -41.9 | -0.730 | 2.74k | -315 | 54.7 | -0.290 | -41.9 | -0.730 | 2.45k | -315 | 871 | -0.134 |
| 82 | 3 | Max | 41.9 | 0.730 | 3.11k | -311 | -1.00k | 0.557 | 41.9 | 0.730 | 2.77k | -311 | 54.9 | 0.290 | 41.9 | 0.730 | 2.48k | -311 | 882 | 0.134 |
| 82 | 4 | Max | 0 | 0 | 3.07k | -311 | -1.00k | 0 | 0 | 0 | 2.74k | -311 | 54.9 | 0 | 0 | 0 | 2.45k | -311 | 871 | 0 |
| 82 | 5 | Max | 0 | 0 | 2.87k | -289 | -930 | 0 | 0 | 0 | 2.53k | -289 | 55.6 | 0 | 0 | 0 | 2.24k | -289 | 808 | 0 |
| 82 | 7 | Min | 0 | 0 | 3.07k | -311 | -1.00k | 0 | 0 | 0 | 2.74k | -311 | 54.9 | 0 | 0 | 0 | 2.45k | -311 | 871 | 0 |
| 82 | 7 | Max | 0 | 0 | 3.07k | -311 | -1.00k | 0 | 0 | 0 | 2.74k | -311 | 54.9 | 0 | 0 | 0 | 2.45k | -311 | 871 | 0 |
| 82 | 8 | Min | 0 | 0 | 3.07k | -311 | -1.00k | 0 | 0 | 0 | 2.74k | -311 | 54.9 | 0 | 0 | 0 | 2.45k | -311 | 871 | 0 |
| 82 | 8 | Max | 0 | 0 | 3.07k | -311 | -1.00k | 0 | 0 | 0 | 2.74k | -311 | 54.9 | 0 | 0 | 0 | 2.45k | -311 | 871 | 0 |
| 83 | 1 | Min | -323 | -3.57 | 2.58k | -125 | 629 | -1.38 | -323 | -3.57 | 2.00k | -125 | 1.68k | -0.261 | -323 | -3.57 | 1.43k | -125 | 2.47k | -1.90 |
| 83 | 1 | Max | 323 | 3.57 | 2.67k | -120 | 657 | 1.38 | 323 | 3.57 | 2.09k | -120 | 1.75k | 0.261 | 323 | 3.57 | 1.51k | -120 | 2.58k | 1.90 |
| 83 | 2 | Min | -215 | -2.38 | 1.96k | -94.6 | 477 | -0.920 | -215 | -2.38 | 1.52k | -94.6 | 1.28k | -0.174 | -215 | -2.38 | 1.08k | -94.6 | 1.88k | -1.27 |
| 83 | 2 | Max | 215 | 2.38 | 2.02k | -91.5 | 496 | 0.920 | 215 | 2.38 | 1.58k | -91.5 | 1.32k | 0.174 | 215 | 2.38 | 1.13k | -91.5 | 1.95k | 1.27 |
| 83 | 3 | Min | -43.1 | -0.476 | 1.94k | -91.5 | 471 | -0.184 | -43.1 | -0.476 | 1.50k | -91.5 | 1.26k | -34.8m | -43.1 | -0.476 | 1.06k | -91.5 | 1.85k | -0.254 |
| 83 | 3 | Max | 43.1 | 0.476 | 1.96k | -90.5 | 477 | 0.184 | 43.1 | 0.476 | 1.52k | -90.5 | 1.28k | 34.8m | 43.1 | 0.476 | 1.08k | -90.5 | 1.88k | 0.254 |
| 83 | 4 | Max | 0 | 0 | 1.94k | -90.5 | 471 | 0 | 0 | 0 | 1.50k | -90.5 | 1.26k | 0 | 0 | 0 | 1.06k | -90.5 | 1.85k | 0 |
| 83 | 5 | Max | 0 | 0 | 1.82k | -84.2 | 434 | 0 | 0 | 0 | 1.39k | -84.2 | 1.17k | 0 | 0 | 0 | 956 | -84.2 | 1.71k | 0 |
| 83 | 7 | Min | 0 | 0 | 1.94k | -90.5 | 471 | 0 | 0 | 0 | 1.50k | -90.5 | 1.26k | 0 | 0 | 0 | 1.06k | -90.5 | 1.85k | 0 |
| 83 | 7 | Max | 0 | 0 | 1.94k | -90.5 | 471 | 0 | 0 | 0 | 1.50k | -90.5 | 1.26k | 0 | 0 | 0 | 1.06k | -90.5 | 1.85k | 0 |
| 83 | 8 | Min | 0 | 0 | 1.94k | -90.5 | 471 | 0 | 0 | 0 | 1.50k | -90.5 | 1.26k | 0 | 0 | 0 | 1.06k | -90.5 | 1.85k | 0 |
| 83 | 8 | Max | 0 | 0 | 1.94k | -90.5 | 471 | 0 | 0 | 0 | 1.50k | -90.5 | 1.26k | 0 | 0 | 0 | 1.06k | -90.5 | 1.85k | 0 |
| 84 | 1 | Min | -329 | -3.58 | -1.51k | 121 | 2.47k | -1.88 | -329 | -3.58 | -2.08k | 121 | 1.70k | -0.257 | -329 | -3.58 | -2.66k | 121 | 657 | -1.37 |
| 84 | 1 | Max | 329 | 3.58 | -1.43k | 126 | 2.58k | 1.88 | 329 | 3.58 | -2.00k | 126 | 1.76k | 0.257 | 329 | 3.58 | -2.57k | 126 | 686 | 1.37 |
| 84 | 2 | Min | -220 | -2.38 | -1.13k | 91.9 | 1.88k | -1.26 | -220 | -2.38 | -1.57k | 91.9 | 1.29k | -0.172 | -220 | -2.38 | -2.01k | 91.9 | 499 | -0.913 |
| 84 | 2 | Max | 220 | 2.38 | -1.08k | 95.0 | 1.95k | 1.26 | 220 | 2.38 | -1.52k | 95.0 | 1.33k | 0.172 | 220 | 2.38 | -1.95k | 95.0 | 518 | 0.913 |
| 84 | 3 | Min | -43.9 | -0.477 | -1.08k | 90.8 | 1.85k | -0.251 | -43.9 | -0.477 | -1.52k | 90.8 | 1.27k | -34.3m | -43.9 | -0.477 | -1.95k | 90.8 | 492 | -0.183 |
| 84 | 3 | Max | 43.9 | 0.477 | -1.06k | 91.9 | 1.88k | 0.251 | 43.9 | 0.477 | -1.50k | 91.9 | 1.29k | 34.3m | 43.9 | 0.477 | -1.93k | 91.9 | 499 | 0.183 |
| 84 | 4 | Max | 0 | 0 | -1.06k | 90.8 | 1.85k | 0 | 0 | 0 | -1.50k | 90.8 | 1.27k | 0 | 0 | 0 | -1.93k | 90.8 | 492 | 0 |
| 84 | 5 | Max | 0 | 0 | -956 | 84.5 | | | | | | | | | | | | | | |

| | | | | | | | | | | | | | | | | | | | | |
|----|---|-----|-------|-------|--------|-------|------|--------|-------|-------|--------|-------|--------|--------|-------|-------|--------|-------|--------|--------|
| 87 | 5 | Max | 0 | 0 | 1.49k | -189 | -405 | 0 | 0 | 0 | 1.46k | -189 | -358 | 0 | 0 | 0 | 1.46k | -189 | -358 | 0 |
| 87 | 7 | Min | 0 | 0 | 1.62k | -201 | -428 | 0 | 0 | 0 | 1.59k | -201 | -377 | 0 | 0 | 0 | 1.59k | -201 | -377 | 0 |
| 87 | 7 | Max | 0 | 0 | 1.62k | -201 | -428 | 0 | 0 | 0 | 1.59k | -201 | -377 | 0 | 0 | 0 | 1.59k | -201 | -377 | 0 |
| 87 | 8 | Min | 0 | 0 | 1.62k | -201 | -428 | 0 | 0 | 0 | 1.59k | -201 | -377 | 0 | 0 | 0 | 1.59k | -201 | -377 | 0 |
| 87 | 8 | Max | 0 | 0 | 1.62k | -201 | -428 | 0 | 0 | 0 | 1.59k | -201 | -377 | 0 | 0 | 0 | 1.59k | -201 | -377 | 0 |
| 88 | 1 | Min | -652 | -88.5 | 1.43k | -9.53 | -532 | -29.6 | -652 | -88.5 | 1.02k | -9.53 | -106 | -0.956 | -652 | -88.5 | 546 | -9.53 | 206 | -35.7 |
| 88 | 1 | Max | 652 | 88.5 | 1.45k | -8.35 | -522 | 29.6 | 652 | 88.5 | 1.04k | -8.35 | -103 | 0.956 | 652 | 88.5 | 565 | -8.35 | 211 | 35.7 |
| 88 | 2 | Min | -435 | -59.0 | 1.09k | -7.62 | -406 | -19.7 | -435 | -59.0 | 779 | -7.62 | -80.6 | -0.637 | -435 | -59.0 | 415 | -7.62 | 157 | -23.8 |
| 88 | 2 | Max | 435 | 59.0 | 1.11k | -6.83 | -400 | 19.7 | 435 | 59.0 | 792 | -6.83 | -78.7 | 0.637 | 435 | 59.0 | 428 | -6.83 | 160 | 23.8 |
| 88 | 3 | Min | -87.0 | -11.8 | 1.09k | -7.88 | -400 | -3.95 | -87.0 | -11.8 | 775 | -7.88 | -78.7 | -0.127 | -87.0 | -11.8 | 411 | -7.88 | 156 | -4.76 |
| 88 | 3 | Max | 87.0 | 11.8 | 1.09k | -7.62 | -397 | 3.95 | 87.0 | 11.8 | 779 | -7.62 | -78.1 | 0.127 | 87.0 | 11.8 | 415 | -7.62 | 157 | 4.76 |
| 88 | 4 | Max | 0 | 0 | 1.09k | -7.88 | -397 | 0 | 0 | 0 | 775 | -7.88 | -78.1 | 0 | 0 | 0 | 411 | -7.88 | 156 | 0 |
| 88 | 5 | Max | 0 | 0 | 1.06k | -9.46 | -385 | 0 | 0 | 0 | 749 | -9.46 | -74.3 | 0 | 0 | 0 | 386 | -9.46 | 150 | 0 |
| 88 | 7 | Min | 0 | 0 | 1.09k | -7.88 | -397 | 0 | 0 | 0 | 775 | -7.88 | -78.1 | 0 | 0 | 0 | 411 | -7.88 | 156 | 0 |
| 88 | 7 | Max | 0 | 0 | 1.09k | -7.88 | -397 | 0 | 0 | 0 | 775 | -7.88 | -78.1 | 0 | 0 | 0 | 411 | -7.88 | 156 | 0 |
| 88 | 8 | Min | 0 | 0 | 1.09k | -7.88 | -397 | 0 | 0 | 0 | 775 | -7.88 | -78.1 | 0 | 0 | 0 | 411 | -7.88 | 156 | 0 |
| 88 | 8 | Max | 0 | 0 | 1.09k | -7.88 | -397 | 0 | 0 | 0 | 775 | -7.88 | -78.1 | 0 | 0 | 0 | 411 | -7.88 | 156 | 0 |
| 89 | 1 | Min | -591 | -227 | 546 | 56.1 | 198 | -35.7 | -591 | -227 | 295 | 56.1 | 287 | -11.9 | -591 | -227 | 104 | 56.1 | 319 | -48.2 |
| 89 | 1 | Max | 591 | 227 | 565 | 58.7 | 202 | 35.7 | 591 | 227 | 314 | 58.7 | 295 | 11.9 | 591 | 227 | 123 | 58.7 | 330 | 48.2 |
| 89 | 2 | Min | -394 | -151 | 415 | 42.5 | 152 | -23.8 | -394 | -151 | 222 | 42.5 | 219 | -7.94 | -394 | -151 | 75.1 | 42.5 | 242 | -32.1 |
| 89 | 2 | Max | 394 | 151 | 428 | 44.3 | 154 | 23.8 | 394 | 151 | 235 | 44.3 | 224 | 7.94 | 394 | 151 | 87.9 | 44.3 | 250 | 32.1 |
| 89 | 3 | Min | -78.8 | -30.2 | 411 | 41.9 | 151 | -4.76 | -78.8 | -30.2 | 218 | 41.9 | 217 | -1.59 | -78.8 | -30.2 | 70.8 | 41.9 | 240 | -6.42 |
| 89 | 3 | Max | 78.8 | 30.2 | 415 | 42.5 | 152 | 4.76 | 78.8 | 30.2 | 222 | 42.5 | 219 | 1.59 | 78.8 | 30.2 | 75.1 | 42.5 | 242 | 6.42 |
| 89 | 4 | Max | 0 | 0 | 411 | 41.9 | 151 | 0 | 0 | 0 | 218 | 41.9 | 217 | 0 | 0 | 0 | 70.8 | 41.9 | 240 | 0 |
| 89 | 5 | Max | 0 | 0 | 386 | 38.4 | 145 | 0 | 0 | 0 | 192 | 38.4 | 206 | 0 | 0 | 0 | 45.3 | 38.4 | 225 | 0 |
| 89 | 7 | Min | 0 | 0 | 411 | 41.9 | 151 | 0 | 0 | 0 | 218 | 41.9 | 217 | 0 | 0 | 0 | 70.8 | 41.9 | 240 | 0 |
| 89 | 7 | Max | 0 | 0 | 411 | 41.9 | 151 | 0 | 0 | 0 | 218 | 41.9 | 217 | 0 | 0 | 0 | 70.8 | 41.9 | 240 | 0 |
| 89 | 8 | Min | 0 | 0 | 411 | 41.9 | 151 | 0 | 0 | 0 | 218 | 41.9 | 217 | 0 | 0 | 0 | 70.8 | 41.9 | 240 | 0 |
| 89 | 8 | Max | 0 | 0 | 411 | 41.9 | 151 | 0 | 0 | 0 | 218 | 41.9 | 217 | 0 | 0 | 0 | 70.8 | 41.9 | 240 | 0 |
| 90 | 1 | Min | -598 | -194 | -123 | -46.7 | 319 | -45.7 | -598 | -194 | -356 | -46.7 | 276 | -7.90 | -598 | -194 | -649 | -46.7 | 157 | -39.6 |
| 90 | 1 | Max | 598 | 194 | -104 | -44.4 | 330 | 45.7 | 598 | 194 | -337 | -44.4 | 283 | 7.90 | 598 | 194 | -630 | -44.4 | 160 | 39.6 |
| 90 | 2 | Min | -399 | -129 | -87.9 | -35.1 | 242 | -30.5 | -399 | -129 | -267 | -35.1 | 210 | -5.27 | -399 | -129 | -493 | -35.1 | 120 | -26.4 |
| 90 | 2 | Max | 399 | 129 | -75.5 | -33.6 | 250 | 30.5 | 399 | 129 | -255 | -33.6 | 215 | 5.27 | 399 | 129 | -480 | -33.6 | 122 | 26.4 |
| 90 | 3 | Min | -79.8 | -25.8 | -75.5 | -33.6 | 240 | -6.09 | -79.8 | -25.8 | -255 | -33.6 | 209 | -1.05 | -79.8 | -25.8 | -480 | -33.6 | 120 | -5.28 |
| 90 | 3 | Max | 79.8 | 25.8 | -71.3 | -33.1 | 242 | 6.09 | 79.8 | 25.8 | -251 | -33.1 | 210 | 1.05 | 79.8 | 25.8 | -476 | -33.1 | 120 | 5.28 |
| 90 | 4 | Max | 0 | 0 | -71.3 | -33.1 | 240 | 0 | 0 | 0 | -251 | -33.1 | 209 | 0 | 0 | 0 | -476 | -33.1 | 120 | 0 |
| 90 | 5 | Max | 0 | 0 | -46.5 | -30.1 | 225 | 0 | 0 | 0 | -226 | -30.1 | 199 | 0 | 0 | 0 | -451 | -30.1 | 116 | 0 |
| 90 | 7 | Min | 0 | 0 | -71.3 | -33.1 | 240 | 0 | 0 | 0 | -251 | -33.1 | 209 | 0 | 0 | 0 | -476 | -33.1 | 120 | 0 |
| 90 | 7 | Max | 0 | 0 | -71.3 | -33.1 | 240 | 0 | 0 | 0 | -251 | -33.1 | 209 | 0 | 0 | 0 | -476 | -33.1 | 120 | 0 |
| 90 | 8 | Min | 0 | 0 | -71.3 | -33.1 | 240 | 0 | 0 | 0 | -251 | -33.1 | 209 | 0 | 0 | 0 | -476 | -33.1 | 120 | 0 |
| 90 | 8 | Max | 0 | 0 | -71.3 | -33.1 | 240 | 0 | 0 | 0 | -251 | -33.1 | 209 | 0 | 0 | 0 | -476 | -33.1 | 120 | 0 |
| 91 | 1 | Min | -668 | -116 | -649 | 5.57 | 163 | -39.6 | -668 | -116 | -1.07k | 5.57 | -136 | -1.20 | -668 | -116 | -1.43k | 5.57 | -511 | -35.9 |
| 91 | 1 | Max | 668 | 116 | -630 | 6.85 | 167 | 39.6 | 668 | 116 | -1.05k | 6.85 | -133 | 1.20 | 668 | 116 | -1.41k | 6.85 | -502 | 35.9 |
| 91 | 2 | Min | -445 | -77.1 | -493 | 4.72 | 125 | -26.4 | -445 | -77.1 | -817 | 4.72 | -104 | -0.798 | -445 | -77.1 | -1.09k | 4.72 | -390 | -23.9 |
| 91 | 2 | Max | 445 | 77.1 | -480 | 5.57 | 127 | 26.4 | 445 | 77.1 | -804 | 5.57 | -102 | 0.798 | 445 | 77.1 | -1.08k | 5.57 | -384 | 23.9 |
| 91 | 3 | Min | -89.1 | -15.4 | -480 | 5.57 | 124 | -5.28 | -89.1 | -15.4 | -804 | 5.57 | -102 | -0.160 | -89.1 | -15.4 | -1.08k | 5.57 | -384 | -4.78 |
| 91 | 3 | Max | 89.1 | 15.4 | -476 | 5.86 | 125 | 5.28 | 89.1 | 15.4 | -800 | 5.86 | -101 | 0.160 | 89.1 | 15.4 | -1.08k | 5.86 | -382 | 4.78 |
| 91 | 4 | Max | 0 | 0 | -476 | 5.86 | 124 | 0 | 0 | 0 | -800 | 5.86 | -101 | 0 | 0 | 0 | -1.08k | 5.86 | -382 | 0 |
| 91 | 5 | Max | 0 | 0 | -451 | 7.56 | 119 | 0 | 0 | 0 | -775 | 7.56 | -96.8 | 0 | 0 | 0 | -1.05k | 7.56 | -371 | 0 |
| 91 | 7 | Min | 0 | 0 | -476 | 5.86 | 124 | 0 | 0 | 0 | -800 | 5.86 | -101 | 0 | 0 | 0 | -1.08k | 5.86 | -382 | 0 |
| 91 | 7 | Max | 0 | 0 | -476 | 5.86 | 124 | 0 | 0 | 0 | -800 | 5.86 | -101 | 0 | 0 | 0 | -1.08k | 5.86 | -382 | 0 |
| 91 | 8 | Min | 0 | 0 | -476 | 5.86 | 124 | 0 | 0 | 0 | -800 | 5.86 | -101 | 0 | 0 | 0 | -1.08k | 5.86 | -382 | 0 |
| 91 | 8 | Max | 0 | 0 | -476 | 5.86 | 124 | 0 | 0 | 0 | -800 | 5.86 | -101 | 0 | 0 | 0 | -1.08k | 5.86 | -382 | 0 |
| 92 | 1 | Min | -172 | -112 | -2.21k | 277 | -482 | -13.4 | -172 | -112 | -2.25k | 277 | -553 | -9.79 | -172 | -112 | -2.35k | 277 | -750 | -2.51 |
| 92 | 1 | Max | 172 | 112 | -2.11k | 287 | -469 | 13.4 | 172 | 112 | -2.15k | 287 | -538 | 9.79 | 172 | 112 | -2.25k | 287 | -725 | 2.51 |
| 92 | 2 | Min | -115 | -74.4 | -1.67k | 211 | -366 | -8.91 | -115 | -74.4 | -1.69k | 211 | -420 | -6.53 | -115 | -74.4 | -1.77k | 211 | -568 | -1.67 |
| 92 | 2 | Max | 115 | 74.4 | -1.60k | 218 | -358 | 8.91 | 115 | 74.4 | -1.63k | 218 | -410 | 6.53 | 115 | 74.4 | -1.70k | 218 | -552 | 1.67 |
| 92 | 3 | Min | -23.0 | -14.9 | -1.60k | 209 | -358 | -1.78 | -23.0 | -14.9 | -1.63k | 209 | -410 | -1.31 | -23.0 | -14.9 | -1.70k | 209 | -552 | -0.334 |
| 92 | 3 | Max | 23.0 | 14.9 | -1.57k | 211 | -355 | 1.78 | 23.0 | 14.9 | -1.60k | 211 | -406 | 1.31 | 23.0 | 14.9 | -1.68k | 211 | -547 | 0.334 |
| 92 | 4 | Max | 0 | 0 | -1.57k | 209 | -355 | 0 | 0 | 0 | -1.60k | 209 | -406 | 0 | 0 | 0 | -1.68k | 209 | -547 | 0 |
| 92 | 5 | Max | 0 | 0 | -1.44k | 195 | -339 | 0 | 0 | 0 | -1.47k | 195 | -385 | 0 | 0 | 0 | -1.54k | 195 | -514 | 0 |
| 92 | 7 | Min | 0 | 0 | -1.57k | 209 | -355 | 0 | 0 | 0 | -1.60k | 209 | -406 | 0 | 0 | 0 | -1.68k | 209 | -547 | 0 |
| 92 | 7 | Max | 0 | 0 | -1.57k | 209 | -355 | 0 | 0 | 0 | -1.60k | 209 | -406 | 0 | 0 | 0 | -1.68k | 209 | -547 | 0 |
| 92 | 8 | Min | 0 | 0 | -1.57k | 209 | -355 | 0 | 0 | 0 | -1.60k | 209 | -406 | 0 | 0 | 0 | -1.68k | 209 | -547 | 0 |
| 92 | 8 | Max | 0 | 0 | -1.57k | 209 | -355 | 0 | 0 | 0 | -1.60k | 209 | -406 | 0 | 0 | 0 | -1.68k | 209 | -547 | 0 |
| 93 | 1 | Min | -260 | -22.2 | -2.35k | 13.9 | -803 | -2.51 | -260 | -22.2 | -2.62k | 13.9 | -1.36k | -2.46 | -260 | -22.2 | -2.79k | 13.9 | -1.75k | -5.72 |
| 93 | 1 | Max | 260 | 22.2 | -2.25k | 14.9 | -776 | 2.51 | 260 | 22.2 | -2.52k | 14.9 | -1.31k | 2.46 | 260 | 22.2 | -2.69k | 14.9 | -1.69k | 5.72 |
| 93 | 2 | Min | -173 | -14.8 | -1.77k | 10.4 | -609 | -1.67 | -173 | -14.8 | -1.98k | 10.4 | -1.03k | -1.64 | -173 | -14.8 | -2.11k | 10.4 | -1.33k | -3.81 |
| 93 | 2 | Max | 173 | 14.8 | -1.70k | 11.1 | -591 | 1.67 | 173 | 14.8 | -1.91k | 11.1 | -995 | 1.64 | 173 | 14.8 | -2.04k | 11.1 | -1.28k | 3.81 |
| 93 | 3 | Min | -34.6 | -2.97 | -1.70k | 10.2 | -591 | -0.334 | -34.6 | -2.97 | -1.91k | 10.2 | -995 | -0.328 | -34.6 | -2.97 | -2.04k | 10.2 | -1.28k | -0.763 |
| 93 | 3 | Max | 34.6 | 2.97 | -1.68k | 10.4 | -585 | 0.334 | 34.6 | 2.97 | -1.89k | 10.4 | -984 | 0.328 | 34.6 | 2.97 | -2.02k | 10.4 | -1.27k | 0.763 |
| 93 | 4 | Max | 0 | 0 | -1.68k | 10.2 | -585 | 0 | 0 | 0 | -1.89k | 10.2 | -984 | 0 | 0 | 0 | -2.02k | 10.2 | -1.27k | 0 |
| 93 | 5 | Max | 0 | 0 | -1.54k | 8.84 | -550 | 0 | 0 | 0 | -1.75k | 8.84 | -918 | 0 | 0 | 0 | -1.88k | 8.84 | -1.18k | 0 |
| 93 | 7 | Min | 0 | 0 | -1.68k | 10.2 | -585 | 0 | 0 | 0 | -1.89k | 10.2 | | | | | | | | |

| | | | | | | | | | | | | | | | | | | | | |
|----|---|-----|-------|-------|--------|------|--------|--------|-------|-------|--------|------|--------|--------|-------|-------|--------|------|--------|--------|
| 96 | 4 | Max | 0 | 0 | -1.49k | 2.00 | -1.57k | 0 | 0 | 0 | -3.13k | 2.00 | -2.57k | 0 | 0 | 0 | -4.76k | 2.00 | -4.27k | 0 |
| 96 | 5 | Max | 0 | 0 | -1.42k | 1.86 | -1.45k | 0 | 0 | 0 | -2.93k | 1.86 | -2.39k | 0 | 0 | 0 | -4.43k | 1.86 | -3.97k | 0 |
| 96 | 7 | Min | 0 | 0 | -1.49k | 2.00 | -1.57k | 0 | 0 | 0 | -3.13k | 2.00 | -2.57k | 0 | 0 | 0 | -4.76k | 2.00 | -4.27k | 0 |
| 96 | 7 | Max | 0 | 0 | -1.49k | 2.00 | -1.57k | 0 | 0 | 0 | -3.13k | 2.00 | -2.57k | 0 | 0 | 0 | -4.76k | 2.00 | -4.27k | 0 |
| 96 | 8 | Min | 0 | 0 | -1.49k | 2.00 | -1.57k | 0 | 0 | 0 | -3.13k | 2.00 | -2.57k | 0 | 0 | 0 | -4.76k | 2.00 | -4.27k | 0 |
| 96 | 8 | Max | 0 | 0 | -1.49k | 2.00 | -1.57k | 0 | 0 | 0 | -3.13k | 2.00 | -2.57k | 0 | 0 | 0 | -4.76k | 2.00 | -4.27k | 0 |
| 97 | 1 | Min | -536 | -11.2 | -3.26k | -889 | -1.40k | -4.13 | -536 | -11.2 | -5.54k | -889 | -3.29k | -2.27 | -536 | -11.2 | -7.82k | -889 | -6.17k | -6.10 |
| 97 | 1 | Max | 536 | 11.2 | -3.15k | -856 | -1.34k | 4.13 | 536 | 11.2 | -5.34k | -856 | -3.17k | 2.27 | 536 | 11.2 | -7.52k | -856 | -5.93k | 6.10 |
| 97 | 2 | Min | -357 | -7.50 | -2.47k | -673 | -1.06k | -2.75 | -357 | -7.50 | -4.19k | -673 | -2.49k | -1.51 | -357 | -7.50 | -5.91k | -673 | -4.66k | -4.07 |
| 97 | 2 | Max | 357 | 7.50 | -2.40k | -651 | -1.02k | 2.75 | 357 | 7.50 | -4.06k | -651 | -2.41k | 1.51 | 357 | 7.50 | -5.71k | -651 | -4.51k | 4.07 |
| 97 | 3 | Min | -71.4 | -1.50 | -2.40k | -651 | -1.02k | -0.550 | -71.4 | -1.50 | -4.06k | -651 | -2.41k | -0.302 | -71.4 | -1.50 | -5.71k | -651 | -4.51k | -0.814 |
| 97 | 3 | Max | 71.4 | 1.50 | -2.37k | -643 | -1.01k | 0.550 | 71.4 | 1.50 | -4.01k | -643 | -2.38k | 0.302 | 71.4 | 1.50 | -5.65k | -643 | -4.45k | 0.814 |
| 97 | 4 | Max | 0 | 0 | -2.37k | -643 | -1.01k | 0 | 0 | 0 | -4.01k | -643 | -2.38k | 0 | 0 | 0 | -5.65k | -643 | -4.45k | 0 |
| 97 | 5 | Max | 0 | 0 | -2.23k | -600 | -926 | 0 | 0 | 0 | -3.74k | -600 | -2.21k | 0 | 0 | 0 | -5.24k | -600 | -4.14k | 0 |
| 97 | 7 | Min | 0 | 0 | -2.37k | -643 | -1.01k | 0 | 0 | 0 | -4.01k | -643 | -2.38k | 0 | 0 | 0 | -5.65k | -643 | -4.45k | 0 |
| 97 | 7 | Max | 0 | 0 | -2.37k | -643 | -1.01k | 0 | 0 | 0 | -4.01k | -643 | -2.38k | 0 | 0 | 0 | -5.65k | -643 | -4.45k | 0 |
| 97 | 8 | Min | 0 | 0 | -2.37k | -643 | -1.01k | 0 | 0 | 0 | -4.01k | -643 | -2.38k | 0 | 0 | 0 | -5.65k | -643 | -4.45k | 0 |
| 97 | 8 | Max | 0 | 0 | -2.37k | -643 | -1.01k | 0 | 0 | 0 | -4.01k | -643 | -2.38k | 0 | 0 | 0 | -5.65k | -643 | -4.45k | 0 |
| 98 | 1 | Min | -562 | -42.4 | -4.22k | -748 | -1.18k | -4.32 | -562 | -42.4 | -4.50k | -748 | -2.20k | -5.61 | -562 | -42.4 | -4.69k | -748 | -2.92k | -12.22 |
| 98 | 1 | Max | 562 | 42.4 | -4.07k | -717 | -1.13k | 4.32 | 562 | 42.4 | -4.35k | -717 | -2.12k | 5.61 | 562 | 42.4 | -4.54k | -717 | -2.81k | 12.22 |
| 98 | 2 | Min | -375 | -28.3 | -3.20k | -565 | -889 | -2.88 | -375 | -28.3 | -3.41k | -565 | -1.66k | -3.74 | -375 | -28.3 | -3.56k | -565 | -2.21k | -8.16 |
| 98 | 2 | Max | 375 | 28.3 | -3.10k | -544 | -857 | 2.88 | 375 | 28.3 | -3.31k | -544 | -1.61k | 3.74 | 375 | 28.3 | -3.46k | -544 | -2.14k | 8.16 |
| 98 | 3 | Min | -75.0 | -5.65 | -3.10k | -544 | -857 | -0.576 | -75.0 | -5.65 | -3.31k | -544 | -1.61k | -0.749 | -75.0 | -5.65 | -3.46k | -544 | -2.14k | -1.63 |
| 98 | 3 | Max | 75.0 | 5.65 | -3.06k | -538 | -847 | 0.576 | 75.0 | 5.65 | -3.28k | -538 | -1.59k | 0.749 | 75.0 | 5.65 | -3.42k | -538 | -2.11k | 1.63 |
| 98 | 4 | Max | 0 | 0 | -3.06k | -538 | -847 | 0 | 0 | 0 | -3.28k | -538 | -1.59k | 0 | 0 | 0 | -3.42k | -538 | -2.11k | 0 |
| 98 | 5 | Max | 0 | 0 | -2.86k | -497 | -785 | 0 | 0 | 0 | -3.08k | -497 | -1.48k | 0 | 0 | 0 | -3.22k | -497 | -1.97k | 0 |
| 98 | 7 | Min | 0 | 0 | -3.06k | -538 | -847 | 0 | 0 | 0 | -3.28k | -538 | -1.59k | 0 | 0 | 0 | -3.42k | -538 | -2.11k | 0 |
| 98 | 7 | Max | 0 | 0 | -3.06k | -538 | -847 | 0 | 0 | 0 | -3.28k | -538 | -1.59k | 0 | 0 | 0 | -3.42k | -538 | -2.11k | 0 |
| 98 | 8 | Min | 0 | 0 | -3.06k | -538 | -847 | 0 | 0 | 0 | -3.28k | -538 | -1.59k | 0 | 0 | 0 | -3.42k | -538 | -2.11k | 0 |
| 98 | 8 | Max | 0 | 0 | -3.06k | -538 | -847 | 0 | 0 | 0 | -3.28k | -538 | -1.59k | 0 | 0 | 0 | -3.42k | -538 | -2.11k | 0 |

– Piano 1. Inviluppo Sollecitazioni Pilastri

| N° | Fam | Cmb. | Sezione iniziale | | | | | | | Sezione centrale | | | | | | | Sezione finale | | | | | | |
|----|-----|------|------------------|--------|--------|---------|---------|---------|--------|------------------|--------|---------|---------|---------|--------|--------|----------------|---------|---------|---------|--|--|--|
| | | | N [N] | Vy [N] | Vz [N] | Mt [Nm] | My [Nm] | Mz [Nm] | N [N] | Vy [N] | Vz [N] | Mt [Nm] | My [Nm] | Mz [Nm] | N [N] | Vy [N] | Vz [N] | Mt [Nm] | My [Nm] | Mz [Nm] | | | |
| 7 | 1 | Min | -25.0k | 531 | -1.93k | 14.3 | -4.68k | 3.22k | -25.4k | 531 | -1.93k | 14.3 | -1.53k | 250 | -25.8k | 531 | -1.93k | 14.3 | -4.35k | -6.69k | | | |
| 7 | 1 | Max | -15.4k | 4.75k | 3.58k | 54.4 | 1.29k | 8.02k | -15.8k | 4.75k | 3.58k | 54.4 | 545 | 2.45k | -16.2k | 4.75k | 3.58k | 54.4 | 5.77k | 1.67k | | | |
| 7 | 2 | Min | -18.2k | 584 | -1.22k | 12.5 | -3.27k | 2.60k | -18.5k | 584 | -1.22k | 12.5 | -1.06k | 284 | -18.9k | 584 | -1.22k | 12.5 | -2.84k | -4.68k | | | |
| 7 | 2 | Max | -11.9k | 3.40k | 2.46k | 39.2 | 713 | 5.80k | -12.2k | 3.40k | 2.46k | 39.2 | 320 | 1.75k | -12.5k | 3.40k | 2.46k | 39.2 | 3.91k | 898 | | | |
| 7 | 3 | Min | -12.5k | 1.45k | 175 | 19.4 | -1.51k | 3.14k | -12.8k | 1.45k | 175 | 19.4 | -462 | 736 | -13.1k | 1.45k | 175 | 19.4 | -206 | -2.20k | | | |
| 7 | 3 | Max | -11.5k | 2.01k | 910 | 24.5 | -717 | 3.67k | -11.8k | 2.01k | 910 | 24.5 | -186 | 1.03k | -12.1k | 2.01k | 910 | 24.5 | 1.14k | -1.08k | | | |
| 7 | 4 | Max | -11.8k | 1.73k | 542 | 21.9 | -1.12k | 3.41k | -12.1k | 1.73k | 542 | 21.9 | -324 | 883 | -12.5k | 1.73k | 542 | 21.9 | 468 | -1.64k | | | |
| 7 | 5 | Max | -11.8k | 1.73k | 542 | 21.9 | -1.12k | 3.41k | -12.1k | 1.73k | 542 | 21.9 | -324 | 883 | -12.5k | 1.73k | 542 | 21.9 | 468 | -1.64k | | | |
| 7 | 7 | Min | -14.3k | -302 | -1.45k | -10.4 | -3.24k | 1.51k | -14.6k | -302 | -1.45k | -10.4 | -1.10k | -185 | -14.9k | -302 | -1.45k | -10.4 | -3.21k | -5.67k | | | |
| 7 | 7 | Max | -9.39k | 3.76k | 2.53k | 54.3 | 1.01k | 5.30k | -9.70k | 3.76k | 2.53k | 54.3 | 454 | 1.95k | -10.0k | 3.76k | 2.53k | 54.3 | 4.15k | 2.39k | | | |
| 7 | 8 | Min | -16.7k | -2.32k | -3.42k | -42.5 | -5.35k | -371 | -17.0k | -2.32k | -3.42k | -42.5 | -1.87k | -1.24k | -17.3k | -2.32k | -3.42k | -42.5 | -6.86k | -9.67k | | | |
| 7 | 8 | Max | -6.96k | 5.77k | 4.50k | 86.3 | 3.12k | 7.18k | -7.27k | 5.77k | 4.50k | 86.3 | 1.22k | 3.01k | -7.58k | 5.77k | 4.50k | 86.3 | 7.80k | 6.39k | | | |
| 11 | 1 | Min | -25.0k | -4.76k | -1.94k | -54.8 | -4.67k | -8.01k | -25.4k | -4.76k | -1.94k | -54.8 | -1.53k | -2.43k | -25.8k | -4.76k | -1.94k | -54.8 | -4.36k | -1.66k | | | |
| 11 | 1 | Max | -15.5k | -526 | 3.57k | -14.4 | 1.30k | -3.20k | -15.9k | -526 | 3.57k | -14.4 | 550 | -236 | -16.3k | -526 | 3.57k | -14.4 | 5.77k | 6.71k | | | |
| 11 | 2 | Min | -18.3k | -3.40k | -1.22k | -39.5 | -3.26k | -5.79k | -18.6k | -3.40k | -1.22k | -39.5 | -1.06k | -1.74k | -18.9k | -3.40k | -1.22k | -39.5 | -2.84k | -889 | | | |
| 11 | 2 | Max | -11.9k | -581 | 2.45k | -12.5 | 722 | -2.59k | -12.2k | -581 | 2.45k | -12.5 | 324 | -274 | -12.5k | -581 | 2.45k | -12.5 | 3.91k | 4.69k | | | |
| 11 | 3 | Min | -12.5k | -2.01k | 171 | -24.6 | -1.51k | -3.66k | -12.9k | -2.01k | 171 | -24.6 | -460 | -1.02k | -13.2k | -2.01k | 171 | -24.6 | -210 | 1.09k | | | |
| 11 | 3 | Max | -11.5k | -1.45k | 906 | -19.5 | -710 | -3.13k | -11.8k | -1.45k | 906 | -19.5 | -183 | -726 | -12.1k | -1.45k | 906 | -19.5 | 1.14k | 2.21k | | | |
| 11 | 4 | Max | -11.8k | -1.73k | 539 | -22.1 | -1.11k | -3.40k | -12.2k | -1.73k | 539 | -22.1 | -322 | -873 | -12.5k | -1.73k | 539 | -22.1 | 465 | 1.65k | | | |
| 11 | 5 | Max | -11.8k | -1.73k | 539 | -22.1 | -1.11k | -3.40k | -12.2k | -1.73k | 539 | -22.1 | -322 | -873 | -12.5k | -1.73k | 539 | -22.1 | 465 | 1.65k | | | |
| 11 | 7 | Min | -14.3k | -3.76k | -1.46k | -53.1 | -3.24k | -5.30k | -14.6k | -3.76k | -1.46k | -53.1 | -1.10k | -1.94k | -14.9k | -3.76k | -1.46k | -53.1 | -3.24k | -2.39k | | | |
| 11 | 7 | Max | -9.40k | 307 | 2.54k | 8.92 | 1.03k | -1.49k | -9.71k | 307 | 2.54k | 8.92 | 460 | 193 | -10.0k | 307 | 2.54k | 8.92 | 4.16k | 5.69k | | | |
| 11 | 8 | Min | -16.7k | -5.78k | -3.44k | -83.8 | -5.36k | -7.19k | -17.0k | -5.78k | -3.44k | -83.8 | -1.88k | -2.99k | -17.3k | -5.78k | -3.44k | -83.8 | -6.91k | -6.39k | | | |
| 11 | 8 | Max | -6.96k | 2.33k | 4.52k | 39.7 | 3.15k | 401 | -7.27k | 2.33k | 4.52k | 39.7 | 1.24k | 1.25k | -7.58k | 2.33k | 4.52k | 39.7 | 7.84k | 9.69k | | | |
| 21 | 1 | Min | -23.7k | 493 | -3.59k | -17.4 | -1.44k | 3.12k | -24.1k | 493 | -3.59k | -17.4 | -677 | 235 | -24.5k | 493 | -3.59k | -17.4 | -5.91k | -6.59k | | | |
| 21 | 1 | Max | -14.4k | 4.67k | 1.94k | -8.72 | 4.56k | 7.85k | -14.8k | 4.67k | 1.94k | -8.72 | 1.39k | 2.40k | -15.2k | 4.67k | 1.94k | -8.72 | 4.22k | 1.69k | | | |
| 21 | 2 | Min | -17.3k | 554 | -2.46k | -12.7 | -826 | 2.53k | -17.6k | 554 | -2.46k | -12.7 | -420 | 272 | -17.9k | 554 | -2.46k | -12.7 | -4.02k | -4.60k | | | |
| 21 | 2 | Max | -11.1k | 3.34k | 1.22k | -6.88 | 3.18k | 5.68k | -11.4k | 3.34k | 1.22k | -6.88 | 956 | 1.72k | -11.7k | 3.34k | 1.22k | -6.88 | 2.74k | 910 | | | |
| 21 | 3 | Min | -11.8k | 1.41k | -911 | -8.47 | 626 | 3.07k | -12.1k | 1.41k | -911 | -8.47 | 96.5 | 719 | -12.4k | 1.41k | -911 | -8.47 | -1.23k | -2.15k | | | |
| 21 | 3 | Max | -10.8k | 1.97k | -174 | -7.58 | 1.43k | 3.59k | -11.1k | 1.97k | -174 | -7.58 | 372 | 1.01k | -11.4k | 1.97k | -174 | -7.58 | 117 | -1.05k | | | |
| 21 | 4 | Max | -11.2k | 1.69k | -542 | -8.02 | 1.03k | 3.33k | -11.5k | 1.69k | -542 | -8.02 | 234 | 864 | -11.8k | 1.69k | -542 | -8.02 | -558 | -1.60k | | | |
| 21 | 5 | Max | -11.2k | 1.69k | -542 | -8.02 | 1.03k | 3.33k | -11.5k | 1.69k | -542 | -8.02 | 234 | 864 | -11.8k | 1.69k | -542 | -8.02 | -558 | -1.60k | | | |
| 21 | 7 | Min | -13.6k | -278 | -2.53k | -33.3 | -1.10k | 1.49k | -13.9k | -278 | -2.53k | -33.3 | -544 | -175 | -14.2k | -278 | -2.53k | -33.3 | -4.24k | -5.51k | | | |
| 21 | 7 | Max | -8.71k | 3.66k | 1.44k | 17.2 | 3.15k | 5.17k | -9.02k | 3.66k | 1.44k | 17.2 | 1.01k | 1.90k | -9.33k | 3.66k | 1.44k | 17.2 | 3.12k | 2.31k | | | |
| 21 | 8 | Min | -16.0k | -2.23k | -4.50k | -58.3 | -3.20k | -327 | -16.3k | -2.23k | -4.50k | -58.3 | -1.32k | -1.21k | -16.7k | -2.23k | -4.50k | -58.3 | -7.89k | -9.39k | | | |
| 21 | 8 | Max | -6.29k | 5.61k | 3.42k | 42.3 | 5.25k | 6.99k | -6.60k | 5.61k | 3.42k | 42.3 | 1.78k | 2.93k | -6.90k | 5.61k | 3.42k | 42.3 | 6.77k | 6.19k | | | |
| 25 | 1 | Min | -23.7k | -4.68k | -3.58k | 10.3 | -1.46k | -7.84k | -24.1k | -4.68k | -3.58k | 10.3 | -682 | -2.39k | -24.5k | -4.68k | -3.58k | 10.3 | -5.91k | -1.68k | | | |
| 25 | 1 | Max | -14.4k | -487 | 1.95k | 19.1 | 4.55k | -3.10k | -14.8k | -487 | 1.95k | 19.1 | 1.39k | -222 | -15.2k | -487 | 1.95k | 19.1 | 4.23k | 6.61k | | | |
| 25 | 2 | Min | -17.3k | -3.34k | -2.46k | 8.04 | -835 | -5.67k | -17.6k | -3.34k | -2.46k | 8.04 | -423 | -1.70k | -17.9k | -3.34k | -2.46k | 8.04 | -4.01k | -902 | | | |
| 25 | 2 | Max | -11.1k | -550 | 1.23k | 13.9 | 3.17k | -2.51k | -11.4k | -550 | 1.23k | 13.9 | 955 | -262 | -11.7k | -550 | 1.23k | 13.9 | 2.75k | 4.62k | | | |
| 25 | 3 | Min | -11.8k | -1.97k | -907 | 8.49 | 619 | -3.58k | -12.1k | -1.97k | -907 | 8.49 | 946 | -998 | -12.5k | -1.97k | -907 | 8.49 | -1.23k | 1.06k | | | |
| 25 | 3 | Max | -10.8k | -1.41k | -170 | 9.39 | 1.42k | -3.06k | -11.1k | -1.41k | -170 | 9.39 | 370 | -709 | -11.5k | -1.41k | -170 | 9.39 | 122 | 2.17k | | | |
| 25 | 4 | Max | -11.2k | -1.69k | -539 | 8.91 | 1.02k | -3.32k | -11.5k | -1.69k | -539 | 8.91 | 232 | -853 | -11.8k | -1.69k | -539 | 8.91 | -554 | 1.61k | | | |
| 25 | 5 | Max | -11.2k | -1.69k | -539 | 8.91 | 1.02k | -3.32k | -11.5k | -1.69k | -539 | 8.91 | 232 | -853 | -11.8k | -1.69k | -539 | 8.91 | -554 | 1.61k | | | |
| 25 | 7 | Min | -13.6k | -3.66k | -2.54k | -14.7 | -1.11k | -5.17k | -13.9k | -3.66k | -2.54k | -14.7 | -551 | -1.89k | -14.2k | -3.66k | -2.54k | -14.7 | -4.25k | -2.30k | | | |
| 25 | 7 | Max | -8.72k | 285 | 1.46k | 32.5 | 3.15k | -1.47k | -9.03k | 285 | 1.46k | 32.5 | 1.02k | 182 | -9.34k | 285 | 1.46k | 32.5 | 3.15k | 5.53k | | | |
| 25 | 8 | Min | -16.1k | -5.62k | -4.52k | -38.1 | -3.23k | -7.00k | -16.4k | -5.62k | -4.52k | -38.1 | -1.33k | -2.92k | -16.7k | -5.62k | -4.52k | -38.1 | -7.92k | -6.19k | | | |
| 25 | 8 | Max | -6.29k | 2.24k | 3.44k | 55.9 | 5.27k | 361 | -6.60k | 2.24k | 3.44k | 55.9 | 1.79k | 1.21k | -6.91k | 2.24k | 3.44k | 55.9 | 6.82k | 9.42k | | | |

| | | | | | | | | | | | | | | | | | | | | |
|---|---|-----|--------|--------|--------|--------|--------|--------|--------|--------|--------|--------|--------|--------|--------|--------|--------|--------|--------|--------|
| 2 | 3 | Max | -2.31k | -23.8 | 4.14k | 1.41 | -2.36k | -25.7 | -2.31k | -23.8 | 4.07k | 1.41 | -787 | -15.6 | -2.31k | -23.8 | 3.99k | 1.41 | 1.11k | -0.932 |
| 2 | 4 | Max | -2.37k | -26.6 | 3.90k | -14.0 | -2.52k | -26.9 | -2.37k | -26.6 | 3.84k | -14.0 | -891 | -15.8 | -2.37k | -26.6 | 3.76k | -14.0 | 1.05k | -2.23 |
| 2 | 5 | Max | -2.37k | -26.6 | 3.90k | -14.0 | -2.52k | -26.9 | -2.37k | -26.6 | 3.84k | -14.0 | -891 | -15.8 | -2.37k | -26.6 | 3.76k | -14.0 | 1.05k | -2.23 |
| 2 | 7 | Min | -3.08k | -37.9 | 2.81k | -93.4 | -3.77k | -30.5 | -3.08k | -37.9 | 2.75k | -93.4 | -1.68k | -17.8 | -3.08k | -37.9 | 2.67k | -93.4 | 743 | -10.0 |
| 2 | 7 | Max | -1.67k | -15.2 | 5.00k | 65.3 | -1.27k | -23.4 | -1.67k | -15.2 | 4.94k | 65.3 | -99.3 | -13.7 | -1.67k | -15.2 | 4.86k | 65.3 | 1.35k | 5.58 |
| 2 | 8 | Min | -3.77k | -49.1 | 1.72k | -172 | -5.02k | -34.0 | -3.77k | -49.1 | 1.66k | -172 | -2.47k | -19.9 | -3.77k | -49.1 | 1.58k | -172 | 441 | -17.8 |
| 2 | 8 | Max | -975 | -4.03 | 6.08k | 144 | -25.7 | -19.8 | -975 | -4.03 | 6.02k | 144 | 686 | -11.7 | -975 | -4.03 | 5.94k | 144 | 1.66k | 13.3 |
| 3 | 1 | Min | -11.5k | 57.8 | 747 | 20.1 | 942 | 38.4 | -11.5k | 57.8 | 637 | 20.1 | 1.61k | 8.40 | -11.5k | 57.8 | 527 | 20.1 | 2.09k | -25.0 |
| 3 | 1 | Max | -8.45k | 77.3 | 1.57k | 50.4 | 1.81k | 57.7 | -8.45k | 77.3 | 1.44k | 50.4 | 2.38k | 19.2 | -8.45k | 77.3 | 1.30k | 50.4 | 2.96k | -12.2 |
| 3 | 2 | Min | -8.40k | 43.7 | 592 | 16.2 | 736 | 29.3 | -8.40k | 43.7 | 508 | 16.2 | 1.23k | 6.71 | -8.40k | 43.7 | 424 | 16.2 | 1.59k | -18.1 |
| 3 | 2 | Max | -6.39k | 56.6 | 1.14k | 36.4 | 1.31k | 42.2 | -6.39k | 56.6 | 1.04k | 36.4 | 1.74k | 13.9 | -6.39k | 56.6 | 943 | 36.4 | 2.16k | -9.62 |
| 3 | 3 | Min | -6.02k | 38.3 | 658 | 19.4 | 773 | 27.2 | -6.02k | 38.3 | 582 | 19.4 | 1.13k | 7.75 | -6.02k | 38.3 | 505 | 19.4 | 1.43k | -11.8 |
| 3 | 3 | Max | -5.64k | 40.7 | 742 | 22.7 | 862 | 29.4 | -5.64k | 40.7 | 666 | 22.7 | 1.22k | 8.90 | -5.64k | 40.7 | 589 | 22.7 | 1.53k | -10.5 |
| 3 | 4 | Max | -5.67k | 38.4 | 700 | 21.1 | 813 | 27.7 | -5.67k | 38.4 | 624 | 21.1 | 1.15k | 8.33 | -5.67k | 38.4 | 547 | 21.1 | 1.44k | -11.1 |
| 3 | 5 | Max | -5.67k | 38.4 | 700 | 21.1 | 813 | 27.7 | -5.67k | 38.4 | 624 | 21.1 | 1.15k | 8.33 | -5.67k | 38.4 | 547 | 21.1 | 1.44k | -11.1 |
| 3 | 7 | Min | -5.91k | 35.8 | 369 | 8.88 | 492 | 22.6 | -5.91k | 35.8 | 293 | 8.88 | 978 | 3.78 | -5.91k | 35.8 | 216 | 8.88 | 1.32k | -15.7 |
| 3 | 7 | Max | -5.44k | 41.1 | 1.03k | 33.2 | 1.13k | 32.9 | -5.44k | 41.1 | 955 | 33.2 | 1.32k | 12.9 | -5.44k | 41.1 | 878 | 33.2 | 1.56k | -6.50 |
| 3 | 8 | Min | -6.14k | 33.1 | 40.7 | -3.19 | 173 | 17.5 | -6.14k | 33.1 | -35.9 | -3.19 | 811 | -0.724 | -6.14k | 33.1 | -112 | -3.19 | 1.21k | -20.2 |
| 3 | 8 | Max | -5.21k | 43.8 | 1.36k | 45.3 | 1.45k | 38.0 | -5.21k | 43.8 | 1.28k | 45.3 | 1.48k | 17.4 | -5.21k | 43.8 | 1.21k | 45.3 | 1.68k | -1.96 |
| 4 | 1 | Min | -11.4k | -76.3 | -1.33k | -50.0 | 2.09k | -25.0 | -11.4k | -76.3 | -1.47k | -50.0 | 1.59k | 8.33 | -11.4k | -76.3 | -1.60k | -50.0 | 905 | 38.8 |
| 4 | 1 | Max | -8.38k | -57.1 | -547 | -19.5 | 2.96k | -12.3 | -8.38k | -57.1 | -658 | -19.5 | 2.36k | 19.0 | -8.38k | -57.1 | -770 | -19.5 | 1.77k | 57.4 |
| 4 | 2 | Min | -8.34k | -56.0 | -964 | -36.1 | 1.59k | -18.2 | -8.34k | -56.0 | -1.06k | -36.1 | 1.21k | 6.65 | -8.34k | -56.0 | -1.16k | -36.1 | 709 | 29.2 |
| 4 | 2 | Max | -6.34k | -43.1 | -439 | -15.8 | 2.16k | -9.67 | -6.34k | -43.1 | -524 | -15.8 | 1.72k | 13.8 | -6.34k | -43.1 | -609 | -15.8 | 1.28k | 41.9 |
| 4 | 3 | Min | -5.97k | -40.3 | -604 | -22.5 | 1.43k | -11.8 | -5.97k | -40.3 | -681 | -22.5 | 1.12k | 7.68 | -5.97k | -40.3 | -758 | -22.5 | 750 | 27.1 |
| 4 | 3 | Max | -5.60k | -37.9 | -519 | -19.1 | 1.53k | -10.5 | -5.60k | -37.9 | -596 | -19.1 | 1.21k | 8.81 | -5.60k | -37.9 | -674 | -19.1 | 839 | 29.3 |
| 4 | 4 | Max | -5.63k | -38.0 | -561 | -20.8 | 1.44k | -11.1 | -5.63k | -38.0 | -639 | -20.8 | 1.14k | 8.25 | -5.63k | -38.0 | -716 | -20.8 | 791 | 27.6 |
| 4 | 5 | Max | -5.63k | -38.0 | -561 | -20.8 | 1.44k | -11.1 | -5.63k | -38.0 | -639 | -20.8 | 1.14k | 8.25 | -5.63k | -38.0 | -716 | -20.8 | 791 | 27.6 |
| 4 | 7 | Min | -5.84k | -40.7 | -894 | -32.9 | 1.32k | -15.7 | -5.84k | -40.7 | -971 | -32.9 | 966 | 3.77 | -5.84k | -40.7 | -1.05k | -32.9 | 466 | 22.5 |
| 4 | 7 | Max | -5.41k | -35.2 | -229 | -8.71 | 1.56k | -6.55 | -5.41k | -35.2 | -306 | -8.71 | 1.31k | 12.7 | -5.41k | -35.2 | -383 | -8.71 | 1.12k | 32.7 |
| 4 | 8 | Min | -6.06k | -43.5 | -1.22k | -44.8 | 1.21k | -20.2 | -6.06k | -43.5 | -1.30k | -44.8 | 798 | -0.669 | -6.06k | -43.5 | -1.38k | -44.8 | 144 | 17.4 |
| 4 | 8 | Max | -5.20k | -32.5 | 101 | 3.27 | 1.68k | -2.03 | -5.20k | -32.5 | 24.2 | 3.27 | 1.47k | 17.2 | -5.20k | -32.5 | -53.2 | 3.27 | 1.44k | 37.8 |
| 5 | 1 | Min | -5.16k | 20.3 | -8.23k | -96.2 | 1.30k | -13.4 | -5.16k | 20.3 | -8.36k | -96.2 | -2.30k | -32.5 | -5.16k | 20.3 | -8.47k | -96.2 | -5.80k | -59.4 |
| 5 | 1 | Max | -3.24k | 65.5 | -4.78k | 138 | 2.22k | 6.32 | -3.24k | 65.5 | -4.89k | 138 | -608 | -23.0 | -3.24k | 65.5 | -4.98k | 138 | -2.66k | -32.1 |
| 5 | 2 | Min | -3.77k | 17.2 | -5.99k | -62.2 | 1.00k | -9.21 | -3.77k | 17.2 | -6.09k | -62.2 | -1.65k | -23.8 | -3.77k | 17.2 | -6.17k | -62.2 | -4.20k | -43.2 |
| 5 | 2 | Max | -2.48k | 47.3 | -3.70k | 93.9 | 1.61k | 3.92 | -2.48k | 47.3 | -3.78k | 93.9 | -527 | -17.5 | -2.48k | 47.3 | -3.85k | 93.9 | -2.11k | -25.1 |
| 5 | 3 | Min | -2.58k | 24.6 | -4.03k | -1.19 | 990 | -3.49 | -2.58k | 24.6 | -4.11k | -1.19 | -1.02k | -17.0 | -2.58k | 24.6 | -4.18k | -1.19 | -2.70k | -29.0 |
| 5 | 3 | Max | -2.36k | 30.2 | -3.66k | 30.0 | 1.09k | -0.869 | -2.36k | 30.2 | -3.74k | 30.0 | -808 | -15.8 | -2.36k | 30.2 | -3.80k | 30.0 | -2.38k | -26.2 |
| 5 | 4 | Max | -2.43k | 27.4 | -3.80k | 14.4 | 1.03k | -2.18 | -2.43k | 27.4 | -3.88k | 14.4 | -913 | -16.0 | -2.43k | 27.4 | -3.94k | 14.4 | -2.54k | -27.4 |
| 5 | 5 | Max | -2.43k | 27.4 | -3.80k | 14.4 | 1.03k | -2.18 | -2.43k | 27.4 | -3.88k | 14.4 | -913 | -16.0 | -2.43k | 27.4 | -3.94k | 14.4 | -2.54k | -27.4 |
| 5 | 7 | Min | -3.13k | 15.7 | -4.91k | -66.6 | 717 | -10.0 | -3.13k | 15.7 | -4.98k | -66.6 | -1.71k | -18.3 | -3.13k | 15.7 | -5.05k | -66.6 | -3.79k | -31.3 |
| 5 | 7 | Max | -1.72k | 39.1 | -2.70k | 95.4 | 1.33k | 5.63 | -1.72k | 39.1 | -2.77k | 95.4 | -117 | -13.7 | -1.72k | 39.1 | -2.83k | 95.4 | -1.28k | -23.5 |
| 5 | 8 | Min | -3.83k | 4.03 | -6.00k | -147 | 411 | -17.7 | -3.83k | 4.03 | -6.08k | -147 | -2.50k | -20.6 | -3.83k | 4.03 | -6.14k | -147 | -5.04k | -35.2 |
| 5 | 8 | Max | -1.03k | 50.8 | -1.60k | 176 | 1.64k | 13.4 | -1.03k | 50.8 | -1.68k | 176 | 672 | -11.4 | -1.03k | 50.8 | -1.74k | 176 | -37.9 | -19.6 |
| 6 | 1 | Min | 859 | -2.86k | -1.29k | -364 | 20.2 | -373 | 859 | -2.86k | -1.30k | -364 | 162 | -12.8 | -2.86k | -1.32k | -364 | 437 | 191 | |
| 6 | 1 | Max | 3.50k | -1.42k | 2.49k | 139 | 819 | -179 | 3.50k | -1.42k | 2.48k | 139 | 807 | -57.3 | 3.50k | -1.42k | 2.46k | 139 | 825 | 373 |
| 6 | 2 | Min | 759 | -2.08k | -804 | -252 | 49.6 | -271 | 759 | -2.08k | -811 | -252 | 149 | -92.5 | 759 | -2.08k | -825 | -252 | 342 | 150 |
| 6 | 2 | Max | 2.52k | -1.12k | 1.72k | 82.8 | 582 | -142 | 2.52k | -1.12k | 1.71k | 82.8 | 579 | -45.7 | 2.52k | -1.12k | 1.69k | 82.8 | 601 | 271 |
| 6 | 3 | Min | 1.23k | -1.36k | 165 | -107 | 218 | -177 | 1.23k | -1.36k | 159 | -107 | 265 | -60.0 | 1.23k | -1.36k | 145 | -107 | 359 | 160 |
| 6 | 3 | Max | 1.57k | -1.22k | 669 | -39.7 | 324 | -157 | 1.57k | -1.22k | 662 | -39.7 | 348 | -52.5 | 1.57k | -1.22k | 649 | -39.7 | 399 | 179 |
| 6 | 4 | Max | 1.40k | -1.29k | 417 | -73.2 | 271 | -167 | 1.40k | -1.29k | 411 | -73.2 | 307 | -56.2 | 1.40k | -1.29k | 397 | -73.2 | 377 | 169 |
| 6 | 5 | Max | 1.40k | -1.29k | 417 | -73.2 | 271 | -167 | 1.40k | -1.29k | 411 | -73.2 | 307 | -56.2 | 1.40k | -1.29k | 397 | -73.2 | 377 | 169 |
| 6 | 7 | Min | 511 | -1.81k | -1.25k | -260 | -182 | -250 | 511 | -1.81k | -1.26k | -260 | -25.7 | -95.0 | 511 | -1.81k | -1.27k | -260 | 221 | 116 |
| 6 | 7 | Max | 2.29k | -766 | 2.09k | 114 | 724 | -83.2 | 2.29k | -766 | 2.08k | 114 | 639 | -17.5 | 2.29k | -766 | 2.07k | 114 | 534 | 223 |
| 6 | 8 | Min | -370 | -2.33k | -2.91k | -446 | -632 | -333 | -370 | -2.33k | -2.92k | -446 | -355 | -133 | -370 | -2.33k | -2.93k | -446 | 65.7 | 62.5 |
| 6 | 8 | Max | 3.17k | -249 | 3.74k | 299 | 1.17k | -0.342 | 3.17k | -249 | 3.74k | 299 | 969 | 21.0 | 3.17k | -249 | 3.72k | 299 | 689 | 276 |
| 7 | 1 | Min | -4.19k | -981 | -1.65k | -0.210 | 7.24 | 0 | -4.19k | -981 | -1.67k | -0.210 | -306 | -128 | -4.19k | -981 | -1.69k | -0.210 | -625 | -256 |
| 7 | 1 | Max | -2.41k | 674 | -1.25k | -0.143 | 9.61 | 0 | -2.41k | 674 | -1.27k | -0.143 | -232 | 186 | -2.41k | 674 | -1.29k | -0.143 | -476 | 373 |
| 7 | 2 | Min | -3.05k | -668 | -1.21k | -0.154 | 5.46 | 0 | -3.05k | -668 | -1.22k | -0.154 | -224 | -82.8 | -3.05k | -668 | -1.24k | -0.154 | -458 | -166 |
| 7 | 2 | Max | -1.87k | 436 | -943 | -0.109 | 7.04 | 0 | -1.87k | 436 | -958 | -0.109 | -175 | 127 | -1.87k | 436 | -973 | -0.109 | -358 | 254 |
| 7 | 3 | Min | -2.06k | -211 | -866 | -0.107 | 4.73 | 0 | -2.06k | -211 | -881 | -0.107 | -161 | -1.82 | -2.06k | -211 | -896 | -0.107 | -330 | -3.64 |
| 7 | 3 | Max | -1.88k | 9.57 | -815 | -99.0m | 5.03 | 0 | -1.88k | 9.57 | -830 | -99.0m | -152 | 40.1 | -1.88k | 9.57 | -845 | -99.0m | -311 | 80.2 |
| 7 | 4 | Max | -1.95k | -101 | -815 | -0.101 | 4.74 | 0 | -1.95k | -101 | -830 | -0.101 | -152 | 19.2 | -1.95k | -101 | -845 | -0.101 | -311 | 38.3 |
| 7 | 5 | Max | -1.95k | -101 | -815 | -0.101 | 4.74 | 0 | -1.95k | -101 | -830 | -0.101 | -152 | 19.2 | -1.95k | -101 | -845 | -0.101 | -311 | 38.3 |
| 7 | 7 | Min | -2.13k | -804 | -853 | -0.109 | 4.54 | -0.822 | -2.13k | -804 | -868 | -0.109 | -159 | -114 | -2.13k | -804 | -883 | -0.109 | -325 | -228 |
| 7 | 7 | Max | -1.77k | 602 | -777 | -92.2m | 4.93 | 0.822 | -1.77k | 602 | -792 | -92.2m | -145 | 152 | -1.77k | 602 | -807 | -92.2m | -296 | 305 |
| 7 | 8 | Min | -2.31k | -1.50k | -890 | -0.117 | 4.35 | -1.64 | -2.31k | -1.50k | -906 | -0.117 | -165 | -245 | -2.31k | -1.50k | -921 | -0.117 | -339 | -492 |
| 7 | 8 | Max | - | | | | | | | | | | | | | | | | | |

| | | | | | | | | | | | | | | | | | | | | |
|----|---|-----|--------|--------|--------|-------|--------|--------|--------|--------|--------|-------|--------|-------|--------|--------|--------|-------|--------|--------|
| 11 | 3 | Min | -1.63k | 1.20 | -947 | -3.19 | 337 | 0.860 | -1.63k | 1.20 | -1.03k | -3.19 | -125 | -4.53 | -1.63k | 1.20 | -1.11k | -3.19 | -626 | -14.4 |
| 11 | 3 | Max | -1.50k | 19.6 | -876 | 19.3 | 461 | 5.38 | -1.50k | 19.6 | -953 | 19.3 | -16.0 | 0.255 | -1.50k | 19.6 | -1.03k | 19.3 | -532 | -0.350 |
| 11 | 4 | Max | -1.54k | 10.4 | -891 | 8.04 | 399 | 3.12 | -1.54k | 10.4 | -968 | 8.04 | -70.6 | -2.14 | -1.54k | 10.4 | -1.04k | 8.04 | -579 | -7.39 |
| 11 | 5 | Max | -1.54k | 10.4 | -891 | 8.04 | 399 | 3.12 | -1.54k | 10.4 | -968 | 8.04 | -70.6 | -2.14 | -1.54k | 10.4 | -1.04k | 8.04 | -579 | -7.39 |
| 11 | 7 | Min | -1.72k | -47.7 | -1.01k | -60.2 | -61.7 | -11.6 | -1.72k | -47.7 | -1.09k | -60.2 | -471 | -16.8 | -1.72k | -47.7 | -1.16k | -60.2 | -919 | -51.4 |
| 11 | 7 | Max | -1.36k | 68.5 | -771 | 76.2 | 859 | 17.8 | -1.36k | 68.5 | -847 | 76.2 | 330 | 12.5 | -1.36k | 68.5 | -924 | 76.2 | -238 | 36.6 |
| 11 | 8 | Min | -1.90k | -105 | -1.13k | -128 | -518 | -26.1 | -1.90k | -105 | -1.21k | -128 | -869 | -31.3 | -1.90k | -105 | -1.28k | -128 | -1.26k | -95.0 |
| 11 | 8 | Max | -1.18k | 126 | -652 | 144 | 1.32k | 32.4 | -1.18k | 126 | -728 | 144 | 728 | 27.0 | -1.18k | 126 | -805 | 144 | 101 | 80.2 |
| 12 | 1 | Min | -747 | -865 | 45.2 | -98.4 | -833 | -211 | -747 | -865 | 15.7 | -98.4 | -593 | -20.7 | -747 | -865 | -13.8 | -98.4 | -369 | -168 |
| 12 | 1 | Max | 544 | 515 | 909 | 90.4 | -288 | 126 | 544 | 515 | 880 | 90.4 | -279 | 35.6 | 544 | 515 | 850 | 90.4 | -269 | 282 |
| 12 | 2 | Min | -506 | -592 | 73.2 | -66.0 | -602 | -144 | -506 | -592 | 50.5 | -66.0 | -430 | -13.2 | -506 | -592 | 27.8 | -66.0 | -269 | -107 |
| 12 | 2 | Max | 354 | 328 | 649 | 59.9 | -238 | 80.4 | 354 | 328 | 627 | 59.9 | -221 | 24.4 | 354 | 328 | 604 | 59.9 | -203 | 193 |
| 12 | 3 | Min | -148 | -207 | 266 | -15.2 | -380 | -50.2 | -148 | -207 | 243 | -15.2 | -275 | 1.14 | -148 | -207 | 220 | -15.2 | -189 | 7.60 |
| 12 | 3 | Max | 24.6 | -22.6 | 381 | 9.95 | -316 | -5.31 | 24.6 | -22.6 | 358 | 9.95 | -244 | 8.65 | 24.6 | -22.6 | 336 | 9.95 | -176 | 67.6 |
| 12 | 4 | Max | -61.5 | -115 | 323 | -2.64 | -348 | -27.8 | -61.5 | -115 | 301 | -2.64 | -259 | 4.90 | -61.5 | -115 | 278 | -2.64 | -177 | 37.6 |
| 12 | 5 | Max | -61.5 | -115 | 323 | -2.64 | -348 | -27.8 | -61.5 | -115 | 301 | -2.64 | -259 | 4.90 | -61.5 | -115 | 278 | -2.64 | -177 | 37.6 |
| 12 | 7 | Min | -164 | -716 | -98.3 | -69.5 | -586 | -175 | -164 | -716 | -121 | -69.5 | -377 | -18.8 | -164 | -716 | -144 | -69.5 | -180 | -158 |
| 12 | 7 | Max | 41.1 | 487 | 745 | 64.3 | -111 | 120 | 41.1 | 487 | 723 | 64.3 | -142 | 28.6 | 41.1 | 487 | 700 | 64.3 | -173 | 233 |
| 12 | 8 | Min | -266 | -1.31k | -517 | -136 | -822 | -322 | -266 | -1.31k | -539 | -136 | -493 | -42.3 | -266 | -1.31k | -562 | -136 | -183 | -351 |
| 12 | 8 | Max | 143 | 1.08k | 1.16k | 131 | 125 | 266 | 143 | 1.08k | 1.14k | 131 | -25.4 | 52.1 | 143 | 1.08k | 1.12k | 131 | -170 | 426 |
| 13 | 1 | Min | -4.96k | 153 | -1.07k | -30.0 | 9.26 | 0 | -4.96k | 153 | -1.09k | -30.0 | -203 | -85.3 | -4.96k | 153 | -1.11k | -30.0 | -423 | -171 |
| 13 | 1 | Max | -3.21k | 427 | -813 | -22.8 | 12.2 | 0 | -3.21k | 427 | -834 | -22.8 | -155 | -30.5 | -3.21k | 427 | -854 | -22.8 | -324 | -61.0 |
| 13 | 2 | Min | -3.62k | 126 | -782 | -22.0 | 6.99 | 0 | -3.62k | 126 | -798 | -22.0 | -149 | -61.7 | -3.62k | 126 | -814 | -22.0 | -310 | -123 |
| 13 | 2 | Max | -2.45k | 309 | -613 | -17.2 | 8.93 | 0 | -2.45k | 309 | -629 | -17.2 | -117 | -25.2 | -2.45k | 309 | -645 | -17.2 | -244 | -50.3 |
| 13 | 3 | Min | -2.52k | 165 | -564 | -15.8 | 6.09 | 0 | -2.52k | 165 | -580 | -15.8 | -108 | -39.5 | -2.52k | 165 | -596 | -15.8 | -226 | -79.0 |
| 13 | 3 | Max | -2.33k | 197 | -532 | -14.9 | 6.46 | 0 | -2.33k | 197 | -547 | -14.9 | -102 | -33.0 | -2.33k | 197 | -563 | -14.9 | -213 | -66.0 |
| 13 | 4 | Max | -2.38k | 181 | -532 | -14.9 | 6.10 | 0 | -2.38k | 181 | -547 | -14.9 | -102 | -36.2 | -2.38k | 181 | -563 | -14.9 | -213 | -72.5 |
| 13 | 5 | Max | -2.38k | 181 | -532 | -14.9 | 6.10 | 0 | -2.38k | 181 | -547 | -14.9 | -102 | -36.2 | -2.38k | 181 | -563 | -14.9 | -213 | -72.5 |
| 13 | 7 | Min | -2.71k | 26.0 | -553 | -15.5 | 5.82 | -2.86 | -2.71k | 26.0 | -569 | -15.5 | -106 | -64.4 | -2.71k | 26.0 | -585 | -15.5 | -221 | -132 |
| 13 | 7 | Max | -2.06k | 336 | -510 | -14.3 | 6.38 | 2.86 | -2.06k | 336 | -526 | -14.3 | -97.7 | -8.06 | -2.06k | 336 | -542 | -14.3 | -204 | -13.3 |
| 13 | 8 | Min | -3.03k | -128 | -575 | -16.1 | 5.54 | -5.69 | -3.03k | -128 | -591 | -16.1 | -110 | -92.4 | -3.03k | -128 | -607 | -16.1 | -230 | -190 |
| 13 | 8 | Max | -1.74k | 490 | -488 | -13.8 | 6.66 | 5.69 | -1.74k | 490 | -504 | -13.8 | -93.6 | 19.9 | -1.74k | 490 | -520 | -13.8 | -196 | 45.5 |
| 14 | 1 | Min | -5.21k | -28.6 | 4.63k | -108 | -5.46k | 2.23 | -5.21k | -28.6 | 4.53k | -108 | -2.12k | 14.3 | -5.21k | -28.6 | 4.42k | -108 | 1.29k | 6.08 |
| 14 | 1 | Max | -3.20k | 22.1 | 8.00k | 125 | -2.42k | 26.7 | -3.20k | 22.1 | 7.89k | 125 | -493 | 21.5 | -3.20k | 22.1 | 7.76k | 125 | 2.17k | 30.0 |
| 14 | 2 | Min | -3.80k | -19.3 | 3.58k | -71.3 | -3.96k | 2.78 | -3.80k | -19.3 | 3.51k | -71.3 | -1.52k | 10.9 | -3.80k | -19.3 | 3.42k | -71.3 | 994 | 5.56 |
| 14 | 2 | Max | -2.46k | 14.5 | 5.83k | 84.4 | -1.93k | 19.1 | -2.46k | 14.5 | 5.75k | 84.4 | -439 | 15.7 | -2.46k | 14.5 | 5.65k | 84.4 | 1.58k | 21.5 |
| 14 | 3 | Min | -2.59k | -5.18 | 3.57k | -9.19 | -2.54k | 8.03 | -2.59k | -5.18 | 3.50k | -9.19 | -932 | 10.2 | -2.59k | -5.18 | 3.43k | -9.19 | 975 | 9.82 |
| 14 | 3 | Max | -2.37k | 1.59 | 3.93k | 21.9 | -2.21k | 11.3 | -2.37k | 1.59 | 3.86k | 21.9 | -726 | 11.0 | -2.37k | 1.59 | 3.78k | 21.9 | 1.07k | 12.9 |
| 14 | 4 | Max | -2.44k | -1.80 | 3.71k | 6.38 | -2.37k | 9.66 | -2.44k | -1.80 | 3.64k | 6.38 | -829 | 10.4 | -2.44k | -1.80 | 3.56k | 6.38 | 1.01k | 11.3 |
| 14 | 5 | Max | -2.44k | -1.80 | 3.71k | 6.38 | -2.37k | 9.66 | -2.44k | -1.80 | 3.64k | 6.38 | -829 | 10.4 | -2.44k | -1.80 | 3.56k | 6.38 | 1.01k | 11.3 |
| 14 | 7 | Min | -3.12k | -24.2 | 2.61k | -73.3 | -3.61k | -0.674 | -3.12k | -24.2 | 2.54k | -73.3 | -1.60k | 8.70 | -3.12k | -24.2 | 2.47k | -73.3 | 723 | 0.353 |
| 14 | 7 | Max | -1.76k | 20.6 | 4.80k | 86.1 | -1.14k | 20.0 | -1.76k | 20.6 | 4.74k | 86.1 | -56.9 | 12.1 | -1.76k | 20.6 | 4.66k | 86.1 | 1.29k | 22.3 |
| 14 | 8 | Min | -3.79k | -46.4 | 1.52k | -152 | -4.83k | -10.9 | -3.79k | -46.4 | 1.46k | -152 | -2.37k | 6.99 | -3.79k | -46.4 | 1.38k | -152 | 440 | -10.5 |
| 14 | 8 | Max | -1.09k | 42.8 | 5.89k | 165 | 83.3 | 30.3 | -1.09k | 42.8 | 5.83k | 165 | 709 | 13.9 | -1.09k | 42.8 | 5.75k | 165 | 1.58k | 33.2 |
| 15 | 1 | Min | -11.3k | -77.2 | 665 | -58.6 | 912 | -56.0 | -11.3k | -77.2 | 554 | -58.6 | 1.53k | -18.3 | -11.3k | -77.2 | 444 | -58.6 | 1.96k | 11.8 |
| 15 | 1 | Max | -8.32k | -55.8 | 1.44k | -24.3 | 1.75k | -37.9 | -8.32k | -55.8 | 1.30k | -24.3 | 2.25k | -7.48 | -8.32k | -55.8 | 1.17k | -24.3 | 2.77k | 26.1 |
| 15 | 2 | Min | -8.27k | -56.6 | 528 | -42.4 | 713 | -40.9 | -8.27k | -56.6 | 444 | -42.4 | 1.16k | -13.2 | -8.27k | -56.6 | 360 | -42.4 | 1.48k | 9.38 |
| 15 | 2 | Max | -6.29k | -42.3 | 1.04k | -19.5 | 1.27k | -28.9 | -6.29k | -42.3 | 944 | -19.5 | 1.65k | -6.03 | -6.29k | -42.3 | 845 | -19.5 | 2.03k | 18.9 |
| 15 | 3 | Min | -5.92k | -40.3 | 597 | -26.5 | 747 | -28.6 | -5.92k | -40.3 | 521 | -26.5 | 1.07k | -8.42 | -5.92k | -40.3 | 444 | -26.5 | 1.34k | 10.6 |
| 15 | 3 | Max | -5.56k | -37.7 | 678 | -22.9 | 833 | -26.6 | -5.56k | -37.7 | 601 | -22.9 | 1.15k | -7.23 | -5.56k | -37.7 | 525 | -22.9 | 1.43k | 12.1 |
| 15 | 4 | Max | -5.59k | -38.0 | 637 | -24.7 | 785 | -27.0 | -5.59k | -38.0 | 561 | -24.7 | 1.09k | -7.83 | -5.59k | -38.0 | 484 | -24.7 | 1.35k | 11.4 |
| 15 | 5 | Max | -5.59k | -38.0 | 637 | -24.7 | 785 | -27.0 | -5.59k | -38.0 | 561 | -24.7 | 1.09k | -7.83 | -5.59k | -38.0 | 484 | -24.7 | 1.35k | 11.4 |
| 15 | 7 | Min | -5.82k | -41.1 | 327 | -39.1 | 482 | -30.9 | -5.82k | -41.1 | 250 | -39.1 | 929 | -12.2 | -5.82k | -41.1 | 174 | -39.1 | 1.24k | 5.78 |
| 15 | 7 | Max | -5.36k | -34.9 | 948 | -10.2 | 1.09k | -23.1 | -5.36k | -34.9 | 871 | -10.2 | 1.25k | -3.43 | -5.36k | -34.9 | 795 | -10.2 | 1.46k | 16.9 |
| 15 | 8 | Min | -6.05k | -44.2 | 18.8 | -53.5 | 181 | -34.8 | -6.05k | -44.2 | -57.7 | -53.5 | 771 | -16.6 | -6.05k | -44.2 | -134 | -53.5 | 1.13k | 0.246 |
| 15 | 8 | Max | -5.13k | -31.8 | 1.26k | 4.10 | 1.39k | -19.2 | -5.13k | -31.8 | 1.18k | 4.10 | 1.40k | 0.932 | -5.13k | -31.8 | 1.10k | 4.10 | 1.57k | 22.5 |
| 16 | 1 | Min | -11.2k | 55.3 | -1.20k | 23.7 | 1.96k | 12.0 | -11.2k | 55.3 | -1.33k | 23.7 | 1.51k | -18.1 | -11.2k | 55.3 | -1.47k | 23.7 | 876 | -55.9 |
| 16 | 1 | Max | -8.27k | 76.7 | -463 | 58.2 | 2.77k | 26.2 | -8.27k | 76.7 | -575 | 58.2 | 2.24k | -7.46 | -8.27k | 76.7 | -687 | 58.2 | 1.71k | -37.9 |
| 16 | 2 | Min | -8.22k | 41.9 | -867 | 19.0 | 1.48k | 9.50 | -8.22k | 41.9 | -967 | 19.0 | 1.15k | -13.1 | -8.22k | 41.9 | -1.07k | 19.0 | 686 | -40.8 |
| 16 | 2 | Max | -6.25k | 56.1 | -375 | 42.0 | 2.03k | 19.0 | -6.25k | 56.1 | -460 | 42.0 | 1.63k | -6.01 | -6.25k | 56.1 | -545 | 42.0 | 1.24k | -28.9 |
| 16 | 3 | Min | -5.89k | 37.4 | -539 | 22.6 | 1.34k | 10.7 | -5.89k | 37.4 | -616 | 22.6 | 1.06k | -8.36 | -5.89k | 37.4 | -694 | 22.6 | 725 | -28.6 |
| 16 | 3 | Max | -5.52k | 40.0 | -458 | 26.3 | 1.43k | 12.2 | -5.52k | 40.0 | -535 | 26.3 | 1.14k | -7.19 | -5.52k | 40.0 | -612 | 26.3 | 811 | -26.6 |
| 16 | 4 | Max | -5.55k | 37.7 | -498 | 24.4 | 1.35k | 11.5 | -5.55k | 37.7 | -576 | 24.4 | 1.08k | -7.77 | -5.55k | 37.7 | -653 | 24.4 | 764 | -27.0 |
| 16 | 5 | Max | -5.55k | 37.7 | -498 | 24.4 | 1.35k | 11.5 | -5.55k | 37.7 | -576 | 24.4 | 1.08k | -7.77 | -5.55k | 37.7 | -653 | 24.4 | 764 | -27.0 |
| 16 | 7 | Min | -5.76k | 34.4 | -810 | 10.0 | 1.24k | 5.87 | -5.76k | 34.4 | -888 | 10.0 | 917 | -12.1 | -5.76k | 34.4 | -965 | 10.0 | 457 | -30.9 |
| 16 | 7 | Max | -5.34k | 41.0 | -186 | 38.8 | 1.46k | 17.0 | -5.34k | 41.0 | -264 | 38.8 | 1.24k | -3.46 | -5.34k | 41.0 | -341 | 38.8 | 1.07k | -23.1 |
| 16 | 8 | Min | -5.97k | 31.1 | -1.12k | -4.23 | 1.13k | 0.326 | -5.97k | 31.1 | -1.20k | -4.23 | 758 | -16.4 | -5.97k | 31.1 | | | | |

| | | | | | | | | | | | | | | | | | | | | |
|----|---|-----|--------|--------|--------|-------|--------|--------|--------|--------|--------|-------|--------|-------|--------|--------|--------|-------|--------|--------|
| 20 | 2 | Max | 5.44k | -26.6 | 4.03k | -94.2 | -209 | -28.0 | 5.44k | -26.6 | 3.02k | -94.2 | 368 | 0.795 | 5.44k | -26.6 | 1.96k | -94.2 | 791 | 78.0 |
| 20 | 3 | Min | 3.68k | -80.3 | 2.08k | -123 | -1.36k | -44.0 | 3.68k | -80.3 | 1.40k | -123 | -291 | -7.78 | 3.68k | -80.3 | 552 | -123 | 506 | 26.4 |
| 20 | 3 | Max | 3.92k | -59.0 | 2.52k | -107 | -919 | -36.7 | 3.92k | -59.0 | 1.84k | -107 | -62.6 | -4.63 | 3.92k | -59.0 | 985 | -107 | 549 | 42.0 |
| 20 | 4 | Max | 3.70k | -69.7 | 2.30k | -115 | -1.14k | -40.4 | 3.70k | -69.7 | 1.62k | -115 | -177 | -6.20 | 3.70k | -69.7 | 768 | -115 | 518 | 34.2 |
| 20 | 5 | Max | 3.70k | -69.7 | 2.30k | -115 | -1.14k | -40.4 | 3.70k | -69.7 | 1.62k | -115 | -177 | -6.20 | 3.70k | -69.7 | 768 | -115 | 518 | 34.2 |
| 20 | 7 | Min | 3.31k | -146 | 1.05k | -170 | -2.39k | -70.1 | 3.31k | -146 | 371 | -170 | -817 | -14.1 | 3.31k | -146 | -479 | -170 | 425 | -17.5 |
| 20 | 7 | Max | 4.10k | 6.34 | 3.55k | -59.8 | 110 | -10.7 | 4.10k | 6.34 | 2.87k | -59.8 | 464 | 1.67 | 4.10k | 6.34 | 2.02k | -59.8 | 611 | 85.9 |
| 20 | 8 | Min | 2.91k | -221 | -184 | -225 | -3.63k | -99.5 | 2.91k | -221 | -866 | -225 | -1.45k | -21.9 | 2.91k | -221 | -1.72k | -225 | 332 | -68.8 |
| 20 | 8 | Max | 4.49k | 87.1 | 4.79k | -5.20 | 1.35k | 18.8 | 4.49k | 87.1 | 4.10k | -5.20 | 1.10k | 9.47 | 4.49k | 81.7 | 3.25k | -5.20 | 704 | 137 |
| 21 | 1 | Min | 5.29k | -32.0 | -2.51k | 124 | 682 | -37.8 | 5.29k | -32.0 | -3.87k | 124 | -993 | -19.1 | 5.29k | -32.0 | -5.26k | 124 | -3.15k | -57.8 |
| 21 | 1 | Max | 7.16k | 125 | 688 | 269 | 1.06k | 77.8 | 7.16k | 125 | -629 | 269 | 696 | 4.44 | 7.16k | 125 | -1.69k | 269 | 120 | -32.7 |
| 21 | 2 | Min | 4.00k | -17.2 | -1.75k | 98.2 | 522 | -23.5 | 4.00k | -17.2 | -2.77k | 98.2 | -675 | -13.4 | 4.00k | -17.2 | -3.79k | 98.2 | -2.24k | -41.2 |
| 21 | 2 | Max | 5.25k | 87.8 | 378 | 195 | 776 | 53.7 | 5.25k | 87.8 | -614 | 195 | 451 | 2.32 | 5.25k | 87.8 | -1.41k | 195 | -52.7 | -4.86 |
| 21 | 3 | Min | 3.55k | 20.3 | -816 | 109 | 495 | 5.46 | 3.55k | 20.3 | -1.67k | 109 | -211 | -6.42 | 3.55k | 20.3 | -2.36k | 109 | -1.21k | -23.8 |
| 21 | 3 | Max | 3.78k | 41.3 | -390 | 124 | 537 | 20.9 | 3.78k | 41.3 | -1.25k | 124 | 13.9 | -3.28 | 3.78k | 41.3 | -1.94k | 124 | -777 | -16.5 |
| 21 | 4 | Max | 3.57k | 30.8 | -603 | 117 | 507 | 13.2 | 3.57k | 30.8 | -1.46k | 117 | -98.7 | -4.85 | 3.57k | 30.8 | -2.15k | 117 | -995 | -20.1 |
| 21 | 5 | Max | 3.57k | 30.8 | -603 | 117 | 507 | 13.2 | 3.57k | 30.8 | -1.46k | 117 | -98.7 | -4.85 | 3.57k | 30.8 | -2.15k | 117 | -995 | -20.1 |
| 21 | 7 | Min | 3.17k | -47.0 | -1.85k | 66.4 | 510 | -39.5 | 3.17k | -47.0 | -2.71k | 66.4 | -736 | -13.2 | 3.17k | -47.0 | -3.40k | 66.4 | -2.25k | -51.5 |
| 21 | 7 | Max | 3.98k | 109 | 645 | 167 | 604 | 65.9 | 3.98k | 109 | -212 | 167 | 539 | 3.55 | 3.98k | 109 | -901 | 167 | 262 | 11.2 |
| 21 | 8 | Min | 2.77k | -124 | -3.09k | 16.4 | 314 | -91.9 | 2.77k | -124 | -3.95k | 16.4 | -1.37k | -21.6 | 2.77k | -124 | -4.64k | 16.4 | -3.50k | -82.6 |
| 21 | 8 | Max | 4.38k | 186 | 1.88k | 217 | 701 | 118 | 4.38k | 186 | 1.03k | 217 | 1.17k | 11.9 | 4.38k | 186 | 337 | 217 | 1.51k | 42.3 |
| 22 | 1 | Min | 3.21k | 441 | 6.00k | -406 | -3.73k | 200 | 3.21k | 441 | 5.76k | -406 | -2.41k | 99.2 | 3.21k | 441 | 5.39k | -406 | -303 | -233 |
| 22 | 1 | Max | 8.63k | 1.65k | 11.1k | -99.4 | -1.86k | 346 | 8.63k | 1.65k | 10.8k | -99.4 | -1.15k | 174 | 8.63k | 1.65k | 10.3k | -99.4 | 114 | 54.1 |
| 22 | 2 | Min | 2.63k | 383 | 4.67k | -292 | -2.71k | 155 | 2.63k | 383 | 4.50k | -292 | -1.75k | 76.9 | 2.63k | 383 | 4.21k | -292 | -210 | -163 |
| 22 | 2 | Max | 6.24k | 1.19k | 8.09k | -87.7 | -1.47k | 252 | 6.24k | 1.19k | 7.87k | -87.7 | -911 | 127 | 6.24k | 1.19k | 7.50k | -87.7 | 67.5 | 28.2 |
| 22 | 3 | Min | 3.35k | 591 | 4.85k | -180 | -1.77k | 55 | 3.35k | 591 | 4.70k | -180 | -1.13k | 77.8 | 3.35k | 591 | 4.45k | -180 | -89.5 | -78.2 |
| 22 | 3 | Max | 3.98k | 743 | 5.38k | -141 | -1.58k | 171 | 3.98k | 743 | 5.22k | -141 | -1.01k | 85.7 | 3.98k | 743 | 4.96k | -141 | -34.0 | -40.0 |
| 22 | 4 | Max | 3.67k | 667 | 5.08k | -160 | -1.68k | 161 | 3.67k | 667 | 4.93k | -160 | -1.07k | 80.9 | 3.67k | 667 | 4.68k | -160 | -61.8 | -59.1 |
| 22 | 5 | Max | 3.67k | 667 | 5.08k | -160 | -1.68k | 161 | 3.67k | 667 | 4.93k | -160 | -1.07k | 80.9 | 3.67k | 667 | 4.68k | -160 | -61.8 | -59.1 |
| 22 | 7 | Min | 1.84k | 90.8 | 3.78k | -298 | -2.11k | 112 | 1.84k | 90.8 | 3.63k | -298 | -1.38k | 51.5 | 1.84k | 90.8 | 3.38k | -298 | -301 | -200 |
| 22 | 7 | Max | 5.50k | 1.24k | 6.39k | -22.3 | -1.24k | 211 | 5.50k | 1.24k | 6.23k | -22.3 | -1.76k | 110 | 5.50k | 1.24k | 5.99k | -22.3 | 178 | 82.3 |
| 22 | 8 | Min | 18.8 | -481 | 2.49k | -435 | -2.54k | 63.5 | 18.8 | -481 | 2.34k | -435 | -1.69k | 22.3 | 18.8 | -481 | 2.09k | -435 | -538 | -341 |
| 22 | 8 | Max | 7.31k | 1.81k | 7.68k | 115 | -807 | 259 | 7.31k | 1.81k | 7.53k | 115 | -454 | 140 | 7.31k | 1.81k | 7.28k | 115 | 415 | 223 |
| 23 | 1 | Min | 4.81k | 29.9 | -306 | -8.83 | 3.36 | 0 | 4.81k | 29.9 | -1.19k | -8.83 | -291 | -56.5 | 4.81k | 29.9 | -2.43k | -8.83 | -1.03k | -113 |
| 23 | 1 | Max | 7.83k | 136 | -242 | -6.95 | 4.30 | 0 | 7.83k | 136 | -912 | -6.95 | -225 | -12.4 | 7.83k | 136 | -1.86k | -6.95 | -794 | -24.8 |
| 23 | 2 | Min | 3.70k | 27.1 | -226 | -6.51 | 2.54 | 0 | 3.70k | 27.1 | -870 | -6.51 | -214 | -40.7 | 3.70k | 27.1 | -1.78k | -6.51 | -759 | -81.3 |
| 23 | 2 | Max | 5.71k | 98.0 | -183 | -5.26 | 3.17 | 0 | 5.71k | 98.0 | -688 | -5.26 | -170 | -11.3 | 5.71k | 98.0 | -1.40k | -5.26 | -599 | -22.5 |
| 23 | 3 | Min | 3.58k | 46.9 | -171 | -4.91 | 2.25 | 0 | 3.58k | 46.9 | -636 | -4.91 | -157 | -25.2 | 3.58k | 46.9 | -1.29k | -4.91 | -553 | -50.3 |
| 23 | 3 | Max | 3.91k | 60.6 | -162 | -4.68 | 2.37 | 0 | 3.91k | 60.6 | -600 | -4.68 | -149 | -19.5 | 3.91k | 60.6 | -1.22k | -4.68 | -523 | -38.9 |
| 23 | 4 | Max | 3.69k | 53.8 | -162 | -4.68 | 2.26 | 0 | 3.69k | 53.8 | -600 | -4.68 | -149 | -22.3 | 3.69k | 53.8 | -1.22k | -4.68 | -523 | -44.6 |
| 23 | 5 | Max | 3.69k | 53.8 | -162 | -4.68 | 2.26 | 0 | 3.69k | 53.8 | -600 | -4.68 | -149 | -22.3 | 3.69k | 53.8 | -1.22k | -4.68 | -523 | -44.6 |
| 23 | 7 | Min | 2.92k | -1.51 | -204 | -4.98 | 2.10 | -0.866 | 2.92k | -1.51 | -642 | -4.98 | -166 | -45.1 | 2.92k | -1.51 | -1.26k | -4.98 | -557 | -90.4 |
| 23 | 7 | Max | 4.45k | 109 | -120 | -4.37 | 2.41 | 0.866 | 4.45k | 109 | -558 | -4.37 | -132 | 0.498 | 4.45k | 109 | -1.18k | -4.37 | -488 | 1.12 |
| 23 | 8 | Min | 2.17k | -56.4 | -246 | -5.29 | 1.95 | -1.72 | 2.17k | -56.4 | -684 | -5.29 | -183 | -67.8 | 2.17k | -56.4 | -1.30k | -5.29 | -592 | -136 |
| 23 | 8 | Max | 5.21k | 164 | -78.8 | -4.07 | 2.56 | 1.72 | 5.21k | 164 | -517 | -4.07 | -115 | 23.1 | 5.21k | 164 | -1.13k | -4.07 | -453 | 46.5 |
| 24 | 1 | Min | -948 | 15.4 | 2.54k | 58.9 | -1.96k | 18.0 | -948 | 15.4 | 1.16k | 58.9 | -305 | 8.52 | -948 | 15.4 | -222 | 58.9 | 177 | -8.26 |
| 24 | 1 | Max | -106 | 38.7 | 3.86k | 121 | -1.04k | 37.3 | -106 | 38.7 | 2.03k | 121 | 47.7 | 15.2 | -106 | 38.7 | 319 | 121 | 472 | 0.402 |
| 24 | 2 | Min | -678 | 12.4 | 1.94k | 46.5 | -1.43k | 14.2 | -678 | 12.4 | 898 | 46.5 | -215 | 6.61 | -678 | 12.4 | -143 | 46.5 | 144 | -5.85 |
| 24 | 2 | Max | -117 | 28.0 | 2.82k | 87.9 | -813 | 27.0 | -117 | 28.0 | 1.48k | 87.9 | 20.1 | 11.0 | -117 | 28.0 | 218 | 87.9 | 341 | -74.2m |
| 24 | 3 | Min | -400 | 15.1 | 1.80k | 51.0 | -945 | 15.6 | -400 | 15.1 | 901 | 51.0 | -111 | 6.69 | -400 | 15.1 | 0.824 | 51.0 | 178 | -3.15 |
| 24 | 3 | Max | -288 | 17.7 | 1.95k | 57.3 | -849 | 17.5 | -288 | 17.7 | 993 | 57.3 | -64.0 | 7.39 | -288 | 17.7 | 73.0 | 57.3 | 211 | -1.99 |
| 24 | 4 | Max | -344 | 16.4 | 1.84k | 54.2 | -892 | 16.5 | -344 | 16.4 | 937 | 54.2 | -87.4 | 6.97 | -344 | 16.4 | 36.9 | 54.2 | 195 | -2.57 |
| 24 | 5 | Max | -344 | 16.4 | 1.84k | 54.2 | -892 | 16.5 | -344 | 16.4 | 937 | 54.2 | -87.4 | 6.97 | -344 | 16.4 | 36.9 | 54.2 | 195 | -2.57 |
| 24 | 7 | Min | -849 | 4.25 | 1.52k | 25.6 | -1.21k | 8.13 | -849 | 4.25 | 621 | 25.6 | -244 | 4.92 | -849 | 4.25 | -278 | 25.6 | 69.6 | -8.34 |
| 24 | 7 | Max | 160 | 28.6 | 2.15k | 82.7 | -572 | 24.9 | 160 | 28.6 | 1.25k | 82.7 | 69.1 | 9.02 | 160 | 28.6 | 352 | 82.7 | 320 | 3.21 |
| 24 | 8 | Min | -1.35k | -7.86 | 1.21k | -2.71 | -1.53k | -0.180 | -1.35k | -7.86 | 309 | -2.71 | -399 | 2.89 | -1.35k | -7.86 | -591 | -2.71 | -54.8 | -14.1 |
| 24 | 8 | Max | 661 | 40.8 | 2.46k | 111 | -255 | 33.2 | 661 | 40.8 | 1.56k | 111 | 224 | 11.1 | 661 | 40.8 | 665 | 111 | 445 | 8.94 |
| 25 | 1 | Min | -864 | -29.9 | -199 | -88.6 | 183 | -4.35 | -864 | -29.9 | -1.90k | -88.6 | -238 | 8.66 | -864 | -29.9 | -3.74k | -88.6 | -1.83k | 14.2 |
| 25 | 1 | Max | -45.4 | -8.62 | 321 | -34.6 | 475 | 4.22 | -45.4 | -8.62 | -1.07k | -34.6 | 102 | 15.2 | -45.4 | -8.62 | -2.47k | -34.6 | -938 | 32.4 |
| 25 | 2 | Min | -615 | -21.6 | -128 | -64.2 | 148 | -2.91 | -615 | -21.6 | -1.38k | -64.2 | -165 | 6.71 | -615 | -21.6 | -2.73k | -64.2 | -1.33k | 11.3 |
| 25 | 2 | Max | -69.8 | -7.35 | 219 | -28.2 | 343 | 2.81 | -69.8 | -7.35 | -831 | -28.2 | 61.7 | 11.1 | -69.8 | -7.35 | -1.88k | -28.2 | -735 | 23.5 |
| 25 | 3 | Min | -351 | -13.3 | 0.275 | -41.2 | 181 | -0.604 | -351 | -13.3 | -925 | -41.2 | -70.6 | 6.73 | -351 | -13.3 | -1.89k | -41.2 | -873 | 13.1 |
| 25 | 3 | Max | -242 | -10.7 | 69.6 | -35.0 | 213 | 0.539 | -242 | -10.7 | -838 | -35.0 | -25.2 | 7.43 | -242 | -10.7 | -1.75k | -35.0 | -782 | 15.0 |
| 25 | 4 | Max | -297 | -12.0 | 35.0 | -38.1 | 197 | -32.4m | -297 | -12.0 | -873 | -38.1 | -47.9 | 7.00 | -297 | -12.0 | -1.78k | -38.1 | -824 | 14.0 |
| 25 | 5 | Max | -297 | -12.0 | 35.0 | -38.1 | 197 | -32.4m | -297 | -12.0 | -873 | -38.1 | -47.9 | 7.00 | -297 | -12.0 | -1.78k | -38.1 | -824 | 14.0 |
| 25 | 7 | Min | -784 | -23.3 | -272 | -65.7 | 79.3 | -5.54 | -784 | -23.3 | -1.18k | -65.7 | -194 | 5.16 | -784 | -23.3 | -2.09k | -65.7 | -1.13k | 6.32 |
| 25 | 7 | Max | 191 | -0.721 | 341 | -10.5 | 315 | 5.47 | 191 | -0.721 | -566 | -10.5 | 98.6 | 8.84 | 191 | -0.721 | -1.47k | -10.5 | | |

| | | | | | | | | | | | | | | | | | | | | |
|----|---|-----|--------|--------|-------|--------|--------|--------|--------|--------|--------|--------|--------|--------|--------|--------|--------|--------|--------|--------|
| 29 | 2 | Min | -1.74k | -6.09 | 823 | -2.27 | -246 | -2.01 | -1.74k | -6.09 | -260 | -2.27 | -29.8 | -1.58 | -1.74k | -6.09 | -1.61k | -2.27 | -550 | -5.31 |
| 29 | 2 | Max | -1.21k | 6.37 | 1.14k | 2.31 | -177 | 2.14 | -1.21k | 6.37 | -136 | 2.31 | 50.5 | 1.55 | -1.21k | 6.37 | -1.19k | 2.31 | -336 | 5.11 |
| 29 | 3 | Min | -1.22k | -1.12 | 742 | -0.442 | -177 | -0.358 | -1.22k | -1.12 | -166 | -0.442 | -2.42 | -0.328 | -1.22k | -1.12 | -1.13k | -0.442 | -372 | -1.13 |
| 29 | 3 | Max | -1.13k | 1.37 | 798 | 0.474 | -166 | 0.473 | -1.13k | 1.37 | -147 | 0.474 | 13.6 | 0.298 | -1.13k | 1.37 | -1.05k | 0.474 | -338 | 0.955 |
| 29 | 4 | Max | -1.15k | 0.124 | 751 | 15.9m | -168 | 57.5m | -1.15k | 0.124 | -156 | 15.9m | 5.61 | -15.1m | -1.15k | 0.124 | -1.06k | 15.9m | -351 | -87.7m |
| 29 | 5 | Max | -1.15k | 0.124 | 751 | 15.9m | -168 | 57.5m | -1.15k | 0.124 | -156 | 15.9m | 5.61 | -15.1m | -1.15k | 0.124 | -1.06k | 15.9m | -351 | -87.7m |
| 29 | 7 | Min | -1.17k | -8.71 | 688 | -4.06 | -184 | 2.81 | -1.17k | -8.71 | -220 | -4.06 | -46.7 | -2.31 | -1.17k | -8.71 | -1.13k | -4.06 | -441 | -7.55 |
| 29 | 7 | Max | -1.12k | 8.95 | 814 | 4.09 | -153 | 2.93 | -1.12k | 8.95 | -93.2 | 4.09 | 57.9 | 2.28 | -1.12k | 8.95 | -1.00k | 4.09 | -262 | 7.37 |
| 29 | 8 | Min | -1.20k | -17.5 | 625 | -8.10 | -199 | -5.66 | -1.20k | -17.5 | -282 | -8.10 | -98.6 | -4.59 | -1.20k | -17.5 | -1.19k | -8.10 | -529 | -15.0 |
| 29 | 8 | Max | -1.10k | 17.7 | 877 | 8.13 | -138 | 5.78 | -1.10k | 17.7 | -30.5 | 8.13 | 110 | 4.56 | -1.10k | 17.7 | -938 | 8.13 | -174 | 14.8 |
| 30 | 1 | Min | 7.03k | -70.8 | -160 | -39.6 | -638 | -19.2 | 7.03k | -70.8 | -1.39k | -39.6 | -931 | -8.78 | 7.03k | -70.8 | -261k | -39.6 | -1.70k | -36.2 |
| 30 | 1 | Max | 9.58k | 70.3 | -102 | 40.4 | -386 | 18.6 | 9.58k | 70.3 | -1.03k | 40.4 | -620 | 8.43 | 9.58k | 70.3 | -1.96k | 40.4 | -1.22k | 36.0 |
| 30 | 2 | Min | 5.32k | -47.2 | -117 | -26.4 | -465 | -12.8 | 5.32k | -47.2 | -1.02k | -26.4 | -681 | -5.87 | 5.32k | -47.2 | -1.91k | -26.4 | -1.25k | -24.1 |
| 30 | 2 | Max | 7.02k | 46.8 | -79.0 | 27.0 | -297 | 12.4 | 7.02k | 46.8 | -779 | 27.0 | -474 | 5.60 | 7.02k | 46.8 | -1.48k | 27.0 | -923 | 24.0 |
| 30 | 3 | Min | 4.72k | -9.56 | -85.1 | -5.09 | -320 | -2.70 | 4.72k | -9.56 | -728 | -5.09 | -478 | -1.26 | 4.72k | -9.56 | -1.37k | -5.09 | -888 | -4.87 |
| 30 | 3 | Max | 5.03k | 9.25 | -79.0 | 5.58 | -293 | 2.34 | 5.03k | 9.25 | -684 | 5.58 | -443 | 1.03 | 5.03k | 9.25 | -1.29k | 5.58 | -830 | 4.76 |
| 30 | 4 | Max | 4.75k | -0.158 | -81.4 | 0.245 | -302 | -0.178 | 4.75k | -0.158 | -686 | 0.245 | -452 | -0.117 | 4.75k | -0.158 | -1.29k | 0.245 | -838 | -55.2m |
| 30 | 5 | Max | 4.75k | -0.158 | -81.4 | 0.245 | -302 | -0.178 | 4.75k | -0.158 | -686 | 0.245 | -452 | -0.117 | 4.75k | -0.158 | -1.29k | 0.245 | -838 | -55.2m |
| 30 | 7 | Min | 4.74k | -66.6 | -88.5 | -39.3 | -375 | -17.9 | 4.74k | -66.6 | -693 | -39.3 | -527 | -8.29 | 4.74k | -66.6 | -1.30k | -39.3 | -915 | -34.1 |
| 30 | 7 | Max | 4.75k | 66.2 | -74.3 | 39.8 | -230 | 17.5 | 4.75k | 66.2 | -679 | 39.8 | -377 | 8.05 | 4.75k | 66.2 | -1.28k | 39.8 | -760 | 34.0 |
| 30 | 8 | Min | 4.73k | -132 | -95.5 | -78.5 | -447 | -35.5 | 4.73k | -132 | -701 | -78.5 | -602 | -16.4 | 4.73k | -132 | -1.31k | -78.5 | -992 | -67.9 |
| 30 | 8 | Max | 4.76k | 132 | -67.3 | 79.0 | -157 | 35.1 | 4.76k | 132 | -672 | 79.0 | -302 | 16.2 | 4.76k | 132 | -1.28k | 79.0 | -683 | 67.8 |
| 31 | 1 | Min | 4.82k | -135 | -305 | 6.93 | 3.37 | 0 | 4.82k | -135 | -1.19k | 6.93 | -291 | 12.6 | 4.82k | -135 | -2.44k | 6.93 | -1.04k | 25.3 |
| 31 | 1 | Max | 7.87k | -30.5 | -241 | 8.80 | 4.30 | 0 | 7.87k | -30.5 | -915 | 8.80 | -226 | 56.1 | 7.87k | -30.5 | -1.86k | 8.80 | -796 | 112 |
| 31 | 2 | Min | 3.70k | -97.2 | -225 | 5.24 | 2.54 | 0 | 3.70k | -97.2 | -873 | 5.24 | -214 | 11.4 | 3.70k | -97.2 | -1.79k | 5.24 | -761 | 22.8 |
| 31 | 2 | Max | 5.74k | -27.4 | -183 | 6.49 | 3.17 | 0 | 5.74k | -27.4 | -690 | 6.49 | -170 | 40.3 | 5.74k | -27.4 | -1.40k | 6.49 | -601 | 80.7 |
| 31 | 3 | Min | 3.59k | -60.2 | -170 | 4.66 | 2.26 | 0 | 3.59k | -60.2 | -637 | 4.66 | -158 | 19.4 | 3.59k | -60.2 | -1.29k | 4.66 | -554 | 38.8 |
| 31 | 3 | Max | 3.92k | -46.8 | -162 | 4.90 | 2.38 | 0 | 3.92k | -46.8 | -602 | 4.90 | -149 | 25.0 | 3.92k | -46.8 | -1.22k | 4.90 | -524 | 50.0 |
| 31 | 4 | Max | 3.70k | -53.5 | -162 | 4.67 | 2.26 | 0 | 3.70k | -53.5 | -602 | 4.67 | -149 | 22.2 | 3.70k | -53.5 | -1.22k | 4.67 | -524 | 44.4 |
| 31 | 5 | Max | 3.70k | -53.5 | -162 | 4.67 | 2.26 | 0 | 3.70k | -53.5 | -602 | 4.67 | -149 | 22.2 | 3.70k | -53.5 | -1.22k | 4.67 | -524 | 44.4 |
| 31 | 7 | Min | 2.93k | -108 | -204 | 4.36 | 2.11 | -0.864 | 2.93k | -108 | -644 | 4.36 | -167 | -0.287 | 2.93k | -108 | -1.26k | 4.36 | -559 | -0.703 |
| 31 | 7 | Max | 4.47k | 1.00 | -120 | 4.97 | 2.41 | 0.864 | 4.47k | 1.00 | -560 | 4.97 | -132 | 44.7 | 4.47k | 1.00 | -1.18k | 4.97 | -489 | 89.5 |
| 31 | 8 | Min | 2.16k | -162 | -246 | 4.06 | 1.95 | -1.72 | 2.16k | -162 | -686 | 4.06 | -184 | -22.6 | 2.16k | -162 | -1.30k | 4.06 | -593 | -45.4 |
| 31 | 8 | Max | 5.24k | 55.1 | -78.2 | 5.27 | 2.56 | 1.72 | 5.24k | 55.1 | -518 | 5.27 | -115 | 67.0 | 5.24k | 55.1 | -1.14k | 5.27 | -454 | 134 |
| 32 | 1 | Min | -922 | -39.0 | 2.55k | -121 | -1.97k | -37.5 | -922 | -39.0 | 1.17k | -121 | -306 | -15.2 | -922 | -39.0 | -215 | -121 | 184 | -0.289 |
| 32 | 1 | Max | -66.5 | -15.7 | 3.87k | -59.1 | -1.04k | -18.3 | -66.5 | -15.7 | 2.05k | -59.1 | 49.1 | -8.57 | -66.5 | -15.7 | 333 | -59.1 | 480 | 8.40 |
| 32 | 2 | Min | -658 | -28.2 | 1.94k | -88.2 | -1.44k | -27.2 | -658 | -28.2 | 904 | -88.2 | -216 | -11.1 | -658 | -28.2 | -137 | -88.2 | 149 | 0.161 |
| 32 | 2 | Max | -87.3 | -12.7 | 2.83k | -46.6 | -816 | -14.4 | -87.3 | -12.7 | 1.49k | -46.6 | 21.1 | -6.64 | -87.3 | -12.7 | 228 | -46.6 | 346 | 5.95 |
| 32 | 3 | Min | -380 | -17.9 | 1.81k | -57.5 | -949 | -17.7 | -380 | -17.9 | 907 | -57.5 | -111 | -7.42 | -380 | -17.9 | 7.45 | -57.5 | 183 | 2.07 |
| 32 | 3 | Max | -266 | -15.4 | 1.96k | -51.2 | -853 | -15.7 | -266 | -15.4 | 1.00k | -51.2 | -63.8 | -6.72 | -266 | -15.4 | 80.5 | -51.2 | 215 | 3.23 |
| 32 | 4 | Max | -323 | -16.6 | 1.84k | -54.3 | -896 | -16.7 | -323 | -16.6 | 944 | -54.3 | -87.5 | -7.00 | -323 | -16.6 | 44.0 | -54.3 | 199 | 2.65 |
| 32 | 5 | Max | -323 | -16.6 | 1.84k | -54.3 | -896 | -16.7 | -323 | -16.6 | 944 | -54.3 | -87.5 | -7.00 | -323 | -16.6 | 44.0 | -54.3 | 199 | 2.65 |
| 32 | 7 | Min | -834 | -28.8 | 1.52k | -82.9 | -1.22k | -25.0 | -834 | -28.8 | 625 | -82.9 | -246 | -9.03 | -834 | -28.8 | -275 | -82.9 | 74.3 | -3.09 |
| 32 | 7 | Max | 189 | -4.49 | 2.16k | -25.7 | -572 | -8.30 | 189 | -4.49 | 1.26k | -25.7 | 71.3 | -4.97 | 189 | -4.49 | 363 | -25.7 | 323 | 8.40 |
| 32 | 8 | Min | -1.34k | -40.8 | 1.21k | -111 | -1.54k | -33.3 | -1.34k | -40.8 | 309 | -111 | -404 | -11.0 | -1.34k | -40.8 | -591 | -111 | -49.3 | -8.79 |
| 32 | 8 | Max | 696 | 7.56 | 2.48k | 2.69 | -251 | -18.9k | 696 | 7.56 | 1.58k | 2.69 | 229 | -2.96 | 696 | 7.56 | 679 | 2.69 | 447 | 14.1 |
| 33 | 1 | Min | -834 | 9.14 | -211 | 34.8 | 189 | -4.10 | -834 | 9.14 | -1.92k | 34.8 | -240 | -15.3 | -834 | 9.14 | -3.75k | 34.8 | -1.84k | -32.7 |
| 33 | 1 | Max | -9.23 | 30.3 | 315 | 88.9 | 483 | 4.53 | -9.23 | 30.3 | -1.08k | 88.9 | 104 | -8.75 | -9.23 | 30.3 | -2.47k | 88.9 | -940 | -14.6 |
| 33 | 2 | Min | -593 | 7.73 | -137 | 28.3 | 153 | -2.72 | -593 | 7.73 | -1.39k | 28.3 | -166 | -11.1 | -593 | 7.73 | -2.74k | 28.3 | -1.34k | -23.7 |
| 33 | 2 | Max | -42.8 | 21.9 | 214 | 64.3 | 349 | 3.04 | -42.8 | 21.9 | -836 | 64.3 | 63.3 | -6.78 | -42.8 | 21.9 | -1.89k | 64.3 | -737 | -11.6 |
| 33 | 3 | Min | -330 | 11.0 | -6.15 | 35.1 | 185 | -0.445 | -330 | 11.0 | -932 | 35.1 | -70.4 | -7.48 | -330 | 11.0 | -1.90k | 35.1 | -876 | -15.2 |
| 33 | 3 | Max | -220 | 13.6 | 64.1 | 41.3 | 217 | 0.706 | -220 | 13.6 | -843 | 41.3 | -24.5 | -6.79 | -220 | 13.6 | -1.75k | 41.3 | -784 | -13.3 |
| 33 | 4 | Max | -275 | 12.3 | 29.0 | 38.2 | 201 | 0.130 | -275 | 12.3 | -879 | 38.2 | -47.5 | -7.05 | -275 | 12.3 | -1.79k | 38.2 | -827 | -14.2 |
| 33 | 5 | Max | -275 | 12.3 | 29.0 | 38.2 | 201 | 0.130 | -275 | 12.3 | -879 | 38.2 | -47.5 | -7.05 | -275 | 12.3 | -1.79k | 38.2 | -827 | -14.2 |
| 33 | 7 | Min | -768 | 1.06 | -281 | 10.5 | 84.0 | -5.32 | -768 | 1.06 | -1.19k | 10.5 | -196 | -8.86 | -768 | 1.06 | -2.10k | 10.5 | -1.14k | -21.9 |
| 33 | 7 | Max | 218 | 23.5 | 339 | 65.9 | 318 | 5.58 | 218 | 23.5 | -569 | 65.9 | 101 | -5.24 | 218 | 23.5 | -1.48k | 65.9 | -512 | -6.57 |
| 33 | 8 | Min | -1.26k | -10.1 | -589 | -16.9 | -32.2 | -10.7 | -1.26k | -10.1 | -1.50k | -16.9 | -344 | -10.7 | -1.26k | -10.1 | -2.40k | -16.9 | -1.45k | -29.5 |
| 33 | 8 | Max | 708 | 34.6 | 647 | 93.3 | 434 | 11.0 | 708 | 34.6 | -261 | 93.3 | 249 | -3.45 | 708 | 34.6 | -1.17k | 93.3 | -199 | 1.04 |
| 34 | 1 | Min | 3.11k | -375 | 1.31k | -398 | -1.83k | -118 | 3.11k | -375 | 378 | -398 | -1.11k | -6.16 | 3.11k | -375 | -551 | -398 | -938 | 45.5 |
| 34 | 1 | Max | 5.01k | -132 | 2.61k | -237 | -1.09k | -57.8 | 5.01k | -132 | 1.38k | -237 | -676 | 31.7 | 5.01k | -132 | 383 | -237 | -491 | 175 |
| 34 | 2 | Min | 2.39k | -271 | 1.03k | -290 | -1.34k | -85.6 | 2.39k | -271 | 326 | -290 | -808 | -3.01 | 2.39k | -271 | -374 | -290 | -682 | 39.5 |
| 34 | 2 | Max | 3.65k | -109 | 1.89k | -183 | -842 | -45.5 | 3.65k | -109 | 996 | -183 | -520 | 22.2 | 3.65k | -109 | 248 | -183 | -384 | 126 |
| 34 | 3 | Min | 2.30k | -169 | 1.10k | -196 | -909 | -55.4 | 2.30k | -169 | 492 | -196 | -554 | 5.71 | 2.30k | -169 | -113 | -196 | -451 | 60.7 |
| 34 | 3 | Max | 2.51k | -141 | 1.23k | -178 | -829 | -49.2 | 2.51k | -141 | 617 | -178 | -508 | 10.8 | 2.51k | -141 | 11.9 | -178 | -404 | 76.6 |
| 34 | 4 | Max | 2.37k | -155 | 1.16k | -184 | -858 | -52.2 | 2.37k | -155 | 555 | -184 | -524 | 8.23 | 2.37k | -155 | -50.3 | -184 | -425 | 68.6 |
| 34 | 5 | Max | 2.37k | -155 | 1.16k | -184 | -858 | -52.2 | 2.37k | -155 | 555 | -184 | -524 | 8.23 | 2.37k | -155 | -50.3 | -184 | -425 | 68.6 |
| 34 | 7 | Min | 2.17k | -262 | 646 | -224 | -1.11k | -74.7 | 2.17k | -262 | 40.5 | -224 | -642 | -11.1 | 2.17k | -262 | -565 | -224 | -592 | 7.29 |
| | | | | | | | | | | | | | | | | | | | | |

| | | | | | | | | | | | | | | | | | | | | |
|----|---|-----|--------|--------|-------|--------|--------|-------|--------|--------|-------|--------|--------|-------|--------|--------|-------|--------|-------|-------|
| 38 | 1 | Max | 8.43k | -369 | 10.9k | 405 | -1.86k | -186 | 8.43k | -369 | 10.6k | 405 | -1.10k | -91.3 | 8.43k | -369 | 10.1k | 405 | 229 | 231 |
| 38 | 2 | Min | 2.72k | -1.09k | 4.62k | 85.9 | -2.71k | -243 | 2.72k | -1.09k | 4.43k | 85.9 | -1.68k | -119 | 2.72k | -1.09k | 4.14k | 85.9 | -142 | -30.4 |
| 38 | 2 | Max | 6.10k | -326 | 7.94k | 292 | -1.46k | -145 | 6.10k | -326 | 7.70k | 292 | -872 | -70.9 | 6.10k | -326 | 7.33k | 292 | 153 | 161 |
| 38 | 3 | Min | 3.34k | -677 | 4.77k | 140 | -1.77k | -163 | 3.34k | -677 | 4.61k | 140 | -1.09k | -79.9 | 3.34k | -677 | 4.36k | 140 | -24.6 | 38.2 |
| 38 | 3 | Max | 3.91k | -531 | 5.29k | 179 | -1.58k | -148 | 3.91k | -531 | 5.12k | 179 | -968 | -72.4 | 3.91k | -531 | 4.85k | 179 | 34.5 | 76.6 |
| 38 | 4 | Max | 3.63k | -604 | 5.00k | 160 | -1.67k | -154 | 3.63k | -604 | 4.83k | 160 | -1.03k | -75.5 | 3.63k | -604 | 4.58k | 160 | 4.98 | 57.4 |
| 38 | 5 | Max | 3.63k | -604 | 5.00k | 160 | -1.67k | -154 | 3.63k | -604 | 4.83k | 160 | -1.03k | -75.5 | 3.63k | -604 | 4.58k | 160 | 4.98 | 57.4 |
| 38 | 7 | Min | 1.95k | -1.16k | 3.73k | 20.1 | -2.11k | -207 | 1.95k | -1.16k | 3.57k | 20.1 | -1.34k | -104 | 1.95k | -1.16k | 3.31k | 20.1 | -244 | -84.3 |
| 38 | 7 | Max | 5.30k | -51.1 | 6.27k | 300 | -1.24k | -102 | 5.30k | -51.1 | 6.10k | 300 | -724 | -46.6 | 5.30k | -51.1 | 5.85k | 300 | 254 | 199 |
| 38 | 8 | Min | 292 | -1.71k | 2.47k | -119 | -2.54k | -259 | 292 | -1.71k | 2.31k | -119 | -1.64k | -133 | 292 | -1.71k | 2.05k | -119 | -491 | -225 |
| 38 | 8 | Max | 6.96k | 498 | 7.52k | 438 | -803 | -50.3 | 6.96k | 498 | 7.36k | 438 | -421 | -18.0 | 6.96k | 498 | 7.11k | 438 | 501 | 340 |
| 39 | 1 | Min | 3.03k | 0 | 595 | 42.6m | 0 | 0 | 3.03k | 0 | 15.1 | 42.6m | 169 | 0 | 3.03k | 0 | -688 | 42.6m | 14.4 | 0 |
| 39 | 1 | Max | 4.58k | 0 | 785 | 0.113 | 0 | 0 | 4.58k | 0 | 19.8 | 0.113 | 223 | 0 | 4.58k | 0 | -522 | 0.113 | 18.9 | 0 |
| 39 | 2 | Min | 2.32k | 0 | 448 | 34.6m | 0 | 0 | 2.32k | 0 | 11.4 | 34.6m | 128 | 0 | 2.32k | 0 | -504 | 34.6m | 10.8 | 0 |
| 39 | 2 | Max | 3.35k | 0 | 575 | 81.4m | 0 | 0 | 3.35k | 0 | 14.5 | 81.4m | 164 | 0 | 3.35k | 0 | -394 | 81.4m | 13.9 | 0 |
| 39 | 3 | Min | 2.16k | 0 | 387 | 43.1m | 0 | 0 | 2.16k | 0 | 9.94 | 43.1m | 110 | 0 | 2.16k | 0 | -362 | 43.1m | 9.37 | 0 |
| 39 | 3 | Max | 2.34k | 0 | 412 | 51.0m | 0 | 0 | 2.34k | 0 | 10.5 | 51.0m | 117 | 0 | 2.34k | 0 | -340 | 51.0m | 9.95 | 0 |
| 39 | 4 | Max | 2.21k | 0 | 387 | 47.0m | 0 | 0 | 2.21k | 0 | 9.94 | 47.0m | 110 | 0 | 2.21k | 0 | -340 | 47.0m | 9.37 | 0 |
| 39 | 5 | Max | 2.21k | 0 | 387 | 47.0m | 0 | 0 | 2.21k | 0 | 9.94 | 47.0m | 110 | 0 | 2.21k | 0 | -340 | 47.0m | 9.37 | 0 |
| 39 | 7 | Min | 1.97k | 0 | 387 | 24.6m | 0 | 0 | 1.97k | 0 | 9.94 | 24.6m | 110 | 0 | 1.97k | 0 | -340 | 24.6m | 9.37 | 0 |
| 39 | 7 | Max | 2.44k | 0 | 387 | 69.5m | 0 | 0 | 2.44k | 0 | 9.94 | 69.5m | 110 | 0 | 2.44k | 0 | -340 | 69.5m | 9.37 | 0 |
| 39 | 8 | Min | 1.74k | 0 | 387 | 2.29m | 0 | 0 | 1.74k | 0 | 9.94 | 2.29m | 110 | 0 | 1.74k | 0 | -340 | 2.29m | 9.37 | 0 |
| 39 | 8 | Max | 2.68k | 0 | 387 | 91.8m | 0 | 0 | 2.68k | 0 | 9.94 | 91.8m | 110 | 0 | 2.68k | 0 | -340 | 91.8m | 9.37 | 0 |
| 40 | 1 | Min | 2.19k | 0 | 265 | -1.16m | 0 | 0 | 2.19k | 0 | -40.6 | -1.16m | 58.3 | 0 | 2.19k | 0 | -195 | -1.16m | 0 | 0 |
| 40 | 1 | Max | 3.15k | 0 | 345 | 44.7m | 0 | 0 | 3.15k | 0 | -30.5 | 44.7m | 75.5 | 0 | 3.15k | 0 | -153 | 44.7m | 0 | 0 |
| 40 | 2 | Min | 1.67k | 0 | 200 | 1.16m | 0 | 0 | 1.67k | 0 | -29.7 | 1.16m | 44.0 | 0 | 1.67k | 0 | -144 | 1.16m | 0 | 0 |
| 40 | 2 | Max | 2.31k | 0 | 253 | 31.8m | 0 | 0 | 2.31k | 0 | -23.0 | 31.8m | 55.4 | 0 | 2.31k | 0 | -115 | 31.8m | 0 | 0 |
| 40 | 3 | Min | 1.52k | 0 | 174 | 11.4m | 0 | 0 | 1.52k | 0 | -21.0 | 11.4m | 38.5 | 0 | 1.52k | 0 | -107 | 11.4m | 0 | 0 |
| 40 | 3 | Max | 1.63k | 0 | 185 | 17.5m | 0 | 0 | 1.63k | 0 | -19.7 | 17.5m | 40.7 | 0 | 1.63k | 0 | -102 | 17.5m | 0 | 0 |
| 40 | 4 | Max | 1.54k | 0 | 174 | 14.5m | 0 | 0 | 1.54k | 0 | -19.7 | 14.5m | 38.5 | 0 | 1.54k | 0 | -102 | 14.5m | 0 | 0 |
| 40 | 5 | Max | 1.54k | 0 | 174 | 14.5m | 0 | 0 | 1.54k | 0 | -19.7 | 14.5m | 38.5 | 0 | 1.54k | 0 | -102 | 14.5m | 0 | 0 |
| 40 | 7 | Min | 1.35k | 0 | 174 | -10.7m | 0 | 0 | 1.35k | 0 | -19.7 | -10.7m | 38.5 | 0 | 1.35k | 0 | -102 | -10.7m | 0 | 0 |
| 40 | 7 | Max | 1.74k | 0 | 174 | 39.6m | 0 | 0 | 1.74k | 0 | -19.7 | 39.6m | 38.5 | 0 | 1.74k | 0 | -102 | 39.6m | 0 | 0 |
| 40 | 8 | Min | 1.16k | 0 | 174 | -35.7m | 0 | 0 | 1.16k | 0 | -19.7 | -35.7m | 38.5 | 0 | 1.16k | 0 | -102 | -35.7m | 0 | 0 |
| 40 | 8 | Max | 1.93k | 0 | 174 | 64.6m | 0 | 0 | 1.93k | 0 | -19.7 | 64.6m | 38.5 | 0 | 1.93k | 0 | -102 | 64.6m | 0 | 0 |
| 41 | 1 | Min | -6.62k | 0 | 256 | 35.8m | 8.12 | 0 | -6.62k | 0 | -54.8 | 35.8m | 63.4 | 0 | -6.62k | 0 | -200 | 35.8m | 0 | 0 |
| 41 | 1 | Max | -4.46k | 0 | 333 | 0.128 | 10.6 | 0 | -4.46k | 0 | -41.5 | 0.128 | 81.9 | 0 | -4.46k | 0 | -157 | 0.128 | 0 | 0 |
| 41 | 2 | Min | -4.84k | 0 | 193 | 30.9m | 6.13 | 0 | -4.84k | 0 | -40.1 | 30.9m | 47.9 | 0 | -4.84k | 0 | -147 | 30.9m | 0 | 0 |
| 41 | 2 | Max | -3.40k | 0 | 244 | 92.6m | 7.76 | 0 | -3.40k | 0 | -31.2 | 92.6m | 60.2 | 0 | -3.40k | 0 | -118 | 92.6m | 0 | 0 |
| 41 | 3 | Min | -3.39k | 0 | 169 | 46.9m | 5.35 | 0 | -3.39k | 0 | -28.7 | 46.9m | 41.9 | 0 | -3.39k | 0 | -110 | 46.9m | 0 | 0 |
| 41 | 3 | Max | -3.14k | 0 | 178 | 58.5m | 5.66 | 0 | -3.14k | 0 | -27.0 | 58.5m | 44.3 | 0 | -3.14k | 0 | -105 | 58.5m | 0 | 0 |
| 41 | 4 | Max | -3.20k | 0 | 169 | 52.7m | 5.35 | 0 | -3.20k | 0 | -27.0 | 52.7m | 41.9 | 0 | -3.20k | 0 | -105 | 52.7m | 0 | 0 |
| 41 | 5 | Max | -3.20k | 0 | 169 | 52.7m | 5.35 | 0 | -3.20k | 0 | -27.0 | 52.7m | 41.9 | 0 | -3.20k | 0 | -105 | 52.7m | 0 | 0 |
| 41 | 7 | Min | -3.54k | 0 | 169 | 7.47m | 5.35 | 0 | -3.54k | 0 | -27.0 | 7.47m | 41.9 | 0 | -3.54k | 0 | -105 | 7.47m | 0 | 0 |
| 41 | 7 | Max | -2.86k | 0 | 169 | 98.0m | 5.35 | 0 | -2.86k | 0 | -27.0 | 98.0m | 41.9 | 0 | -2.86k | 0 | -105 | 98.0m | 0 | 0 |
| 41 | 8 | Min | -3.88k | 0 | 169 | -37.4m | 5.35 | 0 | -3.88k | 0 | -27.0 | -37.4m | 41.9 | 0 | -3.88k | 0 | -105 | -37.4m | 0 | 0 |
| 41 | 8 | Max | -2.51k | 0 | 169 | 0.143 | 5.35 | 0 | -2.51k | 0 | -27.0 | 0.143 | 41.9 | 0 | -2.51k | 0 | -105 | 0.143 | 0 | 0 |
| 42 | 1 | Min | -5.02k | 0 | 87.0 | -0.58m | 2.39 | 0 | -5.02k | 0 | -16.4 | -0.58m | 19.3 | 0 | -5.02k | 0 | -72.1 | -0.58m | 0 | 0 |
| 42 | 1 | Max | -3.27k | 0 | 109 | 46.7m | 2.98 | 0 | -3.27k | 0 | -12.6 | 46.7m | 23.8 | 0 | -3.27k | 0 | -59.8 | 46.7m | 0 | 0 |
| 42 | 2 | Min | -3.67k | 0 | 65.9 | 1.68m | 1.81 | 0 | -3.67k | 0 | -12.1 | 1.68m | 14.6 | 0 | -3.67k | 0 | -53.6 | 1.68m | 0 | 0 |
| 42 | 2 | Max | -2.50k | 0 | 80.4 | 33.2m | 2.20 | 0 | -2.50k | 0 | -9.53 | 33.2m | 17.6 | 0 | -2.50k | 0 | -45.4 | 33.2m | 0 | 0 |
| 42 | 3 | Min | -2.55k | 0 | 58.9 | 12.4m | 1.61 | 0 | -2.55k | 0 | -8.80 | 12.4m | 13.2 | 0 | -2.55k | 0 | -43.0 | 12.4m | 0 | 0 |
| 42 | 3 | Max | -2.35k | 0 | 61.7 | 18.7m | 1.69 | 0 | -2.35k | 0 | -8.31 | 18.7m | 13.7 | 0 | -2.35k | 0 | -41.4 | 18.7m | 0 | 0 |
| 42 | 4 | Max | -2.41k | 0 | 58.9 | 15.5m | 1.61 | 0 | -2.41k | 0 | -8.31 | 15.5m | 13.2 | 0 | -2.41k | 0 | -41.4 | 15.5m | 0 | 0 |
| 42 | 5 | Max | -2.41k | 0 | 58.9 | 15.5m | 1.61 | 0 | -2.41k | 0 | -8.31 | 15.5m | 13.2 | 0 | -2.41k | 0 | -41.4 | 15.5m | 0 | 0 |
| 42 | 7 | Min | -2.66k | 0 | 58.9 | -4.90m | 1.61 | 0 | -2.66k | 0 | -8.31 | -4.90m | 13.2 | 0 | -2.66k | 0 | -41.4 | -4.90m | 0 | 0 |
| 42 | 7 | Max | -2.15k | 0 | 58.9 | 35.9m | 1.61 | 0 | -2.15k | 0 | -8.31 | 35.9m | 13.2 | 0 | -2.15k | 0 | -41.4 | 35.9m | 0 | 0 |
| 42 | 8 | Min | -2.91k | 0 | 58.9 | -25.2m | 1.61 | 0 | -2.91k | 0 | -8.31 | -25.2m | 13.2 | 0 | -2.91k | 0 | -41.4 | -25.2m | 0 | 0 |
| 42 | 8 | Max | -1.90k | 0 | 58.9 | 56.2m | 1.61 | 0 | -1.90k | 0 | -8.31 | 56.2m | 13.2 | 0 | -1.90k | 0 | -41.4 | 56.2m | 0 | 0 |
| 43 | 1 | Min | -4.99k | 0 | 60.3 | -46.8m | 0 | 0 | -4.99k | 0 | 12.7 | -46.8m | 19.7 | 0 | -4.99k | 0 | -110 | -46.8m | 2.41 | 0 |
| 43 | 1 | Max | -3.24k | 0 | 72.7 | 0.73m | 0 | 0 | -3.24k | 0 | 16.5 | 0.73m | 24.2 | 0 | -3.24k | 0 | -87.9 | 0.73m | 3.01 | 0 |
| 43 | 2 | Min | -3.65k | 0 | 45.8 | -33.3m | 0 | 0 | -3.65k | 0 | 9.59 | -33.3m | 14.9 | 0 | -3.65k | 0 | -81.2 | -33.3m | 1.82 | 0 |
| 43 | 2 | Max | -2.48k | 0 | 54.1 | -1.58m | 0 | 0 | -2.48k | 0 | 12.1 | -1.58m | 17.9 | 0 | -2.48k | 0 | -66.5 | -1.58m | 2.23 | 0 |
| 43 | 3 | Min | -2.53k | 0 | 41.8 | -18.7m | 0 | 0 | -2.53k | 0 | 8.37 | -18.7m | 13.4 | 0 | -2.53k | 0 | -62.3 | -18.7m | 1.63 | 0 |
| 43 | 3 | Max | -2.34k | 0 | 43.4 | -12.3m | 0 | 0 | -2.34k | 0 | 8.86 | -12.3m | 14.0 | 0 | -2.34k | 0 | -59.5 | -12.3m | 1.71 | 0 |
| 43 | 4 | Max | -2.39k | 0 | 41.8 | -15.5m | 0 | 0 | -2.39k | 0 | 8.37 | -15.5m | 13.4 | 0 | -2.39k | 0 | -59.5 | -15.5m | 1.63 | 0 |
| 43 | 5 | Max | -2.39k | 0 | 41.8 | -15.5m | 0 | 0 | -2.39k | 0 | 8.37 | -15.5m | 13.4 | 0 | -2.39k | 0 | -59.5 | -15.5m | 1.63 | 0 |
| 43 | 7 | Min | -2.64k | 0 | 41.8 | -36.1m | 0 | 0 | -2.64k | 0 | 8.37 | -36.1m | 13.4 | 0 | -2.64k | 0 | -59.5 | -36.1m | 1.63 | 0 |
| 43 | 7 | Max | -2.14k | 0 | 41.8 | 5.16m | 0 | 0 | -2.14k | 0 | 8.37 | 5.16m | 13.4 | 0 | -2.14k | 0 | -59.5 | 5.16m | 1.63 | 0 |
| 43 | 8 | Min | -2.89k | 0 | 41.8 | -56.6m | 0 | 0 | -2.89k | 0 | 8.37 | -56.6m | 13.4 | 0 | -2.89k | 0 | -59.5 | -56.6m | 1.63 | 0 |
| 43 | 8 | Max | -1.89k | 0 | 41.8 | 25.6m | 0 | 0 | -1.89k | 0 | 8.37 | 25.6m | 13.4 | 0 | -1.89k | 0 | -59.5 | 25.6m | 1.63 | 0 |
| 44 | 1 | Min | -6.58k | 0 | 155 | -0.127 | 0 | 0 | -6.58k | 0 | 41.2 | -0.127 | 62.4 | 0 | -6.58k | 0 | -330 | -0.127 | 8.07 | 0</ |

| | | | | | | | | | | | | | | | | | | | | |
|----|---|-----|--------|---|------|--------|------|---|--------|---|-------|--------|------|---|--------|---|-------|--------|------|---|
| 47 | 1 | Min | 3.24k | 0 | 594 | 37.7m | 0 | 0 | 3.24k | 0 | 14.9 | 37.7m | 168 | 0 | 3.24k | 0 | -685 | 37.7m | 14.3 | 0 |
| 47 | 1 | Max | 4.80k | 0 | 783 | 0.105 | 0 | 0 | 4.80k | 0 | 19.4 | 0.105 | 221 | 0 | 4.80k | 0 | -520 | 0.105 | 18.9 | 0 |
| 47 | 2 | Min | 2.47k | 0 | 448 | 30.9m | 0 | 0 | 2.47k | 0 | 11.2 | 30.9m | 126 | 0 | 2.47k | 0 | -502 | 30.9m | 10.8 | 0 |
| 47 | 2 | Max | 3.51k | 0 | 574 | 76.0m | 0 | 0 | 3.51k | 0 | 14.2 | 76.0m | 162 | 0 | 3.51k | 0 | -392 | 76.0m | 13.8 | 0 |
| 47 | 3 | Min | 2.29k | 0 | 387 | 39.7m | 0 | 0 | 2.29k | 0 | 9.76 | 39.7m | 109 | 0 | 2.29k | 0 | -360 | 39.7m | 9.34 | 0 |
| 47 | 3 | Max | 2.46k | 0 | 411 | 47.5m | 0 | 0 | 2.46k | 0 | 10.3 | 47.5m | 116 | 0 | 2.46k | 0 | -339 | 47.5m | 9.92 | 0 |
| 47 | 4 | Max | 2.33k | 0 | 387 | 43.6m | 0 | 0 | 2.33k | 0 | 9.76 | 43.6m | 109 | 0 | 2.33k | 0 | -339 | 43.6m | 9.34 | 0 |
| 47 | 5 | Max | 2.33k | 0 | 387 | 43.6m | 0 | 0 | 2.33k | 0 | 9.76 | 43.6m | 109 | 0 | 2.33k | 0 | -339 | 43.6m | 9.34 | 0 |
| 47 | 7 | Min | 2.09k | 0 | 387 | 21.3m | 0 | 0 | 2.09k | 0 | 9.76 | 21.3m | 109 | 0 | 2.09k | 0 | -339 | 21.3m | 9.34 | 0 |
| 47 | 7 | Max | 2.56k | 0 | 387 | 65.9m | 0 | 0 | 2.56k | 0 | 9.76 | 65.9m | 109 | 0 | 2.56k | 0 | -339 | 65.9m | 9.34 | 0 |
| 47 | 8 | Min | 1.86k | 0 | 387 | -0.84m | 0 | 0 | 1.86k | 0 | 9.76 | -0.84m | 109 | 0 | 1.86k | 0 | -339 | -0.84m | 9.34 | 0 |
| 47 | 8 | Max | 2.79k | 0 | 387 | 88.0m | 0 | 0 | 2.79k | 0 | 9.76 | 88.0m | 109 | 0 | 2.79k | 0 | -339 | 88.0m | 9.34 | 0 |
| 48 | 1 | Min | 2.27k | 0 | 290 | -2.12m | 0 | 0 | 2.27k | 0 | -45.4 | -2.12m | 67.9 | 0 | 2.27k | 0 | -214 | -2.12m | 0 | 0 |
| 48 | 1 | Max | 3.27k | 0 | 378 | 51.1m | 0 | 0 | 3.27k | 0 | -34.1 | 51.1m | 87.9 | 0 | 3.27k | 0 | -167 | 51.1m | 0 | 0 |
| 48 | 2 | Min | 1.73k | 0 | 219 | 0.75m | 0 | 0 | 1.73k | 0 | -33.2 | 0.75m | 51.2 | 0 | 1.73k | 0 | -157 | 0.75m | 0 | 0 |
| 48 | 2 | Max | 2.39k | 0 | 278 | 36.2m | 0 | 0 | 2.39k | 0 | -25.7 | 36.2m | 64.5 | 0 | 2.39k | 0 | -126 | 36.2m | 0 | 0 |
| 48 | 3 | Min | 1.58k | 0 | 191 | 12.6m | 0 | 0 | 1.58k | 0 | -23.5 | 12.6m | 44.8 | 0 | 1.58k | 0 | -117 | 12.6m | 0 | 0 |
| 48 | 3 | Max | 1.70k | 0 | 202 | 19.7m | 0 | 0 | 1.70k | 0 | -22.1 | 19.7m | 47.4 | 0 | 1.70k | 0 | -111 | 19.7m | 0 | 0 |
| 48 | 4 | Max | 1.60k | 0 | 191 | 16.2m | 0 | 0 | 1.60k | 0 | -22.1 | 16.2m | 44.8 | 0 | 1.60k | 0 | -111 | 16.2m | 0 | 0 |
| 48 | 5 | Max | 1.60k | 0 | 191 | 16.2m | 0 | 0 | 1.60k | 0 | -22.1 | 16.2m | 44.8 | 0 | 1.60k | 0 | -111 | 16.2m | 0 | 0 |
| 48 | 7 | Min | 1.40k | 0 | 191 | -12.2m | 0 | 0 | 1.40k | 0 | -22.1 | -12.2m | 44.8 | 0 | 1.40k | 0 | -111 | -12.2m | 0 | 0 |
| 48 | 7 | Max | 1.81k | 0 | 191 | 44.6m | 0 | 0 | 1.81k | 0 | -22.1 | 44.6m | 44.8 | 0 | 1.81k | 0 | -111 | 44.6m | 0 | 0 |
| 48 | 8 | Min | 1.19k | 0 | 191 | -40.4m | 0 | 0 | 1.19k | 0 | -22.1 | -40.4m | 44.8 | 0 | 1.19k | 0 | -111 | -40.4m | 0 | 0 |
| 48 | 8 | Max | 2.01k | 0 | 191 | 72.8m | 0 | 0 | 2.01k | 0 | -22.1 | 72.8m | 44.8 | 0 | 2.01k | 0 | -111 | 72.8m | 0 | 0 |
| 49 | 1 | Min | -7.10k | 0 | 253 | 45.8m | 8.07 | 0 | -7.10k | 0 | -54.4 | 45.8m | 62.4 | 0 | -7.10k | 0 | -198 | 45.8m | 0 | 0 |
| 49 | 1 | Max | -4.82k | 0 | 330 | 0.128 | 10.5 | 0 | -4.82k | 0 | -41.2 | 0.128 | 80.6 | 0 | -4.82k | 0 | -155 | 0.128 | 0 | 0 |
| 49 | 2 | Min | -5.19k | 0 | 191 | 37.8m | 6.09 | 0 | -5.19k | 0 | -39.9 | 37.8m | 47.1 | 0 | -5.19k | 0 | -146 | 37.8m | 0 | 0 |
| 49 | 2 | Max | -3.67k | 0 | 242 | 92.8m | 7.70 | 0 | -3.67k | 0 | -31.0 | 92.8m | 59.2 | 0 | -3.67k | 0 | -117 | 92.8m | 0 | 0 |
| 49 | 3 | Min | -3.64k | 0 | 167 | 49.7m | 5.31 | 0 | -3.64k | 0 | -28.5 | 49.7m | 41.3 | 0 | -3.64k | 0 | -109 | 49.7m | 0 | 0 |
| 49 | 3 | Max | -3.38k | 0 | 177 | 59.5m | 5.62 | 0 | -3.38k | 0 | -26.8 | 59.5m | 43.6 | 0 | -3.38k | 0 | -104 | 59.5m | 0 | 0 |
| 49 | 4 | Max | -3.44k | 0 | 167 | 54.6m | 5.31 | 0 | -3.44k | 0 | -26.8 | 54.6m | 41.3 | 0 | -3.44k | 0 | -104 | 54.6m | 0 | 0 |
| 49 | 5 | Max | -3.44k | 0 | 167 | 54.6m | 5.31 | 0 | -3.44k | 0 | -26.8 | 54.6m | 41.3 | 0 | -3.44k | 0 | -104 | 54.6m | 0 | 0 |
| 49 | 7 | Min | -3.77k | 0 | 167 | 18.6m | 5.31 | 0 | -3.77k | 0 | -26.8 | 18.6m | 41.3 | 0 | -3.77k | 0 | -104 | 18.6m | 0 | 0 |
| 49 | 7 | Max | -3.10k | 0 | 167 | 90.7m | 5.31 | 0 | -3.10k | 0 | -26.8 | 90.7m | 41.3 | 0 | -3.10k | 0 | -104 | 90.7m | 0 | 0 |
| 49 | 8 | Min | -4.11k | 0 | 167 | -17.2m | 5.31 | 0 | -4.11k | 0 | -26.8 | -17.2m | 41.3 | 0 | -4.11k | 0 | -104 | -17.2m | 0 | 0 |
| 49 | 8 | Max | -2.76k | 0 | 167 | 0.126 | 5.31 | 0 | -2.76k | 0 | -26.8 | 0.126 | 41.3 | 0 | -2.76k | 0 | -104 | 0.126 | 0 | 0 |
| 50 | 1 | Min | -5.55k | 0 | 84.2 | -7.32m | 2.30 | 0 | -5.55k | 0 | -15.7 | -7.32m | 18.9 | 0 | -5.55k | 0 | -69.9 | -7.32m | 0 | 0 |
| 50 | 1 | Max | -3.67k | 0 | 105 | 37.1m | 2.87 | 0 | -3.67k | 0 | -12.1 | 37.1m | 23.2 | 0 | -3.67k | 0 | -58.2 | 37.1m | 0 | 0 |
| 50 | 2 | Min | -4.05k | 0 | 63.7 | -3.53m | 1.74 | 0 | -4.05k | 0 | -11.5 | -3.53m | 14.3 | 0 | -4.05k | 0 | -52.0 | -3.53m | 0 | 0 |
| 50 | 2 | Max | -2.80k | 0 | 77.6 | 26.1m | 2.12 | 0 | -2.80k | 0 | -9.11 | 26.1m | 17.2 | 0 | -2.80k | 0 | -44.2 | 26.1m | 0 | 0 |
| 50 | 3 | Min | -2.83k | 0 | 57.1 | 7.17m | 1.56 | 0 | -2.83k | 0 | -8.42 | 7.17m | 12.9 | 0 | -2.83k | 0 | -42.0 | 7.17m | 0 | 0 |
| 50 | 3 | Max | -2.62k | 0 | 59.8 | 13.1m | 1.64 | 0 | -2.62k | 0 | -7.96 | 13.1m | 13.5 | 0 | -2.62k | 0 | -40.5 | 13.1m | 0 | 0 |
| 50 | 4 | Max | -2.67k | 0 | 57.1 | 10.1m | 1.56 | 0 | -2.67k | 0 | -7.96 | 10.1m | 12.9 | 0 | -2.67k | 0 | -40.5 | 10.1m | 0 | 0 |
| 50 | 5 | Max | -2.67k | 0 | 57.1 | 10.1m | 1.56 | 0 | -2.67k | 0 | -7.96 | 10.1m | 12.9 | 0 | -2.67k | 0 | -40.5 | 10.1m | 0 | 0 |
| 50 | 7 | Min | -2.90k | 0 | 57.1 | -8.97m | 1.56 | 0 | -2.90k | 0 | -7.96 | -8.97m | 12.9 | 0 | -2.90k | 0 | -40.5 | -8.97m | 0 | 0 |
| 50 | 7 | Max | -2.44k | 0 | 57.1 | 29.2m | 1.56 | 0 | -2.44k | 0 | -7.96 | 29.2m | 12.9 | 0 | -2.44k | 0 | -40.5 | 29.2m | 0 | 0 |
| 50 | 8 | Min | -3.13k | 0 | 57.1 | -27.9m | 1.56 | 0 | -3.13k | 0 | -7.96 | -27.9m | 12.9 | 0 | -3.13k | 0 | -40.5 | -27.9m | 0 | 0 |
| 50 | 8 | Max | -2.20k | 0 | 57.1 | 48.2m | 1.56 | 0 | -2.20k | 0 | -7.96 | 48.2m | 12.9 | 0 | -2.20k | 0 | -40.5 | 48.2m | 0 | 0 |
| 51 | 1 | Min | -5.59k | 0 | 57.7 | -37.0m | 0 | 0 | -5.59k | 0 | 12.0 | -37.0m | 18.5 | 0 | -5.59k | 0 | -104 | -37.0m | 2.28 | 0 |
| 51 | 1 | Max | -3.70k | 0 | 69.3 | 7.21m | 0 | 0 | -3.70k | 0 | 15.6 | 7.21m | 22.7 | 0 | -3.70k | 0 | -83.3 | 7.21m | 2.85 | 0 |
| 51 | 2 | Min | -4.09k | 0 | 43.8 | -26.0m | 0 | 0 | -4.09k | 0 | 9.05 | -26.0m | 14.0 | 0 | -4.09k | 0 | -76.8 | -26.0m | 1.73 | 0 |
| 51 | 2 | Max | -2.82k | 0 | 51.5 | 3.46m | 0 | 0 | -2.82k | 0 | 11.4 | 3.46m | 16.8 | 0 | -2.82k | 0 | -63.1 | 3.46m | 2.10 | 0 |
| 51 | 3 | Min | -2.85k | 0 | 40.1 | -13.1m | 0 | 0 | -2.85k | 0 | 7.91 | -13.1m | 12.7 | 0 | -2.85k | 0 | -59.1 | -13.1m | 1.55 | 0 |
| 51 | 3 | Max | -2.64k | 0 | 41.6 | -7.16m | 0 | 0 | -2.64k | 0 | 8.36 | -7.16m | 13.2 | 0 | -2.64k | 0 | -56.5 | -7.16m | 1.62 | 0 |
| 51 | 4 | Max | -2.69k | 0 | 40.1 | -10.1m | 0 | 0 | -2.69k | 0 | 7.91 | -10.1m | 12.7 | 0 | -2.69k | 0 | -56.5 | -10.1m | 1.55 | 0 |
| 51 | 5 | Max | -2.69k | 0 | 40.1 | -10.1m | 0 | 0 | -2.69k | 0 | 7.91 | -10.1m | 12.7 | 0 | -2.69k | 0 | -56.5 | -10.1m | 1.55 | 0 |
| 51 | 7 | Min | -2.92k | 0 | 40.1 | -29.0m | 0 | 0 | -2.92k | 0 | 7.91 | -29.0m | 12.7 | 0 | -2.92k | 0 | -56.5 | -29.0m | 1.55 | 0 |
| 51 | 7 | Max | -2.45k | 0 | 40.1 | 8.78m | 0 | 0 | -2.45k | 0 | 7.91 | 8.78m | 12.7 | 0 | -2.45k | 0 | -56.5 | 8.78m | 1.55 | 0 |
| 51 | 8 | Min | -3.16k | 0 | 40.1 | -47.7m | 0 | 0 | -3.16k | 0 | 7.91 | -47.7m | 12.7 | 0 | -3.16k | 0 | -56.5 | -47.7m | 1.55 | 0 |
| 51 | 8 | Max | -2.22k | 0 | 40.1 | 27.5m | 0 | 0 | -2.22k | 0 | 7.91 | 27.5m | 12.7 | 0 | -2.22k | 0 | -56.5 | 27.5m | 1.55 | 0 |
| 52 | 1 | Min | -7.16k | 0 | 157 | -0.129 | 0 | 0 | -7.16k | 0 | 41.5 | -0.129 | 63.4 | 0 | -7.16k | 0 | -333 | -0.129 | 8.12 | 0 |
| 52 | 1 | Max | -4.86k | 0 | 200 | -42.1m | 0 | 0 | -4.86k | 0 | 54.8 | -42.1m | 81.9 | 0 | -4.86k | 0 | -256 | -42.1m | 10.6 | 0 |
| 52 | 2 | Min | -5.24k | 0 | 118 | -93.2m | 0 | 0 | -5.24k | 0 | 31.2 | -93.2m | 47.9 | 0 | -5.24k | 0 | -244 | -93.2m | 6.13 | 0 |
| 52 | 2 | Max | -3.70k | 0 | 147 | -35.3m | 0 | 0 | -3.70k | 0 | 40.1 | -35.3m | 60.2 | 0 | -3.70k | 0 | -193 | -35.3m | 7.76 | 0 |
| 52 | 3 | Min | -3.67k | 0 | 105 | -59.4m | 0 | 0 | -3.67k | 0 | 27.0 | -59.4m | 41.9 | 0 | -3.67k | 0 | -178 | -59.4m | 5.35 | 0 |
| 52 | 3 | Max | -3.41k | 0 | 110 | -48.9m | 0 | 0 | -3.41k | 0 | 28.7 | -48.9m | 44.3 | 0 | -3.41k | 0 | -169 | -48.9m | 5.66 | 0 |
| 52 | 4 | Max | -3.47k | 0 | 105 | -54.1m | 0 | 0 | -3.47k | 0 | 27.0 | -54.1m | 41.9 | 0 | -3.47k | 0 | -169 | -54.1m | 5.35 | 0 |
| 52 | 5 | Max | -3.47k | 0 | 105 | -54.1m | 0 | 0 | -3.47k | 0 | 27.0 | -54.1m | 41.9 | 0 | -3.47k | 0 | -169 | -54.1m | 5.35 | 0 |
| 52 | 7 | Min | -3.80k | 0 | 105 | -93.5m | 0 | 0 | -3.80k | 0 | 27.0 | -93.5m | 41.9 | 0 | -3.80k | 0 | -169 | -93.5m | 5.35 | 0 |
| 52 | 7 | Max | -3.13k | 0 | 105 | -14.8m | 0 | 0 | -3.13k | 0 | 27.0 | -14.8m | 41.9 | 0 | -3.13k | 0 | -169 | -14.8m | 5.35 | 0 |
| 52 | 8 | Min | -4.13k | 0 | 105 | -0.132 | 0 | 0 | -4.13k | 0 | 27.0 | -0.132 | 41.9 | 0 | -4.13k | 0 | -169 | -0.132 | 5.35 | 0 |
| 52 | 8 | Max | -2.80k | 0 | 105 | 24.2m | 0 | 0 | -2.80k | 0 | 27.0 | 24.2m | 41.9 | 0 | -2.80k | 0 | -169 | 24.2m | 5.35 | 0 |
| 53 | 1 | Min | 2.23k | 0 | 167 | -53.9m | 0 | 0 | 2.23k | 0 | 34.1 | -53.9m | 67.9 | 0 | 2.23k | 0 | -378 | -53.9m | 0 | 0 |
| 53 | 1 | Max | 3 | | | | | | | | | | | | | | | | | |

| | | | | | | | | | | | | | | | | | | | | |
|----|---|-----|--------|--------|--------|-------|-------|-------|--------|--------|--------|-------|--------|-------|--------|--------|--------|-------|--------|--------|
| 55 | 8 | Max | 3.28k | 2.42k | 3.05k | 442 | 713 | 297 | 3.28k | 2.42k | 3.04k | 442 | 972 | 20.9 | 3.28k | 2.42k | 3.03k | 442 | 1.19k | -5.37 |
| 56 | 1 | Min | -5.10k | 500 | 874 | -30.9 | -401 | 185 | -5.10k | 500 | 855 | -30.9 | -192 | 92.6 | -5.10k | 500 | 836 | -30.9 | 9.35 | 0 |
| 56 | 1 | Max | -3.39k | 942 | 1.14k | -23.5 | -307 | 349 | -3.39k | 942 | 1.12k | -23.5 | -147 | 174 | -3.39k | 942 | 1.10k | -23.5 | 12.3 | 0 |
| 56 | 2 | Min | -3.73k | 391 | 659 | -22.6 | -294 | 145 | -3.73k | 391 | 645 | -22.6 | -141 | 72.3 | -3.73k | 391 | 630 | -22.6 | 7.05 | 0 |
| 56 | 2 | Max | -2.59k | 686 | 833 | -17.7 | -231 | 254 | -2.59k | 686 | 819 | -17.7 | -111 | 127 | -2.59k | 686 | 804 | -17.7 | 9.02 | 0 |
| 56 | 3 | Min | -2.61k | 411 | 576 | -16.3 | -213 | 152 | -2.61k | 411 | 561 | -16.3 | -102 | 76.1 | -2.61k | 411 | 546 | -16.3 | 6.15 | 0 |
| 56 | 3 | Max | -2.42k | 457 | 609 | -15.4 | -201 | 169 | -2.42k | 457 | 594 | -15.4 | -96.3 | 84.5 | -2.42k | 457 | 580 | -15.4 | 6.52 | 0 |
| 56 | 4 | Max | -2.47k | 432 | 576 | -15.4 | -201 | 160 | -2.47k | 432 | 561 | -15.4 | -96.3 | 79.9 | -2.47k | 432 | 546 | -15.4 | 6.15 | 0 |
| 56 | 5 | Max | -2.47k | 432 | 576 | -15.4 | -201 | 160 | -2.47k | 432 | 561 | -15.4 | -96.3 | 79.9 | -2.47k | 432 | 546 | -15.4 | 6.15 | 0 |
| 56 | 7 | Min | -2.79k | 230 | 553 | -16.0 | -210 | 87.9 | -2.79k | 230 | 538 | -16.0 | -100 | 45.4 | -2.79k | 230 | 524 | -16.0 | 5.86 | -2.94 |
| 56 | 7 | Max | -2.14k | 634 | 598 | -14.8 | -193 | 232 | -2.14k | 634 | 584 | -14.8 | -92.4 | 114 | -2.14k | 634 | 569 | -14.8 | 6.44 | 2.94 |
| 56 | 8 | Min | -3.12k | 29.3 | 531 | -16.6 | -218 | 16.7 | -3.12k | 29.3 | 516 | -16.6 | -104 | 11.3 | -3.12k | 29.3 | 501 | -16.6 | 5.57 | -5.86 |
| 56 | 8 | Max | -1.82k | 834 | 621 | -14.2 | -185 | 303 | -1.82k | 834 | 606 | -14.2 | -88.5 | 148 | -1.82k | 834 | 591 | -14.2 | 6.73 | 5.86 |
| 57 | 1 | Min | -724 | -515 | -849 | -90.4 | -351 | -168 | -724 | -515 | -879 | -90.4 | -578 | -21.5 | -724 | -515 | -908 | -90.4 | -817 | -212 |
| 57 | 1 | Max | 553 | 874 | 12.5 | 98.7 | -257 | 286 | 553 | 874 | -17.0 | 98.7 | -266 | 36.9 | 553 | 874 | -46.5 | 98.7 | -275 | 125 |
| 57 | 2 | Min | -489 | -328 | -603 | -59.9 | -257 | -107 | -489 | -328 | -626 | -59.9 | -419 | -13.6 | -489 | -328 | -649 | -59.9 | -590 | -145 |
| 57 | 2 | Max | 362 | 598 | -28.8 | 66.2 | -194 | 196 | 362 | 598 | -51.5 | 66.2 | -211 | 25.3 | 362 | 598 | -74.2 | 66.2 | -229 | 79.8 |
| 57 | 3 | Min | -136 | 25.1 | -336 | -9.86 | -180 | 8.34 | -136 | 25.1 | -358 | -9.86 | -267 | 1.20 | -136 | 25.1 | -381 | -9.86 | -372 | -50.9 |
| 57 | 3 | Max | 34.3 | 210 | -221 | 15.3 | -168 | 68.9 | 34.3 | 210 | -243 | 15.3 | -235 | 8.98 | 34.3 | 210 | -266 | 15.3 | -308 | -5.95 |
| 57 | 4 | Max | -50.8 | 118 | -278 | 2.74 | -169 | 38.6 | -50.8 | 118 | -301 | 2.74 | -251 | 5.09 | -50.8 | 118 | -324 | 2.74 | -340 | -28.4 |
| 57 | 5 | Max | -50.8 | 118 | -278 | 2.74 | -169 | 38.6 | -50.8 | 118 | -301 | 2.74 | -251 | 5.09 | -50.8 | 118 | -324 | 2.74 | -340 | -28.4 |
| 57 | 7 | Min | -150 | -484 | -699 | -64.1 | -172 | -157 | -150 | -484 | -721 | -64.1 | -369 | -19.4 | -150 | -484 | -744 | -64.1 | -578 | -175 |
| 57 | 7 | Max | 48.6 | 720 | 142 | 69.6 | -166 | 235 | 48.6 | 720 | 120 | 69.6 | -133 | 29.6 | 48.6 | 720 | 96.9 | 69.6 | -102 | 119 |
| 57 | 8 | Min | -249 | -1.08k | -1.12k | -130 | -175 | -352 | -249 | -1.08k | -1.14k | -130 | -486 | -43.8 | -249 | -1.08k | -1.16k | -130 | -814 | -321 |
| 57 | 8 | Max | 147 | 1.32k | 559 | 136 | -162 | 429 | 147 | 1.32k | 537 | 136 | -16.2 | 54.0 | 147 | 1.32k | 514 | 136 | 134 | 264 |
| 58 | 1 | Min | -4.22k | -638 | 1.30k | 0.143 | -646 | -249 | -4.22k | -638 | 1.28k | 0.143 | -316 | -124 | -4.22k | -638 | 1.26k | 0.143 | 7.62 | 0 |
| 58 | 1 | Max | -2.45k | 922 | 1.70k | 0.212 | -492 | 360 | -2.45k | 922 | 1.68k | 0.212 | -240 | 180 | -2.45k | 922 | 1.66k | 0.212 | 10.1 | 0 |
| 58 | 2 | Min | -3.08k | -413 | 981 | 0.109 | -474 | -161 | -3.08k | -413 | 965 | 0.109 | -232 | -80.6 | -3.08k | -413 | 950 | 0.109 | 5.75 | 0 |
| 58 | 2 | Max | -1.89k | 627 | 1.25k | 0.155 | -371 | 245 | -1.89k | 627 | 1.23k | 0.155 | -181 | 122 | -1.89k | 627 | 1.22k | 0.155 | 7.41 | 0 |
| 58 | 3 | Min | -2.08k | -10.9 | 852 | 99.6m | -341 | -4.27 | -2.08k | -10.9 | 836 | 99.6m | -166 | -2.13 | -2.08k | -10.9 | 821 | 99.6m | 4.98 | 0 |
| 58 | 3 | Max | -1.90k | 197 | 903 | 0.108 | -321 | 76.9 | -1.90k | 197 | 888 | 0.108 | -157 | 38.4 | -1.90k | 197 | 872 | 0.108 | 5.30 | 0 |
| 58 | 4 | Max | -1.97k | 93.1 | 852 | 0.101 | -321 | 36.3 | -1.97k | 93.1 | 836 | 0.101 | -157 | 18.2 | -1.97k | 93.1 | 821 | 0.101 | 4.99 | 0 |
| 58 | 5 | Max | -1.97k | 93.1 | 852 | 0.101 | -321 | 36.3 | -1.97k | 93.1 | 836 | 0.101 | -157 | 18.2 | -1.97k | 93.1 | 821 | 0.101 | 4.99 | 0 |
| 58 | 7 | Min | -2.15k | -574 | 813 | 92.2m | -336 | -223 | -2.15k | -574 | 798 | 92.2m | -164 | -111 | -2.15k | -574 | 782 | 92.2m | 4.78 | -0.872 |
| 58 | 7 | Max | -1.79k | 760 | 891 | 0.110 | -306 | 296 | -1.79k | 760 | 875 | 0.110 | -149 | 147 | -1.79k | 760 | 859 | 0.110 | 5.20 | 0.872 |
| 58 | 8 | Min | -2.32k | -1.24k | 775 | 83.2m | -351 | -480 | -2.32k | -1.24k | 759 | 83.2m | -171 | -239 | -2.32k | -1.24k | 744 | 83.2m | 4.57 | -1.74 |
| 58 | 8 | Max | -1.61k | 1.42k | 929 | 0.119 | -292 | 553 | -1.61k | 1.42k | 913 | 0.119 | -142 | 275 | -1.61k | 1.42k | 898 | 0.119 | 5.40 | 1.74 |
| 59 | 1 | Min | 897 | -2.92k | -2.06k | -383 | 337 | -347 | 897 | -2.92k | -2.08k | -383 | 229 | 51.3 | 897 | -2.92k | -2.09k | -383 | 157 | 150 |
| 59 | 1 | Max | 3.78k | -1.40k | 2.28k | 144 | 762 | -173 | 3.78k | -1.40k | 2.27k | 144 | 867 | 120 | 3.78k | -1.40k | 2.26k | 144 | 926 | 326 |
| 59 | 2 | Min | 799 | -2.12k | -1.37k | -266 | 269 | -252 | 799 | -2.12k | -1.38k | -266 | 198 | 41.2 | 799 | -2.12k | -1.39k | -266 | 151 | 120 |
| 59 | 2 | Max | 2.72k | -1.11k | 1.53k | 85.6 | 553 | -136 | 2.72k | -1.11k | 1.52k | 85.6 | 623 | 86.7 | 2.72k | -1.11k | 1.51k | 85.6 | 663 | 237 |
| 59 | 3 | Min | 1.32k | -1.38k | -239 | -113 | 312 | -166 | 1.32k | -1.38k | -252 | -113 | 303 | 48.6 | 1.32k | -1.38k | -258 | -113 | 295 | 136 |
| 59 | 3 | Max | 1.69k | -1.23k | 340 | -42.5 | 358 | -148 | 1.69k | -1.23k | 328 | -42.5 | 381 | 56.1 | 1.69k | -1.23k | 322 | -42.5 | 394 | 154 |
| 59 | 4 | Max | 1.51k | -1.31k | 50.6 | -77.6 | 335 | -157 | 1.51k | -1.31k | 37.9 | -77.6 | 342 | 52.3 | 1.51k | -1.31k | 32.2 | -77.6 | 344 | 145 |
| 59 | 5 | Max | 1.51k | -1.31k | 50.6 | -77.6 | 335 | -157 | 1.51k | -1.31k | 37.9 | -77.6 | 342 | 52.3 | 1.51k | -1.31k | 32.2 | -77.6 | 344 | 145 |
| 59 | 7 | Min | 463 | -1.87k | -1.79k | -273 | 161 | -220 | 463 | -1.87k | -1.80k | -273 | 38.4 | 19.2 | 463 | -1.87k | -1.81k | -273 | -59.0 | 71.9 |
| 59 | 7 | Max | 2.55k | -746 | 1.89k | 118 | 509 | -93.6 | 2.55k | -746 | 1.88k | 118 | 646 | 85.5 | 2.55k | -746 | 1.87k | 118 | 748 | 218 |
| 59 | 8 | Min | -574 | -2.42k | -3.62k | -468 | -11.8 | -282 | -574 | -2.42k | -3.63k | -468 | -263 | -13.8 | -574 | -2.42k | -3.63k | -468 | -459 | -0.332 |
| 59 | 8 | Max | 3.59k | -190 | 3.72k | 313 | 682 | -31.0 | 3.59k | -190 | 3.70k | 313 | 947 | 118 | 3.59k | -190 | 3.70k | 313 | 1.15k | 290 |
| 60 | 1 | Min | -4.82k | -503 | 856 | 22.9 | -424 | -201 | -4.82k | -503 | 836 | 22.9 | -204 | -101 | -4.82k | -503 | 815 | 22.9 | 9.40 | 0 |
| 60 | 1 | Max | -3.14k | -197 | 1.11k | 30.0 | -325 | -78.6 | -3.14k | -197 | 1.09k | 30.0 | -156 | -39.3 | -3.14k | -197 | 1.07k | 30.0 | 12.4 | 0 |
| 60 | 2 | Min | -3.52k | -364 | 646 | 17.2 | -311 | -146 | -3.52k | -364 | 630 | 17.2 | -149 | -72.8 | -3.52k | -364 | 614 | 17.2 | 7.09 | 0 |
| 60 | 2 | Max | -2.40k | -160 | 816 | 22.0 | -245 | -64.0 | -2.40k | -160 | 800 | 22.0 | -117 | -32.0 | -2.40k | -160 | 784 | 22.0 | 9.06 | 0 |
| 60 | 3 | Min | -2.46k | -234 | 565 | 15.0 | -226 | -93.8 | -2.46k | -234 | 549 | 15.0 | -108 | -46.9 | -2.46k | -234 | 533 | 15.0 | 6.18 | 0 |
| 60 | 3 | Max | -2.27k | -199 | 597 | 15.9 | -213 | -79.7 | -2.27k | -199 | 581 | 15.9 | -102 | -39.9 | -2.27k | -199 | 565 | 15.9 | 6.55 | 0 |
| 60 | 4 | Max | -2.32k | -217 | 565 | 15.0 | -213 | -86.7 | -2.32k | -217 | 549 | 15.0 | -102 | -43.4 | -2.32k | -217 | 533 | 15.0 | 6.18 | 0 |
| 60 | 5 | Max | -2.32k | -217 | 565 | 15.0 | -213 | -86.7 | -2.32k | -217 | 549 | 15.0 | -102 | -43.4 | -2.32k | -217 | 533 | 15.0 | 6.18 | 0 |
| 60 | 7 | Min | -2.62k | -386 | 543 | 14.4 | -222 | -151 | -2.62k | -386 | 527 | 14.4 | -106 | -74.2 | -2.62k | -386 | 511 | 14.4 | 5.90 | -2.87 |
| 60 | 7 | Max | -2.02k | -48.2 | 587 | 15.5 | -205 | -22.1 | -2.02k | -48.2 | 571 | 15.5 | -97.9 | -12.5 | -2.02k | -48.2 | 555 | 15.5 | 6.47 | 2.87 |
| 60 | 8 | Min | -2.92k | -553 | 521 | 13.8 | -230 | -215 | -2.92k | -553 | 505 | 13.8 | -110 | -105 | -2.92k | -553 | 489 | 13.8 | 5.62 | -5.71 |
| 60 | 8 | Max | -1.71k | 119 | 608 | 16.1 | -197 | 42.0 | -1.71k | 119 | 592 | 16.1 | -93.9 | 18.1 | -1.71k | 119 | 576 | 16.1 | 6.75 | 5.71 |
| 61 | 1 | Min | 3.57k | -1.15k | -9.87k | 105 | -172 | -177 | 3.57k | -1.15k | -10.5k | 105 | -252k | 99.3 | 3.57k | -1.15k | -10.9k | 105 | -4.23k | 189 |
| 61 | 1 | Max | 8.72k | -286 | -5.36k | 394 | 263 | 71.6 | 8.72k | -286 | -5.80k | 394 | -1.29k | 171 | 8.72k | -286 | -6.11k | 394 | -2.24k | 329 |
| 61 | 2 | Min | 2.88k | -826 | -7.18k | 90.7 | -110 | -122 | 2.88k | -826 | -7.61k | 90.7 | -1.83k | 76.8 | 2.88k | -826 | -7.91k | 90.7 | -3.08k | 147 |
| 61 | 2 | Max | 6.32k | -252 | -4.18k | 284 | 179 | 43.1 | 6.32k | -252 | -4.51k | 284 | -1.01k | 125 | 6.32k | -252 | -4.74k | 284 | -1.75k | 240 |
| 61 | 3 | Min | 3.48k | -513 | -4.79k | 139 | 1.44 | -51.4 | 3.48k | -513 | -5.10k | 139 | -1.20k | 78.8 | 3.48k | -513 | -5.31k | 139 | -2.04k | 148 |
| 61 | 3 | Max | 4.06k | -404 | -4.32k | 175 | 59.4 | -18.3 | 4.06k | -404 | -4.61k | 175 | -1.08k | 84.4 | 4.06k | -404 | -4.81k | 175 | -1.83k | 162 |
| 61 | 4 | Max | 3.77k | -458 | -4.52k | 157 | 30.4 | -34.9 | 3.77k | -458 | -4.81k | 157 | -1.14k | 79.7 | 3.77k | -458 | -5.02k | 157 | -1.93k | 153 |
| 61 | 5 | Max | 3.77k | | | | | | | | | | | | | | | | | |

| | | | | | | | | | | | | | | | | | | | | |
|----|---|-----|--------|--------|--------|-------|--------|--------|--------|--------|--------|-------|--------|--------|--------|--------|--------|-------|--------|--------|
| 64 | 8 | Min | 1.84k | -168 | 1.13k | 4.19 | -573 | -137 | 1.84k | -168 | 522 | 4.19 | -177 | -68.5 | 1.84k | -168 | 90.4 | 4.19 | 2.00 | -1.75 |
| 64 | 8 | Max | 4.92k | 49.4 | 1.28k | 5.30 | -452 | 40.2 | 4.92k | 49.4 | 671 | 5.30 | -117 | 20.0 | 4.92k | 49.4 | 239 | 5.30 | 2.55 | 1.75 |
| 65 | 1 | Min | 3.48k | 237 | -9.65k | -396 | -90.0 | -74.0 | 3.48k | 237 | -10.2k | -396 | -2.43k | -161 | 3.48k | 237 | -10.7k | -396 | -4.22k | -315 |
| 65 | 1 | Max | 8.52k | 1.06k | -5.26k | -103 | 369 | 174 | 8.52k | 1.06k | -5.71k | -103 | -1.24k | -92.0 | 8.52k | 1.06k | -6.04k | -103 | -2.24k | -176 |
| 65 | 2 | Min | 2.81k | 214 | -7.02k | -285 | -47.7 | -44.9 | 2.81k | 214 | -7.46k | -285 | -1.77k | -118 | 2.81k | 214 | -7.78k | -285 | -3.07k | -230 |
| 65 | 2 | Max | 6.17k | 759 | -4.09k | -89.7 | 258 | 121 | 6.17k | 759 | -4.44k | -89.7 | -97.0 | -71.3 | 6.17k | 759 | -4.68k | -89.7 | -1.75k | -137 |
| 65 | 3 | Min | 3.40k | 363 | -4.69k | -176 | 61.4 | 16.7 | 3.40k | 363 | -5.00k | -176 | -1.16k | -79.3 | 3.40k | 363 | -5.23k | -176 | -2.04k | -154 |
| 65 | 3 | Max | 3.96k | 468 | -4.23k | -139 | 123 | 49.8 | 3.96k | 468 | -4.53k | -139 | -1.04k | -71.9 | 3.96k | 468 | -4.74k | -139 | -1.83k | -140 |
| 65 | 4 | Max | 3.68k | 416 | -4.43k | -158 | 92.0 | 33.3 | 3.68k | 416 | -4.72k | -158 | -1.10k | -74.9 | 3.68k | 416 | -4.94k | -158 | -1.92k | -146 |
| 65 | 5 | Max | 3.68k | 416 | -4.43k | -158 | 92.0 | 33.3 | 3.68k | 416 | -4.72k | -158 | -1.10k | -74.9 | 3.68k | 416 | -4.94k | -158 | -1.92k | -146 |
| 65 | 7 | Min | 2.01k | 42.3 | -5.54k | -293 | -160 | -87.9 | 2.01k | 42.3 | -5.84k | -293 | -1.37k | -106 | 2.01k | 42.3 | -6.05k | -293 | -2.36k | -186 |
| 65 | 7 | Max | 5.35k | 790 | -3.31k | -22.3 | 344 | 154 | 5.35k | 790 | -3.61k | -22.3 | -82.9 | -44.1 | 5.35k | 790 | -3.82k | -22.3 | -1.48k | -106 |
| 65 | 8 | Min | 356 | -328 | -6.65k | -427 | -410 | -208 | 356 | -328 | -6.95k | -427 | -1.63k | -136 | 356 | -328 | -7.16k | -427 | -2.80k | -225 |
| 65 | 8 | Max | 7.00k | 1.16k | -2.21k | 112 | 594 | 275 | 7.00k | 1.16k | -2.50k | 112 | -562 | -13.5 | 7.00k | 1.16k | -2.72k | 112 | -1.05k | -66.6 |
| 66 | 1 | Min | -2.61k | -12.6 | 934 | -34.0 | 354 | -7.42 | -2.61k | -12.6 | 824 | -34.0 | 1.23k | -1.07 | -2.61k | -12.6 | 713 | -34.0 | 2.04k | -5.27 |
| 66 | 1 | Max | -1.92k | 14.4 | 2.02k | 16.2 | 1.29k | 9.27 | -1.92k | 14.4 | 1.89k | 16.2 | 2.02k | 2.00 | -1.92k | 14.4 | 1.76k | 16.2 | 2.68k | 5.29 |
| 66 | 2 | Min | -1.91k | -8.31 | 742 | -23.4 | 304 | -4.87 | -1.91k | -8.31 | 658 | -23.4 | 944 | -0.671 | -1.91k | -8.31 | 575 | -23.4 | 1.54k | -3.52 |
| 66 | 2 | Max | -1.45k | 9.68 | 1.47k | 10.0 | 925 | 6.26 | -1.45k | 9.68 | 1.37k | 10.0 | 1.47k | 1.37 | -1.45k | 9.68 | 1.27k | 10.0 | 1.97k | 3.53 |
| 66 | 3 | Min | -1.36k | -1.20 | 838 | -9.16 | 453 | -0.507 | -1.36k | -1.20 | 762 | -9.16 | 914 | 0.101 | -1.36k | -1.20 | 685 | -9.16 | 1.34k | -0.700 |
| 66 | 3 | Max | -1.27k | 2.39 | 952 | -2.48 | 567 | 1.72 | -1.27k | 2.39 | 875 | -2.48 | 1.00k | 0.509 | -1.27k | 2.39 | 798 | -2.48 | 1.42k | 0.708 |
| 66 | 4 | Max | -1.28k | 0.596 | 895 | -5.82 | 510 | 0.606 | -1.28k | 0.596 | 818 | -5.82 | 943 | 0.305 | -1.28k | 0.596 | 742 | -5.82 | 1.34k | 3.97m |
| 66 | 5 | Max | -1.28k | 0.596 | 895 | -5.82 | 510 | 0.606 | -1.28k | 0.596 | 818 | -5.82 | 943 | 0.305 | -1.28k | 0.596 | 742 | -5.82 | 1.34k | 3.97m |
| 66 | 7 | Min | -1.45k | -9.58 | 473 | -28.2 | 86.9 | -5.80 | -1.45k | -9.58 | 397 | -28.2 | 732 | -0.965 | -1.45k | -9.58 | 320 | -28.2 | 1.33k | -3.87 |
| 66 | 7 | Max | -1.11k | 10.8 | 1.32k | 16.5 | 933 | 7.01 | -1.11k | 10.8 | 1.24k | 16.5 | 1.15k | 1.57 | -1.11k | 10.8 | 1.16k | 16.5 | 1.34k | 3.87 |
| 66 | 8 | Min | -1.62k | -19.7 | 55.2 | -50.3 | -333 | -12.2 | -1.62k | -19.7 | -21.4 | -50.3 | 523 | -2.22 | -1.62k | -19.7 | -98.0 | -50.3 | 1.33k | -7.70 |
| 66 | 8 | Max | -940 | 20.9 | 1.73k | 38.7 | 1.35k | 13.4 | -940 | 20.9 | 1.66k | 38.7 | 1.36k | 2.83 | -940 | 20.9 | 1.58k | 38.7 | 1.34k | 7.71 |
| 67 | 1 | Min | -1.65k | -1.13k | 4.02k | 150 | -3.26k | -251 | -1.65k | -1.13k | 4.24k | 150 | -1.88k | 7.56 | -1.65k | -1.13k | 4.22k | 150 | -513 | -227 |
| 67 | 1 | Max | 1.68k | 1.10k | 6.02k | 498 | -2.18k | 288 | 1.68k | 1.10k | 5.99k | 498 | -1.13k | 38.0 | 1.68k | 1.10k | 5.97k | 498 | -83.0 | 278 |
| 67 | 2 | Min | -1.10k | -754 | 3.24k | 127 | -2.38k | -166 | -1.10k | -754 | 3.22k | 127 | -1.37k | 6.97 | -1.10k | -754 | 3.20k | 127 | -368 | -149 |
| 67 | 2 | Max | 1.12k | 732 | 4.41k | 359 | -1.66k | 194 | 1.12k | 732 | 4.39k | 359 | -870 | 27.2 | 1.12k | 732 | 4.37k | 359 | -81.4 | 188 |
| 67 | 3 | Min | -221 | -154 | 2.94k | 181 | -1.67k | -22.8 | -221 | -154 | 2.92k | 181 | -937 | 12.6 | -221 | -154 | 2.90k | 181 | -224 | -47.8 |
| 67 | 3 | Max | 223 | 143 | 3.14k | 224 | -1.55k | 49.2 | 223 | 143 | 3.12k | 224 | -856 | 16.5 | 223 | 143 | 3.11k | 224 | -167 | 49.5 |
| 67 | 4 | Max | 0.761 | -5.67 | 2.97k | 202 | -1.58k | 13.2 | 0.761 | -5.67 | 2.95k | 202 | -885 | 14.5 | 0.761 | -5.67 | 2.93k | 202 | -195 | 15.8 |
| 67 | 5 | Max | 0.761 | -5.67 | 2.97k | 202 | -1.58k | 13.2 | 0.761 | -5.67 | 2.95k | 202 | -885 | 14.5 | 0.761 | -5.67 | 2.93k | 202 | -195 | 15.8 |
| 67 | 7 | Min | -1.66k | -1.11k | 2.92k | 42.7 | -1.81k | -256 | -1.66k | -1.11k | 2.90k | 42.7 | -1.11k | 3.80 | -1.66k | -1.11k | 2.88k | 42.7 | -419 | -238 |
| 67 | 7 | Max | 1.66k | 1.10k | 3.02k | 362 | -1.35k | 282 | 1.66k | 1.10k | 3.00k | 362 | -656 | 25.2 | 1.66k | 1.10k | 2.98k | 362 | 28.4 | 269 |
| 67 | 8 | Min | -3.31k | -2.21k | 2.86k | -116 | -2.04k | -523 | -3.31k | -2.21k | 2.85k | -116 | -1.34k | -6.82 | -3.31k | -2.21k | 2.83k | -116 | -642 | -489 |
| 67 | 8 | Max | 3.31k | 2.20k | 3.07k | 520 | -1.12k | 549 | 3.31k | 2.20k | 3.05k | 520 | -430 | 35.8 | 3.31k | 2.20k | 3.04k | 520 | 251 | 521 |
| 68 | 1 | Min | -1.74k | -565 | 4.22k | -92.8 | -723 | -227 | -1.74k | -565 | 4.18k | -92.8 | 899 | -23.2 | -1.74k | -565 | 4.14k | -92.8 | 2.49k | -628 |
| 68 | 1 | Max | 1.78k | 564 | 5.97k | 32.1 | -149 | 278 | 1.78k | 564 | 5.93k | 32.1 | 1.70k | 75.1 | 1.78k | 564 | 5.89k | 32.1 | 3.77k | 180 |
| 68 | 2 | Min | -1.16k | -377 | 3.20k | -64.6 | -520 | -149 | -1.16k | -377 | 3.17k | -64.6 | 702 | -13.2 | -1.16k | -377 | 3.15k | -64.6 | 1.90k | -82.8 |
| 68 | 2 | Max | 1.18k | 376 | 4.37k | 18.7 | -136 | 188 | 1.18k | 376 | 4.34k | 18.7 | 1.23k | 52.3 | 1.18k | 376 | 4.31k | 18.7 | 2.75k | 123 |
| 68 | 3 | Min | -229 | -78.3 | 2.90k | -29.0 | -318 | -17.8 | -229 | -78.3 | 2.87k | -29.0 | 733 | 10.4 | -229 | -78.3 | 2.84k | -29.0 | 1.77k | -2.51 |
| 68 | 3 | Max | 239 | 72.2 | 3.11k | -12.3 | -243 | 49.5 | 239 | 72.2 | 3.08k | -12.3 | 816 | 23.5 | 239 | 72.2 | 3.05k | -12.3 | 1.92k | 38.6 |
| 68 | 4 | Max | 4.85 | -3.05 | 2.93k | -20.6 | -281 | 15.8 | 4.85 | -3.05 | 2.90k | -20.6 | 770 | 16.9 | 4.85 | -3.05 | 2.87k | -20.6 | 1.81k | 18.0 |
| 68 | 5 | Max | 4.85 | -3.05 | 2.93k | -20.6 | -281 | 15.8 | 4.85 | -3.05 | 2.90k | -20.6 | 770 | 16.9 | 4.85 | -3.05 | 2.87k | -20.6 | 1.81k | 18.0 |
| 68 | 7 | Min | -1.90k | -572 | 2.88k | -90.4 | -547 | -238 | -1.90k | -572 | 2.85k | -90.4 | 506 | -32.0 | -1.90k | -572 | 2.82k | -90.4 | 1.54k | -138 |
| 68 | 7 | Max | 1.91k | 566 | 2.99k | 49.2 | -14.6 | 269 | 1.91k | 566 | 2.96k | 49.2 | 1.03k | 65.8 | 1.91k | 566 | 2.93k | 49.2 | 2.08k | 174 |
| 68 | 8 | Min | -3.79k | -1.14k | 2.82k | -160 | -810 | -489 | -3.79k | -1.14k | 2.79k | -160 | 244 | -80.5 | -3.79k | -1.14k | 2.77k | -160 | 1.27k | -294 |
| 68 | 8 | Max | 3.80k | 1.13k | 3.04k | 118 | 249 | 521 | 3.80k | 1.13k | 3.01k | 118 | 1.30k | 114 | 3.80k | 1.13k | 2.98k | 118 | 2.34k | 330 |
| 69 | 1 | Min | 25.5k | 41.6 | 1.92k | 47.5 | -491 | 3.79 | 25.5k | 41.6 | 1.81k | 47.5 | 895 | -17.2 | 25.5k | 41.6 | 1.69k | 47.5 | 1.95k | -89.2 |
| 69 | 1 | Max | 35.8k | 198 | 3.34k | 110 | 123 | 115 | 35.8k | 198 | 3.21k | 110 | 1.33k | 17.8 | 35.8k | 198 | 3.07k | 110 | 2.81k | -38.3 |
| 69 | 2 | Min | 19.4k | 38.0 | 1.48k | 38.0 | -344 | 7.73 | 19.4k | 38.0 | 1.40k | 38.0 | 682 | -11.5 | 19.4k | 38.0 | 1.32k | 38.0 | 1.48k | -64.6 |
| 69 | 2 | Max | 26.2k | 142 | 2.43k | 79.4 | 65.6 | 81.7 | 26.2k | 142 | 2.33k | 79.4 | 972 | 11.9 | 26.2k | 142 | 2.23k | 79.4 | 2.06k | -30.6 |
| 69 | 3 | Min | 17.4k | 66.7 | 1.49k | 43.7 | -162 | 31.6 | 17.4k | 66.7 | 1.41k | 43.7 | 631 | -2.06 | 17.4k | 66.7 | 1.34k | 43.7 | 1.35k | -41.2 |
| 69 | 3 | Max | 18.6k | 86.7 | 1.64k | 50.2 | -80.4 | 46.4 | 18.6k | 86.7 | 1.56k | 50.2 | 680 | 2.61 | 18.6k | 86.7 | 1.48k | 50.2 | 1.45k | -35.7 |
| 69 | 4 | Max | 17.6k | 76.7 | 1.55k | 47.0 | -121 | 39.0 | 17.6k | 76.7 | 1.47k | 47.0 | 642 | 0.274 | 17.6k | 76.7 | 1.40k | 47.0 | 1.37k | -38.5 |
| 69 | 5 | Max | 17.6k | 76.7 | 1.55k | 47.0 | -121 | 39.0 | 17.6k | 76.7 | 1.47k | 47.0 | 642 | 0.274 | 17.6k | 76.7 | 1.40k | 47.0 | 1.37k | -38.5 |
| 69 | 7 | Min | 16.1k | 0.197 | 1.08k | 27.3 | -435 | -16.4 | 16.1k | 0.197 | 1.01k | 27.3 | 561 | -17.7 | 16.1k | 0.197 | 932 | 27.3 | 1.21k | -60.3 |
| 69 | 7 | Max | 19.0k | 153 | 2.01k | 66.6 | 193 | 94.5 | 19.0k | 153 | 1.94k | 66.6 | 723 | 18.2 | 19.0k | 153 | 1.86k | 66.6 | 1.52k | -16.6 |
| 69 | 8 | Min | 14.7k | -75.7 | 624 | 7.88 | -747 | -71.5 | 14.7k | -75.7 | 547 | 7.88 | 481 | -35.5 | 14.7k | -75.7 | 471 | 7.88 | 1.06k | -81.9 |
| 69 | 8 | Max | 20.4k | 229 | 2.47k | 86.0 | 504 | 149 | 20.4k | 229 | 2.40k | 86.0 | 803 | 36.0 | 20.4k | 229 | 2.32k | 86.0 | 1.68k | 5.01 |
| 70 | 1 | Min | 25.4k | -193 | -3.07k | -108 | 1.95k | -88.3 | 25.4k | -193 | -3.21k | -108 | 885 | -17.1 | 25.4k | -193 | -3.34k | -108 | -515 | 3.75 |
| 70 | 1 | Max | 35.9k | -41.0 | -1.70k | -45.9 | 2.82k | -38.0 | 35.9k | -41.0 | -1.81k | -45.9 | 1.32k | 17.2 | 35.9k | -41.0 | -1.92k | -45.9 | 105 | 113 |
| 70 | 2 | Min | 19.3k | -139 | -2.23k | -78.0 | 1.48k | -63.9 | 19.3k | -139 | -2.33k | -78.0 | 675 | -11.4 | 19.3k | -139 | -2.43k | -78.0 | -361 | 7.60 |
| 70 | 2 | Max | 26.2k | -37.3 | -1.32k | -36.7 | 2.06k | -30.4 | 26.2k | -37.3 | -1.40k | -36.7 | 964 | 11.5 | | | | | | |

| | | | | | | | | | | | | | | | | | | | | |
|----|---|-----|--------|--------|--------|-------|--------|-------|--------|--------|--------|-------|--------|--------|--------|--------|--------|-------|--------|-------|
| 73 | 7 | Max | -6.15k | 730 | 1.78k | 143 | -333 | 129 | -6.15k | 730 | 1.76k | 143 | -414 | -36.3 | -6.15k | 730 | 1.74k | 143 | -178 | -158 |
| 73 | 8 | Min | -12.1k | 248 | -1.50k | -50.2 | -1.49k | -36.5 | -12.1k | 248 | -1.52k | -50.2 | -861 | -106 | -12.1k | 248 | -1.54k | -50.2 | -873 | -263 |
| 73 | 8 | Max | -4.19k | 890 | 2.86k | 207 | 51.4 | 184 | -4.19k | 890 | 2.85k | 207 | -266 | -13.4 | -4.19k | 890 | 2.83k | 207 | 52.7 | -123 |
| 74 | 1 | Min | -16.0k | -5.43k | -239 | -206 | -959 | -403 | -16.0k | -5.43k | -248 | -206 | -912 | -4.58 | -16.0k | -5.43k | -256 | -206 | -919 | 275 |
| 74 | 1 | Max | -10.4k | -3.33k | 2.22k | -59.4 | -363 | -253 | -10.4k | -3.33k | 2.21k | -59.4 | -178 | 75.7 | -10.4k | -3.33k | 2.20k | -59.4 | 6.69 | 526 |
| 74 | 2 | Min | -11.7k | -3.97k | -73.4 | -148 | -694 | -295 | -11.7k | -3.97k | -80.1 | -148 | -655 | 63.9m | -11.7k | -3.97k | -86.7 | -148 | -653 | 215 |
| 74 | 2 | Max | -7.95k | -2.56k | 1.56k | -50.8 | -297 | -195 | -7.95k | -2.56k | 1.56k | -50.8 | -166 | 53.6 | -7.95k | -2.56k | 1.55k | -50.8 | -35.9 | 382 |
| 74 | 3 | Min | -8.18k | -2.73k | 480 | -93.2 | -444 | -204 | -8.18k | -2.73k | 474 | -93.2 | -404 | 18.0 | -8.18k | -2.73k | 467 | -93.2 | -364 | 228 |
| 74 | 3 | Max | -7.55k | -2.50k | 808 | -75.1 | -375 | -188 | -7.55k | -2.50k | 801 | -75.1 | -308 | 28.7 | -7.55k | -2.50k | 794 | -75.1 | -241 | 253 |
| 74 | 4 | Max | -7.73k | -2.58k | 644 | -84.1 | -409 | -193 | -7.73k | -2.58k | 637 | -84.1 | -356 | 23.4 | -7.73k | -2.58k | 631 | -84.1 | -302 | 240 |
| 74 | 5 | Max | -7.73k | -2.58k | 644 | -84.1 | -409 | -193 | -7.73k | -2.58k | 637 | -84.1 | -356 | 23.4 | -7.73k | -2.58k | 631 | -84.1 | -302 | 240 |
| 74 | 7 | Min | -9.62k | -3.19k | -452 | -157 | -640 | -228 | -9.62k | -3.19k | -459 | -157 | -678 | -7.76 | -9.62k | -3.19k | -466 | -157 | -717 | 157 |
| 74 | 7 | Max | -5.84k | -1.97k | 1.74k | -11.5 | -179 | -158 | -5.84k | -1.97k | 1.73k | -11.5 | -33.4 | 54.5 | -5.84k | -1.97k | 1.73k | -11.5 | 112 | 322 |
| 74 | 8 | Min | -11.5k | -3.80k | -1.54k | -229 | -868 | -263 | -11.5k | -3.80k | -1.55k | -229 | -998 | -38.7 | -11.5k | -3.80k | -1.55k | -229 | -1.13k | 75.4 |
| 74 | 8 | Max | -3.96k | -1.36k | 2.83k | 60.5 | 49.6 | -123 | -3.96k | -1.36k | 2.82k | 60.5 | 286 | 85.4 | -3.96k | -1.36k | 2.81k | 60.5 | 522 | 404 |
| 75 | 1 | Min | -10.2k | 758 | 8.41 | 40.0 | -1.35k | 181 | -10.2k | 758 | -28.1 | 40.0 | -883 | 13.5 | -10.2k | 758 | -64.6 | 40.0 | -432 | -497 |
| 75 | 1 | Max | -6.69k | 1.48k | 1.33k | 197 | 113 | 550 | -6.69k | 1.48k | 1.30k | 197 | 110 | 26.8 | -6.69k | 1.48k | 1.26k | 197 | 93.4 | -254 |
| 75 | 2 | Min | -7.44k | 595 | 65.8 | 36.7 | -952 | 220 | -7.44k | 595 | 37.7 | 36.7 | -622 | 10.6 | -7.44k | 595 | 9.63 | 36.7 | -303 | -361 |
| 75 | 2 | Max | -5.12k | 1.08k | 948 | 141 | 20.9 | 400 | -5.12k | 1.08k | 920 | 141 | 39.2 | 19.4 | -5.12k | 1.08k | 892 | 141 | 47.5 | -199 |
| 75 | 3 | Min | -5.21k | 637 | 363 | 65.2 | -506 | 236 | -5.21k | 637 | 335 | 65.2 | -321 | 11.2 | -5.21k | 637 | 307 | 65.2 | -146 | -238 |
| 75 | 3 | Max | -4.82k | 711 | 540 | 85.3 | -312 | 263 | -4.82k | 711 | 511 | 85.3 | -189 | 12.6 | -4.82k | 711 | 483 | 85.3 | -75.5 | -213 |
| 75 | 4 | Max | -4.93k | 672 | 451 | 75.2 | -409 | 249 | -4.93k | 672 | 423 | 75.2 | -255 | 11.8 | -4.93k | 672 | 395 | 75.2 | -111 | -225 |
| 75 | 5 | Max | -4.93k | 672 | 451 | 75.2 | -409 | 249 | -4.93k | 672 | 423 | 75.2 | -255 | 11.8 | -4.93k | 672 | 395 | 75.2 | -111 | -225 |
| 75 | 7 | Min | -5.82k | 524 | -128 | 16.9 | -1.03k | 186 | -5.82k | 524 | -156 | 16.9 | -667 | 1.02 | -5.82k | 524 | -184 | 16.9 | -321 | -267 |
| 75 | 7 | Max | -4.03k | 821 | 1.03k | 134 | 207 | 312 | -4.03k | 821 | 1.00k | 134 | 157 | 22.7 | -4.03k | 821 | 974 | 134 | 100 | -184 |
| 75 | 8 | Min | -6.71k | 377 | -703 | -41.0 | -1.64k | 123 | -6.71k | 377 | -731 | -41.0 | -1.08k | -9.72 | -6.71k | 377 | -759 | -41.0 | -530 | -308 |
| 75 | 8 | Max | -3.14k | 968 | 1.61k | 191 | 819 | 375 | -3.14k | 968 | 1.58k | 191 | 566 | 33.4 | -3.14k | 968 | 1.55k | 191 | 309 | -143 |
| 76 | 1 | Min | -10.0k | -1.98k | -64.6 | 12.8 | -483 | -497 | -10.0k | -1.98k | -89.9 | 12.8 | -178 | -12.1 | -10.0k | -1.98k | -115 | 12.8 | -61.8 | 239 |
| 76 | 1 | Max | -6.75k | -1.01k | 1.26k | 101 | 89.3 | -254 | -6.75k | -1.01k | 1.23k | 101 | 70.3 | -6.82 | -6.75k | -1.01k | 1.21k | 101 | 228 | 473 |
| 76 | 2 | Min | -7.34k | -1.44k | 9.63 | 13.5 | -339 | -361 | -7.34k | -1.44k | -9.88 | 13.5 | -123 | -8.75 | -7.34k | -1.44k | -29.4 | 13.5 | -33.8 | 188 |
| 76 | 2 | Max | -5.15k | -790 | 892 | 71.9 | 42.4 | -199 | -5.15k | -790 | 873 | 71.9 | 42.4 | -5.23 | -5.15k | -790 | 853 | 71.9 | 160 | 344 |
| 76 | 3 | Min | -5.17k | -950 | 307 | 31.2 | -167 | -238 | -5.17k | -950 | 287 | 31.2 | -50.6 | -5.55 | -5.17k | -950 | 268 | 31.2 | 36.2 | 203 |
| 76 | 3 | Max | -4.80k | -851 | 483 | 42.8 | -90.3 | -213 | -4.80k | -851 | 464 | 42.8 | -17.5 | -4.97 | -4.80k | -851 | 444 | 42.8 | 74.9 | 227 |
| 76 | 4 | Max | -4.89k | -898 | 395 | 37.0 | -128 | -225 | -4.89k | -898 | 376 | 37.0 | -34.1 | -5.15 | -4.89k | -898 | 356 | 37.0 | 55.6 | 215 |
| 76 | 5 | Max | -4.89k | -898 | 395 | 37.0 | -128 | -225 | -4.89k | -898 | 376 | 37.0 | -34.1 | -5.15 | -4.89k | -898 | 356 | 37.0 | 55.6 | 215 |
| 76 | 7 | Min | -5.79k | -1.05k | -185 | 20.5 | -347 | -267 | -5.79k | -1.05k | -204 | 20.5 | -142 | -11.3 | -5.79k | -1.05k | -224 | 20.5 | -68.6 | 179 |
| 76 | 7 | Max | -4.00k | -749 | 975 | 53.5 | 89.9 | -184 | -4.00k | -749 | 956 | 53.5 | 73.6 | 0.973 | -4.00k | -749 | 936 | 53.5 | 180 | 251 |
| 76 | 8 | Min | -6.67k | -1.19k | -760 | 4.19 | -564 | -308 | -6.67k | -1.19k | -780 | 4.19 | -249 | -17.4 | -6.67k | -1.19k | -799 | 4.19 | -192 | 144 |
| 76 | 8 | Max | -3.11k | -601 | 1.55k | 69.8 | 307 | -143 | -3.11k | -601 | 1.53k | 69.8 | 180 | 7.05 | -3.11k | -601 | 1.51k | 69.8 | 303 | 286 |
| 77 | 1 | Min | -9.71k | 1.11k | -1.02k | -121 | -91.9 | 236 | -9.71k | 1.11k | -1.04k | -121 | -122 | 2.41 | -9.71k | 1.11k | -1.06k | -121 | -340 | -460 |
| 77 | 1 | Max | -6.28k | 2.23k | 345 | -28.6 | 191 | 478 | -6.28k | 2.23k | 323 | -28.6 | 75.4 | 9.80 | -6.28k | 2.23k | 301 | -28.6 | 138 | -231 |
| 77 | 2 | Min | -7.10k | 875 | -707 | -87.3 | -56.8 | 186 | -7.10k | 875 | -723 | -87.3 | -83.2 | 2.18 | -7.10k | 875 | -740 | -87.3 | -235 | -334 |
| 77 | 2 | Max | -4.81k | 1.62k | 201 | -25.4 | 132 | 348 | -4.81k | 1.62k | 184 | -25.4 | 48.4 | 7.11 | -4.81k | 1.62k | 167 | -25.4 | 83.6 | -182 |
| 77 | 3 | Min | -4.95k | 953 | -308 | -53.3 | 14.5 | 204 | -4.95k | 953 | -325 | -53.3 | -27.2 | 3.82 | -4.95k | 953 | -342 | -53.3 | -96.9 | -220 |
| 77 | 3 | Max | -4.57k | 1.07k | -127 | -41.6 | 52.2 | 228 | -4.57k | 1.07k | -144 | -41.6 | -0.914 | 4.80 | -4.57k | 1.07k | -160 | -41.6 | -33.2 | -196 |
| 77 | 4 | Max | -4.68k | 1.01k | -218 | -47.5 | 33.4 | 216 | -4.68k | 1.01k | -234 | -47.5 | -14.1 | 4.31 | -4.68k | 1.01k | -251 | -47.5 | -65.0 | -208 |
| 77 | 5 | Max | -4.68k | 1.01k | -218 | -47.5 | 33.4 | 216 | -4.68k | 1.01k | -234 | -47.5 | -14.1 | 4.31 | -4.68k | 1.01k | -251 | -47.5 | -65.0 | -208 |
| 77 | 7 | Min | -5.64k | 818 | -797 | -56.0 | -87.2 | 175 | -5.64k | 818 | -814 | -56.0 | -105 | -1.19 | -5.64k | 818 | -830 | -56.0 | -252 | -251 |
| 77 | 7 | Max | -3.73k | 1.20k | 362 | -38.9 | 154 | 258 | -3.73k | 1.20k | 345 | -38.9 | 77.1 | 9.81 | -3.73k | 1.20k | 328 | -38.9 | 122 | -164 |
| 77 | 8 | Min | -6.59k | 628 | -1.37k | -64.4 | -207 | 134 | -6.59k | 628 | -1.39k | -64.4 | -196 | -6.64 | -6.59k | 628 | -1.41k | -64.4 | -437 | -295 |
| 77 | 8 | Max | -2.78k | 1.39k | 936 | -30.5 | 274 | 299 | -2.78k | 1.39k | 920 | -30.5 | 168 | 15.3 | -2.78k | 1.39k | 903 | -30.5 | 307 | -120 |
| 78 | 1 | Min | -9.95k | -1.16k | -1.06k | -174 | -286 | -460 | -9.95k | -1.16k | -1.10k | -174 | -713 | -2.23 | -9.95k | -1.16k | -1.14k | -174 | -1.16k | 226 |
| 78 | 1 | Max | -6.26k | -578 | 301 | -31.8 | 141 | -231 | -6.26k | -578 | 261 | -31.8 | 252 | 0.990 | -6.26k | -578 | 220 | -31.8 | 347 | 461 |
| 78 | 2 | Min | -7.27k | -846 | -740 | -125 | -197 | -334 | -7.27k | -846 | -771 | -125 | -496 | -1.56 | -7.27k | -846 | -803 | -125 | -807 | 178 |
| 78 | 2 | Max | -4.81k | -455 | 167 | -30.0 | 87.7 | -182 | -4.81k | -455 | 136 | -30.0 | 148 | 0.590 | -4.81k | -455 | 105 | -30.0 | 195 | 335 |
| 78 | 3 | Min | -5.04k | -554 | -342 | -74.8 | -75.2 | -220 | -5.04k | -554 | -373 | -74.8 | -216 | -0.740 | -5.04k | -554 | -405 | -74.8 | -370 | 195 |
| 78 | 3 | Max | -4.63k | -495 | -160 | -56.4 | -18.2 | -196 | -4.63k | -495 | -192 | -56.4 | -87.8 | -0.311 | -4.63k | -495 | -223 | -56.4 | -170 | 219 |
| 78 | 4 | Max | -4.76k | -524 | -251 | -65.6 | -46.7 | -208 | -4.76k | -524 | -283 | -65.6 | -152 | -0.526 | -4.76k | -524 | -314 | -65.6 | -270 | 206 |
| 78 | 5 | Max | -4.76k | -524 | -251 | -65.6 | -46.7 | -208 | -4.76k | -524 | -283 | -65.6 | -152 | -0.526 | -4.76k | -524 | -314 | -65.6 | -270 | 206 |
| 78 | 7 | Min | -5.73k | -654 | -830 | -119 | -226 | -251 | -5.73k | -654 | -861 | -119 | -539 | -8.05 | -5.73k | -654 | -893 | -119 | -886 | 148 |
| 78 | 7 | Max | -3.79k | -394 | 328 | -12.0 | 132 | -164 | -3.79k | -394 | 296 | -12.0 | 235 | 7.00 | -3.79k | -394 | 265 | -12.0 | 346 | 265 |
| 78 | 8 | Min | -6.69k | -782 | -1.40k | -172 | -403 | -295 | -6.69k | -782 | -1.44k | -172 | -923 | -15.5 | -6.69k | -782 | -1.47k | -172 | -1.50k | 89.3 |
| 78 | 8 | Max | -2.83k | -265 | 902 | 41.2 | 310 | -120 | -2.83k | -265 | 870 | 41.2 | 619 | 14.5 | -2.83k | -265 | 839 | 41.2 | 957 | 324 |
| 79 | 1 | Min | -14.9k | 3.99k | -2.74k | -2.81 | -743 | 155 | -14.9k | 3.99k | -2.74k | -2.81 | -738 | -10.0 | -14.9k | 3.99k | -2.75k | -2.81 | -734 | -227 |
| 79 | 1 | Max | -9.18k | 6.60k | 107 | 223 | 174 | 347 | -9.18k | 6.60k | 103 | 223 | 61.2 | 82.4 | -9.18k | 6.60k | 98.3 | 223 | -52.0 | -124 |
| 79 | 2 | Min | -10.9k | 3.08k | -1.94k | 7.85 | -520 | 123 | -10.9k | 3.08k | -1.94k | 7.85 | -522 | -3.50 | -10.9k | 3.08k | -1.95k | 7.85 | -524 | -165 |
| 79 | 2 | Max | -7.06k | 4.81k | -43.1 | 158 | 90.9 | 252 | -7.06k | 4.81k | -46.4 | 158 | 10.8 | 58.1 | -7.06k | 4.81k | -49.6 | 158 | -69.3 | -96.8 |
| 79 | 3 | Min | -7.51k | 3.02k | -1.05k | 57.9 | -250 | 142</ | | | | | | | | | | | | |

| | | | | | | | | | | | | | | | | | | | | |
|----|---|-----|--------|--------|--------|-------|--------|--------|--------|--------|--------|-------|--------|--------|--------|--------|--------|-------|-------|-------|
| 82 | 7 | Min | -2.04k | -580 | 2.78k | -104 | -592 | -248 | -2.04k | -580 | 2.76k | -104 | 443 | -37.4 | -2.04k | -580 | 2.73k | -104 | 1.46k | -136 |
| 82 | 7 | Max | 2.01k | 548 | 2.95k | 31.9 | -62.2 | 264 | 2.01k | 548 | 2.92k | 31.9 | 985 | 65.0 | 2.01k | 548 | 2.89k | 31.9 | 2.03k | 175 |
| 82 | 8 | Min | -4.04k | -1.14k | 2.70k | -172 | -855 | -502 | -4.04k | -1.14k | 2.67k | -172 | 174 | -88.2 | -4.04k | -1.14k | 2.64k | -172 | 1.18k | -290 |
| 82 | 8 | Max | 4.02k | 1.11k | 3.03k | 99.4 | 201 | 518 | 4.02k | 1.11k | 3.00k | 99.4 | 1.25k | 116 | 4.02k | 1.11k | 2.97k | 99.4 | 2.31k | 329 |
| 83 | 1 | Min | 25.0k | 41.4 | 1.90k | 36.6 | -564 | 6.45 | 25.0k | 41.4 | 1.79k | 36.6 | 848 | -14.7 | 25.0k | 41.4 | 1.68k | 36.6 | 1.91k | -87.0 |
| 83 | 1 | Max | 35.5k | 195 | 3.36k | 99.4 | 81.8 | 115 | 35.5k | 195 | 3.22k | 99.4 | 1.27k | 18.6 | 35.5k | 195 | 3.09k | 99.4 | 2.78k | -35.8 |
| 83 | 2 | Min | 19.0k | 37.7 | 1.47k | 29.9 | -397 | 9.62 | 19.0k | 37.7 | 1.39k | 29.9 | 647 | -9.60 | 19.0k | 37.7 | 1.30k | 29.9 | 1.45k | -62.9 |
| 83 | 2 | Max | 26.0k | 140 | 2.44k | 71.7 | 33.4 | 81.9 | 26.0k | 140 | 2.34k | 71.7 | 931 | 12.6 | 26.0k | 140 | 2.24k | 71.7 | 2.03k | -28.8 |
| 83 | 3 | Min | 17.2k | 65.7 | 1.49k | 37.6 | -202 | 32.7 | 17.2k | 65.7 | 1.41k | 37.6 | 602 | -0.834 | 17.2k | 65.7 | 1.34k | 37.6 | 1.33k | -39.9 |
| 83 | 3 | Max | 18.4k | 85.4 | 1.64k | 44.6 | -115 | 47.1 | 18.4k | 85.4 | 1.56k | 44.6 | 650 | 3.61 | 18.4k | 85.4 | 1.48k | 44.6 | 1.43k | -34.4 |
| 83 | 4 | Max | 17.3k | 75.6 | 1.55k | 41.1 | -158 | 39.9 | 17.3k | 75.6 | 1.48k | 41.1 | 614 | 1.39 | 17.3k | 75.6 | 1.40k | 41.1 | 1.35k | -37.1 |
| 83 | 5 | Max | 17.3k | 75.6 | 1.55k | 41.1 | -158 | 39.9 | 17.3k | 75.6 | 1.48k | 41.1 | 614 | 1.39 | 17.3k | 75.6 | 1.40k | 41.1 | 1.35k | -37.1 |
| 83 | 7 | Min | 15.8k | 0.693 | 1.08k | 19.1 | -482 | -13.7 | 15.8k | 0.693 | 1.00k | 19.1 | 532 | -15.4 | 15.8k | 0.693 | 0.924 | 19.1 | 1.19k | -59.9 |
| 83 | 7 | Max | 18.9k | 150 | 2.03k | 63.1 | 165 | 93.6 | 18.9k | 150 | 1.95k | 63.1 | 695 | 18.2 | 18.9k | 150 | 1.87k | 63.1 | 1.51k | -14.4 |
| 83 | 8 | Min | 14.3k | -73.6 | 608 | -2.64 | -803 | -66.9 | 14.3k | -73.6 | 531 | -2.64 | 451 | -32.1 | 14.3k | -73.6 | 454 | -2.64 | 1.03k | -82.4 |
| 83 | 8 | Max | 20.4k | 225 | 2.50k | 84.8 | 486 | 147 | 20.4k | 225 | 2.42k | 84.8 | 777 | 34.9 | 20.4k | 225 | 2.34k | 84.8 | 1.67k | 8.11 |
| 84 | 1 | Min | 25.1k | -199 | -3.09k | -101 | 1.90k | -87.8 | 25.1k | -199 | -3.22k | -101 | 859 | -14.8 | 25.1k | -199 | -3.35k | -101 | -540 | 6.49 |
| 84 | 1 | Max | 35.5k | -42.1 | -1.67k | -38.2 | 2.77k | -36.0 | 35.5k | -42.1 | -1.79k | -38.2 | 1.28k | 19.2 | 35.5k | -42.1 | -1.90k | -38.2 | 99.0 | 117 |
| 84 | 2 | Min | 19.1k | -143 | -2.24k | -73.0 | 1.45k | -63.5 | 19.1k | -143 | -2.34k | -73.0 | 655 | -9.64 | 19.1k | -143 | -2.44k | -73.0 | -379 | 9.74 |
| 84 | 2 | Max | 26.0k | -38.4 | -1.30k | -31.1 | 2.03k | -29.0 | 26.0k | -38.4 | -1.39k | -31.1 | 938 | 13.0 | 26.0k | -38.4 | -1.47k | -31.1 | 46.6 | 83.4 |
| 84 | 3 | Min | 17.2k | -87.4 | -1.48k | -45.6 | 1.32k | -40.3 | 17.2k | -87.4 | -1.56k | -45.6 | 608 | -0.706 | 17.2k | -87.4 | -1.64k | -45.6 | -187 | 33.2 |
| 84 | 3 | Max | 18.4k | -67.2 | -1.34k | -38.5 | 1.43k | -34.6 | 18.4k | -67.2 | -1.41k | -38.5 | 656 | 3.82 | 18.4k | -67.2 | -1.49k | -38.5 | -102 | 48.0 |
| 84 | 4 | Max | 17.4k | -77.3 | -1.40k | -42.0 | 1.34k | -37.5 | 17.4k | -77.3 | -1.47k | -42.0 | 619 | 1.56 | 17.4k | -77.3 | -1.55k | -42.0 | -145 | 40.6 |
| 84 | 5 | Max | 17.4k | -77.3 | -1.40k | -42.0 | 1.34k | -37.5 | 17.4k | -77.3 | -1.47k | -42.0 | 619 | 1.56 | 17.4k | -77.3 | -1.55k | -42.0 | -145 | 40.6 |
| 84 | 7 | Min | 15.9k | -154 | -1.87k | -63.6 | 1.18k | -60.5 | 15.9k | -154 | -1.95k | -63.6 | 539 | -15.6 | 15.9k | -154 | -2.03k | -63.6 | -465 | -14.0 |
| 84 | 7 | Max | 18.8k | -0.486 | -922 | -20.5 | 1.50k | -14.5 | 18.8k | -0.486 | -999 | -20.5 | 699 | 18.7 | 18.8k | -0.486 | -1.08k | -20.5 | 176 | 95.2 |
| 84 | 8 | Min | 14.5k | -230 | -2.35k | -84.9 | 1.03k | -83.3 | 14.5k | -230 | -2.42k | -84.9 | 459 | -32.5 | 14.5k | -230 | -2.50k | -84.9 | -783 | -68.1 |
| 84 | 8 | Max | 20.3k | 75.7 | -451 | 0.845 | 1.66k | 8.36 | 20.3k | 75.7 | -527 | 0.845 | 779 | 35.6 | 20.3k | 75.7 | -604 | 0.845 | 493 | 149 |
| 85 | 1 | Min | -1.83k | -559 | -5.78k | -22.0 | 2.40k | -129 | -1.83k | -559 | -5.82k | -22.0 | 842 | -29.4 | -1.83k | -559 | -5.86k | -22.0 | -748 | -247 |
| 85 | 1 | Max | 1.82k | 604 | -4.05k | 99.5 | 3.68k | 188 | 1.82k | 604 | -4.09k | 99.5 | 1.64k | -72.3 | 1.82k | 604 | -4.13k | 99.5 | -155 | 273 |
| 85 | 2 | Min | -1.22k | -370 | -4.23k | -11.2 | 1.83k | -83.2 | -1.22k | -370 | -4.26k | -11.2 | 660 | -17.7 | -1.22k | -370 | -4.29k | -11.2 | -537 | -163 |
| 85 | 2 | Max | 1.21k | 405 | -3.08k | 69.9 | 2.69k | 128 | 1.21k | 405 | -3.11k | 69.9 | 1.19k | 50.1 | 1.21k | 405 | -3.13k | 69.9 | -142 | 183 |
| 85 | 3 | Min | -257 | -60.0 | -2.99k | 18.2 | 1.72k | -0.846 | -257 | -60.0 | -3.02k | 18.2 | 702 | 7.20 | -257 | -60.0 | -3.05k | 18.2 | -329 | -27.0 |
| 85 | 3 | Max | 230 | 95.0 | -2.79k | 34.4 | 1.87k | 41.4 | 230 | 95.0 | -2.81k | 34.4 | 784 | 20.8 | 230 | 95.0 | -2.84k | 34.4 | -252 | 42.4 |
| 85 | 4 | Max | -13.5 | 17.5 | -2.82k | 26.3 | 1.76k | 20.3 | -13.5 | 17.5 | -2.85k | 26.3 | 740 | 14.0 | -13.5 | 17.5 | -2.88k | 26.3 | -291 | 7.68 |
| 85 | 5 | Max | -13.5 | 17.5 | -2.82k | 26.3 | 1.76k | 20.3 | -13.5 | 17.5 | -2.85k | 26.3 | 740 | 14.0 | -13.5 | 17.5 | -2.88k | 26.3 | -291 | 7.68 |
| 85 | 7 | Min | -1.94k | -555 | -2.90k | -41.3 | 1.48k | -137 | -1.94k | -555 | -2.92k | -41.3 | 467 | -35.9 | -1.94k | -555 | -2.95k | -41.3 | -557 | -247 |
| 85 | 7 | Max | 1.91k | 590 | -2.74k | 93.8 | 2.04k | 178 | 1.91k | 590 | -2.77k | 93.8 | 1.01k | 63.9 | 1.91k | 590 | -2.80k | 93.8 | -23.8 | 262 |
| 85 | 8 | Min | -3.84k | -1.12k | -2.97k | -108 | 1.19k | -294 | -3.84k | -1.12k | -3.00k | -108 | 197 | -85.4 | -3.84k | -1.12k | -3.03k | -108 | -822 | -500 |
| 85 | 8 | Max | 3.82k | 1.16k | -2.67k | 161 | 2.33k | 334 | 3.82k | 1.16k | -2.69k | 161 | 1.28k | 113 | 3.82k | 1.16k | -2.72k | 161 | 241 | 515 |
| 86 | 1 | Min | -16.5k | 220 | -14.0 | 20.3 | -1.55k | -7.93 | -16.5k | 220 | -37.1 | 20.3 | -1.01k | -89.6 | -16.5k | 220 | -60.2 | 20.3 | -741 | -202 |
| 86 | 1 | Max | -9.99k | 577 | 2.96k | 139 | -719 | 62.6 | -9.99k | 577 | 2.94k | 139 | -594 | -29.5 | -9.99k | 577 | 2.91k | 139 | -50.6 | -106 |
| 86 | 2 | Min | -12.1k | 179 | 120 | 20.5 | -1.13k | -2.84 | -12.1k | 179 | 102 | 20.5 | -734 | -64.7 | -12.1k | 179 | 83.9 | 20.5 | -529 | -147 |
| 86 | 2 | Max | -7.71k | 417 | 2.10k | 99.6 | -571 | 44.2 | -7.71k | 417 | 2.08k | 99.6 | -459 | -24.6 | -7.71k | 417 | 2.07k | 99.6 | -68.7 | -83.0 |
| 86 | 3 | Min | -8.28k | 227 | 768 | 44.6 | -729 | 13.6 | -8.28k | 227 | 750 | 44.6 | -500 | -40.6 | -8.28k | 227 | 733 | 44.6 | -308 | -87.7 |
| 86 | 3 | Max | -7.58k | 268 | 1.16k | 60.4 | -643 | 23.0 | -7.58k | 268 | 1.15k | 60.4 | -456 | -33.4 | -7.58k | 268 | 1.13k | 60.4 | -216 | -89.9 |
| 86 | 4 | Max | -7.83k | 248 | 966 | 52.5 | -686 | 18.3 | -7.83k | 248 | 949 | 52.5 | -472 | -37.0 | -7.83k | 248 | 931 | 52.5 | -262 | -92.4 |
| 86 | 5 | Max | -7.83k | 248 | 966 | 52.5 | -686 | 18.3 | -7.83k | 248 | 949 | 52.5 | -472 | -37.0 | -7.83k | 248 | 931 | 52.5 | -262 | -92.4 |
| 86 | 7 | Min | -9.96k | 138 | -298 | -11.4 | -1.03k | -24.8 | -9.96k | 138 | -316 | -11.4 | -598 | -63.7 | -9.96k | 138 | -334 | -11.4 | -563 | -121 |
| 86 | 7 | Max | -5.70k | 358 | 2.23k | 116 | -343 | 61.4 | -5.70k | 358 | 2.21k | 116 | -347 | -10.4 | -5.70k | 358 | 2.20k | 116 | 38.5 | -63.3 |
| 86 | 8 | Min | -12.1k | 28.5 | -1.55k | -74.8 | -1.37k | -67.6 | -12.1k | 28.5 | -1.57k | -74.8 | -722 | -90.1 | -12.1k | 28.5 | -1.59k | -74.8 | -861 | -150 |
| 86 | 8 | Max | -3.59k | 467 | 3.49k | 180 | -2.62 | 104 | -3.59k | 467 | 3.47k | 180 | -222 | 16.1 | -3.59k | 467 | 3.45k | 180 | 337 | -34.5 |
| 87 | 1 | Min | -15.7k | -5.15k | -60.2 | -135 | -752 | -202 | -15.7k | -5.15k | -64.7 | -135 | -754 | -26.6 | -15.7k | -5.15k | -69.1 | -135 | -757 | 105 |
| 87 | 1 | Max | -9.59k | -3.09k | 2.91k | 15.4 | -47.1 | -106 | -9.59k | -3.09k | 2.91k | 15.4 | 77.3 | 62.0 | -9.59k | -3.09k | 2.90k | 15.4 | 201 | 270 |
| 87 | 2 | Min | -11.4k | -3.76k | 83.9 | -95.6 | -536 | -147 | -11.4k | -3.76k | 80.5 | -95.6 | -533 | -16.2 | -11.4k | -3.76k | 77.1 | -95.6 | -530 | 85.7 |
| 87 | 2 | Max | -7.39k | -2.38k | 2.07k | 4.93 | -66.7 | -83.0 | -7.39k | -2.38k | 2.06k | 4.93 | 21.5 | 42.9 | -7.39k | -2.38k | 2.06k | 4.93 | 110 | 195 |
| 87 | 3 | Min | -7.88k | -2.57k | 733 | -50.0 | -311 | -97.7 | -7.88k | -2.57k | 729 | -50.0 | -280 | 5.67 | -7.88k | -2.57k | 726 | -50.0 | -249 | 106 |
| 87 | 3 | Max | -7.22k | -2.35k | 1.13k | -29.9 | -217 | -87.9 | -7.22k | -2.35k | 1.13k | -29.9 | -169 | 17.5 | -7.22k | -2.35k | 1.12k | -29.9 | -121 | 125 |
| 87 | 4 | Max | -7.45k | -2.43k | 931 | -39.9 | -264 | -92.4 | -7.45k | -2.43k | 927 | -39.9 | -225 | 11.6 | -7.45k | -2.43k | 924 | -39.9 | -185 | 116 |
| 87 | 5 | Max | -7.45k | -2.43k | 931 | -39.9 | -264 | -92.4 | -7.45k | -2.43k | 927 | -39.9 | -225 | 11.6 | -7.45k | -2.43k | 924 | -39.9 | -185 | 116 |
| 87 | 7 | Min | -9.48k | -3.08k | -334 | -114 | -563 | -121 | -9.48k | -3.08k | -337 | -114 | -578 | -24.8 | -9.48k | -3.08k | -341 | -114 | -592 | 55.8 |
| 87 | 7 | Max | -5.41k | -1.79k | 2.20k | 34.0 | 34.6 | -63.3 | -5.41k | -1.79k | 2.19k | 34.0 | 128 | 48.0 | -5.41k | -1.79k | 2.19k | 34.0 | 222 | 175 |
| 87 | 8 | Min | -11.5k | -3.72k | -1.59k | -187 | -860 | -150 | -11.5k | -3.72k | -1.59k | -187 | -928 | -60.9 | -11.5k | -3.72k | -1.60k | -187 | -996 | -3.47 |
| 87 | 8 | Max | -3.40k | -1.14k | 3.45k | 107 | 331 | -34.5 | -3.40k | -1.14k | 3.45k | 107 | 479 | 84.1 | -3.40k | -1.14k | 3.44k | 107 | 626 | 235 |
| 88 | 1 | Min | -9.87k | 564 | -232 | 33.8 | -1.16k | 217 | -9.87k | 564 | -272 | 33.8 | -714 | -7.09 | -9.87k | 564 | -313 | 33.8 | -287 | -457 |
| 88 | 1 | Max | -6.16k | 1.14k | 1.14k | 176 | 354 | 447 | -6.16k | 1.14k | 1.10k | 176 | 255 | -2.05 | -6.16k | 1.14k | 1.06k | 1 | | |

| | | | | | | | | | | | | | | | | | | | | |
|----|---|-----|--------|--------|--------|--------|--------|--------|--------|--------|--------|--------|--------|--------|--------|--------|--------|--------|--------|--------|
| 91 | 5 | Max | -4.89k | -662 | -392 | -75.9 | -111 | -224 | -4.89k | -662 | -420 | -75.9 | -254 | 9.45 | -4.89k | -662 | -449 | -75.9 | -407 | 243 |
| 91 | 7 | Min | -5.78k | -808 | -973 | -134 | -320 | -265 | -5.78k | -808 | -1.00k | -134 | -665 | -0.681 | -5.78k | -808 | -1.03k | -134 | -1.02k | 181 |
| 91 | 7 | Max | -3.99k | -516 | 189 | -17.7 | 99.0 | -182 | -3.99k | -516 | 160 | -17.7 | 157 | 19.6 | -3.99k | -516 | 132 | -17.7 | 208 | 305 |
| 91 | 8 | Min | -6.67k | -954 | -1.55k | -192 | -529 | -307 | -6.67k | -954 | -1.58k | -192 | -1.07k | -10.7 | -6.67k | -954 | -1.61k | -192 | -1.63k | 120 |
| 91 | 8 | Max | -3.11k | -370 | 765 | 40.1 | 307 | -141 | -3.11k | -370 | 737 | 40.1 | 564 | 29.6 | -3.11k | -370 | 709 | 40.1 | 819 | 366 |
| 92 | 1 | Min | -16.5k | 2.93k | -2.34k | 37.3 | -921 | 233 | -16.5k | 2.93k | -2.35k | 37.3 | -915 | -17.6 | -16.5k | 2.93k | -2.35k | 37.3 | -970 | -379 |
| 92 | 1 | Max | -10.6k | 4.79k | 216 | 149 | 27.2 | 459 | -10.6k | 4.79k | 207 | 149 | -173 | 59.1 | -10.6k | 4.79k | 198 | 149 | -374 | -235 |
| 92 | 2 | Min | -12.0k | 2.26k | -1.65k | 32.8 | -653 | 183 | -12.0k | 2.26k | -1.66k | 32.8 | -657 | -9.94 | -12.0k | 2.26k | -1.66k | 32.8 | -702 | -277 |
| 92 | 2 | Max | -8.10k | 3.50k | 52.1 | 108 | -21.4 | 334 | -8.10k | 3.50k | 45.3 | 108 | -163 | 41.2 | -8.10k | 3.50k | 38.5 | 108 | -304 | -181 |
| 92 | 3 | Min | -8.37k | 2.20k | -859 | 52.8 | -360 | 197 | -8.37k | 2.20k | -866 | 52.8 | -404 | 8.51 | -8.37k | 2.20k | -873 | 52.8 | -449 | -191 |
| 92 | 3 | Max | -7.72k | 2.40k | -519 | 67.0 | -233 | 220 | -7.72k | 2.40k | -526 | 67.0 | -307 | 18.7 | -7.72k | 2.40k | -532 | 67.0 | -381 | -175 |
| 92 | 4 | Max | -7.92k | 2.27k | -689 | 59.9 | -296 | 208 | -7.92k | 2.27k | -696 | 59.9 | -356 | 13.6 | -7.92k | 2.27k | -703 | 59.9 | -415 | -181 |
| 92 | 5 | Max | -7.92k | 2.27k | -689 | 59.9 | -296 | 208 | -7.92k | 2.27k | -696 | 59.9 | -356 | 13.6 | -7.92k | 2.27k | -703 | 59.9 | -415 | -181 |
| 92 | 7 | Min | -9.84k | 1.74k | -1.81k | -1.12 | -716 | 134 | -9.84k | 1.74k | -1.82k | -1.12 | -679 | -15.0 | -9.84k | 1.74k | -1.83k | -1.12 | -643 | -214 |
| 92 | 7 | Max | -5.99k | 2.80k | 435 | 121 | 123 | 282 | -5.99k | 2.80k | 428 | 121 | -32.2 | 42.2 | -5.99k | 2.80k | 421 | 121 | -188 | -147 |
| 92 | 8 | Min | -11.8k | 1.22k | -2.93k | -61.7 | -1.13k | 60.5 | -11.8k | 1.22k | -2.93k | -61.7 | -999 | -43.4 | -11.8k | 1.22k | -2.94k | -61.7 | -868 | -247 |
| 92 | 8 | Max | -4.08k | 3.33k | 1.55k | 181 | 539 | 355 | -4.08k | 3.33k | 1.54k | 181 | 288 | 70.6 | -4.08k | 3.33k | 1.54k | 181 | 37.5 | -114 |
| 93 | 1 | Min | -17.2k | -1.19k | -2.35k | -203 | -955 | -379 | -17.2k | -1.19k | -2.38k | -203 | -1.22k | -123 | -17.2k | -1.19k | -2.40k | -203 | -1.66k | 57.3 |
| 93 | 1 | Max | -10.8k | -689 | 198 | -71.1 | -377 | -235 | -10.8k | -689 | 175 | -71.1 | -706 | -64.2 | -10.8k | -689 | 152 | -71.1 | -767 | 163 |
| 93 | 2 | Min | -12.5k | -869 | -1.66k | -146 | -692 | -277 | -12.5k | -869 | -1.68k | -146 | -892 | -89.4 | -12.5k | -869 | -1.70k | -146 | -1.21k | 47.4 |
| 93 | 2 | Max | -8.33k | -534 | 38.5 | -58.8 | -306 | -181 | -8.33k | -534 | 20.7 | -58.8 | -546 | -50.2 | -8.33k | -534 | 2.91 | -58.8 | -609 | 118 |
| 93 | 3 | Min | -8.69k | -591 | -873 | -92.8 | -444 | -191 | -8.69k | -591 | -891 | -92.8 | -603 | -59.0 | -8.69k | -591 | -908 | -92.8 | -779 | 62.8 |
| 93 | 3 | Max | -8.00k | -538 | -532 | -77.3 | -378 | -175 | -8.00k | -538 | -550 | -77.3 | -548 | -53.0 | -8.00k | -538 | -568 | -77.3 | -686 | 75.3 |
| 93 | 4 | Max | -8.22k | -558 | -703 | -85.1 | -411 | -181 | -8.22k | -558 | -720 | -85.1 | -570 | -55.7 | -8.22k | -558 | -738 | -85.1 | -733 | 69.0 |
| 93 | 5 | Max | -8.22k | -558 | -703 | -85.1 | -411 | -181 | -8.22k | -558 | -720 | -85.1 | -570 | -55.7 | -8.22k | -558 | -738 | -85.1 | -733 | 69.0 |
| 93 | 7 | Min | -10.2k | -719 | -1.83k | -146 | -638 | -214 | -10.2k | -719 | -1.84k | -146 | -717 | -79.8 | -10.2k | -719 | -1.86k | -146 | -1.11k | 14.0 |
| 93 | 7 | Max | -6.23k | -398 | 421 | -23.9 | -184 | -147 | -6.23k | -398 | 403 | -23.9 | -423 | -31.7 | -6.23k | -398 | 385 | -23.9 | -355 | 124 |
| 93 | 8 | Min | -12.2k | -878 | -2.94k | -207 | -863 | -247 | -12.2k | -878 | -2.96k | -207 | -863 | -104 | -12.2k | -878 | -2.98k | -207 | -1.48k | -40.7 |
| 93 | 8 | Max | -4.25k | -239 | 1.54k | 36.8 | 41.3 | -114 | -4.25k | -239 | 1.52k | 36.8 | -276 | -7.75 | -4.25k | -239 | 1.50k | 36.8 | 19.0 | 179 |
| 94 | 1 | Min | 8.43k | -5.66 | 2.30k | -24.2m | -1.46k | -5.66 | 8.43k | -5.66 | 1.11k | -24.2m | -346 | -2.83 | 8.43k | -5.66 | 123 | -24.2m | 0.653 | 0 |
| 94 | 1 | Max | 12.0k | 6.50 | 3.02k | -10.2m | -1.12k | 6.50 | 12.0k | 6.50 | 1.45k | -10.2m | -268 | 3.25 | 12.0k | 6.50 | 148 | -10.2m | 0.871 | 0 |
| 94 | 2 | Min | 6.40k | -3.74 | 1.73k | -17.7m | -1.07k | -3.74 | 6.40k | -3.74 | 837 | -17.7m | -254 | -1.87 | 6.40k | -3.74 | 93.4 | -17.7m | 0.500 | 0 |
| 94 | 2 | Max | 8.77k | 4.37 | 2.21k | -8.32m | -845 | 4.37 | 8.77k | 4.37 | 1.06k | -8.32m | -203 | 2.18 | 8.77k | 4.37 | 110 | -8.32m | 0.646 | 0 |
| 94 | 3 | Min | 5.80k | -0.534 | 1.50k | -12.6m | -780 | -0.534 | 5.80k | -0.534 | 729 | -12.6m | -188 | -0.267 | 5.80k | -0.534 | 85.5 | -12.6m | 0.479 | 0 |
| 94 | 3 | Max | 6.22k | 1.09 | 1.60k | -10.8m | -736 | 1.09 | 6.22k | 1.09 | 772 | -10.8m | -178 | 0.543 | 6.22k | 1.09 | 88.7 | -10.8m | 0.504 | 0 |
| 94 | 4 | Max | 5.87k | 0.276 | 1.50k | -11.7m | -736 | 0.276 | 5.87k | 0.276 | 729 | -11.7m | -178 | 0.138 | 5.87k | 0.276 | 85.5 | -11.7m | 0.485 | 0 |
| 94 | 5 | Max | 5.87k | 0.276 | 1.50k | -11.7m | -736 | 0.276 | 5.87k | 0.276 | 729 | -11.7m | -178 | 0.138 | 5.87k | 0.276 | 85.5 | -11.7m | 0.485 | 0 |
| 94 | 7 | Min | 5.76k | -5.34 | 1.46k | -17.8m | -779 | -5.41 | 5.76k | -5.34 | 686 | -17.8m | -199 | -2.74 | 5.76k | -5.34 | 42.5 | -17.8m | 0.484 | -70.8m |
| 94 | 7 | Max | 5.97k | 5.89 | 1.55k | -5.54m | -693 | 5.96 | 5.97k | 5.89 | 772 | -5.54m | -156 | 3.02 | 5.97k | 5.89 | 129 | -5.54m | 0.487 | 70.8m |
| 94 | 8 | Min | 5.65k | -10.9 | 1.42k | -23.9m | -822 | -11.1 | 5.65k | -10.9 | 643 | -23.9m | -221 | -5.60 | 5.65k | -10.9 | -0.231 | -23.9m | 0.482 | -0.141 |
| 94 | 8 | Max | 6.08k | 11.5 | 1.59k | 0.54m | -650 | 11.6 | 6.08k | 11.5 | 814 | 0.54m | -135 | 5.87 | 6.08k | 11.5 | 171 | 0.54m | 0.489 | 0.141 |
| 95 | 1 | Min | 4.34k | 37.8 | 1.84k | -8.94 | -1.02k | 31.0 | 4.34k | 37.8 | 908 | -8.94 | -288 | 15.5 | 4.34k | 37.8 | 245 | -8.94 | 3.39 | 0 |
| 95 | 1 | Max | 7.27k | 146 | 2.41k | -7.03 | -781 | 120 | 7.27k | 146 | 1.18k | -7.03 | -223 | 59.9 | 7.27k | 146 | 310 | -7.03 | 4.34 | 0 |
| 95 | 2 | Min | 3.34k | 33.0 | 1.39k | -6.59 | -746 | 27.1 | 3.34k | 33.0 | 685 | -6.59 | -211 | 13.5 | 3.34k | 33.0 | 185 | -6.59 | 2.56 | 0 |
| 95 | 2 | Max | 5.30k | 105 | 1.77k | -5.32 | -589 | 86.3 | 5.30k | 105 | 867 | -5.32 | -168 | 43.2 | 5.30k | 105 | 229 | -5.32 | 3.20 | 0 |
| 95 | 3 | Min | 3.29k | 52.0 | 1.21k | -4.97 | -544 | 42.7 | 3.29k | 52.0 | 598 | -4.97 | -156 | 21.3 | 3.29k | 52.0 | 165 | -4.97 | 2.28 | 0 |
| 95 | 3 | Max | 3.60k | 65.7 | 1.28k | -4.73 | -514 | 53.9 | 3.60k | 65.7 | 633 | -4.73 | -147 | 26.9 | 3.60k | 65.7 | 173 | -4.73 | 2.40 | 0 |
| 95 | 4 | Max | 3.40k | 58.9 | 1.21k | -4.73 | -514 | 48.3 | 3.40k | 58.9 | 598 | -4.73 | -147 | 24.1 | 3.40k | 58.9 | 165 | -4.73 | 2.28 | 0 |
| 95 | 5 | Max | 3.40k | 58.9 | 1.21k | -4.73 | -514 | 48.3 | 3.40k | 58.9 | 598 | -4.73 | -147 | 24.1 | 3.40k | 58.9 | 165 | -4.73 | 2.28 | 0 |
| 95 | 7 | Min | 2.61k | 5.13 | 1.17k | -5.01 | -544 | 4.33 | 2.61k | 5.13 | 561 | -5.01 | -163 | 2.23 | 2.61k | 5.13 | 127 | -5.01 | 2.14 | -0.875 |
| 95 | 7 | Max | 4.18k | 113 | 1.24k | -4.45 | -483 | 92.2 | 4.18k | 113 | 636 | -4.45 | -132 | 46.0 | 4.18k | 113 | 202 | -4.45 | 2.42 | 0.875 |
| 95 | 8 | Min | 1.83k | -48.2 | 1.13k | -5.29 | -575 | -39.3 | 1.83k | -48.2 | 523 | -5.29 | -178 | -19.5 | 1.83k | -48.2 | 89.8 | -5.29 | 2.01 | -1.74 |
| 95 | 8 | Max | 4.96k | 166 | 1.28k | -4.17 | -453 | 136 | 4.96k | 166 | 673 | -4.17 | -117 | 67.8 | 4.96k | 166 | 239 | -4.17 | 2.55 | 1.74 |
| 96 | 1 | Min | 7.42k | -58.4 | 1.93k | -39.9 | -1.73k | -33.4 | 7.42k | -58.4 | 909 | -39.9 | -913 | -8.28 | 7.42k | -58.4 | -136 | -39.9 | -681 | -17.2 |
| 96 | 1 | Max | 10.0k | 58.4 | 2.61k | 39.1 | -1.24k | 33.1 | 10.0k | 58.4 | 1.25k | 39.1 | -603 | 7.94 | 10.0k | 58.4 | -49.5 | 39.1 | -404 | 16.8 |
| 96 | 2 | Min | 5.61k | -38.9 | 1.46k | -26.6 | -1.26k | -22.3 | 5.61k | -38.9 | 688 | -26.6 | -668 | -5.53 | 5.61k | -38.9 | -97.6 | -26.6 | -497 | -11.5 |
| 96 | 2 | Max | 7.33k | 39.0 | 1.91k | 26.0 | -941 | 22.0 | 7.33k | 39.0 | 919 | 26.0 | -461 | 5.28 | 7.33k | 39.0 | -39.8 | 26.0 | -312 | 11.2 |
| 96 | 3 | Min | 4.95k | -7.76 | 1.28k | -5.53 | -902 | -4.53 | 4.95k | -7.76 | 612 | -5.53 | -468 | -1.19 | 4.95k | -7.76 | -55.2 | -5.53 | -340 | -2.39 |
| 96 | 3 | Max | 5.27k | 7.82 | 1.36k | 5.00 | -844 | 4.33 | 5.27k | 7.82 | 654 | 5.00 | -434 | 0.971 | 5.27k | 7.82 | -46.5 | 5.00 | -310 | 2.14 |
| 96 | 4 | Max | 4.97k | 28.7m | 1.28k | -0.263 | -851 | -97.5m | 4.97k | 28.7m | 616 | -0.263 | -443 | -0.110 | 4.97k | 28.7m | -50.8 | -0.263 | -321 | -0.122 |
| 96 | 5 | Max | 4.97k | 28.7m | 1.28k | -0.263 | -851 | -97.5m | 4.97k | 28.7m | 616 | -0.263 | -443 | -0.110 | 4.97k | 28.7m | -50.8 | -0.263 | -321 | -0.122 |
| 96 | 7 | Min | 4.95k | -54.5 | 1.28k | -38.3 | -931 | -31.2 | 4.95k | -54.5 | 609 | -38.3 | -526 | -7.80 | 4.95k | -54.5 | -58.6 | -38.3 | -408 | -15.9 |
| 96 | 7 | Max | 4.99k | 54.5 | 1.29k | 37.7 | -771 | 31.0 | 4.99k | 54.5 | 624 | 37.7 | -360 | 7.58 | 4.99k | 54.5 | -43.1 | 37.7 | -235 | 15.6 |
| 96 | 8 | Min | 4.93k | -109 | 1.27k | -75.9 | -1.01k | -62.1 | 4.93k | -109 | 601 | -75.9 | -608 | -15.4 | 4.93k | -109 | -66.2 | -75.9 | -494 | -31.5 |
| 96 | 8 | Max | 5.02k | 109 | 1.30k | 75.4 | -692 | 61.9 | 5.02k | 109 | 632 | 75.4 | -277 | 15.2 | 5.02k | 109 | -35.5 | 75.4 | -149 | 31.2 |
| 97 | 1 | Min | 3.39k | 111 | -284 | 234 | -963 | 45.2 | 3.39k | 111 | -1.40k | 234 | -1.14k | -2.56 | 3.39k | 111 | -2.75k | 234 | -1.98k | -106 |
| 97 | 1 | Max | 5.29k | 316 | 584 | 387 | -509 | 166 | 5.29k | 316 | -440 | 387 | | | | | | | | |

| | | | | | | | | | | | | | |
|----|---|--------|--------|-------|--------|--------|-------|--------|-------|-------|--------|--------|-------|
| 7 | 8 | -2.32k | -4.50k | 38.3k | -11.2k | -19.2k | -112 | 5.77k | 3.42k | 48.0k | 3.66k | -3.16k | 266 |
| 11 | 1 | -6.82k | -6.26k | 57.2k | -10.1k | 10.4k | -370 | 1.54k | 4.62k | 68.5k | 162 | 18.8k | 139 |
| 11 | 2 | -4.78k | -4.24k | 43.6k | -7.22k | 8.31k | -257 | 794 | 3.01k | 51.1k | -362 | 13.9k | 82.7 |
| 11 | 3 | -2.29k | -1.26k | 42.9k | -4.45k | 10.6k | -110 | -1.17k | 186 | 43.9k | -3.08k | 11.7k | -41.7 |
| 11 | 4 | -1.73k | -539 | 43.2k | -3.76k | 11.2k | -75.6 | -1.73k | -539 | 43.2k | -3.76k | 11.2k | -75.6 |
| 11 | 5 | -1.73k | -539 | 41.0k | -3.52k | 10.2k | -75.6 | -1.73k | -539 | 41.0k | -3.52k | 10.2k | -75.6 |
| 11 | 7 | -3.76k | -2.54k | 40.8k | -7.52k | 7.15k | -167 | 307 | 1.46k | 45.7k | -4.41 | 15.2k | 16.1 |
| 11 | 8 | -5.78k | -4.52k | 38.3k | -11.2k | 3.14k | -258 | 2.33k | 3.44k | 48.1k | 3.72k | 19.2k | 107 |
| 21 | 1 | -1.50k | -4.60k | 54.5k | -1.29k | -18.1k | -364 | 6.67k | 6.25k | 65.3k | 9.02k | -9.79k | 151 |
| 21 | 2 | -775 | -2.99k | 41.5k | -495 | -13.3k | -252 | 4.67k | 4.24k | 48.8k | 6.38k | -7.82k | 91.6 |
| 21 | 3 | 1.15k | -181 | 40.9k | 2.25k | -11.2k | -104 | 2.23k | 1.27k | 41.9k | 3.62k | -10.1k | -35.4 |
| 21 | 4 | 1.69k | 542 | 41.3k | 2.93k | -10.7k | -69.8 | 1.69k | 542 | 41.3k | 2.93k | -10.7k | -69.8 |
| 21 | 5 | 1.69k | 542 | 39.2k | 2.74k | -9.69k | -69.8 | 1.69k | 542 | 39.2k | 2.74k | -9.69k | -69.8 |
| 21 | 7 | -278 | -1.44k | 38.8k | -834 | -14.6k | -119 | 3.66k | 2.53k | 43.7k | 6.70k | -6.75k | -20.2 |
| 21 | 8 | -2.23k | -3.42k | 36.4k | -4.57k | -18.5k | -168 | 5.61k | 4.50k | 46.1k | 10.4k | -2.87k | 28.9 |
| 25 | 1 | -6.67k | -4.62k | 54.6k | -1.33k | 9.77k | -147 | 1.51k | 6.25k | 65.4k | 8.99k | 18.1k | 357 |
| 25 | 2 | -4.67k | -3.01k | 41.6k | -526 | 7.81k | -88.6 | 779 | 4.24k | 48.8k | 6.35k | 13.3k | 247 |
| 25 | 3 | -2.23k | -186 | 41.0k | 2.22k | 10.1k | 35.4 | -1.14k | 1.26k | 42.0k | 3.59k | 11.2k | 103 |
| 25 | 4 | -1.69k | 539 | 41.3k | 2.91k | 10.7k | 68.9 | -1.69k | 539 | 41.3k | 2.91k | 10.7k | 68.9 |
| 25 | 5 | -1.69k | 539 | 39.2k | 2.72k | 9.68k | 68.9 | -1.69k | 539 | 39.2k | 2.72k | 9.68k | 68.9 |
| 25 | 7 | -3.66k | -1.46k | 38.9k | -880 | 6.74k | 22.4 | 285 | 2.54k | 43.8k | 6.69k | 14.6k | 115 |
| 25 | 8 | -5.62k | -3.44k | 36.4k | -4.64k | 2.85k | -23.7 | 2.24k | 4.52k | 46.2k | 10.4k | 18.5k | 162 |

Suffissi: f=10⁻¹⁵; p=10⁻¹²; n=10⁻⁹; μ=10⁻⁶; m=10⁻³; k=10³; M=10⁶; G=10⁹; T=10¹²; P=10¹⁵ (Sistema Internazionale di misura)

– Spostamenti Nodi analisi lineare

– Spostamenti Nodi. Famiglia Cmb. 1) Fondamentale

| Nodo Nodo FEM | Piano | Filo | Min. | | | | | | | | | | Max. | | | | | |
|---------------------|-------|------|---------|---------|--------|----------|--------|--------|--------|-----------|-----------|-----------|--------|--------|--------|-----------|-----------|-----------|
| | | | x[m] | y[m] | z[m] | Fam.Cmb. | sx [m] | sy [m] | sz [m] | rot x [°] | rot y [°] | rot z [°] | sx [m] | sy [m] | sz [m] | rot x [°] | rot y [°] | rot z [°] |
| 38 | 0 | 1 | 1.0200 | -1.6900 | 0.0000 | 1 | -3.30μ | -8.57μ | -7.68m | 0.193 | 0.227 | 0 | 3.30μ | 8.57μ | -7.39m | 0.201 | 0.237 | 0 |
| 41 | 0 | 2 | 2.0300 | -1.8600 | 0.0000 | 1 | -3.34μ | -10.7μ | -11.9m | 0.255 | 0 | 0 | 3.34μ | 10.7μ | -11.4m | 0.265 | 0 | 0 |
| 44 | 0 | 3 | 3.0500 | -1.6900 | 0.0000 | 1 | -3.31μ | -8.55μ | -7.64m | 0.193 | -0.237 | 0 | 3.31μ | 8.55μ | -7.35m | 0.2 | -0.228 | 0 |
| 32 | 0 | 4 | 0.0000 | -1.0600 | 0.0000 | 1 | -3.03μ | -1.97μ | -0.82m | 0.051 | 0.054 | 0 | 3.03μ | 1.97μ | -0.79m | 0.053 | 0.056 | 0 |
| 47 | 0 | 5 | 4.0600 | -1.0600 | 0.0000 | 1 | -3.04μ | -2.01μ | -0.83m | 0.051 | -0.059 | 0 | 3.04μ | 2.01μ | -0.80m | 0.053 | -0.057 | 0 |
| 0 | 0 | 6 | -0.7200 | 0.0000 | 0.0000 | 1 | -0.58μ | -1.51μ | -74.0μ | -0.003 | -0.008 | 0 | 0.58μ | 1.51μ | -71.8μ | -0.003 | -0.007 | 0 |
| 2 | 0 | 7 | 0.0000 | 0.0000 | 0.0000 | 1 | 0 | 0 | 0 | 0 | 0 | 0 | 0 | 0 | 0 | 0 | 0 | |
| 78 | 0 | 8 | 1.0200 | 0.0000 | 0.0000 | 1 | -1.36μ | -7.74μ | -2.40m | 0.096 | 0.159 | 0 | 1.36μ | 7.74μ | -2.30m | 0.1 | 0.166 | 0 |
| 80 | 0 | 9 | 2.0300 | 0.0000 | 0.0000 | 1 | -1.66μ | -10.5μ | -4.19m | 0.143 | 0 | 0 | 1.66μ | 10.5μ | -4.01m | 0.148 | 0 | 0 |
| 82 | 0 | 10 | 3.0500 | 0.0000 | 0.0000 | 1 | -1.35μ | -7.70μ | -2.37m | 0.096 | -0.167 | 0 | 1.35μ | 7.70μ | -2.27m | 0.099 | -0.16 | 0 |
| 7 | 0 | 11 | 4.0600 | 0.0000 | 0.0000 | 1 | 0 | 0 | 0 | 0 | 0 | 0 | 0 | 0 | 0 | 0 | 0 | |
| 74 | 0 | 12 | 4.7800 | 0.0000 | 0.0000 | 1 | -0.58μ | -1.53μ | -75.5μ | -0.003 | 0.007 | 0 | 0.58μ | 1.53μ | -73.2μ | -0.003 | 0.008 | 0 |
| 11 | 0 | 13 | -0.9500 | 1.1600 | 0.0000 | 1 | -3.84μ | -1.16μ | -0.38m | 0 | -0.006 | 0 | 3.84μ | 1.16μ | -0.37m | 0 | -0.006 | 0 |
| 9 | 0 | 14 | 0.0000 | 1.1600 | 0.0000 | 1 | -3.40μ | -1.13μ | -0.43m | 0 | 0.031 | 0 | 3.40μ | 1.13μ | -0.42m | 0 | 0.032 | 0 |
| 79 | 0 | 15 | 1.0200 | 1.1600 | 0.0000 | 1 | -2.59μ | -7.25μ | -1.69m | 0.002 | 0.081 | 0 | 2.59μ | 7.25μ | -1.61m | 0.002 | 0.085 | 0 |
| 3 | 0 | 16 | 2.0300 | 1.1600 | 0.0000 | 1 | -2.41μ | -9.90μ | -2.65m | 0.004 | 0 | 0 | 2.41μ | 9.90μ | -2.53m | 0.004 | 0 | 0 |
| 2 | 0 | 17 | 3.0500 | 1.1600 | 0.0000 | 1 | -2.59μ | -7.21μ | -1.66m | 0.002 | -0.085 | 0 | 2.59μ | 7.21μ | -1.59m | 0.002 | -0.082 | 0 |
| 85 | 0 | 18 | 4.0600 | 1.1600 | 0.0000 | 1 | -3.39μ | -1.12μ | -0.43m | 0 | -0.032 | 0 | 3.39μ | 1.12μ | -0.41m | 0 | -0.03 | 0 |
| 71 | 0 | 19 | 5.0200 | 1.1600 | 0.0000 | 1 | -3.82μ | -1.16μ | -0.40m | 0 | 0.008 | 0 | 3.82μ | 1.16μ | -0.39m | 0 | 0.008 | 0 |
| 21 | 0 | 20 | -0.7200 | 2.3300 | 0.0000 | 1 | -0.54μ | -1.37μ | -75.2μ | 0.002 | -0.008 | 0 | 0.54μ | 1.37μ | -72.8μ | 0.002 | -0.007 | 0 |
| 23 | 0 | 21 | 0.0000 | 2.3300 | 0.0000 | 1 | 0 | 0 | 0 | 0 | 0 | 0 | 0 | 0 | 0 | 0 | 0 | |
| 81 | 0 | 22 | 1.0200 | 2.3300 | 0.0000 | 1 | -1.24μ | -7.83μ | -2.30m | -0.09 | 0.153 | 0 | 1.24μ | 7.83μ | -2.20m | -0.087 | 0.159 | 0 |
| 83 | 0 | 23 | 2.0300 | 2.3300 | 0.0000 | 1 | -1.53μ | -10.6μ | -4.00m | -0.135 | 0 | 0 | 1.53μ | 10.6μ | -3.84m | -0.13 | 0 | 0 |
| 84 | 0 | 24 | 3.0500 | 2.3300 | 0.0000 | 1 | -1.23μ | -7.77μ | -2.27m | -0.089 | -0.159 | 0 | 1.23μ | 7.77μ | -2.17m | -0.086 | -0.153 | 0 |
| 28 | 0 | 25 | 4.0600 | 2.3300 | 0.0000 | 1 | 0 | 0 | 0 | 0 | 0 | 0 | 0 | 0 | 0 | 0 | 0 | |
| 68 | 0 | 26 | 4.7800 | 2.3300 | 0.0000 | 1 | -0.53μ | -1.34μ | -76.3μ | 0.002 | 0.008 | 0 | 0.53μ | 1.34μ | -73.8μ | 0.002 | 0.008 | 0 |
| 54 | 0 | 27 | 0.0000 | 3.3000 | 0.0000 | 1 | -2.59μ | -1.69μ | -0.56m | -0.038 | 0.042 | 0 | 2.59μ | 1.69μ | -0.54m | -0.037 | 0.043 | 0 |
| 16 | 0 | 28 | 4.0600 | 3.3000 | 0.0000 | 1 | -2.60μ | -1.55μ | -0.57m | -0.039 | -0.046 | 0 | 2.60μ | 1.55μ | -0.55m | -0.037 | -0.044 | 0 |
| 57 | 0 | 29 | 1.0200 | 3.9300 | 0.0000 | 1 | -2.84μ | -8.59μ | -6.74m | -0.178 | 0.21 | 0 | 2.84μ | 8.59μ | -6.49m | -0.171 | 0.219 | 0 |
| 60 | 0 | 30 | 2.0300 | 4.1100 | 0.0000 | 1 | -2.89μ | -10.8μ | -10.7m | -0.24 | 0 | 0 | 2.89μ | 10.8μ | -10.3m | -0.231 | 0 | 0 |
| 63 | 0 | 31 | 3.0500 | 3.9300 | 0.0000 | 1 | -2.85μ | -8.53μ | -6.70m | -0.177 | -0.219 | 0 | 2.85μ | 8.53μ | -6.45m | -0.171 | -0.21 | 0 |
| 33 | 0 | 32 | 0.0000 | -0.5000 | 0.0000 | 1 | -3.13μ | -1.50μ | -0.30m | 0.045 | 0.056 | 0 | 3.13μ | 1.50μ | -0.29m | 0.047 | 0.058 | 0 |
| 13 | 0 | 33 | 0.3000 | -0.8600 | 0.0000 | 1 | -3.60μ | -5.53μ | -1.42m | 0.046 | 0.233 | -0.001 | 3.60μ | 5.53μ | -1.37m | 0.047 | 0.242 | 0.001 |
| 39 | 0 | 34 | 1.0200 | -0.8600 | 0.0000 | 1 | -3.06μ | -8.98μ | -4.79m | 0.179 | 0.229 | 0 | 3.06μ | 8.98μ | -4.61m | 0.186 | 0.239 | 0 |
| 42 | 0 | 35 | 2.0300 | -0.8600 | 0.0000 | 1 | -2.90μ | -11.6μ | -7.30m | 0.233 | 0 | 0 | 2.90μ | 11.6μ | -7.02m | 0.241 | 0 | 0 |
| 45 | 0 | 36 | 3.0500 | -0.8600 | 0.0000 | 1 | -3.07μ | -8.96μ | -4.76m | 0.179 | -0.239 | 0 | 3.07μ | 8.96μ | -4.57m | 0.186 | -0.23 | 0 |
| 56 | 0 | 37 | 3.7800 | -0.8600 | 0.0000 | 1 | -3.59μ | -5.32μ | -1.35m | 0.041 | -0.238 | -0.001 | 3.59μ | 5.32μ | -1.30m | 0.043 | -0.229 | 0.001 |
| 48 | 0 | 38 | 4.0600 | -0.5200 | 0.0000 | 1 | -3.19μ | -1.56μ | -0.32m | 0.046 | -0.061 | 0 | 3.19μ | 1.56μ | -0.31m | 0.048 | -0.059 | 0 |
| 1 | 0 | 39 | -0.3500 | 0.0000 | 0.0000 | 1 | -0.53μ | -2.67μ | -17.5μ | -0.006 | -0.004 | 0 | 0.53μ | 2.67μ | -17.2μ | -0.006 | -0.004 | 0 |
| 11 | 0 | 40 | -0.2900 | -0.1600 | 0.0000 | 1 | -1.43μ | -2.23μ | 2.47μ | -0.002 | 0.013 | 0 | 1.43μ | 2.23μ | 2.71μ | -0.002 | 0.014 | 0 |
| 53 | 0 | 41 | 4.3600 | -0.1600 | 0.0000 | 1 | -1.44μ | -2.28μ | 2.65μ | -0.002 | -0.014 | 0 | 1.44μ | 2.28μ | 2.91μ | -0.002 | -0.014 | 0 |
| 9 | 0 | 42 | 4.4100 | 0.0000 | 0.0000 | 1 | -0.53μ | -2.66μ | -18.2μ | -0.006 | 0.004 | 0 | 0.53μ | 2.66μ | -17.9μ | -0.006 | 0.005 | 0 |
| 10 | 0 | 43 | -0.5700 | 0.6700 | 0.0000 | 1 | -19.0μ | -2.99μ | -0.25m | -0.017 | -0.01 | -0.001 | 19.0μ | 2.99μ | -0.25m | -0.016 | -0.01 | 0.001 |
| 12 | 0 | 44 | -0.5700 | 1.1600 | 0.0000 | 1 | -4.18μ | -2.91μ | -0.33m | 0 | -0.001 | 0 | 4.18μ | 2.91μ | -0.32m | 0 | 0 | 0 |
| 54 | 0 | 45 | 4.6300 | 0.6700 | 0.0000 | 1 | -19.0μ | -2.97μ | -0.26m | -0.017 | 0.011 | -0.001 | 19.0μ | 2.97μ | -0.25m | -0.016 | 0.011 | 0.001 |
| 20 | 0 | 46 | 4.6300 | 1.1600 | 0.0000 | 1 | -4.18μ | -2.89μ | -0.34m | 0 | 0.002 | 0 | 4.18μ | 2.89μ | -0.33m | 0 | 0.002 | 0 |
| 31 | 0 | 47 | -0.5700 | 1.5800 | 0.0000 | 1 | -17.3μ | -2.96μ | -0.27m | 0.014 | -0.01 | -0.001 | 17.3μ | 2.96μ | -0.27m | 0.014 | -0.01 | 0.001 |
| 69 | 0 | 48 | 4.6300 | 1.5800 | 0.0000 | 1 | -17.3μ | -2.94μ | -0.28m | 0.014 | 0.011 | -0.001 | 17.3μ | 2.94μ | -0.28m | 0.015 | 0.011 | 0.001 |
| 22 | 0 | 49 | -0.3200 | 2.3300 | 0.0000 | 1 | -0.46μ | -2.37μ | -14.4μ | 0.005 | -0.004 | 0 | 0.46μ | 2.37μ | -14.2μ | 0.005 | -0.004 | 0 |
| 30 | 0 | 50 | -0.2900 | 2.4100 | 0.0000 | 1 | -0.67μ | -2.27μ | -3.69μ | 0.004 | 0.001 | 0 | 0.67μ | 2.27μ | -3.68μ | 0.004 | 0.001 | 0 |
| 36 | 0 | 51 | 0.0000 | 2.7500 | 0.0000 | 1 | -2.58μ | -1.20μ | -0.19m | -0.033 | 0.044 | 0 | 2.58μ | 1.20μ | -0.18m | -0.031 | 0.045 | 0 |
| 15 | 0 | 52 | 4.0600 | 2.7700 | 0.0000 | 1 | -2.64μ | -1.19μ | -0.20m | -0.034 | -0.048 | 0 | 2.64μ | 1.19μ | -0.19m | -0.033 | -0.046 | 0 |
| 70 | 0 | 53 | 4.3600 | 2.4100 | 0.0000 | 1 | -0.66μ | -2.30μ | -4.34μ | 0.004 | -0.001 | 0 | 0.66μ | 2.30μ | -4.34μ | 0.004 | -0.001 | 0 |
| 30 | 0 | 54 | 4.3800 | 2.3300 | 0.0000 | 1 | -0.47μ | -2.37μ | -14.9μ | 0.005 | 0.004 | 0 | 0.47μ | 2.37μ | -14.7μ | 0.005 | 0.004 | 0 |
| 33 | 0 | 55 | 0.3000 | 3.1100 | 0.0000 | 1 | -3.17μ | -5.24μ | -1.12m | -0.032 | 0.212 | -0.001 | 3.17μ | 5.24μ | -1.08m | -0.031 | 0.221 | 0.001 |
| 40 | 0 | 56 | 1.0200 | 3.1100 | 0.0000 | 1 | -2.63μ | -9.00μ | -4.22m | -0.164 | 0.212 | 0 | 2.63μ | 9.00μ | -4.06m | -0.158 | 0.221 | 0 |
| 43 | 0 | 57 | 2.0300 | 3.1100 | 0.0000 | 1 | -2.51μ | -11.6μ | -6.55m | -0.216 | 0 | 0 | 2.51μ | 11.6μ | -6.29m | -0.209 | 0 | 0 |
| 46 | 0 | 58 | 3.0500 | 3.1100 | 0.0000 | 1 | -2.64μ | -8.95μ | -4.18m | -0.163 | -0.221 | 0 | 2.64μ | 8.95μ | -4.02m | -0.157 | -0.212 | 0 |
| 40 | 0 | 59 | 3.7800 | 3.1100 | 0.0000 | 1 | -3.16μ | -4.97μ | -1.06m | -0.028 | -0.217 | -0.001 | 3.16μ | 4.97μ | -1.02m | -0.027 | -0.208 | 0.001 |
| 177 | 1 | 1 | 1.0200 | -1.6900 | 2.9200 | 1 | -4.11m | -4.81m | -11.9m | 0.145 | 0.129 | -0.017 | 4.24m | 4.99m | -7.12m | 0.269 | 0.179 | -0.009 |
| 180 | 1 | 2 | 2.0300 | -1.8600 | 2.9200 | 1 | -4.16m | -4.84m | -14.4m | 0.142 | -0.018 | -0.001 | 4.19m | 4.46m | -9.21m | 0.242 | 0.017 | 0.002 |
| 183 | 1 | 3 | 3.0500 | -1.6900 | 2.9200 | 1 | -4.21m | -4.81m | -11.8m | 0.145 | -0.181 | 0.009 | 4.14m | 4.49m | -7.06m | 0.269 | -0.131 | 0.017 |
| 171 | 1 | 4 | 0.0000 | -1.0600 | 2.9200 | 1 | -4.02m | -4.80m | -3.53m | 0.077 | 0.087 | -0.007 | 4.31m | 4.48m | -1.07m | 0.207 | 0.224 | -0.001 |
| 186 | 1 | 5 | 4.0600 | -1.0600 | 2.9200 | 1 | -4.28m | -4.80m | -3.53m | 0.076 | -0.224 | 0.001 | 4.05m | 4.49m | -1.06m | 0.206 | -0.09 | 0.007 |
| 143 | 1 | 6 | -0.7200 | 0.0000 | 2.9200 | 1 | -4.07m | -4.80m | 0.35m | 0.006 | 0.04 | 0.013 | 4.22m | 4.46m | 2.29m | 0.103 | 0.193 | 0.021 |
| 139 | 1 | 7 | 0.0000 | 0.0000 | 2.9200 | 1 | -4.07m | -4.79m | -0.13m | -0.041 | 0.019 | -0.005 | 4.21m | 4.48m | -80.1μ | 0.116 | 0.185 | -0.001 |
| 119 | 1 | 8 | 1.0200 | 0.0000 | 2.9200 | 1 | -4.09m | -4.77m | -5.86m | 0.017 | 0.234 | 0.003 | 4.20m | 4.52m | -3.75m | 0.076 | 0.332 | 0.002 |

| | | | | | | | | | | | | | | | | | | |
|-----|---|----|---------|---------|--------|---|--------|--------|--------|--------|--------|--------|-------|-------|--------|--------|--------|--------|
| 121 | 1 | 9 | 2.0300 | 0.0000 | 2.9200 | 1 | -4.13m | -4.77m | -8.90m | 0.008 | -0.034 | 0 | 4.16m | 4.53m | -6.34m | 0.053 | 0.033 | 0 |
| 169 | 1 | 10 | 3.0500 | 0.0000 | 2.9200 | 1 | -4.17m | -4.78m | -5.78m | 0.017 | -0.333 | -0.008 | 4.12m | 4.52m | -3.70m | 0.076 | -0.236 | -0.003 |
| 140 | 1 | 11 | 4.0600 | 0.0000 | 2.9200 | 1 | -4.18m | -4.80m | -0.13m | -0.042 | -0.184 | 0.001 | 4.10m | 4.48m | -80.2μ | 0.115 | -0.018 | 0.005 |
| 213 | 1 | 12 | 4.7800 | 0.0000 | 2.9200 | 1 | -4.19m | -4.81m | 0.33m | 0.006 | -0.19 | -0.021 | 4.10m | 4.47m | 2.26m | 0.103 | -0.038 | -0.014 |
| 152 | 1 | 13 | -0.9500 | 1.1600 | 2.9200 | 1 | -4.08m | -4.76m | 1.21m | -0.016 | 0.082 | -0.02 | 4.16m | 4.50m | 3.65m | 0.013 | 0.23 | 0.03 |
| 98 | 1 | 14 | 0.0000 | 1.1600 | 2.9200 | 1 | -4.09m | -4.77m | -0.54m | -0.042 | 0.135 | -0.008 | 4.16m | 4.50m | -0.36m | 0.037 | 0.282 | 0.006 |
| 120 | 1 | 15 | 1.0200 | 1.1600 | 2.9200 | 1 | -4.10m | -4.78m | -5.86m | 0.003 | 0.199 | -0.001 | 4.15m | 4.52m | -3.82m | 0.004 | 0.269 | 0.001 |
| 1 | 1 | 16 | 2.0300 | 1.1600 | 2.9200 | 1 | -4.11m | -4.78m | -8.34m | -0.004 | -0.035 | -0.001 | 4.14m | 4.52m | -6.35m | 0.019 | 0.034 | 0.001 |
| 0 | 1 | 17 | 3.0500 | 1.1600 | 2.9200 | 1 | -4.12m | -4.78m | -5.80m | 0.003 | -0.27 | -0.001 | 4.13m | 4.52m | -3.77m | 0.004 | -0.201 | 0.001 |
| 172 | 1 | 18 | 4.0600 | 1.1600 | 2.9200 | 1 | -4.13m | -4.77m | -0.54m | -0.042 | -0.279 | -0.006 | 4.12m | 4.51m | -0.36m | 0.037 | -0.133 | 0.008 |
| 210 | 1 | 19 | 5.0200 | 1.1600 | 2.9200 | 1 | -4.13m | -4.77m | 1.18m | -0.017 | -0.226 | -0.03 | 4.11m | 4.51m | 3.63m | 0.013 | -0.078 | 0.02 |
| 162 | 1 | 20 | -0.7200 | 2.3300 | 2.9200 | 1 | -4.02m | -4.73m | 0.31m | -0.094 | 0.034 | -0.014 | 4.17m | 4.54m | 2.23m | 0.006 | 0.186 | -0.005 |
| 141 | 1 | 21 | 0.0000 | 2.3300 | 2.9200 | 1 | -4.02m | -4.74m | -0.12m | -0.105 | 0.018 | 0.001 | 4.16m | 4.53m | -74.9μ | 0.051 | 0.182 | 0.002 |
| 173 | 1 | 22 | 1.0200 | 2.3300 | 2.9200 | 1 | -4.04m | -4.78m | -5.60m | -0.058 | 0.221 | -0.007 | 4.15m | 4.52m | -3.57m | -0.003 | 0.315 | -0.005 |
| 174 | 1 | 23 | 2.0300 | 2.3300 | 2.9200 | 1 | -4.08m | -4.79m | -8.47m | -0.034 | -0.033 | -0.002 | 4.11m | 4.52m | -6.01m | 0.009 | 0.032 | 0.002 |
| 181 | 1 | 24 | 3.0500 | 2.3300 | 2.9200 | 1 | -4.12m | -4.78m | -5.53m | -0.058 | -0.316 | 0.005 | 4.07m | 4.52m | -3.52m | -0.003 | -0.223 | 0.007 |
| 142 | 1 | 25 | 4.0600 | 2.3300 | 2.9200 | 1 | -4.13m | -4.74m | -0.12m | -0.105 | -0.181 | -0.002 | 4.05m | 4.54m | -75.0μ | 0.052 | -0.017 | -0.001 |
| 207 | 1 | 26 | 4.7800 | 2.3300 | 2.9200 | 1 | -4.14m | -4.74m | 0.30m | -0.093 | -0.183 | 0.005 | 4.05m | 4.55m | 2.20m | 0.006 | -0.032 | 0.015 |
| 193 | 1 | 27 | 0.0000 | 3.3000 | 2.9200 | 1 | -3.94m | -4.75m | -2.65m | -0.167 | 0.074 | -0.003 | 4.21m | 4.53m | -0.48m | -0.041 | 0.212 | 0.008 |
| 157 | 1 | 28 | 4.0600 | 3.3000 | 2.9200 | 1 | -4.18m | -4.75m | -2.65m | -0.166 | -0.212 | -0.008 | 3.97m | 4.54m | -0.48m | -0.042 | -0.077 | 0.003 |
| 196 | 1 | 29 | 1.0200 | 3.9300 | 2.9200 | 1 | -3.99m | -4.75m | -10.4m | -0.228 | 0.124 | 0.011 | 4.11m | 4.55m | -6.08m | -0.116 | 0.173 | 0.016 |
| 199 | 1 | 30 | 2.0300 | 4.1100 | 2.9200 | 1 | -4.04m | -4.72m | -12.8m | -0.206 | -0.019 | -0.001 | 4.07m | 4.58m | -8.14m | -0.118 | 0.017 | 0.001 |
| 202 | 1 | 31 | 3.0500 | 3.9300 | 2.9200 | 1 | -4.08m | -4.75m | -10.3m | -0.228 | -0.175 | -0.016 | 4.02m | 4.55m | -6.02m | -0.116 | -0.125 | -0.011 |
| 172 | 1 | 32 | 0.0000 | -0.5000 | 2.9200 | 1 | -4.02m | -4.81m | -1.54m | 0.062 | 0.09 | 0.003 | 4.30m | 4.47m | -0.34m | 0.189 | 0.228 | 0.021 |
| 234 | 1 | 33 | 0.3000 | -0.8600 | 2.9200 | 1 | -3.79m | -4.82m | -4.40m | 0.088 | 0.234 | -0.003 | 4.64m | 4.48m | -2.09m | 0.222 | 0.348 | 0.018 |
| 178 | 1 | 34 | 1.0200 | -0.8600 | 2.9200 | 1 | -3.98m | -4.79m | -8.14m | 0.112 | 0.131 | -0.004 | 4.34m | 4.51m | -5.12m | 0.226 | 0.183 | 0.004 |
| 181 | 1 | 35 | 2.0300 | -0.8600 | 2.9200 | 1 | -4.13m | -4.80m | -10.4m | 0.09 | -0.018 | -0.003 | 4.16m | 4.51m | -6.92m | 0.175 | 0.017 | 0.003 |
| 184 | 1 | 36 | 3.0500 | -0.8600 | 2.9200 | 1 | -4.31m | -4.79m | -8.07m | 0.112 | -0.185 | -0.004 | 4.02m | 4.51m | -5.07m | 0.226 | -0.133 | 0.004 |
| 240 | 1 | 37 | 3.7800 | -0.8600 | 2.9200 | 1 | -4.61m | -4.81m | -4.26m | 0.082 | -0.347 | -0.019 | 3.82m | 4.49m | -1.98m | 0.214 | -0.232 | 0.003 |
| 187 | 1 | 38 | 4.0600 | -0.5200 | 2.9200 | 1 | -4.27m | -4.81m | -1.61m | 0.063 | -0.228 | -0.021 | 4.05m | 4.48m | -0.37m | 0.19 | -0.093 | -0.003 |
| 144 | 1 | 39 | -0.3500 | 0.0000 | 2.9200 | 1 | -4.08m | -4.73m | 89.8μ | 0.002 | 0.047 | -0.004 | 4.21m | 4.53m | 1.05m | 0.099 | 0.203 | 0 |
| 272 | 1 | 40 | -0.2900 | -0.1600 | 2.9200 | 1 | -4.11m | -4.77m | -0.11m | 0.005 | 0.059 | -0.009 | 4.21m | 4.52m | 0.68m | 0.115 | 0.218 | 0.001 |
| 243 | 1 | 41 | 4.3600 | -0.1600 | 2.9200 | 1 | -4.18m | -4.78m | -0.11m | 0.005 | -0.217 | 0 | 4.14m | 4.53m | 0.71m | 0.114 | -0.06 | 0.011 |
| 150 | 1 | 42 | 4.4100 | 0.0000 | 2.9200 | 1 | -4.18m | -4.74m | 80.6μ | 0.002 | -0.2 | 0.001 | 4.11m | 4.54m | 1.03m | 0.099 | -0.046 | 0.005 |
| 269 | 1 | 43 | -0.5700 | 0.6700 | 2.9200 | 1 | -4.28m | -4.62m | 0.64m | -0.004 | 0.071 | 0.001 | 4.09m | 4.43m | 2.16m | 0.009 | 0.235 | 0.003 |
| 153 | 1 | 44 | -0.5700 | 1.1600 | 2.9200 | 1 | -4.09m | -4.61m | 0.66m | -0.016 | 0.094 | 0 | 4.16m | 4.40m | 2.11m | 0.013 | 0.246 | 0.002 |
| 246 | 1 | 45 | 4.6300 | 0.6700 | 2.9200 | 1 | -4.06m | -4.63m | 0.62m | -0.005 | -0.232 | -0.004 | 4.31m | 4.44m | 2.13m | 0.009 | -0.069 | -0.001 |
| 161 | 1 | 46 | 4.6300 | 1.1600 | 2.9200 | 1 | -4.13m | -4.62m | 0.64m | -0.017 | -0.243 | -0.002 | 4.12m | 4.41m | 2.08m | 0.013 | -0.092 | 0.001 |
| 266 | 1 | 47 | -0.5700 | 1.5800 | 2.9200 | 1 | -4.26m | -4.63m | 0.63m | -0.012 | 0.071 | 0.001 | 4.07m | 4.40m | 2.11m | 0.006 | 0.233 | 0.003 |
| 249 | 1 | 48 | 4.6300 | 1.5800 | 2.9200 | 1 | -4.04m | -4.64m | 0.61m | -0.012 | -0.23 | -0.002 | 4.28m | 4.41m | 2.09m | 0.006 | -0.069 | -0.001 |
| 163 | 1 | 49 | -0.3200 | 2.3300 | 2.9200 | 1 | -4.03m | -4.77m | 69.1μ | -0.09 | 0.043 | 0 | 4.16m | 4.49m | 0.94m | 0.01 | 0.198 | 0 |
| 262 | 1 | 50 | -0.2900 | 2.4100 | 2.9200 | 1 | -4.04m | -4.77m | -8.00μ | -0.096 | 0.046 | -0.001 | 4.16m | 4.51m | 0.79m | 0.011 | 0.202 | 0.002 |
| 175 | 1 | 51 | 0.0000 | 2.7500 | 2.9200 | 1 | -3.96m | -4.73m | -1.10m | -0.15 | 0.077 | -0.016 | 4.22m | 4.54m | -0.10m | -0.028 | 0.216 | -0.003 |
| 156 | 1 | 52 | 4.0600 | 2.7700 | 2.9200 | 1 | -4.19m | -4.74m | -1.15m | -0.15 | -0.216 | 0.003 | 3.99m | 4.55m | -0.11m | -0.029 | -0.08 | 0.016 |
| 252 | 1 | 53 | 4.3600 | 2.4100 | 2.9200 | 1 | -4.13m | -4.78m | -7.50μ | -0.095 | -0.202 | -0.004 | 4.07m | 4.51m | 0.81m | 0.011 | -0.046 | -0.001 |
| 169 | 1 | 54 | 4.3800 | 2.3300 | 2.9200 | 1 | -4.13m | -4.78m | 61.3μ | -0.089 | -0.195 | -0.002 | 4.06m | 4.50m | 0.93m | 0.01 | -0.041 | -0.001 |
| 260 | 1 | 55 | 0.3000 | 3.1100 | 2.9200 | 1 | -3.72m | -4.74m | -3.61m | -0.18 | 0.223 | -0.016 | 4.54m | 4.56m | -1.58m | -0.054 | 0.336 | 0.001 |
| 179 | 1 | 56 | 1.0200 | 3.1100 | 2.9200 | 1 | -3.91m | -4.77m | -7.22m | -0.186 | 0.126 | -0.008 | 4.25m | 4.53m | -4.52m | -0.084 | 0.176 | 0.006 |
| 182 | 1 | 57 | 2.0300 | 3.1100 | 2.9200 | 1 | -4.04m | -4.76m | -9.44m | -0.139 | -0.019 | 0 | 4.07m | 4.54m | -6.27m | -0.066 | 0.017 | 0.001 |
| 185 | 1 | 58 | 3.0500 | 3.1100 | 2.9200 | 1 | -4.22m | -4.77m | -7.15m | -0.186 | -0.178 | -0.006 | 3.94m | 4.53m | -4.47m | -0.083 | -0.128 | 0.008 |
| 255 | 1 | 59 | 3.7800 | 3.1100 | 2.9200 | 1 | -4.51m | -4.75m | -3.48m | -0.173 | -0.335 | -0.002 | 3.76m | 4.55m | -1.48m | -0.048 | -0.222 | 0.017 |

Suffissi: f=10⁻¹⁵, p=10⁻¹², n=10⁻⁹, μ=10⁻⁶, m=10⁻³, k=10³, M=10⁶, G=10⁹, T=10¹², P=10¹⁵ (Sistema Internazionale di misura)

– Spostamenti Nodi. Famiglia Cmb. 2) Rara.

| Nodo Nodo FEM | Piano | Filò | Min. | | | | | | | | | | | | | | | Max. | | |
|---------------------|-------|------|---------|---------|--------|----------|--------|--------|--------|-----------|-----------|-----------|--------|--------|--------|-----------|-----------|-----------|--|--|
| | | | x[m] | y[m] | z[m] | Fam.Cmb. | sx [m] | sy [m] | sz [m] | rot x [°] | rot y [°] | rot z [°] | sx [m] | sy [m] | sz [m] | rot x [°] | rot y [°] | rot z [°] | | |
| 38 | 0 | 1 | 1.0200 | -1.6900 | 0.0000 | 2 | -2.20μ | -5.72μ | -5.81m | 0.147 | 0.173 | 0 | 2.20μ | 5.72μ | -5.62m | 0.152 | 0.179 | 0 | | |
| 41 | 0 | 2 | 2.0300 | -1.8600 | 0.0000 | 2 | -2.23μ | -7.15μ | -8.98m | 0.194 | 0 | 0 | 2.23μ | 7.15μ | -8.67m | 0.2 | 0 | 0 | | |
| 44 | 0 | 3 | 3.0500 | -1.6900 | 0.0000 | 2 | -2.21μ | -5.70μ | -5.78m | 0.147 | -0.179 | 0 | 2.21μ | 5.70μ | -5.58m | 0.152 | -0.173 | 0 | | |
| 32 | 0 | 4 | 0.0000 | -1.0600 | 0.0000 | 2 | -2.02μ | -1.31μ | -0.62m | 0.039 | 0.041 | 0 | 2.02μ | 1.31μ | -0.60m | 0.04 | 0.043 | 0 | | |
| 47 | 0 | 5 | 4.0600 | -1.0600 | 0.0000 | 2 | -2.03μ | -1.34μ | -0.63m | 0.039 | -0.044 | 0 | 2.03μ | 1.34μ | -0.61m | 0.04 | -0.043 | 0 | | |
| 0 | 0 | 6 | -0.7200 | 0.0000 | 0.0000 | 2 | -0.39μ | -1.01μ | -56.2μ | -0.002 | -0.006 | 0 | 0.39μ | 1.01μ | -54.7μ | -0.002 | -0.006 | 0 | | |
| 2 | 0 | 7 | 0.0000 | 0.0000 | 0.0000 | 2 | 0 | 0 | 0 | 0 | 0 | 0 | 0 | 0 | 0 | 0 | 0 | 0 | | |
| 78 | 0 | 8 | 1.0200 | 0.0000 | 0.0000 | 2 | -0.90μ | -5.16μ | -1.81m | 0.073 | 0.121 | 0 | 0.90μ | 5.16μ | -1.75m | 0.076 | 0.126 | 0 | | |
| 80 | 0 | 9 | 2.0300 | 0.0000 | 0.0000 | 2 | -1.11μ | -7.01μ | -3.16m | 0.109 | 0 | 0 | 1.11μ | 7.01μ | -3.04m | 0.112 | 0 | 0 | | |
| 82 | 0 | 10 | 3.0500 | 0.0000 | 0.0000 | 2 | -0.90μ | -5.14μ | -1.79m | 0.073 | -0.126 | 0 | 0.90μ | 5.14μ | -1.72m | 0.075 | -0.121 | 0 | | |
| 7 | 0 | 11 | 4.0600 | 0.0000 | 0.0000 | 2 | 0 | 0 | 0 | 0 | 0 | 0 | 0 | 0 | 0 | 0 | 0 | 0 | | |
| 74 | 0 | 12 | 4.7800 | 0.0000 | 0.0000 | 2 | -0.38μ | -1.02μ | -57.3μ | -0.002 | 0.006 | 0 | 0.38μ | 1.02μ | -55.8μ | -0.002 | 0.006 | 0 | | |
| 11 | 0 | 13 | -0.9500 | 1.1600 | 0.0000 | 2 | -2.56μ | -0.78μ | -0.29m | 0 | -0.005 | 0 | 2.56μ | 0.78μ | -0.29m | 0 | -0.005 | 0 | | |
| 9 | 0 | 14 | 0.0000 | 1.1600 | 0.0000 | 2 | -2.27μ | -0.75μ | -0.33m | 0 | 0.023 | 0 | 2.27μ | 0.75μ | -0.32m | 0 | 0.024 | 0 | | |
| 79 | 0 | 15 | 1.0200 | 1.1600 | 0.0000 | 2 | -1.73μ | -4.84μ | -1.27m | 0.001 | 0.062 | 0 | 1.73μ | 4.84μ | -1.22m | 0.001 | 0.064 | 0 | | |
| 3 | 0 | 16 | 2.0300 | 1.1600 | 0.0000 | 2 | -1.61μ | -6.60μ | -2.00m | 0.003 | 0 | 0 | 1.61μ | 6.60μ | -1.92m | 0.003 | 0 | 0 | | |
| 2 | 0 | 17 | 3.0500 | 1.1600 | 0.0000 | 2 | -1.73μ | -4.80μ | -1.25m | 0.001 | -0.064 | 0 | 1.73μ | 4.80μ | -1.20m | 0.001 | -0.062 | 0 | | |
| 85 | 0 | 18 | 4.0600 | 1.1600 | 0.0000 | 2 | -2.26μ | -0.75μ | -0.33m | 0 | -0.024 | 0 | 2.26μ | 0.75μ | -0.31m | 0 | -0.022 | 0 | | |
| 71 | 0 | 19 | 5.0200 | 1.1600 | 0.0000 | 2 | -2.55μ | -0.77μ | -0.30m | 0 | 0.006 | 0 | 2.55μ | 0.77μ | -0.30m | 0 | 0.006 | 0 | | |
| 21 | 0 | 20 | -0.7200 | 2.3300 | 0.0000 | 2 | -0.36μ | -0.91μ | -57.0μ | 0.001 | -0.006 | 0 | 0.36μ | 0.91μ | -55.4μ | 0.001 | -0.006 | 0 | | |
| 23 | 0 | 21 | 0.0000 | 2.3300 | 0.0000 | 2 | 0 | 0 | 0 | 0 | 0 | 0 | 0 | 0 | 0 | 0 | 0 | 0 | | |
| 81 | 0 | 22 | 1.0200 | 2.3300 | 0.0000 | 2 | -0.83μ | -5.22μ | -1.73m | -0.068 | 0.116 | 0 | 0.83μ | 5.22μ | -1.67m | -0.066 | 0.12 | 0 | | |
| 83 | 0 | 23 | 2.0300 | 2.3300 | 0.0000 | 2 | -1.02μ | -7.06μ | -3.02m | -0.102 | 0 | 0 | 1.02μ | 7.06μ | -2.91m | -0.099 | 0 | 0 | | |
| 84 | 0 | 24 | 3.0500 | 2.3300 | 0.0000 | 2 | -0.82μ | -5.18μ | -1.71m | -0.068 | -0.12 | 0 | 0.82μ | 5.18μ | -1.65m | -0.066 | -0.116 | 0 | | |
| 28 | 0 | 25 | 4.0600 | 2.3300 | 0.0000 | 2 | 0 | 0 | 0 | 0 | 0 | 0 | 0 | 0 | 0 | 0 | 0 | 0 | | |
| 68 | 0 | 26 | 4.7800 | 2.3300 | 0.0000 | 2 | -0.36μ | -0.89μ | -57.8μ | 0.002 | 0.006 | 0 | 0.36μ | 0.89μ | -56.2μ | 0.002 | 0.006 | 0 | | |
| 54 | 0 | 27 | 0.0000 | 3.3000 | 0.0000 | 2 | -1.72μ | -1.12μ | -0.42m | -0.029 | 0.032 | 0 | 1.72μ | 1.12μ | -0.41m | -0.028 | 0.033 | 0 | | |
| 16 | 0 | 28 | 4.0600 | 3.3000 | 0.0000 | 2 | -1.73μ | -1.03μ | -0.43m | -0.029 | -0.034 | 0 | 1.73μ | 1.03μ | -0.41m | -0.028 | -0.033 | 0 | | |
| 57 | 0 | 29 | 1.0200 | 3.9300 | 0.0000 | 2 | -1.89μ | -5.73μ | -5.10m | -0.135 | 0.159 | 0 | 1.89μ | 5.73μ | -4.93m | -0.13 | 0.165 | 0 | | |
| 60 | 0 | 30 | 2.0300 | 4.1100 | 0.0000 | 2 | -1.93μ | -7.18μ | -8.08m | -0.181 | 0 | 0 | 1.93μ | 7.18μ | -7.80m | -0.175 | 0 | 0 | | |
| 63 | 0 | 31 | 3.0500 | 3.9300 | 0.0000 | 2 | -1.90μ | -5.69μ | -5.07m | -0.134 | -0.166 | 0 | 1.90μ | 5.69μ | -4.90m | -0.13 | -0.16 | 0 | | |
| 33 | 0 | 32 | 0.0000 | -0.5000 | 0.0000 | 2 | -2.09μ | -1.00μ | -0.23m | 0.034 | 0.043 | 0 | 2.09μ | 1.00μ | -0.22m | 0.035 | 0.044 | 0 | | |
| 13 | 0 | 33 | 0.3000 | -0.8600 | 0.0000 | 2 | -2.40μ | -3.69μ | -1.08m | 0.035 | 0.177 | 0 | 2.40μ | 3.69μ | -1.04m | 0.036 | 0.183 | 0 | | |
| 39 | 0 | 34 | 1.0200 | -0.8600 | 0.0000 | 2 | -2.04μ | -5.98μ | -3.62m | 0.136 | 0.174 | 0 | 2.04μ | 5.98μ | -3.50m | 0.141 | 0.18 | 0 | | |
| 42 | 0 | 35 | 2.0300 | -0.8600 | 0.0000 | 2 | -1.94μ | -7.71μ | -5.52m | 0.177 | 0 | 0 | 1.94μ | 7.71μ | -5.33m | 0.183 | 0 | 0 | | |
| 45 | 0 | 36 | 3.0500 | -0.8600 | 0.0000 | 2 | -2.04μ | -5.97μ | -3.60m | 0.136 | -0.181 | 0 | 2.04μ | 5.97μ | -3.47m | 0.141 | -0.174 | 0 | | |
| 56 | 0 | 37 | 3.7800 | -0.8600 | 0.0000 | 2 | -2.39μ | -3.55μ | -1.02m | 0.031 | -0.18 | 0 | 2.39μ | 3.55μ | -0.99m | 0.032 | -0.174 | 0 | | |
| 48 | 0 | 38 | 4.0600 | -0.5200 | 0.0000 | 2 | -2.13μ | -1.04μ | -0.24m | 0.035 | -0.046 | 0 | 2.13μ | 1.04μ | -0.23m | 0.036 | -0.045 | 0 | | |
| 1 | 0 | 39 | -0.3500 | 0.0000 | 0.0000 | 2 | -0.35μ | -1.78μ | -13.3μ | -0.004 | -0.003 | 0 | 0.35μ | 1.78μ | -13.2μ | -0.004 | -0.003 | 0 | | |
| 11 | 0 | 40 | -0.2900 | -0.1600 | 0.0000 | 2 | -0.95μ | -1.49μ | 1.84μ | -0.001 | 0.01 | 0 | 0.95μ | 1.49μ | 2.00μ | -0.001 | 0.01 | 0 | | |
| 53 | 0 | 41 | 4.3600 | -0.1600 | 0.0000 | 2 | -0.96μ | -1.52μ | 1.97μ | -0.002 | -0.011 | 0 | 0.96μ | 1.52μ | 2.15μ | -0.002 | -0.01 | 0 | | |
| 9 | 0 | 42 | 4.4100 | 0.0000 | 0.0000 | 2 | -0.36μ | -1.77μ | -13.9μ | -0.005 | 0.003 | 0 | 0.36μ | 1.77μ | -13.7μ | -0.005 | 0.003 | 0 | | |
| 10 | 0 | 43 | -0.5700 | 0.6700 | 0.0000 | 2 | -12.7μ | -1.99μ | -0.19m | -0.013 | -0.008 | 0 | 12.7μ | 1.99μ | -0.19m | -0.012 | -0.008 | 0 | | |
| 12 | 0 | 44 | -0.5700 | 1.1600 | 0.0000 | 2 | -2.79μ | -1.94μ | -0.25m | 0 | -0.001 | 0 | 2.79μ | 1.94μ | -0.25m | 0 | 0 | 0 | | |
| 54 | 0 | 45 | 4.6300 | 0.6700 | 0.0000 | 2 | -12.7μ | -1.98μ | -0.20m | -0.013 | 0.008 | 0 | 12.7μ | 1.98μ | -0.19m | -0.013 | 0.008 | 0 | | |
| 20 | 0 | 46 | 4.6300 | 1.1600 | 0.0000 | 2 | -2.79μ | -1.93μ | -0.26m | 0 | 0.001 | 0 | 2.79μ | 1.93μ | -0.25m | 0 | 0.002 | 0 | | |
| 31 | 0 | 47 | -0.5700 | 1.5800 | 0.0000 | 2 | -11.6μ | -1.97μ | -0.21m | 0.011 | -0.008 | -0.001 | 11.6μ | 1.97μ | -0.21m | 0.011 | -0.008 | 0.001 | | |
| 69 | 0 | 48 | 4.6300 | 1.5800 | 0.0000 | 2 | -11.6μ | -1.96μ | -0.22m | 0.011 | 0.009 | -0.001 | 11.6μ | 1.96μ | -0.21m | 0.011 | 0.009 | 0.001 | | |
| 22 | 0 | 49 | -0.3200 | 2.3300 | 0.0000 | 2 | -0.31μ | -1.58μ | -11.0μ | 0.004 | -0.003 | 0 | 0.31μ | 1.58μ | -10.9μ | 0.004 | -0.003 | 0 | | |

| | | | | | | | | | | | | | | | | | | |
|-----|---|----|---------|---------|--------|---|--------|--------|--------|--------|--------|--------|-------|-------|--------|--------|--------|--------|
| 30 | 0 | 50 | -0.2900 | 2.4100 | 0.0000 | 2 | -0.44μ | -1.51μ | -2.84μ | 0.003 | 0 | 0 | 0.44μ | 1.51μ | -2.83μ | 0.003 | 0 | 0 |
| 36 | 0 | 51 | 0.0000 | 2.7500 | 0.0000 | 2 | -1.72μ | -0.80μ | -0.14m | -0.025 | 0.033 | 0 | 1.72μ | 0.80μ | -0.14m | -0.024 | 0.034 | 0 |
| 15 | 0 | 52 | 4.0600 | 2.7700 | 0.0000 | 2 | -1.76μ | -0.80μ | -0.15m | -0.026 | -0.036 | 0 | 1.76μ | 0.80μ | -0.15m | -0.025 | -0.035 | 0 |
| 70 | 0 | 53 | 4.3600 | 2.4100 | 0.0000 | 2 | -0.44μ | -1.53μ | -3.34μ | 0.003 | -0.001 | 0 | 0.44μ | 1.53μ | -3.34μ | 0.003 | -0.001 | 0 |
| 30 | 0 | 54 | 4.3800 | 2.3300 | 0.0000 | 2 | -0.31μ | -1.58μ | -11.4μ | 0.004 | 0.003 | 0 | 0.31μ | 1.58μ | -11.2μ | 0.004 | 0.003 | 0 |
| 33 | 0 | 55 | 0.3000 | 3.1100 | 0.0000 | 2 | -2.11μ | -3.49μ | -0.85m | -0.024 | 0.161 | 0 | 2.11μ | 3.49μ | -0.82m | -0.024 | 0.167 | 0 |
| 40 | 0 | 56 | 1.0200 | 3.1100 | 0.0000 | 2 | -1.76μ | -6.00μ | -3.19m | -0.124 | 0.161 | 0 | 1.76μ | 6.00μ | -3.08m | -0.12 | 0.167 | 0 |
| 43 | 0 | 57 | 2.0300 | 3.1100 | 0.0000 | 2 | -1.67μ | -7.75μ | -4.95m | -0.164 | 0 | 0 | 1.67μ | 7.75μ | -4.78m | -0.159 | 0 | 0 |
| 46 | 0 | 58 | 3.0500 | 3.1100 | 0.0000 | 2 | -1.76μ | -5.96μ | -3.16m | -0.124 | -0.167 | 0 | 1.76μ | 5.96μ | -3.06m | -0.12 | -0.161 | 0 |
| 40 | 0 | 59 | 3.7800 | 3.1100 | 0.0000 | 2 | -2.11μ | -3.31μ | -0.80m | -0.021 | -0.164 | -0.001 | 2.11μ | 3.31μ | -0.77m | -0.02 | -0.158 | 0.001 |
| 177 | 1 | 1 | 1.0200 | -1.6900 | 2.9200 | 2 | -2.73m | -3.22m | -8.68m | 0.113 | 0.098 | -0.012 | 2.83m | 2.98m | -5.49m | 0.196 | 0.131 | -0.007 |
| 180 | 1 | 2 | 2.0300 | -1.8600 | 2.9200 | 2 | -2.78m | -3.24m | -10.5m | 0.11 | -0.012 | -0.001 | 2.80m | 2.96m | -7.06m | 0.177 | 0.011 | 0.001 |
| 183 | 1 | 3 | 3.0500 | -1.6900 | 2.9200 | 2 | -2.81m | -3.22m | -8.63m | 0.113 | -0.133 | 0.007 | 2.76m | 2.98m | -5.45m | 0.196 | -0.099 | 0.012 |
| 171 | 1 | 4 | 0.0000 | -1.0600 | 2.9200 | 2 | -2.67m | -3.21m | -2.55m | 0.063 | 0.071 | -0.005 | 2.89m | 2.97m | -0.90m | 0.15 | 0.162 | -0.001 |
| 186 | 1 | 5 | 4.0600 | -1.0600 | 2.9200 | 2 | -2.87m | -3.22m | -2.54m | 0.062 | -0.162 | 0.001 | 2.69m | 2.98m | -0.90m | 0.149 | -0.073 | 0.005 |
| 143 | 1 | 6 | -0.7200 | 0.0000 | 2.9200 | 2 | -2.71m | -3.22m | 0.35m | 0.009 | 0.036 | 0.01 | 2.82m | 2.96m | 1.64m | 0.073 | 0.139 | 0.015 |
| 139 | 1 | 7 | 0.0000 | 0.0000 | 2.9200 | 2 | -2.71m | -3.21m | -93.8μ | -0.024 | 0.022 | -0.004 | 2.82m | 2.97m | -61.6μ | 0.08 | 0.132 | -0.001 |
| 119 | 1 | 8 | 1.0200 | 0.0000 | 2.9200 | 2 | -2.72m | -3.19m | -4.27m | 0.016 | 0.178 | 0.003 | 2.80m | 3.00m | -2.87m | 0.055 | 0.243 | 0.006 |
| 121 | 1 | 9 | 2.0300 | 0.0000 | 2.9200 | 2 | -2.75m | -3.19m | -6.52m | 0.008 | -0.023 | 0 | 2.77m | 3.01m | -4.81m | 0.038 | 0.022 | 0 |
| 169 | 1 | 10 | 3.0500 | 0.0000 | 2.9200 | 2 | -2.78m | -3.20m | -4.22m | 0.016 | -0.244 | -0.006 | 2.74m | 3.00m | -2.83m | 0.055 | -0.179 | -0.003 |
| 140 | 1 | 11 | 4.0600 | 0.0000 | 2.9200 | 2 | -2.79m | -3.21m | -93.9μ | -0.024 | -0.131 | 0.001 | 2.73m | 2.97m | -61.7μ | 0.08 | -0.021 | 0.004 |
| 213 | 1 | 12 | 4.7800 | 0.0000 | 2.9200 | 2 | -2.80m | -3.22m | 0.33m | -0.009 | -0.137 | -0.016 | 2.73m | 2.97m | 1.62m | 0.073 | -0.035 | -0.01 |
| 152 | 1 | 13 | -0.9500 | 1.1600 | 2.9200 | 2 | -2.72m | -3.18m | 1.01m | 0.011 | 0.067 | -0.013 | 2.78m | 2.99m | 2.63m | 0.009 | 0.166 | 0.021 |
| 98 | 1 | 14 | 0.0000 | 1.1600 | 2.9200 | 2 | -2.72m | -3.19m | -0.39m | -0.028 | 0.106 | -0.006 | 2.77m | 2.99m | -0.28m | 0.024 | 0.204 | 0.004 |
| 120 | 1 | 15 | 1.0200 | 1.1600 | 2.9200 | 2 | -2.73m | -3.20m | -4.28m | 0.002 | 0.15 | -0.001 | 2.77m | 3.00m | -2.92m | 0.003 | 0.197 | 0.001 |
| 1 | 1 | 16 | 2.0300 | 1.1600 | 2.9200 | 2 | -2.74m | -3.20m | -6.12m | -0.002 | -0.023 | -0.001 | 2.76m | 3.00m | -4.79m | 0.013 | 0.022 | 0.001 |
| 0 | 1 | 17 | 3.0500 | 1.1600 | 2.9200 | 2 | -2.74m | -3.20m | -4.23m | 0.002 | -0.198 | -0.001 | 2.75m | 3.00m | -2.88m | 0.003 | -0.152 | 0.001 |
| 172 | 1 | 18 | 4.0600 | 1.1600 | 2.9200 | 2 | -2.75m | -3.19m | -0.39m | -0.029 | -0.203 | -0.004 | 2.74m | 3.00m | -0.28m | 0.024 | -0.105 | 0.005 |
| 210 | 1 | 19 | 5.0200 | 1.1600 | 2.9200 | 2 | -2.76m | -3.19m | 0.99m | -0.011 | -0.163 | -0.02 | 2.74m | 2.99m | 2.62m | 0.009 | -0.065 | 0.013 |
| 162 | 1 | 20 | -0.7200 | 2.3300 | 2.9200 | 2 | -2.67m | -3.16m | 0.32m | -0.066 | 0.032 | -0.01 | 2.79m | 3.02m | 1.60m | 0 | 0.133 | -0.004 |
| 141 | 1 | 21 | 0.0000 | 2.3300 | 2.9200 | 2 | -2.67m | -3.17m | -88.8μ | -0.072 | 0.021 | 0.001 | 2.78m | 3.01m | -57.7μ | 0.032 | 0.13 | 0.001 |
| 173 | 1 | 22 | 1.0200 | 2.3300 | 2.9200 | 2 | -2.69m | -3.20m | -4.08m | -0.042 | 0.168 | -0.005 | 2.77m | 3.00m | -2.74m | -0.005 | 0.23 | -0.003 |
| 174 | 1 | 23 | 2.0300 | 2.3300 | 2.9200 | 2 | -2.72m | -3.20m | -6.20m | -0.024 | -0.022 | -0.002 | 2.74m | 3.00m | -4.56m | 0.005 | 0.021 | 0.002 |
| 181 | 1 | 24 | 3.0500 | 2.3300 | 2.9200 | 2 | -2.75m | -3.20m | -4.03m | -0.042 | -0.231 | 0.003 | 2.71m | 3.00m | -2.70m | -0.004 | -0.169 | 0.005 |
| 142 | 1 | 25 | 4.0600 | 2.3300 | 2.9200 | 2 | -2.76m | -3.17m | -89.0μ | -0.072 | -0.129 | -0.001 | 2.70m | 3.02m | -57.8μ | 0.032 | -0.02 | -0.001 |
| 207 | 1 | 26 | 4.7800 | 2.3300 | 2.9200 | 2 | -2.76m | -3.17m | 0.31m | -0.066 | -0.131 | 0.004 | 2.70m | 3.02m | 1.58m | 0 | -0.031 | 0.011 |
| 193 | 1 | 27 | 0.0000 | 3.3000 | 2.9200 | 2 | -2.61m | -3.17m | -1.91m | -0.12 | 0.061 | -0.001 | 2.82m | 3.01m | -0.45m | -0.037 | 0.153 | 0.006 |
| 157 | 1 | 28 | 4.0600 | 3.3000 | 2.9200 | 2 | -2.80m | -3.18m | -1.90m | -0.12 | -0.153 | -0.006 | 2.64m | 3.02m | -0.46m | -0.036 | -0.063 | 0.001 |
| 196 | 1 | 29 | 1.0200 | 3.9300 | 2.9200 | 2 | -2.66m | -3.17m | -7.55m | -0.166 | 0.094 | 0.008 | 2.75m | 3.02m | -4.70m | -0.091 | 0.127 | 0.011 |
| 199 | 1 | 30 | 2.0300 | 4.1100 | 2.9200 | 2 | -2.69m | -3.15m | -9.35m | -0.15 | -0.013 | -0.001 | 2.71m | 3.05m | -6.24m | -0.092 | 0.012 | 0.001 |
| 202 | 1 | 31 | 3.0500 | 3.9300 | 2.9200 | 2 | -2.73m | -3.17m | -7.50m | -0.166 | -0.128 | -0.011 | 2.68m | 3.03m | -4.66m | -0.091 | -0.095 | -0.008 |
| 172 | 1 | 32 | 0.0000 | -0.5000 | 2.9200 | 2 | -2.67m | -3.22m | -1.11m | 0.052 | 0.073 | 0.003 | 2.88m | 2.96m | -0.31m | 0.136 | 0.165 | 0.015 |
| 234 | 1 | 33 | 0.3000 | -0.8600 | 2.9200 | 2 | -2.49m | -3.23m | -3.19m | 0.071 | 0.178 | -0.001 | 3.13m | 2.97m | -1.65m | 0.161 | 0.254 | 0.013 |
| 178 | 1 | 34 | 1.0200 | -0.8600 | 2.9200 | 2 | -2.64m | -3.21m | -5.94m | 0.088 | 0.1 | -0.003 | 2.91m | 2.99m | -3.93m | 0.164 | 0.134 | 0.003 |
| 181 | 1 | 35 | 2.0300 | -0.8600 | 2.9200 | 2 | -2.75m | -3.21m | -7.61m | 0.071 | -0.012 | -0.002 | 2.77m | 2.99m | -5.28m | 0.127 | 0.011 | 0.002 |
| 184 | 1 | 36 | 3.0500 | -0.8600 | 2.9200 | 2 | -2.89m | -3.21m | -5.89m | 0.088 | -0.135 | -0.003 | 2.66m | 2.99m | -3.89m | 0.164 | -0.101 | 0.003 |
| 240 | 1 | 37 | 3.7800 | -0.8600 | 2.9200 | 2 | -3.11m | -3.22m | -3.09m | 0.067 | -0.254 | -0.013 | 2.52m | 2.98m | -1.57m | 0.155 | -0.177 | 0.001 |
| 187 | 1 | 38 | 4.0600 | -0.5200 | 2.9200 | 2 | -2.86m | -3.22m | -1.16m | 0.053 | -0.165 | -0.015 | 2.69m | 2.97m | -0.33m | 0.137 | -0.075 | -0.003 |
| 144 | 1 | 39 | -0.3500 | 0.0000 | 2.9200 | 2 | -2.71m | -3.16m | 0.11m | 0.006 | 0.042 | -0.003 | 2.81m | 3.01m | 0.75m | 0.07 | 0.146 | 0 |
| 272 | 1 | 40 | -0.2900 | -0.1600 | 2.9200 | 2 | -2.73m | -3.19m | -47.9μ | 0.009 | 0.051 | -0.006 | 2.81m | 3.00m | 0.48m | 0.082 | 0.157 | 0.001 |
| 243 | 1 | 41 | 4.3600 | -0.1600 | 2.9200 | 2 | -2.79m | -3.19m | -45.6μ | 0.009 | -0.156 | 0.001 | 2.76m | 3.01m | 0.50m | 0.082 | -0.051 | 0.008 |
| 150 | 1 | 42 | 4.4100 | 0.0000 | 2.9200 | 2 | -2.79m | -3.17m | 0.10m | 0.006 | -0.144 | 0.001 | 2.73m | 3.02m | 0.74m | 0.07 | -0.041 | 0.004 |
| 269 | 1 | 43 | -0.5700 | 0.6700 | 2.9200 | 2 | -2.87m | -3.09m | 0.54m | -0.003 | 0.06 | 0.001 | 2.71m | 2.94m | 1.56m | 0.006 | 0.17 | 0.002 |
| 153 | 1 | 44 | -0.5700 | 1.1600 | 2.9200 | 2 | -2.72m | -3.08m | 0.55m | -0.011 | 0.077 | 0 | 2.78m | 2.93m | 1.52m | 0.009 | 0.178 | 0.001 |
| 246 | 1 | 45 | 4.6300 | 0.6700 | 2.9200 | 2 | -2.69m | -3.09m | 0.53m | -0.003 | -0.167 | -0.003 | 2.89m | 2.95m | 1.54m | 0.006 | -0.058 | -0.001 |
| 161 | 1 | 46 | 4.6300 | 1.1600 | 2.9200 | 2 | -2.75m | -3.09m | 0.54m | -0.011 | -0.176 | -0.001 | 2.75m | 2.93m | 1.50m | 0.009 | -0.075 | 0 |
| 266 | 1 | 47 | -0.5700 | 1.5800 | 2.9200 | 2 | -2.85m | -3.10m | 0.53m | -0.009 | 0.06 | 0.001 | 2.70m | 2.93m | 1.52m | 0.004 | 0.168 | 0.002 |
| 249 | 1 | 48 | 4.6300 | 1.5800 | 2.9200 | 2 | -2.68m | -3.10m | 0.52m | -0.008 | -0.165 | -0.002 | 2.87m | 2.93m | 1.50m | 0.004 | -0.058 | -0.001 |
| 163 | 1 | 49 | -0.3200 | 2.3300 | 2.9200 | 2 | -2.68m | -3.19m | 90.0μ | -0.063 | 0.039 | 0 | 2.78m | 2.98m | 0.67m | 0.003 | 0.142 | 0 |
| 262 | 1 | 50 | -0.2900 | 2.4100 | 2.9200 | 2 | -2.68m | -3.19m | 28.5μ | -0.068 | 0.041 | 0 | 2.78m | 2.99m | 0.56m | 0.004 | 0.145 | 0.002 |
| 175 | 1 | 51 | 0.0000 | 2.7500 | 2.9200 | 2 | -2.63m | -3.16m | -0.79m | -0.108 | 0.064 | -0.012 | 2.82m | 3.02m | -0.12m | -0.026 | 0.156 | -0.003 |
| 156 | 1 | 52 | 4.0600 | 2.7700 | 2.9200 | 2 | -2.80m | -3.17m | -0.82m | -0.108 | -0.156 | 0.003 | 2.65m | 3.03m | -0.13m | -0.027 | -0.065 | 0.012 |
| 252 | 1 | 53 | 4.3600 | 2.4100 | 2.9200 | 2 | -2.76m | -3.20m | 29.9μ | -0.067 | -0.145 | -0.003 | 2.71m | 3.00m | 0.58m | 0.004 | -0.041 | -0.001 |
| 169 | 1 | 54 | 4.3800 | 2.3300 | 2.9200 | 2 | -2.76m | -3.20m | 84.0μ | -0.063 | -0.14 | -0.001 | 2.70m | 2.99m | 0.66m | 0.004 | -0.038 | -0.001 |
| 260 | 1 | 55 | 0.3000 | 3.1100 | 2.9200 | 2 | -2.45m | -3.17m | -2.62m | -0.13 | 0.17 | -0.011 | 3.06m | 3.03m | -1.26m | -0.046 | 0.245 | 0 |
| 179 | 1 | 56 | 1.0200 | 3.1100 | 2.9200 | 2 | -2.59m | -3.19m | -5.27m | -0.135 | 0.096 | -0.005 | 2.85m | 3.01m | -3.47m | -0.067 | 0.129 | 0.004 |
| 182 | 1 | 57 | 2.0300 | 3.1100 | 2.9200 | 2 | -2.70m | -3.19m | -6.90m | -0.101 | -0.013 | 0 | 2.72m | 3.02m | -4.78m | -0.053 | 0.012 | 0 |
| 185 | 1 | 58 | 3.0500 | 3.1100 | 2.9200 | 2 | -2.82m | -3.19m | -5.22m | -0.135 | -0.13 | -0.004 | 2.61m | 3.01m | -3.43m | - | | |

| | | | | | | | | | | | | | | | | | | |
|-----|---|----|---------|---------|--------|---|--------|--------|--------|--------|--------|--------|-------|-------|--------|--------|--------|--------|
| 33 | 0 | 32 | 0.0000 | -0.5000 | 0.0000 | 3 | -0.42μ | -0.20μ | -0.22m | 0.034 | 0.042 | 0 | 0.42μ | 0.20μ | -0.22m | 0.034 | 0.043 | 0 |
| 13 | 0 | 33 | 0.3000 | -0.8600 | 0.0000 | 3 | -0.48μ | -0.74μ | -1.04m | 0.035 | 0.175 | 0 | 0.48μ | 0.74μ | -1.03m | 0.035 | 0.177 | 0 |
| 39 | 0 | 34 | 1.0200 | -0.8600 | 0.0000 | 3 | -0.41μ | -1.20μ | -3.50m | 0.135 | 0.172 | 0 | 0.41μ | 1.20μ | -3.46m | 0.136 | 0.174 | 0 |
| 42 | 0 | 35 | 2.0300 | -0.8600 | 0.0000 | 3 | -0.39μ | -1.54μ | -5.33m | 0.175 | 0 | 0 | 0.39μ | 1.54μ | -5.27m | 0.177 | 0 | 0 |
| 45 | 0 | 36 | 3.0500 | -0.8600 | 0.0000 | 3 | -0.41μ | -1.19μ | -3.47m | 0.135 | -0.174 | 0 | 0.41μ | 1.19μ | -3.43m | 0.136 | -0.172 | 0 |
| 56 | 0 | 37 | 3.7800 | -0.8600 | 0.0000 | 3 | -0.48μ | -0.71μ | -0.99m | 0.031 | -0.174 | 0 | 0.48μ | 0.71μ | -0.98m | 0.031 | -0.172 | 0 |
| 48 | 0 | 38 | 4.0600 | -0.5200 | 0.0000 | 3 | -0.43μ | -0.21μ | -0.23m | 0.035 | -0.045 | 0 | 0.43μ | 0.21μ | -0.23m | 0.035 | -0.044 | 0 |
| 1 | 0 | 39 | -0.3500 | 0.0000 | 0.0000 | 3 | -70.6n | -0.36μ | -13.2μ | -0.004 | -0.003 | 0 | 70.6n | 0.36μ | -13.1μ | -0.004 | -0.003 | 0 |
| 11 | 0 | 40 | -0.2900 | -0.1600 | 0.0000 | 3 | -0.19μ | -0.30μ | 1.79μ | -0.001 | 0.01 | 0 | 0.19μ | 0.30μ | 1.84μ | -0.001 | 0.01 | 0 |
| 9 | 0 | 41 | 4.3600 | -0.1600 | 0.0000 | 3 | -0.19μ | -0.30μ | 1.91μ | -0.002 | -0.01 | 0 | 0.19μ | 0.30μ | 1.97μ | -0.002 | -0.01 | 0 |
| 53 | 0 | 42 | 4.4100 | 0.0000 | 0.0000 | 3 | -71.1n | -0.35μ | -13.7μ | -0.005 | 0.003 | 0 | 71.1n | 0.35μ | -13.7μ | -0.005 | 0.003 | 0 |
| 10 | 0 | 43 | -0.5700 | 0.6700 | 0.0000 | 3 | -2.54μ | -0.40μ | -0.19m | -0.012 | -0.008 | 0 | 2.54μ | 0.40μ | -0.19m | -0.012 | -0.008 | 0 |
| 12 | 0 | 44 | -0.5700 | 1.1600 | 0.0000 | 3 | -0.56μ | -0.39μ | -0.25m | 0 | -0.001 | 0 | 0.56μ | 0.39μ | -0.24m | 0 | -0.001 | 0 |
| 54 | 0 | 45 | 4.6300 | 0.6700 | 0.0000 | 3 | -2.54μ | -0.40μ | -0.19m | -0.013 | 0.008 | 0 | 2.54μ | 0.40μ | -0.19m | -0.012 | 0.008 | 0 |
| 20 | 0 | 46 | 4.6300 | 1.1600 | 0.0000 | 3 | -0.56μ | -0.39μ | -0.25m | 0 | 0.002 | 0 | 0.56μ | 0.39μ | -0.25m | 0 | 0.002 | 0 |
| 31 | 0 | 47 | -0.5700 | 1.5800 | 0.0000 | 3 | -2.31μ | -0.39μ | -0.21m | 0.011 | -0.008 | 0 | 2.31μ | 0.39μ | -0.21m | 0.011 | -0.008 | 0 |
| 69 | 0 | 48 | 4.6300 | 1.5800 | 0.0000 | 3 | -2.31μ | -0.39μ | -0.21m | 0.011 | 0.009 | 0 | 2.31μ | 0.39μ | -0.21m | 0.011 | 0.009 | 0 |
| 22 | 0 | 49 | -0.3200 | 2.3300 | 0.0000 | 3 | -61.7n | -0.32μ | -10.9μ | 0.004 | -0.003 | 0 | 61.7n | 0.32μ | -10.8μ | 0.004 | -0.003 | 0 |
| 30 | 0 | 50 | -0.2900 | 2.4100 | 0.0000 | 3 | -88.7n | -0.30μ | -2.85μ | 0.003 | 0 | 0 | 88.7n | 0.30μ | -2.84μ | 0.003 | 0 | 0 |
| 36 | 0 | 51 | 0.0000 | 2.7500 | 0.0000 | 3 | -0.34μ | -0.16μ | -0.14m | -0.024 | 0.033 | 0 | 0.34μ | 0.16μ | -0.13m | -0.024 | 0.033 | 0 |
| 15 | 0 | 52 | 4.0600 | 2.7700 | 0.0000 | 3 | -0.35μ | -0.16μ | -0.15m | -0.025 | -0.035 | 0 | 0.35μ | 0.16μ | -0.15m | -0.025 | -0.034 | 0 |
| 70 | 0 | 53 | 4.3600 | 2.4100 | 0.0000 | 3 | -87.5n | -0.31μ | -3.34μ | 0.003 | -0.001 | 0 | 87.5n | 0.31μ | -3.34μ | 0.003 | -0.001 | 0 |
| 30 | 0 | 54 | 4.3800 | 2.3300 | 0.0000 | 3 | -62.3n | -0.32μ | -11.2μ | 0.004 | 0.003 | 0 | 62.3n | 0.32μ | -11.2μ | 0.004 | 0.003 | 0 |
| 33 | 0 | 55 | 0.3000 | 3.1100 | 0.0000 | 3 | -0.42μ | -0.70μ | -0.82m | -0.024 | 0.159 | 0 | 0.42μ | 0.70μ | -0.81m | -0.024 | 0.161 | 0 |
| 40 | 0 | 56 | 1.0200 | 3.1100 | 0.0000 | 3 | -0.35μ | -1.20μ | -3.08m | -0.12 | 0.159 | 0 | 0.35μ | 1.20μ | -3.04m | -0.119 | 0.161 | 0 |
| 43 | 0 | 57 | 2.0300 | 3.1100 | 0.0000 | 3 | -0.33μ | -1.55μ | -4.78m | -0.159 | 0 | 0 | 0.33μ | 1.55μ | -4.72m | -0.157 | 0 | 0 |
| 46 | 0 | 58 | 3.0500 | 3.1100 | 0.0000 | 3 | -0.35μ | -1.19μ | -3.06m | -0.12 | -0.161 | 0 | 0.35μ | 1.19μ | -3.02m | -0.118 | -0.159 | 0 |
| 40 | 0 | 59 | 3.7800 | 3.1100 | 0.0000 | 3 | -0.42μ | -0.66μ | -0.77m | -0.02 | -0.158 | 0 | 0.42μ | 0.66μ | -0.77m | -0.02 | -0.156 | 0 |
| 177 | 1 | 1 | 1.0200 | -1.6900 | 2.9200 | 3 | -0.51m | -0.73m | -5.92m | 0.118 | 0.087 | -0.008 | 0.60m | 0.51m | -5.41m | 0.131 | 0.093 | -0.007 |
| 180 | 1 | 2 | 2.0300 | -1.8600 | 2.9200 | 3 | -0.55m | -0.75m | -7.29m | 0.11 | -0.003 | 0 | 0.57m | 0.49m | -6.72m | 0.121 | 0.002 | 0 |
| 183 | 1 | 3 | 3.0500 | -1.6900 | 2.9200 | 3 | -0.58m | -0.73m | -5.88m | 0.118 | -0.095 | 0.007 | 0.53m | 0.51m | -5.37m | 0.131 | -0.088 | 0.008 |
| 171 | 1 | 4 | 4.0000 | -1.0600 | 2.9200 | 3 | -0.46m | -0.72m | -1.59m | 0.08 | 0.087 | -0.003 | 0.65m | 0.51m | -1.29m | 0.095 | 0.102 | -0.002 |
| 186 | 1 | 5 | 4.0600 | -1.0600 | 2.9200 | 3 | -0.63m | -0.72m | -1.59m | 0.08 | -0.103 | 0.002 | 0.48m | 0.52m | -1.29m | 0.095 | -0.088 | 0.003 |
| 143 | 1 | 6 | -0.7200 | 0.0000 | 2.9200 | 3 | -0.50m | -0.73m | 0.73m | 0.029 | 0.064 | 0.01 | 0.60m | 0.51m | 0.98m | 0.042 | 0.084 | 0.011 |
| 139 | 1 | 7 | 0.0000 | 0.0000 | 2.9200 | 3 | -0.51m | -0.72m | -65.0μ | 0.014 | 0.056 | -0.002 | 0.60m | 0.51m | -59.7μ | 0.035 | 0.078 | -0.002 |
| 119 | 1 | 8 | 1.0200 | 0.0000 | 2.9200 | 3 | -0.52m | -0.70m | -2.95m | 0.027 | 0.16 | 0.003 | 0.59m | 0.54m | -2.71m | 0.034 | 0.172 | 0.004 |
| 121 | 1 | 9 | 2.0300 | 0.0000 | 2.9200 | 3 | -0.54m | -0.70m | -4.62m | 0.018 | -0.005 | 0 | 0.56m | 0.54m | -4.31m | 0.024 | 0.004 | 0 |
| 169 | 1 | 10 | 3.0500 | 0.0000 | 2.9200 | 3 | -0.57m | -0.70m | -2.91m | 0.027 | -0.173 | -0.004 | 0.54m | 0.54m | -2.68m | 0.034 | -0.161 | -0.003 |
| 140 | 1 | 11 | 4.0600 | 0.0000 | 2.9200 | 3 | -0.58m | -0.72m | -65.0μ | 0.014 | -0.077 | 0.002 | 0.53m | 0.51m | -59.8μ | 0.035 | -0.055 | 0.002 |
| 213 | 1 | 12 | 4.7800 | 0.0000 | 2.9200 | 3 | -0.58m | -0.73m | 0.71m | 0.029 | -0.083 | -0.011 | 0.52m | 0.51m | 0.96m | 0.042 | -0.063 | -0.01 |
| 152 | 1 | 13 | -0.9500 | 1.1600 | 2.9200 | 3 | -0.52m | -0.70m | 1.35m | -0.003 | 0.087 | 0 | 0.58m | 0.53m | 1.64m | 0.001 | 0.104 | 0.007 |
| 98 | 1 | 14 | 0.0000 | 1.1600 | 2.9200 | 3 | -0.53m | -0.70m | -0.27m | -0.007 | 0.116 | -0.002 | 0.57m | 0.53m | -0.25m | 0.003 | 0.131 | 0 |
| 120 | 1 | 15 | 1.0200 | 1.1600 | 2.9200 | 3 | -0.53m | -0.70m | -2.96m | 0.002 | 0.132 | 0 | 0.57m | 0.53m | -2.73m | 0.002 | 0.141 | 0 |
| 1 | 1 | 16 | 2.0300 | 1.1600 | 2.9200 | 3 | -0.54m | -0.70m | -4.41m | 0.003 | -0.005 | 0 | 0.56m | 0.54m | -4.16m | 0.006 | 0.004 | 0 |
| 0 | 1 | 17 | 3.0500 | 1.1600 | 2.9200 | 3 | -0.55m | -0.70m | -2.92m | 0.002 | -0.142 | 0 | 0.55m | 0.54m | -2.70m | 0.002 | -0.133 | 0 |
| 172 | 1 | 18 | 4.0600 | 1.1600 | 2.9200 | 3 | -0.55m | -0.70m | -0.28m | -0.007 | -0.13 | 0 | 0.55m | 0.53m | -0.25m | 0.004 | -0.115 | 0.002 |
| 210 | 1 | 19 | 5.0200 | 1.1600 | 2.9200 | 3 | -0.56m | -0.70m | 1.34m | -0.003 | -0.102 | -0.007 | 0.54m | 0.53m | 1.62m | 0.001 | -0.085 | 0 |
| 162 | 1 | 20 | -0.7200 | 2.3300 | 2.9200 | 3 | -0.50m | -0.68m | 0.70m | -0.035 | 0.061 | -0.006 | 0.59m | 0.56m | 0.95m | -0.022 | 0.08 | -0.005 |
| 141 | 1 | 21 | 0.0000 | 2.3300 | 2.9200 | 3 | -0.50m | -0.69m | -61.4μ | -0.028 | 0.054 | 0.001 | 0.59m | 0.55m | -56.3μ | -0.007 | 0.076 | 0.001 |
| 173 | 1 | 22 | 1.0200 | 2.3300 | 2.9200 | 3 | -0.51m | -0.71m | -2.81m | -0.024 | 0.152 | -0.003 | 0.58m | 0.53m | -2.59m | -0.017 | 0.163 | -0.003 |
| 174 | 1 | 23 | 2.0300 | 2.3300 | 2.9200 | 3 | -0.54m | -0.71m | -4.39m | -0.012 | -0.005 | 0 | 0.56m | 0.53m | -4.10m | -0.006 | 0.004 | 0 |
| 181 | 1 | 24 | 3.0500 | 2.3300 | 2.9200 | 3 | -0.56m | -0.71m | -2.78m | -0.024 | -0.164 | 0.003 | 0.53m | 0.53m | -2.56m | -0.017 | -0.153 | 0.004 |
| 142 | 1 | 25 | 4.0600 | 2.3300 | 2.9200 | 3 | -0.57m | -0.69m | -61.4μ | -0.028 | -0.075 | -0.001 | 0.52m | 0.55m | -56.4μ | -0.007 | -0.054 | -0.001 |
| 207 | 1 | 26 | 4.7800 | 2.3300 | 2.9200 | 3 | -0.58m | -0.68m | 0.69m | -0.035 | -0.079 | 0.006 | 0.52m | 0.56m | 0.94m | -0.022 | -0.06 | 0.007 |
| 193 | 1 | 27 | 0.0000 | 3.3000 | 2.9200 | 3 | -0.45m | -0.69m | -1.16m | -0.074 | 0.08 | 0.001 | 0.63m | 0.55m | -0.88m | -0.058 | 0.096 | 0.002 |
| 157 | 1 | 28 | 4.0600 | 3.3000 | 2.9200 | 3 | -0.61m | -0.69m | -1.16m | -0.074 | -0.096 | -0.003 | 0.47m | 0.55m | -0.88m | -0.058 | -0.081 | -0.001 |
| 196 | 1 | 29 | 1.0200 | 3.9300 | 2.9200 | 3 | -0.50m | -0.69m | -5.13m | -0.11 | 0.084 | 0.008 | 0.58m | 0.55m | -4.67m | -0.098 | 0.09 | 0.008 |
| 199 | 1 | 30 | 2.0300 | 4.1100 | 2.9200 | 3 | -0.53m | -0.67m | -6.47m | -0.102 | -0.003 | 0 | 0.55m | 0.57m | -5.96m | -0.093 | 0.002 | 0 |
| 202 | 1 | 31 | 3.0500 | 3.9300 | 2.9200 | 3 | -0.56m | -0.68m | -5.09m | -0.109 | -0.091 | -0.008 | 0.52m | 0.56m | -4.63m | -0.098 | -0.085 | -0.007 |
| 172 | 1 | 32 | 0.0000 | -0.5000 | 2.9200 | 3 | -0.46m | -0.73m | -0.68m | 0.071 | 0.089 | 0.007 | 0.64m | 0.51m | -0.53m | 0.086 | 0.104 | 0.009 |
| 234 | 1 | 33 | 0.3000 | -0.8600 | 2.9200 | 3 | -0.28m | -0.73m | -2.07m | 0.088 | 0.165 | 0.004 | 0.84m | 0.51m | -1.83m | 0.103 | 0.178 | 0.007 |
| 178 | 1 | 34 | 1.0200 | -0.8600 | 2.9200 | 3 | -0.44m | -0.71m | -4.09m | 0.096 | 0.089 | -0.001 | 0.67m | 0.53m | -3.76m | 0.108 | 0.095 | 0.001 |
| 181 | 1 | 35 | 2.0300 | -0.8600 | 2.9200 | 3 | -0.54m | -0.72m | -5.31m | 0.076 | -0.003 | 0 | 0.56m | 0.52m | -4.92m | 0.085 | 0.002 | 0 |
| 184 | 1 | 36 | 3.0500 | -0.8600 | 2.9200 | 3 | -0.65m | -0.71m | -4.06m | 0.096 | -0.096 | -0.001 | 0.46m | 0.53m | -3.73m | 0.108 | -0.09 | 0 |
| 240 | 1 | 37 | 3.7800 | -0.8600 | 2.9200 | 3 | -0.82m | -0.73m | -2.00m | 0.084 | -0.177 | -0.007 | 0.31m | 0.52m | -1.76m | 0.099 | -0.164 | -0.004 |
| 187 | 1 | 38 | 4.0600 | -0.5200 | 2.9200 | 3 | -0.63m | -0.73m | -0.71m | 0.071 | -0.105 | -0.009 | 0.48m | 0.51m | -0.55m | 0.086 | -0.09 | -0.007 |
| 144 | 1 | 39 | -0.3500 | 0.0000 | 2.9200 | 3 | -0.51m | -0.68m | 0.31m | 0.027 | 0.069 | -0.002 | 0.60m | 0.55m | 0.43m | 0.04 | 0.089 | -0.001 |
| 272 | 1 | 40 | -0.2900 | -0.1600 | 2.9200 | 3 | -0.52m | -0.70m | 0.13m | 0.032 | 0.077 | -0.003 | 0.59m | 0.54m | 0.24m | 0.047 | 0.097 | -0.002 |
| 243 | 1 | 41 | 4.3600 | -0.1600 | 2.9200 | 3 | -0.57m | -0.70m | 0.14m | 0.032 | -0.096 | 0.003 | 0.54m | 0.54m | 0.25m | 0.047 | -0.077 | 0.004 |
| 15 | | | | | | | | | | | | | | | | | | |

| | | | | | | | | | | | | | | | | | | |
|-----|---|----|---------|---------|--------|---|--------|--------|--------|--------|--------|--------|--------|--------|--------|--------|--------|--------|
| 9 | 0 | 14 | 0.0000 | 1.1600 | 0.0000 | 4 | 0 | 0 | -0.31m | 0 | 0.023 | 0 | 0 | 0 | -0.31m | 0 | 0.023 | 0 |
| 79 | 0 | 15 | 1.0200 | 1.1600 | 0.0000 | 4 | 0 | 0 | -1.20m | 0.001 | 0.061 | 0 | 0 | 0 | -1.20m | 0.001 | 0.061 | 0 |
| 3 | 0 | 16 | 2.0300 | 1.1600 | 0.0000 | 4 | 0 | 0 | -1.89m | 0.003 | 0 | 0 | 0 | 0 | -1.89m | 0.003 | 0 | 0 |
| 2 | 0 | 17 | 3.0500 | 1.1600 | 0.0000 | 4 | 0 | 0 | -1.19m | 0.001 | -0.061 | 0 | 0 | 0 | -1.19m | 0.001 | -0.061 | 0 |
| 85 | 0 | 18 | 4.0600 | 1.1600 | 0.0000 | 4 | 0 | 0 | -0.31m | 0 | -0.022 | 0 | 0 | 0 | -0.31m | 0 | -0.022 | 0 |
| 71 | 0 | 19 | 5.0200 | 1.1600 | 0.0000 | 4 | 0 | 0 | -0.30m | 0 | 0.006 | 0 | 0 | 0 | -0.30m | 0 | 0.006 | 0 |
| 21 | 0 | 20 | -0.7200 | 2.3300 | 0.0000 | 4 | 0 | 0 | -54.8μ | 0.001 | -0.006 | 0 | 0 | 0 | -54.8μ | 0.001 | -0.006 | 0 |
| 23 | 0 | 21 | 0.0000 | 2.3300 | 0.0000 | 4 | 0 | 0 | 0 | 0 | 0 | 0 | 0 | 0 | 0 | 0 | 0 | 0 |
| 81 | 0 | 22 | 1.0200 | 2.3300 | 0.0000 | 4 | 0 | 0 | -1.65m | -0.065 | 0.114 | 0 | 0 | 0 | -1.65m | -0.065 | 0.114 | 0 |
| 83 | 0 | 23 | 2.0300 | 2.3300 | 0.0000 | 4 | 0 | 0 | -2.88m | -0.098 | 0 | 0 | 0 | 0 | -2.88m | -0.098 | 0 | 0 |
| 84 | 0 | 24 | 3.0500 | 2.3300 | 0.0000 | 4 | 0 | 0 | -1.63m | -0.065 | -0.115 | 0 | 0 | 0 | -1.63m | -0.065 | -0.115 | 0 |
| 28 | 0 | 25 | 4.0600 | 2.3300 | 0.0000 | 4 | 0 | 0 | 0 | 0 | 0 | 0 | 0 | 0 | 0 | 0 | 0 | 0 |
| 68 | 0 | 26 | 4.7800 | 2.3300 | 0.0000 | 4 | 0 | 0 | -55.7μ | 0.002 | 0.006 | 0 | 0 | 0 | -55.7μ | 0.002 | 0.006 | 0 |
| 54 | 0 | 27 | 0.0000 | 3.3000 | 0.0000 | 4 | 0 | 0 | -0.40m | -0.028 | 0.031 | 0 | 0 | 0 | -0.40m | -0.028 | 0.031 | 0 |
| 16 | 0 | 28 | 4.0600 | 3.3000 | 0.0000 | 4 | 0 | 0 | -0.41m | -0.028 | -0.033 | 0 | 0 | 0 | -0.41m | -0.028 | -0.033 | 0 |
| 57 | 0 | 29 | 1.0200 | 3.9300 | 0.0000 | 4 | 0 | 0 | -4.87m | -0.129 | 0.158 | 0 | 0 | 0 | -4.87m | -0.129 | 0.158 | 0 |
| 60 | 0 | 30 | 2.0300 | 4.1100 | 0.0000 | 4 | 0 | 0 | -7.71m | -0.173 | 0 | 0 | 0 | 0 | -7.71m | -0.173 | 0 | 0 |
| 63 | 0 | 31 | 3.0500 | 3.9300 | 0.0000 | 4 | 0 | 0 | -4.84m | -0.128 | -0.158 | 0 | 0 | 0 | -4.84m | -0.128 | -0.158 | 0 |
| 33 | 0 | 32 | 0.0000 | -0.5000 | 0.0000 | 4 | 0 | 0 | -0.22m | 0.034 | 0.042 | 0 | 0 | 0 | -0.22m | 0.034 | 0.042 | 0 |
| 13 | 0 | 33 | 0.3000 | -0.8600 | 0.0000 | 4 | 0 | 0 | -1.03m | 0.035 | 0.175 | 0 | 0 | 0 | -1.03m | 0.035 | 0.175 | 0 |
| 39 | 0 | 34 | 1.0200 | -0.8600 | 0.0000 | 4 | 0 | 0 | -3.46m | 0.135 | 0.172 | 0 | 0 | 0 | -3.46m | 0.135 | 0.172 | 0 |
| 42 | 0 | 35 | 2.0300 | -0.8600 | 0.0000 | 4 | 0 | 0 | -5.27m | 0.175 | 0 | 0 | 0 | 0 | -5.27m | 0.175 | 0 | 0 |
| 45 | 0 | 36 | 3.0500 | -0.8600 | 0.0000 | 4 | 0 | 0 | -3.43m | 0.135 | -0.172 | 0 | 0 | 0 | -3.43m | 0.135 | -0.172 | 0 |
| 56 | 0 | 37 | 3.7800 | -0.8600 | 0.0000 | 4 | 0 | 0 | -0.98m | 0.031 | -0.172 | 0 | 0 | 0 | -0.98m | 0.031 | -0.172 | 0 |
| 48 | 0 | 38 | 4.0600 | -0.5200 | 0.0000 | 4 | 0 | 0 | -0.23m | 0.035 | -0.044 | 0 | 0 | 0 | -0.23m | 0.035 | -0.044 | 0 |
| 1 | 0 | 39 | -0.3500 | 0.0000 | 0.0000 | 4 | 0 | 0 | -13.1μ | -0.004 | -0.003 | 0 | 0 | 0 | -13.1μ | -0.004 | -0.003 | 0 |
| 11 | 0 | 40 | -0.2900 | -0.1600 | 0.0000 | 4 | 0 | 0 | 1.79μ | -0.001 | 0.01 | 0 | 0 | 0 | 1.79μ | -0.001 | 0.01 | 0 |
| 53 | 0 | 41 | 4.3600 | -0.1600 | 0.0000 | 4 | 0 | 0 | 1.91μ | -0.002 | -0.01 | 0 | 0 | 0 | 1.91μ | -0.002 | -0.01 | 0 |
| 9 | 0 | 42 | 4.4100 | 0.0000 | 0.0000 | 4 | 0 | 0 | -13.7μ | -0.005 | 0.003 | 0 | 0 | 0 | -13.7μ | -0.005 | 0.003 | 0 |
| 10 | 0 | 43 | -0.5700 | 0.6700 | 0.0000 | 4 | 0 | 0 | -0.19m | -0.012 | -0.008 | 0 | 0 | 0 | -0.19m | -0.012 | -0.008 | 0 |
| 12 | 0 | 44 | -0.5700 | 1.1600 | 0.0000 | 4 | 0 | 0 | -0.24m | 0 | -0.001 | 0 | 0 | 0 | -0.24m | 0 | -0.001 | 0 |
| 54 | 0 | 45 | 4.6300 | 0.6700 | 0.0000 | 4 | 0 | 0 | -0.19m | -0.012 | 0.008 | 0 | 0 | 0 | -0.19m | -0.012 | 0.008 | 0 |
| 20 | 0 | 46 | 4.6300 | 1.1600 | 0.0000 | 4 | 0 | 0 | -0.25m | 0 | 0.002 | 0 | 0 | 0 | -0.25m | 0 | 0.002 | 0 |
| 31 | 0 | 47 | -0.5700 | 1.5800 | 0.0000 | 4 | 0 | 0 | -0.21m | 0.011 | -0.008 | 0 | 0 | 0 | -0.21m | 0.011 | -0.008 | 0 |
| 69 | 0 | 48 | 4.6300 | 1.5800 | 0.0000 | 4 | 0 | 0 | -0.21m | 0.011 | 0.009 | 0 | 0 | 0 | -0.21m | 0.011 | 0.009 | 0 |
| 22 | 0 | 49 | -0.3200 | 2.3300 | 0.0000 | 4 | 0 | 0 | -10.8μ | 0.004 | -0.003 | 0 | 0 | 0 | -10.8μ | 0.004 | -0.003 | 0 |
| 30 | 0 | 50 | -0.2900 | 2.4100 | 0.0000 | 4 | 0 | 0 | -2.85μ | 0.003 | 0 | 0 | 0 | 0 | -2.85μ | 0.003 | 0 | 0 |
| 36 | 0 | 51 | 0.0000 | 2.7500 | 0.0000 | 4 | 0 | 0 | -0.13m | -0.024 | 0.033 | 0 | 0 | 0 | -0.13m | -0.024 | 0.033 | 0 |
| 15 | 0 | 52 | 4.0600 | 2.7700 | 0.0000 | 4 | 0 | 0 | -0.15m | -0.025 | -0.034 | 0 | 0 | 0 | -0.15m | -0.025 | -0.034 | 0 |
| 70 | 0 | 53 | 4.3600 | 2.4100 | 0.0000 | 4 | 0 | 0 | -3.34μ | 0.003 | -0.001 | 0 | 0 | 0 | -3.34μ | 0.003 | -0.001 | 0 |
| 30 | 0 | 54 | 4.3800 | 2.3300 | 0.0000 | 4 | 0 | 0 | -11.2μ | 0.004 | 0.003 | 0 | 0 | 0 | -11.2μ | 0.004 | 0.003 | 0 |
| 33 | 0 | 55 | 0.3000 | 3.1100 | 0.0000 | 4 | 0 | 0 | -0.81m | -0.024 | 0.159 | 0 | 0 | 0 | -0.81m | -0.024 | 0.159 | 0 |
| 40 | 0 | 56 | 1.0200 | 3.1100 | 0.0000 | 4 | 0 | 0 | -3.04m | -0.119 | 0.159 | 0 | 0 | 0 | -3.04m | -0.119 | 0.159 | 0 |
| 43 | 0 | 57 | 2.0300 | 3.1100 | 0.0000 | 4 | 0 | 0 | -4.72m | -0.157 | 0 | 0 | 0 | 0 | -4.72m | -0.157 | 0 | 0 |
| 46 | 0 | 58 | 3.0500 | 3.1100 | 0.0000 | 4 | 0 | 0 | -3.02m | -0.118 | -0.159 | 0 | 0 | 0 | -3.02m | -0.118 | -0.159 | 0 |
| 40 | 0 | 59 | 3.7800 | 3.1100 | 0.0000 | 4 | 0 | 0 | -0.77m | -0.02 | -0.156 | 0 | 0 | 0 | -0.77m | -0.02 | -0.156 | 0 |
| 177 | 1 | 1 | 1.0200 | -1.6900 | 2.9200 | 4 | 42.4μ | -0.11m | -5.59m | 0.124 | 0.088 | -0.008 | 42.4μ | -0.11m | -5.59m | 0.124 | 0.088 | -0.008 |
| 180 | 1 | 2 | 2.0300 | -1.8600 | 2.9200 | 4 | 9.70μ | -0.13m | -6.89m | 0.114 | 0 | 0 | 9.70μ | -0.13m | -6.89m | 0.114 | 0 | 0 |
| 183 | 1 | 3 | 3.0500 | -1.6900 | 2.9200 | 4 | -23.0μ | -0.11m | -5.55m | 0.124 | -0.089 | 0.008 | -23.0μ | -0.11m | -5.55m | 0.124 | -0.089 | 0.008 |
| 171 | 1 | 4 | 0.0000 | -1.0600 | 2.9200 | 4 | 95.9μ | -0.10m | -1.44m | 0.088 | 0.095 | -0.003 | 95.9μ | -0.10m | -1.44m | 0.088 | 0.095 | -0.003 |
| 186 | 1 | 5 | 4.0600 | -1.0600 | 2.9200 | 4 | -75.9μ | -0.10m | -1.44m | 0.087 | -0.095 | 0.003 | -75.9μ | -0.10m | -1.44m | 0.087 | -0.095 | 0.003 |
| 143 | 1 | 6 | -0.7200 | 0.0000 | 2.9200 | 4 | 49.2μ | -0.11m | 0.85m | 0.036 | 0.074 | 0.01 | 49.2μ | -0.11m | 0.85m | 0.036 | 0.074 | 0.01 |
| 139 | 1 | 7 | 0.0000 | 0.0000 | 2.9200 | 4 | 46.6μ | -0.10m | -61.4μ | 0.024 | 0.067 | -0.002 | 46.6μ | -0.10m | -61.4μ | 0.024 | 0.067 | -0.002 |
| 119 | 1 | 8 | 1.0200 | 0.0000 | 2.9200 | 4 | 36.5μ | -83.0μ | -2.78m | 0.031 | 0.162 | 0.004 | 36.5μ | -83.0μ | -2.78m | 0.031 | 0.162 | 0.004 |
| 121 | 1 | 9 | 2.0300 | 0.0000 | 2.9200 | 4 | 10.1μ | -77.5μ | -4.36m | 0.021 | 0 | 0 | 10.1μ | -77.5μ | -4.36m | 0.021 | 0 | 0 |
| 169 | 1 | 10 | 3.0500 | 0.0000 | 2.9200 | 4 | -16.3μ | -83.0μ | -2.74m | 0.03 | -0.163 | -0.004 | -16.3μ | -83.0μ | -2.74m | 0.03 | -0.163 | -0.004 |
| 140 | 1 | 11 | 4.0600 | 0.0000 | 2.9200 | 4 | -26.6μ | -0.10m | -61.5μ | 0.024 | -0.066 | 0.002 | -26.6μ | -0.10m | -61.5μ | 0.024 | -0.066 | 0.002 |
| 213 | 1 | 12 | 4.7800 | 0.0000 | 2.9200 | 4 | -29.1μ | -0.11m | 0.84m | 0.036 | -0.073 | -0.01 | -29.1μ | -0.11m | 0.84m | 0.036 | -0.073 | -0.01 |
| 152 | 1 | 13 | -0.9500 | 1.1600 | 2.9200 | 4 | 26.6μ | -86.5μ | 1.49m | -0.001 | 0.095 | 0.003 | 26.6μ | -86.5μ | 1.49m | -0.001 | 0.095 | 0.003 |
| 98 | 1 | 14 | 0.0000 | 1.1600 | 2.9200 | 4 | 23.0μ | -86.1μ | -0.26m | -0.002 | 0.124 | -0.001 | 23.0μ | -86.1μ | -0.26m | -0.002 | 0.124 | -0.001 |
| 120 | 1 | 15 | 1.0200 | 1.1600 | 2.9200 | 4 | 15.9μ | -84.8μ | -2.79m | 0.002 | 0.133 | 0 | 15.9μ | -84.8μ | -2.79m | 0.002 | 0.133 | 0 |
| 1 | 1 | 16 | 2.0300 | 1.1600 | 2.9200 | 4 | 9.97μ | -84.0μ | -4.16m | 0.005 | 0 | 0 | 9.97μ | -84.0μ | -4.16m | 0.005 | 0 | 0 |
| 0 | 1 | 17 | 3.0500 | 1.1600 | 2.9200 | 4 | 4.02μ | -84.7μ | -2.75m | 0.002 | -0.134 | 0 | 4.02μ | -84.7μ | -2.75m | 0.002 | -0.134 | 0 |
| 172 | 1 | 18 | 4.0600 | 1.1600 | 2.9200 | 4 | -3.13μ | -85.8μ | -0.26m | -0.002 | -0.123 | 0.001 | -3.13μ | -85.8μ | -0.26m | -0.002 | -0.123 | 0.001 |
| 210 | 1 | 19 | 5.0200 | 1.1600 | 2.9200 | 4 | -6.82μ | -86.0μ | 1.48m | -0.001 | -0.093 | -0.003 | -6.82μ | -86.0μ | 1.48m | -0.001 | -0.093 | -0.003 |
| 162 | 1 | 20 | -0.7200 | 2.3300 | 2.9200 | 4 | 49.2μ | -62.6μ | 0.83m | -0.029 | 0.071 | -0.006 | 49.2μ | -62.6μ | 0.83m | -0.029 | 0.071 | -0.006 |
| 141 | 1 | 21 | 0.0000 | 2.3300 | 2.9200 | 4 | 46.4μ | -68.3μ | -58.0μ | -0.018 | 0.065 | 0.001 | 46.4μ | -68.3μ | -58.0μ | -0.018 | 0.065 | 0.001 |
| 173 | 1 | 22 | 1.0200 | 2.3300 | 2.9200 | 4 | 35.9μ | -86.4μ | -2.65m | -0.02 | 0.153 | -0.003 | 35.9μ | -86.4μ | -2.65m | -0.02 | 0.153 | -0.003 |
| 174 | 1 | 23 | 2.0300 | 2.3300 | 2.9200 | 4 | 9.95μ | -90.2μ | -4.14m | -0.009 | 0 | 0 | 9.95μ | -90.2μ | -4.14m | -0.009 | 0 | 0 |
| 181 | 1 | 24 | 3.0500 | 2.3300 | 2.9200 | 4 | -16.1μ | -86.2μ | -2.62m | -0.02 | -0.154 | 0.003 | -16.1μ | -86.2μ | -2.62m | -0.02 | -0.154 | 0.003 |
| 142 | 1 | 25 | 4.0600 | 2.3300 | 2.9200 | 4 | -26.7μ | -67.9μ | -58.1μ | -0.018 | -0.065 | -0.001 | -26.7μ | -67.9μ | -58.1μ | -0.018 | -0.065 | -0.001 |
| 207 | 1 | 26 | 4.7800 | 2.3300 | 2.9200 | 4 | -29.5μ | -62.1μ | 0.81m | -0.029 | -0.069 | 0.006 | -29.5μ | -62.1μ | 0.81m | -0.029 | -0.069 | 0.006 |
| 193 | 1 | 27 | 0.0000 | 3.3000 | 2.9200 | 4 | 89.5μ | -69.7μ | -1.02m | -0.066 | 0.088 | 0.002 | 89.5μ | -69.7μ | -1.02m | -0.066 | 0.088 | 0.002 |
| 157 | 1 | 28 | 4.0600 | 3.3000 | 2.9200 | 4 | -70.0μ | -68.8μ | -1.02m | -0.066 | -0.089 | -0.002 | -70.0μ | -68.8μ | -1.02m | -0.066 | -0.089 | -0.002 |
| 196 | 1 | 29 | 1.0200 | 3.9300 | 2.9200 | 4 | 39. | | | | | | | | | | | |

Spostamenti Nodi. Famiglia Cmb. 5) Permanente

| Nodo Nodo FEM | | | | | | | Min. | | | | | | Max. | | | | | |
|---------------------|-------|------|---------|---------|--------|----------|--------|--------|--------|-----------|-----------|-----------|--------|--------|--------|-----------|-----------|-----------|
| | Piano | Filo | x[m] | y[m] | z[m] | Fam.Cmb. | sx [m] | sy [m] | sz [m] | rot x [°] | rot y [°] | rot z [°] | sx [m] | sy [m] | sz [m] | rot x [°] | rot y [°] | rot z [°] |
| 38 | 0 | 1 | 1.0200 | -1.6900 | 0.0000 | 5 | 0 | 0 | -5.16m | 0.135 | 0.158 | 0 | 0 | 0 | -5.16m | 0.135 | 0.158 | 0 |
| 41 | 0 | 2 | 2.0300 | -1.8600 | 0.0000 | 5 | 0 | 0 | -7.96m | 0.178 | 0 | 0 | 0 | 0 | -7.96m | 0.178 | 0 | 0 |
| 44 | 0 | 3 | 3.0500 | -1.6900 | 0.0000 | 5 | 0 | 0 | -5.13m | 0.135 | -0.158 | 0 | 0 | 0 | -5.13m | 0.135 | -0.158 | 0 |
| 32 | 0 | 4 | 0.0000 | -1.0600 | 0.0000 | 5 | 0 | 0 | -0.55m | 0.035 | 0.038 | 0 | 0 | 0 | -0.55m | 0.035 | 0.038 | 0 |
| 47 | 0 | 5 | 4.0600 | -1.0600 | 0.0000 | 5 | 0 | 0 | -0.56m | 0.036 | -0.04 | 0 | 0 | 0 | -0.56m | 0.036 | -0.04 | 0 |
| 0 | 0 | 6 | -0.7200 | 0.0000 | 0.0000 | 5 | 0 | 0 | -51.3μ | -0.002 | -0.005 | 0 | 0 | 0 | -51.3μ | -0.002 | -0.005 | 0 |
| 2 | 0 | 7 | 0.0000 | 0.0000 | 0.0000 | 5 | 0 | 0 | 0 | 0 | 0 | 0 | 0 | 0 | 0 | 0 | 0 | 0 |
| 78 | 0 | 8 | 1.0200 | 0.0000 | 0.0000 | 5 | 0 | 0 | -1.59m | 0.068 | 0.11 | 0 | 0 | 0 | -1.59m | 0.068 | 0.11 | 0 |
| 80 | 0 | 9 | 2.0300 | 0.0000 | 0.0000 | 5 | 0 | 0 | -2.78m | 0.1 | 0 | 0 | 0 | 0 | -2.78m | 0.1 | 0 | 0 |
| 82 | 0 | 10 | 3.0500 | 0.0000 | 0.0000 | 5 | 0 | 0 | -1.57m | 0.067 | -0.11 | 0 | 0 | 0 | -1.57m | 0.067 | -0.11 | 0 |
| 7 | 0 | 11 | 4.0600 | 0.0000 | 0.0000 | 5 | 0 | 0 | 0 | 0 | 0 | 0 | 0 | 0 | 0 | 0 | 0 | 0 |
| 74 | 0 | 12 | 4.7800 | 0.0000 | 0.0000 | 5 | 0 | 0 | -52.3μ | -0.002 | 0.005 | 0 | 0 | 0 | -52.3μ | -0.002 | 0.005 | 0 |
| 11 | 0 | 13 | -0.9500 | 1.1600 | 0.0000 | 5 | 0 | 0 | -0.28m | 0 | -0.006 | 0 | 0 | 0 | -0.28m | 0 | -0.006 | 0 |
| 9 | 0 | 14 | 0.0000 | 1.1600 | 0.0000 | 5 | 0 | 0 | -0.29m | 0 | 0.02 | 0 | 0 | 0 | -0.29m | 0 | 0.02 | 0 |
| 79 | 0 | 15 | 1.0200 | 1.1600 | 0.0000 | 5 | 0 | 0 | -1.10m | 0.001 | 0.056 | 0 | 0 | 0 | -1.10m | 0.001 | 0.056 | 0 |
| 3 | 0 | 16 | 2.0300 | 1.1600 | 0.0000 | 5 | 0 | 0 | -1.73m | 0.003 | 0 | 0 | 0 | 0 | -1.73m | 0.003 | 0 | 0 |
| 2 | 0 | 17 | 3.0500 | 1.1600 | 0.0000 | 5 | 0 | 0 | -1.09m | 0.001 | -0.056 | 0 | 0 | 0 | -1.09m | 0.001 | -0.056 | 0 |
| 85 | 0 | 18 | 4.0600 | 1.1600 | 0.0000 | 5 | 0 | 0 | -0.29m | 0 | -0.02 | 0 | 0 | 0 | -0.29m | 0 | -0.02 | 0 |
| 71 | 0 | 19 | 5.0200 | 1.1600 | 0.0000 | 5 | 0 | 0 | -0.29m | 0 | 0.007 | 0 | 0 | 0 | -0.29m | 0 | 0.007 | 0 |
| 21 | 0 | 20 | -0.7200 | 2.3300 | 0.0000 | 5 | 0 | 0 | -51.6μ | 0.002 | -0.005 | 0 | 0 | 0 | -51.6μ | 0.002 | -0.005 | 0 |
| 23 | 0 | 21 | 0.0000 | 2.3300 | 0.0000 | 5 | 0 | 0 | 0 | 0 | 0 | 0 | 0 | 0 | 0 | 0 | 0 | 0 |
| 81 | 0 | 22 | 1.0200 | 2.3300 | 0.0000 | 5 | 0 | 0 | -1.52m | -0.061 | 0.106 | 0 | 0 | 0 | -1.52m | -0.061 | 0.106 | 0 |
| 83 | 0 | 23 | 2.0300 | 2.3300 | 0.0000 | 5 | 0 | 0 | -2.66m | -0.092 | 0 | 0 | 0 | 0 | -2.66m | -0.092 | 0 | 0 |
| 84 | 0 | 24 | 3.0500 | 2.3300 | 0.0000 | 5 | 0 | 0 | -1.50m | -0.061 | -0.106 | 0 | 0 | 0 | -1.50m | -0.061 | -0.106 | 0 |
| 28 | 0 | 25 | 4.0600 | 2.3300 | 0.0000 | 5 | 0 | 0 | 0 | 0 | 0 | 0 | 0 | 0 | 0 | 0 | 0 | 0 |
| 68 | 0 | 26 | 4.7800 | 2.3300 | 0.0000 | 5 | 0 | 0 | -52.4μ | 0.002 | 0.005 | 0 | 0 | 0 | -52.4μ | 0.002 | 0.005 | 0 |
| 54 | 0 | 27 | 0.0000 | 3.3000 | 0.0000 | 5 | 0 | 0 | -0.38m | -0.026 | 0.029 | 0 | 0 | 0 | -0.38m | -0.026 | 0.029 | 0 |
| 16 | 0 | 28 | 4.0600 | 3.3000 | 0.0000 | 5 | 0 | 0 | -0.38m | -0.026 | -0.031 | 0 | 0 | 0 | -0.38m | -0.026 | -0.031 | 0 |
| 57 | 0 | 29 | 1.0200 | 3.9300 | 0.0000 | 5 | 0 | 0 | -4.53m | -0.12 | 0.146 | 0 | 0 | 0 | -4.53m | -0.12 | 0.146 | 0 |
| 60 | 0 | 30 | 2.0300 | 4.1100 | 0.0000 | 5 | 0 | 0 | -7.17m | -0.161 | 0 | 0 | 0 | 0 | -7.17m | -0.161 | 0 | 0 |
| 63 | 0 | 31 | 3.0500 | 3.9300 | 0.0000 | 5 | 0 | 0 | -4.50m | -0.12 | -0.146 | 0 | 0 | 0 | -4.50m | -0.12 | -0.146 | 0 |
| 33 | 0 | 32 | 0.0000 | -0.5000 | 0.0000 | 5 | 0 | 0 | -0.20m | 0.032 | 0.039 | 0 | 0 | 0 | -0.20m | 0.032 | 0.039 | 0 |
| 13 | 0 | 33 | 0.3000 | -0.8600 | 0.0000 | 5 | 0 | 0 | -0.96m | 0.033 | 0.162 | 0 | 0 | 0 | -0.96m | 0.033 | 0.162 | 0 |
| 39 | 0 | 34 | 1.0200 | -0.8600 | 0.0000 | 5 | 0 | 0 | -3.21m | 0.126 | 0.159 | 0 | 0 | 0 | -3.21m | 0.126 | 0.159 | 0 |
| 42 | 0 | 35 | 2.0300 | -0.8600 | 0.0000 | 5 | 0 | 0 | -4.88m | 0.163 | 0 | 0 | 0 | 0 | -4.88m | 0.163 | 0 | 0 |
| 45 | 0 | 36 | 3.0500 | -0.8600 | 0.0000 | 5 | 0 | 0 | -3.19m | 0.126 | -0.16 | 0 | 0 | 0 | -3.19m | 0.126 | -0.16 | 0 |
| 56 | 0 | 37 | 3.7800 | -0.8600 | 0.0000 | 5 | 0 | 0 | -0.91m | 0.029 | -0.159 | 0 | 0 | 0 | -0.91m | 0.029 | -0.159 | 0 |
| 48 | 0 | 38 | 4.0600 | -0.5200 | 0.0000 | 5 | 0 | 0 | -0.22m | 0.032 | -0.041 | 0 | 0 | 0 | -0.22m | 0.032 | -0.041 | 0 |
| 1 | 0 | 39 | -0.3500 | 0.0000 | 0.0000 | 5 | 0 | 0 | -12.8μ | -0.004 | -0.003 | 0 | 0 | 0 | -12.8μ | -0.004 | -0.003 | 0 |
| 11 | 0 | 40 | -0.2900 | -0.1600 | 0.0000 | 5 | 0 | 0 | 1.47μ | -0.001 | 0.009 | 0 | 0 | 0 | 1.47μ | -0.001 | 0.009 | 0 |
| 53 | 0 | 41 | 4.3600 | -0.1600 | 0.0000 | 5 | 0 | 0 | 1.56μ | -0.002 | -0.01 | 0 | 0 | 0 | 1.56μ | -0.002 | -0.01 | 0 |
| 9 | 0 | 42 | 4.4100 | 0.0000 | 0.0000 | 5 | 0 | 0 | -13.3μ | -0.004 | 0.003 | 0 | 0 | 0 | -13.3μ | -0.004 | 0.003 | 0 |
| 10 | 0 | 43 | -0.5700 | 0.6700 | 0.0000 | 5 | 0 | 0 | -0.18m | -0.012 | -0.008 | 0 | 0 | 0 | -0.18m | -0.012 | -0.008 | 0 |
| 12 | 0 | 44 | -0.5700 | 1.1600 | 0.0000 | 5 | 0 | 0 | -0.24m | 0 | -0.002 | 0 | 0 | 0 | -0.24m | 0 | -0.002 | 0 |
| 54 | 0 | 45 | 4.6300 | 0.6700 | 0.0000 | 5 | 0 | 0 | -0.19m | -0.012 | 0.009 | 0 | 0 | 0 | -0.19m | -0.012 | 0.009 | 0 |
| 20 | 0 | 46 | 4.6300 | 1.1600 | 0.0000 | 5 | 0 | 0 | -0.24m | 0 | 0.003 | 0 | 0 | 0 | -0.24m | 0 | 0.003 | 0 |
| 31 | 0 | 47 | -0.5700 | 1.5800 | 0.0000 | 5 | 0 | 0 | -0.20m | 0.01 | -0.008 | 0 | 0 | 0 | -0.20m | 0.01 | -0.008 | 0 |
| 69 | 0 | 48 | 4.6300 | 1.5800 | 0.0000 | 5 | 0 | 0 | -0.20m | 0.01 | 0.009 | 0 | 0 | 0 | -0.20m | 0.01 | 0.009 | 0 |
| 22 | 0 | 49 | -0.3200 | 2.3300 | 0.0000 | 5 | 0 | 0 | -10.5μ | 0.004 | -0.003 | 0 | 0 | 0 | -10.5μ | 0.004 | -0.003 | 0 |
| 30 | 0 | 50 | -0.2900 | 2.4100 | 0.0000 | 5 | 0 | 0 | -2.87μ | 0.003 | 0 | 0 | 0 | 0 | -2.87μ | 0.003 | 0 | 0 |
| 36 | 0 | 51 | 0.0000 | 2.7500 | 0.0000 | 5 | 0 | 0 | -0.13m | -0.022 | 0.031 | 0 | 0 | 0 | -0.13m | -0.022 | 0.031 | 0 |
| 15 | 0 | 52 | 4.0600 | 2.7700 | 0.0000 | 5 | 0 | 0 | -0.14m | -0.023 | -0.032 | 0 | 0 | 0 | -0.14m | -0.023 | -0.032 | 0 |
| 70 | 0 | 53 | 4.3600 | 2.4100 | 0.0000 | 5 | 0 | 0 | -3.34μ | 0.003 | -0.001 | 0 | 0 | 0 | -3.34μ | 0.003 | -0.001 | 0 |
| 30 | 0 | 54 | 4.3800 | 2.3300 | 0.0000 | 5 | 0 | 0 | -10.9μ | 0.004 | 0.003 | 0 | 0 | 0 | -10.9μ | 0.004 | 0.003 | 0 |
| 33 | 0 | 55 | 0.3000 | 3.1100 | 0.0000 | 5 | 0 | 0 | -0.76m | -0.022 | 0.148 | 0 | 0 | 0 | -0.76m | -0.022 | 0.148 | 0 |
| 40 | 0 | 56 | 1.0200 | 3.1100 | 0.0000 | 5 | 0 | 0 | -2.83m | -0.111 | 0.147 | 0 | 0 | 0 | -2.83m | -0.111 | 0.147 | 0 |
| 43 | 0 | 57 | 2.0300 | 3.1100 | 0.0000 | 5 | 0 | 0 | -4.38m | -0.146 | 0 | 0 | 0 | 0 | -4.38m | -0.146 | 0 | 0 |
| 46 | 0 | 58 | 3.0500 | 3.1100 | 0.0000 | 5 | 0 | 0 | -2.80m | -0.11 | -0.147 | 0 | 0 | 0 | -2.80m | -0.11 | -0.147 | 0 |
| 40 | 0 | 59 | 3.7800 | 3.1100 | 0.0000 | 5 | 0 | 0 | -0.71m | -0.019 | -0.145 | 0 | 0 | 0 | -0.71m | -0.019 | -0.145 | 0 |
| 177 | 1 | 1 | 1.0200 | -1.6900 | 2.9200 | 5 | 42.4μ | -0.11m | -5.59m | 0.124 | 0.088 | -0.008 | 42.4μ | -0.11m | -5.59m | 0.124 | 0.088 | -0.008 |
| 180 | 1 | 2 | 2.0300 | -1.8600 | 2.9200 | 5 | 9.70μ | -0.13m | -6.89m | 0.114 | 0 | 0 | 9.70μ | -0.13m | -6.89m | 0.114 | 0 | 0 |
| 183 | 1 | 3 | 3.0500 | -1.6900 | 2.9200 | 5 | -23.0μ | -0.11m | -5.55m | 0.124 | -0.089 | 0.008 | -23.0μ | -0.11m | -5.55m | 0.124 | -0.089 | 0.008 |
| 171 | 1 | 4 | 0.0000 | -1.0600 | 2.9200 | 5 | 95.9μ | -0.10m | -1.44m | 0.088 | 0.095 | -0.003 | 95.9μ | -0.10m | -1.44m | 0.088 | 0.095 | -0.003 |
| 186 | 1 | 5 | 4.0600 | -1.0600 | 2.9200 | 5 | -75.9μ | -0.10m | -1.44m | 0.087 | -0.095 | 0.003 | -75.9μ | -0.10m | -1.44m | 0.087 | -0.095 | 0.003 |
| 143 | 1 | 6 | -0.7200 | 0.0000 | 2.9200 | 5 | 49.2μ | -0.11m | 0.85m | 0.036 | 0.074 | 0.01 | 49.2μ | -0.11m | 0.85m | 0.036 | 0.074 | 0.01 |
| 139 | 1 | 7 | 0.0000 | 0.0000 | 2.9200 | 5 | 46.6μ | -0.10m | -61.4μ | 0.024 | 0.067 | -0.002 | 46.6μ | -0.10m | -61.4μ | 0.024 | 0.067 | -0.002 |
| 119 | 1 | 8 | 1.0200 | 0.0000 | 2.9200 | 5 | 36.5μ | -83.0μ | -2.78m | 0.031 | 0.162 | 0.004 | 36.5μ | -83.0μ | -2.78m | 0.031 | 0.162 | 0.004 |
| 121 | 1 | 9 | 2.0300 | 0.0000 | 2.9200 | 5 | 10.1μ | -77.5μ | -4.36m | 0.021 | 0 | 0 | 10.1μ | -77.5μ | -4.36m | 0.021 | 0 | 0 |
| 169 | 1 | 10 | 3.0500 | 0.0000 | 2.9200 | 5 | -16.3μ | -83.0μ | -2.74m | 0.03 | -0.163 | -0.004 | -16.3μ | -83.0μ | -2.74m | 0.03 | -0.163 | -0.004 |
| 140 | 1 | 11 | 4.0600 | 0.0000 | 2.9200 | 5 | -26.6μ | -0.10m | -61.5μ | 0.024 | -0.066 | 0.002 | -26.6μ | -0.10m | -61.5μ | 0.024 | -0.066 | 0.002 |
| 213 | 1 | 12 | 4.7800 | 0.0000 | 2.9200 | 5 | -29.1μ | -0.11m | 0.84m | 0.036 | -0.073 | -0.01 | -29.1μ | -0.11m | 0.84m | 0.036 | -0.073 | -0.01 |
| 152 | 1 | 13 | -0.9500 | 1.1600 | 2.9200 | 5 | 26.6μ | -86.5μ | 1.49m | -0.001 | 0.095 | 0.003 | 26.6μ | -86.5μ | 1.49m | -0.001 | 0.095 | 0.003 |
| 98 | 1 | 14 | 0.0000 | 1.1600 | 2.9200 | 5 | 23.0μ | -86.1μ | -0.26m | -0.002 | 0.124 | -0.001 | 23.0μ | -86.1μ | -0.26m | -0.002 | 0.124 | -0.001 |
| 120 | 1 | 15 | 1.0200 | 1.1600 | 2.9200 | 5 | 15.9μ | -84.8μ | -2.79m | 0.002 | 0.133 | 0 | 15.9μ | -84.8μ | -2.79m | 0.002 | 0.133 | 0 |
| 1 | 1 | 16 | 2.0300 | 1.1600 | | | | | | | | | | | | | | |

| | | | | | | | | | | | | | | | | | | |
|-----|---|----|---------|--------|--------|---|--------|--------|--------|--------|--------|--------|--------|--------|--------|--------|--------|--------|
| 153 | 1 | 44 | -0.5700 | 1.1600 | 2.9200 | 5 | 23.1μ | -68.9μ | 0.85m | -0.001 | 0.103 | 0 | 23.1μ | -68.9μ | 0.85m | -0.001 | 0.103 | 0 |
| 246 | 1 | 45 | 4.6300 | 0.6700 | 2.9200 | 5 | 85.7μ | -62.8μ | 0.85m | 0.001 | -0.093 | -0.001 | 85.7μ | -62.8μ | 0.85m | 0.001 | -0.093 | -0.001 |
| 161 | 1 | 46 | 4.6300 | 1.1600 | 2.9200 | 5 | -3.29μ | -68.8μ | 0.84m | -0.001 | -0.102 | 0 | -3.29μ | -68.8μ | 0.84m | -0.001 | -0.102 | 0 |
| 266 | 1 | 47 | -0.5700 | 1.5800 | 2.9200 | 5 | -62.2μ | -75.7μ | 0.85m | -0.002 | 0.094 | 0.001 | -62.2μ | -75.7μ | 0.85m | -0.002 | 0.094 | 0.001 |
| 249 | 1 | 48 | 4.6300 | 1.5800 | 2.9200 | 5 | 81.5μ | -76.0μ | 0.83m | -0.002 | -0.092 | -0.001 | 81.5μ | -76.0μ | 0.83m | -0.002 | -0.092 | -0.001 |
| 163 | 1 | 49 | -0.3200 | 2.3300 | 2.9200 | 5 | 44.8μ | -91.7μ | 0.33m | -0.026 | 0.076 | 0 | 44.8μ | -91.7μ | 0.33m | -0.026 | 0.076 | 0 |
| 262 | 1 | 50 | -0.2900 | 2.4100 | 2.9200 | 5 | 40.7μ | -87.2μ | 0.25m | -0.028 | 0.079 | 0.001 | 40.7μ | -87.2μ | 0.25m | -0.028 | 0.079 | 0.001 |
| 175 | 1 | 51 | 0.0000 | 2.7500 | 2.9200 | 5 | 83.2μ | -62.7μ | -0.39m | -0.058 | 0.09 | -0.006 | 83.2μ | -62.7μ | -0.39m | -0.058 | 0.09 | -0.006 |
| 156 | 1 | 52 | 4.0600 | 2.7700 | 2.9200 | 5 | -64.8μ | -62.1μ | -0.42m | -0.058 | -0.09 | 0.006 | -64.8μ | -62.1μ | -0.42m | -0.058 | -0.09 | 0.006 |
| 252 | 1 | 53 | 4.3600 | 2.4100 | 2.9200 | 5 | -20.0μ | -87.8μ | 0.26m | -0.028 | -0.078 | -0.002 | -20.0μ | -87.8μ | 0.26m | -0.028 | -0.078 | -0.002 |
| 169 | 1 | 54 | 4.3800 | 2.3300 | 2.9200 | 5 | -25.2μ | -91.9μ | 0.32m | -0.026 | -0.075 | -0.001 | -25.2μ | -91.9μ | 0.32m | -0.026 | -0.075 | -0.001 |
| 260 | 1 | 55 | 0.3000 | 3.1100 | 2.9200 | 5 | 0.27m | -58.0μ | -1.57m | -0.074 | 0.162 | -0.005 | 0.27m | -58.0μ | -1.57m | -0.074 | 0.162 | -0.005 |
| 179 | 1 | 56 | 1.0200 | 3.1100 | 2.9200 | 5 | 0.11m | -78.0μ | -3.42m | -0.083 | 0.087 | -0.001 | 0.11m | -78.0μ | -3.42m | -0.083 | 0.087 | -0.001 |
| 182 | 1 | 57 | 2.0300 | 3.1100 | 2.9200 | 5 | 9.49μ | -73.1μ | -4.54m | -0.063 | 0 | 0 | 9.49μ | -73.1μ | -4.54m | -0.063 | 0 | 0 |
| 185 | 1 | 58 | 3.0500 | 3.1100 | 2.9200 | 5 | -91.7μ | -77.7μ | -3.39m | -0.082 | -0.088 | 0.001 | -91.7μ | -77.7μ | -3.39m | -0.082 | -0.088 | 0.001 |
| 255 | 1 | 59 | 3.7800 | 3.1100 | 2.9200 | 5 | -0.25m | -64.2μ | -1.51m | -0.07 | -0.161 | 0.005 | -0.25m | -64.2μ | -1.51m | -0.07 | -0.161 | 0.005 |

Suffissi: f=10⁻¹⁵, p=10⁻¹², n=10⁻⁹, μ=10⁻⁶, m=10⁻³, k=10⁻³, M=10⁶, G=10⁹, T=10¹², P=10¹⁵ (Sistema Internazionale di misura)

— Spostamenti Nodi. Famiglia Cmb. 7) Sismica SLD

| Nodo Nodo FEM | Piano | Filo | x[m] | y[m] | z[m] | Fam.Cmb. | Min. | | | | | | Max. | | | | | |
|---------------------|-------|------|---------|---------|--------|----------|--------|--------|--------|-----------|-----------|-----------|--------|--------|--------|-----------|-----------|-----------|
| | | | | | | | sx [m] | sy [m] | sz [m] | rot x [°] | rot y [°] | rot z [°] | sx [m] | sy [m] | sz [m] | rot x [°] | rot y [°] | rot z [°] |
| 38 | 0 | 1 | 1.0200 | -1.6900 | 0.0000 | 7 | 0 | 0 | -5.55m | 0.145 | 0.171 | 0 | 0 | 0 | -5.55m | 0.145 | 0.171 | 0 |
| 41 | 0 | 2 | 2.0300 | -1.8600 | 0.0000 | 7 | 0 | 0 | -8.57m | 0.191 | 0 | 0 | 0 | 0 | -8.57m | 0.191 | 0 | 0 |
| 44 | 0 | 3 | 3.0500 | -1.6900 | 0.0000 | 7 | 0 | 0 | -5.52m | 0.145 | -0.171 | 0 | 0 | 0 | -5.52m | 0.145 | -0.171 | 0 |
| 32 | 0 | 4 | 0.0000 | -1.0600 | 0.0000 | 7 | 0 | 0 | -0.59m | 0.038 | 0.041 | 0 | 0 | 0 | -0.59m | 0.038 | 0.041 | 0 |
| 47 | 0 | 5 | 4.0600 | -1.0600 | 0.0000 | 7 | 0 | 0 | -0.60m | 0.039 | -0.043 | 0 | 0 | 0 | -0.60m | 0.039 | -0.043 | 0 |
| 0 | 0 | 6 | -0.7200 | 0.0000 | 0.0000 | 7 | 0 | 0 | -54.2μ | -0.002 | -0.006 | 0 | 0 | 0 | -54.2μ | -0.002 | -0.006 | 0 |
| 2 | 0 | 7 | 0.0000 | 0.0000 | 0.0000 | 7 | 0 | 0 | 0 | 0 | 0 | 0 | 0 | 0 | 0 | 0 | 0 | 0 |
| 78 | 0 | 8 | 1.0200 | 0.0000 | 0.0000 | 7 | 0 | 0 | -1.72m | 0.073 | 0.119 | 0 | 0 | 0 | -1.72m | 0.073 | 0.119 | 0 |
| 80 | 0 | 9 | 2.0300 | 0.0000 | 0.0000 | 7 | 0 | 0 | -3.01m | 0.108 | 0 | 0 | 0 | 0 | -3.01m | 0.108 | 0 | 0 |
| 82 | 0 | 10 | 3.0500 | 0.0000 | 0.0000 | 7 | 0 | 0 | -1.70m | 0.072 | -0.12 | 0 | 0 | 0 | -1.70m | 0.072 | -0.12 | 0 |
| 7 | 0 | 11 | 4.0600 | 0.0000 | 0.0000 | 7 | 0 | 0 | 0 | 0 | 0 | 0 | 0 | 0 | 0 | 0 | 0 | 0 |
| 74 | 0 | 12 | 4.7800 | 0.0000 | 0.0000 | 7 | 0 | 0 | -55.3μ | -0.002 | 0.006 | 0 | 0 | 0 | -55.3μ | -0.002 | 0.006 | 0 |
| 11 | 0 | 13 | -0.9500 | 1.1600 | 0.0000 | 7 | 0 | 0 | -0.29m | 0 | -0.005 | 0 | 0 | 0 | -0.29m | 0 | -0.005 | 0 |
| 9 | 0 | 14 | 0.0000 | 1.1600 | 0.0000 | 7 | 0 | 0 | -0.31m | 0 | 0.023 | 0 | 0 | 0 | -0.31m | 0 | 0.023 | 0 |
| 79 | 0 | 15 | 1.0200 | 1.1600 | 0.0000 | 7 | 0 | 0 | -1.20m | 0.001 | 0.061 | 0 | 0 | 0 | -1.20m | 0.001 | 0.061 | 0 |
| 3 | 0 | 16 | 2.0300 | 1.1600 | 0.0000 | 7 | 0 | 0 | -1.89m | 0.003 | 0 | 0 | 0 | 0 | -1.89m | 0.003 | 0 | 0 |
| 2 | 0 | 17 | 3.0500 | 1.1600 | 0.0000 | 7 | 0 | 0 | -1.19m | 0.001 | -0.061 | 0 | 0 | 0 | -1.19m | 0.001 | -0.061 | 0 |
| 85 | 0 | 18 | 4.0600 | 1.1600 | 0.0000 | 7 | 0 | 0 | -0.31m | 0 | -0.022 | 0 | 0 | 0 | -0.31m | 0 | -0.022 | 0 |
| 71 | 0 | 19 | 5.0200 | 1.1600 | 0.0000 | 7 | 0 | 0 | -0.30m | 0 | 0.006 | 0 | 0 | 0 | -0.30m | 0 | 0.006 | 0 |
| 21 | 0 | 20 | -0.7200 | 2.3300 | 0.0000 | 7 | 0 | 0 | -54.8μ | 0.001 | -0.006 | 0 | 0 | 0 | -54.8μ | 0.001 | -0.006 | 0 |
| 23 | 0 | 21 | 0.0000 | 2.3300 | 0.0000 | 7 | 0 | 0 | 0 | 0 | 0 | 0 | 0 | 0 | 0 | 0 | 0 | 0 |
| 81 | 0 | 22 | 1.0200 | 2.3300 | 0.0000 | 7 | 0 | 0 | -1.65m | -0.065 | 0.114 | 0 | 0 | 0 | -1.65m | -0.065 | 0.114 | 0 |
| 83 | 0 | 23 | 2.0300 | 2.3300 | 0.0000 | 7 | 0 | 0 | -2.88m | -0.098 | 0 | 0 | 0 | 0 | -2.88m | -0.098 | 0 | 0 |
| 84 | 0 | 24 | 3.0500 | 2.3300 | 0.0000 | 7 | 0 | 0 | -1.63m | -0.065 | -0.115 | 0 | 0 | 0 | -1.63m | -0.065 | -0.115 | 0 |
| 28 | 0 | 25 | 4.0600 | 2.3300 | 0.0000 | 7 | 0 | 0 | 0 | 0 | 0 | 0 | 0 | 0 | 0 | 0 | 0 | 0 |
| 68 | 0 | 26 | 4.7800 | 2.3300 | 0.0000 | 7 | 0 | 0 | -55.7μ | 0.002 | 0.006 | 0 | 0 | 0 | -55.7μ | 0.002 | 0.006 | 0 |
| 54 | 0 | 27 | 0.0000 | 3.3000 | 0.0000 | 7 | 0 | 0 | -0.40m | -0.028 | 0.031 | 0 | 0 | 0 | -0.40m | -0.028 | 0.031 | 0 |
| 16 | 0 | 28 | 4.0600 | 3.3000 | 0.0000 | 7 | 0 | 0 | -0.41m | -0.028 | -0.033 | 0 | 0 | 0 | -0.41m | -0.028 | -0.033 | 0 |
| 57 | 0 | 29 | 1.0200 | 3.9300 | 0.0000 | 7 | 0 | 0 | -4.87m | -0.129 | 0.158 | 0 | 0 | 0 | -4.87m | -0.129 | 0.158 | 0 |
| 60 | 0 | 30 | 2.0300 | 4.1100 | 0.0000 | 7 | 0 | 0 | -7.71m | -0.173 | 0 | 0 | 0 | 0 | -7.71m | -0.173 | 0 | 0 |
| 63 | 0 | 31 | 3.0500 | 3.9300 | 0.0000 | 7 | 0 | 0 | -4.84m | -0.128 | -0.158 | 0 | 0 | 0 | -4.84m | -0.128 | -0.158 | 0 |
| 33 | 0 | 32 | 0.0000 | -0.5000 | 0.0000 | 7 | 0 | 0 | -0.22m | 0.034 | 0.042 | 0 | 0 | 0 | -0.22m | 0.034 | 0.042 | 0 |
| 13 | 0 | 33 | 0.3000 | -0.8600 | 0.0000 | 7 | 0 | 0 | -1.03m | 0.035 | 0.175 | 0 | 0 | 0 | -1.03m | 0.035 | 0.175 | 0 |
| 39 | 0 | 34 | 1.0200 | -0.8600 | 0.0000 | 7 | 0 | 0 | -3.46m | 0.135 | 0.172 | 0 | 0 | 0 | -3.46m | 0.135 | 0.172 | 0 |
| 42 | 0 | 35 | 2.0300 | -0.8600 | 0.0000 | 7 | 0 | 0 | -5.27m | 0.175 | 0 | 0 | 0 | 0 | -5.27m | 0.175 | 0 | 0 |
| 45 | 0 | 36 | 3.0500 | -0.8600 | 0.0000 | 7 | 0 | 0 | -3.43m | 0.135 | -0.172 | 0 | 0 | 0 | -3.43m | 0.135 | -0.172 | 0 |
| 56 | 0 | 37 | 3.7800 | -0.8600 | 0.0000 | 7 | 0 | 0 | -0.98m | 0.031 | -0.172 | 0 | 0 | 0 | -0.98m | 0.031 | -0.172 | 0 |
| 48 | 0 | 38 | 4.0600 | -0.5200 | 0.0000 | 7 | 0 | 0 | -0.23m | 0.035 | -0.044 | 0 | 0 | 0 | -0.23m | 0.035 | -0.044 | 0 |
| 1 | 0 | 39 | -0.3500 | 0.0000 | 0.0000 | 7 | 0 | 0 | -13.1μ | -0.004 | -0.003 | 0 | 0 | 0 | -13.1μ | -0.004 | -0.003 | 0 |
| 11 | 0 | 40 | -0.2900 | -0.1600 | 0.0000 | 7 | 0 | 0 | 1.79μ | -0.001 | 0.01 | 0 | 0 | 0 | 1.79μ | -0.001 | 0.01 | 0 |
| 53 | 0 | 41 | 4.3600 | -0.1600 | 0.0000 | 7 | 0 | 0 | 1.91μ | -0.002 | -0.01 | 0 | 0 | 0 | 1.91μ | -0.002 | -0.01 | 0 |
| 9 | 0 | 42 | 4.4100 | 0.0000 | 0.0000 | 7 | 0 | 0 | -13.7μ | -0.005 | 0.003 | 0 | 0 | 0 | -13.7μ | -0.005 | 0.003 | 0 |
| 10 | 0 | 43 | -0.5700 | 0.6700 | 0.0000 | 7 | 0 | 0 | -0.19m | -0.012 | -0.008 | 0 | 0 | 0 | -0.19m | -0.012 | -0.008 | 0 |
| 12 | 0 | 44 | -0.5700 | 1.1600 | 0.0000 | 7 | 0 | 0 | -0.24m | 0 | -0.001 | 0 | 0 | 0 | -0.24m | 0 | -0.001 | 0 |
| 54 | 0 | 45 | 4.6300 | 0.6700 | 0.0000 | 7 | 0 | 0 | -0.19m | -0.012 | 0.008 | 0 | 0 | 0 | -0.19m | -0.012 | 0.008 | 0 |
| 20 | 0 | 46 | 4.6300 | 1.1600 | 0.0000 | 7 | 0 | 0 | -0.25m | 0 | 0.002 | 0 | 0 | 0 | -0.25m | 0 | 0.002 | 0 |
| 31 | 0 | 47 | -0.5700 | 1.5800 | 0.0000 | 7 | 0 | 0 | -0.21m | 0.011 | -0.008 | 0 | 0 | 0 | -0.21m | 0.011 | -0.008 | 0 |
| 69 | 0 | 48 | 4.6300 | 1.5800 | 0.0000 | 7 | 0 | 0 | -0.21m | 0.011 | 0.009 | 0 | 0 | 0 | -0.21m | 0.011 | 0.009 | 0 |
| 22 | 0 | 49 | -0.3200 | 2.3300 | 0.0000 | 7 | 0 | 0 | -10.8μ | 0.004 | -0.003 | 0 | 0 | 0 | -10.8μ | 0.004 | -0.003 | 0 |
| 30 | 0 | 50 | -0.2900 | 2.4100 | 0.0000 | 7 | 0 | 0 | -2.85μ | 0.003 | 0 | 0 | 0 | 0 | -2.85μ | 0.003 | 0 | 0 |
| 36 | 0 | 51 | 0.0000 | 2.7500 | 0.0000 | 7 | 0 | 0 | -0.13m | -0.024 | 0.033 | 0 | 0 | 0 | -0.13m | -0.024 | 0.033 | 0 |
| 15 | 0 | 52 | 4.0600 | 2.7700 | 0.0000 | 7 | 0 | 0 | -0.15m | -0.025 | -0.034 | 0 | 0 | 0 | -0.15m | -0.025 | -0.034 | 0 |
| 70 | 0 | 53 | 4.3600 | 2.4100 | 0.0000 | 7 | 0 | 0 | -3.34μ | 0.003 | -0.001 | 0 | 0 | 0 | -3.34μ | 0.003 | -0.001 | 0 |
| 30 | 0 | 54 | 4.3800 | 2.3300 | 0.0000 | 7 | 0 | 0 | -11.2μ | 0.004 | 0.003 | 0 | 0 | 0 | -11.2μ | 0.004 | 0.003 | 0 |
| 33 | 0 | 55 | 0.3000 | 3.1100 | 0.0000 | 7 | 0 | 0 | -0.81m | -0.024 | 0.159 | 0 | 0 | 0 | -0.81m | -0.024 | 0.159 | 0 |
| 40 | 0 | 56 | 1.0200 | 3.1100 | 0.0000 | 7 | 0 | 0 | -3.04m | -0.119 | 0.159 | 0 | 0 | 0 | -3.04m | -0.119 | 0.159 | 0 |
| 43 | 0 | 57 | 2.0300 | 3.1100 | 0.0000 | 7 | 0 | 0 | -4.72m | -0.157 | 0 | 0 | 0 | 0 | -4.72m | -0.157 | 0 | 0 |
| 46 | 0 | 58 | 3.0500 | 3.1100 | 0.0000 | 7 | 0 | 0 | -3.02m | -0.118 | -0.159 | 0 | 0 | 0 | -3.02m | -0.118 | -0.159 | 0 |
| 40 | 0 | 59 | 3.7800 | 3.1100 | 0.0000 | 7 | 0 | 0 | -0.77m | -0.02 | -0.156 | 0 | 0 | 0 | -0.77m | -0.02 | -0.156 | 0 |
| 177 | 1 | 1 | 1.0200 | -1.6900 | 2.9200 | 7 | -4.04m | -3.51m | -6.99m | 0.08 | 0.081 | -0.012 | 4.13m | 3.29m | -4.19m | 0.167 | 0.095 | -0.003 |
| 180 | 1 | 2 | 2.0300 | -1.8600 | 2.9200 | 7 | -4.09m | -3.52m | -8.25m | 0.078 | -0.018 | -0.003 | 4.11m | 3.27m | -5.52m | 0.151 | 0.018 | 0.003 |
| 183 | 1 | 3 | 3.0500 | -1.6900 | 2.9200 | 7 | -4.11m | -3.52m | -6.95m | 0.079 | -0.095 | 0.003 | 4.06m | 3.30m | -4.16m | 0.168 | -0.083 | 0.013 |
| 171 | 1 | 4 | 0.0000 | -1.0600 | 2.9200 | 7 | -3.97m | -3.51m | -2.35m | 0.04 | 0.039 | -0.004 | 4.16m | 3.30m | -0.53m | 0.135 | 0.151 | -0.001 |
| 186 | 1 | 5 | 4.0600 | -1.0600 | 2.9200 | 7 | -4.14m | -3.53m | -2.35m | 0.04 | -0.15 | 0.002 | 3.98m | 3.32m | -0.53m | 0.135 | -0.041 | 0.004 |
| 143 | 1 | 6 | -0.7200 | 0.0000 | 2.9200 | 7 | -3.95m | -3.52m | -89.4μ | -0.001 | 0.002 | 0.007 | 4.05m | 3.30m | 1.80m | 0.072 | 0.147 | 0.013 |
| 139 | 1 | 7 | 0.0000 | 0.0000 | 2.9200 | 7 | -3.96m | -3.51m | -73.8μ | -0.034 | -0.014 | -0.005 | 4.05m | 3.30m | -49.1μ | 0.083 | 0.148 | 0.001 |
| 119 | 1 | 8 | 1.0200 | 0.0000 | 2.9200 | 7 | -3.97m | -3.48m | -3.32m | 0.003 | 0.145 | 0 | 4.04m | 3.32m | -2.23m | 0.058 | 0.179 | 0.007 |
| 121 | 1 | 9 | 2.0300 | 0.0000 | 2.9200 | 7 | -4.00m | -3.47m | -4.68m | -0.002 | -0.033 | -0.002 | 4.02m | 3.31m | -4.03m | 0.044 | 0.033 | 0.002 |
| 169 | 1 | 10 | 3.0500 | 0.0000 | 2.9200 | 7 | -4.02m | -3.49m | -3.29m | 0.003 | -0.179 | -0.007 | 3.99m | 3.33m | -2.20m | 0.058 | -0.146 | 0 |
| 140 | 1 | 11 | 4.0600 | 0.0000 | 2.9200 | 7 | -4.03m | -3.53m | -73.9μ | -0.035 | -0.147 | -0.001 | 3.98m | 3.32m | -49.1μ | 0.084 | 0.015 | 0.005 |
| 213 | 1 | 12 | 4.7800 | 0.0000 | 2.9200 | 7 | -4.03m | -3.55m | -0.10m | -0.001 | -0.145 | -0.013 | 3.97m | 3.33m | 1.78m | 0.072 | -0.001 | -0.007 |
| 152 | 1 | 13 | -0.9500 | 1.1600 | 2.9200 | 7 | -3.92m | -3.50m | 0.43m | -0.013 | 0.032 | -0.018 | 3.97m | 3.32m | 2.55m | 0.011 | 0.159 | 0.025 |
| 98 | 1 | 14 | 0.0000 | 1.1600 | 2.9200 | 7 | -3.92m | -3.49m | -0.30m | -0.032 | 0.07 | -0.008 | 3.97m | 3.32m | -0.22m | 0.028 | 0.177 | 0.006 |
| 120 | 1 | 15 | 1.0200 | 1.1600 | 2.9200 | 7 | -3.93m | -3.48m | -3.22m | 0 | 0.129 | -0.003 | 3.96m | 3.32m | -2.35m | 0.004 | 0.137 | 0.003 |
| 1 | 1 | 16 | 2.0300 | 1.1600 | 2.9200 | 7 | -3.94m | -3.48m | -4.16m | -0.007 | -0.034 | -0.003 | 3.96m | 3.31m | -4.15m | 0.017 | 0.033 | 0.003 |
| 0 | 1 | 17 | 3.0500 | 1.1600 | 2.9200 | 7 | -3.94m | -3.49m | -3.19m | 0 | -0.137 | -0.0 | | | | | | |

| | | | | | | | | | | | | | | | | | | |
|-----|---|----|---------|---------|--------|---|--------|--------|--------|--------|--------|--------|-------|-------|--------|--------|--------|--------|
| 207 | 1 | 26 | 4.7800 | 2.3300 | 2.9200 | 7 | -3.92m | -3.50m | -0.11m | -0.067 | -0.141 | 0 | 3.86m | 3.38m | 1.74m | 0.009 | 0.002 | 0.012 |
| 193 | 1 | 27 | 0.0000 | 3.3000 | 2.9200 | 7 | -3.75m | -3.48m | -1.86m | -0.114 | 0.03 | -0.005 | 3.93m | 3.34m | -0.18m | -0.019 | 0.146 | 0.009 |
| 157 | 1 | 28 | 4.0600 | 3.3000 | 2.9200 | 7 | -3.91m | -3.49m | -1.85m | -0.114 | -0.144 | -0.009 | 3.77m | 3.36m | -0.18m | -0.019 | -0.033 | 0.005 |
| 196 | 1 | 29 | 1.0200 | 3.9300 | 2.9200 | 7 | -3.77m | -3.46m | -6.09m | -0.144 | 0.079 | 0.007 | 3.84m | 3.33m | -3.59m | -0.063 | 0.091 | 0.009 |
| 199 | 1 | 30 | 2.0300 | 4.1100 | 2.9200 | 7 | -3.79m | -3.44m | -7.32m | -0.129 | -0.018 | -0.003 | 3.81m | 3.35m | -4.91m | -0.065 | 0.017 | 0.003 |
| 202 | 1 | 31 | 3.0500 | 3.9300 | 2.9200 | 7 | -3.82m | -3.47m | -6.06m | -0.145 | -0.091 | -0.009 | 3.78m | 3.34m | -3.55m | -0.062 | -0.08 | -0.006 |
| 172 | 1 | 32 | 0.0000 | -0.5000 | 2.9200 | 7 | -3.94m | -3.52m | -1.06m | 0.031 | 0.041 | -0.003 | 4.12m | 3.29m | -0.15m | 0.125 | 0.153 | 0.019 |
| 234 | 1 | 33 | 0.3000 | -0.8600 | 2.9200 | 7 | -3.82m | -3.49m | -2.76m | 0.046 | 0.148 | -0.007 | 4.38m | 3.27m | -1.14m | 0.144 | 0.188 | 0.017 |
| 178 | 1 | 34 | 1.0200 | -0.8600 | 2.9200 | 7 | -3.93m | -3.49m | -4.69m | 0.06 | 0.083 | -0.003 | 4.17m | 3.31m | -3.04m | 0.144 | 0.097 | 0.003 |
| 181 | 1 | 35 | 2.0300 | -0.8600 | 2.9200 | 7 | -4.02m | -3.49m | -5.76m | 0.047 | -0.018 | -0.005 | 4.04m | 3.29m | -4.27m | 0.113 | 0.018 | 0.005 |
| 184 | 1 | 36 | 3.0500 | -0.8600 | 2.9200 | 7 | -4.15m | -3.50m | -4.66m | 0.059 | -0.097 | -0.003 | 3.95m | 3.32m | -3.00m | 0.144 | -0.085 | 0.003 |
| 240 | 1 | 37 | 3.7800 | -0.8600 | 2.9200 | 7 | -4.36m | -3.50m | -2.69m | 0.042 | -0.188 | -0.018 | 3.84m | 3.29m | -1.07m | 0.14 | -0.147 | 0.007 |
| 187 | 1 | 38 | 4.0600 | -0.5200 | 2.9200 | 7 | -4.11m | -3.54m | -1.11m | 0.032 | -0.152 | -0.019 | 3.97m | 3.31m | -0.16m | 0.126 | -0.043 | 0.003 |
| 144 | 1 | 39 | -0.3500 | 0.0000 | 2.9200 | 7 | -3.96m | -3.46m | -0.10m | -0.003 | 0.007 | -0.006 | 4.05m | 3.33m | 0.85m | 0.07 | 0.152 | 0.003 |
| 272 | 1 | 40 | -0.2900 | -0.1600 | 2.9200 | 7 | -3.98m | -3.49m | -0.24m | -0.003 | 0.015 | -0.009 | 4.05m | 3.33m | 0.61m | 0.082 | 0.158 | 0.004 |
| 243 | 1 | 41 | 4.3600 | -0.1600 | 2.9200 | 7 | -4.03m | -3.52m | -0.24m | -0.003 | -0.158 | -0.003 | 4.01m | 3.35m | 0.63m | 0.082 | -0.016 | 0.011 |
| 150 | 1 | 42 | 4.4100 | 0.0000 | 2.9200 | 7 | -4.03m | -3.49m | -0.11m | -0.003 | -0.15 | -0.003 | 3.98m | 3.36m | 0.84m | 0.07 | -0.006 | 0.007 |
| 269 | 1 | 43 | -0.5700 | 0.6700 | 2.9200 | 7 | -4.05m | -3.37m | 0.16m | -0.006 | 0.029 | 0 | 3.92m | 3.25m | 1.57m | 0.009 | 0.161 | 0.003 |
| 153 | 1 | 44 | -0.5700 | 1.1600 | 2.9200 | 7 | -3.92m | -3.37m | 0.21m | -0.013 | 0.04 | -0.002 | 3.97m | 3.23m | 1.49m | 0.011 | 0.167 | 0.003 |
| 246 | 1 | 45 | 4.6300 | 0.6700 | 2.9200 | 7 | -3.90m | -3.40m | 0.15m | -0.006 | -0.159 | -0.003 | 4.07m | 3.27m | 1.56m | 0.009 | -0.027 | 0 |
| 161 | 1 | 46 | 4.6300 | 1.1600 | 2.9200 | 7 | -3.95m | -3.40m | 0.20m | -0.013 | -0.165 | -0.003 | 3.94m | 3.26m | 1.48m | 0.011 | -0.039 | 0.002 |
| 266 | 1 | 47 | -0.5700 | 1.5800 | 2.9200 | 7 | -4.00m | -3.39m | 0.17m | -0.011 | 0.03 | -0.003 | 3.88m | 3.24m | 1.53m | 0.007 | 0.159 | 0.005 |
| 249 | 1 | 48 | 4.6300 | 1.5800 | 2.9200 | 7 | -3.85m | -3.41m | 0.15m | -0.011 | -0.157 | -0.005 | 4.02m | 3.26m | 1.52m | 0.007 | -0.028 | 0.003 |
| 163 | 1 | 49 | -0.3200 | 2.3300 | 2.9200 | 7 | -3.84m | -3.48m | -98.6μ | -0.064 | 0.005 | -0.001 | 3.93m | 3.30m | 0.76m | 0.012 | 0.148 | 0.002 |
| 262 | 1 | 50 | -0.2900 | 2.4100 | 2.9200 | 7 | -3.84m | -3.48m | -0.15m | -0.068 | 0.008 | 0 | 3.93m | 3.31m | 0.66m | 0.012 | 0.15 | 0.001 |
| 175 | 1 | 51 | 0.0000 | 2.7500 | 2.9200 | 7 | -3.79m | -3.47m | -0.79m | -0.105 | 0.032 | -0.011 | 3.95m | 3.34m | -3.16μ | -0.011 | 0.148 | -0.002 |
| 156 | 1 | 52 | 4.0600 | 2.7700 | 2.9200 | 7 | -3.94m | -3.49m | -0.83m | -0.105 | -0.146 | 0.001 | 3.81m | 3.36m | -7.74μ | -0.011 | -0.035 | 0.011 |
| 252 | 1 | 53 | 4.3600 | 2.4100 | 2.9200 | 7 | -3.91m | -3.51m | -0.16m | -0.068 | -0.149 | -0.002 | 3.87m | 3.33m | 0.68m | 0.012 | -0.007 | -0.001 |
| 169 | 1 | 54 | 4.3800 | 2.3300 | 2.9200 | 7 | -3.91m | -3.51m | -0.10m | -0.064 | -0.146 | -0.002 | 3.86m | 3.32m | 0.75m | 0.012 | -0.004 | 0 |
| 260 | 1 | 55 | 0.3000 | 3.1100 | 2.9200 | 7 | -3.63m | -3.48m | -2.30m | -0.122 | 0.14 | -0.012 | 4.17m | 3.36m | -0.85m | -0.026 | 0.183 | 0.002 |
| 179 | 1 | 56 | 1.0200 | 3.1100 | 2.9200 | 7 | -3.74m | -3.48m | -4.16m | -0.121 | 0.081 | -0.009 | 3.96m | 3.32m | -2.68m | -0.044 | 0.093 | 0.008 |
| 182 | 1 | 57 | 2.0300 | 3.1100 | 2.9200 | 7 | -3.82m | -3.46m | -5.20m | -0.092 | -0.018 | -0.001 | 3.84m | 3.32m | -3.89m | -0.034 | 0.017 | 0.001 |
| 185 | 1 | 58 | 3.0500 | 3.1100 | 2.9200 | 7 | -3.94m | -3.49m | -4.13m | -0.122 | -0.093 | -0.008 | 3.76m | 3.33m | -2.65m | -0.043 | -0.082 | 0.009 |
| 255 | 1 | 59 | 3.7800 | 3.1100 | 2.9200 | 7 | -4.15m | -3.50m | -2.23m | -0.118 | -0.183 | -0.003 | 3.65m | 3.37m | -0.78m | -0.022 | -0.139 | 0.012 |

Suffissi: f=10⁻¹⁵; p=10⁻¹²; n=10⁻⁹; μ=10⁻⁶; m=10⁻³; k=10³; M=10⁶; G=10⁹; T=10¹²; P=10¹⁵ (Sistema Internazionale di misura)

— Spostamenti Nodi. Famiglia Cmb. 8) Sismica SLV

| Nodo Nodo FEM | Min. | | | | | | | | | | | | Max. | | | | | |
|---------------------|-------|------|---------|---------|--------|----------|--------|--------|--------|-----------|-----------|-----------|--------|--------|--------|-----------|-----------|-----------|
| | Piano | Filo | x[m] | y[m] | z[m] | Fam.Cmb. | sx [m] | sy [m] | sz [m] | rot x [°] | rot y [°] | rot z [°] | sx [m] | sy [m] | sz [m] | rot x [°] | rot y [°] | rot z [°] |
| 38 | 0 | 1 | 1.0200 | -1.6900 | 0.0000 | 8 | 0 | 0 | -5.55m | 0.145 | 0.171 | 0 | 0 | 0 | -5.55m | 0.145 | 0.171 | 0 |
| 41 | 0 | 2 | 2.0300 | -1.8600 | 0.0000 | 8 | 0 | 0 | -8.57m | 0.191 | 0 | 0 | 0 | 0 | -8.57m | 0.191 | 0 | 0 |
| 44 | 0 | 3 | 3.0500 | -1.6900 | 0.0000 | 8 | 0 | 0 | -5.52m | 0.145 | -0.171 | 0 | 0 | 0 | -5.52m | 0.145 | -0.171 | 0 |
| 32 | 0 | 4 | 0.0000 | -1.0600 | 0.0000 | 8 | 0 | 0 | -0.59m | 0.038 | 0.041 | 0 | 0 | 0 | -0.59m | 0.038 | 0.041 | 0 |
| 47 | 0 | 5 | 4.0600 | -1.0600 | 0.0000 | 8 | 0 | 0 | -0.60m | 0.039 | -0.043 | 0 | 0 | 0 | -0.60m | 0.039 | -0.043 | 0 |
| 0 | 0 | 6 | -0.7200 | 0.0000 | 0.0000 | 8 | 0 | 0 | -54.2μ | -0.002 | -0.006 | 0 | 0 | 0 | -54.2μ | -0.002 | -0.006 | 0 |
| 2 | 0 | 7 | 0.0000 | 0.0000 | 0.0000 | 8 | 0 | 0 | 0 | 0 | 0 | 0 | 0 | 0 | 0 | 0 | 0 | 0 |
| 78 | 0 | 8 | 1.0200 | 0.0000 | 0.0000 | 8 | 0 | 0 | -1.72m | 0.073 | 0.119 | 0 | 0 | 0 | -1.72m | 0.073 | 0.119 | 0 |
| 80 | 0 | 9 | 2.0300 | 0.0000 | 0.0000 | 8 | 0 | 0 | -3.01m | 0.108 | 0 | 0 | 0 | 0 | -3.01m | 0.108 | 0 | 0 |
| 82 | 0 | 10 | 3.0500 | 0.0000 | 0.0000 | 8 | 0 | 0 | -1.70m | 0.072 | -0.12 | 0 | 0 | 0 | -1.70m | 0.072 | -0.12 | 0 |
| 7 | 0 | 11 | 4.0600 | 0.0000 | 0.0000 | 8 | 0 | 0 | 0 | 0 | 0 | 0 | 0 | 0 | 0 | 0 | 0 | 0 |
| 74 | 0 | 12 | 4.7800 | 0.0000 | 0.0000 | 8 | 0 | 0 | -55.3μ | -0.002 | 0.006 | 0 | 0 | 0 | -55.3μ | -0.002 | 0.006 | 0 |
| 11 | 0 | 13 | -0.9500 | 1.1600 | 0.0000 | 8 | 0 | 0 | -0.29m | 0 | -0.005 | 0 | 0 | 0 | -0.29m | 0 | -0.005 | 0 |
| 9 | 0 | 14 | 0.0000 | 1.1600 | 0.0000 | 8 | 0 | 0 | -0.31m | 0 | 0.023 | 0 | 0 | 0 | -0.31m | 0 | 0.023 | 0 |
| 79 | 0 | 15 | 1.0200 | 1.1600 | 0.0000 | 8 | 0 | 0 | -1.20m | 0.001 | 0.061 | 0 | 0 | 0 | -1.20m | 0.001 | 0.061 | 0 |
| 3 | 0 | 16 | 2.0300 | 1.1600 | 0.0000 | 8 | 0 | 0 | -1.89m | 0.003 | 0 | 0 | 0 | 0 | -1.89m | 0.003 | 0 | 0 |
| 2 | 0 | 17 | 3.0500 | 1.1600 | 0.0000 | 8 | 0 | 0 | -1.19m | 0.001 | -0.061 | 0 | 0 | 0 | -1.19m | 0.001 | -0.061 | 0 |
| 85 | 0 | 18 | 4.0600 | 1.1600 | 0.0000 | 8 | 0 | 0 | -0.31m | 0 | -0.022 | 0 | 0 | 0 | -0.31m | 0 | -0.022 | 0 |
| 71 | 0 | 19 | 5.0200 | 1.1600 | 0.0000 | 8 | 0 | 0 | -0.30m | 0 | 0.006 | 0 | 0 | 0 | -0.30m | 0 | 0.006 | 0 |
| 21 | 0 | 20 | -0.7200 | 2.3300 | 0.0000 | 8 | 0 | 0 | -54.8μ | 0.001 | -0.006 | 0 | 0 | 0 | -54.8μ | 0.001 | -0.006 | 0 |
| 23 | 0 | 21 | 0.0000 | 2.3300 | 0.0000 | 8 | 0 | 0 | 0 | 0 | 0 | 0 | 0 | 0 | 0 | 0 | 0 | 0 |
| 81 | 0 | 22 | 1.0200 | 2.3300 | 0.0000 | 8 | 0 | 0 | -1.65m | -0.065 | 0.114 | 0 | 0 | 0 | -1.65m | -0.065 | 0.114 | 0 |
| 83 | 0 | 23 | 2.0300 | 2.3300 | 0.0000 | 8 | 0 | 0 | -2.88m | -0.098 | 0 | 0 | 0 | 0 | -2.88m | -0.098 | 0 | 0 |
| 84 | 0 | 24 | 3.0500 | 2.3300 | 0.0000 | 8 | 0 | 0 | -1.63m | -0.065 | -0.115 | 0 | 0 | 0 | -1.63m | -0.065 | -0.115 | 0 |
| 28 | 0 | 25 | 4.0600 | 2.3300 | 0.0000 | 8 | 0 | 0 | 0 | 0 | 0 | 0 | 0 | 0 | 0 | 0 | 0 | 0 |
| 68 | 0 | 26 | 4.7800 | 2.3300 | 0.0000 | 8 | 0 | 0 | -55.7μ | 0.002 | 0.006 | 0 | 0 | 0 | -55.7μ | 0.002 | 0.006 | 0 |
| 54 | 0 | 27 | 0.0000 | 3.3000 | 0.0000 | 8 | 0 | 0 | -0.40m | -0.028 | 0.031 | 0 | 0 | 0 | -0.40m | -0.028 | 0.031 | 0 |
| 16 | 0 | 28 | 4.0600 | 3.3000 | 0.0000 | 8 | 0 | 0 | -0.41m | -0.028 | -0.033 | 0 | 0 | 0 | -0.41m | -0.028 | -0.033 | 0 |
| 57 | 0 | 29 | 1.0200 | 3.9300 | 0.0000 | 8 | 0 | 0 | -4.87m | -0.129 | 0.158 | 0 | 0 | 0 | -4.87m | -0.129 | 0.158 | 0 |
| 60 | 0 | 30 | 2.0300 | 4.1100 | 0.0000 | 8 | 0 | 0 | -7.71m | -0.173 | 0 | 0 | 0 | 0 | -7.71m | -0.173 | 0 | 0 |
| 63 | 0 | 31 | 3.0500 | 3.9300 | 0.0000 | 8 | 0 | 0 | -4.84m | -0.128 | -0.158 | 0 | 0 | 0 | -4.84m | -0.128 | -0.158 | 0 |
| 33 | 0 | 32 | 0.0000 | -0.5000 | 0.0000 | 8 | 0 | 0 | -0.22m | 0.034 | 0.042 | 0 | 0 | 0 | -0.22m | 0.034 | 0.042 | 0 |
| 13 | 0 | 33 | 0.3000 | -0.8600 | 0.0000 | 8 | 0 | 0 | -1.03m | 0.035 | 0.175 | 0 | 0 | 0 | -1.03m | 0.035 | 0.175 | 0 |
| 39 | 0 | 34 | 1.0200 | -0.8600 | 0.0000 | 8 | 0 | 0 | -3.46m | 0.135 | 0.172 | 0 | 0 | 0 | -3.46m | 0.135 | 0.172 | 0 |
| 42 | 0 | 35 | 2.0300 | -0.8600 | 0.0000 | 8 | 0 | 0 | -5.27m | 0.175 | 0 | 0 | 0 | 0 | -5.27m | 0.175 | 0 | 0 |
| 45 | 0 | 36 | 3.0500 | -0.8600 | 0.0000 | 8 | 0 | 0 | -3.43m | 0.135 | -0.172 | 0 | 0 | 0 | -3.43m | 0.135 | -0.172 | 0 |
| 56 | 0 | 37 | 3.7800 | -0.8600 | 0.0000 | 8 | 0 | 0 | -0.98m | 0.031 | -0.172 | 0 | 0 | 0 | -0.98m | 0.031 | -0.172 | 0 |
| 48 | 0 | 38 | 4.0600 | -0.5200 | 0.0000 | 8 | 0 | 0 | -0.23m | 0.035 | -0.044 | 0 | 0 | 0 | -0.23m | 0.035 | -0.044 | 0 |
| 1 | 0 | 39 | -0.3500 | 0.0000 | 0.0000 | 8 | 0 | 0 | -13.1μ | -0.004 | -0.003 | 0 | 0 | 0 | -13.1μ | -0.004 | -0.003 | 0 |
| 11 | 0 | 40 | -0.2900 | -0.1600 | 0.0000 | 8 | 0 | 0 | 1.79μ | -0.001 | 0.01 | 0 | 0 | 0 | 1.79μ | -0.001 | 0.01 | 0 |
| 53 | 0 | 41 | 4.3600 | -0.1600 | 0.0000 | 8 | 0 | 0 | 1.91μ | -0.002 | -0.01 | 0 | 0 | 0 | 1.91μ | -0.002 | -0.01 | 0 |
| 9 | 0 | 42 | 4.4100 | 0.0000 | 0.0000 | 8 | 0 | 0 | -13.7μ | -0.005 | 0.003 | 0 | 0 | 0 | -13.7μ | -0.005 | 0.003 | 0 |
| 10 | 0 | 43 | -0.5700 | 0.6700 | 0.0000 | 8 | 0 | 0 | -0.19m | -0.012 | -0.008 | 0 | 0 | 0 | -0.19m | -0.012 | -0.008 | 0 |
| 12 | 0 | 44 | -0.5700 | 1.1600 | 0.0000 | 8 | 0 | 0 | -0.24m | 0 | -0.001 | 0 | 0 | 0 | -0.24m | 0 | -0.001 | 0 |
| 54 | 0 | 45 | 4.6300 | 0.6700 | 0.0000 | 8 | 0 | 0 | -0.19m | -0.012 | 0.008 | 0 | 0 | 0 | -0.19m | -0.012 | 0.008 | 0 |
| 20 | 0 | 46 | 4.6300 | 1.1600 | 0.0000 | 8 | 0 | 0 | -0.25m | 0 | 0.002 | 0 | 0 | 0 | -0.25m | 0 | 0.002 | 0 |
| 31 | 0 | 47 | -0.5700 | 1.5800 | 0.0000 | 8 | 0 | 0 | -0.21m | 0.011 | -0.008 | 0 | 0 | 0 | -0.21m | 0.011 | -0.008 | 0 |
| 69 | 0 | 48 | 4.6300 | 1.5800 | 0.0000 | 8 | 0 | 0 | -0.21m | 0.011 | 0.009 | 0 | 0 | 0 | -0.21m | 0.011 | 0.009 | 0 |
| 22 | 0 | 49 | -0.3200 | 2.3300 | 0.0000 | 8 | 0 | 0 | -10.8μ | 0.004 | -0.003 | 0 | 0 | 0 | -10.8μ | 0.004 | -0.003 | 0 |
| 30 | 0 | 50 | -0.2900 | 2.4100 | 0.0000 | 8 | 0 | 0 | -2.85μ | 0.003 | 0 | 0 | 0 | 0 | -2.85μ | 0.003 | 0 | 0 |
| 36 | 0 | 51 | 0.0000 | 2.7500 | 0.0000 | 8 | 0 | 0 | -0.13m | -0.024 | 0.033 | 0 | 0 | 0 | -0.13m | -0.024 | 0.033 | 0 |
| 15 | 0 | 52 | 4.0600 | 2.7700 | 0.0000 | 8 | 0 | 0 | -0.15m | -0.025 | -0.034 | 0 | 0 | 0 | -0.15m | -0.025 | -0.034 | 0 |
| 70 | 0 | 53 | 4.3600 | 2.4100 | 0.0000 | 8 | 0 | 0 | -3.34μ | 0.003 | -0.001 | 0 | 0 | 0 | -3.34μ | 0.003 | -0.001 | 0 |
| 30 | 0 | 54 | 4.3800 | 2.3300 | 0.0000 | 8 | 0 | 0 | -11.2μ | 0.004 | 0.003 | 0 | 0 | 0 | -11.2μ | 0.004 | 0.003 | 0 |
| 33 | 0 | 55 | 0.3000 | 3.1100 | 0.0000 | 8 | 0 | 0 | -0.81m | -0.024 | 0.159 | 0 | 0 | 0 | -0.81m | -0.024 | 0.159 | 0 |
| 40 | 0 | 56 | 1.0200 | 3.1100 | 0.0000 | 8 | 0 | 0 | -3.04m | -0.119 | 0.159 | 0 | 0 | 0 | -3.04m | -0.119 | 0.159 | 0 |
| 43 | 0 | 57 | 2.0300 | 3.1100 | 0.0000 | 8 | 0 | 0 | -4.72m | -0.157 | 0 | 0 | 0 | 0 | -4.72m | -0.157 | 0 | 0 |
| 46 | 0 | 58 | 3.0500 | 3.1100 | 0.0000 | 8 | 0 | 0 | -3.02m | -0.118 | -0.159 | 0 | 0 | 0 | -3.02m | -0.118 | -0.159 | 0 |
| 40 | 0 | 59 | 3.7800 | 3.1100 | 0.0000 | 8 | 0 | 0 | -0.77m | -0.02 | -0.156 | 0 | 0 | 0 | -0.77m | -0.02 | -0.156 | 0 |
| 177 | 1 | 1 | 1.0200 | -1.6900 | 2.9200 | 8 | -8.10m | -6.88m | -8.37m | 0.037 | 0.075 | -0.017 | 8.18m | 6.67m | -2.81m | 0.211 | 0.101 | 0.002 |
| 180 | 1 | 2 | 2.0300 | -1.8600 | 2.9200 | 8 | -8.15m | -6.88m | -9.61m | 0.042 | -0.036 | -0.006 | 8.17m | 6.63m | -4.17m | 0.187 | 0.035 | 0.006 |
| 183 | 1 | 3 | 3.0500 | -1.6900 | 2.9200 | 8 | -8.16m | -6.90m | -8.33m | 0.036 | -0.102 | -0.002 | 8.12m | 6.69m | -2.77m | 0.212 | -0.077 | 0.017 |
| 171 | 1 | 4 | 0.0000 | -1.0600 | 2.9200 | 8 | -7.99m | -6.89m | -3.26m | -0.007 | -0.017 | -0.005 | 8.19m | 6.68m | 0.37m | 0.182 | 0.206 | 0 |
| 186 | 1 | 5 | 4.0600 | -1.0600 | 2.9200 | 8 | -8.17m | -6.93m | -3.26m | -0.008 | -0.204 | 0 | 8.01m | 6.72m | 0.38m | 0.182 | 0.013 | 0.005 |
| 143 | 1 | 6 | -0.7200 | 0.0000 | 2.9200 | 8 | -7.93m | -6.91m | -1.03m | -0.037 | -0.07 | 0.005 | 8.03m | 6.68m | 2.73m | 0.109 | 0.219 | 0.015 |
| 139 | 1 | 7 | 0.0000 | 0.0000 | 2.9200 | 8 | -7.93m | -6.88m | -8.61μ | -0.093 | -0.094 | -0.008 | 8.02m | 6.67m | -36.8μ | 0.142 | 0.228 | 0.000 |

Suffissi: $f=10^{-15}$; $p=10^{-12}$; $n=10^{-9}$; $\mu=10^{-6}$; $m=10^{-3}$; $k=10^3$; $M=10^6$; $G=10^9$; $T=10^{12}$; $P=10^{15}$ (Sistema Internazionale di misura)

— Sezioni Acciaio

— **Area Efficace Acciaio**

La tensione f_{y34} è definita al §7.1 della presente relazione.

Suffissi: f=10⁻¹⁵; p=10⁻¹²; n=10⁻⁹; μ=10⁻⁶; m=10⁻³; k=10³; M=10⁶; G=10⁹; T=10¹²; P=10¹⁵ (Sistema Internazionale di misura)

Suffissi: $f=10^{-15}$; $p=10^{-12}$; $n=10^{-9}$; $\mu=10^{-6}$; $m=10^{-3}$; $k=10^3$; $M=10^6$; $G=10^9$; $T=10^{12}$; $P=10^{15}$ (Sistema Internazionale di misura)

pag. 69 di 84

- **My-Mz-N:** Coefficiente di verifica per presso-tenso-flessione biassiale. Per le sezioni in classe 1 e 2 è calcolato come indicato nei §§4.2.4.1.2.7 e 4.2.4.1.2.8. Per sezioni di classe 3 e 4 è calcolato con la [4.2.4].
- **cVy (cVz):** Coefficiente di verifica del solo taglio Vy (Vz). Per le sezioni in classe 1 e 2 è calcolato come indicato nel §4.2.4.1.2.4. Per sezioni di classe 3 e 4 è calcolato con la [4.2.4], con le tensioni tangenziali calcolate con la formula di Jourawski.
- **cMt:** Coefficiente di verifica a torsione uniforme. Jasp non considera la resistenza a torsione per ingobbamento impedito.
- **Vy-Vz-Mt:** Coefficiente di verifica di torsione e taglio. Per le sezioni in classe 1 e 2 l'interazione torsione-taglio è valutato con la [4.2.24]. Per sezioni di classe 3 e 4 è calcolato con la [4.2.4].
- **Tot:** Coefficiente totale di verifica. In classe 1 e 2 l'interazione tensioni normali – tensioni tangenziali è tenuta in conto come indicato nel §4.2.4.1.2.9. Per le sezioni in classe 3 e 4 è usata la formula di verifica [4.2.4]
- **Classe:** Classe massima della zona.
- **Classe. ver:** Verifica se la classe è minore o uguale della classe massima stabilita nei criteri di progetto.

– Travi Piano:0 Verifiche SLU Acciaio

| Trave N | Zona | | | Fori | Verifiche resistenza | | | | | Classe cl. ver | Verifiche instabilità | | | | | Tot Ver. | | | | | |
|------------|--------------|--------------|----------------|------|----------------------|-------|-------|---------|-------|-------------------|-----------------------|-------|----------|-----|---------------|-------------|---------------|--------------|--------------|------------------|--------------|
| | x ini [m] | x fin [m] | Sez. Beam | | cMy | cMz | cN | My-Mz-N | cVy | | cVz | cMt | Vy-Vz-Mt | Tot | cC-Z inst. | | cC-Y inst. | cMy inst. | cMz inst. | N-My-Mz Inst. | Tot Inst. |
| 1 | 0.000 | 0.074 | 11) R100×200×3 | | 0.002 | 0.000 | 0.000 | 0.000 | 0.001 | 0.010 | 0.004 | 0.010 | 0.010 | 1 | Si | 0.000 | 0.000 | 0.021 | 0.014 | 0.021 | Si |
| 1 | 0.074 | 0.148 | 11) R100×200×3 | | 0.006 | 0.000 | 0.000 | 0.000 | 0.001 | 0.010 | 0.004 | 0.010 | 0.010 | 1 | Si | 0.000 | 0.000 | 0.021 | 0.014 | 0.021 | Si |
| 1 | 0.148 | 0.222 | 11) R100×200×3 | | 0.011 | 0.001 | 0.000 | 0.001 | 0.001 | 0.010 | 0.004 | 0.010 | 0.011 | 1 | Si | 0.000 | 0.000 | 0.021 | 0.014 | 0.021 | Si |
| 1 | 0.222 | 0.296 | 11) R100×200×3 | | 0.016 | 0.001 | 0.000 | 0.001 | 0.001 | 0.010 | 0.004 | 0.010 | 0.016 | 1 | Si | 0.000 | 0.000 | 0.021 | 0.014 | 0.021 | Si |
| 1 | 0.296 | 0.370 | 11) R100×200×3 | | 0.021 | 0.001 | 0.000 | 0.001 | 0.001 | 0.010 | 0.004 | 0.010 | 0.021 | 1 | Si | 0.000 | 0.000 | 0.021 | 0.014 | 0.021 | Si |
| 2 | 0.089 | 0.275 | 11) R100×200×3 | | 0.509 | 0.001 | 0.001 | 0.326 | 0.001 | 0.111 | 0.064 | 0.119 | 0.509 | 1 | Si | 0.003 | 0.003 | 0.509 | 0.270 | 0.509 | Si |
| 2 | 0.275 | 0.462 | 11) R100×200×3 | | 0.356 | 0.001 | 0.001 | 0.180 | 0.001 | 0.111 | 0.064 | 0.119 | 0.356 | 1 | Si | 0.003 | 0.003 | 0.509 | 0.270 | 0.509 | Si |
| 2 | 0.462 | 0.648 | 11) R100×200×3 | | 0.255 | 0.000 | 0.001 | 0.103 | 0.001 | 0.111 | 0.064 | 0.118 | 0.255 | 1 | Si | 0.003 | 0.003 | 0.509 | 0.270 | 0.509 | Si |
| 2 | 0.648 | 0.834 | 11) R100×200×3 | | 0.143 | 0.001 | 0.001 | 0.039 | 0.001 | 0.110 | 0.064 | 0.118 | 0.143 | 1 | Si | 0.003 | 0.003 | 0.509 | 0.270 | 0.509 | Si |
| 2 | 0.834 | 1.020 | 11) R100×200×3 | | 0.099 | 0.001 | 0.001 | 0.021 | 0.001 | 0.110 | 0.064 | 0.118 | 0.118 | 1 | Si | 0.003 | 0.003 | 0.509 | 0.270 | 0.509 | Si |
| 3 | 0.000 | 0.202 | 11) R100×200×3 | | 0.132 | 0.000 | 0.000 | 0.035 | 0.000 | 0.028 | 0.029 | 0.029 | 0.132 | 1 | Si | 0.001 | 0.001 | 0.271 | 0.207 | 0.271 | Si |
| 3 | 0.202 | 0.404 | 11) R100×200×3 | | 0.161 | 0.000 | 0.000 | 0.048 | 0.000 | 0.028 | 0.029 | 0.029 | 0.161 | 1 | Si | 0.001 | 0.001 | 0.271 | 0.207 | 0.271 | Si |
| 3 | 0.404 | 0.606 | 11) R100×200×3 | | 0.202 | 0.000 | 0.000 | 0.070 | 0.000 | 0.028 | 0.029 | 0.029 | 0.202 | 1 | Si | 0.001 | 0.001 | 0.271 | 0.207 | 0.271 | Si |
| 3 | 0.606 | 0.808 | 11) R100×200×3 | | 0.230 | 0.000 | 0.000 | 0.087 | 0.000 | 0.027 | 0.029 | 0.028 | 0.230 | 1 | Si | 0.001 | 0.001 | 0.271 | 0.207 | 0.271 | Si |
| 3 | 0.808 | 1.010 | 11) R100×200×3 | | 0.271 | 0.000 | 0.000 | 0.114 | 0.000 | 0.027 | 0.029 | 0.028 | 0.271 | 1 | Si | 0.001 | 0.001 | 0.271 | 0.207 | 0.271 | Si |
| 4 | 0.000 | 0.204 | 11) R100×200×3 | | 0.271 | 0.000 | 0.000 | 0.114 | 0.000 | 0.027 | 0.029 | 0.028 | 0.271 | 1 | Si | 0.001 | 0.001 | 0.271 | 0.205 | 0.271 | Si |
| 4 | 0.204 | 0.408 | 11) R100×200×3 | | 0.229 | 0.000 | 0.000 | 0.086 | 0.000 | 0.028 | 0.029 | 0.029 | 0.229 | 1 | Si | 0.001 | 0.001 | 0.271 | 0.205 | 0.271 | Si |
| 4 | 0.408 | 0.612 | 11) R100×200×3 | | 0.201 | 0.000 | 0.000 | 0.069 | 0.000 | 0.028 | 0.029 | 0.029 | 0.201 | 1 | Si | 0.001 | 0.001 | 0.271 | 0.205 | 0.271 | Si |
| 4 | 0.612 | 0.816 | 11) R100×200×3 | | 0.158 | 0.000 | 0.000 | 0.047 | 0.000 | 0.028 | 0.029 | 0.029 | 0.158 | 1 | Si | 0.001 | 0.001 | 0.271 | 0.205 | 0.271 | Si |
| 4 | 0.816 | 1.020 | 11) R100×200×3 | | 0.129 | 0.000 | 0.000 | 0.033 | 0.000 | 0.029 | 0.029 | 0.030 | 0.129 | 1 | Si | 0.001 | 0.001 | 0.271 | 0.205 | 0.271 | Si |
| 5 | 0.000 | 0.184 | 11) R100×200×3 | | 0.095 | 0.001 | 0.001 | 0.020 | 0.001 | 0.111 | 0.065 | 0.119 | 0.119 | 1 | Si | 0.003 | 0.003 | 0.510 | 0.272 | 0.510 | Si |
| 5 | 0.184 | 0.368 | 11) R100×200×3 | | 0.105 | 0.000 | 0.001 | 0.024 | 0.001 | 0.111 | 0.065 | 0.119 | 0.119 | 1 | Si | 0.003 | 0.003 | 0.510 | 0.272 | 0.510 | Si |
| 5 | 0.368 | 0.552 | 11) R100×200×3 | | 0.257 | 0.000 | 0.001 | 0.105 | 0.001 | 0.111 | 0.065 | 0.119 | 0.257 | 1 | Si | 0.003 | 0.003 | 0.510 | 0.272 | 0.510 | Si |
| 5 | 0.552 | 0.737 | 11) R100×200×3 | | 0.358 | 0.001 | 0.001 | 0.182 | 0.001 | 0.112 | 0.065 | 0.119 | 0.358 | 1 | Si | 0.003 | 0.003 | 0.510 | 0.272 | 0.510 | Si |
| 5 | 0.737 | 0.921 | 11) R100×200×3 | | 0.510 | 0.001 | 0.001 | 0.328 | 0.001 | 0.112 | 0.065 | 0.120 | 0.510 | 1 | Si | 0.003 | 0.003 | 0.510 | 0.272 | 0.510 | Si |
| 6 | 0.089 | 0.141 | 11) R100×200×3 | | 0.025 | 0.002 | 0.001 | 0.002 | 0.003 | 0.007 | 0.014 | 0.007 | 0.025 | 1 | Si | 0.004 | 0.004 | 0.025 | 0.027 | 0.027 | Si |
| 6 | 0.141 | 0.194 | 11) R100×200×3 | | 0.022 | 0.001 | 0.001 | 0.001 | 0.003 | 0.007 | 0.014 | 0.007 | 0.022 | 1 | Si | 0.004 | 0.004 | 0.025 | 0.027 | 0.027 | Si |
| 6 | 0.194 | 0.246 | 11) R100×200×3 | | 0.020 | 0.001 | 0.001 | 0.001 | 0.003 | 0.007 | 0.014 | 0.007 | 0.020 | 1 | Si | 0.004 | 0.004 | 0.025 | 0.027 | 0.027 | Si |
| 6 | 0.246 | 0.298 | 11) R100×200×3 | | 0.017 | 0.001 | 0.001 | 0.001 | 0.003 | 0.007 | 0.014 | 0.007 | 0.017 | 1 | Si | 0.004 | 0.004 | 0.025 | 0.027 | 0.027 | Si |
| 6 | 0.298 | 0.350 | 11) R100×200×3 | | 0.016 | 0.006 | 0.004 | 0.055 | 0.007 | 0.008 | 0.014 | 0.022 | 0.055 | 4 | Si | 0.004 | 0.004 | 0.025 | 0.027 | 0.027 | Si |
| 7 | 0.000 | 0.076 | 11) R100×200×3 | | 0.005 | 0.000 | 0.001 | 0.008 | 0.008 | 0.019 | 0.000 | 0.019 | 0.019 | 4 | Si | 0.001 | 0.001 | 0.035 | 0.022 | 0.035 | Si |
| 7 | 0.076 | 0.152 | 11) R100×200×3 | | 0.011 | 0.000 | 0.001 | 0.001 | 0.000 | 0.016 | 0.000 | 0.016 | 0.016 | 1 | Si | 0.001 | 0.001 | 0.035 | 0.022 | 0.035 | Si |
| 7 | 0.152 | 0.228 | 11) R100×200×3 | | 0.020 | 0.000 | 0.001 | 0.001 | 0.000 | 0.016 | 0.000 | 0.016 | 0.020 | 1 | Si | 0.001 | 0.001 | 0.035 | 0.022 | 0.035 | Si |
| 7 | 0.228 | 0.304 | 11) R100×200×3 | | 0.024 | 0.000 | 0.001 | 0.002 | 0.000 | 0.016 | 0.000 | 0.016 | 0.024 | 1 | Si | 0.001 | 0.001 | 0.035 | 0.022 | 0.035 | Si |
| 7 | 0.304 | 0.380 | 11) R100×200×3 | | 0.035 | 0.001 | 0.001 | 0.003 | 0.000 | 0.016 | 0.000 | 0.016 | 0.035 | 1 | Si | 0.001 | 0.001 | 0.035 | 0.022 | 0.035 | Si |
| 8 | 0.000 | 0.204 | 11) R100×200×3 | | 0.113 | 0.001 | 0.001 | 0.027 | 0.000 | 0.018 | 0.001 | 0.018 | 0.113 | 1 | Si | 0.001 | 0.001 | 0.113 | 0.073 | 0.113 | Si |
| 8 | 0.204 | 0.408 | 11) R100×200×3 | | 0.085 | 0.001 | 0.001 | 0.016 | 0.000 | 0.018 | 0.001 | 0.018 | 0.085 | 1 | Si | 0.001 | 0.001 | 0.113 | 0.073 | 0.113 | Si |
| 8 | 0.408 | 0.612 | 11) R100×200×3 | | 0.067 | 0.000 | 0.001 | 0.011 | 0.000 | 0.017 | 0.001 | 0.017 | 0.067 | 1 | Si | 0.001 | 0.001 | 0.113 | 0.073 | 0.113 | Si |
| 8 | 0.612 | 0.816 | 11) R100×200×3 | | 0.040 | 0.000 | 0.001 | 0.004 | 0.000 | 0.017 | 0.001 | 0.017 | 0.040 | 1 | Si | 0.001 | 0.001 | 0.113 | 0.073 | 0.113 | Si |
| 8 | 0.816 | 1.020 | 11) R100×200×3 | | 0.023 | 0.001 | 0.001 | 0.001 | 0.000 | 0.017 | 0.001 | 0.017 | 0.023 | 1 | Si | 0.001 | 0.001 | 0.113 | 0.073 | 0.113 | Si |
| 9 | 0.000 | 0.106 | 11) R100×200×3 | | 0.027 | 0.001 | 0.001 | 0.002 | 0.000 | 0.014 | 0.002 | 0.014 | 0.027 | 1 | Si | 0.001 | 0.001 | 0.027 | 0.022 | 0.027 | Si |
| 9 | 0.106 | 0.212 | 11) R100×200×3 | | 0.018 | 0.001 | 0.001 | 0.001 | 0.000 | 0.011 | 0.002 | 0.011 | 0.018 | 1 | Si | 0.001 | 0.001 | 0.027 | 0.022 | 0.027 | Si |
| 9 | 0.212 | 0.318 | 11) R100×200×3 | | 0.012 | 0.001 | 0.001 | 0.001 | 0.000 | 0.010 | 0.002 | 0.010 | 0.012 | 1 | Si | 0.001 | 0.001 | 0.027 | 0.022 | 0.027 | Si |
| 9 | 0.318 | 0.424 | 11) R100×200×3 | | 0.005 | 0.000 | 0.001 | 0.000 | 0.000 | 0.007 | 0.002 | 0.007 | 0.007 | 1 | Si | 0.001 | 0.001 | 0.027 | 0.022 | 0.027 | Si |
| 9 | 0.424 | 0.530 | 11) R100×200×3 | | 0.002 | 0.000 | 0.001 | 0.007 | 0.003 | 0.007 | 0.002 | 0.009 | 0.009 | 4 | Si | 0.001 | 0.001 | 0.027 | 0.022 | 0.027 | Si |
| 10 | 0.000 | 0.204 | 11) R100×200×3 | | 0.151 | 0.000 | 0.000 | 0.043 | 0.000 | 0.018 | 0.001 | 0.018 | 0.151 | 1 | Si | 0.000 | 0.000 | 0.151 | 0.107 | 0.151 | Si |
| 10 | 0.204 | 0.408 | 11) R100×200×3 | | 0.123 | 0.000 | 0.000 | 0.031 | 0.000 | 0.018 | 0.001 | 0.018 | 0.123 | 1 | Si | 0.000 | 0.000 | 0.151 | 0.107 | 0.151 | Si |
| 10 | 0.408 | 0.612 | 11) R100×200×3 | | 0.105 | 0.000 | 0.000 | 0.023 | 0.000 | 0.019 | 0.001 | 0.019 | 0.105 | 1 | Si | 0.000 | 0.000 | 0.151 | 0.107 | 0.151 | Si |
| 10 | 0.612 | 0.816 | 11) R100×200×3 | | 0.076 | 0.000 | 0.000 | 0.014 | 0.000 | 0.019 | 0.001 | 0.019 | 0.076 | 1 | Si | 0.000 | 0.000 | 0.151 | 0.107 | 0.151 | Si |
| 10 | 0.816 | 1.020 | | | | | | | | | | | | | | | | | | | |

| | | | | | | | | | | | | | | | | | | | | | |
|----|-------|-------|-----|------------|-------|-------|-------|-------|-------|-------|---------|-------|-------|---|----|-------|-------|-------|-------|-------|----|
| 18 | 0.089 | 0.135 | 11) | R100*200*3 | 0.025 | 0.002 | 0.001 | 0.002 | 0.004 | 0.007 | 0.013 | 0.007 | 0.025 | 1 | SI | 0.004 | 0.004 | 0.025 | 0.028 | 0.028 | SI |
| 18 | 0.135 | 0.182 | 11) | R100*200*3 | 0.023 | 0.001 | 0.001 | 0.001 | 0.004 | 0.007 | 0.013 | 0.007 | 0.023 | 1 | SI | 0.004 | 0.004 | 0.025 | 0.028 | 0.028 | SI |
| 18 | 0.182 | 0.228 | 11) | R100*200*3 | 0.021 | 0.001 | 0.001 | 0.001 | 0.004 | 0.006 | 0.013 | 0.007 | 0.021 | 1 | SI | 0.004 | 0.004 | 0.025 | 0.028 | 0.028 | SI |
| 18 | 0.228 | 0.274 | 11) | R100*200*3 | 0.019 | 0.001 | 0.001 | 0.001 | 0.004 | 0.006 | 0.013 | 0.007 | 0.019 | 1 | SI | 0.004 | 0.004 | 0.025 | 0.028 | 0.028 | SI |
| 18 | 0.274 | 0.320 | 11) | R100*200*3 | 0.017 | 0.002 | 0.001 | 0.001 | 0.004 | 0.006 | 0.013 | 0.006 | 0.017 | 1 | SI | 0.004 | 0.004 | 0.025 | 0.028 | 0.028 | SI |
| 19 | 0.000 | 0.112 | 11) | R100*200*3 | 0.002 | 0.000 | 0.001 | 0.008 | 0.003 | 0.007 | 0.002 | 0.009 | 0.009 | 4 | SI | 0.001 | 0.001 | 0.031 | 0.025 | 0.031 | SI |
| 19 | 0.112 | 0.224 | 11) | R100*200*3 | 0.006 | 0.000 | 0.001 | 0.000 | 0.000 | 0.008 | 0.002 | 0.008 | 0.008 | 1 | SI | 0.001 | 0.001 | 0.031 | 0.025 | 0.031 | SI |
| 19 | 0.224 | 0.336 | 11) | R100*200*3 | 0.013 | 0.000 | 0.001 | 0.001 | 0.000 | 0.010 | 0.002 | 0.010 | 0.013 | 1 | SI | 0.001 | 0.001 | 0.031 | 0.025 | 0.031 | SI |
| 19 | 0.336 | 0.448 | 11) | R100*200*3 | 0.020 | 0.001 | 0.001 | 0.001 | 0.000 | 0.012 | 0.002 | 0.012 | 0.020 | 1 | SI | 0.001 | 0.001 | 0.031 | 0.025 | 0.031 | SI |
| 19 | 0.448 | 0.560 | 11) | R100*200*3 | 0.031 | 0.001 | 0.001 | 0.003 | 0.000 | 0.015 | 0.002 | 0.015 | 0.031 | 1 | SI | 0.001 | 0.001 | 0.031 | 0.025 | 0.031 | SI |
| 20 | 0.089 | 0.303 | 11) | R100*200*3 | 0.119 | 0.001 | 0.001 | 0.029 | 0.000 | 0.047 | 0.018 | 0.048 | 0.119 | 1 | SI | 0.002 | 0.002 | 0.119 | 0.090 | 0.119 | SI |
| 20 | 0.303 | 0.518 | 11) | R100*200*3 | 0.050 | 0.000 | 0.001 | 0.006 | 0.000 | 0.040 | 0.018 | 0.041 | 0.050 | 1 | SI | 0.002 | 0.002 | 0.119 | 0.090 | 0.119 | SI |
| 20 | 0.518 | 0.732 | 11) | R100*200*3 | 0.024 | 0.000 | 0.001 | 0.002 | 0.000 | 0.035 | 0.018 | 0.036 | 0.036 | 1 | SI | 0.002 | 0.002 | 0.119 | 0.090 | 0.119 | SI |
| 20 | 0.732 | 0.946 | 11) | R100*200*3 | 0.053 | 0.000 | 0.001 | 0.007 | 0.000 | 0.028 | 0.018 | 0.028 | 0.053 | 1 | SI | 0.002 | 0.002 | 0.119 | 0.090 | 0.119 | SI |
| 20 | 0.946 | 1.160 | 11) | R100*200*3 | 0.087 | 0.001 | 0.001 | 0.017 | 0.000 | 0.022 | 0.018 | 0.023 | 0.087 | 1 | SI | 0.002 | 0.002 | 0.119 | 0.090 | 0.119 | SI |
| 21 | 0.000 | 0.216 | 11) | R100*200*3 | 0.087 | 0.001 | 0.001 | 0.017 | 0.000 | 0.022 | 0.018 | 0.022 | 0.087 | 1 | SI | 0.002 | 0.002 | 0.118 | 0.090 | 0.118 | SI |
| 21 | 0.216 | 0.432 | 11) | R100*200*3 | 0.053 | 0.000 | 0.001 | 0.007 | 0.000 | 0.027 | 0.018 | 0.027 | 0.053 | 1 | SI | 0.002 | 0.002 | 0.118 | 0.090 | 0.118 | SI |
| 21 | 0.432 | 0.648 | 11) | R100*200*3 | 0.024 | 0.000 | 0.001 | 0.002 | 0.000 | 0.034 | 0.018 | 0.035 | 0.035 | 1 | SI | 0.002 | 0.002 | 0.118 | 0.090 | 0.118 | SI |
| 21 | 0.648 | 0.865 | 11) | R100*200*3 | 0.049 | 0.000 | 0.001 | 0.006 | 0.000 | 0.039 | 0.018 | 0.040 | 0.049 | 1 | SI | 0.002 | 0.002 | 0.118 | 0.090 | 0.118 | SI |
| 21 | 0.865 | 1.081 | 11) | R100*200*3 | 0.118 | 0.001 | 0.001 | 0.029 | 0.000 | 0.047 | 0.018 | 0.047 | 0.118 | 1 | SI | 0.002 | 0.002 | 0.118 | 0.090 | 0.118 | SI |
| 22 | 0.089 | 0.155 | 11) | R100*200*3 | 0.174 | 0.001 | 0.002 | 0.055 | 0.001 | 0.065 | 0.082 | 0.071 | 0.174 | 1 | SI | 0.007 | 0.007 | 0.174 | 0.133 | 0.174 | SI |
| 22 | 0.155 | 0.222 | 11) | R100*200*3 | 0.142 | 0.001 | 0.002 | 0.039 | 0.001 | 0.063 | 0.082 | 0.069 | 0.142 | 1 | SI | 0.007 | 0.007 | 0.174 | 0.133 | 0.174 | SI |
| 22 | 0.222 | 0.288 | 11) | R100*200*3 | 0.122 | 0.001 | 0.002 | 0.030 | 0.001 | 0.062 | 0.082 | 0.067 | 0.122 | 1 | SI | 0.007 | 0.007 | 0.174 | 0.133 | 0.174 | SI |
| 22 | 0.288 | 0.354 | 11) | R100*200*3 | 0.092 | 0.001 | 0.002 | 0.019 | 0.001 | 0.060 | 0.082 | 0.065 | 0.092 | 1 | SI | 0.007 | 0.007 | 0.174 | 0.133 | 0.174 | SI |
| 22 | 0.354 | 0.420 | 11) | R100*200*3 | 0.073 | 0.001 | 0.002 | 0.013 | 0.001 | 0.059 | 0.082 | 0.064 | 0.082 | 1 | SI | 0.007 | 0.007 | 0.174 | 0.133 | 0.174 | SI |
| 23 | 0.000 | 0.166 | 11) | R100*200*3 | 0.003 | 0.000 | 0.001 | 0.002 | 0.001 | 0.005 | 0.001 | 0.005 | 0.005 | 4 | SI | 0.001 | 0.001 | 0.057 | 0.043 | 0.057 | SI |
| 23 | 0.166 | 0.332 | 11) | R100*200*3 | 0.010 | 0.000 | 0.000 | 0.000 | 0.000 | 0.008 | 0.001 | 0.008 | 0.010 | 1 | SI | 0.001 | 0.001 | 0.057 | 0.043 | 0.057 | SI |
| 23 | 0.332 | 0.498 | 11) | R100*200*3 | 0.021 | 0.000 | 0.000 | 0.001 | 0.000 | 0.013 | 0.001 | 0.013 | 0.021 | 1 | SI | 0.001 | 0.001 | 0.057 | 0.043 | 0.057 | SI |
| 23 | 0.498 | 0.664 | 11) | R100*200*3 | 0.033 | 0.000 | 0.000 | 0.003 | 0.000 | 0.017 | 0.001 | 0.017 | 0.033 | 1 | SI | 0.001 | 0.001 | 0.057 | 0.043 | 0.057 | SI |
| 23 | 0.664 | 0.830 | 11) | R100*200*3 | 0.057 | 0.000 | 0.000 | 0.008 | 0.000 | 0.023 | 0.001 | 0.023 | 0.057 | 1 | SI | 0.001 | 0.001 | 0.057 | 0.043 | 0.057 | SI |
| 24 | 0.000 | 0.232 | 11) | R100*200*3 | 0.184 | 0.001 | 0.000 | 0.060 | 0.000 | 0.037 | 0.042 | 0.038 | 0.184 | 1 | SI | 0.001 | 0.001 | 0.184 | 0.139 | 0.184 | SI |
| 24 | 0.232 | 0.464 | 11) | R100*200*3 | 0.128 | 0.000 | 0.000 | 0.033 | 0.000 | 0.028 | 0.042 | 0.029 | 0.128 | 1 | SI | 0.001 | 0.001 | 0.184 | 0.139 | 0.184 | SI |
| 24 | 0.464 | 0.696 | 11) | R100*200*3 | 0.098 | 0.000 | 0.000 | 0.021 | 0.000 | 0.022 | 0.042 | 0.023 | 0.098 | 1 | SI | 0.001 | 0.001 | 0.184 | 0.139 | 0.184 | SI |
| 24 | 0.696 | 0.928 | 11) | R100*200*3 | 0.067 | 0.000 | 0.000 | 0.011 | 0.000 | 0.014 | 0.042 | 0.014 | 0.067 | 1 | SI | 0.001 | 0.001 | 0.184 | 0.139 | 0.184 | SI |
| 24 | 0.928 | 1.160 | 11) | R100*200*3 | 0.054 | 0.001 | 0.000 | 0.008 | 0.000 | 0.008 | 0.042 | 0.008 | 0.054 | 1 | SI | 0.001 | 0.001 | 0.184 | 0.139 | 0.184 | SI |
| 25 | 0.000 | 0.234 | 11) | R100*200*3 | 0.052 | 0.001 | 0.000 | 0.007 | 0.000 | 0.005 | 0.038 | 0.006 | 0.052 | 1 | SI | 0.001 | 0.001 | 0.170 | 0.129 | 0.170 | SI |
| 25 | 0.234 | 0.468 | 11) | R100*200*3 | 0.062 | 0.000 | 0.000 | 0.010 | 0.000 | 0.011 | 0.038 | 0.012 | 0.062 | 1 | SI | 0.001 | 0.001 | 0.170 | 0.129 | 0.170 | SI |
| 25 | 0.468 | 0.702 | 11) | R100*200*3 | 0.090 | 0.000 | 0.000 | 0.018 | 0.000 | 0.020 | 0.038 | 0.021 | 0.090 | 1 | SI | 0.001 | 0.001 | 0.170 | 0.129 | 0.170 | SI |
| 25 | 0.702 | 0.936 | 11) | R100*200*3 | 0.117 | 0.000 | 0.000 | 0.028 | 0.000 | 0.026 | 0.038 | 0.027 | 0.117 | 1 | SI | 0.001 | 0.001 | 0.170 | 0.129 | 0.170 | SI |
| 25 | 0.936 | 1.170 | 11) | R100*200*3 | 0.170 | 0.001 | 0.000 | 0.053 | 0.000 | 0.035 | 0.038 | 0.036 | 0.170 | 1 | SI | 0.001 | 0.001 | 0.170 | 0.129 | 0.170 | SI |
| 26 | 0.000 | 0.156 | 11) | R100*200*3 | 0.188 | 0.000 | 0.001 | 0.062 | 0.000 | 0.042 | 0.047 | 0.044 | 0.188 | 1 | SI | 0.003 | 0.003 | 0.188 | 0.140 | 0.188 | SI |
| 26 | 0.156 | 0.312 | 11) | R100*200*3 | 0.139 | 0.000 | 0.001 | 0.038 | 0.000 | 0.036 | 0.047 | 0.038 | 0.139 | 1 | SI | 0.003 | 0.003 | 0.188 | 0.140 | 0.188 | SI |
| 26 | 0.312 | 0.468 | 11) | R100*200*3 | 0.115 | 0.000 | 0.001 | 0.027 | 0.000 | 0.032 | 0.047 | 0.034 | 0.115 | 1 | SI | 0.003 | 0.003 | 0.188 | 0.140 | 0.188 | SI |
| 26 | 0.468 | 0.624 | 11) | R100*200*3 | 0.088 | 0.000 | 0.001 | 0.017 | 0.000 | 0.028 | 0.047 | 0.029 | 0.088 | 1 | SI | 0.003 | 0.003 | 0.188 | 0.140 | 0.188 | SI |
| 26 | 0.624 | 0.780 | 11) | R100*200*3 | 0.061 | 0.000 | 0.001 | 0.009 | 0.000 | 0.022 | 0.047 | 0.023 | 0.061 | 1 | SI | 0.003 | 0.003 | 0.188 | 0.140 | 0.188 | SI |
| 27 | 0.000 | 0.200 | 11) | R100*200*3 | 0.002 | 0.000 | 0.001 | 0.003 | 0.001 | 0.003 | 0.000 | 0.003 | 0.003 | 4 | SI | 0.001 | 0.001 | 0.081 | 0.062 | 0.081 | SI |
| 27 | 0.200 | 0.400 | 11) | R100*200*3 | 0.008 | 0.000 | 0.001 | 0.000 | 0.000 | 0.008 | 0.000 | 0.008 | 0.008 | 1 | SI | 0.001 | 0.001 | 0.081 | 0.062 | 0.081 | SI |
| 27 | 0.400 | 0.600 | 11) | R100*200*3 | 0.026 | 0.000 | 0.001 | 0.002 | 0.000 | 0.016 | 0.000 | 0.016 | 0.026 | 1 | SI | 0.001 | 0.001 | 0.081 | 0.062 | 0.081 | SI |
| 27 | 0.600 | 0.800 | 11) | R100*200*3 | 0.045 | 0.000 | 0.001 | 0.005 | 0.000 | 0.021 | 0.000 | 0.021 | 0.045 | 1 | SI | 0.001 | 0.001 | 0.081 | 0.062 | 0.081 | SI |
| 27 | 0.800 | 1.000 | 11) | R100*200*3 | 0.081 | 0.000 | 0.001 | 0.015 | 0.000 | 0.028 | 0.000 | 0.028 | 0.081 | 1 | SI | 0.001 | 0.001 | 0.081 | 0.062 | 0.081 | SI |
| 28 | 0.000 | 0.232 | 11) | R100*200*3 | 0.163 | 0.000 | 0.000 | 0.049 | 0.000 | 0.017 | 0.000 | 0.017 | 0.163 | 1 | SI | 0.001 | 0.001 | 0.163 | 0.163 | 0.163 | SI |
| 28 | 0.232 | 0.464 | 11) | R100*200*3 | 0.140 | 0.000 | 0.000 | 0.038 | 0.000 | 0.008 | 0.000 | 0.008 | 0.140 | 1 | SI | 0.001 | 0.001 | 0.163 | 0.163 | 0.163 | SI |
| 28 | 0.464 | 0.696 | 11) | R100*200*3 | 0.133 | 0.000 | 0.000 | 0.035 | 0.000 | 0.003 | 0.000 | 0.003 | 0.133 | 1 | SI | 0.001 | 0.001 | 0.163 | 0.163 | 0.163 | SI |
| 28 | 0.696 | 0.928 | 11) | R100*200*3 | 0.139 | 0.000 | 0.000 | 0.038 | 0.000 | 0.008 | 0.000 | 0.008 | 0.139 | 1 | SI | 0.001 | 0.001 | 0.163 | 0.163 | 0.163 | SI |
| 28 | 0.928 | 1.160 | 11) | R100*200*3 | 0.161 | 0.000 | 0.000 | 0.048 | 0.000 | 0.017 | 0.000 | 0.017 | 0.161 | 1 | SI | 0.001 | 0.001 | 0.163 | 0.163 | 0.163 | SI |
| 29 | 0.000 | 0.234 | 11) | R100*200*3 | 0.160 | 0.000 | 0.000 | 0.047 | 0.000 | 0.018 | 0.000 | 0.018 | 0.160 | 1 | SI | 0.001 | 0.001 | 0.160 | 0.160 | 0.160 | SI |
| 29 | 0.234 | 0.468 | 11) | R100*200*3 | 0.135 | 0.000 | 0.000 | 0.036 | 0.000 | 0.009 | 0.000 | 0.009 | 0.135 | 1 | SI | 0.001 | 0.001 | 0.160 | 0.160 | 0.160 | SI |
| 29 | 0.468 | 0.702 | 11) | R100*200*3 | 0.127 | 0.000 | 0.000 | 0.032 | 0.000 | 0.004 | 0.000 | 0.004 | 0.127 | 1 | SI | 0.001 | 0.001 | 0.160 | 0.160 | 0.160 | SI |
| 29 | 0.702 | 0.936 | 11) | R100*200*3 | 0.131 | 0.000 | 0.000 | 0.034 | 0.000 | 0.007 | 0.000</ | | | | | | | | | | |

| | | | | | | | | | | | | | | | | | | | | | |
|----|-------|-------|-----|------------|-------|-------|-------|-------|-------|-------|-------|-------|-------|---|----|-------|-------|-------|-------|-------|----|
| 55 | 0.104 | 0.156 | 11) | R100*200*3 | 0.020 | 0.001 | 0.001 | 0.001 | 0.003 | 0.006 | 0.013 | 0.006 | 0.020 | 1 | SI | 0.004 | 0.004 | 0.024 | 0.027 | 0.027 | SI |
| 55 | 0.156 | 0.209 | 11) | R100*200*3 | 0.021 | 0.001 | 0.001 | 0.001 | 0.003 | 0.006 | 0.013 | 0.007 | 0.021 | 1 | SI | 0.004 | 0.004 | 0.024 | 0.027 | 0.027 | SI |
| 55 | 0.209 | 0.261 | 11) | R100*200*3 | 0.024 | 0.002 | 0.001 | 0.002 | 0.003 | 0.006 | 0.013 | 0.007 | 0.024 | 1 | SI | 0.004 | 0.004 | 0.024 | 0.027 | 0.027 | SI |
| 56 | 0.000 | 0.074 | 11) | R100*200*3 | 0.021 | 0.001 | 0.000 | 0.001 | 0.001 | 0.010 | 0.004 | 0.010 | 0.021 | 1 | SI | 0.000 | 0.000 | 0.021 | 0.014 | 0.021 | SI |
| 56 | 0.074 | 0.148 | 11) | R100*200*3 | 0.015 | 0.001 | 0.000 | 0.001 | 0.001 | 0.010 | 0.004 | 0.010 | 0.015 | 1 | SI | 0.000 | 0.000 | 0.021 | 0.014 | 0.021 | SI |
| 56 | 0.148 | 0.222 | 11) | R100*200*3 | 0.011 | 0.001 | 0.000 | 0.001 | 0.001 | 0.010 | 0.004 | 0.010 | 0.011 | 1 | SI | 0.000 | 0.000 | 0.021 | 0.014 | 0.021 | SI |
| 56 | 0.222 | 0.296 | 11) | R100*200*3 | 0.006 | 0.000 | 0.000 | 0.000 | 0.001 | 0.010 | 0.004 | 0.010 | 0.010 | 1 | SI | 0.000 | 0.000 | 0.021 | 0.014 | 0.021 | SI |
| 56 | 0.296 | 0.370 | 11) | R100*200*3 | 0.002 | 0.000 | 0.000 | 0.000 | 0.001 | 0.010 | 0.004 | 0.010 | 0.010 | 1 | SI | 0.000 | 0.000 | 0.021 | 0.014 | 0.021 | SI |
| 57 | 0.000 | 0.114 | 11) | R100*200*3 | 0.047 | 0.001 | 0.001 | 0.006 | 0.001 | 0.015 | 0.000 | 0.015 | 0.047 | 1 | SI | 0.002 | 0.002 | 0.092 | 0.073 | 0.092 | SI |
| 57 | 0.114 | 0.228 | 11) | R100*200*3 | 0.056 | 0.001 | 0.001 | 0.008 | 0.001 | 0.015 | 0.000 | 0.015 | 0.056 | 1 | SI | 0.002 | 0.002 | 0.092 | 0.073 | 0.092 | SI |
| 57 | 0.228 | 0.342 | 11) | R100*200*3 | 0.069 | 0.000 | 0.001 | 0.012 | 0.001 | 0.016 | 0.000 | 0.016 | 0.069 | 1 | SI | 0.002 | 0.002 | 0.092 | 0.073 | 0.092 | SI |
| 57 | 0.342 | 0.456 | 11) | R100*200*3 | 0.078 | 0.000 | 0.001 | 0.014 | 0.001 | 0.016 | 0.000 | 0.016 | 0.078 | 1 | SI | 0.002 | 0.002 | 0.092 | 0.073 | 0.092 | SI |
| 57 | 0.456 | 0.570 | 11) | R100*200*3 | 0.092 | 0.001 | 0.001 | 0.019 | 0.001 | 0.016 | 0.000 | 0.016 | 0.092 | 1 | SI | 0.002 | 0.002 | 0.092 | 0.073 | 0.092 | SI |
| 58 | 0.000 | 0.078 | 11) | R100*200*3 | 0.036 | 0.001 | 0.001 | 0.004 | 0.000 | 0.016 | 0.000 | 0.016 | 0.036 | 1 | SI | 0.001 | 0.001 | 0.036 | 0.023 | 0.036 | SI |
| 58 | 0.078 | 0.156 | 11) | R100*200*3 | 0.027 | 0.000 | 0.001 | 0.002 | 0.000 | 0.016 | 0.000 | 0.016 | 0.027 | 1 | SI | 0.001 | 0.001 | 0.036 | 0.023 | 0.036 | SI |
| 58 | 0.156 | 0.234 | 11) | R100*200*3 | 0.020 | 0.000 | 0.001 | 0.001 | 0.000 | 0.016 | 0.000 | 0.016 | 0.020 | 1 | SI | 0.001 | 0.001 | 0.036 | 0.023 | 0.036 | SI |
| 58 | 0.234 | 0.312 | 11) | R100*200*3 | 0.011 | 0.000 | 0.001 | 0.001 | 0.000 | 0.016 | 0.000 | 0.016 | 0.016 | 1 | SI | 0.001 | 0.001 | 0.036 | 0.023 | 0.036 | SI |
| 58 | 0.312 | 0.390 | 11) | R100*200*3 | 0.005 | 0.000 | 0.001 | 0.008 | 0.008 | 0.019 | 0.000 | 0.019 | 0.019 | 4 | SI | 0.001 | 0.001 | 0.036 | 0.023 | 0.036 | SI |
| 59 | 0.000 | 0.046 | 11) | R100*200*3 | 0.017 | 0.002 | 0.001 | 0.001 | 0.004 | 0.006 | 0.012 | 0.006 | 0.017 | 1 | SI | 0.004 | 0.004 | 0.024 | 0.027 | 0.027 | SI |
| 59 | 0.046 | 0.092 | 11) | R100*200*3 | 0.018 | 0.001 | 0.001 | 0.001 | 0.004 | 0.006 | 0.012 | 0.006 | 0.018 | 1 | SI | 0.004 | 0.004 | 0.024 | 0.027 | 0.027 | SI |
| 59 | 0.092 | 0.138 | 11) | R100*200*3 | 0.021 | 0.001 | 0.001 | 0.001 | 0.004 | 0.006 | 0.012 | 0.006 | 0.021 | 1 | SI | 0.004 | 0.004 | 0.024 | 0.027 | 0.027 | SI |
| 59 | 0.138 | 0.185 | 11) | R100*200*3 | 0.022 | 0.001 | 0.001 | 0.001 | 0.004 | 0.006 | 0.012 | 0.006 | 0.022 | 1 | SI | 0.004 | 0.004 | 0.024 | 0.027 | 0.027 | SI |
| 59 | 0.185 | 0.231 | 11) | R100*200*3 | 0.024 | 0.002 | 0.001 | 0.002 | 0.004 | 0.006 | 0.012 | 0.006 | 0.024 | 1 | SI | 0.004 | 0.004 | 0.024 | 0.027 | 0.027 | SI |
| 60 | 0.000 | 0.080 | 11) | R100*200*3 | 0.022 | 0.001 | 0.000 | 0.001 | 0.001 | 0.010 | 0.004 | 0.010 | 0.022 | 1 | SI | 0.000 | 0.000 | 0.022 | 0.014 | 0.022 | SI |
| 60 | 0.080 | 0.160 | 11) | R100*200*3 | 0.016 | 0.001 | 0.000 | 0.001 | 0.001 | 0.010 | 0.004 | 0.010 | 0.016 | 1 | SI | 0.000 | 0.000 | 0.022 | 0.014 | 0.022 | SI |
| 60 | 0.160 | 0.240 | 11) | R100*200*3 | 0.012 | 0.001 | 0.000 | 0.001 | 0.001 | 0.010 | 0.004 | 0.010 | 0.012 | 1 | SI | 0.000 | 0.000 | 0.022 | 0.014 | 0.022 | SI |
| 60 | 0.240 | 0.320 | 11) | R100*200*3 | 0.006 | 0.000 | 0.000 | 0.000 | 0.001 | 0.009 | 0.004 | 0.009 | 0.009 | 1 | SI | 0.000 | 0.000 | 0.022 | 0.014 | 0.022 | SI |
| 60 | 0.320 | 0.400 | 11) | R100*200*3 | 0.002 | 0.000 | 0.000 | 0.000 | 0.001 | 0.009 | 0.004 | 0.009 | 0.009 | 1 | SI | 0.000 | 0.000 | 0.022 | 0.014 | 0.022 | SI |
| 61 | 0.000 | 0.082 | 11) | R100*200*3 | 0.078 | 0.001 | 0.002 | 0.014 | 0.001 | 0.061 | 0.086 | 0.067 | 0.086 | 1 | SI | 0.007 | 0.007 | 0.210 | 0.156 | 0.210 | SI |
| 61 | 0.082 | 0.164 | 11) | R100*200*3 | 0.103 | 0.001 | 0.002 | 0.023 | 0.001 | 0.063 | 0.086 | 0.069 | 0.103 | 1 | SI | 0.007 | 0.007 | 0.210 | 0.156 | 0.210 | SI |
| 61 | 0.164 | 0.246 | 11) | R100*200*3 | 0.142 | 0.001 | 0.002 | 0.039 | 0.001 | 0.065 | 0.086 | 0.071 | 0.142 | 1 | SI | 0.007 | 0.007 | 0.210 | 0.156 | 0.210 | SI |
| 61 | 0.246 | 0.329 | 11) | R100*200*3 | 0.169 | 0.001 | 0.002 | 0.052 | 0.001 | 0.067 | 0.086 | 0.073 | 0.169 | 1 | SI | 0.007 | 0.007 | 0.210 | 0.156 | 0.210 | SI |
| 61 | 0.329 | 0.411 | 11) | R100*200*3 | 0.210 | 0.001 | 0.002 | 0.075 | 0.001 | 0.069 | 0.086 | 0.076 | 0.210 | 1 | SI | 0.007 | 0.007 | 0.210 | 0.156 | 0.210 | SI |
| 62 | 0.000 | 0.110 | 11) | R100*200*3 | 0.029 | 0.001 | 0.001 | 0.002 | 0.000 | 0.014 | 0.002 | 0.014 | 0.029 | 1 | SI | 0.001 | 0.001 | 0.029 | 0.024 | 0.029 | SI |
| 62 | 0.110 | 0.220 | 11) | R100*200*3 | 0.019 | 0.001 | 0.001 | 0.001 | 0.000 | 0.012 | 0.002 | 0.012 | 0.019 | 1 | SI | 0.001 | 0.001 | 0.029 | 0.024 | 0.029 | SI |
| 62 | 0.220 | 0.330 | 11) | R100*200*3 | 0.012 | 0.001 | 0.001 | 0.001 | 0.000 | 0.010 | 0.002 | 0.010 | 0.012 | 1 | SI | 0.001 | 0.001 | 0.029 | 0.024 | 0.029 | SI |
| 62 | 0.330 | 0.440 | 11) | R100*200*3 | 0.005 | 0.000 | 0.001 | 0.000 | 0.000 | 0.007 | 0.002 | 0.007 | 0.007 | 1 | SI | 0.001 | 0.001 | 0.029 | 0.024 | 0.029 | SI |
| 62 | 0.440 | 0.550 | 11) | R100*200*3 | 0.002 | 0.000 | 0.001 | 0.008 | 0.003 | 0.007 | 0.002 | 0.009 | 0.009 | 4 | SI | 0.001 | 0.001 | 0.029 | 0.024 | 0.029 | SI |
| 63 | 0.000 | 0.172 | 11) | R100*200*3 | 0.061 | 0.000 | 0.001 | 0.009 | 0.000 | 0.021 | 0.051 | 0.023 | 0.061 | 1 | SI | 0.003 | 0.003 | 0.205 | 0.153 | 0.205 | SI |
| 63 | 0.172 | 0.344 | 11) | R100*200*3 | 0.087 | 0.000 | 0.001 | 0.017 | 0.000 | 0.027 | 0.051 | 0.028 | 0.087 | 1 | SI | 0.003 | 0.003 | 0.205 | 0.153 | 0.205 | SI |
| 63 | 0.344 | 0.516 | 11) | R100*200*3 | 0.120 | 0.000 | 0.001 | 0.030 | 0.000 | 0.033 | 0.051 | 0.034 | 0.120 | 1 | SI | 0.003 | 0.003 | 0.205 | 0.153 | 0.205 | SI |
| 63 | 0.516 | 0.688 | 11) | R100*200*3 | 0.145 | 0.000 | 0.001 | 0.040 | 0.000 | 0.036 | 0.051 | 0.038 | 0.145 | 1 | SI | 0.003 | 0.003 | 0.205 | 0.153 | 0.205 | SI |
| 63 | 0.688 | 0.860 | 11) | R100*200*3 | 0.205 | 0.000 | 0.001 | 0.072 | 0.000 | 0.044 | 0.051 | 0.046 | 0.205 | 1 | SI | 0.003 | 0.003 | 0.205 | 0.153 | 0.205 | SI |
| 64 | 0.000 | 0.164 | 11) | R100*200*3 | 0.056 | 0.000 | 0.000 | 0.008 | 0.000 | 0.022 | 0.001 | 0.022 | 0.056 | 1 | SI | 0.001 | 0.001 | 0.056 | 0.042 | 0.056 | SI |
| 64 | 0.164 | 0.328 | 11) | R100*200*3 | 0.033 | 0.000 | 0.000 | 0.003 | 0.000 | 0.017 | 0.001 | 0.017 | 0.033 | 1 | SI | 0.001 | 0.001 | 0.056 | 0.042 | 0.056 | SI |
| 64 | 0.328 | 0.492 | 11) | R100*200*3 | 0.020 | 0.000 | 0.000 | 0.001 | 0.000 | 0.013 | 0.001 | 0.013 | 0.020 | 1 | SI | 0.001 | 0.001 | 0.056 | 0.042 | 0.056 | SI |
| 64 | 0.492 | 0.656 | 11) | R100*200*3 | 0.010 | 0.000 | 0.000 | 0.000 | 0.000 | 0.008 | 0.001 | 0.008 | 0.010 | 1 | SI | 0.001 | 0.001 | 0.056 | 0.042 | 0.056 | SI |
| 64 | 0.656 | 0.820 | 11) | R100*200*3 | 0.003 | 0.000 | 0.001 | 0.002 | 0.001 | 0.005 | 0.001 | 0.005 | 0.005 | 4 | SI | 0.001 | 0.001 | 0.056 | 0.042 | 0.056 | SI |
| 65 | 0.000 | 0.086 | 11) | R100*200*3 | 0.073 | 0.001 | 0.002 | 0.013 | 0.001 | 0.060 | 0.085 | 0.066 | 0.085 | 1 | SI | 0.007 | 0.007 | 0.211 | 0.154 | 0.211 | SI |
| 65 | 0.086 | 0.172 | 11) | R100*200*3 | 0.100 | 0.001 | 0.002 | 0.021 | 0.001 | 0.062 | 0.085 | 0.068 | 0.100 | 1 | SI | 0.007 | 0.007 | 0.211 | 0.154 | 0.211 | SI |
| 65 | 0.172 | 0.258 | 11) | R100*200*3 | 0.140 | 0.001 | 0.002 | 0.038 | 0.001 | 0.064 | 0.085 | 0.070 | 0.140 | 1 | SI | 0.007 | 0.007 | 0.211 | 0.154 | 0.211 | SI |
| 65 | 0.258 | 0.345 | 11) | R100*200*3 | 0.168 | 0.001 | 0.002 | 0.051 | 0.001 | 0.066 | 0.085 | 0.072 | 0.168 | 1 | SI | 0.007 | 0.007 | 0.211 | 0.154 | 0.211 | SI |
| 65 | 0.345 | 0.431 | 11) | R100*200*3 | 0.211 | 0.001 | 0.002 | 0.075 | 0.001 | 0.069 | 0.085 | 0.075 | 0.211 | 1 | SI | 0.007 | 0.007 | 0.211 | 0.154 | 0.211 | SI |
| 66 | 0.000 | 0.202 | 11) | R100*200*3 | 0.059 | 0.000 | 0.000 | 0.009 | 0.000 | 0.019 | 0.001 | 0.019 | 0.059 | 1 | SI | 0.000 | 0.000 | 0.151 | 0.108 | 0.151 | SI |
| 66 | 0.202 | 0.404 | 11) | R100*200*3 | 0.078 | 0.000 | 0.000 | 0.014 | 0.000 | 0.019 | 0.001 | 0.019 | 0.078 | 1 | SI | 0.000 | 0.000 | 0.151 | 0.108 | 0.151 | SI |
| 66 | 0.404 | 0.606 | 11) | R100*200*3 | 0.106 | 0.000 | 0.000 | 0.024 | 0.000 | 0.018 | 0.001 | 0.018 | 0.106 | 1 | SI | 0.000 | 0.000 | 0.151 | 0.108 | 0.151 | SI |
| 66 | 0.606 | 0.808 | 11) | R100*200*3 | 0.124 | 0.000 | 0.000 | 0.031 | 0.000 | 0.018 | 0.001 | 0.018 | 0.124 | 1 | SI | 0.000 | 0.000 | 0.151 | 0.108 | 0.151 | SI |
| 66 | 0.808 | 1.010 | 11) | R100*200*3 | 0.151 | 0.000 | 0.000 | 0.043 | 0.000 | 0.018 | 0.001 | 0.018 | 0.151 | 1 | SI | 0.000 | 0.000 | 0.151 | 0.108 | 0.151 | SI |
| 67 | 0.078 | 0.156 | 10) | R60x120x3 | 0.295 | 0.001 | 0.002 | 0.132 | 0.001 | 0.047 | 0.128 | | | | | | | | | | |

| | | | | | | | | | | | | | | | | | | | | | |
|----|-------|-------|-----|-----------|-------|-------|-------|-------|-------|-------|-------|-------|-------|---|----|-------|-------|-------|-------|-------|----|
| 76 | 0.352 | 0.440 | 10) | R60x120x3 | 0.038 | 0.007 | 0.002 | 0.047 | 0.004 | 0.004 | 0.007 | 0.011 | 0.047 | 3 | Si | 0.002 | 0.002 | 0.032 | 0.035 | 0.035 | Si |
| 77 | 0.050 | 0.124 | 10) | R60x120x3 | 0.038 | 0.008 | 0.002 | 0.048 | 0.004 | 0.004 | 0.009 | 0.013 | 0.048 | 3 | Si | 0.002 | 0.002 | 0.032 | 0.034 | 0.034 | Si |
| 77 | 0.124 | 0.198 | 10) | R60x120x3 | 0.030 | 0.004 | 0.002 | 0.003 | 0.004 | 0.002 | 0.009 | 0.004 | 0.030 | 1 | Si | 0.002 | 0.002 | 0.032 | 0.034 | 0.034 | Si |
| 77 | 0.198 | 0.272 | 10) | R60x120x3 | 0.028 | 0.002 | 0.002 | 0.002 | 0.004 | 0.003 | 0.009 | 0.004 | 0.028 | 1 | Si | 0.002 | 0.002 | 0.032 | 0.034 | 0.034 | Si |
| 77 | 0.272 | 0.346 | 10) | R60x120x3 | 0.025 | 0.002 | 0.002 | 0.002 | 0.004 | 0.004 | 0.009 | 0.004 | 0.025 | 1 | Si | 0.002 | 0.002 | 0.032 | 0.034 | 0.034 | Si |
| 77 | 0.346 | 0.420 | 10) | R60x120x3 | 0.025 | 0.006 | 0.002 | 0.032 | 0.006 | 0.007 | 0.009 | 0.016 | 0.032 | 3 | Si | 0.002 | 0.002 | 0.032 | 0.034 | 0.034 | Si |
| 78 | 0.000 | 0.148 | 10) | R60x120x3 | 0.024 | 0.006 | 0.002 | 0.032 | 0.005 | 0.008 | 0.001 | 0.010 | 0.032 | 3 | Si | 0.002 | 0.002 | 0.051 | 0.042 | 0.051 | Si |
| 78 | 0.148 | 0.295 | 10) | R60x120x3 | 0.010 | 0.003 | 0.002 | 0.015 | 0.005 | 0.009 | 0.001 | 0.011 | 0.015 | 3 | Si | 0.002 | 0.002 | 0.051 | 0.042 | 0.051 | Si |
| 78 | 0.295 | 0.443 | 10) | R60x120x3 | 0.012 | 0.001 | 0.002 | 0.012 | 0.006 | 0.011 | 0.001 | 0.013 | 0.015 | 3 | Si | 0.002 | 0.002 | 0.051 | 0.042 | 0.051 | Si |
| 78 | 0.443 | 0.590 | 10) | R60x120x3 | 0.030 | 0.002 | 0.002 | 0.003 | 0.001 | 0.012 | 0.001 | 0.012 | 0.030 | 1 | Si | 0.002 | 0.002 | 0.051 | 0.042 | 0.051 | Si |
| 78 | 0.590 | 0.738 | 10) | R60x120x3 | 0.051 | 0.004 | 0.002 | 0.007 | 0.001 | 0.013 | 0.001 | 0.013 | 0.051 | 1 | Si | 0.002 | 0.002 | 0.051 | 0.042 | 0.051 | Si |
| 79 | 0.052 | 0.058 | 10) | R60x120x3 | 0.044 | 0.001 | 0.001 | 0.005 | 0.001 | 0.020 | 0.053 | 0.022 | 0.053 | 1 | Si | 0.001 | 0.001 | 0.050 | 0.048 | 0.050 | Si |
| 79 | 0.058 | 0.064 | 10) | R60x120x3 | 0.045 | 0.001 | 0.001 | 0.005 | 0.001 | 0.020 | 0.053 | 0.022 | 0.053 | 1 | Si | 0.001 | 0.001 | 0.050 | 0.048 | 0.050 | Si |
| 79 | 0.064 | 0.070 | 10) | R60x120x3 | 0.047 | 0.001 | 0.001 | 0.006 | 0.001 | 0.021 | 0.053 | 0.022 | 0.053 | 1 | Si | 0.001 | 0.001 | 0.050 | 0.048 | 0.050 | Si |
| 79 | 0.070 | 0.076 | 10) | R60x120x3 | 0.048 | 0.001 | 0.001 | 0.006 | 0.001 | 0.021 | 0.053 | 0.022 | 0.053 | 1 | Si | 0.001 | 0.001 | 0.050 | 0.048 | 0.050 | Si |
| 79 | 0.076 | 0.082 | 10) | R60x120x3 | 0.050 | 0.001 | 0.001 | 0.006 | 0.001 | 0.021 | 0.053 | 0.022 | 0.053 | 1 | Si | 0.001 | 0.001 | 0.050 | 0.048 | 0.050 | Si |
| 80 | 0.000 | 0.078 | 10) | R60x120x3 | 0.072 | 0.001 | 0.001 | 0.012 | 0.000 | 0.021 | 0.010 | 0.022 | 0.072 | 1 | Si | 0.001 | 0.001 | 0.149 | 0.117 | 0.149 | Si |
| 80 | 0.078 | 0.156 | 10) | R60x120x3 | 0.087 | 0.000 | 0.001 | 0.017 | 0.000 | 0.022 | 0.010 | 0.022 | 0.087 | 1 | Si | 0.001 | 0.001 | 0.149 | 0.117 | 0.149 | Si |
| 80 | 0.156 | 0.234 | 10) | R60x120x3 | 0.109 | 0.000 | 0.001 | 0.025 | 0.000 | 0.023 | 0.010 | 0.024 | 0.109 | 1 | Si | 0.001 | 0.001 | 0.149 | 0.117 | 0.149 | Si |
| 80 | 0.234 | 0.312 | 10) | R60x120x3 | 0.125 | 0.001 | 0.001 | 0.031 | 0.000 | 0.024 | 0.010 | 0.024 | 0.125 | 1 | Si | 0.001 | 0.001 | 0.149 | 0.117 | 0.149 | Si |
| 80 | 0.312 | 0.391 | 10) | R60x120x3 | 0.149 | 0.001 | 0.001 | 0.042 | 0.000 | 0.025 | 0.010 | 0.025 | 0.149 | 1 | Si | 0.001 | 0.001 | 0.149 | 0.117 | 0.149 | Si |
| 81 | 0.079 | 0.151 | 10) | R60x120x3 | 0.270 | 0.001 | 0.002 | 0.114 | 0.001 | 0.044 | 0.132 | 0.051 | 0.270 | 1 | Si | 0.002 | 0.002 | 0.270 | 0.213 | 0.270 | Si |
| 81 | 0.151 | 0.223 | 10) | R60x120x3 | 0.230 | 0.001 | 0.002 | 0.087 | 0.001 | 0.043 | 0.132 | 0.050 | 0.230 | 1 | Si | 0.002 | 0.002 | 0.270 | 0.213 | 0.270 | Si |
| 81 | 0.223 | 0.296 | 10) | R60x120x3 | 0.204 | 0.001 | 0.002 | 0.071 | 0.001 | 0.043 | 0.132 | 0.049 | 0.204 | 1 | Si | 0.002 | 0.002 | 0.270 | 0.213 | 0.270 | Si |
| 81 | 0.296 | 0.368 | 10) | R60x120x3 | 0.176 | 0.000 | 0.002 | 0.056 | 0.001 | 0.042 | 0.132 | 0.048 | 0.176 | 1 | Si | 0.002 | 0.002 | 0.270 | 0.213 | 0.270 | Si |
| 81 | 0.368 | 0.440 | 10) | R60x120x3 | 0.131 | 0.001 | 0.002 | 0.034 | 0.001 | 0.041 | 0.132 | 0.047 | 0.132 | 1 | Si | 0.002 | 0.002 | 0.270 | 0.213 | 0.270 | Si |
| 82 | 0.000 | 0.136 | 10) | R60x120x3 | 0.133 | 0.001 | 0.001 | 0.035 | 0.000 | 0.040 | 0.071 | 0.043 | 0.133 | 1 | Si | 0.001 | 0.001 | 0.133 | 0.077 | 0.133 | Si |
| 82 | 0.136 | 0.272 | 10) | R60x120x3 | 0.066 | 0.001 | 0.001 | 0.011 | 0.000 | 0.038 | 0.071 | 0.041 | 0.071 | 1 | Si | 0.001 | 0.001 | 0.133 | 0.077 | 0.133 | Si |
| 82 | 0.272 | 0.408 | 10) | R60x120x3 | 0.023 | 0.000 | 0.001 | 0.003 | 0.019 | 0.043 | 0.071 | 0.114 | 0.114 | 3 | Si | 0.001 | 0.001 | 0.133 | 0.077 | 0.133 | Si |
| 82 | 0.408 | 0.544 | 10) | R60x120x3 | 0.058 | 0.000 | 0.001 | 0.008 | 0.000 | 0.035 | 0.071 | 0.038 | 0.071 | 1 | Si | 0.001 | 0.001 | 0.133 | 0.077 | 0.133 | Si |
| 82 | 0.544 | 0.680 | 10) | R60x120x3 | 0.115 | 0.000 | 0.001 | 0.027 | 0.000 | 0.034 | 0.071 | 0.036 | 0.115 | 1 | Si | 0.001 | 0.001 | 0.133 | 0.077 | 0.133 | Si |
| 83 | 0.050 | 0.234 | 10) | R60x120x3 | 0.100 | 0.000 | 0.001 | 0.022 | 0.000 | 0.025 | 0.020 | 0.026 | 0.100 | 1 | Si | 0.001 | 0.001 | 0.246 | 0.194 | 0.246 | Si |
| 83 | 0.234 | 0.418 | 10) | R60x120x3 | 0.135 | 0.000 | 0.001 | 0.036 | 0.000 | 0.022 | 0.020 | 0.023 | 0.135 | 1 | Si | 0.001 | 0.001 | 0.246 | 0.194 | 0.246 | Si |
| 83 | 0.418 | 0.602 | 10) | R60x120x3 | 0.182 | 0.000 | 0.001 | 0.059 | 0.000 | 0.020 | 0.020 | 0.021 | 0.182 | 1 | Si | 0.001 | 0.001 | 0.246 | 0.194 | 0.246 | Si |
| 83 | 0.602 | 0.786 | 10) | R60x120x3 | 0.210 | 0.000 | 0.001 | 0.075 | 0.000 | 0.018 | 0.020 | 0.018 | 0.210 | 1 | Si | 0.001 | 0.001 | 0.246 | 0.194 | 0.246 | Si |
| 83 | 0.786 | 0.970 | 10) | R60x120x3 | 0.246 | 0.000 | 0.001 | 0.097 | 0.000 | 0.016 | 0.020 | 0.016 | 0.246 | 1 | Si | 0.001 | 0.001 | 0.246 | 0.194 | 0.246 | Si |
| 84 | 0.050 | 0.232 | 10) | R60x120x3 | 0.246 | 0.000 | 0.001 | 0.097 | 0.000 | 0.016 | 0.020 | 0.016 | 0.246 | 1 | Si | 0.001 | 0.001 | 0.246 | 0.195 | 0.246 | Si |
| 84 | 0.232 | 0.414 | 10) | R60x120x3 | 0.210 | 0.000 | 0.001 | 0.075 | 0.000 | 0.018 | 0.020 | 0.018 | 0.210 | 1 | Si | 0.001 | 0.001 | 0.246 | 0.195 | 0.246 | Si |
| 84 | 0.414 | 0.596 | 10) | R60x120x3 | 0.183 | 0.000 | 0.001 | 0.059 | 0.000 | 0.020 | 0.020 | 0.021 | 0.183 | 1 | Si | 0.001 | 0.001 | 0.246 | 0.195 | 0.246 | Si |
| 84 | 0.596 | 0.778 | 10) | R60x120x3 | 0.137 | 0.000 | 0.001 | 0.036 | 0.000 | 0.022 | 0.020 | 0.023 | 0.137 | 1 | Si | 0.001 | 0.001 | 0.246 | 0.195 | 0.246 | Si |
| 84 | 0.778 | 0.960 | 10) | R60x120x3 | 0.102 | 0.000 | 0.001 | 0.022 | 0.000 | 0.025 | 0.020 | 0.026 | 0.102 | 1 | Si | 0.001 | 0.001 | 0.246 | 0.195 | 0.246 | Si |
| 85 | 0.050 | 0.184 | 10) | R60x120x3 | 0.117 | 0.000 | 0.001 | 0.028 | 0.000 | 0.034 | 0.070 | 0.036 | 0.117 | 1 | Si | 0.001 | 0.001 | 0.126 | 0.074 | 0.126 | Si |
| 85 | 0.184 | 0.318 | 10) | R60x120x3 | 0.061 | 0.000 | 0.001 | 0.009 | 0.000 | 0.035 | 0.070 | 0.038 | 0.070 | 1 | Si | 0.001 | 0.001 | 0.126 | 0.074 | 0.126 | Si |
| 85 | 0.318 | 0.452 | 10) | R60x120x3 | 0.022 | 0.000 | 0.001 | 0.004 | 0.019 | 0.043 | 0.070 | 0.113 | 0.113 | 3 | Si | 0.001 | 0.001 | 0.126 | 0.074 | 0.126 | Si |
| 85 | 0.452 | 0.586 | 10) | R60x120x3 | 0.060 | 0.001 | 0.001 | 0.009 | 0.000 | 0.038 | 0.070 | 0.041 | 0.070 | 1 | Si | 0.001 | 0.001 | 0.126 | 0.074 | 0.126 | Si |
| 85 | 0.586 | 0.720 | 10) | R60x120x3 | 0.126 | 0.001 | 0.001 | 0.032 | 0.000 | 0.040 | 0.070 | 0.043 | 0.126 | 1 | Si | 0.001 | 0.001 | 0.126 | 0.074 | 0.126 | Si |
| 86 | 0.077 | 0.151 | 10) | R60x120x3 | 0.149 | 0.001 | 0.001 | 0.042 | 0.000 | 0.026 | 0.009 | 0.026 | 0.149 | 1 | Si | 0.001 | 0.001 | 0.149 | 0.117 | 0.149 | Si |
| 86 | 0.151 | 0.225 | 10) | R60x120x3 | 0.126 | 0.001 | 0.001 | 0.032 | 0.000 | 0.024 | 0.009 | 0.025 | 0.126 | 1 | Si | 0.001 | 0.001 | 0.149 | 0.117 | 0.149 | Si |
| 86 | 0.225 | 0.299 | 10) | R60x120x3 | 0.110 | 0.000 | 0.001 | 0.026 | 0.000 | 0.024 | 0.009 | 0.024 | 0.110 | 1 | Si | 0.001 | 0.001 | 0.149 | 0.117 | 0.149 | Si |
| 86 | 0.299 | 0.373 | 10) | R60x120x3 | 0.094 | 0.001 | 0.001 | 0.020 | 0.000 | 0.023 | 0.009 | 0.023 | 0.094 | 1 | Si | 0.001 | 0.001 | 0.149 | 0.117 | 0.149 | Si |
| 86 | 0.373 | 0.447 | 10) | R60x120x3 | 0.069 | 0.001 | 0.001 | 0.011 | 0.000 | 0.022 | 0.009 | 0.022 | 0.069 | 1 | Si | 0.001 | 0.001 | 0.149 | 0.117 | 0.149 | Si |
| 87 | 0.000 | 0.006 | 10) | R60x120x3 | 0.055 | 0.001 | 0.001 | 0.008 | 0.002 | 0.021 | 0.045 | 0.022 | 0.055 | 1 | Si | 0.001 | 0.001 | 0.055 | 0.054 | 0.055 | Si |
| 87 | 0.006 | 0.013 | 10) | R60x120x3 | 0.054 | 0.001 | 0.001 | 0.007 | 0.002 | 0.021 | 0.045 | 0.022 | 0.054 | 1 | Si | 0.001 | 0.001 | 0.055 | 0.054 | 0.055 | Si |
| 87 | 0.013 | 0.019 | 10) | R60x120x3 | 0.052 | 0.001 | 0.001 | 0.007 | 0.002 | 0.021 | 0.045 | 0.022 | 0.052 | 1 | Si | 0.001 | 0.001 | 0.055 | 0.054 | 0.055 | Si |
| 87 | 0.019 | 0.026 | 10) | R60x120x3 | 0.051 | 0.001 | 0.001 | 0.007 | 0.002 | 0.021 | 0.045 | 0.022 | 0.051 | 1 | Si | 0.001 | 0.001 | 0.055 | 0.054 | 0.055 | Si |
| 87 | 0.026 | 0.032 | 10) | R60x120x3 | 0.050 | 0.001 | 0.001 | 0.006 | 0.002 | 0.021 | 0.045 | 0.022 | 0.050 | 1 | Si | 0.001 | 0.001 | 0.055 | 0.054 | 0.055 | Si |
| 88 | 0.053 | 0.200 | 10) | R60x120x3 | 0.050 | 0.004 | 0.002 | 0.007 | 0.001 | 0.013 | 0.001 | 0.013 | 0.050 | 1 | Si | 0.002 | 0.002 | 0.050 | 0.042 | 0.050 | Si |
| 88 | 0.200 | 0.348 | 10) | R60x120x3 | 0.027 | 0.002 | 0.002 | 0.002 | 0.001 | 0.011 | 0.001 | 0.011 | 0.027 | 1 | Si | 0.002 | 0.002 | 0.050 | 0.042 | 0.050 | Si |
| 88 | 0.348 | 0.495 | 10) | R60x120x3 | 0.013 | 0.001 | 0.002 | 0.011 | 0.006 | 0.011 | 0.001 | 0.012 | 0.013 | 3 | Si | 0.002 | 0.002 | 0.0 | | | |

| | | | | | | | | | | | | | | | | | | | | | |
|----|-------|-------|-----|-----------|-------|-------|-------|-------|-------|-------|-------|-------|-------|---|----|-------|-------|-------|-------|-------|----|
| 98 | 0.078 | 0.156 | 10) | R60x120x3 | 0.176 | 0.000 | 0.002 | 0.056 | 0.001 | 0.042 | 0.123 | 0.048 | 0.176 | 1 | Si | 0.002 | 0.002 | 0.278 | 0.217 | 0.278 | Si |
| 98 | 0.156 | 0.234 | 10) | R60x120x3 | 0.210 | 0.001 | 0.002 | 0.074 | 0.001 | 0.043 | 0.123 | 0.049 | 0.210 | 1 | Si | 0.002 | 0.002 | 0.278 | 0.217 | 0.278 | Si |
| 98 | 0.234 | 0.312 | 10) | R60x120x3 | 0.243 | 0.001 | 0.002 | 0.096 | 0.001 | 0.044 | 0.123 | 0.050 | 0.243 | 1 | Si | 0.002 | 0.002 | 0.278 | 0.217 | 0.278 | Si |
| 98 | 0.312 | 0.391 | 10) | R60x120x3 | 0.278 | 0.001 | 0.002 | 0.119 | 0.001 | 0.044 | 0.123 | 0.051 | 0.278 | 1 | Si | 0.002 | 0.002 | 0.278 | 0.217 | 0.278 | Si |

Coefficienti di verifica calcolati come indicato al §4.2.4.1.2 NTC18

Travi Piano:1 Verifiche SLU Acciaio

| Trave N | x ini [m] | x fin [m] | Zona | | Verifiche resistenza | | | | | | | Verifiche instabilità | | | Classe cl. ver | cC-Z inst. | cC-Y inst. | cMy inst. | cMz inst. | N-My-Mz Inst. | Tot Inst. | Tot Ver. |
|------------|--------------|--------------|----------|-----------|----------------------|-------|-------|---------|-------|-------|-------|-----------------------|-------|---|-------------------|---------------|---------------|--------------|--------------|------------------|--------------|-------------|
| | | | Sez.Beam | Fori | cMy | cMz | cN | My-Mz-N | cVy | cVz | cMt | Vy-Vz-Mt | Tot | | | | | | | | | |
| 1 | 0.000 | 0.074 | 10) | R60x120x3 | 0.006 | 0.009 | 0.019 | 0.034 | 0.020 | 0.020 | 0.005 | 0.026 | 0.034 | 3 | Si | 0.019 | 0.019 | 0.038 | 0.075 | 0.075 | Si | |
| 1 | 0.074 | 0.148 | 10) | R60x120x3 | 0.014 | 0.018 | 0.019 | 0.051 | 0.020 | 0.020 | 0.005 | 0.026 | 0.051 | 3 | Si | 0.019 | 0.019 | 0.038 | 0.075 | 0.075 | Si | |
| 1 | 0.148 | 0.222 | 10) | R60x120x3 | 0.026 | 0.032 | 0.019 | 0.076 | 0.021 | 0.020 | 0.005 | 0.026 | 0.076 | 3 | Si | 0.019 | 0.019 | 0.038 | 0.075 | 0.075 | Si | |
| 1 | 0.222 | 0.296 | 10) | R60x120x3 | 0.036 | 0.044 | 0.019 | 0.098 | 0.021 | 0.020 | 0.005 | 0.026 | 0.098 | 3 | Si | 0.019 | 0.019 | 0.038 | 0.075 | 0.075 | Si | |
| 1 | 0.296 | 0.370 | 10) | R60x120x3 | 0.047 | 0.056 | 0.019 | 0.120 | 0.021 | 0.020 | 0.005 | 0.026 | 0.120 | 3 | Si | 0.019 | 0.019 | 0.038 | 0.075 | 0.075 | Si | |
| 2 | 0.089 | 0.275 | 10) | R60x120x3 | 0.550 | 0.009 | 0.018 | 0.371 | 0.030 | 0.080 | 0.028 | 0.080 | 0.550 | 3 | Si | 0.019 | 0.020 | 0.550 | 0.310 | 0.550 | Si | |
| 2 | 0.275 | 0.462 | 10) | R60x120x3 | 0.364 | 0.006 | 0.018 | 0.187 | 0.030 | 0.079 | 0.028 | 0.084 | 0.364 | 3 | Si | 0.019 | 0.020 | 0.550 | 0.310 | 0.550 | Si | |
| 2 | 0.462 | 0.648 | 10) | R60x120x3 | 0.254 | 0.005 | 0.018 | 0.103 | 0.027 | 0.079 | 0.028 | 0.084 | 0.254 | 3 | Si | 0.019 | 0.020 | 0.550 | 0.310 | 0.550 | Si | |
| 2 | 0.648 | 0.834 | 10) | R60x120x3 | 0.156 | 0.004 | 0.018 | 0.103 | 0.042 | 0.093 | 0.028 | 0.098 | 0.156 | 3 | Si | 0.019 | 0.020 | 0.550 | 0.310 | 0.550 | Si | |
| 2 | 0.834 | 1.020 | 10) | R60x120x3 | 0.215 | 0.003 | 0.018 | 0.078 | 0.011 | 0.078 | 0.028 | 0.078 | 0.215 | 3 | Si | 0.019 | 0.020 | 0.550 | 0.310 | 0.550 | Si | |
| 3 | 0.000 | 0.202 | 10) | R60x120x3 | 0.197 | 0.009 | 0.042 | 0.247 | 0.009 | 0.017 | 0.008 | 0.026 | 0.247 | 3 | Si | 0.043 | 0.045 | 0.282 | 0.288 | 0.288 | Si | |
| 3 | 0.202 | 0.404 | 10) | R60x120x3 | 0.209 | 0.005 | 0.042 | 0.113 | 0.002 | 0.014 | 0.008 | 0.014 | 0.209 | 3 | Si | 0.043 | 0.045 | 0.282 | 0.288 | 0.288 | Si | |
| 3 | 0.404 | 0.606 | 10) | R60x120x3 | 0.235 | 0.003 | 0.042 | 0.106 | 0.001 | 0.014 | 0.008 | 0.014 | 0.235 | 3 | Si | 0.043 | 0.045 | 0.282 | 0.288 | 0.288 | Si | |
| 3 | 0.606 | 0.808 | 10) | R60x120x3 | 0.254 | 0.001 | 0.042 | 0.102 | 0.001 | 0.013 | 0.008 | 0.013 | 0.254 | 1 | Si | 0.043 | 0.045 | 0.282 | 0.288 | 0.288 | Si | |
| 3 | 0.808 | 1.010 | 10) | R60x120x3 | 0.282 | 0.003 | 0.042 | 0.122 | 0.001 | 0.012 | 0.008 | 0.013 | 0.282 | 1 | Si | 0.043 | 0.045 | 0.282 | 0.288 | 0.288 | Si | |
| 4 | 0.000 | 0.204 | 10) | R60x120x3 | 0.282 | 0.003 | 0.042 | 0.122 | 0.001 | 0.013 | 0.008 | 0.013 | 0.282 | 1 | Si | 0.042 | 0.044 | 0.282 | 0.287 | 0.287 | Si | |
| 4 | 0.204 | 0.408 | 10) | R60x120x3 | 0.253 | 0.001 | 0.042 | 0.101 | 0.001 | 0.013 | 0.008 | 0.013 | 0.253 | 1 | Si | 0.042 | 0.044 | 0.282 | 0.287 | 0.287 | Si | |
| 4 | 0.408 | 0.612 | 10) | R60x120x3 | 0.233 | 0.003 | 0.042 | 0.104 | 0.007 | 0.014 | 0.008 | 0.022 | 0.233 | 3 | Si | 0.042 | 0.044 | 0.282 | 0.287 | 0.287 | Si | |
| 4 | 0.612 | 0.816 | 10) | R60x120x3 | 0.207 | 0.005 | 0.042 | 0.111 | 0.007 | 0.015 | 0.008 | 0.022 | 0.207 | 3 | Si | 0.042 | 0.044 | 0.282 | 0.287 | 0.287 | Si | |
| 4 | 0.816 | 1.020 | 10) | R60x120x3 | 0.196 | 0.009 | 0.042 | 0.246 | 0.009 | 0.018 | 0.008 | 0.026 | 0.246 | 3 | Si | 0.042 | 0.044 | 0.282 | 0.287 | 0.287 | Si | |
| 5 | 0.000 | 0.184 | 10) | R60x120x3 | 0.211 | 0.003 | 0.019 | 0.094 | 0.042 | 0.094 | 0.029 | 0.099 | 0.211 | 3 | Si | 0.019 | 0.020 | 0.553 | 0.312 | 0.553 | Si | |
| 5 | 0.184 | 0.368 | 10) | R60x120x3 | 0.123 | 0.004 | 0.019 | 0.097 | 0.042 | 0.094 | 0.029 | 0.099 | 0.123 | 3 | Si | 0.019 | 0.020 | 0.553 | 0.312 | 0.553 | Si | |
| 5 | 0.368 | 0.552 | 10) | R60x120x3 | 0.257 | 0.005 | 0.019 | 0.105 | 0.036 | 0.080 | 0.029 | 0.083 | 0.257 | 3 | Si | 0.019 | 0.020 | 0.553 | 0.312 | 0.553 | Si | |
| 5 | 0.552 | 0.737 | 10) | R60x120x3 | 0.368 | 0.006 | 0.019 | 0.190 | 0.012 | 0.080 | 0.029 | 0.081 | 0.368 | 3 | Si | 0.019 | 0.020 | 0.553 | 0.312 | 0.553 | Si | |
| 5 | 0.737 | 0.921 | 10) | R60x120x3 | 0.553 | 0.009 | 0.019 | 0.375 | 0.009 | 0.081 | 0.029 | 0.081 | 0.553 | 3 | Si | 0.019 | 0.020 | 0.553 | 0.312 | 0.553 | Si | |
| 6 | 0.089 | 0.141 | 10) | R60x120x3 | 0.112 | 0.065 | 0.012 | 0.168 | 0.059 | 0.053 | 0.073 | 0.126 | 0.168 | 3 | Si | 0.001 | 0.001 | 0.112 | 0.142 | 0.142 | Si | |
| 6 | 0.141 | 0.194 | 10) | R60x120x3 | 0.097 | 0.032 | 0.012 | 0.137 | 0.059 | 0.053 | 0.073 | 0.126 | 0.137 | 3 | Si | 0.001 | 0.001 | 0.112 | 0.142 | 0.142 | Si | |
| 6 | 0.194 | 0.246 | 10) | R60x120x3 | 0.087 | 0.014 | 0.012 | 0.047 | 0.054 | 0.052 | 0.073 | 0.126 | 0.126 | 3 | Si | 0.001 | 0.001 | 0.112 | 0.142 | 0.142 | Si | |
| 6 | 0.246 | 0.298 | 10) | R60x120x3 | 0.096 | 0.032 | 0.012 | 0.138 | 0.059 | 0.053 | 0.073 | 0.126 | 0.138 | 3 | Si | 0.001 | 0.001 | 0.112 | 0.142 | 0.142 | Si | |
| 6 | 0.298 | 0.350 | 10) | R60x120x3 | 0.097 | 0.065 | 0.012 | 0.170 | 0.059 | 0.053 | 0.073 | 0.126 | 0.170 | 3 | Si | 0.001 | 0.001 | 0.112 | 0.142 | 0.142 | Si | |
| 7 | 0.000 | 0.076 | 10) | R60x120x3 | 0.011 | 0.016 | 0.015 | 0.032 | 0.031 | 0.029 | 0.000 | 0.031 | 0.032 | 3 | Si | 0.015 | 0.015 | 0.059 | 0.085 | 0.085 | Si | |
| 7 | 0.076 | 0.152 | 10) | R60x120x3 | 0.023 | 0.032 | 0.015 | 0.052 | 0.031 | 0.029 | 0.000 | 0.031 | 0.052 | 3 | Si | 0.015 | 0.015 | 0.059 | 0.085 | 0.085 | Si | |
| 7 | 0.152 | 0.228 | 10) | R60x120x3 | 0.043 | 0.059 | 0.015 | 0.087 | 0.031 | 0.029 | 0.000 | 0.031 | 0.087 | 3 | Si | 0.015 | 0.015 | 0.059 | 0.085 | 0.085 | Si | |
| 7 | 0.228 | 0.304 | 10) | R60x120x3 | 0.051 | 0.069 | 0.015 | 0.100 | 0.031 | 0.029 | 0.000 | 0.031 | 0.100 | 3 | Si | 0.015 | 0.015 | 0.059 | 0.085 | 0.085 | Si | |
| 7 | 0.304 | 0.380 | 10) | R60x120x3 | 0.073 | 0.099 | 0.015 | 0.141 | 0.031 | 0.029 | 0.000 | 0.031 | 0.141 | 3 | Si | 0.015 | 0.015 | 0.059 | 0.085 | 0.085 | Si | |
| 8 | 0.000 | 0.204 | 10) | R60x120x3 | 0.129 | 0.016 | 0.011 | 0.113 | 0.009 | 0.020 | 0.023 | 0.034 | 0.129 | 3 | Si | 0.011 | 0.012 | 0.129 | 0.105 | 0.129 | Si | |
| 8 | 0.204 | 0.408 | 10) | R60x120x3 | 0.100 | 0.010 | 0.011 | 0.079 | 0.011 | 0.023 | 0.023 | 0.034 | 0.100 | 3 | Si | 0.011 | 0.012 | 0.129 | 0.105 | 0.129 | Si | |
| 8 | 0.408 | 0.612 | 10) | R60x120x3 | 0.087 | 0.007 | 0.011 | 0.057 | 0.010 | 0.023 | 0.023 | 0.033 | 0.087 | 3 | Si | 0.011 | 0.012 | 0.129 | 0.105 | 0.129 | Si | |
| 8 | 0.612 | 0.816 | 10) | R60x120x3 | 0.099 | 0.001 | 0.011 | 0.037 | 0.010 | 0.021 | 0.023 | 0.033 | 0.099 | 3 | Si | 0.011 | 0.012 | 0.129 | 0.105 | 0.129 | Si | |
| 8 | 0.816 | 1.020 | 10) | R60x120x3 | 0.126 | 0.005 | 0.011 | 0.042 | 0.009 | 0.020 | 0.023 | 0.033 | 0.126 | 3 | Si | 0.011 | 0.012 | 0.129 | 0.105 | 0.129 | Si | |
| 9 | 0.000 | 0.106 | 10) | R60x120x3 | 0.061 | 0.050 | 0.020 | 0.115 | 0.014 | 0.017 | 0.002 | 0.019 | 0.115 | 3 | Si | 0.020 | 0.020 | 0.049 | 0.079 | 0.079 | Si | |
| 9 | 0.106 | 0.212 | 10) | R60x120x3 | 0.040 | 0.038 | 0.020 | 0.086 | 0.013 | 0.014 | 0.002 | 0.016 | 0.086 | 3 | Si | 0.020 | 0.020 | 0.049 | 0.079 | 0.079 | Si | |
| 9 | 0.212 | 0.318 | 10) | R60x120x3 | 0.027 | 0.029 | 0.020 | 0.068 | 0.012 | 0.013 | 0.002 | 0.015 | 0.068 | 3 | Si | 0.020 | 0.020 | 0.049 | 0.079 | 0.079 | Si | |
| 9 | 0.318 | 0.424 | 10) | R60x120x3 | 0.013 | 0.018 | 0.020 | 0.046 | 0.011 | 0.011 | 0.002 | 0.014 | 0.046 | 3 | Si | 0.020 | 0.020 | 0.049 | 0.079 | 0.079 | Si | |
| 9 | 0.424 | 0.530 | 10) | R60x120x3 | 0.005 | 0.009 | 0.020 | 0.031 | 0.011 | 0.010 | 0.002 | 0.013 | 0.031 | 3 | Si | 0.020 | 0.020 | 0.049 | 0.079 | 0.079 | Si | |
| 10 | 0.000 | 0.204 | 10) | R60x120x3 | 0.256 | 0.001 | 0.009 | 0.104 | 0.000 | 0.017 | 0.008 | 0.017 | 0.256 | 1 | Si | 0.009 | 0.010 | 0.256 | 0.217 | 0.256 | Si | |
| 10 | 0.204 | 0.408 | 10) | R60x120x3 | 0.224 | 0.000 | 0.009 | 0.083 | 0.000 | 0.017 | 0.008 | 0.017 | 0.224 | 1 | Si | 0.009 | 0.010 | 0.256 | 0.217 | 0.256 | Si | |
| 10 | 0.408 | 0.612 | 10) | R60x120x3 | 0.202 | 0.001 | 0.009 | 0.070 | 0.000 | 0.018 | 0.008 | 0.018 | 0.202 | 1 | Si | 0.009 | 0.010 | 0.256 | 0.217 | 0.256 | Si | |
| 10 | 0.612 | 0.816 | 10) | R60x120x3 | 0.167 | 0.001 | 0.009 | 0.051 | 0.008 | 0.019 | 0.008 | 0.020 | 0.167 | 3 | Si | 0.009 | 0.010 | 0.256 | 0.217 | 0.256 | Si | |
| 10 | 0.816 | 1.020 | 10) | R60x120x3 | 0.144 | 0.002 | 0.009 | 0.040 | 0.008 | 0.019 | 0.008 | 0.021 | 0.144 | 3 | Si | 0.009 | 0.010 | 0.256 | 0.217 | 0.256 | Si | |
| 11 | 0.000 | 0.202 | 10) | R60x120x3 | 0.125 | 0.005 | 0.011 | 0.045 | 0.009 | 0.020 | 0.023 | 0.032 | 0.125 | 3 | Si | 0.012 | 0.012 | 0.130 | 0.106 | 0.130 | Si | |
| | | | | | | | | | | | | | | | | | | | | | | |

| | | | | | | | | | | | | | | | | | | | | | |
|----|-------|-------|-----|-----------|-------|-------|-------|-------|-------|-------|-------|-------|-------|---|----|-------|-------|-------|-------|-------|----|
| 20 | 0.089 | 0.303 | 10) | R60x120x3 | 0.346 | 0.015 | 0.027 | 0.173 | 0.004 | 0.053 | 0.044 | 0.055 | 0.346 | 1 | Si | 0.000 | 0.000 | 0.346 | 0.259 | 0.346 | Si |
| 20 | 0.303 | 0.518 | 10) | R60x120x3 | 0.229 | 0.007 | 0.027 | 0.086 | 0.004 | 0.046 | 0.044 | 0.048 | 0.229 | 1 | Si | 0.000 | 0.000 | 0.346 | 0.259 | 0.346 | Si |
| 20 | 0.518 | 0.732 | 10) | R60x120x3 | 0.155 | 0.005 | 0.027 | 0.045 | 0.004 | 0.041 | 0.044 | 0.043 | 0.155 | 1 | Si | 0.000 | 0.000 | 0.346 | 0.259 | 0.346 | Si |
| 20 | 0.732 | 0.946 | 10) | R60x120x3 | 0.086 | 0.012 | 0.027 | 0.017 | 0.004 | 0.036 | 0.044 | 0.036 | 0.086 | 1 | Si | 0.000 | 0.000 | 0.346 | 0.259 | 0.346 | Si |
| 20 | 0.946 | 1.160 | 10) | R60x120x3 | 0.103 | 0.021 | 0.027 | 0.024 | 0.004 | 0.033 | 0.044 | 0.034 | 0.103 | 1 | Si | 0.000 | 0.000 | 0.346 | 0.259 | 0.346 | Si |
| 21 | 0.000 | 0.216 | 10) | R60x120x3 | 0.101 | 0.018 | 0.026 | 0.029 | 0.018 | 0.038 | 0.044 | 0.052 | 0.101 | 3 | Si | 0.000 | 0.000 | 0.334 | 0.250 | 0.346 | Si |
| 21 | 0.216 | 0.432 | 10) | R60x120x3 | 0.087 | 0.010 | 0.026 | 0.017 | 0.003 | 0.034 | 0.044 | 0.035 | 0.087 | 1 | Si | 0.000 | 0.000 | 0.334 | 0.250 | 0.334 | Si |
| 21 | 0.432 | 0.648 | 10) | R60x120x3 | 0.148 | 0.005 | 0.026 | 0.042 | 0.003 | 0.038 | 0.044 | 0.039 | 0.148 | 1 | Si | 0.000 | 0.000 | 0.334 | 0.250 | 0.334 | Si |
| 21 | 0.648 | 0.865 | 10) | R60x120x3 | 0.219 | 0.005 | 0.026 | 0.080 | 0.003 | 0.043 | 0.044 | 0.045 | 0.219 | 1 | Si | 0.000 | 0.000 | 0.334 | 0.250 | 0.334 | Si |
| 21 | 0.865 | 1.081 | 10) | R60x120x3 | 0.334 | 0.012 | 0.026 | 0.162 | 0.003 | 0.050 | 0.044 | 0.052 | 0.334 | 1 | Si | 0.000 | 0.000 | 0.334 | 0.250 | 0.334 | Si |
| 22 | 0.089 | 0.155 | 10) | R60x120x3 | 0.356 | 0.053 | 0.031 | 0.201 | 0.068 | 0.106 | 0.071 | 0.112 | 0.356 | 3 | Si | 0.000 | 0.000 | 0.356 | 0.228 | 0.356 | Si |
| 22 | 0.155 | 0.222 | 10) | R60x120x3 | 0.269 | 0.033 | 0.031 | 0.125 | 0.067 | 0.104 | 0.071 | 0.110 | 0.269 | 3 | Si | 0.000 | 0.000 | 0.356 | 0.228 | 0.356 | Si |
| 22 | 0.222 | 0.288 | 10) | R60x120x3 | 0.212 | 0.028 | 0.031 | 0.107 | 0.067 | 0.103 | 0.071 | 0.109 | 0.212 | 3 | Si | 0.000 | 0.000 | 0.356 | 0.228 | 0.356 | Si |
| 22 | 0.288 | 0.354 | 10) | R60x120x3 | 0.128 | 0.033 | 0.031 | 0.133 | 0.066 | 0.101 | 0.071 | 0.107 | 0.133 | 3 | Si | 0.000 | 0.000 | 0.356 | 0.228 | 0.356 | Si |
| 22 | 0.354 | 0.420 | 10) | R60x120x3 | 0.088 | 0.059 | 0.031 | 0.150 | 0.078 | 0.111 | 0.071 | 0.178 | 0.178 | 3 | Si | 0.000 | 0.000 | 0.356 | 0.228 | 0.356 | Si |
| 23 | 0.000 | 0.166 | 10) | R60x120x3 | 0.006 | 0.003 | 0.028 | 0.000 | 0.003 | 0.005 | 0.001 | 0.005 | 0.028 | 1 | Si | 0.000 | 0.000 | 0.052 | 0.045 | 0.052 | Si |
| 23 | 0.166 | 0.332 | 10) | R60x120x3 | 0.017 | 0.008 | 0.028 | 0.028 | 0.003 | 0.008 | 0.001 | 0.008 | 0.028 | 3 | Si | 0.000 | 0.000 | 0.098 | 0.059 | 0.098 | Si |
| 23 | 0.332 | 0.498 | 10) | R60x120x3 | 0.036 | 0.013 | 0.028 | 0.045 | 0.004 | 0.013 | 0.001 | 0.013 | 0.045 | 3 | Si | 0.000 | 0.000 | 0.098 | 0.059 | 0.098 | Si |
| 23 | 0.498 | 0.664 | 10) | R60x120x3 | 0.058 | 0.018 | 0.028 | 0.063 | 0.005 | 0.017 | 0.001 | 0.017 | 0.063 | 3 | Si | 0.000 | 0.000 | 0.098 | 0.059 | 0.098 | Si |
| 23 | 0.664 | 0.830 | 10) | R60x120x3 | 0.098 | 0.023 | 0.028 | 0.094 | 0.007 | 0.023 | 0.001 | 0.023 | 0.098 | 3 | Si | 0.000 | 0.000 | 0.098 | 0.059 | 0.098 | Si |
| 24 | 0.000 | 0.232 | 10) | R60x120x3 | 0.187 | 0.005 | 0.004 | 0.062 | 0.013 | 0.037 | 0.020 | 0.044 | 0.187 | 3 | Si | 0.005 | 0.007 | 0.187 | 0.146 | 0.187 | Si |
| 24 | 0.232 | 0.464 | 10) | R60x120x3 | 0.093 | 0.004 | 0.004 | 0.019 | 0.010 | 0.028 | 0.020 | 0.040 | 0.093 | 3 | Si | 0.005 | 0.007 | 0.187 | 0.146 | 0.187 | Si |
| 24 | 0.464 | 0.696 | 10) | R60x120x3 | 0.052 | 0.002 | 0.004 | 0.031 | 0.009 | 0.022 | 0.020 | 0.039 | 0.052 | 3 | Si | 0.005 | 0.007 | 0.187 | 0.146 | 0.187 | Si |
| 24 | 0.696 | 0.928 | 10) | R60x120x3 | 0.030 | 0.001 | 0.004 | 0.025 | 0.007 | 0.016 | 0.020 | 0.036 | 0.036 | 3 | Si | 0.005 | 0.007 | 0.187 | 0.146 | 0.187 | Si |
| 24 | 0.928 | 1.160 | 10) | R60x120x3 | 0.045 | 0.002 | 0.004 | 0.013 | 0.003 | 0.009 | 0.020 | 0.009 | 0.045 | 3 | Si | 0.005 | 0.007 | 0.187 | 0.146 | 0.187 | Si |
| 25 | 0.000 | 0.234 | 10) | R60x120x3 | 0.045 | 0.001 | 0.004 | 0.015 | 0.004 | 0.009 | 0.015 | 0.024 | 0.045 | 3 | Si | 0.004 | 0.007 | 0.174 | 0.136 | 0.174 | Si |
| 25 | 0.234 | 0.468 | 10) | R60x120x3 | 0.033 | 0.001 | 0.004 | 0.028 | 0.006 | 0.013 | 0.015 | 0.027 | 0.033 | 3 | Si | 0.004 | 0.007 | 0.174 | 0.136 | 0.174 | Si |
| 25 | 0.468 | 0.702 | 10) | R60x120x3 | 0.046 | 0.003 | 0.004 | 0.023 | 0.009 | 0.021 | 0.015 | 0.035 | 0.046 | 3 | Si | 0.004 | 0.007 | 0.174 | 0.136 | 0.174 | Si |
| 25 | 0.702 | 0.936 | 10) | R60x120x3 | 0.083 | 0.003 | 0.004 | 0.022 | 0.007 | 0.027 | 0.015 | 0.027 | 0.083 | 3 | Si | 0.004 | 0.007 | 0.174 | 0.136 | 0.174 | Si |
| 25 | 0.936 | 1.170 | 10) | R60x120x3 | 0.174 | 0.005 | 0.004 | 0.055 | 0.006 | 0.035 | 0.015 | 0.036 | 0.174 | 3 | Si | 0.004 | 0.007 | 0.174 | 0.136 | 0.174 | Si |
| 26 | 0.000 | 0.156 | 10) | R60x120x3 | 0.174 | 0.018 | 0.018 | 0.068 | 0.017 | 0.024 | 0.065 | 0.064 | 0.174 | 3 | Si | 0.000 | 0.000 | 0.174 | 0.139 | 0.174 | Si |
| 26 | 0.156 | 0.312 | 10) | R60x120x3 | 0.132 | 0.006 | 0.018 | 0.034 | 0.007 | 0.018 | 0.065 | 0.019 | 0.132 | 1 | Si | 0.000 | 0.000 | 0.174 | 0.139 | 0.174 | Si |
| 26 | 0.312 | 0.468 | 10) | R60x120x3 | 0.113 | 0.009 | 0.018 | 0.027 | 0.007 | 0.015 | 0.065 | 0.016 | 0.113 | 1 | Si | 0.000 | 0.000 | 0.174 | 0.139 | 0.174 | Si |
| 26 | 0.468 | 0.624 | 10) | R60x120x3 | 0.096 | 0.021 | 0.018 | 0.102 | 0.007 | 0.013 | 0.065 | 0.030 | 0.102 | 3 | Si | 0.000 | 0.000 | 0.174 | 0.139 | 0.174 | Si |
| 26 | 0.624 | 0.780 | 10) | R60x120x3 | 0.091 | 0.033 | 0.018 | 0.131 | 0.011 | 0.012 | 0.065 | 0.051 | 0.131 | 3 | Si | 0.000 | 0.000 | 0.174 | 0.139 | 0.174 | Si |
| 27 | 0.000 | 0.200 | 10) | R60x120x3 | 0.003 | 0.000 | 0.047 | 0.000 | 0.000 | 0.004 | 0.000 | 0.004 | 0.047 | 1 | Si | | | | | | Si |
| 27 | 0.200 | 0.400 | 10) | R60x120x3 | 0.014 | 0.001 | 0.047 | 0.001 | 0.000 | 0.008 | 0.000 | 0.008 | 0.047 | 1 | Si | | | | | | Si |
| 27 | 0.400 | 0.600 | 10) | R60x120x3 | 0.046 | 0.001 | 0.047 | 0.006 | 0.000 | 0.016 | 0.000 | 0.016 | 0.047 | 1 | Si | 0.000 | 0.000 | 0.140 | 0.057 | 0.140 | Si |
| 27 | 0.600 | 0.800 | 10) | R60x120x3 | 0.077 | 0.001 | 0.047 | 0.014 | 0.000 | 0.021 | 0.000 | 0.021 | 0.077 | 1 | Si | 0.000 | 0.000 | 0.140 | 0.057 | 0.140 | Si |
| 27 | 0.800 | 1.000 | 10) | R60x120x3 | 0.140 | 0.002 | 0.047 | 0.038 | 0.000 | 0.029 | 0.000 | 0.029 | 0.140 | 1 | Si | 0.000 | 0.000 | 0.140 | 0.057 | 0.140 | Si |
| 28 | 0.000 | 0.232 | 10) | R60x120x3 | 0.074 | 0.002 | 0.009 | 0.031 | 0.005 | 0.020 | 0.000 | 0.020 | 0.074 | 3 | Si | 0.009 | 0.014 | 0.074 | 0.065 | 0.074 | Si |
| 28 | 0.232 | 0.464 | 10) | R60x120x3 | 0.027 | 0.001 | 0.009 | 0.036 | 0.006 | 0.013 | 0.000 | 0.014 | 0.036 | 3 | Si | 0.009 | 0.014 | 0.074 | 0.065 | 0.074 | Si |
| 28 | 0.464 | 0.696 | 10) | R60x120x3 | 0.016 | 0.001 | 0.009 | 0.021 | 0.003 | 0.007 | 0.000 | 0.007 | 0.021 | 3 | Si | 0.009 | 0.014 | 0.074 | 0.065 | 0.074 | Si |
| 28 | 0.696 | 0.928 | 10) | R60x120x3 | 0.014 | 0.000 | 0.009 | 0.019 | 0.003 | 0.007 | 0.000 | 0.007 | 0.019 | 3 | Si | 0.009 | 0.014 | 0.074 | 0.065 | 0.074 | Si |
| 28 | 0.928 | 1.160 | 10) | R60x120x3 | 0.034 | 0.001 | 0.009 | 0.036 | 0.006 | 0.014 | 0.000 | 0.014 | 0.036 | 3 | Si | 0.009 | 0.014 | 0.074 | 0.065 | 0.074 | Si |
| 29 | 0.000 | 0.234 | 10) | R60x120x3 | 0.032 | 0.001 | 0.008 | 0.032 | 0.006 | 0.014 | 0.001 | 0.014 | 0.032 | 3 | Si | 0.009 | 0.013 | 0.072 | 0.062 | 0.072 | Si |
| 29 | 0.234 | 0.468 | 10) | R60x120x3 | 0.010 | 0.000 | 0.008 | 0.015 | 0.003 | 0.007 | 0.001 | 0.007 | 0.015 | 3 | Si | 0.009 | 0.013 | 0.072 | 0.062 | 0.072 | Si |
| 29 | 0.468 | 0.702 | 10) | R60x120x3 | 0.015 | 0.001 | 0.008 | 0.020 | 0.003 | 0.007 | 0.001 | 0.007 | 0.020 | 3 | Si | 0.009 | 0.013 | 0.072 | 0.062 | 0.072 | Si |
| 29 | 0.702 | 0.936 | 10) | R60x120x3 | 0.029 | 0.001 | 0.008 | 0.037 | 0.006 | 0.014 | 0.001 | 0.014 | 0.037 | 3 | Si | 0.009 | 0.013 | 0.072 | 0.062 | 0.072 | Si |
| 29 | 0.936 | 1.170 | 10) | R60x120x3 | 0.072 | 0.002 | 0.008 | 0.036 | 0.006 | 0.021 | 0.001 | 0.021 | 0.072 | 3 | Si | 0.009 | 0.013 | 0.072 | 0.062 | 0.072 | Si |
| 30 | 0.000 | 0.156 | 10) | R60x120x3 | 0.065 | 0.005 | 0.035 | 0.010 | 0.002 | 0.005 | 0.013 | 0.005 | 0.065 | 1 | Si | 0.000 | 0.000 | 0.162 | 0.088 | 0.162 | Si |
| 30 | 0.156 | 0.312 | 10) | R60x120x3 | 0.074 | 0.001 | 0.035 | 0.013 | 0.002 | 0.009 | 0.013 | 0.009 | 0.074 | 1 | Si | 0.000 | 0.000 | 0.162 | 0.088 | 0.162 | Si |
| 30 | 0.312 | 0.468 | 10) | R60x120x3 | 0.098 | 0.003 | 0.035 | 0.021 | 0.002 | 0.015 | 0.013 | 0.015 | 0.098 | 1 | Si | 0.000 | 0.000 | 0.162 | 0.088 | 0.162 | Si |
| 30 | 0.468 | 0.624 | 10) | R60x120x3 | 0.120 | 0.006 | 0.035 | 0.029 | 0.002 | 0.019 | 0.013 | 0.019 | 0.120 | 1 | Si | 0.000 | 0.000 | 0.162 | 0.088 | 0.162 | Si |
| 30 | 0.624 | 0.780 | 10) | R60x120x3 | 0.162 | 0.010 | 0.035 | 0.048 | 0.002 | 0.025 | 0.013 | 0.025 | 0.162 | 1 | Si | 0.000 | 0.000 | 0.162 | 0.088 | 0.162 | Si |
| 31 | 0.000 | 0.166 | 10) | R60x120x3 | 0.006 | 0.003 | 0.029 | 0.000 | 0.003 | 0.005 | 0.001 | 0.005 | 0.029 | 1 | Si | | | | | | Si |
| 31 | 0.166 | 0.332 | 10) | R60x120x3 | 0.017 | 0.008 | 0.029 | 0.026 | 0.003 | 0.008 | 0.001 | 0.009 | 0.029 | 3 | Si | 0.000 | 0.000 | 0.099 | 0.059 | 0.099 | Si |
| 31 | 0.332 | 0.498 | 10) | R60x120x3 | 0.036 | 0.013 | 0.029 | 0.041 | 0.004 | 0.013 | 0.001 | 0.013 | 0.041 | 3 | Si | 0.000 | 0.000 | 0.099 | 0.059 | 0.099 | Si |
| 31 | 0.498 | 0.664 | 10) | R60x120x3 | 0.058 | 0.017 | 0.029 | 0.058 | 0.005 | 0.017 | 0.001 | 0.017 | 0.058 | 3 | Si | 0.000 | 0.000 | 0.099 | 0.059 | 0.099 | Si |
| 31 | 0.664 | 0.830 | 10) | R60x120x3 | 0.099 | | | | | | | | | | | | | | | | |

| | | | | | | | | | | | | | | | | | | | | | |
|----|-------|-------|-----|-----------|-------|-------|-------|-------|-------|-------|-------|-------|-------|---|----|-------|-------|-------|-------|-------|----|
| 57 | 0.228 | 0.342 | 10) | R60x120x3 | 0.058 | 0.020 | 0.002 | 0.056 | 0.027 | 0.021 | 0.022 | 0.049 | 0.058 | 3 | Si | 0.002 | 0.002 | 0.078 | 0.082 | 0.082 | Si |
| 57 | 0.342 | 0.456 | 10) | R60x120x3 | 0.066 | 0.023 | 0.002 | 0.069 | 0.027 | 0.021 | 0.022 | 0.049 | 0.069 | 3 | Si | 0.002 | 0.002 | 0.078 | 0.082 | 0.082 | Si |
| 57 | 0.456 | 0.570 | 10) | R60x120x3 | 0.096 | 0.056 | 0.002 | 0.117 | 0.027 | 0.021 | 0.022 | 0.049 | 0.117 | 3 | Si | 0.002 | 0.002 | 0.078 | 0.082 | 0.082 | Si |
| 58 | 0.000 | 0.078 | 10) | R60x120x3 | 0.076 | 0.096 | 0.015 | 0.139 | 0.029 | 0.027 | 0.000 | 0.029 | 0.139 | 3 | Si | 0.015 | 0.015 | 0.061 | 0.084 | 0.084 | Si |
| 58 | 0.078 | 0.156 | 10) | R60x120x3 | 0.056 | 0.072 | 0.015 | 0.106 | 0.029 | 0.027 | 0.000 | 0.029 | 0.106 | 3 | Si | 0.015 | 0.015 | 0.061 | 0.084 | 0.084 | Si |
| 58 | 0.156 | 0.234 | 10) | R60x120x3 | 0.043 | 0.056 | 0.015 | 0.084 | 0.029 | 0.027 | 0.000 | 0.029 | 0.084 | 3 | Si | 0.015 | 0.015 | 0.061 | 0.084 | 0.084 | Si |
| 58 | 0.234 | 0.312 | 10) | R60x120x3 | 0.024 | 0.032 | 0.015 | 0.052 | 0.029 | 0.027 | 0.000 | 0.029 | 0.052 | 3 | Si | 0.015 | 0.015 | 0.061 | 0.084 | 0.084 | Si |
| 58 | 0.312 | 0.390 | 10) | R60x120x3 | 0.011 | 0.015 | 0.015 | 0.032 | 0.029 | 0.027 | 0.000 | 0.029 | 0.032 | 3 | Si | 0.015 | 0.015 | 0.061 | 0.084 | 0.084 | Si |
| 59 | 0.000 | 0.046 | 10) | R60x120x3 | 0.090 | 0.060 | 0.013 | 0.156 | 0.060 | 0.060 | 0.077 | 0.138 | 0.156 | 3 | Si | 0.002 | 0.002 | 0.109 | 0.143 | 0.143 | Si |
| 59 | 0.046 | 0.092 | 10) | R60x120x3 | 0.092 | 0.031 | 0.013 | 0.134 | 0.060 | 0.060 | 0.077 | 0.138 | 0.138 | 3 | Si | 0.002 | 0.002 | 0.109 | 0.143 | 0.143 | Si |
| 59 | 0.092 | 0.138 | 10) | R60x120x3 | 0.083 | 0.010 | 0.013 | 0.031 | 0.060 | 0.060 | 0.077 | 0.138 | 0.138 | 3 | Si | 0.002 | 0.002 | 0.109 | 0.143 | 0.143 | Si |
| 59 | 0.138 | 0.185 | 10) | R60x120x3 | 0.116 | 0.026 | 0.013 | 0.142 | 0.056 | 0.050 | 0.077 | 0.093 | 0.142 | 3 | Si | 0.002 | 0.002 | 0.109 | 0.143 | 0.143 | Si |
| 59 | 0.185 | 0.231 | 10) | R60x120x3 | 0.135 | 0.057 | 0.013 | 0.194 | 0.060 | 0.051 | 0.077 | 0.104 | 0.194 | 3 | Si | 0.002 | 0.002 | 0.109 | 0.143 | 0.143 | Si |
| 60 | 0.000 | 0.080 | 10) | R60x120x3 | 0.050 | 0.037 | 0.017 | 0.099 | 0.014 | 0.014 | 0.004 | 0.019 | 0.099 | 3 | Si | 0.017 | 0.017 | 0.040 | 0.062 | 0.062 | Si |
| 60 | 0.080 | 0.160 | 10) | R60x120x3 | 0.037 | 0.028 | 0.017 | 0.078 | 0.014 | 0.014 | 0.004 | 0.019 | 0.078 | 3 | Si | 0.017 | 0.017 | 0.040 | 0.062 | 0.062 | Si |
| 60 | 0.160 | 0.240 | 10) | R60x120x3 | 0.028 | 0.021 | 0.017 | 0.064 | 0.014 | 0.014 | 0.004 | 0.019 | 0.064 | 3 | Si | 0.017 | 0.017 | 0.040 | 0.062 | 0.062 | Si |
| 60 | 0.240 | 0.320 | 10) | R60x120x3 | 0.015 | 0.011 | 0.017 | 0.043 | 0.014 | 0.014 | 0.004 | 0.019 | 0.043 | 3 | Si | 0.017 | 0.017 | 0.040 | 0.062 | 0.062 | Si |
| 60 | 0.320 | 0.400 | 10) | R60x120x3 | 0.007 | 0.005 | 0.017 | 0.029 | 0.014 | 0.014 | 0.004 | 0.019 | 0.029 | 3 | Si | 0.017 | 0.017 | 0.040 | 0.062 | 0.062 | Si |
| 61 | 0.000 | 0.082 | 10) | R60x120x3 | 0.081 | 0.048 | 0.032 | 0.128 | 0.058 | 0.096 | 0.069 | 0.150 | 0.150 | 3 | Si | 0.000 | 0.000 | 0.404 | 0.252 | 0.404 | Si |
| 61 | 0.082 | 0.164 | 10) | R60x120x3 | 0.129 | 0.030 | 0.032 | 0.124 | 0.055 | 0.097 | 0.069 | 0.103 | 0.129 | 3 | Si | 0.000 | 0.000 | 0.404 | 0.252 | 0.404 | Si |
| 61 | 0.164 | 0.246 | 10) | R60x120x3 | 0.230 | 0.027 | 0.032 | 0.129 | 0.023 | 0.100 | 0.069 | 0.105 | 0.230 | 3 | Si | 0.000 | 0.000 | 0.404 | 0.252 | 0.404 | Si |
| 61 | 0.246 | 0.329 | 10) | R60x120x3 | 0.299 | 0.033 | 0.032 | 0.137 | 0.023 | 0.101 | 0.069 | 0.107 | 0.299 | 3 | Si | 0.000 | 0.000 | 0.404 | 0.252 | 0.404 | Si |
| 61 | 0.329 | 0.411 | 10) | R60x120x3 | 0.404 | 0.051 | 0.032 | 0.228 | 0.023 | 0.104 | 0.069 | 0.109 | 0.404 | 3 | Si | 0.000 | 0.000 | 0.404 | 0.252 | 0.404 | Si |
| 62 | 0.000 | 0.110 | 10) | R60x120x3 | 0.065 | 0.047 | 0.020 | 0.118 | 0.014 | 0.018 | 0.002 | 0.020 | 0.118 | 3 | Si | 0.020 | 0.020 | 0.053 | 0.081 | 0.081 | Si |
| 62 | 0.110 | 0.220 | 10) | R60x120x3 | 0.042 | 0.035 | 0.020 | 0.087 | 0.012 | 0.014 | 0.002 | 0.017 | 0.087 | 3 | Si | 0.020 | 0.020 | 0.053 | 0.081 | 0.081 | Si |
| 62 | 0.220 | 0.330 | 10) | R60x120x3 | 0.029 | 0.027 | 0.020 | 0.068 | 0.011 | 0.012 | 0.002 | 0.015 | 0.068 | 3 | Si | 0.020 | 0.020 | 0.053 | 0.081 | 0.081 | Si |
| 62 | 0.330 | 0.440 | 10) | R60x120x3 | 0.013 | 0.016 | 0.020 | 0.045 | 0.010 | 0.011 | 0.002 | 0.013 | 0.045 | 3 | Si | 0.020 | 0.020 | 0.053 | 0.081 | 0.081 | Si |
| 62 | 0.440 | 0.550 | 10) | R60x120x3 | 0.005 | 0.008 | 0.020 | 0.031 | 0.010 | 0.010 | 0.002 | 0.012 | 0.031 | 3 | Si | 0.020 | 0.020 | 0.053 | 0.081 | 0.081 | Si |
| 63 | 0.000 | 0.172 | 10) | R60x120x3 | 0.093 | 0.031 | 0.019 | 0.132 | 0.010 | 0.012 | 0.064 | 0.049 | 0.132 | 3 | Si | 0.000 | 0.000 | 0.188 | 0.143 | 0.188 | Si |
| 63 | 0.172 | 0.344 | 10) | R60x120x3 | 0.096 | 0.019 | 0.019 | 0.020 | 0.006 | 0.012 | 0.064 | 0.013 | 0.096 | 1 | Si | 0.000 | 0.000 | 0.188 | 0.143 | 0.188 | Si |
| 63 | 0.344 | 0.516 | 10) | R60x120x3 | 0.116 | 0.010 | 0.019 | 0.028 | 0.006 | 0.015 | 0.064 | 0.016 | 0.116 | 1 | Si | 0.000 | 0.000 | 0.188 | 0.143 | 0.188 | Si |
| 63 | 0.516 | 0.688 | 10) | R60x120x3 | 0.135 | 0.004 | 0.019 | 0.036 | 0.006 | 0.018 | 0.064 | 0.019 | 0.135 | 1 | Si | 0.000 | 0.000 | 0.188 | 0.143 | 0.188 | Si |
| 63 | 0.688 | 0.860 | 10) | R60x120x3 | 0.188 | 0.016 | 0.019 | 0.063 | 0.006 | 0.026 | 0.064 | 0.027 | 0.188 | 1 | Si | 0.000 | 0.000 | 0.188 | 0.143 | 0.188 | Si |
| 64 | 0.000 | 0.164 | 10) | R60x120x3 | 0.096 | 0.024 | 0.026 | 0.092 | 0.008 | 0.023 | 0.001 | 0.023 | 0.096 | 3 | Si | 0.000 | 0.000 | 0.096 | 0.061 | 0.096 | Si |
| 64 | 0.164 | 0.328 | 10) | R60x120x3 | 0.058 | 0.018 | 0.026 | 0.062 | 0.007 | 0.017 | 0.001 | 0.017 | 0.062 | 3 | Si | 0.000 | 0.000 | 0.096 | 0.061 | 0.096 | Si |
| 64 | 0.328 | 0.492 | 10) | R60x120x3 | 0.036 | 0.014 | 0.026 | 0.044 | 0.006 | 0.013 | 0.001 | 0.013 | 0.444 | 3 | Si | 0.000 | 0.000 | 0.096 | 0.061 | 0.096 | Si |
| 64 | 0.492 | 0.656 | 10) | R60x120x3 | 0.017 | 0.009 | 0.026 | 0.027 | 0.005 | 0.009 | 0.001 | 0.009 | 0.027 | 3 | Si | 0.000 | 0.000 | 0.096 | 0.061 | 0.096 | Si |
| 64 | 0.656 | 0.820 | 10) | R60x120x3 | 0.006 | 0.004 | 0.026 | 0.000 | 0.003 | 0.005 | 0.001 | 0.005 | 0.026 | 1 | Si | 0.000 | 0.000 | 0.051 | 0.046 | 0.051 | Si |
| 65 | 0.000 | 0.086 | 10) | R60x120x3 | 0.077 | 0.048 | 0.031 | 0.138 | 0.056 | 0.094 | 0.070 | 0.149 | 0.149 | 3 | Si | 0.000 | 0.000 | 0.403 | 0.247 | 0.403 | Si |
| 65 | 0.086 | 0.172 | 10) | R60x120x3 | 0.120 | 0.030 | 0.031 | 0.136 | 0.039 | 0.095 | 0.070 | 0.147 | 0.147 | 3 | Si | 0.000 | 0.000 | 0.403 | 0.247 | 0.403 | Si |
| 65 | 0.172 | 0.258 | 10) | R60x120x3 | 0.224 | 0.024 | 0.031 | 0.085 | 0.022 | 0.098 | 0.070 | 0.103 | 0.224 | 1 | Si | 0.000 | 0.000 | 0.403 | 0.247 | 0.403 | Si |
| 65 | 0.258 | 0.345 | 10) | R60x120x3 | 0.294 | 0.031 | 0.031 | 0.134 | 0.022 | 0.099 | 0.070 | 0.105 | 0.294 | 1 | Si | 0.000 | 0.000 | 0.403 | 0.247 | 0.403 | Si |
| 65 | 0.345 | 0.431 | 10) | R60x120x3 | 0.403 | 0.048 | 0.031 | 0.226 | 0.022 | 0.102 | 0.070 | 0.108 | 0.403 | 1 | Si | 0.000 | 0.000 | 0.403 | 0.247 | 0.403 | Si |
| 66 | 0.000 | 0.202 | 10) | R60x120x3 | 0.146 | 0.002 | 0.009 | 0.041 | 0.000 | 0.019 | 0.008 | 0.019 | 0.146 | 3 | Si | 0.009 | 0.010 | 0.256 | 0.218 | 0.256 | Si |
| 66 | 0.202 | 0.404 | 10) | R60x120x3 | 0.170 | 0.001 | 0.009 | 0.052 | 0.000 | 0.018 | 0.008 | 0.018 | 0.170 | 3 | Si | 0.009 | 0.010 | 0.256 | 0.218 | 0.256 | Si |
| 66 | 0.404 | 0.606 | 10) | R60x120x3 | 0.203 | 0.001 | 0.009 | 0.071 | 0.000 | 0.018 | 0.008 | 0.018 | 0.203 | 1 | Si | 0.009 | 0.010 | 0.256 | 0.218 | 0.256 | Si |
| 66 | 0.606 | 0.808 | 10) | R60x120x3 | 0.225 | 0.000 | 0.009 | 0.084 | 0.000 | 0.017 | 0.008 | 0.017 | 0.225 | 1 | Si | 0.009 | 0.010 | 0.256 | 0.218 | 0.256 | Si |
| 66 | 0.808 | 1.010 | 10) | R60x120x3 | 0.256 | 0.001 | 0.009 | 0.104 | 0.000 | 0.017 | 0.008 | 0.017 | 0.256 | 1 | Si | 0.009 | 0.010 | 0.256 | 0.218 | 0.256 | Si |
| 67 | 0.000 | 0.094 | 10) | R60x120x3 | 0.311 | 0.096 | 0.012 | 0.336 | 0.053 | 0.057 | 0.086 | 0.139 | 0.336 | 3 | Si | 0.012 | 0.012 | 0.311 | 0.222 | 0.311 | Si |
| 67 | 0.094 | 0.187 | 10) | R60x120x3 | 0.245 | 0.051 | 0.012 | 0.253 | 0.053 | 0.057 | 0.086 | 0.139 | 0.253 | 3 | Si | 0.012 | 0.012 | 0.311 | 0.222 | 0.311 | Si |
| 67 | 0.187 | 0.281 | 10) | R60x120x3 | 0.201 | 0.020 | 0.012 | 0.095 | 0.053 | 0.057 | 0.086 | 0.139 | 0.201 | 3 | Si | 0.012 | 0.012 | 0.311 | 0.222 | 0.311 | Si |
| 67 | 0.281 | 0.375 | 10) | R60x120x3 | 0.136 | 0.045 | 0.012 | 0.166 | 0.053 | 0.057 | 0.086 | 0.139 | 0.166 | 3 | Si | 0.012 | 0.012 | 0.311 | 0.222 | 0.311 | Si |
| 67 | 0.375 | 0.469 | 10) | R60x120x3 | 0.103 | 0.091 | 0.012 | 0.169 | 0.053 | 0.066 | 0.086 | 0.148 | 0.169 | 3 | Si | 0.012 | 0.012 | 0.311 | 0.222 | 0.311 | Si |
| 68 | 0.000 | 0.144 | 10) | R60x120x3 | 0.095 | 0.091 | 0.014 | 0.190 | 0.035 | 0.067 | 0.026 | 0.078 | 0.190 | 3 | Si | 0.013 | 0.014 | 0.360 | 0.227 | 0.360 | Si |
| 68 | 0.144 | 0.288 | 10) | R60x120x3 | 0.111 | 0.055 | 0.014 | 0.164 | 0.034 | 0.066 | 0.026 | 0.078 | 0.164 | 3 | Si | 0.013 | 0.014 | 0.360 | 0.227 | 0.360 | Si |
| 68 | 0.288 | 0.432 | 10) | R60x120x3 | 0.201 | 0.031 | 0.014 | 0.175 | 0.034 | 0.056 | 0.026 | 0.062 | 0.201 | 3 | Si | 0.013 | 0.014 | 0.360 | 0.227 | 0.360 | Si |
| 68 | 0.432 | 0.576 | 10) | R60x120x3 | 0.241 | 0.013 | 0.014 | 0.099 | 0.034 | 0.056 | 0.026 | 0.062 | 0.241 | 3 | Si | 0.013 | 0.014 | 0.360 | 0.227 | 0.360 | Si |
| 68 | 0.576 | 0.720 | 10) | R60x120x3 | 0.360 | 0.057 | 0.014 | 0.343 | 0.034 | 0.056 | 0.026 | 0.062 | 0.360 | 3 | Si | 0.013 | 0.014 | 0.360 | 0.227 | 0.360 | Si |
| 69 | 0.000 | 0.202 | 10) | R60x120x3 | 0.071 | 0.023 | 0.132 | 0.012 | 0.004 | 0.032 | 0.018 | 0.032 | 0.132 | 1 | Si | 0.000 | 0.000 | 0.1 | | | |

| | | | | | | | | | | | | | | | | | | | | | |
|----|-------|-------|-----|-----------|-------|-------|-------|-------|-------|-------|-------|-------|-------|---|----|-------|-------|-------|-------|-------|----|
| 78 | 0.632 | 0.791 | 10) | R60x120x3 | 0.177 | 0.080 | 0.036 | 0.222 | 0.024 | 0.023 | 0.028 | 0.052 | 0.222 | 3 | SI | 0.036 | 0.038 | 0.142 | 0.166 | 0.166 | SI |
| 79 | 0.000 | 0.016 | 10) | R60x120x3 | 0.115 | 0.060 | 0.055 | 0.181 | 0.136 | 0.118 | 0.045 | 0.170 | 0.181 | 3 | SI | 0.055 | 0.055 | 0.093 | 0.149 | 0.149 | SI |
| 79 | 0.016 | 0.033 | 10) | R60x120x3 | 0.111 | 0.036 | 0.055 | 0.160 | 0.136 | 0.118 | 0.045 | 0.170 | 0.170 | 3 | SI | 0.055 | 0.055 | 0.093 | 0.149 | 0.149 | SI |
| 79 | 0.033 | 0.049 | 10) | R60x120x3 | 0.108 | 0.022 | 0.055 | 0.151 | 0.136 | 0.118 | 0.045 | 0.170 | 0.170 | 3 | SI | 0.055 | 0.055 | 0.093 | 0.149 | 0.149 | SI |
| 79 | 0.049 | 0.066 | 10) | R60x120x3 | 0.104 | 0.017 | 0.055 | 0.156 | 0.136 | 0.118 | 0.045 | 0.170 | 0.170 | 3 | SI | 0.055 | 0.055 | 0.093 | 0.149 | 0.149 | SI |
| 79 | 0.066 | 0.082 | 10) | R60x120x3 | 0.102 | 0.039 | 0.055 | 0.175 | 0.136 | 0.118 | 0.045 | 0.170 | 0.175 | 3 | SI | 0.055 | 0.055 | 0.093 | 0.149 | 0.149 | SI |
| 80 | 0.000 | 0.094 | 10) | R60x120x3 | 0.102 | 0.039 | 0.060 | 0.182 | 0.025 | 0.037 | 0.030 | 0.064 | 0.182 | 3 | SI | 0.060 | 0.060 | 0.147 | 0.182 | 0.182 | SI |
| 80 | 0.094 | 0.187 | 10) | R60x120x3 | 0.102 | 0.027 | 0.060 | 0.183 | 0.025 | 0.037 | 0.030 | 0.064 | 0.183 | 3 | SI | 0.060 | 0.060 | 0.147 | 0.182 | 0.182 | SI |
| 80 | 0.187 | 0.281 | 10) | R60x120x3 | 0.118 | 0.020 | 0.060 | 0.188 | 0.025 | 0.037 | 0.030 | 0.064 | 0.188 | 3 | SI | 0.060 | 0.060 | 0.147 | 0.182 | 0.182 | SI |
| 80 | 0.281 | 0.375 | 10) | R60x120x3 | 0.157 | 0.014 | 0.060 | 0.218 | 0.025 | 0.037 | 0.030 | 0.065 | 0.218 | 3 | SI | 0.060 | 0.060 | 0.147 | 0.182 | 0.182 | SI |
| 80 | 0.375 | 0.469 | 10) | R60x120x3 | 0.183 | 0.019 | 0.060 | 0.252 | 0.025 | 0.038 | 0.030 | 0.065 | 0.252 | 3 | SI | 0.060 | 0.060 | 0.147 | 0.182 | 0.182 | SI |
| 81 | 0.000 | 0.088 | 10) | R60x120x3 | 0.296 | 0.100 | 0.012 | 0.331 | 0.057 | 0.056 | 0.091 | 0.148 | 0.331 | 3 | SI | 0.012 | 0.012 | 0.296 | 0.224 | 0.296 | SI |
| 81 | 0.088 | 0.176 | 10) | R60x120x3 | 0.236 | 0.053 | 0.012 | 0.251 | 0.057 | 0.056 | 0.091 | 0.148 | 0.251 | 3 | SI | 0.012 | 0.012 | 0.296 | 0.224 | 0.296 | SI |
| 81 | 0.176 | 0.264 | 10) | R60x120x3 | 0.196 | 0.022 | 0.012 | 0.096 | 0.057 | 0.056 | 0.091 | 0.148 | 0.196 | 3 | SI | 0.012 | 0.012 | 0.296 | 0.224 | 0.296 | SI |
| 81 | 0.264 | 0.352 | 10) | R60x120x3 | 0.128 | 0.034 | 0.012 | 0.166 | 0.057 | 0.056 | 0.091 | 0.148 | 0.166 | 3 | SI | 0.012 | 0.012 | 0.296 | 0.224 | 0.296 | SI |
| 81 | 0.352 | 0.440 | 10) | R60x120x3 | 0.113 | 0.090 | 0.012 | 0.176 | 0.057 | 0.064 | 0.091 | 0.156 | 0.176 | 3 | SI | 0.012 | 0.012 | 0.296 | 0.224 | 0.296 | SI |
| 82 | 0.000 | 0.146 | 10) | R60x120x3 | 0.101 | 0.090 | 0.014 | 0.198 | 0.034 | 0.066 | 0.028 | 0.082 | 0.198 | 3 | SI | 0.014 | 0.015 | 0.348 | 0.224 | 0.348 | SI |
| 82 | 0.146 | 0.292 | 10) | R60x120x3 | 0.106 | 0.055 | 0.014 | 0.160 | 0.034 | 0.064 | 0.028 | 0.081 | 0.160 | 3 | SI | 0.014 | 0.015 | 0.348 | 0.224 | 0.348 | SI |
| 82 | 0.292 | 0.438 | 10) | R60x120x3 | 0.184 | 0.031 | 0.014 | 0.181 | 0.034 | 0.055 | 0.028 | 0.068 | 0.184 | 3 | SI | 0.014 | 0.015 | 0.348 | 0.224 | 0.348 | SI |
| 82 | 0.438 | 0.584 | 10) | R60x120x3 | 0.250 | 0.018 | 0.014 | 0.108 | 0.033 | 0.055 | 0.028 | 0.063 | 0.250 | 3 | SI | 0.014 | 0.015 | 0.348 | 0.224 | 0.348 | SI |
| 82 | 0.584 | 0.730 | 10) | R60x120x3 | 0.348 | 0.057 | 0.014 | 0.340 | 0.033 | 0.055 | 0.028 | 0.063 | 0.348 | 3 | SI | 0.014 | 0.015 | 0.348 | 0.224 | 0.348 | SI |
| 83 | 0.000 | 0.204 | 10) | R60x120x3 | 0.076 | 0.022 | 0.131 | 0.014 | 0.004 | 0.032 | 0.016 | 0.032 | 0.131 | 1 | SI | 0.000 | 0.000 | 0.159 | 0.081 | 0.159 | SI |
| 83 | 0.204 | 0.408 | 10) | R60x120x3 | 0.078 | 0.013 | 0.131 | 0.013 | 0.004 | 0.031 | 0.016 | 0.032 | 0.131 | 1 | SI | 0.000 | 0.000 | 0.159 | 0.081 | 0.159 | SI |
| 83 | 0.408 | 0.612 | 10) | R60x120x3 | 0.143 | 0.008 | 0.131 | 0.037 | 0.004 | 0.031 | 0.016 | 0.031 | 0.143 | 1 | SI | 0.000 | 0.000 | 0.265 | 0.081 | 0.265 | SI |
| 83 | 0.612 | 0.816 | 10) | R60x120x3 | 0.189 | 0.006 | 0.131 | 0.060 | 0.004 | 0.030 | 0.016 | 0.030 | 0.189 | 1 | SI | 0.000 | 0.000 | 0.265 | 0.081 | 0.265 | SI |
| 83 | 0.816 | 1.020 | 10) | R60x120x3 | 0.265 | 0.013 | 0.131 | 0.107 | 0.004 | 0.030 | 0.016 | 0.030 | 0.265 | 1 | SI | 0.000 | 0.000 | 0.265 | 0.081 | 0.265 | SI |
| 84 | 0.000 | 0.202 | 10) | R60x120x3 | 0.265 | 0.013 | 0.130 | 0.106 | 0.004 | 0.030 | 0.016 | 0.030 | 0.265 | 1 | SI | 0.000 | 0.000 | 0.265 | 0.080 | 0.265 | SI |
| 84 | 0.202 | 0.404 | 10) | R60x120x3 | 0.189 | 0.006 | 0.130 | 0.060 | 0.004 | 0.030 | 0.016 | 0.030 | 0.189 | 1 | SI | 0.000 | 0.000 | 0.265 | 0.080 | 0.265 | SI |
| 84 | 0.404 | 0.606 | 10) | R60x120x3 | 0.143 | 0.008 | 0.130 | 0.037 | 0.004 | 0.031 | 0.016 | 0.031 | 0.143 | 1 | SI | 0.000 | 0.000 | 0.265 | 0.080 | 0.265 | SI |
| 84 | 0.606 | 0.808 | 10) | R60x120x3 | 0.079 | 0.014 | 0.130 | 0.013 | 0.004 | 0.031 | 0.016 | 0.032 | 0.130 | 1 | SI | 0.000 | 0.000 | 0.158 | 0.080 | 0.158 | SI |
| 84 | 0.808 | 1.010 | 10) | R60x120x3 | 0.074 | 0.023 | 0.130 | 0.013 | 0.004 | 0.032 | 0.016 | 0.032 | 0.130 | 1 | SI | 0.000 | 0.000 | 0.158 | 0.080 | 0.158 | SI |
| 85 | 0.000 | 0.144 | 10) | R60x120x3 | 0.351 | 0.058 | 0.014 | 0.342 | 0.034 | 0.055 | 0.026 | 0.062 | 0.351 | 3 | SI | 0.014 | 0.014 | 0.351 | 0.225 | 0.351 | SI |
| 85 | 0.144 | 0.288 | 10) | R60x120x3 | 0.254 | 0.019 | 0.014 | 0.110 | 0.034 | 0.055 | 0.026 | 0.056 | 0.254 | 3 | SI | 0.014 | 0.014 | 0.351 | 0.225 | 0.351 | SI |
| 85 | 0.288 | 0.432 | 10) | R60x120x3 | 0.189 | 0.033 | 0.014 | 0.171 | 0.034 | 0.055 | 0.026 | 0.065 | 0.189 | 3 | SI | 0.014 | 0.014 | 0.351 | 0.225 | 0.351 | SI |
| 85 | 0.432 | 0.576 | 10) | R60x120x3 | 0.101 | 0.047 | 0.014 | 0.159 | 0.034 | 0.064 | 0.026 | 0.078 | 0.159 | 3 | SI | 0.014 | 0.014 | 0.351 | 0.225 | 0.351 | SI |
| 85 | 0.576 | 0.720 | 10) | R60x120x3 | 0.097 | 0.090 | 0.014 | 0.194 | 0.035 | 0.066 | 0.026 | 0.079 | 0.194 | 3 | SI | 0.014 | 0.014 | 0.351 | 0.225 | 0.351 | SI |
| 86 | 0.000 | 0.089 | 10) | R60x120x3 | 0.183 | 0.018 | 0.061 | 0.252 | 0.025 | 0.039 | 0.029 | 0.065 | 0.252 | 3 | SI | 0.061 | 0.061 | 0.148 | 0.181 | 0.181 | SI |
| 86 | 0.089 | 0.179 | 10) | R60x120x3 | 0.151 | 0.013 | 0.061 | 0.211 | 0.025 | 0.039 | 0.029 | 0.065 | 0.211 | 3 | SI | 0.061 | 0.061 | 0.148 | 0.181 | 0.181 | SI |
| 86 | 0.179 | 0.268 | 10) | R60x120x3 | 0.129 | 0.015 | 0.061 | 0.195 | 0.025 | 0.039 | 0.029 | 0.065 | 0.195 | 3 | SI | 0.061 | 0.061 | 0.148 | 0.181 | 0.181 | SI |
| 86 | 0.268 | 0.358 | 10) | R60x120x3 | 0.106 | 0.026 | 0.061 | 0.182 | 0.025 | 0.039 | 0.029 | 0.065 | 0.182 | 3 | SI | 0.061 | 0.061 | 0.148 | 0.181 | 0.181 | SI |
| 86 | 0.358 | 0.447 | 10) | R60x120x3 | 0.101 | 0.035 | 0.061 | 0.178 | 0.025 | 0.039 | 0.029 | 0.065 | 0.178 | 3 | SI | 0.061 | 0.061 | 0.148 | 0.181 | 0.181 | SI |
| 87 | 0.000 | 0.017 | 10) | R60x120x3 | 0.104 | 0.035 | 0.057 | 0.175 | 0.106 | 0.096 | 0.030 | 0.126 | 0.175 | 3 | SI | 0.057 | 0.057 | 0.095 | 0.151 | 0.151 | SI |
| 87 | 0.017 | 0.034 | 10) | R60x120x3 | 0.107 | 0.017 | 0.057 | 0.161 | 0.106 | 0.096 | 0.030 | 0.126 | 0.161 | 3 | SI | 0.057 | 0.057 | 0.095 | 0.151 | 0.151 | SI |
| 87 | 0.034 | 0.051 | 10) | R60x120x3 | 0.110 | 0.018 | 0.057 | 0.157 | 0.106 | 0.096 | 0.030 | 0.126 | 0.157 | 3 | SI | 0.057 | 0.057 | 0.095 | 0.151 | 0.151 | SI |
| 87 | 0.051 | 0.068 | 10) | R60x120x3 | 0.114 | 0.030 | 0.057 | 0.161 | 0.106 | 0.096 | 0.030 | 0.126 | 0.161 | 3 | SI | 0.057 | 0.057 | 0.095 | 0.151 | 0.151 | SI |
| 87 | 0.068 | 0.085 | 10) | R60x120x3 | 0.117 | 0.047 | 0.057 | 0.171 | 0.106 | 0.096 | 0.030 | 0.126 | 0.171 | 3 | SI | 0.057 | 0.057 | 0.095 | 0.151 | 0.151 | SI |
| 88 | 0.000 | 0.158 | 10) | R60x120x3 | 0.176 | 0.078 | 0.036 | 0.220 | 0.023 | 0.023 | 0.029 | 0.052 | 0.220 | 3 | SI | 0.036 | 0.037 | 0.142 | 0.166 | 0.166 | SI |
| 88 | 0.158 | 0.316 | 10) | R60x120x3 | 0.115 | 0.038 | 0.036 | 0.166 | 0.023 | 0.022 | 0.029 | 0.052 | 0.166 | 3 | SI | 0.036 | 0.037 | 0.142 | 0.166 | 0.166 | SI |
| 88 | 0.316 | 0.474 | 10) | R60x120x3 | 0.097 | 0.014 | 0.036 | 0.131 | 0.023 | 0.022 | 0.029 | 0.052 | 0.131 | 3 | SI | 0.036 | 0.037 | 0.142 | 0.166 | 0.166 | SI |
| 88 | 0.474 | 0.632 | 10) | R60x120x3 | 0.086 | 0.040 | 0.036 | 0.125 | 0.023 | 0.022 | 0.029 | 0.052 | 0.125 | 3 | SI | 0.036 | 0.037 | 0.142 | 0.166 | 0.166 | SI |
| 88 | 0.632 | 0.791 | 10) | R60x120x3 | 0.066 | 0.079 | 0.036 | 0.137 | 0.023 | 0.022 | 0.029 | 0.052 | 0.137 | 3 | SI | 0.036 | 0.037 | 0.142 | 0.166 | 0.166 | SI |
| 89 | 0.000 | 0.084 | 10) | R60x120x3 | 0.051 | 0.079 | 0.035 | 0.142 | 0.045 | 0.038 | 0.020 | 0.066 | 0.142 | 3 | SI | 0.035 | 0.035 | 0.041 | 0.091 | 0.091 | SI |
| 89 | 0.084 | 0.168 | 10) | R60x120x3 | 0.036 | 0.039 | 0.035 | 0.093 | 0.045 | 0.038 | 0.020 | 0.066 | 0.093 | 3 | SI | 0.035 | 0.035 | 0.041 | 0.091 | 0.091 | SI |
| 89 | 0.168 | 0.252 | 10) | R60x120x3 | 0.026 | 0.015 | 0.035 | 0.060 | 0.045 | 0.038 | 0.020 | 0.066 | 0.066 | 3 | SI | 0.035 | 0.035 | 0.041 | 0.091 | 0.091 | SI |
| 89 | 0.252 | 0.336 | 10) | R60x120x3 | 0.022 | 0.042 | 0.035 | 0.084 | 0.045 | 0.038 | 0.020 | 0.066 | 0.084 | 3 | SI | 0.035 | 0.035 | 0.041 | 0.091 | 0.091 | SI |
| 89 | 0.336 | 0.420 | 10) | R60x120x3 | 0.032 | 0.083 | 0.035 | 0.124 | 0.045 | 0.038 | 0.020 | 0.066 | 0.124 | 3 | SI | 0.035 | 0.035 | 0.041 | 0.091 | 0.091 | SI |
| 90 | 0.000 | 0.098 | 10) | R60x120x3 | 0.036 | 0.082 | 0.036 | 0.128 | 0.040 | 0.036 | 0.016 | 0.057 | 0.128 | 3 | SI | 0.036 | 0.037 | 0.053 | 0.103 | 0.103 | SI |
| 90 | 0.098 | 0.196 | 10) | R60x120x3 | 0.023 | 0.040 | 0.036 | 0.082 | 0.040 | 0.036 | 0.016 | 0.057 | 0.082 | 3 | SI | 0.036 | 0.037 | 0.053 | 0.103 | 0.103 | SI |
| 90 | 0.196 | 0.294 | 10) | R60x120x3 | 0.029 | 0.012 | 0.036 | 0.060 | 0.040 | 0.036 | 0.016 | 0.057 | 0.060 | 3 | SI | 0.036 | 0.037 | 0.0 | | | |

| Pilastro N | x ini [m] | x fin [m] | Sez.Beam | Fori | cMy | cMz | cN | My-Mz-N | cVy | cVz | cMt | Vy-Vz-Mt | Tot | cl | ver | cC-Z inst. | cC-Y inst. | cMy inst. | cMz inst. | N-My-Mz Inst. | Tot Inst. | Ver. |
|---------------|--------------|--------------|----------|------|-------|-------|-------|---------|-------|-------|-------|----------|-------|----|-----|---------------|---------------|--------------|--------------|------------------|--------------|------|
| 7 | 0.000 | 0.973 | 7) f180 | | 0.207 | 0.000 | 0.034 | 0.208 | 0.000 | 0.022 | 0.002 | 0.023 | 0.208 | 1 | Si | 0.059 | 0.059 | | 0.241 | 0.258 | 0.258 | Si |
| 7 | 0.973 | 1.947 | 7) f180 | | 0.093 | 0.000 | 0.035 | 0.093 | 0.000 | 0.022 | 0.002 | 0.023 | 0.093 | 1 | Si | 0.059 | 0.059 | | 0.241 | 0.258 | 0.258 | Si |
| 7 | 1.947 | 2.920 | 7) f180 | | 0.246 | 0.000 | 0.035 | 0.246 | 0.000 | 0.022 | 0.002 | 0.023 | 0.246 | 1 | Si | 0.059 | 0.059 | | 0.241 | 0.258 | 0.258 | Si |
| 11 | 0.000 | 0.973 | 7) f180 | | 0.207 | 0.000 | 0.034 | 0.208 | 0.000 | 0.022 | 0.002 | 0.022 | 0.208 | 1 | Si | 0.059 | 0.059 | | 0.241 | 0.261 | 0.261 | Si |
| 11 | 0.973 | 1.947 | 7) f180 | | 0.092 | 0.000 | 0.035 | 0.093 | 0.000 | 0.022 | 0.002 | 0.022 | 0.093 | 1 | Si | 0.059 | 0.059 | | 0.241 | 0.261 | 0.261 | Si |
| 11 | 1.947 | 2.920 | 7) f180 | | 0.252 | 0.000 | 0.035 | 0.252 | 0.000 | 0.022 | 0.002 | 0.022 | 0.252 | 1 | Si | 0.059 | 0.059 | | 0.241 | 0.261 | 0.261 | Si |
| 21 | 0.000 | 0.973 | 7) f180 | | 0.202 | 0.000 | 0.033 | 0.202 | 0.000 | 0.021 | 0.001 | 0.021 | 0.202 | 1 | Si | 0.056 | 0.056 | | 0.234 | 0.254 | 0.254 | Si |
| 21 | 0.973 | 1.947 | 7) f180 | | 0.090 | 0.000 | 0.033 | 0.090 | 0.000 | 0.021 | 0.001 | 0.021 | 0.090 | 1 | Si | 0.056 | 0.056 | | 0.234 | 0.254 | 0.254 | Si |
| 21 | 1.947 | 2.920 | 7) f180 | | 0.245 | 0.000 | 0.033 | 0.245 | 0.000 | 0.021 | 0.001 | 0.021 | 0.245 | 1 | Si | 0.056 | 0.056 | | 0.234 | 0.254 | 0.254 | Si |
| 25 | 0.000 | 0.973 | 7) f180 | | 0.201 | 0.000 | 0.033 | 0.202 | 0.000 | 0.022 | 0.001 | 0.022 | 0.202 | 1 | Si | 0.056 | 0.056 | | 0.234 | 0.258 | 0.258 | Si |
| 25 | 0.973 | 1.947 | 7) f180 | | 0.089 | 0.000 | 0.033 | 0.089 | 0.000 | 0.022 | 0.001 | 0.022 | 0.089 | 1 | Si | 0.056 | 0.056 | | 0.234 | 0.258 | 0.258 | Si |
| 25 | 1.947 | 2.920 | 7) f180 | | 0.239 | 0.000 | 0.034 | 0.239 | 0.000 | 0.022 | 0.001 | 0.022 | 0.239 | 1 | Si | 0.056 | 0.056 | | 0.234 | 0.258 | 0.258 | Si |

Coefficienti di verifica calcolati come indicato al §4.2.4.1.2 NTC18

Legenda tabella Verifiche Instabilità Acciaio

Le formule e i paragrafi indicati di seguito fanno riferimento alle NTC18, in particolare al §4.2.4.1.3

- **Compressione con sbandamento lungo Z**, ossia con inflessione intorno all'asse y-y.
- **Compressione con sbandamento lungo Y**, ossia con inflessione intorno all'asse z-z.
- χ : Coefficiente definito nella [4.2.44]
- Φ : Coefficiente definito nel §4.2.4.1.3
- α : Fattore di imperfezione ricavato dalla Tab 4.2.VIII
- λ^- : Snellezza normalizzata calcolata come indicano nelle [4.2.45] e [4.2.46]
- **Ncr**: Carico critico euleriano.
- **Nb,rd**: Resistenza di progetto all'instabilità, calcolata con le [4.2.42] e con le [4.2.43] per le sezioni in classe 4.
- **α LT**: Fattore di imperfezione per instabilità torsionale ricavato dalla Tab 4.2.IX

Travi Piano:1 Verifiche Instabilità Acciaio

| Trave N | Compressione con sbandamento lungo Z | | | | | | | Compressione con sbandamento lungo Y | | | | | | | Intabilità flessio-torsionale | | | | | |
|------------|--------------------------------------|--------|----------|-------------|-----------|------------|--------------|--------------------------------------|--------|----------|-------------|-----------|------------|--------------|-------------------------------|-------|-------|-------|-----------|-------------|
| | χ | Φ | α | λ^- | l0 [m] | Ncr [N] | Nb,Rd [N] | χ | Φ | α | λ^- | l0 [m] | Ncr [N] | Nb,Rd [N] | Lcr [m] | k | kw | c2 | zg [m] | α LT |
| 1 | 1.000 | 0.494 | 0.210 | 0.098 | 0.37 | 29.3M | 271k | 1.000 | 0.511 | 0.210 | 0.169 | 0.37 | 9.91M | 271k | 0.37 | 1.000 | 1.000 | 0.000 | 0.000 | 0.760 |
| 2 | 0.984 | 0.544 | 0.210 | 0.272 | 1.02 | 3.86M | 267k | 0.934 | 0.637 | 0.210 | 0.467 | 1.02 | 1.30M | 253k | 1.02 | 1.000 | 1.000 | 0.000 | 0.060 | 0.760 |
| 3 | 0.985 | 0.543 | 0.210 | 0.269 | 1.01 | 3.94M | 267k | 0.936 | 0.634 | 0.210 | 0.462 | 1.01 | 1.33M | 253k | 1.01 | 1.000 | 1.000 | 0.000 | 0.060 | 0.760 |
| 4 | 0.984 | 0.544 | 0.210 | 0.272 | 1.02 | 3.86M | 267k | 0.934 | 0.637 | 0.210 | 0.467 | 1.02 | 1.30M | 253k | 1.02 | 1.000 | 1.000 | 0.000 | 0.060 | 0.760 |
| 5 | 0.985 | 0.543 | 0.210 | 0.269 | 1.01 | 3.94M | 267k | 0.936 | 0.634 | 0.210 | 0.462 | 1.01 | 1.33M | 253k | 1.01 | 1.000 | 1.000 | 0.000 | 0.060 | 0.760 |
| 6 | 1.000 | 0.493 | 0.210 | 0.093 | 0.35 | 32.8M | 271k | 1.000 | 0.509 | 0.210 | 0.160 | 0.35 | 11.1M | 271k | 0.35 | 1.000 | 1.000 | 0.000 | 0.000 | 0.760 |
| 7 | 1.000 | 0.495 | 0.210 | 0.101 | 0.38 | 27.8M | 271k | 1.000 | 0.512 | 0.210 | 0.174 | 0.38 | 9.40M | 271k | 0.38 | 1.000 | 1.000 | 0.000 | 0.000 | 0.760 |
| 8 | 0.984 | 0.544 | 0.210 | 0.272 | 1.02 | 3.86M | 267k | 0.934 | 0.637 | 0.210 | 0.467 | 1.02 | 1.30M | 253k | 1.02 | 1.000 | 1.000 | 0.000 | 0.060 | 0.760 |
| 9 | 1.000 | 0.504 | 0.210 | 0.141 | 0.53 | 14.3M | 271k | 0.991 | 0.534 | 0.210 | 0.243 | 0.53 | 4.83M | 268k | 0.53 | 1.000 | 1.000 | 0.000 | 0.060 | 0.760 |
| 10 | 0.984 | 0.544 | 0.210 | 0.272 | 1.02 | 3.86M | 267k | 0.934 | 0.637 | 0.210 | 0.467 | 1.02 | 1.30M | 253k | 1.02 | 1.000 | 1.000 | 0.000 | 0.060 | 0.760 |
| 11 | 0.985 | 0.543 | 0.210 | 0.269 | 1.01 | 3.94M | 267k | 0.936 | 0.634 | 0.210 | 0.462 | 1.01 | 1.33M | 253k | 1.01 | 1.000 | 1.000 | 0.000 | 0.060 | 0.760 |
| 12 | 1.000 | 0.506 | 0.210 | 0.152 | 0.57 | 12.4M | 271k | 0.986 | 0.540 | 0.210 | 0.261 | 0.57 | 4.18M | 267k | 0.57 | 1.000 | 1.000 | 0.000 | 0.000 | 0.760 |
| 13 | 1.000 | 0.496 | 0.210 | 0.106 | 0.40 | 25.1M | 271k | 1.000 | 0.515 | 0.210 | 0.183 | 0.40 | 8.48M | 271k | 0.40 | 1.000 | 1.000 | 0.000 | 0.000 | 0.760 |
| 14 | 0.984 | 0.544 | 0.210 | 0.272 | 1.02 | 3.86M | 267k | 0.934 | 0.637 | 0.210 | 0.467 | 1.02 | 1.30M | 253k | 1.02 | 1.000 | 1.000 | 0.000 | 0.060 | 0.760 |
| 15 | 0.985 | 0.543 | 0.210 | 0.269 | 1.01 | 3.94M | 267k | 0.936 | 0.634 | 0.210 | 0.462 | 1.01 | 1.33M | 253k | 1.01 | 1.000 | 1.000 | 0.000 | 0.060 | 0.760 |
| 16 | 0.984 | 0.544 | 0.210 | 0.272 | 1.02 | 3.86M | 267k | 0.934 | 0.637 | 0.210 | 0.467 | 1.02 | 1.30M | 253k | 1.02 | 1.000 | 1.000 | 0.000 | 0.060 | 0.760 |
| 17 | 0.985 | 0.543 | 0.210 | 0.269 | 1.01 | 3.94M | 267k | 0.936 | 0.634 | 0.210 | 0.462 | 1.01 | 1.33M | 253k | 1.01 | 1.000 | 1.000 | 0.000 | 0.060 | 0.760 |
| 18 | 1.000 | 0.492 | 0.210 | 0.085 | 0.32 | 39.2M | 271k | 1.000 | 0.505 | 0.210 | 0.146 | 0.32 | 13.3M | 271k | 0.32 | 1.000 | 1.000 | 0.000 | 0.000 | 0.760 |
| 19 | 1.000 | 0.506 | 0.210 | 0.149 | 0.56 | 12.8M | 271k | 0.987 | 0.539 | 0.210 | 0.256 | 0.56 | 4.33M | 268k | 0.56 | 1.000 | 1.000 | 0.000 | 0.060 | 0.760 |
| 20 | 0.975 | 0.559 | 0.210 | 0.309 | 1.16 | 2.98M | 264k | 0.914 | 0.676 | 0.210 | 0.531 | 1.16 | 1.01M | 248k | 1.16 | 1.000 | 1.000 | 0.000 | 0.060 | 0.760 |
| 21 | 0.975 | 0.560 | 0.210 | 0.311 | 1.17 | 2.93M | 264k | 0.913 | 0.679 | 0.210 | 0.536 | 1.17 | 991k | 247k | 1.17 | 1.000 | 1.000 | 0.000 | 0.060 | 0.760 |
| 22 | 1.000 | 0.497 | 0.210 | 0.112 | 0.42 | 22.8M | 271k | 1.000 | 0.518 | 0.210 | 0.192 | 0.42 | 7.69M | 271k | 0.42 | 1.000 | 1.000 | 0.000 | 0.060 | 0.760 |
| 23 | 0.995 | 0.527 | 0.210 | 0.221 | 0.83 | 5.83M | 270k | 0.958 | 0.591 | 0.210 | 0.380 | 0.83 | 1.97M | 260k | 0.83 | 1.000 | 1.000 | 0.000 | 0.060 | 0.760 |
| 24 | 0.975 | 0.559 | 0.210 | 0.309 | 1.16 | 2.98M | 264k | 0.914 | 0.676 | 0.210 | 0.531 | 1.16 | 1.01M | 248k | 1.16 | 1.000 | 1.000 | 0.000 | 0.060 | 0.760 |
| 25 | 0.975 | 0.560 | 0.210 | 0.311 | 1.17 | 2.93M | 264k | 0.913 | 0.679 | 0.210 | 0.536 | 1.17 | 991k | 247k | 1.17 | 1.000 | 1.000 | 0.000 | 0.060 | 0.760 |
| 26 | 0.998 | 0.522 | 0.210 | 0.208 | 0.78 | 6.60M | 270k | 0.964 | 0.580 | 0.210 | 0.357 | 0.78 | 2.23M | 261k | 0.78 | 1.000 | 1.000 | 0.000 | 0.060 | 0.760 |
| 27 | 0.985 | 0.542 | 0.210 | 0.266 | 1.00 | 4.01M | 267k | 0.937 | 0.632 | 0.210 | 0.458 | 1.00 | 1.36M | 254k | 1.00 | 1.000 | 1.000 | 0.000 | 0.060 | 0.760 |
| 28 | 0.975 | 0.559 | 0.210 | 0.309 | 1.16 | 2.98M | 264k | 0.914 | 0.676 | 0.210 | 0.531 | 1.16 | 1.01M | 248k | 1.16 | 1.000 | 1.000 | 0.000 | 0.060 | 0.760 |
| 29 | 0.975 | 0.560 | 0.210 | 0.311 | 1.17 | 2.93M | 264k | 0.913 | 0.679 | 0.210 | 0.536 | 1.17 | 991k | 247k | 1.17 | 1.000 | 1.000 | 0.000 | 0.060 | 0.760 |
| 30 | 0.998 | 0.522 | 0.210 | 0.208 | 0.78 | 6.60M | 270k | 0.964 | 0.580 | 0.210 | 0.357 | 0.78 | 2.23M | 261k | 0.78 | 1.000 | 1.000 | 0.000 | 0.060 | 0.760 |
| 31 | 0.995 | 0.527 | 0.210 | 0.221 | 0.83 | 5.83M | 270k | 0.958 | 0.591 | 0.210 | 0.380 | 0.83 | 1.97M | 260k | 0.83 | 1.000 | 1.000 | 0.000 | 0.060 | 0.760 |
| 32 | 0.975 | 0.559 | 0.210 | 0.309 | 1.16 | 2.98M | 264k | 0.914 | 0.676 | 0.210 | 0.531 | 1.16 | 1.01M | 248k | 1.16 | 1.000 | 1.000 | 0.000 | 0.060 | 0.760 |
| 33 | 0.975 | 0.560 | 0.210 | 0.311 | 1.17 | 2.93M | 264k | 0.913 | 0.679 | 0.210 | 0.536 | 1.17 | 991k | 247k | 1.17 | 1.000 | 1.000 | 0.000 | 0.060 | 0.760 |
| 34 | 0.998 | 0.522 | 0.210 | 0.208 | 0.78 | 6.60M | 270k | 0.964 | 0.580 | 0.210 | 0.357 | 0.78 | 2.23M | 261k | 0.78 | 1.000 | 1.000 | 0.000 | 0.060 | 0.760 |
| 35 | 1.000 | 0.504 | 0.210 | 0.144 | 0.54 | 13.8M | 271k | 0.990 | 0.536 | 0.210 | 0.247 | 0.54 | 4.65M | 268k | 0.54 | 1.000 | 1.000 | 0.000 | 0.060 | 0.760 |
| 36 | 0.975 | 0.559 | 0.210 | 0.309 | 1.16 | 2.98M | 264k | 0.914 | 0.676 | 0.210 | 0.531 | 1.16 | 1.01M | 248k | 1.16 | 1.000 | 1.000 | 0.000 | 0.060 | 0.760 |
| 37 | 0.975 | 0.560 | 0.210 | 0.311 | 1.17 | 2.93M | 264k | 0.913 | 0.679 | 0.210 | 0.536 | 1.17 | 991k | 247k | 1.17 | 1.000 | 1.000 | 0.000 | 0.060 | 0.760 |
| 38 | 1.000 | 0.498 | 0.210 | 0.117 | 0.44 | 20.7M | 271k | 1.000 | 0.520 | 0.210 | 0.201 | 0.44 | 7.01M | 271k | 0.44 | 1.000 | 1.000 | 0.000 | 0.060 | 0.760 |
| 55 | 1.000 | 0.493 | 0.210 | 0.093 | 0.35 | 32.8M | 271k | 1.000 | 0.509 | 0.210 | 0.160 | 0.35 | 11.1M | 271k | 0.35 | 1.000 | 1.000 | 0.000 | 0.000 | 0.760 |
| 56 | 1.000 | 0.494 | 0.210 | 0.098 | 0.37 | 29.3M | 271k | 1.000 | 0.511 | 0.210 | 0.169 | 0.37 | 9.91M | 271k | 0.37 | 1.000 | 1.000 | 0.000 | 0.000 | 0.760 |
| 57 | 1.000 | 0.506 | 0.210 | 0.152 | 0.57 | 12.4M | 271k | 0.986 | 0.540 | 0.210 | 0.261 | 0.57 | 4.18M | 267k | 0.57 | 1.000 | 1.000 | 0.000 | 0.000 | 0.760 |
| 58 | 1.000 | 0.495 | 0.210 | 0.104 | 0.39 | 26.4M | 271k | 1.000 | 0.514 | 0.210 | 0.179 | 0.39 | 9.82M | 271k | 0.39 | 1.000 | 1.000 | 0.000 | 0.000 | 0.760 |
| 59 | 1.000 | 0.492 | 0.210 | 0.085 | 0.32 | 39.2M | 271k | 1.000 | 0.505 | 0.210 | 0.146 | 0.32 | 13.3M | 271k | 0.32 | 1.000 | 1.000 | 0.000 | 0.000 | 0.760 |
| 60 | 1.000 | 0.496 | 0.210 | 0.106 | 0.40 | 25.1M | 271k | 1.000 | 0.515 | 0.210 | 0.183 | 0.40 | 8.48M | 271k | 0.40 | 1.000 | 1.000 | 0.000 | 0.000 | 0.760 |
| 61 | 1.000 | 0.502 | 0.210 | 0.133 | 0.50 | 16.1M | 271k | 0.994 | 0.529 | 0.210 | 0.229 | 0.50 | 5.43M | 269k | 0.50 | 1.000 | 1.000 | 0.000 | 0.060 | 0.760 |
| 62 | 1.000 | 0.505 | 0.210 | 0.146 | 0.55 | 13.3M | 271k | 0.989 | 0.537 | 0.210 | 0.252 | 0.55 | 4.49M | 268k | 0.55 | 1.000 | 1.000 | 0.000 | 0.060 | 0.760 |
| 63 | 0.994 | 0.529 | 0.210 | 0.229 | 0.86 | 5.43M | 269k | 0.954 | 0.598 | 0.210 | 0.394 | 0.86 | 1.84M | 259k | 0.86 | 1.000 | 1.000 | 0.000 | 0.060 | 0.760 |
| 64 | 0.996 | 0.526 | 0.210 | 0.218 | 0.82 | 5.97M | 270k | 0.959 | 0.589 | 0.210 | 0.375 | 0.82 | 2.02M | 260k | 0.82 | 1.000 | 1.000 | 0.000 | 0.060 | 0.760 |
| 65 | 1.000 | 0.503 | 0.210 | 0.138 | 0.52 | 14.8M | 271k | 0.992 | 0.532 | 0.210 | 0.238 | 0.52 | 5.02M | 269k | 0.52 | 1.000 | 1.000 | 0.000 | 0.060 | 0.760 |
| 66 | 0.985 | 0.543 | 0.210 | 0.269 | 1.01 | 3.94M | 267k | 0.936 | 0.634 | 0.210 | 0.462 | 1.01 | 1.33M | 253k | 1.01 | 1.000 | 1.000 | 0.000 | 0.060 | 0.760 |
| 67 | 1.000 | 0.500 | 0.210 | 0.125 | 0.47 | 18.3M | 271k | 0.997 | 0.525 | 0.210 | 0.215 | 0.47 | 6.18M | 270k | 0.47 | 1.000 | 1.000 | 0.000 | 0.000 | 0.760 |
| 68 | 1.000 | 0.517 | 0.210 | 0.192 | 0.72 | 7.74M | 271k | 0.970 | 0.568 | 0.210 | 0.330 | 0.72 | 2.62M | 263k | 0.72 | 1.000 | 1.000 | 0.000 | 0.000 | 0.760 |
| 69 | 0.985 | 0.543 | 0.210 | 0.269 | 1.01 | 3.94M | 267k | 0.936 | 0.634 | 0.210 | 0.462 | 1.01 | 1.33M | 253k | 1.01 | 1.000 | 1.000 | 0.000 | 0.060 | 0.760 |
| 70 | 0.984 | 0.544 | 0.210 | 0.272 | 1.02 | 3.86M | 267k | 0.934 | 0.637 | 0.210 | 0.467 | 1.02 | 1.30M | 253k | 1.02 | 1.000 | 1.000 | 0.000 | 0.060 | 0.760 |
| 71 | 1.000 | 0.518 | 0.210 | 0.194 | 0.73 | 7.53M | 271k | 0.969 | 0.570 | 0.210 | 0.334 | 0.73 | 2.55M | 263k | 0.73 | 1.000 | 1.000 | 0.000 | 0.000 | 0.760 |
| 72 | 1.000 | 0.498 | 0.210 | 0.117 | 0.44 | 20.7M | 271k | 1.000 | 0.521 | 0.210 | 0.202 | 0.44 | 7.00M | 271k | 0.44 | 1.000 | 1.000 | 0.000 | 0.000 | 0.760 |
| 73 | 1.000 | 0.500 | 0.210 | 0.125 | 0.47 | 18.3M | 271k | 0.997 | 0.525 | 0.210 | 0.215 | 0.47 | 6.18M | 270k | 0.47 | 1.000 | 1.000 | 0.000 | 0.000 | 0.760 |
| 74 | 1.000 | 0.485 | 0.210 | 0.045 | 0.17 | 143M | 271k | 1.000 | 0.490 | 0.210 | 0.077 | 0.17 | 48.3M | 271k | 0.17 | 1.000 | 1.000 | 0.000 | 0.000 | 0.760 |
| 75 | 1.000 | 0.516 | 0.210 | 0.188 | 0.71 | 8.07M | 271k | 0.972 | 0.565 | 0.210 | 0.323 | 0.71 | 2.73M | 263k | 0.71 | 1.000 | 1.000 | 0.000 | | |

| | | | | | | | | | | | | | | | | | | | | |
|----|-------|-------|-------|-------|------|-------|------|-------|-------|-------|-------|------|-------|------|------|-------|-------|-------|-------|-------|
| 84 | 0.985 | 0.543 | 0.210 | 0.269 | 1.01 | 3.94M | 267k | 0.936 | 0.634 | 0.210 | 0.462 | 1.01 | 1.33M | 253k | 1.01 | 1.000 | 1.000 | 0.000 | 0.060 | 0.760 |
| 85 | 1.000 | 0.517 | 0.210 | 0.192 | 0.72 | 7.74M | 271k | 0.970 | 0.568 | 0.210 | 0.330 | 0.72 | 2.62M | 263k | 0.72 | 1.000 | 1.000 | 0.000 | 0.000 | 0.760 |
| 86 | 1.000 | 0.499 | 0.210 | 0.119 | 0.45 | 20.1M | 271k | 0.999 | 0.521 | 0.210 | 0.205 | 0.45 | 6.80M | 271k | 0.45 | 1.000 | 1.000 | 0.000 | 0.000 | 0.760 |
| 87 | 1.000 | 0.482 | 0.210 | 0.023 | 0.09 | 550M | 271k | 1.000 | 0.484 | 0.210 | 0.039 | 0.09 | 186M | 271k | 0.09 | 1.000 | 1.000 | 0.000 | 0.000 | 0.760 |
| 88 | 0.998 | 0.523 | 0.210 | 0.210 | 0.79 | 6.42M | 270k | 0.963 | 0.582 | 0.210 | 0.362 | 0.79 | 2.17M | 261k | 0.79 | 1.000 | 1.000 | 0.000 | 0.000 | 0.760 |
| 89 | 1.000 | 0.497 | 0.210 | 0.112 | 0.42 | 22.8M | 271k | 1.000 | 0.518 | 0.210 | 0.192 | 0.42 | 7.69M | 271k | 0.42 | 1.000 | 1.000 | 0.000 | 0.000 | 0.760 |
| 90 | 1.000 | 0.501 | 0.210 | 0.130 | 0.49 | 16.7M | 271k | 0.995 | 0.528 | 0.210 | 0.224 | 0.49 | 5.65M | 269k | 0.49 | 1.000 | 1.000 | 0.000 | 0.000 | 0.760 |
| 91 | 1.000 | 0.516 | 0.210 | 0.188 | 0.71 | 8.07M | 271k | 0.972 | 0.565 | 0.210 | 0.323 | 0.71 | 2.73M | 263k | 0.71 | 1.000 | 1.000 | 0.000 | 0.000 | 0.760 |
| 92 | 1.000 | 0.485 | 0.210 | 0.045 | 0.17 | 137M | 271k | 1.000 | 0.490 | 0.210 | 0.078 | 0.17 | 46.5M | 271k | 0.17 | 1.000 | 1.000 | 0.000 | 0.000 | 0.760 |
| 93 | 1.000 | 0.499 | 0.210 | 0.119 | 0.45 | 20.1M | 271k | 0.999 | 0.521 | 0.210 | 0.205 | 0.45 | 6.80M | 271k | 0.45 | 1.000 | 1.000 | 0.000 | 0.000 | 0.760 |
| 94 | 0.985 | 0.542 | 0.210 | 0.266 | 1.00 | 4.01M | 267k | 0.937 | 0.632 | 0.210 | 0.458 | 1.00 | 1.36M | 254k | 1.00 | 1.000 | 1.000 | 0.000 | 0.060 | 0.760 |
| 95 | 0.996 | 0.526 | 0.210 | 0.218 | 0.82 | 5.97M | 270k | 0.959 | 0.589 | 0.210 | 0.375 | 0.82 | 2.02M | 260k | 0.82 | 1.000 | 1.000 | 0.000 | 0.060 | 0.760 |
| 96 | 0.994 | 0.529 | 0.210 | 0.229 | 0.86 | 5.43M | 269k | 0.954 | 0.598 | 0.210 | 0.394 | 0.86 | 1.84M | 259k | 0.86 | 1.000 | 1.000 | 0.000 | 0.060 | 0.760 |
| 97 | 0.994 | 0.529 | 0.210 | 0.229 | 0.86 | 5.43M | 269k | 0.954 | 0.598 | 0.210 | 0.394 | 0.86 | 1.84M | 259k | 0.86 | 1.000 | 1.000 | 0.000 | 0.060 | 0.760 |
| 98 | 1.000 | 0.500 | 0.210 | 0.125 | 0.47 | 18.3M | 271k | 0.997 | 0.525 | 0.210 | 0.215 | 0.47 | 6.18M | 270k | 0.47 | 1.000 | 1.000 | 0.000 | 0.000 | 0.760 |

– Pilastri Piano:1 Verifiche Instabilità Acciaio

| Pilastro N | χ | Compressione con sbandamento lungo Z | | | | | | χ | Compressione con sbandamento lungo Y | | | | | | Intabilità flesso-torsionale | | | | | |
|---------------|-------|--------------------------------------|-------|----------------|-----------------------|------------------------|--------------------------|-------|--------------------------------------|-------|----------------|-----------------------|------------------------|--------------------------|------------------------------|-------|-------|-------|-----------------------|-------|
| | | Φ | α | λ ⁻ | I ₀ [m] | N _{cr} [N] | N _{b,Rd} [N] | | Φ | α | λ ⁻ | I ₀ [m] | N _{cr} [N] | N _{b,Rd} [N] | L _{cr} [m] | k | kw | c2 | z _g [m] | αLT |
| 7 | 0.910 | 0.684 | 0.210 | 0.543 | 2.92 | 2.56M | 655k | 0.910 | 0.684 | 0.210 | 0.543 | 2.92 | 2.56M | 655k | 2.92 | 1.000 | 1.000 | 0.000 | 0.000 | 0.760 |
| 11 | 0.910 | 0.684 | 0.210 | 0.543 | 2.92 | 2.56M | 655k | 0.910 | 0.684 | 0.210 | 0.543 | 2.92 | 2.56M | 655k | 2.92 | 1.000 | 1.000 | 0.000 | 0.000 | 0.760 |
| 21 | 0.910 | 0.684 | 0.210 | 0.543 | 2.92 | 2.56M | 655k | 0.910 | 0.684 | 0.210 | 0.543 | 2.92 | 2.56M | 655k | 2.92 | 1.000 | 1.000 | 0.000 | 0.000 | 0.760 |
| 25 | 0.910 | 0.684 | 0.210 | 0.543 | 2.92 | 2.56M | 655k | 0.910 | 0.684 | 0.210 | 0.543 | 2.92 | 2.56M | 655k | 2.92 | 1.000 | 1.000 | 0.000 | 0.000 | 0.760 |

Legenda tabella Verifiche Instabilità Acciaio Cmb

Le formule e i paragrafi indicati di seguito, se non espressamente indicato, fanno riferimento alle NTC18, in particolare al §4.2.4.1.3, e alla CNTC18

- **Fam-Cmb:** Combinazione di carico più gravosa per una delle verifiche di instabilità.
- **dir Forte:** Direzione forte.
- **χLT:** fattore definito nella [4.2.50].
- **ΦLT:** coefficiente definito nel §4.2.4.1.3.
- **λ⁻LT:** Snellezza normalizzata calcolata come indicano nelle [4.2.51].
- **ψ:** Calcolato con la [C4.2.31] se la trave è senza carico, calcolato con la (6.1) della presente relazione nel caso generale.
- **Mcr:** Momento critico elastico per instabilità torsionale. Calcolato con la [(F.4) ENV 1993-1-1], che si riduce alla [C4.2.30] se c2 = 0 e se k = kw = 1. Vedere §7.3 della presente relazione.
- **Mb,Rd:** Momento resistente di progetto per l'instabilità.
- **Inst.Presso-Fless:** Verifica instabilità membrature inflesse e compresse effettuata con il Metodo A § C4.2.4.1.3.3.1 CNTC18
- **Ned:** Forza di compressione, positiva se di compressione.
- **Myeq,Ed e Mzeq,Ed:** Valori equivalenti dei momenti flettenti da considerare nella verifica.
- **cC-Z:** Coefficiente di verifica valutato con la [4.2.41] per sbandamento lungo l'asse Z.
- **cC-Y:** Coefficiente di verifica valutato con la [4.2.41] per sbandamento lungo l'asse Y.
- **cMy:** Coefficiente di verifica valutato con la [4.2.48] per il momento My, se My è il momento nella direzione forte.
- **cMz:** Coefficiente di verifica valutato con la [4.2.48] per il momento Mz, se Mz è il momento nella direzione forte.
- **Vy-Vz-Mt Inst.:** Coefficiente di verifica di instabilità degli elementi presso-inflessi calcolato con la [C4.2.36].

– Travi Piano:1 Verifiche Instabilità Acciaio Cmb

| Instabilità Flesso-Torsionale | | | | | | | | | | | | | | | | | | | Inst.Presso-Flessionale | | | | Verifiche | | | | N-My-Mz Inst. | Tot Inst. | Tot Tot |
|-------------------------------|-----|-----|--------------|-------|-------|-------------------|-------|-------------|--------------|------------|-----------------|-----------------|---------------|---------------|--------------|--------------|-------|-------|-------------------------|--|--|--|-----------|--|--|--|------------------|--------------|------------|
| Trave N | Fam | Cmb | Dir forte | χLT | ΦLT | λ ⁻ LT | ψ | Mcr [Nm] | MbRd [Nm] | Ned [N] | Myeq,Ed [Nm] | Mzeq,Ed [Nm] | cC-Z inst. | cC-Y inst. | cMy inst. | cMz inst. | | | | | | | | | | | | | |
| 1 | 1 | 3 | VzMy | 1.000 | 0.455 | 0.075 | 1.779 | 1.97M | 10.5k | 5.26k | 238 | 183 | 0.019 | 0.019 | 0.038 | | 0.074 | 0.074 | Si | | | | | | | | | | |
| 1 | 1 | 1 | VzMy | 1.000 | 0.455 | 0.075 | 1.779 | 1.97M | 10.5k | 4.93k | 238 | 157 | 0.018 | 0.018 | 0.038 | | 0.068 | 0.068 | Si | | | | | | | | | | |
| 1 | 1 | 4 | VzMy | 1.000 | 0.455 | 0.075 | 1.779 | 1.97M | 10.5k | 5.13k | 238 | 195 | 0.018 | 0.018 | 0.038 | | 0.075 | 0.075 | Si | | | | | | | | | | |
| 2 | 1 | 2 | VzMy | 1.000 | 0.472 | 0.111 | 2.239 | 900k | 10.5k | 5.07k | 2.17k | 34.9 | 0.019 | 0.020 | 0.460 | | 0.234 | 0.460 | Si | | | | | | | | | | |
| 2 | 1 | 4 | VzMy | 1.000 | 0.473 | 0.113 | 2.138 | 860k | 10.5k | 4.97k | 2.76k | 34.7 | 0.018 | 0.019 | 0.550 | | 0.289 | 0.550 | Si | | | | | | | | | | |
| 2 | 8 | 4 | VzMy | 1.000 | 0.478 | 0.122 | 1.837 | 738k | 10.5k | 3.77k | 3.03k | 28.1 | 0.014 | 0.014 | 0.479 | | 0.310 | 0.479 | Si | | | | | | | | | | |
| 3 | 1 | 2 | VzMy | 1.000 | 0.491 | 0.147 | 1.247 | 506k | 10.5k | 11.5k | 2.39k | 24.9 | 0.043 | 0.045 | 0.269 | | 0.278 | 0.278 | Si | | | | | | | | | | |
| 3 | 1 | 3 | VzMy | 1.000 | 0.491 | 0.147 | 1.247 | 506k | 10.5k | 11.2k | 2.50k | 23.9 | 0.042 | 0.044 | 0.282 | | 0.288 | 0.288 | Si | | | | | | | | | | |
| 3 | 1 | 1 | VzMy | 1.000 | 0.492 | 0.150 | 1.203 | 488k | 10.5k | 11.3k | 2.50k | 26.9 | 0.042 | 0.044 | 0.275 | | 0.288 | 0.288 | Si | | | | | | | | | | |
| 4 | 1 | 2 | VzMy | 1.000 | 0.491 | 0.147 | 1.257 | 505k | 10.5k | 11.4k | 2.37k | 24.7 | 0.042 | 0.044 | 0.269 | | 0.276 | 0.276 | Si | | | | | | | | | | |
| 4 | 1 | 3 | VzMy | 1.000 | 0.491 | 0.147 | 1.257 | 505k | 10.5k | 11.1k | 2.49k | 23.7 | 0.041 | 0.043 | 0.282 | | 0.286 | 0.286 | Si | | | | | | | | | | |
| 4 | 1 | 4 | VzMy | 1.000 | 0.492 | 0.150 | 1.212 | 487k | 10.5k | 11.2k | 2.49k | 26.7 | 0.042 | 0.044 | 0.274 | | 0.287 | 0.287 | Si | | | | | | | | | | |
| 5 | 1 | 2 | VzMy | 1.000 | 0.472 | 0.110 | 2.224 | 903k | 10.5k | 5.16k | 2.21k | 35.4 | 0.019 | 0.020 | 0.463 | | 0.237 | 0.463 | Si | | | | | | | | | | |
| 5 | 1 | 1 | VzMy | 1.000 | 0.473 | 0.113 | 2.126 | 863k | 10.5k | 5.07k | 2.80k | 35.2 | 0.018 | 0.019 | 0.553 | | 0.293 | 0.553 | Si | | | | | | | | | | |
| 5 | 8 | 4 | VzMy | 1.000 | 0.478 | 0.122 | 1.830 | 743k | 10.5k | 3.83k | 3.06k | 28.6 | 0.014 | 0.015 | 0.481 | | 0.312 | 0.481 | Si | | | | | | | | | | |
| 6 | 8 | 2 | VzMy | 1.000 | 0.461 | 0.087 | 1.253 | 1.47M | 10.5k | 370 | 1.10k | 205 | 0.001 | 0.001 | 0.112 | | 0.142 | 0.142 | Si | | | | | | | | | | |
| 6 | 8 | 1 | VzMy | 1.000 | 0.461 | 0.087 | 1.253 | 1.47M | 10.5k | -3.17k | 1.10k | 205 | 0.000 | 0.000 | 0.112 | | 0.129 | 0.129 | Si | | | | | | | | | | |
| 7 | 1 | 4 | VzMy | 1.000 | 0.456 | 0.076 | 1.764 | 1.90M | 10.5k | 4.19k | 374 | 43.3 | 0.015 | 0.015 | 0.059 | | 0.058 | 0.059 | Si | | | | | | | | | | |
| 7 | 8 | 6 | VzMy | 1.000 | 0.456 | 0.076 | 1.764 | 1.90M | 10.5k | 2.07k | 181 | 346 | 0.007 | 0.007 | 0.028 | | 0.085 | 0.085 | Si | | | | | | | | | | |
| 8 | 1 | 1 | VzMy | 1.000 | 0.472 | 0.110 | 2.265 | 910k | 10.5k | 3.19k | 570 | 6.43 | 0.011 | 0.012 | 0.107 | | 0.068 | 0.107 | Si | | | | | | | | | | |
| 8 | 1 | 4 | VzMy | 1.000 | 0.472 | 0.111 | 2.234 | 898k | 10.5k | 2.89k | 692 | 6.25 | 0.010 | 0.011 | 0.129 | | 0.078 | 0.129 | Si | | | | | | | | | | |
| 8 | 8 | 4 | VzMy | 1.000 | 0.487 | 0.141 | 1.377 | 554k | 10.5k | 1.87k | 975 | 26.4 | 0.007 | 0.007 | 0.119 | | 0.105 | 0.119 | Si | | | | | | | | | | |
| 9 | 1 | 1 | VzMy | 1.000 | 0.460 | 0.084 | 1.992 | 1.54M | 10.5k | 5.50k | 391 | 48.0 | 0.020 | 0.020 | 0.049 | | 0.066 | 0.066 | Si | | | | | | | | | | |
| 9 | 1 | 3 | VzMy | 1.000 | 0.460 | 0.084 | 1.992 | 1.54M | 10.5k | 5.50k | 391 | 83.1 | 0.020 | 0.020 | 0.049 | | 0.072 | 0.072 | Si | | | | | | | | | | |
| 9 | 1 | 4 | VzMy | 1.000 | 0.460 | 0.084 | 1.992 | 1.54M | 10.5k | 5.45k | 391 | 127 | 0.020 | 0.020 | 0.049 | | 0.079 | 0.079 | Si | | | | | | | | | | |
| 10 | 1 | 1 | VzMy | 1.000 | 0.485 | 0.136 | 1.473 | 592k | 10.5k | 2.59k | 1.95k | 0.685 | 0.009 | 0.010 | 0.256 | | 0.196 | 0.256 | Si | | | | | | | | | | |
| 10 | 1 | 4 | VzMy | 1.000 | 0.489 | 0.144 | 1.316 | 529k | 10.5k | 2.55k | 2.17k | 0.753 | 0.009 | 0.010 | 0.256 | | 0.217 | 0.256 | Si | | | | | | | | | | |
| 11 | 1 | 4 | VzMy | 1.000 | 0.471 | 0.109 | 2.267 | 920k | 10.5k | 3.24k | 553 | 6.43 | 0.012 | 0.012 | 0.104 | | 0.066 | 0.104 | Si | | | | | | | | | | |
| 11 | 1 | 1 | VzMy | 1.000 | 0.472 | 0.111 | 2.200 | 893k | 10.5k | 2.94k | 710 | 6.23 | 0.011 | 0.011 | 0.130 | | 0.080 | 0.130 | Si | | | | | | | | | | |
| 11 | 8 | 4 | VzMy | 1.000 | 0.488 | 0.141 | 1.361 | 553k | 10.5k | 1.90k | 989 | 26.5 | 0.007 | 0.007 | 0.120 | | 0.106 | 0.120 | Si | | | | | | | | | | |
| 12 | 1 | 12 | VzMy | 1.000 | 0.478 | 0.123 | 1.015 | 730k | 10.5k | 747 | 285 | 23.6 | 0.002 | 0.002 | 0.027 | | 0.034 | 0.034 | Si | | | | | | | | | | |
| 12 | 1 | 1 | VzMy | 1.000 | 0.470 | 0.106 | 1.347 | 969k | 10.5k | -240 | 651 | 29.4 | 0.000 | 0.000 | 0.079 | | 0.066 | 0.079 | Si | | | | | | | | | | |
| 12 | 8 | 8 | VzMy | 1.000 | 0.469 | 0.105 | 1.396 | 1.00M | 10.5k | 158 | 387 | 263 | 0.001 | 0.001 | 0.047 | | 0.083 | 0.083 | Si | | | | | | | | | | |
| 13 | 1 | 2 | VzMy | 1.000 | 0.457 | 0.078 | 1.777 | 1.82M | 10.5k | 4.96k | 252 | 87.8 | 0.018 | 0.018 | 0.040 | | 0.057 | 0.057 | Si | | | | | | | | | | |
| 13 | 1 | 1 | VzMy | 1.000 | 0.457 | 0.078 | 1.777 | 1.82M | 10.5k | 4.65k | 252 | 67.4 | 0.017 | 0.017 | 0.040 | | 0.053 | 0.053 | Si | | | | | | | | | | |
| 13 | 1 | 4 | VzMy | 1.000 | 0.457 | 0.078 | 1.777 | 1.82M | 10.5k | 4.77k | 252 | 102 | 0.017 | 0.017 | 0.040 | | 0.059 | 0.059 | Si | | | | | | | | | | |
| 14 | 1 | 3 | VzMy | 1.000 | 0.472 | 0.110 | 2.250 | 904k | 10.5k | 5.21k | 2.03k | 21.6 | 0.019 | 0.020 | 0.432 | | 0.218 | 0.432 | Si | | | | | | | | | | |
| 14 | 1 | 4 | VzMy | 1.000 | 0.473 | 0.113 | 2.145 | 862k | 10.5k | 5.09k | 2.61k | 22.0 | 0.019 | 0.020 | 0.522 | | 0.273 | 0.522 | Si | | | | | | | | | | |
| 14 | 8 | 4 | VzMy | 1.000 | 0.478 | 0.122 | 1.841 | 740k | 10.5k | 3.79k | 2.93k | 8.20 | 0.014 | 0.014 | 0.461 | | 0.296 | 0.461 | Si | | | | | | | | | | |
| 15 | 1 | 3 | VzMy | 1.000 | 0.491 | 0.148 | 1.235 | 501k | 10.5k | 11.3k | 2.25k | 23.7 | 0.042 | 0.044 | 0.252 | | 0.264 | 0.264 | Si | | | | | | | | | | |
| 15 | 1 | 2 | VzMy | 1.000 | 0.491 | 0.148 | 1.234 | 501k | 10.5k | 11.0k | 2.36k | 22.8 | 0.041 | 0.043 | 0.264 | | 0.274 | 0.274 | Si | | | | | | | | | | |
| 15 | 1 | 1 | VzMy | 1.000 | 0.493 | 0.151 | 1.190 | 483k | 10.5k | 11.1k | 2.36k | 25.8 | 0.041 | 0.043 | 0.257 | | 0.274 | 0.274 | Si | | | | | | | | | | |
| 16 | 1 | 3 | VzMy | 1.000 | 0.491 | 0.148 | 1.245 | 501k | 10.5k | 11.2k | 2.24k | 23.6 | 0.042 | 0.044 | 0.252 | | 0.263 | 0.263 | Si | | | | | | | | | | |
| 16 | 1 | 2 | VzMy | 1.000 | 0.491 | 0.148 | 1.244 | 500k | 10.5k | 11.0k | 2.35k | 22.8 | 0.041 | 0.043 | 0.264 | | 0.272 | 0.272 | Si | | | | | | | | | | |
| 16 | 1 | 4 | VzMy | 1.000 | 0.493 | 0.151 | 1.200 | 482k | 10.5k | 11.0k | 2.35k | 25.7 | 0.041 | 0.043 | 0.257 | | 0.273 | 0.273 | Si | | | | | | | | | | |

| | | | | | | | | | | | | | | | | | | |
|----|---|---|------|-------|-------|-------|-------|-------|-------|--------|-------|-------|-------|-------|-------|-------|-------|----|
| 17 | 1 | 3 | VzMy | 1.000 | 0.472 | 0.110 | 2.234 | 907k | 10.5k | 5.32k | 2.06k | 22.6 | 0.019 | 0.021 | 0.435 | 0.222 | 0.435 | Si |
| 17 | 1 | 1 | VzMy | 1.000 | 0.473 | 0.113 | 2.132 | 866k | 10.5k | 5.19k | 2.65k | 23.2 | 0.019 | 0.020 | 0.525 | 0.277 | 0.525 | Si |
| 17 | 8 | 4 | VzMy | 1.000 | 0.478 | 0.122 | 1.834 | 744k | 10.5k | 3.84k | 2.95k | 8.34 | 0.014 | 0.015 | 0.463 | 0.298 | 0.463 | Si |
| 18 | 8 | 2 | VzMy | 1.000 | 0.459 | 0.082 | 1.265 | 1.62M | 10.5k | 617 | 1.07k | 218 | 0.002 | 0.002 | 0.109 | 0.142 | 0.142 | Si |
| 18 | 8 | 1 | VzMy | 1.000 | 0.459 | 0.082 | 1.265 | 1.62M | 10.5k | -3.46k | 1.07k | 218 | 0.000 | 0.000 | 0.109 | 0.127 | 0.127 | Si |
| 19 | 1 | 2 | VzMy | 1.000 | 0.461 | 0.087 | 1.995 | 1.46M | 10.5k | 6.14k | 434 | 104 | 0.022 | 0.022 | 0.055 | 0.082 | 0.082 | Si |
| 19 | 1 | 1 | VzMy | 1.000 | 0.461 | 0.087 | 1.995 | 1.46M | 10.5k | 6.02k | 434 | 144 | 0.022 | 0.022 | 0.055 | 0.089 | 0.089 | Si |
| 20 | 1 | 1 | VzMy | 1.000 | 0.475 | 0.116 | 2.300 | 813k | 10.5k | -7.25k | 1.66k | 29.8 | 0.000 | 0.000 | 0.211 | 0.134 | 0.211 | Si |
| 20 | 8 | 7 | VzMy | 1.000 | 0.479 | 0.123 | 2.042 | 722k | 10.5k | -4.20k | 2.72k | 74.7 | 0.000 | 0.000 | 0.346 | 0.255 | 0.346 | Si |
| 20 | 8 | 8 | VzMy | 1.000 | 0.479 | 0.123 | 2.042 | 722k | 10.5k | -3.21k | 2.72k | 74.7 | 0.000 | 0.000 | 0.346 | 0.259 | 0.346 | Si |
| 21 | 1 | 1 | VzMy | 1.000 | 0.475 | 0.117 | 2.300 | 806k | 10.5k | -6.99k | 1.44k | 12.9 | 0.000 | 0.000 | 0.183 | 0.110 | 0.183 | Si |
| 21 | 8 | 7 | VzMy | 1.000 | 0.478 | 0.123 | 2.072 | 726k | 10.5k | -4.13k | 2.62k | 68.9 | 0.000 | 0.000 | 0.334 | 0.245 | 0.334 | Si |
| 21 | 8 | 8 | VzMy | 1.000 | 0.478 | 0.123 | 2.072 | 726k | 10.5k | -3.01k | 2.62k | 68.9 | 0.000 | 0.000 | 0.334 | 0.250 | 0.334 | Si |
| 22 | 1 | 1 | VzMy | 1.000 | 0.459 | 0.082 | 1.665 | 1.62M | 10.5k | -6.69k | 2.10k | 163 | 0.000 | 0.000 | 0.312 | 0.204 | 0.312 | Si |
| 22 | 1 | 3 | VzMy | 1.000 | 0.458 | 0.082 | 1.691 | 1.65M | 10.5k | -5.80k | 2.36k | 141 | 0.000 | 0.000 | 0.356 | 0.228 | 0.356 | Si |
| 23 | 1 | 1 | VzMy | 1.000 | 0.467 | 0.100 | 2.217 | 1.10M | 10.5k | -7.83k | 776 | 37.1 | 0.000 | 0.000 | 0.098 | 0.050 | 0.098 | Si |
| 23 | 1 | 4 | VzMy | 1.000 | 0.467 | 0.100 | 2.217 | 1.10M | 10.5k | -6.86k | 776 | 67.8 | 0.000 | 0.000 | 0.098 | 0.059 | 0.098 | Si |
| 24 | 8 | 2 | VzMy | 1.000 | 0.475 | 0.116 | 2.300 | 813k | 10.5k | 1.35k | 333 | 24.9 | 0.005 | 0.007 | 0.042 | 0.041 | 0.042 | Si |
| 24 | 1 | 3 | VzMy | 1.000 | 0.475 | 0.116 | 2.300 | 813k | 10.5k | 642 | 1.47k | 16.7 | 0.002 | 0.003 | 0.187 | 0.146 | 0.187 | Si |
| 25 | 8 | 2 | VzMy | 1.000 | 0.476 | 0.118 | 2.238 | 784k | 10.5k | 1.27k | 324 | 22.1 | 0.004 | 0.007 | 0.041 | 0.039 | 0.041 | Si |
| 25 | 1 | 2 | VzMy | 1.000 | 0.475 | 0.117 | 2.300 | 806k | 10.5k | 539 | 1.37k | 15.8 | 0.002 | 0.003 | 0.174 | 0.136 | 0.174 | Si |
| 26 | 1 | 1 | VzMy | 1.000 | 0.479 | 0.124 | 1.354 | 712k | 10.5k | -4.79k | 1.44k | 70.2 | 0.000 | 0.000 | 0.150 | 0.131 | 0.150 | Si |
| 26 | 1 | 2 | VzMy | 1.000 | 0.477 | 0.121 | 1.424 | 748k | 10.5k | -4.93k | 1.55k | 58.6 | 0.000 | 0.000 | 0.174 | 0.139 | 0.174 | Si |
| 27 | 1 | 1 | VzMy | 1.000 | 0.471 | 0.108 | 2.300 | 943k | 10.5k | -12.5k | 1.10k | 2.33 | 0.000 | 0.000 | 0.140 | 0.056 | 0.140 | Si |
| 27 | 1 | 3 | VzMy | 1.000 | 0.471 | 0.108 | 2.300 | 943k | 10.5k | -12.2k | 1.10k | 0.333 | 0.000 | 0.000 | 0.140 | 0.057 | 0.140 | Si |
| 28 | 1 | 2 | VzMy | 1.000 | 0.475 | 0.116 | 2.300 | 813k | 10.5k | 2.53k | 489 | 66.6m | 0.009 | 0.014 | 0.062 | 0.056 | 0.062 | Si |
| 28 | 1 | 3 | VzMy | 1.000 | 0.475 | 0.116 | 2.300 | 813k | 10.5k | 2.34k | 586 | 71.3m | 0.008 | 0.013 | 0.074 | 0.065 | 0.074 | Si |
| 29 | 1 | 3 | VzMy | 1.000 | 0.475 | 0.117 | 2.300 | 806k | 10.5k | 2.38k | 476 | 74.6m | 0.009 | 0.013 | 0.060 | 0.055 | 0.060 | Si |
| 29 | 1 | 2 | VzMy | 1.000 | 0.475 | 0.117 | 2.300 | 806k | 10.5k | 2.19k | 566 | 67.0m | 0.008 | 0.012 | 0.072 | 0.062 | 0.072 | Si |
| 30 | 1 | 1 | VzMy | 1.000 | 0.475 | 0.116 | 1.550 | 815k | 10.5k | -9.45k | 1.26k | 8.63 | 0.000 | 0.000 | 0.159 | 0.085 | 0.159 | Si |
| 30 | 1 | 2 | VzMy | 1.000 | 0.475 | 0.117 | 1.528 | 803k | 10.5k | -9.58k | 1.32k | 0.259 | 0.000 | 0.000 | 0.162 | 0.088 | 0.162 | Si |
| 31 | 1 | 1 | VzMy | 1.000 | 0.467 | 0.100 | 2.217 | 1.09M | 10.5k | -6.88k | 777 | 67.3 | 0.000 | 0.000 | 0.099 | 0.059 | 0.099 | Si |
| 32 | 8 | 2 | VzMy | 1.000 | 0.475 | 0.116 | 2.300 | 813k | 10.5k | 1.34k | 335 | 10.6 | 0.005 | 0.007 | 0.042 | 0.039 | 0.042 | Si |
| 32 | 1 | 3 | VzMy | 1.000 | 0.475 | 0.116 | 2.300 | 813k | 10.5k | 597 | 1.48k | 16.8 | 0.002 | 0.003 | 0.188 | 0.146 | 0.188 | Si |
| 33 | 8 | 2 | VzMy | 1.000 | 0.476 | 0.118 | 2.242 | 786k | 10.5k | 1.26k | 326 | 8.24 | 0.004 | 0.007 | 0.041 | 0.037 | 0.041 | Si |
| 33 | 1 | 2 | VzMy | 1.000 | 0.475 | 0.117 | 2.300 | 806k | 10.5k | 501 | 1.38k | 16.0 | 0.001 | 0.002 | 0.175 | 0.136 | 0.175 | Si |
| 34 | 1 | 1 | VzMy | 1.000 | 0.476 | 0.119 | 1.481 | 778k | 10.5k | -4.53k | 1.47k | 41.2 | 0.000 | 0.000 | 0.174 | 0.130 | 0.174 | Si |
| 34 | 1 | 2 | VzMy | 1.000 | 0.477 | 0.121 | 1.431 | 752k | 10.5k | -5.01k | 1.55k | 58.4 | 0.000 | 0.000 | 0.175 | 0.138 | 0.175 | Si |
| 35 | 1 | 2 | VzMy | 1.000 | 0.460 | 0.085 | 1.990 | 1.51M | 10.5k | 6.22k | 407 | 109 | 0.022 | 0.023 | 0.051 | 0.081 | 0.081 | Si |
| 35 | 1 | 4 | VzMy | 1.000 | 0.460 | 0.085 | 1.990 | 1.51M | 10.5k | 6.10k | 407 | 151 | 0.022 | 0.022 | 0.051 | 0.088 | 0.088 | Si |
| 36 | 1 | 1 | VzMy | 1.000 | 0.475 | 0.116 | 2.300 | 813k | 10.5k | -7.46k | 1.74k | 34.2 | 0.000 | 0.000 | 0.221 | 0.141 | 0.221 | Si |
| 36 | 8 | 7 | VzMy | 1.000 | 0.479 | 0.123 | 2.040 | 721k | 10.5k | -4.23k | 2.73k | 103 | 0.000 | 0.000 | 0.347 | 0.261 | 0.347 | Si |
| 36 | 8 | 8 | VzMy | 1.000 | 0.479 | 0.123 | 2.040 | 721k | 10.5k | -3.21k | 2.73k | 103 | 0.000 | 0.000 | 0.347 | 0.265 | 0.347 | Si |
| 37 | 1 | 1 | VzMy | 1.000 | 0.475 | 0.117 | 2.300 | 806k | 10.5k | -7.20k | 1.53k | 19.6 | 0.000 | 0.000 | 0.195 | 0.120 | 0.195 | Si |
| 37 | 8 | 7 | VzMy | 1.000 | 0.478 | 0.123 | 2.070 | 726k | 10.5k | -4.13k | 2.63k | 89.5 | 0.000 | 0.000 | 0.335 | 0.250 | 0.335 | Si |
| 37 | 8 | 8 | VzMy | 1.000 | 0.478 | 0.123 | 2.070 | 726k | 10.5k | -3.05k | 2.63k | 89.5 | 0.000 | 0.000 | 0.335 | 0.254 | 0.335 | Si |
| 38 | 1 | 1 | VzMy | 1.000 | 0.458 | 0.081 | 1.788 | 1.67M | 10.5k | -7.65k | 2.03k | 133 | 0.000 | 0.000 | 0.321 | 0.188 | 0.321 | Si |
| 38 | 1 | 3 | VzMy | 1.000 | 0.459 | 0.083 | 1.729 | 1.61M | 10.5k | -5.86k | 2.31k | 135 | 0.000 | 0.000 | 0.356 | 0.222 | 0.356 | Si |
| 55 | 8 | 2 | VzMy | 1.000 | 0.461 | 0.086 | 1.259 | 1.47M | 10.5k | 339 | 1.12k | 220 | 0.001 | 0.001 | 0.113 | 0.146 | 0.146 | Si |
| 55 | 8 | 1 | VzMy | 1.000 | 0.461 | 0.086 | 1.259 | 1.47M | 10.5k | -3.28k | 1.12k | 220 | 0.000 | 0.000 | 0.113 | 0.133 | 0.133 | Si |
| 56 | 1 | 3 | VzMy | 1.000 | 0.455 | 0.075 | 1.779 | 1.97M | 10.5k | 5.10k | 238 | 196 | 0.018 | 0.018 | 0.038 | 0.075 | 0.075 | Si |
| 56 | 1 | 4 | VzMy | 1.000 | 0.455 | 0.075 | 1.779 | 1.97M | 10.5k | 4.78k | 238 | 168 | 0.017 | 0.017 | 0.038 | 0.069 | 0.069 | Si |
| 56 | 1 | 1 | VzMy | 1.000 | 0.455 | 0.075 | 1.779 | 1.97M | 10.5k | 4.99k | 238 | 209 | 0.018 | 0.018 | 0.038 | 0.077 | 0.077 | Si |
| 57 | 1 | 9 | VzMy | 1.000 | 0.478 | 0.123 | 1.018 | 732k | 10.5k | 724 | 272 | 24.2 | 0.002 | 0.002 | 0.026 | 0.032 | 0.032 | Si |
| 57 | 1 | 4 | VzMy | 1.000 | 0.470 | 0.106 | 1.356 | 975k | 10.5k | -257 | 635 | 30.2 | 0.000 | 0.000 | 0.078 | 0.065 | 0.078 | Si |
| 57 | 8 | 8 | VzMy | 1.000 | 0.469 | 0.104 | 1.406 | 1.01M | 10.5k | 146 | 378 | 264 | 0.001 | 0.001 | 0.047 | 0.082 | 0.082 | Si |
| 58 | 1 | 1 | VzMy | 1.000 | 0.456 | 0.077 | 1.764 | 1.85M | 10.5k | 4.22k | 387 | 40.9 | 0.015 | 0.015 | 0.061 | 0.059 | 0.061 | Si |
| 58 | 8 | 6 | VzMy | 1.000 | 0.456 | 0.077 | 1.764 | 1.85M | 10.5k | 2.09k | 187 | 337 | 0.007 | 0.007 | 0.029 | 0.084 | 0.084 | Si |
| 59 | 8 | 2 | VzMy | 1.000 | 0.459 | 0.082 | 1.272 | 1.63M | 10.5k | 574 | 1.08k | 217 | 0.002 | 0.002 | 0.109 | 0.143 | 0.143 | Si |
| 59 | 8 | 1 | VzMy | 1.000 | 0.459 | 0.082 | 1.272 | 1.63M | 10.5k | -3.59k | 1.08k | 217 | 0.000 | 0.000 | 0.109 | 0.128 | 0.128 | Si |
| 60 | 1 | 2 | VzMy | 1.000 | 0.457 | 0.078 | 1.777 | 1.82M | 10.5k | 4.82k | 253 | 106 | 0.017 | 0.017 | 0.040 | 0.060 | 0.060 | Si |
| 60 | 1 | 4 | VzMy | 1.000 | 0.457 | 0.078 | 1.777 | 1.82M | 10.5k | 4.52k | 253 | 82.8 | 0.016 | 0.016 | 0.040 | 0.055 | 0.055 | Si |
| 60 | 1 | 1 | VzMy | 1.000 | 0.457 | 0.078 | 1.777 | 1.82M | 10.5k | 4.65k | 253 | 121 | 0.017 | 0.017 | 0.040 | 0.062 | 0.062 | Si |
| 61 | 1 | 1 | VzMy | 1.000 | 0.461 | 0.088 | 1.722 | 1.41M | 10.5k | -6.95k | 2.35k | 169 | 0.000 | 0.000 | 0.357 | 0.227 | 0.357 | Si |
| 61 | 1 | 2 | VzMy | 1.000 | 0.461 | 0.088 | 1.748 | 1.43M | 10.5k | -6.14k | 2.61k | 152 | 0.000 | 0.000 | 0.404 | 0.252 | 0.404 | Si |
| 62 | 1 | 3 | VzMy | 1.000 | 0.460 | 0.086 | 1.997 | 1.49M | 10.5k | 5.61k | 417 | 79.2 | 0.020 | 0.020 | 0.053 | 0.074 | 0.074 | Si |
| 62 | 1 | 1 | VzMy | 1.000 | 0.460 | 0.086 | 1.997 | 1.49M | 10.5k | 5.49k | 417 | 121 | 0.020 | 0.020 | 0.053 | 0.081 | 0.081 | Si |
| 63 | 1 | 1 | VzMy | 1.000 | 0.481 | 0.128 | 1.402 | 669k | 10.5k | -5.11k | 1.50k | 66.5 | 0.000 | 0.000 | 0.163 | 0.135 | 0.163 | Si |
| 63 | 1 | 3 | VzMy | 1.000 | 0.479 | 0.125 | 1.468 | 700k | 10.5k | -5.21k | 1.61k | 55.4 | 0.000 | 0.000 | 0.188 | 0.143 | 0.188 | Si |
| 64 | 1 | 1 | VzMy | 1.000 | 0.467 | 0.100 | 2.211 | 1.11M | 10.5k | -7.23k | 760 | 41.6 | 0.000 | 0.000 | 0.096 | 0.052 | 0.096 | Si |
| 64 | 1 | 4 | VzMy | 1.000 | 0.467 | 0.100 | 2.211 | 1.11M | 10.5k | -6.23k | 760 | 72.5 | 0.000 | 0.000 | 0.096 | 0.061 | 0.096 | Si |

| | | | | | | | | | | | | | | | | | | | |
|----|---|---|------|-------|-------|-------|-------|-------|-------|--------|-------|-------|-------|-------|-------|--|-------|-------|----|
| 79 | 8 | 8 | VzMy | 1.000 | 0.442 | 0.046 | 1.066 | 5.30M | 10.5k | 10.7k | 922 | 122 | 0.039 | 0.039 | 0.093 | | 0.149 | 0.149 | Si |
| 80 | 1 | 2 | VzMy | 1.000 | 0.468 | 0.102 | 1.208 | 1.06M | 10.5k | 16.3k | 986 | 111 | 0.060 | 0.060 | 0.110 | | 0.174 | 0.174 | Si |
| 80 | 1 | 1 | VzMy | 1.000 | 0.464 | 0.093 | 1.458 | 1.28M | 10.5k | 16.1k | 1.12k | 92.1 | 0.059 | 0.059 | 0.147 | | 0.182 | 0.182 | Si |
| 81 | 8 | 2 | VzMy | 1.000 | 0.456 | 0.078 | 1.962 | 1.83M | 10.5k | 3.46k | 559 | 430 | 0.012 | 0.012 | 0.101 | | 0.141 | 0.141 | Si |
| 81 | 1 | 1 | VzMy | 1.000 | 0.461 | 0.087 | 1.560 | 1.45M | 10.5k | 1.07k | 2.10k | 73.5 | 0.003 | 0.003 | 0.296 | | 0.217 | 0.296 | Si |
| 81 | 8 | 4 | VzMy | 1.000 | 0.463 | 0.091 | 1.422 | 1.32M | 10.5k | 3.46k | 1.44k | 420 | 0.012 | 0.012 | 0.186 | | 0.224 | 0.224 | Si |
| 82 | 8 | 2 | VzMy | 1.000 | 0.471 | 0.109 | 1.659 | 932k | 10.5k | 4.04k | 1.48k | 389 | 0.014 | 0.015 | 0.221 | | 0.224 | 0.224 | Si |
| 82 | 1 | 4 | VzMy | 1.000 | 0.468 | 0.102 | 1.892 | 1.06M | 10.5k | -1.18k | 2.01k | 83.0 | 0.000 | 0.000 | 0.348 | | 0.202 | 0.348 | Si |
| 83 | 1 | 1 | VzMy | 1.000 | 0.476 | 0.119 | 1.941 | 780k | 10.5k | -33.7k | 1.54k | 44.6 | 0.000 | 0.000 | 0.265 | | 0.020 | 0.265 | Si |
| 83 | 8 | 2 | VzMy | 1.000 | 0.481 | 0.127 | 1.683 | 677k | 10.5k | -14.3k | 1.25k | 110 | 0.000 | 0.000 | 0.159 | | 0.081 | 0.159 | Si |
| 84 | 1 | 1 | VzMy | 1.000 | 0.479 | 0.124 | 1.775 | 720k | 10.5k | -35.5k | 1.57k | 24.9 | 0.000 | 0.000 | 0.247 | | 0.013 | 0.247 | Si |
| 84 | 1 | 4 | VzMy | 1.000 | 0.476 | 0.118 | 1.929 | 783k | 10.5k | -33.8k | 1.55k | 45.4 | 0.000 | 0.000 | 0.265 | | 0.020 | 0.265 | Si |
| 84 | 8 | 2 | VzMy | 1.000 | 0.480 | 0.127 | 1.677 | 681k | 10.5k | -14.5k | 1.25k | 112 | 0.000 | 0.000 | 0.158 | | 0.080 | 0.158 | Si |
| 85 | 8 | 2 | VzMy | 1.000 | 0.471 | 0.108 | 1.642 | 935k | 10.5k | 3.84k | 1.50k | 386 | 0.014 | 0.014 | 0.222 | | 0.225 | 0.225 | Si |
| 85 | 1 | 1 | VzMy | 1.000 | 0.468 | 0.102 | 1.867 | 1.06M | 10.5k | -1.10k | 2.06k | 82.3 | 0.000 | 0.000 | 0.351 | | 0.206 | 0.351 | Si |
| 86 | 1 | 2 | VzMy | 1.000 | 0.467 | 0.099 | 1.217 | 1.12M | 10.5k | 16.5k | 992 | 98.9 | 0.061 | 0.061 | 0.111 | | 0.173 | 0.173 | Si |
| 86 | 1 | 4 | VzMy | 1.000 | 0.462 | 0.091 | 1.462 | 1.34M | 10.5k | 16.3k | 1.12k | 80.0 | 0.060 | 0.060 | 0.148 | | 0.181 | 0.181 | Si |
| 87 | 1 | 2 | VzMy | 1.000 | 0.443 | 0.047 | 1.056 | 5.07M | 10.5k | 15.7k | 693 | 94.1 | 0.057 | 0.057 | 0.069 | | 0.140 | 0.140 | Si |
| 87 | 8 | 7 | VzMy | 1.000 | 0.443 | 0.046 | 1.067 | 5.12M | 10.5k | 3.61k | 942 | 113 | 0.013 | 0.013 | 0.095 | | 0.123 | 0.123 | Si |
| 87 | 8 | 8 | VzMy | 1.000 | 0.443 | 0.046 | 1.067 | 5.12M | 10.5k | 11.3k | 942 | 113 | 0.041 | 0.041 | 0.095 | | 0.151 | 0.151 | Si |
| 88 | 1 | 2 | VzMy | 1.000 | 0.476 | 0.118 | 1.514 | 785k | 10.5k | 9.87k | 678 | 172 | 0.036 | 0.037 | 0.092 | | 0.133 | 0.133 | Si |
| 88 | 8 | 7 | VzMy | 1.000 | 0.477 | 0.120 | 1.478 | 766k | 10.5k | 2.89k | 1.09k | 211 | 0.010 | 0.011 | 0.142 | | 0.152 | 0.152 | Si |
| 88 | 8 | 8 | VzMy | 1.000 | 0.477 | 0.120 | 1.478 | 766k | 10.5k | 6.54k | 1.09k | 211 | 0.024 | 0.025 | 0.142 | | 0.166 | 0.166 | Si |
| 89 | 1 | 2 | VzMy | 1.000 | 0.454 | 0.073 | 2.102 | 2.05M | 10.5k | 9.62k | 140 | 181 | 0.035 | 0.035 | 0.026 | | 0.080 | 0.080 | Si |
| 89 | 8 | 7 | VzMy | 1.000 | 0.457 | 0.078 | 1.841 | 1.80M | 10.5k | 2.85k | 327 | 211 | 0.010 | 0.010 | 0.041 | | 0.078 | 0.078 | Si |
| 89 | 8 | 8 | VzMy | 1.000 | 0.457 | 0.078 | 1.841 | 1.80M | 10.5k | 6.41k | 327 | 211 | 0.023 | 0.023 | 0.041 | | 0.091 | 0.091 | Si |
| 90 | 1 | 3 | VzMy | 1.000 | 0.457 | 0.079 | 2.087 | 1.75M | 10.5k | 9.97k | 216 | 185 | 0.036 | 0.037 | 0.041 | | 0.090 | 0.090 | Si |
| 90 | 8 | 7 | VzMy | 1.000 | 0.460 | 0.085 | 1.812 | 1.52M | 10.5k | 3.17k | 422 | 225 | 0.011 | 0.011 | 0.053 | | 0.091 | 0.091 | Si |
| 90 | 8 | 8 | VzMy | 1.000 | 0.460 | 0.085 | 1.812 | 1.52M | 10.5k | 6.53k | 422 | 225 | 0.024 | 0.024 | 0.053 | | 0.103 | 0.103 | Si |
| 91 | 1 | 3 | VzMy | 1.000 | 0.474 | 0.114 | 1.450 | 843k | 10.5k | 10.1k | 898 | 201 | 0.037 | 0.038 | 0.117 | | 0.159 | 0.159 | Si |
| 91 | 8 | 7 | VzMy | 1.000 | 0.474 | 0.115 | 1.438 | 836k | 10.5k | 3.18k | 1.20k | 225 | 0.011 | 0.012 | 0.156 | | 0.166 | 0.166 | Si |
| 91 | 8 | 8 | VzMy | 1.000 | 0.474 | 0.115 | 1.438 | 836k | 10.5k | 6.60k | 1.20k | 225 | 0.024 | 0.025 | 0.156 | | 0.179 | 0.179 | Si |
| 92 | 1 | 3 | VzMy | 1.000 | 0.451 | 0.066 | 1.055 | 2.53M | 10.5k | 16.5k | 926 | 173 | 0.060 | 0.060 | 0.092 | | 0.179 | 0.179 | Si |
| 92 | 8 | 7 | VzMy | 1.000 | 0.450 | 0.064 | 1.121 | 2.69M | 10.5k | 4.33k | 1.03k | 186 | 0.015 | 0.015 | 0.108 | | 0.146 | 0.146 | Si |
| 93 | 1 | 3 | VzMy | 1.000 | 0.469 | 0.103 | 1.125 | 1.03M | 10.5k | 17.2k | 1.14k | 166 | 0.063 | 0.063 | 0.120 | | 0.201 | 0.201 | Si |
| 93 | 1 | 4 | VzMy | 1.000 | 0.465 | 0.095 | 1.317 | 1.21M | 10.5k | 17.0k | 1.32k | 150 | 0.062 | 0.062 | 0.158 | | 0.215 | 0.215 | Si |
| 94 | 1 | 1 | VzMy | 1.000 | 0.471 | 0.108 | 2.300 | 943k | 10.5k | -11.7k | 1.10k | 1.86 | 0.000 | 0.000 | 0.139 | | 0.058 | 0.139 | Si |
| 94 | 1 | 2 | VzMy | 1.000 | 0.471 | 0.108 | 2.300 | 943k | 10.5k | -11.4k | 1.10k | 0.329 | 0.000 | 0.000 | 0.139 | | 0.059 | 0.139 | Si |
| 95 | 1 | 1 | VzMy | 1.000 | 0.467 | 0.100 | 2.211 | 1.11M | 10.5k | -6.26k | 762 | 71.9 | 0.000 | 0.000 | 0.097 | | 0.061 | 0.097 | Si |
| 96 | 1 | 1 | VzMy | 1.000 | 0.477 | 0.121 | 1.581 | 754k | 10.5k | -9.91k | 1.27k | 7.90 | 0.000 | 0.000 | 0.161 | | 0.084 | 0.161 | Si |
| 96 | 1 | 3 | VzMy | 1.000 | 0.478 | 0.122 | 1.554 | 741k | 10.5k | -10.0k | 1.31k | 0.223 | 0.000 | 0.000 | 0.164 | | 0.086 | 0.164 | Si |
| 97 | 1 | 1 | VzMy | 1.000 | 0.478 | 0.123 | 1.523 | 726k | 10.5k | -4.83k | 1.54k | 39.7 | 0.000 | 0.000 | 0.189 | | 0.135 | 0.189 | Si |
| 97 | 1 | 3 | VzMy | 1.000 | 0.479 | 0.125 | 1.476 | 704k | 10.5k | -5.29k | 1.61k | 55.3 | 0.000 | 0.000 | 0.189 | | 0.142 | 0.189 | Si |
| 98 | 8 | 2 | VzMy | 1.000 | 0.457 | 0.079 | 1.988 | 1.74M | 10.5k | 3.36k | 576 | 420 | 0.012 | 0.012 | 0.106 | | 0.141 | 0.141 | Si |
| 98 | 1 | 4 | VzMy | 1.000 | 0.462 | 0.089 | 1.583 | 1.38M | 10.5k | 1.04k | 2.15k | 71.7 | 0.003 | 0.003 | 0.307 | | 0.221 | 0.307 | Si |
| 98 | 8 | 4 | VzMy | 1.000 | 0.464 | 0.093 | 1.442 | 1.26M | 10.5k | 3.36k | 1.47k | 409 | 0.012 | 0.012 | 0.192 | | 0.224 | 0.224 | Si |

– Pilastri Piano:1 Verifiche Instabilità Acciaio Cmb

| PILASTRO PIANO 1 - VERIFICHE INSTABILITÀ ASSIEME CMB | | | | | | | | | | | | | | | | | | | | |
|--|-----|-----|--------------|-------------------------------|-------|--------------------|-------|-------------|--------------|-------------------------|-----------------|-----------------|---------------|---------------|--------------|------------------|--------------|------------|--------------|--|
| Pilastro N | Fam | Cmb | Dir forte | Instabilità Flesso-Torsionale | | | | | | Inst.Presso-Flessionale | | | Verifiche | | | N-My-Mz Inst. | Tot Inst. | Tot Tot | | |
| | | | | χLT | ΦLT | λ ⁻¹ LT | ψ | McR [Nm] | MbRd [Nm] | Ned [N] | Myeq,Ed [Nm] | Mzeq,Ed [Nm] | cC-Z inst. | cC-Y inst. | cMy inst. | | | | cMz inst. | |
| 7 | 1 | 3 | VyMz | 1.000 | 0.464 | 0.094 | 2.300 | 4.80M | 40.1k | 25.8k | 1.43k | 2.75k | 0.059 | 0.059 | 0.168 | 0.144 | 0.168 | SI | | |
| 7 | 8 | 3 | VyMz | 1.000 | 0.464 | 0.094 | 2.300 | 4.80M | 40.1k | 9.37k | 1.96k | 7.25k | 0.021 | 0.021 | 0.241 | 0.244 | 0.244 | SI | | |
| 7 | 8 | 6 | VyMz | 1.000 | 0.467 | 0.100 | 2.021 | 4.22M | 40.1k | 17.3k | 5.85k | 3.41k | 0.039 | 0.039 | 0.113 | 0.258 | 0.258 | SI | | |
| 11 | 1 | 3 | VyMz | 1.000 | 0.464 | 0.094 | 2.300 | 4.80M | 40.1k | 25.8k | 1.43k | 2.73k | 0.059 | 0.059 | 0.167 | 0.144 | 0.167 | SI | | |
| 11 | 8 | 1 | VyMz | 1.000 | 0.464 | 0.094 | 2.300 | 4.80M | 40.1k | 9.38k | 2.20k | 7.27k | 0.021 | 0.021 | 0.241 | 0.251 | 0.251 | SI | | |
| 11 | 8 | 2 | VyMz | 1.000 | 0.464 | 0.094 | 2.300 | 4.80M | 40.1k | 15.6k | 2.20k | 7.27k | 0.035 | 0.035 | 0.241 | 0.261 | 0.261 | SI | | |
| 21 | 1 | 2 | VyMz | 1.000 | 0.464 | 0.094 | 2.300 | 4.80M | 40.1k | 24.5k | 1.25k | 2.69k | 0.056 | 0.056 | 0.164 | 0.136 | 0.164 | SI | | |
| 21 | 8 | 3 | VyMz | 1.000 | 0.464 | 0.094 | 2.300 | 4.80M | 40.1k | 8.52k | 2.19k | 7.04k | 0.019 | 0.019 | 0.234 | 0.243 | 0.243 | SI | | |
| 21 | 8 | 4 | VyMz | 1.000 | 0.464 | 0.094 | 2.300 | 4.80M | 40.1k | 15.0k | 2.19k | 7.04k | 0.034 | 0.034 | 0.234 | 0.254 | 0.254 | SI | | |
| 25 | 1 | 2 | VyMz | 1.000 | 0.464 | 0.094 | 2.300 | 4.80M | 40.1k | 24.5k | 1.25k | 2.67k | 0.056 | 0.056 | 0.164 | 0.136 | 0.164 | SI | | |
| 25 | 8 | 1 | VyMz | 1.000 | 0.464 | 0.094 | 2.300 | 4.80M | 40.1k | 8.53k | 1.75k | 7.06k | 0.019 | 0.019 | 0.234 | 0.233 | 0.234 | SI | | |
| 25 | 8 | 8 | VyMz | 1.000 | 0.467 | 0.100 | 2.031 | 4.24M | 40.1k | 16.7k | 5.94k | 3.33k | 0.038 | 0.038 | 0.110 | 0.258 | 0.258 | SI | | |

Legenda tabella Verifica Deformazione Travi Acciaio per combinazioni Rare

I simboli fanno riferimento al §4.2.4.2.1 NTC18

- **Deformazione Trave:** Verifica delle deformazioni della sola trave.
- **Deformazione Travata:** Verifica delle deformazioni del nodo iniziale e finale della trave tenendo conto delle deformazioni dell'intera travata.
- **Fam-Cmb:** Combinazione di carico rara più gravosa per la verifica di deformazione.
- **δ max:** Spostamento finale.
- **δ2:** Spostamento dovuto ai soli carichi variabili
- **coef:** Coefficiente per lo spostamento finale.
- **coef2:** Coefficiente per lo spostamento dei soli carichi variabili.

– Travi Piano:1 Verifica Deformazione Travi Acciaio per combinazioni Rare

| Navi Italiane - Verifica Deformazioni Navi Acciaio per Combinazioni Rare | | | | | | | | | | | | | | | | | | | | | |
|--|-----|-----|--------------|--------------------|---------------|-------|------------|-------|----------|-------|-----|-----|--------------|----------------------|-------|------------|-------|----|----|-------|-----|
| Trave N | Fam | Cmb | Men- sola | Deformazioni Trave | | | | | | Verif | Fam | Cmb | Men- sola | Deformazioni Travata | | | | | | Verif | Tot |
| | | | | L [m] | δ max [mm] | coef | δ2 [mm] | coef2 | L [m] | | | | | δ max [mm] | coef | δ2 [mm] | coef2 | | | | |
| 1 | 2 | 1 | Si | 0.370 | 0.901 | 0.304 | 0.418 | 0.170 | Si | 2 | 1 | No | 5.500 | 0.848 | 0.039 | 0.366 | 0.020 | Si | Si | | |
| 2 | 2 | 1 | Si | 0.931 | 3.983 | 0.535 | 1.369 | 0.221 | Si | 2 | 1 | No | 5.500 | 5.666 | 0.258 | 2.038 | 0.111 | Si | Si | | |
| 3 | 2 | 1 | No | 1.010 | 0.544 | 0.135 | 0.185 | 0.055 | Si | 2 | 3 | No | 5.500 | 7.723 | 0.351 | 2.521 | 0.137 | Si | Si | | |
| 4 | 2 | 4 | No | 1.020 | 0.550 | 0.135 | 0.187 | 0.055 | Si | 2 | 3 | No | 5.500 | 7.723 | 0.351 | 2.521 | 0.137 | Si | Si | | |
| 5 | 2 | 4 | Si | 0.921 | 3.932 | 0.534 | 1.352 | 0.220 | Si | 2 | 4 | No | 5.500 | 5.605 | 0.255 | 2.018 | 0.110 | Si | Si | | |
| 6 | 2 | 1 | No | 0.261 | 0.012 | 0.012 | 0.005 | 0.006 | Si | 2 | 4 | No | 5.500 | 1.606 | 0.073 | 0.704 | 0.038 | Si | Si | | |
| 7 | 2 | 1 | Si | 0.380 | 1.112 | 0.366 | 0.473 | 0.187 | Si | 2 | 1 | No | 5.970 | 1.056 | 0.044 | 0.417 | 0.021 | Si | Si | | |
| 8 | 2 | 2 | Si | 1.020 | 3.724 | 0.456 | 1.196 | 0.176 | Si | 2 | 1 | No | 5.970 | 6.621 | 0.277 | 2.346 | 0.118 | Si | Si | | |
| 9 | 2 | 2 | Si | 0.530 | 1.089 | 0.257 | 0.489 | 0.138 | Si | 2 | 2 | Si | 0.970 | 1.813 | 0.234 | 0.854 | 0.132 | Si | Si | | |
| 10 | 2 | 4 | No | 1.020 | 0.465 | 0.114 | 0.167 | 0.049 | Si | 2 | 2 | No | 5.970 | 8.317 | 0.348 | 2.675 | 0.134 | Si | Si | | |
| 11 | 2 | 2 | Si | 1.010 | 3.676 | 0.455 | 1.180 | 0.175 | Si | 2 | 4 | No | 5.970 | 6.573 | 0.275 | 2.334 | 0.117 | Si | Si | | |
| 12 | 2 | 4 | Si | 0.570 | 1.867 | 0.409 | 0.769 | 0.202 | Si | 2 | 4 | No | 5.970 | 2.851 | 0.119 | 1.109 | 0.056 | Si | Si | | |
| 13 | 2 | 1 | Si | 0.400 | 0.939 | 0.294 | 0.441 | 0.165 | Si | 2 | 1 | No | 5.500 | 0.883 | 0.040 | 0.385 | 0.021 | Si | Si | | |
| 14 | 2 | 1 | Si | 0.931 | 3.802 | 0.511 | 1.308 | 0.211 | Si | 2 | 1 | No | 5.500 | 5.437 | 0.247 | 1.960 | 0.107 | Si | Si | | |
| 15 | 2 | 1 | No | 1.010 | 0.516 | 0.128 | 0.176 | 0.052 | Si | 2 | 2 | No | 5.500 | 7.372 | 0.335 | 2.410 | 0.131 | Si | Si | | |
| 16 | 2 | 4 | No | 1.020 | 0.522 | 0.128 | 0.178 | 0.052 | Si | 2 | 2 | No | 5.500 | 7.372 | 0.335 | 2.410 | 0.131 | Si | Si | | |
| 17 | 2 | 4 | Si | 0.921 | 3.753 | 0.510 | 1.292 | 0.210 | Si | 2 | 4 | No | 5.500 | 5.378 | 0.244 | 1.941 | 0.106 | Si | Si | | |

| | | | | | | | | | | | | | | | | | | | |
|----|---|----|----|-------|-------|-------|-------|-------|----|---|----|----|-------|-------|-------|-------|-------|----|----|
| 18 | 2 | 1 | No | 0.231 | 0.010 | 0.010 | 0.004 | 0.005 | Si | 2 | 4 | No | 5.500 | 1.562 | 0.071 | 0.689 | 0.038 | Si | Si |
| 19 | 2 | 3 | Si | 0.560 | 1.442 | 0.322 | 0.602 | 0.161 | Si | 2 | 3 | Si | 1.060 | 2.454 | 0.289 | 1.072 | 0.152 | Si | Si |
| 20 | 2 | 10 | No | 1.071 | 0.136 | 0.050 | 0.178 | 0.050 | Si | 2 | 4 | No | 2.330 | 0.305 | 0.033 | 0.106 | 0.014 | Si | Si |
| 21 | 2 | 11 | No | 1.081 | 0.165 | 0.051 | 0.183 | 0.051 | Si | 2 | 4 | No | 2.330 | 0.305 | 0.033 | 0.106 | 0.014 | Si | Si |
| 22 | 2 | 10 | Si | 0.331 | 0.597 | 0.226 | 0.288 | 0.131 | Si | 2 | 10 | Si | 0.970 | 0.710 | 0.092 | 0.373 | 0.058 | Si | Si |
| 23 | 2 | 3 | Si | 0.830 | 2.739 | 0.412 | 1.012 | 0.183 | Si | 2 | 4 | Si | 1.690 | 4.170 | 0.308 | 1.360 | 0.121 | Si | Si |
| 24 | 2 | 10 | Si | 1.160 | 0.146 | 0.018 | 0.138 | 0.018 | Si | 2 | 4 | No | 2.330 | 0.134 | 0.014 | 0.064 | 0.008 | Si | Si |
| 25 | 2 | 3 | Si | 1.170 | 0.286 | 0.031 | 0.153 | 0.020 | Si | 2 | 4 | No | 2.330 | 0.134 | 0.014 | 0.064 | 0.008 | Si | Si |
| 26 | 2 | 2 | Si | 0.780 | 1.300 | 0.208 | 0.532 | 0.102 | Si | 2 | 2 | Si | 1.600 | 1.300 | 0.102 | 0.532 | 0.050 | Si | Si |
| 27 | 2 | 3 | Si | 1.000 | 2.909 | 0.364 | 1.035 | 0.155 | Si | 2 | 2 | Si | 3.020 | 3.390 | 0.140 | 0.658 | 0.033 | Si | Si |
| 28 | 2 | 11 | Si | 1.160 | 0.440 | 0.047 | 0.239 | 0.031 | Si | 2 | 11 | Si | 4.190 | 0.670 | 0.020 | 0.454 | 0.016 | Si | Si |
| 29 | 2 | 10 | Si | 1.170 | 0.183 | 0.025 | 0.198 | 0.025 | Si | 2 | 10 | Si | 2.950 | 0.183 | 0.010 | 0.198 | 0.010 | Si | Si |
| 30 | 2 | 2 | Si | 0.780 | 0.699 | 0.112 | 0.295 | 0.057 | Si | 2 | 1 | Si | 1.780 | 0.564 | 0.040 | 0.160 | 0.013 | Si | Si |
| 31 | 2 | 3 | Si | 0.830 | 2.736 | 0.412 | 1.012 | 0.183 | Si | 2 | 1 | Si | 1.690 | 4.174 | 0.309 | 1.366 | 0.121 | Si | Si |
| 32 | 2 | 10 | Si | 1.160 | 0.149 | 0.018 | 0.138 | 0.018 | Si | 2 | 1 | No | 2.330 | 0.137 | 0.015 | 0.064 | 0.008 | Si | Si |
| 33 | 2 | 3 | Si | 1.170 | 0.288 | 0.031 | 0.153 | 0.020 | Si | 2 | 1 | No | 2.330 | 0.137 | 0.015 | 0.064 | 0.008 | Si | Si |
| 34 | 2 | 2 | Si | 0.780 | 1.301 | 0.209 | 0.533 | 0.103 | Si | 2 | 2 | Si | 1.600 | 1.301 | 0.102 | 0.533 | 0.050 | Si | Si |
| 35 | 2 | 3 | Si | 0.540 | 1.386 | 0.321 | 0.578 | 0.160 | Si | 2 | 3 | Si | 1.060 | 2.449 | 0.289 | 1.069 | 0.151 | Si | Si |
| 36 | 2 | 10 | No | 1.071 | 0.136 | 0.050 | 0.178 | 0.050 | Si | 2 | 1 | No | 2.330 | 0.306 | 0.033 | 0.106 | 0.014 | Si | Si |
| 37 | 2 | 11 | No | 1.081 | 0.166 | 0.051 | 0.183 | 0.051 | Si | 2 | 1 | No | 2.330 | 0.306 | 0.033 | 0.106 | 0.014 | Si | Si |
| 38 | 2 | 10 | Si | 0.351 | 0.637 | 0.227 | 0.305 | 0.130 | Si | 2 | 10 | Si | 0.970 | 0.750 | 0.097 | 0.390 | 0.060 | Si | Si |
| 55 | 2 | 4 | No | 0.261 | 0.013 | 0.012 | 0.006 | 0.006 | Si | 2 | 1 | No | 5.500 | 1.624 | 0.074 | 0.711 | 0.039 | Si | Si |
| 56 | 2 | 4 | Si | 0.370 | 0.887 | 0.300 | 0.413 | 0.168 | Si | 2 | 4 | No | 5.500 | 0.837 | 0.038 | 0.362 | 0.020 | Si | Si |
| 57 | 2 | 1 | Si | 0.570 | 1.887 | 0.414 | 0.775 | 0.204 | Si | 2 | 1 | No | 5.970 | 2.859 | 0.120 | 1.110 | 0.056 | Si | Si |
| 58 | 2 | 4 | Si | 0.390 | 1.120 | 0.359 | 0.479 | 0.184 | Si | 2 | 4 | No | 5.970 | 1.065 | 0.045 | 0.423 | 0.021 | Si | Si |
| 59 | 2 | 4 | No | 0.231 | 0.010 | 0.011 | 0.004 | 0.005 | Si | 2 | 1 | No | 5.500 | 1.579 | 0.072 | 0.696 | 0.038 | Si | Si |
| 60 | 2 | 4 | Si | 0.400 | 0.926 | 0.289 | 0.436 | 0.163 | Si | 2 | 4 | No | 5.500 | 0.872 | 0.040 | 0.381 | 0.021 | Si | Si |
| 61 | 2 | 3 | Si | 0.411 | 0.908 | 0.276 | 0.404 | 0.148 | Si | 2 | 3 | Si | 1.060 | 1.012 | 0.119 | 0.470 | 0.067 | Si | Si |
| 62 | 2 | 2 | Si | 0.550 | 1.133 | 0.258 | 0.510 | 0.139 | Si | 2 | 2 | Si | 0.970 | 1.816 | 0.234 | 0.856 | 0.132 | Si | Si |
| 63 | 2 | 3 | Si | 0.860 | 1.789 | 0.260 | 0.705 | 0.123 | Si | 2 | 4 | Si | 1.690 | 1.629 | 0.121 | 0.545 | 0.048 | Si | Si |
| 64 | 2 | 2 | Si | 0.820 | 2.280 | 0.348 | 0.860 | 0.157 | Si | 2 | 2 | Si | 1.600 | 3.580 | 0.280 | 1.392 | 0.131 | Si | Si |
| 65 | 2 | 3 | Si | 0.431 | 0.959 | 0.278 | 0.426 | 0.148 | Si | 2 | 3 | Si | 1.060 | 1.063 | 0.125 | 0.491 | 0.070 | Si | Si |
| 66 | 2 | 1 | No | 1.010 | 0.460 | 0.114 | 0.165 | 0.049 | Si | 2 | 2 | No | 5.970 | 8.317 | 0.348 | 2.675 | 0.134 | Si | Si |
| 67 | 2 | 3 | Si | 0.469 | 2.087 | 0.557 | 0.739 | 0.237 | Si | 2 | 3 | Si | 0.915 | 3.386 | 0.462 | 1.249 | 0.205 | Si | Si |
| 68 | 2 | 1 | No | 0.720 | 0.197 | 0.068 | 0.074 | 0.031 | Si | 2 | 1 | No | 3.480 | 2.895 | 0.208 | 0.967 | 0.083 | Si | Si |
| 69 | 2 | 1 | No | 1.010 | 0.304 | 0.075 | 0.103 | 0.031 | Si | 2 | 2 | No | 3.480 | 4.596 | 0.330 | 1.498 | 0.129 | Si | Si |
| 70 | 2 | 4 | No | 1.020 | 0.308 | 0.075 | 0.105 | 0.031 | Si | 2 | 2 | No | 3.480 | 4.596 | 0.330 | 1.498 | 0.129 | Si | Si |
| 71 | 2 | 4 | No | 0.730 | 0.196 | 0.067 | 0.074 | 0.030 | Si | 2 | 4 | No | 3.480 | 2.907 | 0.209 | 0.974 | 0.084 | Si | Si |
| 72 | 2 | 3 | Si | 0.440 | 1.935 | 0.549 | 0.687 | 0.234 | Si | 2 | 3 | Si | 0.909 | 3.298 | 0.454 | 1.223 | 0.202 | Si | Si |
| 73 | 2 | 3 | Si | 0.469 | 1.364 | 0.364 | 0.536 | 0.171 | Si | 2 | 3 | Si | 0.909 | 1.364 | 0.187 | 0.536 | 0.088 | Si | Si |
| 74 | 2 | 3 | Si | 0.168 | 0.306 | 0.228 | 0.138 | 0.123 | Si | | | | | | | | | | Si |
| 75 | 2 | 4 | Si | 0.705 | 0.807 | 0.143 | 0.317 | 0.067 | Si | | | | | | | | | | Si |
| 76 | 2 | 11 | Si | 0.490 | 0.095 | 0.025 | 0.080 | 0.025 | Si | 2 | 12 | No | 0.910 | 0.026 | 0.007 | 0.021 | 0.007 | Si | Si |
| 77 | 2 | 10 | Si | 0.420 | 0.067 | 0.025 | 0.071 | 0.025 | Si | 2 | 12 | No | 0.910 | 0.026 | 0.007 | 0.021 | 0.007 | Si | Si |
| 78 | 2 | 4 | Si | 0.791 | 0.850 | 0.134 | 0.339 | 0.064 | Si | | | | | | | | | | Si |
| 79 | 2 | 10 | Si | 0.082 | 0.121 | 0.183 | 0.059 | 0.108 | Si | | | | | | | | | | Si |
| 80 | 2 | 2 | Si | 0.469 | 1.149 | 0.306 | 0.469 | 0.150 | Si | 2 | 2 | Si | 0.909 | 1.149 | 0.158 | 0.469 | 0.077 | Si | Si |
| 81 | 2 | 2 | Si | 0.440 | 1.707 | 0.484 | 0.618 | 0.210 | Si | 2 | 2 | Si | 0.909 | 2.856 | 0.393 | 1.087 | 0.179 | Si | Si |
| 82 | 2 | 4 | No | 0.730 | 0.189 | 0.065 | 0.072 | 0.030 | Si | 2 | 4 | No | 3.480 | 2.812 | 0.202 | 0.945 | 0.081 | Si | Si |
| 83 | 2 | 4 | No | 1.020 | 0.297 | 0.073 | 0.101 | 0.030 | Si | 2 | 3 | No | 3.480 | 4.456 | 0.320 | 1.452 | 0.125 | Si | Si |
| 84 | 2 | 1 | No | 1.010 | 0.294 | 0.073 | 0.100 | 0.030 | Si | 2 | 3 | No | 3.480 | 4.456 | 0.320 | 1.452 | 0.125 | Si | Si |
| 85 | 2 | 1 | No | 0.720 | 0.190 | 0.066 | 0.072 | 0.030 | Si | 2 | 1 | No | 3.480 | 2.800 | 0.201 | 0.938 | 0.081 | Si | Si |
| 86 | 2 | 2 | Si | 0.447 | 1.096 | 0.307 | 0.447 | 0.150 | Si | 2 | 2 | Si | 0.915 | 1.096 | 0.150 | 0.447 | 0.073 | Si | Si |
| 87 | 2 | 2 | Si | 0.085 | 0.141 | 0.206 | 0.065 | 0.114 | Si | | | | | | | | | | Si |
| 88 | 2 | 1 | Si | 0.791 | 0.862 | 0.136 | 0.342 | 0.065 | Si | | | | | | | | | | Si |
| 89 | 2 | 10 | Si | 0.420 | 0.066 | 0.025 | 0.071 | 0.025 | Si | 2 | 9 | No | 0.910 | 0.025 | 0.007 | 0.021 | 0.007 | Si | Si |
| 90 | 2 | 11 | Si | 0.490 | 0.094 | 0.024 | 0.080 | 0.024 | Si | 2 | 9 | No | 0.910 | 0.025 | 0.007 | 0.021 | 0.007 | Si | Si |
| 91 | 2 | 1 | Si | 0.705 | 0.817 | 0.145 | 0.320 | 0.068 | Si | | | | | | | | | | Si |
| 92 | 2 | 3 | Si | 0.171 | 0.329 | 0.241 | 0.145 | 0.127 | Si | | | | | | | | | | Si |
| 93 | 2 | 1 | Si | 0.447 | 1.301 | 0.364 | 0.511 | 0.172 | Si | 2 | 1 | Si | 0.915 | 1.301 | 0.178 | 0.511 | 0.084 | Si | Si |
| 94 | 2 | 2 | Si | 1.000 | 2.449 | 0.306 | 0.878 | 0.132 | Si | 2 | 1 | Si | 1.780 | 2.814 | 0.198 | 0.840 | 0.071 | Si | Si |
| 95 | 2 | 2 | Si | 0.820 | 2.276 | 0.347 | 0.860 | 0.157 | Si | 2 | 2 | Si | 1.600 | 3.578 | 0.280 | 1.393 | 0.131 | Si | Si |
| 96 | 2 | 3 | Si | 0.860 | 1.095 | 0.159 | 0.437 | 0.076 | Si | 2 | 11 | Si | 4.190 | 1.689 | 0.050 | 0.816 | 0.029 | Si | Si |
| 97 | 2 | 3 | Si | 0.860 | 1.791 | 0.260 | 0.706 | 0.123 | Si | 2 | 1 | Si | 1.690 | 1.633 | 0.121 | 0.549 | 0.049 | Si | Si |
| 98 | 2 | 2 | Si | 0.469 | 1.844 | 0.492 | 0.665 | 0.213 | Si | 2 | 2 | Si | 0.915 | 2.940 | 0.401 | 1.112 | 0.182 | Si | Si |

– **Pilastri Piano:1 Verifica Deformazione Pilastri per combinazioni Rare**

| Pilastro N | Fam-Cmb | | H [m] | Def.Pilastro | | | z [m] | Def.Edificio | | Tot | | Verif |
|---------------|---------|-----|----------|------------------|--------------|--|----------|------------------|------------------|-------------|--|-------|
| | Fam | Cmb | | δ [mm] | coef Beam | | | Δ [mm] | coef Edificio | Coef Tot | | |
| 7 | 2 | 11 | 2.92 | 3.2099 | 0.32978 | | 2.92 | 3.2099 | -1 | 0.32978 | | Si |
| 11 | 2 | 11 | 2.92 | 3.2134 | 0.33015 | | 2.92 | 3.2134 | -1 | 0.33015 | | Si |
| 21 | 2 | 11 | 2.92 | 3.1688 | 0.32556 | | 2.92 | 3.1688 | -1 | 0.32556 | | Si |
| 25 | 2 | 11 | 2.92 | 3.1722 | 0.32591 | | 2.92 | 3.1722 | -1 | 0.32591 | | Si |

I simboli fanno riferimento al §4.2.4.2.2 NTC18

– **Riassunto Verifiche**

– **Tabella riassuntiva verifiche Interpiano**

| Piano | Spost. Sismici $\Delta_{max}/\Delta_{amm}$ | Contributo | | | Controllo | | | | Effetto | | | Totale |
|-------|--|------------|----------------------|--------------------------------------|-------------------------|--------------------------|---------------------------|----------------|----------------|----------------|---------------------|--------|
| | | Sisma X | Rigid. Sisma Y | Elem. Sec Tot. Medio Struttura | Regolarità in pianta | Regolarità in altezza | Rigididezza torsionale | Controllo q | $\theta_x/0.2$ | $\theta_y/0.2$ | Coef. Tot. Medio | |
| 0 | - | - | - | - | - | - | - | - | - | - | - | - |
| 1 | Si | - | - | - | - | - | - | - | - | - | - | Si |

– **Tabella riassuntiva verifiche Acciaio, Legno e Unioni**

| Travi Legno | Pilastri Legno | Legno | Travi Acciaio | Pilastri Acciaio | Acciaio | Unioni | Tot |
|-------------|----------------|-------|---------------|------------------|---------|--------|-----|
|-------------|----------------|-------|---------------|------------------|---------|--------|-----|

| Piano | SLU Sezioni | Insta- bilità | Defor- mazione | SLU Sezioni | Insta- bilità | Defor- mazione | Tot Legno | SLU Sezioni | Insta- bilità | Defor- mazione | Classe Max. | SLU Sezioni | Insta- bilità | Defor- mazione | Classe Max. | Tot Acciaio | Unione | Tot |
|-------|----------------|------------------|-------------------|----------------|------------------|-------------------|--------------|----------------|------------------|-------------------|----------------|----------------|------------------|-------------------|----------------|----------------|--------|-----|
| 0 | - | - | - | - | - | - | - | Si | Si | Si | Si | - | - | - | - | Si | - | Si |
| 1 | - | - | - | - | - | - | - | Si | Si | Si | Si | Si | Si | Si | Si | Si | - | Si |

- **Verifica spostamenti SLD-SLO**
 - Coefficiente di verifica: 0.28837

- **Tabella Riassunto Verifiche Analisi Lineare**

| Piano | Stati Limite | | | | | | | | | | | Tot. |
|-------|---------------|---------------|----------------|-----------------|-------------|-------------|--------|----------|------------|---------|-----------|-------------|
| | Beam CA SL | Nodi CA SL | Shell CA SL | Plinti CA SL | Solai SL | Beam A/L | Unioni | Murature | Interpiano | Terreno | Tot SL | Tot. Tot |
| 0 | - | - | - | - | - | Si | - | - | - | - | Si | Si |
| 1 | - | - | - | - | - | Si | - | - | Si | - | Si | Si |

9. CONDIZIONI MINIME DA RISPETTARE PER L'INSTALLAZIONE DELL'INFO POINT

Come già ampiamente indicato, la struttura oggetto della presente relazione di calcolo, risulta temporanea e da collocare in diversi siti. Per tale motivo, sarà compito del realizzatore, o della figura in carica, verificare preventivamente il sito su cui l'info-point sarà posizionato ovvero che lo stesso risulti stabile, piano, compatto, in area non suscettibile a cedimenti indotti da eventi atmosferici. Sarà altresì compito del realizzatore attuare opportune azioni preventive, qualora necessarie, atte a stabilizzare e/o compattare l'area di sedime, evitare dilavamenti del piano di posa, ecc.

Qualora infine il sito oggetto di posa dell'info point presenti caratteristiche di microzonazione sismica o particolari azioni da vento che disattengono completamente le ipotesi assunte nel presente documento, sarà necessario eseguire opportune verifiche atte a confermare che la struttura possa essere ivi installata.

10.VALIDAZIONE DEL CALCOLO STRUTTURALE

Al fine di emettere un giudizio fondato sull'accettabilità dei calcoli, come richiesto dal punto 10.2 del D.M. 17/01/2018 "Analisi e verifiche svolte con l'ausilio di codici di calcolo", sono state condotte delle calcolazioni semplificate, con i normali metodi della Scienza delle Costruzioni e utilizzando schemi statici semplici. Tali calcolazioni hanno fornito risultati in linea con quelli attesi e con quelli forniti dal codice di calcolo.

Per quanto sopra esposto si ritiene che i risultati ottenuti siano accettabili.

11.CONCLUSIONI

Nella presente relazione sono state riportate le analisi condotte per la struttura in progetto che risulta verificata per le azioni di progetto.

Tutte le valutazioni numeriche sono state condotte nel rispetto del vigente D.M. 17.01.2018 Norme Tecniche per le Costruzioni.

Il progettista
ing. Marcello Pelleccchia



RELAZIONE SUI MATERIALI

Sommario

| | | |
|------|---------------------------------------|---|
| 1. | INTRODUZIONE | 3 |
| 2. | QUADRO NORMATIVO DI RIFERIMENTO | 3 |
| 3. | MATERIALI DI PROGETTO | 3 |
| 3.1. | Acciaio da carpenteria | 3 |
| 4. | CONCLUSIONI | 4 |

1. INTRODUZIONE

Il presente elaborato dettaglia i materiali di progetto per l'esecuzione degli interventi strutturali relativi alla realizzazione di una struttura temporanea da adibire a info-point, il tutto in conformità al vigente D.M. 17.01.2018 Norme Tecniche per le Costruzioni (NTC 2018).

Gli interventi strutturali da eseguire sono descritti nell'elaborato "relazione di calcolo e fascicolo dei calcoli" a cui si rimanda per maggiori chiarimenti.

2. QUADRO NORMATIVO DI RIFERIMENTO

Le norme vigenti a cui si è fatto riferimento per i calcoli strutturali sono:

- Legge 05.11.1971, n. 1086 "Norme per la disciplina delle opere in conglomerato cementizio armato, normale e precompresso ed a struttura metallica";
- Legge 2.2.1974 n. 64 "Provvedimenti per le costruzioni con particolari prescrizioni per le zone sismiche";
- D.M. 17/01/2018: Norme Tecniche per le Costruzioni (NTC 2018);
- Circolare n. 7 del 21/01/2019 "Istruzioni per l'applicazione delle Nuove Norme tecniche per le costruzioni di cui al D.M. 17/01/2018";

3. MATERIALI DI PROGETTO

L'info-point sarà realizzato con struttura in carpenteria metallica. L'impalcato di copertura con lamiera grecata coibentata.

3.1. Acciaio da carpenteria

Per l'esecuzione di tutte le opere da carpenteria metallica (strutture in elevazione autorimessa) si impiegherà acciaio laminato a caldo con profili a sezione aperta tipo S 275 ai sensi della norma UNI EN 10025-2 e rondelle e dadi non a serraggio controllato ai sensi della UNI EN 15048-1. I valori di calcolo delle resistenze si ottengono dividendo le resistenze caratteristiche per il coefficiente di sicurezza γ_M variabile in funzione del tipo di verifica e i cui valori di riferimento sono riportati nella Tab. 4.2.VII delle NTC 2018.

Acciaio da carpenteria metallica S275

| | |
|--|---|
| Resistenza caratteristica allo snervamento | $f_{yk} = 275 \text{ N/mm}^2$ per spessori $< 40 \text{ mm}$ |
| Resistenza caratteristica di rottura | $f_{tk} = 430 \text{ N/mm}^2$ per spessori $< 40 \text{ mm}$ |
| Coefficiente parziale di sicurezza dell'acciaio per resistenza e stabilità | $\gamma_{M0} = 1.05$ |
| Resistenza di calcolo SLU | $f_{yd} = f_{yk} / \gamma_{M0} = 275 / 1.05 = 261.9 \text{ N/mm}^2$ |
| Coefficiente di omogeneizzazione | $n = 15$ |
| Modulo elastico medio | $E_s = 210.000 \text{ N/mm}^2$ |
| Diagramma di calcolo sforzi – deformazioni ottenuto con diagramma elastico-perfettamente plastico: | |
| ϵ_s (epsilon limite) | $\epsilon_{su} = 6.75\%$ |

Acciaio per viti e dadi classe 8.8

| | |
|--|--|
| Resistenza caratteristica allo snervamento | $f_{yb} = 640 \text{ N/mm}^2$ |
| Resistenza caratteristica di rottura | $f_{tb} = 800 \text{ N/mm}^2$ |
| Coefficiente parziale di sicurezza per bulloni | $\gamma_{M2} = 1.25$ |
| Resistenza di calcolo unioni bullonati | $f_d = f_{tb} / \gamma_{M2} = 800 / 1.25 = 640.0 \text{ N/mm}^2$ |

Saldature

A completo ripristino di resistenza realizzate in officina. I procedimenti di saldatura e i materiali di apporto devono essere conformi ai requisiti di cui al § 11.3.4.5 delle NTC 2018.

Le caratteristiche dei materiali di apporto (tensione di snervamento, tensione di rottura, allungamento a rottura e resilienza) devono essere equivalenti o superiori alle corrispondenti caratteristiche delle parti collegate.

4. CONCLUSIONI

Nel presente elaborato sono state definite le proprietà meccaniche dei materiali strutturali di progetto da impiegare per la realizzazione della struttura da adibire a info-point.

I materiali di progetto sono stati definiti tenendo conto dei livelli prestazionali richiesti in particolare in termini di resistenze, duttilità e durabilità secondo quanto indicato dalle NTC 2018.

 progettista strutturale
ing. Marcello Pelleccchia

PIANO DI MANUTENZIONE DELLE STRUTTURE

Sommario

| | |
|--|----|
| 1. INTRODUZIONE | 3 |
| 2. QUADRO NORMATIVO DI RIFERIMENTO | 3 |
| 3. MANUALE D'USO | 4 |
| 3.1. Impalcato di primo calpestio | 4 |
| 3.2. Strutture in elevazione..... | 4 |
| 3.3. Orizzontamenti | 5 |
| 4. MANUALE DI MANUTENZIONE..... | 5 |
| 4.1. Impalcato di primo calpestio | 5 |
| 4.2. Strutture in elevazione..... | 7 |
| 4.3. Orizzontamento | 8 |
| 5. PROGRAMMA DI MANUTENZIONE..... | 10 |

1. INTRODUZIONE

Il piano di manutenzione delle strutture è il documento che prevede, pianifica e programma, tenendo conto degli elaborati esecutivi effettivamente realizzati, l'attività di manutenzione dell'intervento al fine di mantenere la piena funzionalità dell'opera nel tempo, ovvero la qualità, le caratteristiche e l'efficienza.

I manuali d'uso e di manutenzione rappresentano gli strumenti con cui l'utente si rapporta con l'immobile: direttamente utilizzandolo evitando comportamenti anomali che possano danneggiarne o comprometterne la durabilità e le caratteristiche; attraverso i manutentori che utilizzeranno così metodologie più confacenti ad una gestione che coniughi economicità e durabilità del bene.

A tal fine, i manuali definiscono le procedure di raccolta e di registrazione dell'informazione nonché le azioni necessarie per impostare il piano di manutenzione e per organizzare in modo efficiente, sia sul piano tecnico che su quello economico, il servizio di manutenzione.

Il presente piano di manutenzione definisce l'uso e la manutenzione delle strutture previste negli interventi di realizzazione dell'info pointe, struttura temporanea, il tutto in conformità al vigente D.M: 17.01.2018 "Norme Tecniche per le Costruzioni" (NTC 2018).

Gli interventi strutturali da eseguire sono descritti nell'elaborato "relazione di calcolo e fascicolo dei calcoli" a cui si rimanda per maggiori chiarimenti.

Il piano di manutenzione è composto dai tre seguenti documenti operativi:

1. manuale d'uso;
2. manuale di manutenzione;
3. programma di manutenzione.

2. QUADRO NORMATIVO DI RIFERIMENTO

Le norme vigenti a cui si è fatto riferimento per i calcoli strutturali sono:

- Legge 05.11.1971, n. 1086 "Norme per la disciplina delle opere in conglomerato cementizio armato, normale e precompresso ed a struttura metallica";
- Legge 2.2.1974 n. 64 "Provvedimenti per le costruzioni con particolari prescrizioni per le zone sismiche";
- D.M. 17/01/2018: Norme Tecniche per le Costruzioni (NTC 2018);

- Circolare n. 7 del 21/01/2019 “Istruzioni per l’applicazione delle Nuove Norme tecniche per le costruzioni di cui al D.M. 14/01/2008”;

3. MANUALE D’USO

Il manuale d'uso si riferisce all'uso delle parti strutturali più importanti dell'opera, con particolare riferimento a quelle che possono generare rischi per un uso scorretto.

Il manuale d'uso contiene informazioni sulla collocazione delle parti interessate nell'intervento, la loro rappresentazione grafica, descrizione e modalità di uso corretto.

3.1. Impalcato di primo calpestio

Descrizione: Strutture aventi lo scopo di separare il sistema edilizio dal piano di appoggio sottostante e trasmetterne le sollecitazioni.

Collocazione: Si vedano i grafici di progetto;

Rappresentazione grafica: Si vedano i grafici di progetto e particolari costruttivi;

Materiali: acciaio S275JR.

Vita nominale di progetto: La vita nominale di progetto è pari a quella minima prevista dalle attuali norme per strutture provvisorie: $V_n = 10$ anni.

Condizioni d’uso di progetto: Le strutture sono progettate per resistere ai carichi permanenti di progetto ed ai carichi variabili in funzione della destinazione d’uso prevista dalle attuali Norme Tecniche delle Costruzioni (NTC 2018). Sono previste condizioni d’uso ordinarie.

Condizioni ambientali di progetto e presidi di durabilità: Sono progettate per essere esposte a condizioni ambientali e di umidità moderate.

Modalità d’uso corretto: Le strutture devono essere impiegate entro i limiti dei carichi progettuali.

3.2. Strutture in elevazione

Descrizione: le strutture in elevazione sono del tipo pilastri, o colonne. Sono gli elementi strutturali che trasmettono le sollecitazioni dalle strutture orizzontali (travi e solai) alle fondazioni.

Collocazione: Si vedano i grafici di progetto;

Rappresentazione grafica: Si vedano i grafici di progetto e particolari costruttivi;

Materiali: Colonne in carpenteria metallica (profilati laminati a caldo).

Vita nominale di progetto: La vita nominale di progetto è pari a quella minima prevista dalle attuali norme per strutture provvisorie: $V_n = 10$ anni.

Condizioni d'uso di progetto: Le strutture in elevazione sono progettate per resistere al peso proprio, ai sovraccarichi fissi ed accidentali ed agli eventi eccezionali (es. sisma).

Condizioni ambientali di progetto e presidi di durabilità: Le strutture in elevazione sono progettate per essere esposti a condizioni ambientali e di umidità moderate.

3.3. Orizzontamenti

Descrizione: Le travi ed i solai sono elementi strutturali orizzontali o inclinati. La loro funzione statica consiste nel trasferire le sollecitazioni provenienti dai sovraccarichi permanenti, portati ed accidentali alle strutture verticali.

Collocazione: Si vedano i grafici di progetto;

Rappresentazione grafica: Si vedano i grafici di progetto e particolari costruttivi;

Materiali: Doppia lamiera grecata coibentata.

Vita nominale di progetto: La vita nominale di progetto è pari a quella minima prevista dalle attuali norme per strutture provvisorie: $V_n = 10$ anni.

Condizioni d'uso di progetto: I solai sono progettati per resistere ai carichi permanenti di progetto e ai carichi variabili in funzione della destinazione d'uso prevista dalle attuali Norme Tecniche delle Costruzioni (NTC 2018). Sono previste condizioni d'uso ordinarie in ragione della destinazione d'uso.

Condizioni ambientali di progetto e presidi di durabilità: I solai sono progettati per essere esposti a condizioni ambientali e di umidità moderate.

Modalità d'uso corretto: Le strutture devono essere impiegate entro i limiti dei carichi progettuali.

4. MANUALE DI MANUTENZIONE

Il manuale di manutenzione si riferisce alla manutenzione delle parti più importanti dell'intervento. Esso contiene il livello minimo accettabile delle prestazioni, le anomalie riscontrabili, le manutenzioni eseguibili direttamente dall'utente e quelle che non lo sono.

4.1. Impalcato di primo calpestio

Collocazione: Si vedano i grafici di progetto;

Rappresentazione grafica: Si vedano i grafici di progetto e particolari costruttivi;

Livello minimo di prestazione: Resistenza alle sollecitazioni di progetto.

ANOMALIE RISCONTRABILI E VALUTAZIONE DEGLI INTERVENTI

1. RESISTENZA AGLI AGENTI AGGRESSIVI

Descrizione: Deterioramento e degrado a causa dell'azione di agenti aggressivi chimici;

Tipo di controllo: Controllo con strumentazioni, saggi, ecc;

Periodicità dei controlli e operatore: Cadenza quinquennale da personale tecnico;

Cause: Ammaloramenti; usura; minime sollecitazioni meccaniche esterne; fattori ambientali; infiltrazioni d'acqua;

Effetto: Degrado e decadimento dell'aspetto e delle proprietà meccaniche dell'elemento strutturale tali da poterne pregiudicare l'uso;

Valutazione: Moderato;

Risorse necessarie: Nuovi rivestimenti, malte, attrezzature manuali, prodotti specifici.

Esecutore: Ditta specializzata.

2. LESIONI E DISSESTI

Descrizione: fessure individuabili sulle pareti murarie per sforzi concentrati eccessivi trasmessi o indotti da cedimenti fondali;

Tipo di controllo: Controllo a vista;

Periodicità dei controlli e operatore: Ogni anno, effettuato dall'utente;

Cause: Le lesioni e le rotture si manifestano quando lo sforzo a cui è sottoposto l'elemento strutturale supera la resistenza corrispondente del materiale o quando mutano le condizioni del terreno dovute a molteplici cause: variazione della falda freatica, dilavamento a causa di perdite fognarie o idriche, ecc..

Effetto: Perdita della resistenza dell'elemento strutturale.

Valutazione: Grave

Risorse necessarie: Attrezzature manuali, resine bicomponenti, componenti di rinforzo, sostituzione con nuovi elementi, opere provvisoriale.

Esecutore: Ditta specializzata.

3. UMIDITÀ

Descrizione: Comparsa di macchie di umidità dovute all'assorbimento di acqua.

Cause: Presenza di fessure, infiltrazioni.

Effetto: Degrado e decadimento dell'elemento strutturale e/o dei suoi componenti e conseguente disgregazione con perdita di resistenza e stabilità.

Valutazione: Moderata

Risorse necessarie: Attrezzature manuali, malte, vernici, prodotti idrorepellenti, trattamenti specifici.

Esecutore: Ditta specializzata

4.2. Strutture in elevazione

Livello minimo di prestazione: Resistenza alle sollecitazioni di progetto;

Collocazione: Si vedano i grafici di progetto;

Rappresentazione grafica: Si vedano i grafici di progetto e particolari costruttivi.

ANOMALIE RISCONTRABILI E VALUTAZIONE DEGLI INTERVENTI

1. DEGRADO E DISTACCHI

Descrizione: Deterioramento e degrado delle dell'elemento strutturale;

Tipo di controllo: Controllo a vista;

Periodicità dei controlli e operatore: Ogni anno, effettuato dall'utente;

Cause: Ammaloramenti; usura; minime sollecitazioni non previste; fattori ambientali; infiltrazioni d'acqua;

Effetto: Degrado e decadimento dell'aspetto e delle finiture esterne dell'elemento strutturale tali da poterne pregiudicare l'uso;

Valutazione: Lieve;

Risorse necessarie: Nuovi rivestimenti, malte, attrezzature manuali, prodotti specifici.

Esecutore: Ditta specializzata.

2. AVVALLAMENTI E DEFORMAZIONI

Descrizione: deformazioni non ordinarie del solaio;

Tipo di controllo: Controllo a vista;

Periodicità dei controlli e operatore: Ogni anno, effettuato dall'utente;

Cause: Fenomeni di rilassamento dell'acciaio, sovraccarichi concentrati non ordinari, ecc.

Effetto: Perdita del piano orizzontale dell'impalcato con implicazioni nell'utilizzo ordinario.

Valutazione: Grave

Risorse necessarie: Attrezzature manuali, sostituzione con nuovi elementi, opere provvisionali.

Esecutore: Ditta specializzata.

3. UMIDITÀ

Descrizione: Comparsa di macchie di umidità dovute all'assorbimento di acqua.

Tipo di controllo: Controllo a vista;

Periodicità dei controlli e operatore: Ogni anno, effettuato dall'utente;

Cause: Presenza di fessure, screpolature o cavità sulle superfici dell'elemento; esposizione prolungata all'azione diretta degli agenti atmosferici, dell'umidità o dell'acqua stessa.

Effetto: Degrado e decadimento dell'elemento strutturale e/o dei suoi componenti e conseguente disgregazione con perdita di resistenza e stabilità.

Valutazione: Moderata

Risorse necessarie: Attrezzature manuali, malte, vernici, prodotti impermeabilizzanti, trattamenti specifici.

Esecutore: Ditta specializzata

4. CORROSIONE

Descrizione: Distacchi o erosioni di parte dei ricoprimenti dei materiali di finitura (zincatura) con esposizione degli elementi strutturali in acciaio.

Tipo di controllo: Controllo a vista;

Periodicità dei controlli e operatore: Ogni anno, effettuato dall'utente;

Cause: Variazioni di temperatura; penetrazione di acqua; cause esterne.

Effetto: Esposizione delle travi a fenomeni di corrosione per l'azione degli agenti atmosferici.

Valutazione: Grave

Risorse necessarie: Attrezzature manuali, resine, trattamenti specifici.

Esecutore: Ditta specializzata

4.3. Orizzontamento

Livello minimo di prestazione: Resistenza alle sollecitazioni di progetto;

Collocazione: Si vedano i grafici di progetto;

Rappresentazione grafica: Si vedano i grafici di progetto e particolari costruttivi.

ANOMALIE RISCONTRABILI E VALUTAZIONE DEGLI INTERVENTI

5. DEGRADO E DISTACCHI

Descrizione: Deterioramento e degrado delle finiture intradossali dell'elemento strutturale con la possibile formazione di sgretolamenti, danneggiamento delle sigillature e anche con distacchi di materiale;

Tipo di controllo: Controllo a vista;

Periodicità dei controlli e operatore: Ogni anno, effettuato dall'utente;

Cause: Ammaloramenti; usura; minime sollecitazioni non previste; fattori ambientali; infiltrazioni d'acqua;

Effetto: Degrado e decadimento dell'aspetto e delle finiture esterne dell'elemento strutturale tali da poterne pregiudicare l'uso;

Valutazione: Lieve;

Risorse necessarie: Nuovi rivestimenti, malte, attrezzature manuali, prodotti specifici.

Esecutore: Ditta specializzata.

6. AVVALLAMENTI E DEFORMAZIONI

Descrizione: deformazioni non ordinarie del solaio;

Tipo di controllo: Controllo a vista;

Periodicità dei controlli e operatore: Ogni anno, effettuato dall'utente;

Cause: Fenomeni di rilassamento dell'acciaio, sovraccarichi concentrati non ordinari, ecc.

Effetto: Perdita del piano orizzontale dell'impalcato con implicazioni nell'utilizzo ordinario.

Valutazione: Grave

Risorse necessarie: Attrezzature manuali, componenti di rinforzo, sostituzione con nuovi elementi, opere provvisoriale.

Esecutore: Ditta specializzata.

7. UMIDITÀ

Descrizione: Comparsa di macchie di umidità dovute all'assorbimento di acqua.

Tipo di controllo: Controllo a vista;

Periodicità dei controlli e operatore: Ogni anno, effettuato dall'utente;

Cause: Presenza di fessure, screpolature o cavità sulle superfici dell'elemento; esposizione prolungata all'azione diretta degli agenti atmosferici, dell'umidità o dell'acqua stessa.

Effetto: Degrado e decadimento dell'elemento strutturale e/o dei suoi componenti e conseguente disgregazione con perdita di resistenza e stabilità.

Valutazione: Moderata

Risorse necessarie: Attrezzature manuali, malte, vernici, prodotti impermeabilizzanti, trattamenti specifici.

Esecutore: Ditta specializzata

8. CORROSIONE

Descrizione: Distacchi o erosioni di parte dei ricoprimenti dei materiali di finitura (zincatura) con esposizione degli elementi strutturali in acciaio.

Tipo di controllo: Controllo a vista;

Periodicità dei controlli e operatore: Ogni anno, effettuato dall'utente;

Cause: Variazioni di temperatura; penetrazione di acqua; cause esterne.

Effetto: Esposizione delle travi a fenomeni di corrosione per l'azione degli agenti atmosferici.

Valutazione: Grave

Risorse necessarie: Attrezzature manuali, resine, trattamenti specifici.

Esecutore: Ditta specializzata

5. PROGRAMMA DI MANUTENZIONE

Il programma di manutenzione fissa delle manutenzioni e dei controlli da eseguire in seguito a scadenze preventivamente fissate.

Sottoprogramma dei controlli

| Tipo di controllo | | Periodicità |
|-------------------|---|--------------|
| 1 | Controllo visivo generale della struttura e degli stati fessurativi | Annuale |
| 2 | Controlli a cura di personale specializzato sulla consistenza degli elementi strutturali e dell'eventuale presenza di lesioni, distacchi, cedimenti e deformazioni eccessive <input type="checkbox"/> | Quinquennale |

Sottoprogramma degli interventi

| Tipo di manutenzione | Descrizione | Esecutore |
|---|---|---------------------|
| Intervento per anomalie di corrosione | Rimozione delle parti ammalorate mediante spazzolatura e/o idrosabbatura. Eventuale integrazione della sezione metallica. Protezione della sezione metallica con vernici anticorrosive, malte, trattamenti specifici o anche attraverso l'uso di idonei passivanti per la protezione dell'acciaio. | Ditta specializzata |
| Intervento per anomalia di fessurazione/lesioni di pareti murarie | Opere di ripristino delle fessure e consolidamento dell'integrità del materiale tramite puntellatura degli elementi, utilizzo di resine, malte, sostituzione parziale degli elementi, ecc. | Ditta specializzata |
| Interventi per deformazione eccessiva impalcati | Opere di puntellatura degli elementi, rimozione dei sovraccarichi per recupero della freccia. In caso permanga la deformazione, sostituzione dei singoli elementi strutturali. | Ditta specializzata |



Progettista strutturale
Ing. Marcello Pelleccchia

GRAFICI

CARATTERISTICHE MATERIALI:

- acciaio per strutture metalliche: tipo S275
- materiale d'apporto per saldature: tipo S275
- acciaio per bulloni: classe 8.8

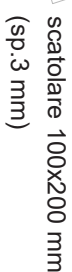
- acciaio per strutture metalliche: tipo S275
- materiale d'apporto per saldature: tipo S275
- acciaio per bulloni: classe 8.8



pietra acciaio sp. 1 cm, presaldata
alle teste degli scatolari dell'orditura trasversale,
imbullonata in cantiere all'orditura longitudinale

Tutti gli elementi di carpenteria metallica verranno realizzati in fabbrica, saranno dotati di piastre saldate e bulloneria per l'assemblaggio finale in cantiere (ove non avverranno saldature) e saranno sottoposti a zincatura a caldo.

L'intera struttura dovrà risultare smontabile; il basamento sarà dotato di piedini regolabili per il livellamento del manufatto e sulla copertura saranno previste n.4 piastre-golfari per il sollevamento e trasporto.

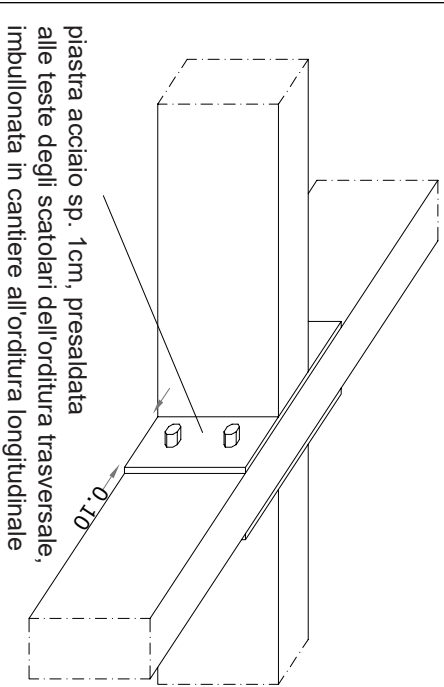


sagoma carter
rivestimento inferiore

PIANTA
scala 1:25

CARATTERISTICHE MATERIALI:

- acciaio per strutture metalliche: tipo S275
- materiale d'apporto per saldature: tipo S275
- acciaio per bulloni: classe 8.8

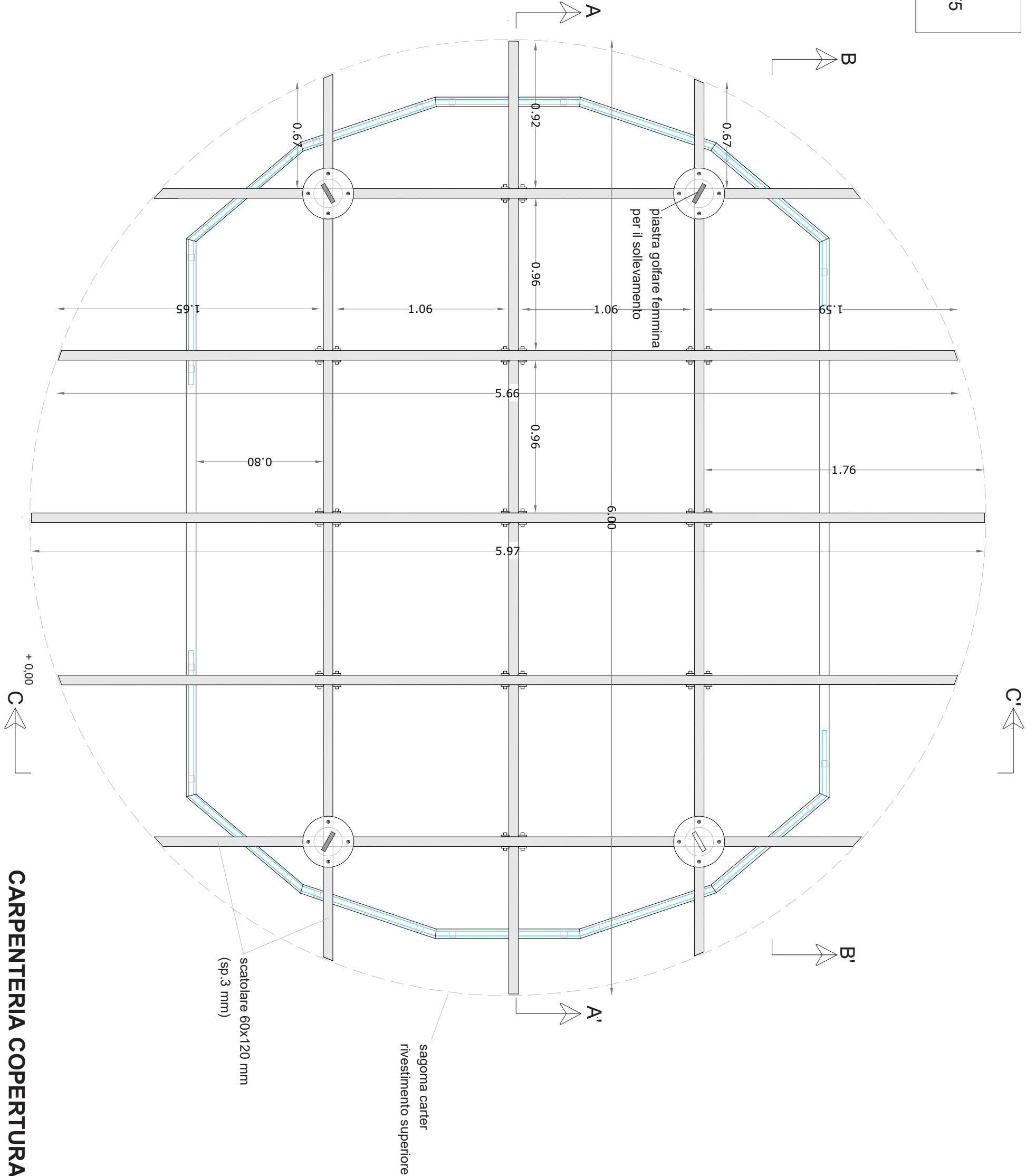


PARTICOLARE collegamento travi

N.B.:

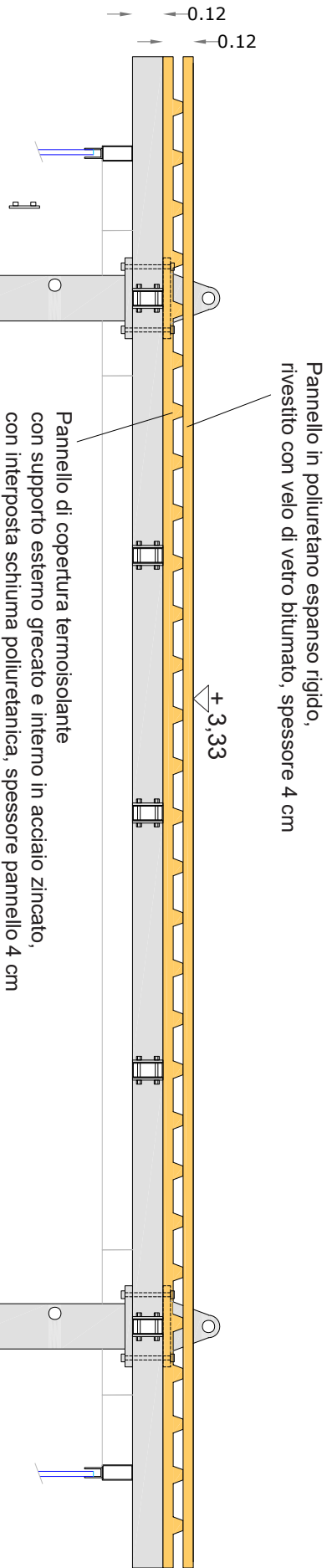
Tutti gli elementi di carpenteria metallica verranno realizzati in fabbrica, saranno dotati di piastre saldate e bulloneria per l'assemblaggio in cantiere (ove non avverranno saldature) e saranno sottoposti a zincatura a caldo.

L'intera struttura dovrà risultare smontabile; il basamento sarà dotato di piedini regolabili per il livellamento del manufatto e sulla copertura saranno previste n.4 piastre-golfari per il sollevamento e trasporto.

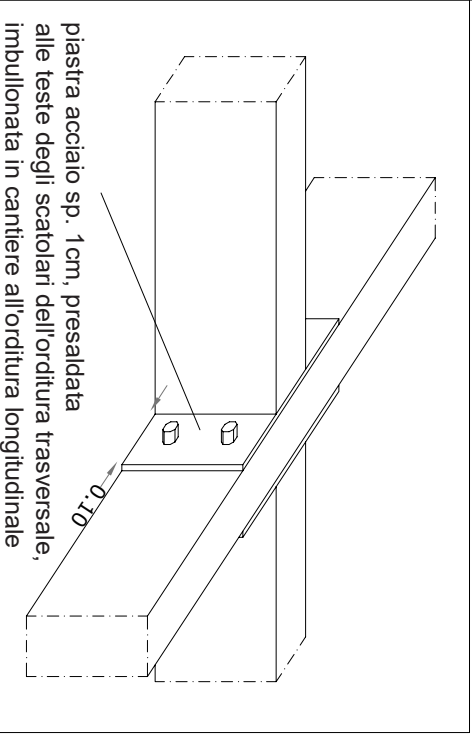


CARPENTERIA COPERTURA
PIANTA
scala 1:25

- CARATTERISTICHE MATERIALI:
- acciaio per strutture metalliche: tipo S275
 - materiale d'apporto per saldature: tipo S275
 - acciaio per bulloni: classe 8.8



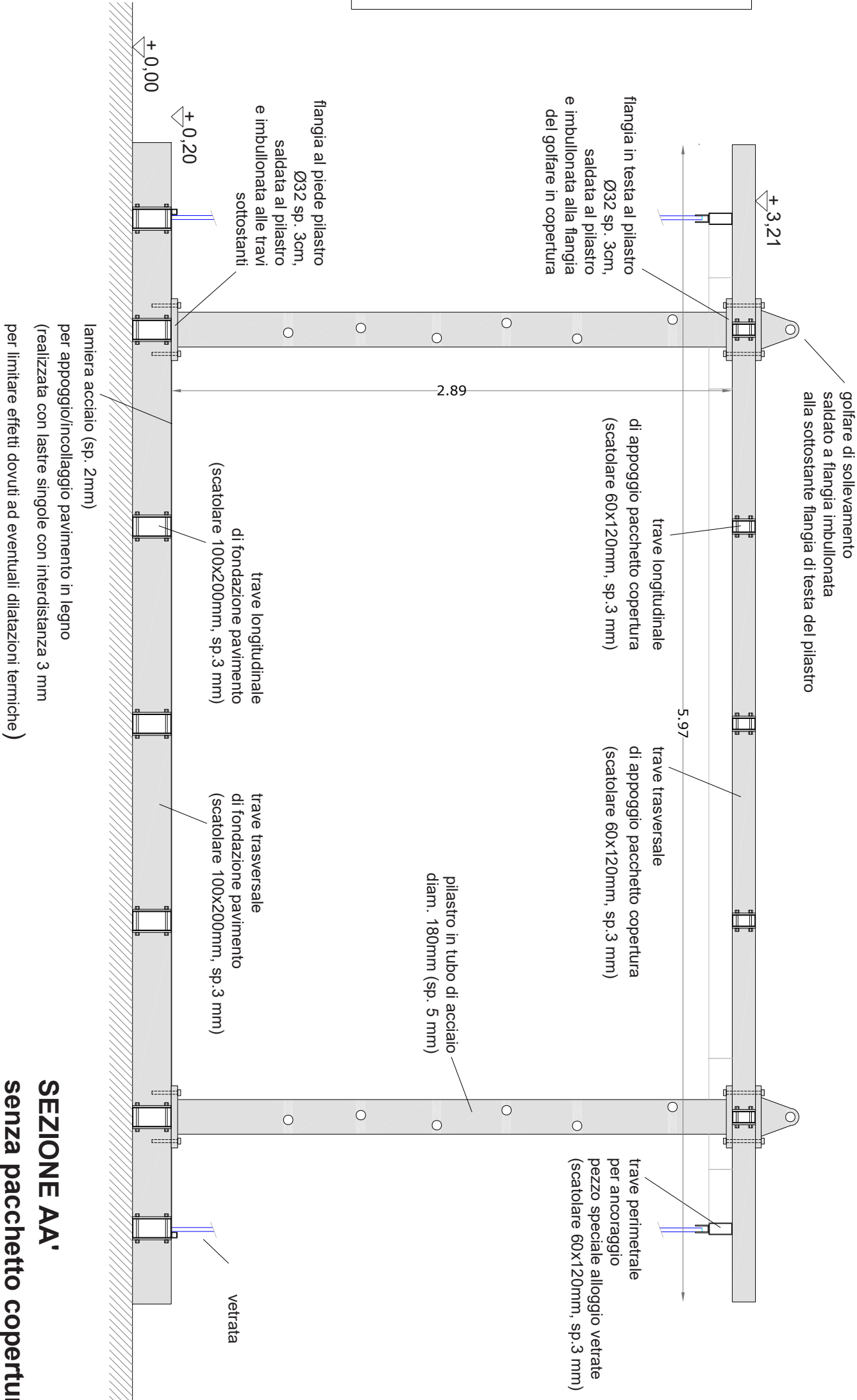
STRALCIO SEZIONE AA'
con pacchetto copertura
scala 1:25



PARTICOLARE
collegamento travi

N.B.:

Tutti gli elementi di carpenteria metallica verranno realizzati in fabbrica, saranno dotati di piastre saldate e bulloneria per l'assemblaggio in cantiere (ove non avverranno saldature) e saranno sottoposti a zincatura a caldo. L'intera struttura dovrà risultare smontabile; il basamento sarà dotato di piedini regolabili per il livellamento del manufatto e sulla copertura saranno previste n.4 piastre-golfari per il sollevamento e trasporto.



SEZIONE AA'
senza pacchetto copertura
scala 1:25